



جمهورية العراق  
وزارة التعليم العالي والبحث العلمي  
جامعة بغداد / كلية التربية - ابن رشد للعلوم الإنسانية  
قسم الجغرافيا

## اث الخصائص المناخية في تكوين اشكال سطح الارض بين محافظتي القادسية وذي قار

أطروحة تقدم لها  
ماهر حمود كاظم الجبوري  
إلى مجلس كلية التربية ابن رشد للعلوم الإنسانية / جامعة بغداد  
وهي جزء من متطلبات نيل درجة دكتوراه فلسفة في الجغرافيا

بإشراف  
الأستاذ الدكتور  
صباح عبود عاتي الخزعلي

2019 م

1440 هـ

بِسْمِ اللَّهِ الرَّحْمَنِ الرَّحِيمِ

وَهُوَ الَّذِي مَدَّ الْأَرْضَ وَجَعَلَ فِيهَا رَوَاسِيَ وَأَنْهَارًا وَمِنْ كُلِّ الثَّمَرَاتِ جَعَلَ فِيهَا

زُجْجِينَ اثْنِیْ عَشَرَ نَاقُورًا ۚ فِي ذَلِكَ لَايَاتٍ لِّقَوْمٍ يَتَفَكَّرُونَ (3) وَفِي الْأَرْضِ

قِطْعٌ مِّنْ مَّتَابِرَاتٍ وَجَنَّاتٌ مِّنْ أَعْنَابٍ وَزُرُوعٌ وَخَيْلٌ صِنَوَانٌ وَغَيْرُ

صِنَوَانٍ يُسْقَى بِمَاءٍ وَاحِدٍ وَنَفْضٍ بُغْضًا عَلَى بَعْضٍ فِي الْأَكْلِ

إِذْ فِي ذَلِكَ لَايَاتٍ لِّقَوْمٍ يَعْقِلُونَ (4)

بِسْمِ اللَّهِ الرَّحْمَنِ الرَّحِيمِ  
الْعَظِيمِ

سورة الرعد الآية 3-4



## الاهداء

إلى حامل الرسالة الأولى --- نبينا محمد (صلى الله عليه وسلم)  
إلى من سهر الليالي وظل سندي الموالى --- أبي الغالي (حفظه الله)  
إلى روح والدتي الغالية --- (رحمها الله)  
إلى سندي في الحياة --- اخواني الاعزاء (ثائر ، عامر ، بشار ، حيدر ، علي)  
واخواتي حفظهم الله  
إلى مملكتي الصغيرة حبيبتى ورفيقة حياتي - زوجتي الغالية

أهدي جهدي المتواضع

الباحث

## الشكر والامتنان

بسم الله الرحمن الرحيم والصلاة والسلام على من بُعث سلاماً ورحمةً ومنقذاً للعالمين محمد بن عبد الله وآله المعصومين الطاهرين.

الحمد والشكر لله الذي وفقني لإتمام هذه الاطروحة ، اقدم فائق شكري وامنتاني الى أستاذي ومشرفي العزيز والفاضل الاستاذ الدكتور صباح عبود عاتي الخزعلي لما أبداه لي من نصائحه ، وتوجيهاته العلمية القيمة ومتابعة لإتمام الاطروحة وتقويم مسيرتها العلمية ، داعياً المولى عز وجل أن يمن عليه بالعمر المديد والصحة والعافية ، كما اتقدم بوافر شكري الى استاذي الفاضل الاستاذ الدكتور سامي عزيز عباس العتبي الذي كان خير عون وسند لي لما قدمه من توجيهات ومتابعة ونصائح في مجال الاحصاء الجغرافي.

كما اتقدم بالشكر الجزيل الى جميع اساتذتي الذين اشرفوا على تدريسي خلال السنة التحضيرية لمرحلة الدكتوراه اخص منهم بالذكر الاستاذ الدكتور أياد عاشور الطائي والأستاذ الدكتور يوسف محمد علي حاتم الهذال على نصائحه الكثيرة لي خلال مدة الدراسة والاستاذ الدكتور زينب وناس الحسناوي والاستاذ الدكتور علي عبد الزهرة الوائلي والاستاذ الدكتور سلام هاتف الجبوري والاستاذ الدكتور اسامة خزعل الشريف ، والى رئيس قسم الجغرافية كلية التربية/ابن رشد الاستاذ المساعد الدكتور مناف محمد السوداني، كما أوجه شكري الى استاذي الفاضل الاستاذ الدكتور سرحان نعيم الخفاجي كلية التربية (جامعة المثنى) الذي رافقني طوال مدة الدراسة الميدانية وأمدني بنصائحه ، وتوجيهاته العلمية ، فكان نعم المعين والموجه، فجزاه الله عني خير الجزاء.

كما أوجه شكري الى ابي العزيز على مساندته المعنوية لي طيل مدة الدراسة، كما لا يفوتني بأن اقدم جزيل الشكر الى أمين مكتبة قسم الجغرافية في كلية التربية (ابن رشد) وأمينة مكتبة قسم الجغرافية في كلية الآداب جامعة بغداد والى العاملين في المكتبة المركزية في جامعة بغداد وفي الختام أقدم شكري الى زملائي في مرحلة الدكتوراه جميعاً والى كل من قدم لي يد المساعدة والعون في هذه الدراسة .

## إقرار المشرف

أشهد أنّ إعداد هذه الأطروحة الموسومة بـ (أثر الخصائص المناخية في تكوين اشكال سطح الارض بين محافظتي القادسية وذي قار) ، التي تقدم بها الباحث (ماهر حمود كاظم) ، قد جرى تحت اشرافي في جامعة بغداد/ كلية التربية - ابن رشد للعلوم الإنسانية- قسم الجغرافيا وهي من متطلبات نيل درجة الدكتوراه في الجغرافيا الطبيعية، ولأجله وقعت.

التوقيع :

اسم المشرف : صباح عبود عاتي الخزلي

المرتبة العلمية : أستاذ دكتور

مكان العمل : الجامعة المستنصرية / كلية التربية

٢٠١٨ / ٩ / ١٧

توصية رئيس قسم الجغرافيا

بناء على التوصيات المتوافرة اشرح هذه الأطروحة للمناقشة

التوقيع :  
الاسم : مناف محمد السوداني  
المرتبة العلمية : استاذ مساعد دكتور  
رئيس قسم الجغرافيا / كلية التربية - ابن رشد  
للعلوم الانسانية / جامعة بغداد

٢٠١٨ / ٩ / ١٧ م

### إقرار الخبير اللغوي

أشهد أنّ إعداد هذه الأطروحة الموسومة بـ(أثر الخصائص المناخية في تكوين اشكال سطح الارض بين محافظتي القادسية وذي قار)، التي تقدم بها الباحث (ماهر حمود كاظم)، قد جرى تقويمها لغوياً في جامعة بغداد/ كلية التربية - ابن رشد للعلوم الإنسانية ، وهي من متطلبات نيل درجة الدكتوراه في الجغرافيا الطبيعية، وقد وجدتھا صالحة من الناحية اللغوية .

التوقيع :  
اسم المشرف : د. زهير محمد كافي  
المرتبة العلمية : أستاذ مساعد  
مكان العمل : كلية التربية ابن رشد  
2018 / 1 / 1



## إقرار الخبير العلمي

أشهد أنّ إعداد هذه الأطروحة الموسومة بـ (أثر الخصائص المناخية في تكوين اشكال سطح الارض بين محافظتي القادسية وذي قار) ، التي تقدم بها الباحث (ماهر حمود كاظم) ، قد جرى تقييمها علمياً في جامعة بغداد/ كلية التربية - ابن رشد للعلوم الإنسانية ، وهي من متطلبات نيل درجة الدكتوراه في الجغرافيا الطبيعية، وقد وجدتھا صالحة من الناحية العلمية.



التوقيع :

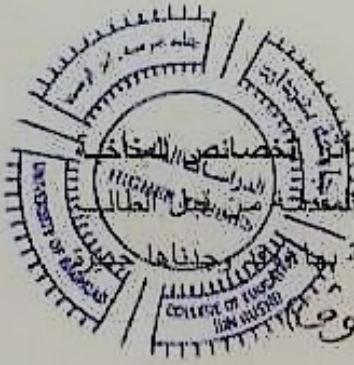
اسم المشرف : رجاء خليل الجبوري

المرتبة العلمية : أستاذ مساعد دكتور

مكان العمل : الجامعة العراقية / كلية التربية للبنات

2018 / 11 / 21

## إقرار لجنة المناقشة



نشهد نحن أعضاء لجنة المناقشة بأننا أطلعنا على الأطروحة الموسومة بـ ( أثر التخصصات / المناهج في تكوين أشكال سطح الأرض بين محافظتي القادسية وذي قار ) ، والمعددة من قبل الطالب ( ماهر حمود كاظم الجبوري ) وقد ناقشنا الطالب في محتوياتها وفيما له علاقة بها في وقتنا هذا ، وبأننا جازناها بالقبول لنيل شهادة الدكتوراه / فلسفة في الجغرافيا الطبيعية وبتقدير ( حسن )

التوقيع:   
الاسم: زينب وناس خضير الحناوي  
المرتبة العلمية: أستاذ دكتور  
التاريخ: ٢٠١٩ / ٤ / ٢٦  
(عضواً)

التوقيع:   
الاسم: يوسف محمد علي حاتم الهذال  
المرتبة العلمية: أستاذ دكتور  
التاريخ: ٢٠١٩ / ٤ / ٢٦  
(رئيس اللجنة)

التوقيع:   
الاسم: حسين جويان عربي  
المرتبة العلمية: أستاذ مساعد دكتور  
التاريخ: ٢٠١٩ / ٤ / ٢٦  
(عضواً)

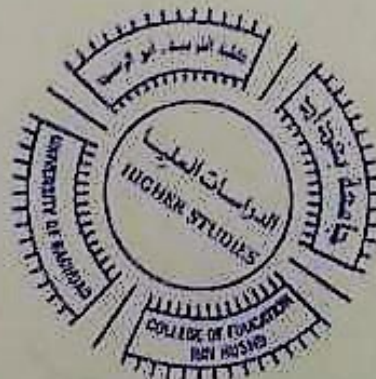
التوقيع:   
الاسم: جوان سمين أحمد  
المرتبة العلمية: أستاذ مساعد دكتور  
التاريخ: ٢٠١٩ / ٤ / ٢٦  
(عضواً)

التوقيع:   
الاسم: صباح عيود عاتي الخزعلي  
المرتبة العلمية: أستاذ دكتور  
التاريخ: ٢٠١٩ / ٢ / ٢  
(عضواً ومشرفاً)

التوقيع:   
الاسم: محمد بهجت ثامر  
المرتبة العلمية: أستاذ مساعد دكتور  
التاريخ: ٢٠١٩ / ٢ / ٢  
(عضواً)

صادق مجلس كلية التربية / ابن رشد للعلوم الإنسانية - جامعة بغداد على قرار لجنة المناقشة

التوقيع:   
الاسم: أ. د. علاوي ماذر جازع  
عميد كلية التربية / ابن رشد للعلوم  
الإنسانية جامعة بغداد  
التاريخ: ٢٠١٩ / ٣ / ٢



## قائمة محتويات الدراسة

رقم الصفحة	العنوان	رقم الفقرة
أ	الآية القرآنية	
ب	الإهداء	
ت	الشكر والامتنان	
ث	إقرار المشرف	
ج	إقرار المقوم اللغوي	
ح	إقرار المقوم العلمي	
خ	إقرار لجنة المناقشة	
د- س	قائمة محتويات الدراسة	
س- ض	قائمة الجداول	
ض- ظ	قائمة الأشكال	
ظ - ع	قائمة الخرائط	
ع- غ	قائمة صور الدراسة	
غ	قائمة الملاحق	
ف- ق	المستخلص	
10-2	المقدمة والاطار النظري للدراسة	الفصل الاول
2	المقدمة	
2	مشكلة الدراسة	1-1
2	فرضية الدراسة	2-1
3	اهداف الدراسة	3-1
3	منهجية الدراسة	4-1
3	مراحل عمل الدراسة وتقنياتها	5-1
4	حدود منطقة الدراسة	6-1
7	هيكلية الدراسة	7-1
10-9	الدراسات السابقة	1-8
61-12	العوامل والمظاهر الارضية المسيطرة في رسم صورة المظهر الارضي لمنطقة الدراسة	الفصل الثاني
21-12	العوامل المسيطرة في رسم صورة المظهر الارضي لمنطقة الدراسة	المبحث الاول
12	تمهيد	
12	جيولوجية منطقة الدراسة	1-1-2
12	طباقية منطقة الدراسة	1-1-1-2
14	تكوينات الزمن الثلاثي	1-1-1-1-2
14	تكوين الفرات	1-1-1-1-1-2
14	تكوين الزهرة	2-1-1-1-1-2
15	ترسبات الزمن الرباعي	2-1-1-1-2
15	ترسبات المراوح الطينية	1-2-1-1-1-2
16	ترسبات السهل الفيضي (الهولوسين)	2-2-1-1-1-2
16	ترسبات المنخفضات الضحلة (الهولوسين)	3-2-1-1-1-2
17	ترسبات الصفائح الرملية	4-2-1-1-1-2
17	ترسبات الكثبان الرملية	5-2-1-1-1-2
18	ترسبات الاهوار (الهولوسين)	6-2-1-1-1-2
18	الترسبات العائدة لفعاليات الإنسان	7-2-1-1-1-2
18	تكتونية منطقة الدراسة	2-1-1-2
56-22	المظاهر الارضية المسيطرة في رسم صورة المظهر الارضي لمنطقة الدراسة	المبحث الثاني



22	الخصائص التضاريسية	1-2-2
22	خصائص الارتفاع	1-1-2-2
25	خصائص الانحدار	2-1-2-2
28	اتجاه الانحدار	3-1-2-2
30	الموارد المائية	2-2-2
31	المياه السطحية	1-2-2-2
31	نهر الفرات	1-1-2-2-2
33	نهر الغراف	2-1-2-2-2
33	شط الديوانية	3-1-2-2-2
35	شط الدغارة	4-1-2-2-2
36	شط الشامية	5-1-2-2-2
37	شط الرميثة	6-1-2-2-2
39	المياه الجوفية	2-2-2-2
48	التربة	3- 2-2
49	تربة السهل الفيضي	1-3-2-2
50	تربة كتوف الانهار	1-1-3-2-2
51	تربة الاحواض	2-1-3-2-2
52	تربة الاهوار	3-1-3-2-2
52	تربة الكثبان الرملية	2-3-2-2
53	التربة الصحراوية الجبسية المختلطة	3-3-2-2
53	خصائص النبات الطبيعي	4-2-2
54	نباتات ضفاف الانهار	1-4-2-2
54	نباتات الاهوار والمستنقعات	2-4-2-2
55	النباتات الصحراوية	3-4-2-2
122-58	وصف المناخ واثره في تكوين الاشكال الارضية لمنطقة الدراسة	الفصل الثالث
66-58	وصف المناخ الماضي لمنطقة الدراسة	المبحث الاول
58	تمهيد	
58	المناخ القديم واثره في تكوين الاشكال الارضية	1-1-3
59	المناخ في الزمن الثالث (عصر البليوسين)	1-1-1-3
60	المناخ في الزمن الرباعي	2-1-1-3
60	المناخ في عصر البليوستوسين	1- 2-1-1-3
64	المناخ في عصر الهولوسين	2-2-1-1-3
108-67	وصف المناخ الحالي لمنطقة الدراسة	المبحث الثاني
67	تمهيد	
67	السطوع الفعلي (ساعة / يوم)	1-2-3
71	درجات الحرارة (م)	2-2-3
80	الرياح سرعة واتجاه (م/ثا)	3-2-3
85	الرطوبة النسبية(%)	4-2-3
88	الامطار(مم)	5-2-3
91	الامطار الفعالة(مم)	6-2-3
94	الشدة المطرية (مم)	7-2-3
99	التبخر (مم)	8-2-3
101	التبخر- نتح (مم)	9-2-3
105	الموازنة المائية المناخية	10-2-3
122-109	وصف الظواهر المناخية الحالية لمنطقة الدراسة	المبحث الثالث



109	ظاهرة الغبار	1-3-3
112	العواصف الغبارية	1-1-3-3
117	الغبار المتصاعد	2-1-3-3
115	ظاهرة الجفاف	3-1-3-3
115	أسباب الجفاف	1-3-1-3-3
116	الاسباب الطبيعية للجفاف	1-1-3-1-3-3
116	الاسباب البشرية للجفاف	2-1-3-1-3-3
116	طريقة تصنيف نوع المناخ السائد في الدراسة الحالية	3-1-3-1-3-3
196-124	تحليل العلاقة بين الخصائص الطبيعية والعمليات الجيومورفية في منطقة الدراسة	الفصل الرابع
145-124	العمليات الجيومورفية السائدة في منطقة الدراسة	المبحث الاول
124	تمهيد	
124	العمليات الجيومورفية	1-1-4
124	العمليات المورفوتكتونية (التركيبية)	1-1-1-4
125	طبيعة التكوينات الصخرية	1-1-1-1-4
125	التراكيب الخطية	2- 1-1-1-4
129	العمليات المورفومناخية	2-1-1-4
129	علاقة التجوية بالمناخ	1-2-1-1-4
130	التجوية الفيزيائية (الميكانيكية)	1-1-2-1-1-4
130	التجوية بفعل التغير الحراري	1-1-1-2-1-1-4
131	التجوية بفعل الكائنات الحية	2-1-1-2-1-1-4
132	التجوية بفعل الترطيب والتجفيف	3-1-1-2-1-1-4
133	التجوية الكيميائية	2-1- 2-1-1-4
133	التجوية بفعل الإذابة والكربنة	1-2-1-2-1-1-4
134	عملية التميؤ	2-2-1-2-1-1-4
134	التآكسد	3-2-1-2-1-1-4
135	عمليات التعرية	2-2-1-1-4
135	عملية التعرية المائية	1-2-2-1-1-4
136	التعرية المطرية	1-1-2-2-1-1-4
136	التعرية المائية المطرية التصادمية	1-1-1-2-2-1-1-4
136	التعرية الصفانحية (الغطائية)	2- 1-1-2-2-1-1-4
136	التعرية المسيلات المائية	3-1-1-2-2-1-1-4
137	التعرية الاخدودية	4-1-1-2-2-1-1-4
138	التعرية النهرية	2-1-2-2-1-1-4
139	عمليات التعرية الريحية	2-2-2-1-1-4
141	عمليات الترسيب	3-2-1-1-4
142	الترسيب الريحي	1-3-2-1-1-4
143	الترسيب النهري	2-3-2-1-1-4
165-146	العلاقات الرياضية (الاحصائية) بين الخصائص المناخية والعمليات الجيومورفية في منطقة الدراسة	المبحث الثاني
146	تمهيد	
146	معادلة (فورنية- ارنولدس (F-A-I)	1-2-4
153	معادلة التعرية الريحية ( chepil )	2-2-4
162	تطبيق نموذج جافر يلوفيك لتقدير التعرية المائية في منطقة الدراسة	3-2-4
196-166	التوزيع الجغرافي للأشكال المورفومناخية في منطقة الدراسة	المبحث الثالث
166	تمهيد	
166	وحدات ذات اصل بينوي - تعروي	1-3-4

166	الهضاب	1-1-3-4
168	الموائد الصخرية (الميسا):	2-1-3-4
168	التلال	3-1-3-4
170	وحدات ذات اصل التعرؤية - الأرسابية	2-3-4
171	الأراضي الرديئة	1-2-3-4
171	الأراضي الجرداء	2-2-3-4
172	الآخاديد	3-2-3-4
173	منخفضات مملوءة	4-2-3-4
174	السهل الفيضي	5-2-3-4
175	كتوف الأنهار	6-2-3-4
176	بحيرة ساوه	7-2-3-4
177	الآهوار	8-2-3-4
178	التوزيع الجغرافي للآهوار في منطقة الدراسة	1-8-2-3-4
179	الجزر النهرية	9-2-3-4
181	الاشكال الأرضية الناتجة بفعل الرياح	10-2-3-4
181	الكثبان الرملية	1-10-2-3-4
182	الكثبان الهلالية	1-1-10-2-3-4
187	الكثبان الرملية الطولية	2-1-10-2-3-4
191	النباك	3-1-10-2-3-4
195	علامات النيم الصحراوي	4-1-10-2-3-4
195	الاشكال الأرضية ذات اصل تبخيري	3-3-4
233-198	التحليل الإحصائي للعلاقة بين الخصائص المناخية والعمليات الجيومورفية في منطقة الدراسة	الفصل الخامس
198	تمهيد	
198	تحليل الارتباط	1-5
199	تحليل الانحدار المتعدد	2-5
199	معامل التحديد المتعدد	3-5
199	اختيار المعنوية الكلية للانحدار او اختيار (F)	4-5
202	تم اخضاعها للتحليل الإحصائي باستخدام البرنامج الإحصائي (SPSS) لغرض الحصول على النتائج الوصفية والكمية للعلاقة ما بين التعرية الريحية والمطرية والمتغيرات المستقلة المفسرة لتلك العلاقة لمحطات الدراسة	5-5
202	نتائج التحليل الوصفي بالاعتماد على معامل ارتباط (Pearson) بين المتغير المعتمد ( $y_1$ ) التعرية الريحية والمتغيرات المستقلة لمحطة السماوة	1-5-5
202	نتائج التحليل الكمي للتعرية الريحية لمحطة السماوة و بالاعتماد على تحليل الانحدار الخطي المتعدد	2-5-5
206	نتائج التحليل الوصفي بالاعتماد على معامل ارتباط (Pearson) بين المتغير المعتمد ( $y_1$ ) التعرية المطرية والمتغيرات المستقلة لمحطة السماوة	3-5-5
206	نتائج التحليل الكمي لتعرية المطرية لمحطة السماوة وباعتماد على تحليل الانحدار الخطي المتعدد	4-5-5
209	نتائج التحليل الوصفي بالاعتماد على معامل ارتباط (Pearson) بين المتغير المعتمد ( $y_1$ ) التعرية الريحية والمتغيرات المستقلة لمحطة الناصرية	5-5-5
212	نتائج التحليل الكمي للتعرية الريحية لمحطة الناصرية وباعتماد على تحليل الانحدار الخطي المتعدد	6-5-5
215	نتائج التحليل الوصفي بالاعتماد على معامل ارتباط (Pearson) بين المتغير المعتمد ( $y_1$ ) التعرية المطرية والمتغيرات المستقلة لمحطة الناصرية	7-5-6
215	نتائج التحليل الكمي لتعرية المطرية لمحطة الناصرية وباعتماد على تحليل الانحدار الخطي المتعدد	8-5-5

218	نتائج التحليل الوصفي بالاعتماد على معامل ارتباط (Pearson) بين المتغير المعتمد ( $y_1$ ) التعرية الريحية والمتغيرات المستقلة لمحطة النجف	9-5-5
221	نتائج التحليل الكمي للتعرية الريحية لمحطة النجف وبالا اعتماد على تحليل الانحدار الخطي المتعدد	10-5-5
223	نتائج التحليل الوصفي بالاعتماد على معامل ارتباط (Pearson) بين المتغير المعتمد ( $y_2$ ) التعرية المطرية والمتغيرات المستقلة لمحطة النجف	11-5-5
224	نتائج التحليل الكمي لتعرية المطرية لمحطة النجف وبالا اعتماد على تحليل الانحدار الخطي المتعدد	12-5-5
226	نتائج التحليل الوصفي بالاعتماد على معامل ارتباط (Pearson) بين المتغير المعتمد ( $y_1$ ) التعرية الريحية والمتغيرات المستقلة لمحطة الديوانية	13-5-5
229	نتائج التحليل الكمي للتعرية الريحية لمحطة الديوانية وبالا اعتماد على تحليل الانحدار الخطي المتعدد	14-5-5
231	نتائج التحليل الوصفي بالاعتماد على معامل ارتباط (Pearson) بين المتغير المعتمد ( $y_2$ ) التعرية المطرية والمتغيرات المستقلة لمحطة الديوانية	15-5-5
231	نتائج التحليل الكمي لتعرية المطرية لمحطة الديوانية وبالا اعتماد على تحليل الانحدار الخطي المتعدد	16-5-5
239-235	الاستنتاجات والمقترحات	
250-241	المصادر والمراجع	
284-252	الملاحق	
A-B	Abstract	

## قائمة الجدول

رقم الصفحة	عنوان الجدول	ت
4	التقنيات الجغرافية الحديثة المستخدمة في الدراسة	1-1
5	المحطات المناخية لمنطقة الدراسة	2-1
14	المساحة والنسبة المئوية للتكوينات الجيولوجية في منطقة الدراسة	1-2
25	المساحة والنسبة المئوية لمستويات السطح في منطقة الدراسة	2-2
27	المساحة والنسبة المئوية ونوع الانحدارات في منطقة الدراسة	3-2
29	المساحة والنسبة المئوية للاتجاهات الانحدار في منطقة الدراسة	4-2
32	مساحة حوض نهر الفرات ونسبتها وكميات الأمطار التي تغذيها	5-2
34	جداول الري المتفرعة من شط الديوانية في محافظة القادسية	6-2
35	جداول الري المتفرعة من شط الدغارة في محافظة القادسية	7-2
37	جداول الري الرئيسية المتفرعة من شط الشامية في محافظة القادسية	8-2
38	جداول الري الرئيسية المتفرعة من نهر الفرات في محافظة المثنى	9-2
43-41	جدول تركيز الايونات الموجبة والسالبة وقيم ( $\text{Na}^3\text{-EC-PH-TDS}$ ) في المياه الجوفية للإبار منطقة الدراسة	10-2
45	التباين المكاني لـ (العمق - المستوى الثابت - المستوى المتحرك - الطاقة الانتاجية)	11-2
50	المساحة والنسبة المئوية للأصناف الترب في منطقة الدراسة	12-2
56	المساحة والنسبة المئوية لأصناف النبات الطبيعي في منطقة الدراسة	13-2
68	معدل السطوع الشمسي (ساعة / يوم) في منطقة الدراسة للمدة (2016-1980)	1-3
70	المساحة والنسبة المئوية للسطوع الشمسي الفعلي (ساعة/يوم) في منطقة الدراسة	2-3
73	المساحة والنسبة المئوية لدرجة الحرارة الاعتيادية (م) في منطقة الدراسة	3-3
72	المعدلات الشهرية والسوية لدرجات الحرارة (الاعتيادية ، العظمى ، الصغرى) والمدى الحراري في منطقة الدراسة للمدة (2016 - 1980)	4-3

76	المساحة والنسبة المئوية لدرجة الحرارة العظمى (م) في منطقة الدراسة	5-3
79	المساحة والنسبة المئوية لدرجة الحرارة الصغرى (م) في منطقة الدراسة	6-3
81	معدل سرعة الرياح (م/ثا) في منطقة الدراسة للمدة (19080 - 2016)	7-3
82	نسبة تكرار اتجاه الرياح في منطقة الدراسة للمدة (1980 - 2016)	8-3
84	المساحة والنسبة المئوية لسرعة الرياح (م/ثا) في منطقة الدراسة	9-3
86	معدل الرطوبة النسبية (%) في منطقة الدراسة للمدة (1980 - 2016)	10-3
87	المساحة والنسبة المئوية لرطوبة النسبية (%) في منطقة الدراسة	11-3
89	المجموع الشهري لكمية الامطار (مم) في منطقة الدراسة للمدة (1980 - 2016)	12-3
90	المساحة والنسبة المئوية لكمية الامطار (مم) في منطقة الدراسة	13-3
91	المعدلات الشهرية لمعامل المطر الفعال (مم) لمقاس وفق طريقة سلخوز بروم	14-3
92	مجموع الامطار الفعالة (مم) في منطقة الدراسة للمدة (1980 - 2016)	15-3
94	المساحة والنسبة المئوية لكميات الامطار الفعالة (مم) في منطقة الدراسة	16-3
96	المجموع الشهري والفصلي للشدة المطرية (مم) في منطقة الدراسة للمدة (1980 - 2016)	17-3
99	المجموع الشهري لكميات التبخر (مم) من حوض التبخر في منطقة الدراسة للمدة (1980-2016)	18-3
100	المساحة والنسبة المئوية لكمية التبخر (مم) من حوض التبخر في منطقة الدراسة	19-3
103	المجموع الشهري لكمية التبخر - نتج (مم) في منطقة الدراسة للمدة (1980-2016)	20-3
104	المساحة والنسبة المئوية لكمية التبخر - نتج (مم) في منطقة الدراسة	21-3
106	المجموع الشهري لكمية العجز المائي (مم) في منطقة الدراسة للمدة (1980 - 2016)	22-3
107	المساحة والنسبة المئوية لكمية العجز المائي (مم) في منطقة الدراسة	23-3
110	معدل تكرار العواصف الغبارية (يوم) في منطقة الدراسة للمدة (1980-2016)	24-3
111	المساحة والنسبة المئوية للعواصف الغبارية (يوم) في منطقة الدراسة	25-3
113	معدل تكرار الغبار المتصاعد (يوم) في منطقة الدراسة للمدة (1980-2016)	26-3
115	المساحة والنسبة المئوية للغبار المتصاعد (يوم) في منطقة الدراسة	27-3
117	تقسيم مناطق الجفاف حسب معامل الجفاف (D)	28-3
120	معمل الجفاف السنوي (D) في منطقة الدراسة للمدة (1980-2016)	29-3
121	نوع المناخ ومعامل الجفاف للأشهر المطيرة وغير المطيرة وفق معادلة ديمارتون في منطقة الدراسة للمدة (1980-2016)	30-3
122	المساحة والنسبة المئوية لظاهرة الجفاف في منطقة الدراسة	31-3
128	أطوال الخطيات والاستطاليات وتكرارها العددي ونسبتها المئوية حسب الدرجات الاتجاهية	1-4
134	عملية التجوية ومعادلتها	2-4
140	العلاقة بين سرعة الرياح وحجم حبات الرمل المنقولة	3-4
145	النتائج الرسوبية وفق معادلة (Langbien and schumm.1958) في منطقة الدراسة	4-4
146	صنف (F-A-I) نتائج المعادلة الى خمسة مستويات	5-4
147	قابلية المطر على التعرية حسب مؤشر فورنييه - ارنولدس لمجموع الامطار الشهرية لمحطة السماوة	6-4
148	قابلية المطر على التعرية حسب مؤشر فورنييه - ارنولدس لمجموع الامطار الشهرية لمحطة الناصرية	7-4
149	قابلية المطر على التعرية حسب مؤشر فورنييه - ارنولدس لمجموع الامطار الشهرية لمحطة النجف	8-4
150	قابلية المطر على التعرية حسب مؤشر فورنييه - ارنولدس لمجموع الامطار الشهرية لمحطة الديوانية	9-4
152	المساحة والنسبة المئوية لمؤشر (F-A-I) للتعرية المطرية في منطقة الدراسة	10-4
154	درجات التعرية الريحية حسب معادلة (chepil)	11-4
154	قرائن القابلية المناخية للتعرية الريحية في منطقة الدراسة	12-4
156	المساحة والنسبة المئوية لقابلية التعرية الريحية (C) في منطقة الدراسة	13-4
158	قرائن القابلية المناخية للتعرية الريحية السنوية وفق معادلة (chepil) لمحطة السماوة	14-4
159	قرائن القابلية المناخية للتعرية الريحية السنوية وفق معادلة (chepil) لمحطة الناصرية	15-4
160	قرائن القابلية المناخية للتعرية الريحية السنوية وفق معادلة (chepil) لمحطة النجف	16-4
161	قرائن القابلية المناخية للتعرية الريحية السنوية وفق معادلة (chepil) لمحطة الديوانية	17-4



162	درجات تقدير التعرية المائية حسب نموذج جافر يلوفيك	18-4
163	فئات مستويات التعرية تبعاً لقيمة معامل التعرية (Z).	19-4
163	العوامل المستخدمة لاستخراج قيمة (Z)	20-4
164	بعض القيم المستخدمة لاستخراج قيمة (W) في منطقة الدراسة	21-4
170	المساحة والنسبة المئوية للأشكال الأرضية في منطقة الدراسة	22-4
178	المساحة والنسبة المئوية للأهوار في منطقة الدراسة	23-4
181	الأبعاد المورفولوجية للجزر النهرية في منطقة الدراسة	24-4
184	التحليل المورفومتري والإحصائي لأبعاد الكثبان الهلالية في منطقة الدراسة	25-4
186	التحليل المورفومتري والإحصائي لأبعاد الكثبان الطولية في منطقة الدراسة	26-4
192	التحليل المورفومتري والإحصائي لأبعاد الكثبان النباك في منطقة الدراسة	27-4
198	درجات قوة معامل الارتباط	1-5
200	المتغير المعتمد ( $y_1$ التعرية الريحية) و( $y_2$ التعرية المطرية) والمتغيرات المستقلة ( $x_i$ ) وفقاً لدراسة العلاقة في محطة السماوة	2-5
202	قيم معامل الارتباط البسيط (Pearson) بين ( $y_1$ ) التعرية الريحية والمتغيرات المستقلة (المفسرة) والمؤثرة في محطة السماوة للمدة (1980-2016)	3-5
203	نموذج الانحدار الخطي المتعدد بين المتغير المعتمد ( $y_1$ ) التعرية الريحية والمتغيرات المستقلة لمحطة السماوة للمدة (1980-2016)	4-5
204	تحليل التباين (ANOVA) بين التعرية الريحية والمتغيرات المستقلة لمحطة السماوة للمدة (1980-2016)	5-5
205	قيم معامل التحديد المتعدد بين التعرية الريحية والمتغيرات المستقلة لمحطة السماوة للمدة (1980-2016)	6-5
206	قيم معامل الارتباط البسيط (Pearson) بين ( $y_2$ ) التعرية المطرية والمتغيرات المستقلة (المفسرة) والمؤثرة في محطة السماوة للمدة (1980-2016)	7-5
207	نموذج الانحدار الخطي المتعدد بين المتغير المعتمد ( $y_2$ ) التعرية المطرية والمتغيرات المستقلة ( $x_i$ ) لمحطة السماوة للمدة (1980-2016)	8-5
208	تحليل التباين ANOVA بين التعرية المطرية والمتغيرات المستقلة لمحطة السماوة للمدة (1980-2016)	9-5
208	قيم معامل التحديد المتعدد بين التعرية المطرية والمتغيرات المستقلة لمحطة السماوة للمدة (1980-2016)	10-5
209	قيم معامل الارتباط البسيط (Pearson) بين ( $y_1$ ) التعرية الريحية والمتغيرات المستقلة المفسرة والمؤثرة في محطة الناصرية للمدة (1980-2016)	11-5
210	المتغير المعتمد ( $y_1$ التعرية الريحية) و( $y_2$ التعرية المطرية) والمتغيرات المستقلة ( $x_i$ ) وفقاً لدراسة العلاقة في محطة الناصرية	12-5
212	نموذج الانحدار الخطي المتعدد بين المتغير المعتمد ( $y_1$ ) التعرية الريحية والمتغيرات المستقلة لمحطة الناصرية للمدة (1980-2016)	13-5
213	تحليل التباين ANOVA بين التعرية الريحية والمتغيرات المستقلة لمحطة الناصرية للمدة (1980-2016)	14-5
214	قيم معامل التحديد المتعدد بين التعرية الريحية والمتغيرات المستقلة لمحطة الناصرية للمدة (1980-2016)	15-5
215	قيم معامل الارتباط البسيط (Pearson) بين ( $y_2$ ) التعرية المطرية والمتغيرات المستقلة (المفسرة) والمؤثرة لمحطة الناصرية للمدة (1980-2016)	16-5
216	نموذج الانحدار الخطي المتعدد بين المتغير المعتمد ( $y_2$ ) التعرية المطرية والمتغيرات المستقلة ( $x_i$ ) لمحطة الناصرية للمدة (1980-2016)	17-5
217	تحليل التباين ANOVA بين التعرية المطرية والمتغيرات المستقلة لمحطة الناصرية للمدة (1980-2016)	18-5
217	قيم معامل التحديد المتعدد بين التعرية المطرية والمتغيرات المستقلة لمحطة الناصرية للمدة بين (1980-2016)	19-5
218	قيم معامل الارتباط البسيط (Pearson) بين ( $y_1$ ) التعرية الريحية والمتغيرات المستقلة (المفسرة) والمؤثرة لمحطة النجف للمدة (1980-2016)	20-5
219	المتغير المعتمد ( $y_1$ التعرية الريحية) و( $y_2$ التعرية المطرية) والمتغيرات المستقلة ( $x_i$ ) وفقاً لدراسة العلاقة في محطة النجف	21-5
221	نموذج الانحدار الخطي المتعدد بين المتغير المعتمد ( $y_1$ ) التعرية الريحية والمتغيرات المستقلة لمحطة النجف للمدة (1980-2016)	22-5
222	تحليل التباين (ANOVA) بين التعرية الريحية والمتغيرات المستقلة لمحطة النجف للمدة (1980-2016)	23-5
222	قيم معامل التحديد المتعدد بين التعرية الريحية والمتغيرات المستقلة لمحطة النجف للمدة (1980-2016)	24-5

223	قيم معامل الارتباط البسيط ( Pearson ) بين $(y_2)$ التعرية المطرية والمتغيرات المستقلة (المفسرة) والمؤثرة لمحطة النجف للمدة (2016-1980)	25-5
224	نموذج الانحدار الخطي المتعدد بين المتغير المعتمد $(y_2)$ التعرية المطرية والمتغيرات المستقلة $(X_i)$ لمحطة النجف للمدة (2016- 1980)	26-5
225	تحليل التباين (ANOVA) بين التعرية المطرية والمتغيرات المستقلة لمحطة النجف للمدة (2016-1980)	27-5
225	قيم معامل التحديد المتعدد بين التعرية المطرية والمتغيرات المستقلة لمحطة النجف للمدة (2016-1980)	28-5
226	قيم معامل الارتباط البسيط Pearson بين $y_1$ التعرية الريحية والمتغيرات المستقلة (المفسرة) والمؤثرة في محطة الديوانية للمدة (2016- 1980)	29-5
227	المتغير المعتمد $y_1$ التعرية الريحية و $y_2$ التعرية المطرية) والمتغيرات المستقلة $(X_i)$ وفقا لدراسة العلاقة في محطة الديوانية	30-5
227	نموذج الانحدار الخطي المتعدد بين المتغير المعتمد $(y_1)$ التعرية الريحية والمتغيرات المستقلة لمحطة الديوانية للمدة (2016-1980)	31-5
230	تحليل التباين(ANOVA) بين التعرية الريحية والمتغيرات المستقلة لمحطة الديوانية للمدة (2016-1980)	32-5
230	قيم معامل التحديد المتعدد بين التعرية الريحية والمتغيرات المستقلة لمحطة الديوانية للمدة (2016-1980)	33-5
231	قيم معامل الارتباط البسيط ( Pearson ) بين $(y_2)$ التعرية المطرية والمتغيرات المستقلة (المفسرة) والمؤثرة في محطة الديوانية للمدة (2016-1980)	34-5
232	نموذج الانحدار الخطي المتعدد بين المتغير المعتمد $(y_2)$ التعرية المطرية والمتغيرات المستقلة $(X_i)$ لمحطة الديوانية للمدة (2016-1980)	35-5
233	تحليل التباين (ANOVA) بين التعرية المطرية والمتغيرات المستقلة لمحطة الديوانية للمدة (2016-1980)	36-5
233	قيم معامل التحديد المتعدد بين التعرية المطرية والمتغيرات المستقلة لمحطة الديوانية للمدة (2016-1980)	37-5

### قائمة الاشكال

رقم الصفحة	عنوان الشكل	ت
12	المساحة والنسبة المئوية (%) للتكوينات الجيولوجية في منطقة الدراسة	1-2
26	النسبة المئوية (%) لمستويات السطح في منطقة الدراسة	2-2
27	النسبة المئوية (%) للاتجاهات في منطقة الدراسة	3-2
29	النسبة المئوية للاتجاهات الانحدار في منطقة الدراسة	4-2
50	النسبة المئوية (%) لأصناف الترب في منطقة الدراسة	5-2
62	معدلات درجة الحرارة في الشرق الأوسط من 14000-2000 سنة ق.م	1-3
63	التساقط في العراق من سنة (14000 - 200) سنة ق.م	2-3
69	السطوع الشمسي الفعلي (ساعة / يوم) في منطقة الدراسة للمدة (2016-1980)	3-3
69	النسبة المئوية (%) لسطوع الشمسي الفعلي (ساعة/ يوم) في منطقة الدراسة	4-3
72	معدل درجة الحرارة الاعتيادية (م) في منطقة الدراسة للمدة (1980 – 2016)	5-3
72	النسبة المئوية (%) لدرجة الحرارة الاعتيادية (م) في منطقة الدراسة	6-3
76	معدل درجة الحرارة العظمى (م) في منطقة الدراسة للمدة (1980 – 2016)	7-3
76	النسبة المئوية (%) لدرجة الحرارة العظمى (م) في منطقة الدراسة	8-3
78	معدل درجة الحرارة الصغرى (م) في منطقة الدراسة للمدة (1980 – 2016)	9-3

78	النسبة المئوية (%) لدرجة الحرارة الصغرى (م) في منطقة الدراسة	10-3
81	معدل سرعة الرياح (م/ثا) في منطقة الدراسة للمدة (19080 – 2016)	11-3
83	نسبة تكرار اتجاه الرياح في منطقة الدراسة للمدة (1980 – 2016)	12-3
82	النسبة المئوية (%) لسرعة الرياح في منطقة الدراسة	13-3
85	النسبة المئوية (%) للرطوبة النسبية في منطقة الدراسة	14-3
86	معدل الرطوبة النسبية (%) في منطقة الدراسة للمدة (1980 – 2016)	15-3
88	النسبة المئوية (%) لكمية الامطار (ملم) في منطقة الدراسة	16-3
89	المجموع الشهري لكمية الامطار (ملم) في منطقة الدراسة للمدة (1980 – 2016)	17-3
92	مجموع الامطار الفعالة (ملم) في منطقة الدراسة للمدة (1980 - 2016)	18-3
94	النسبة المئوية (%) لكميات الامطار الفعالة (ملم) في منطقة الدراسة	19-3
97	المجموع الشهري للشدة المطرية (ملم) لمحطة السماوة	20-3
97	المجموع الشهري للشدة المطرية (ملم) لمحطة الناصرية	21-3
97	المجموع الشهري للشدة المطرية (ملم) لمحطة الديوانية	22-3
98	المجموع الشهري لكميات التبخر (ملم) من حوض التبخر في منطقة الدراسة للمدة (1980-2016)	23-3
101	النسبة المئوية لكمية التبخر (ملم) من حوض التبخر في منطقة الدراسة	24-3
103	المجموع الشهري لكمية التبخر – نتح (ملم) في منطقة الدراسة للمدة (1980-2016)	25-3
105	النسبة المئوية لكمية التبخر – نتح (ملم) في منطقة الدراسة	26-3
106	المجموع الشهري لكمية العجز المائي (ملم) في منطقة الدراسة للمدة (1980 – 2016)	27-3
107	النسبة المئوية (%) لكمية العجز المائي (ملم) في منطقة الدراسة	28-3
110	معدل تكرار العواصف الغبارية (يوم) في منطقة الدراسة للمدة (1980- 2016)	29-3
111	النسبة المئوية (%) للعواصف الغبارية (يوم) في منطقة الدراسة	30-3
114	معدل تكرار الغبار المتصاعد (يوم) في منطقة الدراسة للمدة (1980- 2016)	31-3
115	النسبة المئوية (%) للغبار المتصاعد (يوم) في منطقة الدراسة	32-3
119	معامل الجفاف السنوي ( D ) في منطقة الدراسة للمدة (1980- 2016)	33-3
119	النسبة المئوية (%) لظاهرة الجفاف في منطقة الدراسة	34-3
126	المخطط الإشعاعي التكراري للظواهر الخطية في منطقة الدراسة	1-4
127	المخطط الإشعاعي الطولي للظواهر الخطية في منطقة الدراسة	2-4
144	النتائج الرسوبية (E) وفق معادلة (Langbien and schumm.1958) في منطقة الدراسة	3-4
147	تباين المعدل الشهري لقابلية التعرية المطرية وفق معادلة ( F-A-I ) في محطة السماوة	4-4
148	تباين المعدل الشهري لقابلية التعرية المطرية وفق معادلة ( F-A-I ) في محطة الناصرية	5-4
149	تباين المعدل الشهري لقابلية التعرية المطرية وفق معادلة ( F-A-I ) في محطة النجف	6-4
150	تباين المعدل الشهري لقابلية التعرية المطرية وفق معادلة ( F-A-I ) في محطة الديوانية	7-4
152	النسبة المئوية (%) لمؤشر (F-A-I) للتعرية المطرية في منطقة الدراسة	8-4

156	النسبة المئوية (%) لقابلية التعرية الربحية في منطقة الدراسة	9-4
170	النسبة المئوية (%) للأشكال الأرضية في منطقة الدراسة	10-4
178	النسبة المئوية (%) للأهوار في منطقة الدراسة	11-4
186	العلاقة بين الطول والعرض للكثبان الهلالية في منطقة الدراسة	12-4
186	العلاقة بين الطول والارتفاع للكثبان الهلالية في منطقة الدراسة	13-4
186	العلاقة بين العرض والارتفاع للكثبان الهلالية في منطقة الدراسة	14-4
190	العلاقة بين الطول والعرض للكثبان الطولية في منطقة الدراسة	15-4
190	العلاقة بين الطول والارتفاع للكثبان الطولية في منطقة الدراسة	16-4
190	العلاقة بين العرض والارتفاع للكثبان الطولية في منطقة الدراسة	17-4
194	العلاقة بين الطول والعرض للكثبان النباك في منطقة الدراسة	18-4
194	العلاقة بين الطول والارتفاع للكثبان النباك في منطقة الدراسة	19-4
194	العلاقة بين العرض والارتفاع للكثبان النباك في منطقة الدراسة	20-4

## قائمة الخرائط

رقم الصفحة	عنوان الخريطة	ت
5	موقع المحطات المناخية وبعدها عن مركز منطقة الدراسة	1-1
6	الموقع الجغرافي لمنطقة الدراسة من العراق	2-1
13	التوزيعات السطحية للمكاشف الصخرية في منطقة الدراسة	1-2
20	الانطقة التكتونية لمنطقة الدراسة	2-2
21	موقع منطقة الدراسة حسب الانطقة التكتونية	3-2
23	الارتفاعات المتساوية لمنطقة الدراسة	4-2
24	انطقة فئات الارتفاع (متر) في منطقة الدراسة	5-2
26	فئات الانحدار لمنطقة الدراسة	6-2
30	اتجاهات الانحدار لسطح لمنطقة الدراسة	7-2
31	الموارد المائية السطحية في منطقة الدراسة	8-2
34	التوزيع الجغرافي لجداول الري المتفرعة من شط الديوانية في محافظة القادسية	9-2
36	التوزيع الجغرافي لجداول الري الرئيسية المتفرعة من شط الشامية في محافظة القادسية	10-2
38	التوزيع الجغرافي لجداول الري الرئيسية المتفرعة من نهر الفرات في محافظة المثنى	11-2
41	مواقع الابار في منطقة الدراسة	12-2
45	التباين المكاني لعمق الابار (متر) في منطقة الدراسة	13-2
45	التباين المكاني للمستويات الثابتة للمياه الجوفية (م) في منطقة الدراسة	14-2
46	التباين المكاني للمستويات المتحركة (م) في منطقة الدراسة	15-2
46	التباين المكاني للإنتاجية (م/ثا) في منطقة الدراسة	16-2
51	اصناف الترب في منطقة الدراسة	17-2
56	توزيع النبات الطبيعي في منطقة الدراسة	18-2
70	التباين المكاني للسطوع الشمسي الفعلي السنوي (ساعة/يوم) في منطقة الدراسة	1-3
74	التباين المكاني لمعدلات درجة الحرارة الاعتيادية السنوية (م) في منطقة الدراسة	2-3
75	التباين المكاني لمعدلات درجة الحرارة العظمى السنوية (م) في منطقة الدراسة	3-3
79	التباين المكاني لمعدلات درجة الحرارة الصغرى السنوية (م) في منطقة الدراسة	4-3



84	التباين المكاني للسرعة الرياح (م/ثا) في منطقة الدراسة	5-3
87	التباين المكاني للرطوبة النسبية (%) في منطقة الدراسة	6-3
90	التباين المكاني لكميات الامطار (ملم) في منطقة الدراسة	7-3
93	التباين المكاني لكميات الامطار الفعالة (ملم) في منطقة الدراسة	8-3
100	التباين المكاني للكمية التبخر (ملم) من حوض التبخر في منطقة الدراسة	9-3
104	التباين المكاني لكمية التبخر - نتح (ملم) في منطقة الدراسة	10-3
108	التباين المكاني للكمية العجز المائي (ملم) في منطقة الدراسة	11-3
112	التباين المكاني للعواصف الغبارية (يوم) في منطقة الدراسة	12-3
114	التباين المكاني للغبار المتصاعد (يوم) في منطقة الدراسة	13-3
122	التباين المكاني لظاهرة الجفاف في منطقة الدراسة	14-3
127	التراكيب الخطية في منطقة الدراسة	1-4
151	نتائج مؤشر فورنية (F-A-I) للتعرية المطرية في منطقة الدراسة	2-4
153	التباين المكاني لمؤشر فورنية (F-A-I) للتعرية المطرية في منطقة الدراسة	3-4
155	نتائج معادلة (chepil) للتعرية الريحية في منطقة الدراسة	4-4
157	التباين المكاني لقابلية المناخية لتعرية الريحية (C) في منطقة الدراسة	5-4
165	نتائج نموذج جافريلوفيك (W) لتقدير التعرية المائية في منطقة الدراسة	6-4
169	الاشكال الارضية (الجيومورفية) في منطقة الدراسة	7-4
179	التوزيع الجغرافي للأهوار في منطقة الدراسة	8-4
180	الجزر النهرية في منطقة الدراسة	9-4
185	التوزيع المكاني للكثبان الهلالية في منطقة الدراسة	10-4
189	التوزيع المكاني للكثبان الطولية في منطقة الدراسة	11-4
193	التوزيع المكاني للكثبان النباك في منطقة الدراسة	12-4

### قائمة صور الدراسة

رقم الصفحة	عنوان الصورة	ت
131	ظاهرة تقشر الصخور في منطقة الدراسة	1-4
132	التجوية بفعل الحيوانات في اتجاه الشمالي الغربي من منطقة الدراسة	2-4 أ
132	تمثل الرعي في اتجاه الشمالي الغربي والجنوب الغربي من منطقة الدراسة	2-4 ب
133	التجوية بفعل الترطيب والتجفيف في اتجاه الجنوب الغرب من منطقة الدراسة	3-4
138	تعرية المسيلات المائية في شمال غرب منطقة الدراسة	4-4
138	التعرية الاخدودية في جنوب غرب منطقة الدراسة	5-4
167	أحدى الهضاب في منطقة الدراسة	6-4
167	الموائد الصخرية في اتجاه الشمال الغرب من منطقة الدراسة	7-4
168	التلال المنفردة في اتجاه الشمال الغربي من منطقة الدراسة	8-4
171	الأراضي الرديئة في اتجاه الجنوبي الشرقي من منطقة الدراسة	9-4
172	الأراضي الجرداء في الاجزاء الوسطى والغربية من منطقة الدراسة	10-4
173	الاخاديد في اتجاه الشمالي الشرقي من منطقة الدراسة	11-4
173	منخفضات مملوءة في اتجاه الجنوبي الغربي من منطقة الدراسة	12-4
175	تمثل جزء من السهل الفيضي في منطقة الدراسة	13-4
176	كتوف الانهار ضمن منطقة الدراسة	14-4
177	بحيرة ساوه	15-4
182	الكثبان الرملية في منطقة الدراسة	16-4

183	الكثبان الهلالية في اتجاه الشمالي الغربي من منطقة الدراسة	17-4
187	الكثبان الطولية في اتجاه الجنوبي الغربي من منطقة الدراسة	18-4
191	الكثبان النباك في منطقة الدراسة	19-4
195	علامات النيم الصحراوي في منطقة الدراسة	20-4
196	السياخ في منطقة الدراسة	21-4

## قائمة الملاحق

رقم الصفحة	عنوان الملحق	ت
252	العناصر المؤثرة على الجفاف في محطة السماوة للمدة (1980 – 2016)	1
253	العناصر المؤثرة على الجفاف في محطة الناصرية للمدة (1980 – 2016)	2
254	العناصر المؤثرة على الجفاف في محطة النجف للمدة (1980 – 2016)	3
255	العناصر المؤثرة على الجفاف في محطة الديوانية للمدة (1980 – 2016)	4
256	المعدلات الشهرية والمجموع السنوي للأمطار الفعالة (ملم) وفق طريقة سلخوزبروم لمحطة السماوة	5
257	المعدلات الشهرية والمجموع السنوي للأمطار الفعالة (ملم) وفق طريقة سلخوزبروم لمحطة الناصرية	6
258	المعدلات الشهرية والمجموع السنوي للأمطار الفعالة (ملم) وفق طريقة سلخوزبروم لمحطة النجف	7
259	المعدلات الشهرية والمجموع السنوي للأمطار الفعالة (ملم) وفق طريقة سلخوزبروم لمحطة الديوانية	8
260	المعدلات الشهرية والمجموع السنوي للتبخر – نتج الكامن (ملم) وفق طريقة بنمان مونتث لمحطة السماوة	9
261	المعدلات الشهرية والمجموع السنوي للتبخر – نتج الكامن (ملم) وفق طريقة بنمان مونتث لمحطة الناصرية	10
262	المعدلات الشهرية والمجموع السنوي للتبخر – نتج الكامن (ملم) وفق طريقة بنمان مونتث لمحطة النجف	11
263	المعدلات الشهرية والمجموع السنوي للتبخر – نتج الكامن (ملم) وفق طريقة بنمان مونتث لمحطة الديوانية	12
264	الموازنة المائية المناخية (ملم) وفق معادلة بنمان مونتث لمنظمة الاغذية والزراعة لمحطة السماوة	13
265	الموازنة المائية المناخية (ملم) وفق معادلة بنمان مونتث لمنظمة الاغذية والزراعة لمحطة الناصرية	14
266	الموازنة المائية المناخية (ملم) وفق معادلة بنمان مونتث لمنظمة الاغذية والزراعة لمحطة النجف	15
267	الموازنة المائية المناخية (ملم) وفق معادلة بنمان مونتث لمنظمة الاغذية والزراعة لمحطة الديوانية	16
268	قابلية المطر على التعرية حسب مؤشر فورنيه – ارنولدس لمجموع الامطار السنوية لمحطة السماوة	17
269	قابلية المطر على التعرية حسب مؤشر فورنيه – ارنولدس لمجموع الامطار السنوية لمحطة الناصرية	18
270	قابلية المطر على التعرية حسب مؤشر فورنيه – ارنولدس لمجموع الامطار السنوية لمحطة النجف	19
271	قابلية المطر على التعرية حسب مؤشر فورنيه – ارنولدس لمجموع الامطار السنوية لمحطة الديوانية	20
272	نتائج انموذج التحليل الاحصائي الوصفي للعلاقة بين التعرية الريحية ( $y_1$ ) والتعرية المطرية ( $y_2$ ) والمتغيرات (المفسرة) لمحطات منطقة الدراسة	21
276	نتائج انموذج التحليل الاحصائي الوصفي والكمي للعلاقة بين التعرية الريحية ( $y_1$ ) والتعرية المطرية ( $y_2$ ) والمتغيرات المستقلة المؤثرة به	22
276	انموذج التحليل الاحصائي الوصفي والكمي للعلاقة بين التعرية الريحية ( $y_1$ ) والمتغيرات المستقلة لمحطة السماوة	1-22
278	انموذج التحليل الاحصائي الوصفي والكمي للعلاقة بين التعرية المطرية ( $y_2$ ) والمتغيرات المستقلة لمحطة السماوة	2-22
279	انموذج التحليل الاحصائي الوصفي والكمي للعلاقة بين التعرية الريحية ( $y_1$ ) والمتغيرات المستقلة لمحطة الناصرية	3-22
280	انموذج التحليل الاحصائي الوصفي والكمي للعلاقة بين التعرية المطرية ( $y_2$ ) والمتغيرات المستقلة لمحطة الناصرية	4-22
281	انموذج التحليل الاحصائي الوصفي والكمي للعلاقة بين التعرية الريحية ( $y_1$ ) والمتغيرات المستقلة لمحطة النجف	5-22
282	انموذج التحليل الاحصائي الوصفي والكمي للعلاقة بين التعرية المطرية ( $y_2$ ) والمتغيرات المستقلة لمحطة النجف	6-22
283	انموذج التحليل الاحصائي الوصفي والكمي للعلاقة بين التعرية الريحية ( $y_1$ ) والمتغيرات المستقلة لمحطة الديوانية	7-22
284	انموذج التحليل الاحصائي الوصفي والكمي للعلاقة بين التعرية المطرية ( $y_2$ ) والمتغيرات المستقلة لمحطة الديوانية	8-22

## المستخلص

تعد هذه الدراسة من الدراسات الجيومورفية الحديثة التي تدخل ضمن فلسفة المدرسة الألمانية (الجيومورفولوجيا المناخية) ، والتي تناولت (أثر الخصائص المناخية في تكوين أشكال سطح الأرض بين محافظتي القادسية وذي قار). التي تقع ضمن الرصيف المستقر وغير المستقر وضمن منطقة السهل الفيضي والهضبة الغربية وتبلغ مساحتها تقريباً (15241 كم<sup>2</sup>) هذا الموقع التكتوني للمنطقة ظهرت فيه تكوينات ترجع الى الزمن الثالث المتمثلة بتكوين (الفرات والزهرة) و ترسبات ترجع الى الزمن الرباعي والمتمثلة بـ (ترسبات المراوح الطينية ، السهل الفيضي ، المنخفضات الضحلة ، الصفائح الرملية ، الكثبان الرملية ، الاهوار ، ترسبات العائدة بفعل الانسان )، كما تناولت الدراسة الخصائص التضاريسية (الارتفاعات) التي يتراوح ارتفاعها بين (8 ، 79 م) وبأشكال موزعة ومتفرقة ضمن المنطقة . اما خصائص الأنحدار فتتراوح فئاتها بين (0 - 30 درجة واكثر) وينسب واتجاهات متفرقة من المنطقة. كما تبين من الدراسة ان الموارد المائية تتجه نحو الانخفاض في مناسيب انهار المنطقة بسبب تأثير الخصائص المناخية الحالية وزيادة مظاهر الجفاف وزيادة ملوحة الابار المحفورة ضمن المنطقة والتي تتراوح نسبة املاحها بين (37320، 777) جزء بالمليون وبعضها تصلح لمختلف النشاطات البشرية والاخرى لا تصلح ونتيجة لذلك النشاط تراجع الانتاج الزراعي في المنطقة، وصنفت الدراسة الترب الى عدة اصناف وتعد ترب السهل الفيضي الاكثر انتشارا في المنطقة، وهناك تنوع في النبات الطبيعي المتمثلة (نباتات ضفاف الانهار، الاهوار والمستنقعات ، النباتات الصحراوية) رغم قلة الامطار وزيادة ظاهرة الجفاف، واطهرت الدراسة ان الخصائص المناخية القديمة (البلايوستوسين) كان لها دور واضح في رسم صورة اللاندسكيب الطبيعي ومتأثر بالخصائص المناخية الحالية وهذا يتفق مع الحقائق الجيومورفية التي أكدت معظم المظاهر الارضية ترجع الى الزمن الرباعي (البلايوستوسين)، وبعدها تم دراسة تحليلية وتفصيلية توضح التباين المكاني للعناصر المناخية الحالية المتمثلة (السطوع الفعلي ، درجات الحرارة، الرياح ، الرطوبة النسبية، الامطار ، الامطار الفعالة، التبخر ، التبخر - نتح، العجز المائي) والظواهر المناخية المتمثلة ( العواصف الغبارية، المتصاعد ، ظاهرة الجفاف) لجميع المحطات الدراسة ، ومن خلالها تبين وجود تذبذب في الخصائص والظواهر المناخية وانعكاسها على نوع المناخ الجاف وشبه الجاف السائدة في المنطقة وفقا تطبيق معادلات (معامل الجفافD، وديمارتون) وانعكس ايضا على العمليات الجيومورفية في ارتفاع وانخفاض قيم التعرية الريحية والمطرية، وامتازت الدراسة بوجود علاقة ارتباط قوية جداً بين الخصائص المناخية الحالية والعمليات الجيومورفية السائدة في المنطقة لاسيما التجوية والتعرية الريحية والمطرية باستخدام الاساليب الاحصائية التي تعطي اكثر وضوحاً وتفسيراً في تشكيل المظاهر الارضية التي تبين في الخريطة الجيومورفية والمتمثلة بـ (الهضاب ، التلال، الاراضي الرديئة، الاراضي الجرداء، الاخاديد، منخفضات مملوءة ، السهل الفيضي ، كتوف الانهار، بحيره ساوه، الاهوار، السباخ ، الكثبان الرملية المتمثلة بـ(الهالية، الطولية ، النباك، علامات النيم

الصحراوي) والتي توزعت بشكل متباين في المنطقة . وهناك اختلاف أيضاً في الخصائص المورفومترية لأنواع الكثبان الرملية المختلفة.

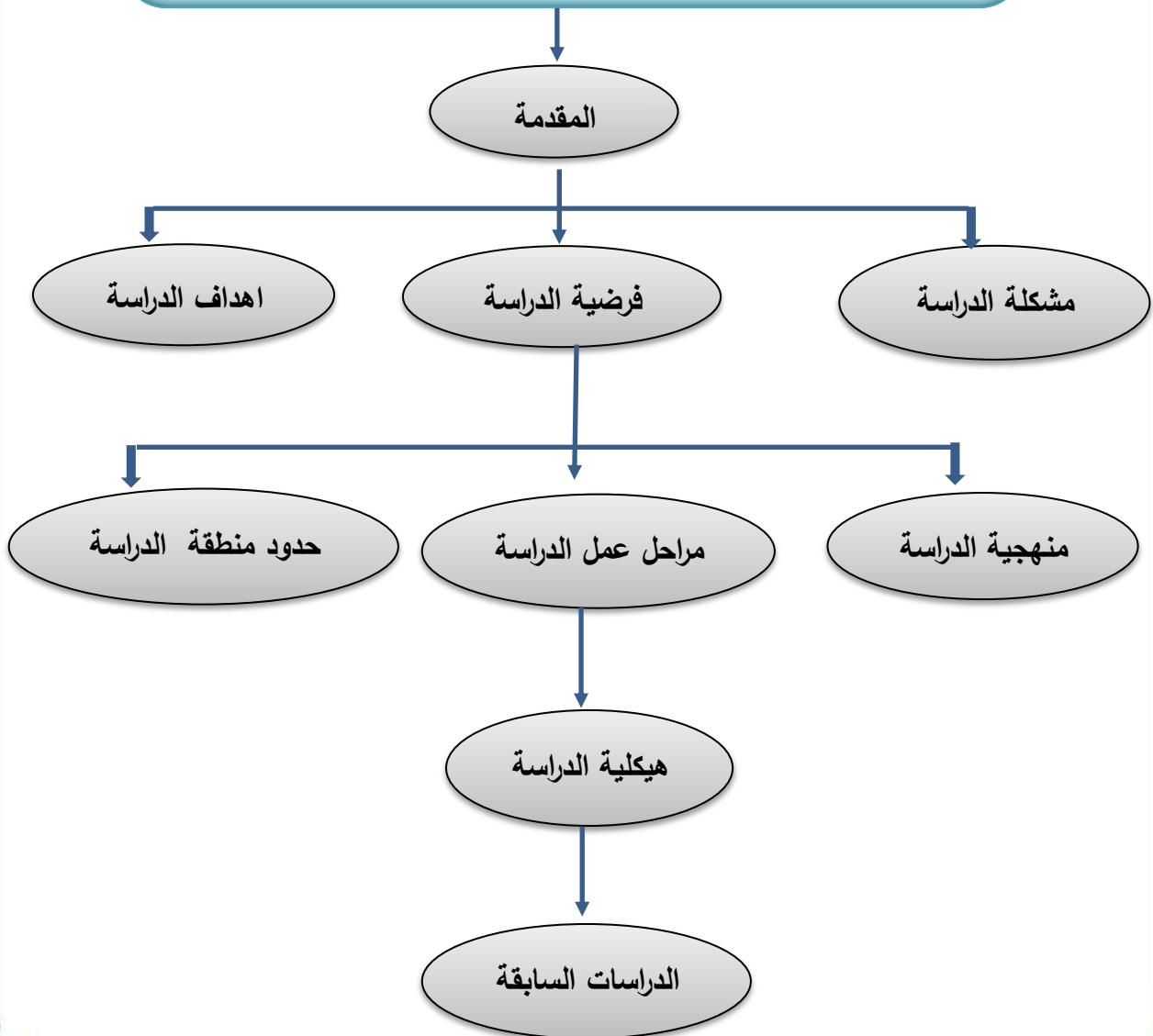
تم تطبيق النماذج الاحصائية لغرض معرفة العوامل المفسرة والمؤثرة في التعرية الريحية والمطرية ومن خلال طبيعة العلاقات الاحصائية بين المتغيرات احصائياً وباستخدام الاساليب (تحليل الارتباط، تحليل الانحدار المتعدد، معامل التحديد المتعدد  $R^2$ ) ، اما نتائج التحليل الكمي لمحطات الدراسة فتم التوصل الى وجود علاقات موجبة طردية وبقيمة  $R^2$  (80 ، 83 ، 80 ، 94%) بين الخصائص المناخية المذكورة (سرعة الرياح ، الجفاف، التبخر - نتح ، العجز المائي) متداخلة مع بعضها وتأثيرها على العملية الجيومورفية لاسيما التعرية الريحية . اذ أتضح هناك علاقات عكسية ضعيفة بين التعرية الريحية والمتغيرات المذكورة (الامطار ، الامطار الفعالة ، الرطوبة النسبية).

اما المتغير التابع الثاني وهو التعرية المطرية والمتأثرة فعلا بالخصائص المناخية المذكورة (السطوع الفعلي، التبخر، الامطار ، الامطار الفعالة ، الرطوبة النسبية) لمحطات الدراسة وبعلاقة موجبة طردية وبقيمة  $R^2$  (96، 97، 96، 81%) اذ يتضح هناك علاقة عكسية ضعيفة بين التعرية المطرية والمتغيرات المذكور (التبخر، الجفاف ، الرطوبة النسبية) . وهناك متغيرات بنسب متفرقة ترجع الى عوامل اخرى لم يمكن حصرها في نماذج الدراسة . واثبتت معنوية كل الاختبارات الاحصائية (f-test، t-test) المحسوبة اكبر من القيمة المجدولة بمستوى معنوي sig (0.01) لكل المتغيرات.



# الفصل الاول

## الاطار النظري للدراسة



المقدمة Introduction :

تعد الخصائص المناخية من العوامل الطبيعية التي لها دور مهم في آلية تشكيل وتغير المظاهر الأرضية. إذ إن المظهر الأرضي مر بمراحل متعددة من التغيرات المناخية القديمة ، ولا يمكن تفسيرها دون تقدير التغير المناخي من خلال عصر البلايستوسين وعصر الهولوسين، ونتيجة لعلاقة الخصائص المناخية والعمليات الجيومورفية ومن ذلك ظهرت الجيومورفولوجيا المناخية والتي تتناول الاختلافات المساحية لتوزيع المظاهر الأرضية وعلاقتها بالعناصر والظواهر المناخية لاسيما (السطوع الشمسي الفعلي ، درجات الحرارة ، سرعة واتجاه الرياح ، الامطار ، التبخر، العجز المائي، الجفاف، العواصف الغبارية). ودورها في العمليات الجيومورفية كالتجوية والتعرية والترسيب بنوعيهما الريحية والمائية). تناولت الدراسة أهمية دور العناصر والظواهر المناخية في العمليات الجيومورفية وانعكاسها على رسم صورة المظهر الارضي في المنطقة ، اذ تميزت المنطقة بتنوع وحداتها الجيومورفية في ضوء العوامل الطبيعية التي تأثرت عبر الازمنة المناخية القديمة والحديثة وظهرت المظاهر الأرضية ذات المنشأ الريحي والمائي، وبالتالي توضحت العلاقة بين الخصائص المناخية والعمليات الجيومورفية لرسم صورة المظهر الارضي في منطقة الدراسة ، ولتحقيق اهداف الدراسة يتم من خلال استخدام المعادلات الرياضية والاساليب الاحصائية مع الاستفادة من التقنيات الحديثة (GIS)، (R.S)، (Spss) وساهمت الدراسة الميدانية في التحليل المورفومترية والاحصائي للمظاهر الأرضية في منطقة واستخلاص الخرائط للخروج بنتائجها العلمية الدقيقة .

1-1 مشكلة الدراسة Problem of Study

- تتمثل مشكلة الدراسة الرئيسة بالسؤال الاتي :-
- (ما علاقة الخصائص المناخية في منطقة الدراسة بتشكيل المظاهر الأرضية فيها ) ويمكن تقسيم هذه المشكلة الى عدد من المشكلات الثانوية كالآتي :
- 1 - ما الخصائص المناخية (القديمة والحالية) السائدة في منطقة الدراسة التي ادت الى التباين في تكوين المظاهر الأرضية ؟
- 2 - هل للعمليات المورفومناخية والعمليات المورفوتكتونية تأثير في تنوع المظاهر الأرضية ؟

2-1 فرضية الدراسة Hypothesis of Study

- تصاغ فرضية الدراسة الرئيسة كالآتي :-
- (الخصائص المناخية مؤثرة في تكوين المظاهر الارضية في منطقة الدراسة) اما الفرضيات الثانوية :
- 1- أثرت الخصائص المناخية في تكوين المظاهر الأرضية في منطقة الدراسة مما أدت الى التباين المكاني .

2- تتنوع المظاهر الأرضية وفقاً للعمليات المورفومناخية والعمليات المورفوتكتونية.

### 3-1 أهداف الدراسة Objectives of Study

- 1- دراسة الخصائص الطبيعية لمنطقة الدراسة المتمثلة بالبنية الجيولوجية، والتربة، والموارد المائية السطحية والجوفية وتأثيرها في تشكيل المظاهر الأرضية.
- 2- دراسة تفصيلية عن العمليات الجيومورفية والخصائص المناخية القديمة والحالية السائدة في المنطقة وتوزيعها الجغرافي المؤثرة على المظاهر الأرضية في منطقة الدراسة.
- 3- تحديد نوع المناخ (الجاف) وتوزيعه المكاني وانعكاسه على المظاهر الأرضية .
- 4- تحديد مناطق توزيع المظاهر الأرضية بعد معرفة السبب الرئيس لنشوتها في ضوء الدراسات الجيومورفية والجيولوجية والمشاهدة الميدانية والمرئيات الفضائية ورسم خريطة جيومورفية موضح عليها المظاهر الأرضية في منطقة الدراسة .

### 4-1 منهجية الدراسة Methodology of Study

- اعتمدت الدراسة لتحقيق اهدافها ولوصول الى نتائجها العلمية من خلال اتباع المناهج الاتية:
- 1- **المنهج الوصفي** : اعتمد الباحث في هذا المنهج على جمع الحقائق والبيانات الخاصة في محطات الدراسة (السماء ، الناصرية ، النجف ، الديوانية) وتم تحديد خصائصها وصفيّاً كما اتبع في الفصل الثاني والثالث .باعتبارها وسيلة مهمة في جمع المعلومات الاساسية في موضوع الدراسة.
  - 2- **المنهج الكمي** : يعد من المناهج المهمة والاكثر استخداماً من خلال التحليل الاحصائي (الكمي) والمعادلات الرياضية التي تم تطبيقها في الدراسة. إذ اتبع في الفصل الرابع والخامس للوصول الى ادق النتائج العلمية.
  - 3- **المنهج المكاني** : يعتمد الجغرافيون بصورة أساسية على هذا المنهج في تحليل التباين المكاني وتم استخدامه في الفصل الثالث والرابع ، إذ تم من خلاله تحديد التباين المكاني للخصائص المناخية والمظاهر الأرضية المتمثلة بالخرائط التوزيعية لها.

### 5-1 مراحل عمل الدراسة وتقنياتها المستخدمة

- 1- **المرحلة الاولى الاطلاع** : تكون بالاطلاع على الكتب والبحوث والرسائل والاطاريح الجامعية وشبكة المعلومات (الانترنت) والتقارير التي تتضمن الموضوع.
- 2- **المرحلة الثانية جمع البيانات والمعلومات**: من الدوائر والهيئات الحكومية ذات العلاقة وهي:
  - الهيئة العامة للأتواء الجوية والرصد الزلزالي للحصول على البيانات المناخية الخاصة بموضوع الدراسة للمدة (1980 – 2016 م) التي تخص المحطات المناخية (السماء ، الناصرية ، النجف ، الديوانية) .

- الموارد المائية (المديرية العامة لتشغيل وصيانة مشاريع الري والبلز) للحصول على البيانات الخاصة عن الانهار ضمن منطقة الدراسة .
- الهيئة العامة للمياه الجوفية للحصول على البيانات الخاصة بالخصائص الكيميائية والفيزيائية لمياه الآبار المحفورة في منطقة الدراسة.
- بعد ذلك تم التوجه إلى جمع الخرائط والمرئيات والصور الفضائية التي تغطي منطقة الدراسة كالآتي :
- رسم خرائط البنية الجيولوجية والتركيبية لمنطقة الدراسة ذات المقياس 1:1000000، لسنة 2000 م.
- جمع الخرائط الطبوغرافية لسنوات مختلفة وبمقياس 1:100000 .
- 3- **المرحلة الثالثة العمل الميداني** التي شكل جزءاً من البحث الجغرافي واعتمدت الدراسة الميدانية من خلال الزيارات المتكررة لمنطقة الدراسة ومعرفة العمليات الجيومورفية والمظاهر الأرضية السائدة في المنطقة ، وتوثيق ذلك باستخدام الصور الفوتوغرافية الموجودة ضمن منطقة الدراسة.
- 4- **المرحلة الرابعة التحليل والكتابة** من خلال هذه المرحلة تبويب البيانات وتحليلها واجراء التحليل الاحصائي الذي تم تلخيصه وفق جداول واشكال بيانية التي تتلاءم مع موضوع الدراسة.
- جدول (1-1) التقنيات الجغرافية الحديثة المستخدمة في الدراسة

ت	البرنامج	وظيفته المستخدمة في موضوع الدراسة
1	Microsoft Excel 2010	معالجة البيانات الخام وتحليلها ورسم الاشكال البيانية
2	CROPWAT8.0	لحساب قيم عنصر التبخر/ النتج وفق معادلة بنمان مونتيث لمنظمة الاغذية والزراعية (F.A.O).
3	SPSS	ايجاد التحليل الاحصائي (الكمي) في موضوع الدراسة
4	Arc GIS 10.3	رسم خرائط واشكال في موضوع الدراسة

#### 6-1 حدود منطقة الدراسة Boundaries of Study

الابعاد التي اجريت عليها الدراسة وهي كالآتي:

- 1- **البعد الزمني:** شملت منطقة الدراسة حدودا زمانية تمثل دورة مناخية لمدة (37 سنة) التي تمتد للمدة (1980-2016) ، وتم اختيار اربع محطات مناخية (السماوة ، الناصرية ، النجف ، الديوانية) واتخاذ هذا المحطات ذات السجل المناخي الطويل كما ذكر سابقاً لتحقيق لنا معرفة التغير الحاصل في العناصر والظواهر المناخية وانعكاسها على العمليات الجيومورفية وتأثيرها على المظاهر الأرضية في منطقة الدراسة ، كما موضح في الجدول (2-1) الخريطة (1-1).
- 2- **البعد المكاني:** تقع منطقة الدراسة ضمن السهل الفيضي ، أما الموقع الفلكي لها بين دائرتي عرض (30 45° و 32 15° ) شمالاً ، وخطي طول ( 44 30° و 46 30° ) شرقاً. تبلغ مساحتها



## الفصل الاول ----- المقدمة والاطار النظري للدراسة

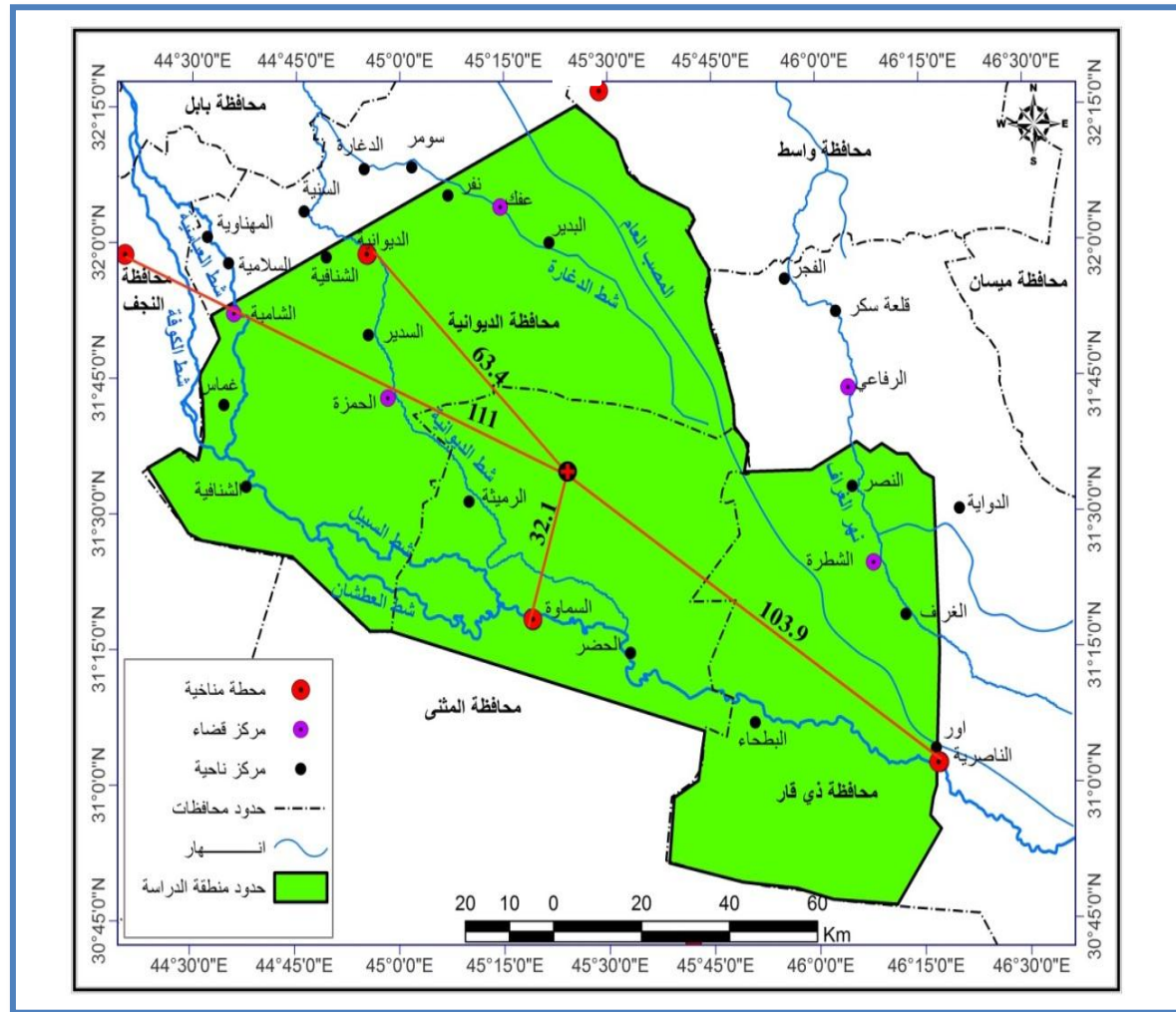
(15241 كم<sup>2</sup>) وتشغل نسبة بمقدار (3.05%) من مساحة العراق . أما الحدود الادارية فتحدها من الشمال محافظتا النجف وبابل ، ومن الشرق محافظتا واسط وميسان ، ومن الجنوب محافظة البصرة أما من الغرب فتحدها الهضبة الغربية العراقية الخريطة (1-2) .

جدول (1-2) المحطات المناخية لمنطقة الدراسة

ت	المحطة المناخية	دائرة العرض شمال خط الاستواء	خط الطول شرق غرينتش	الارتفاع عن مستوى سطح البحر (متر)	البعد عن مركز منطقة الدراسة / كم
1	السماوة	°31 18	°45 16	6	32.1
2	الناصرية	°31 05	°46 14	5	103.9
3	النجف	°31 59	°44 19	53	111
4	الديوانية	°31 59	°44 59	20	63.4

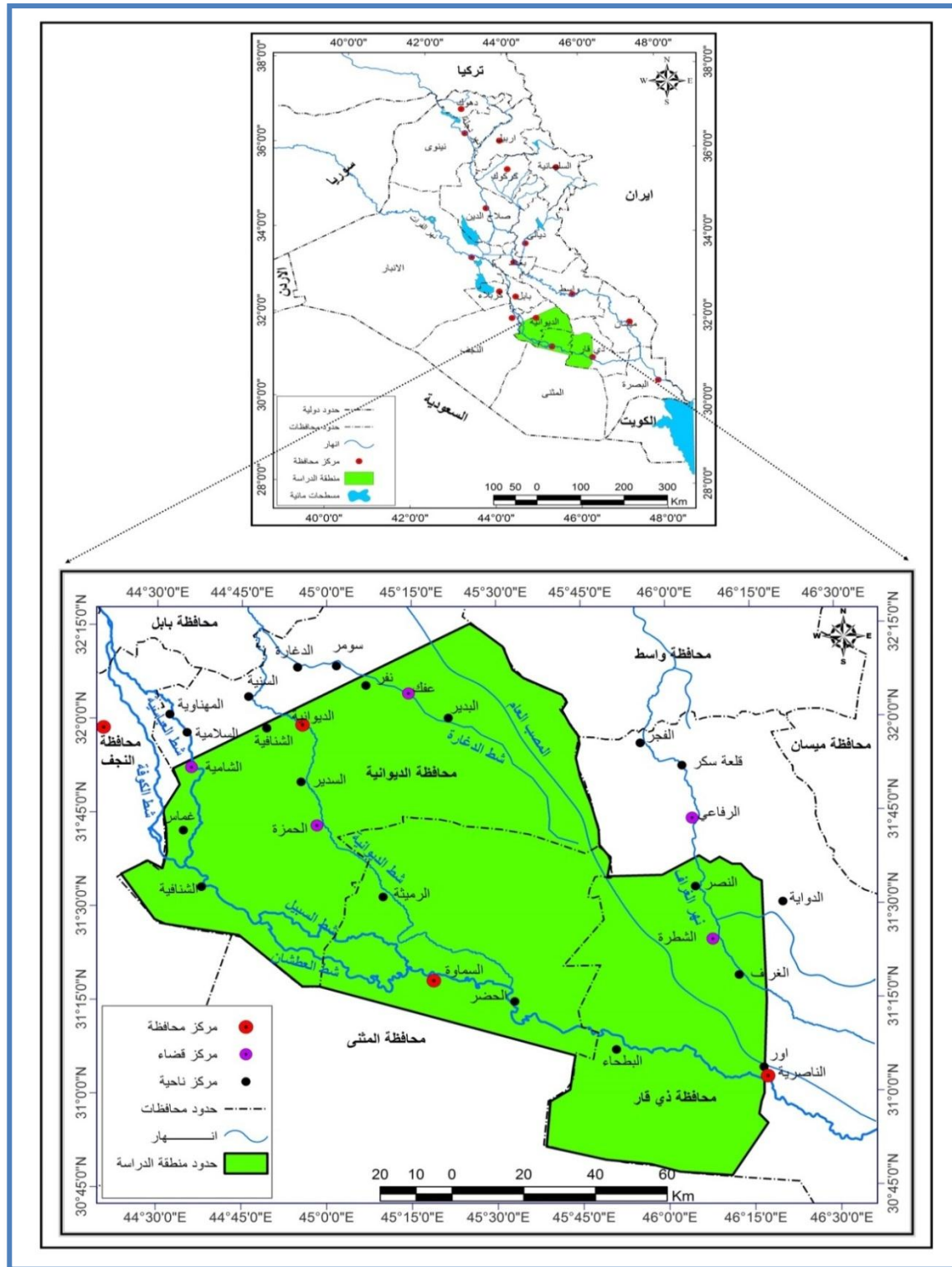
المصدر: بالاعتماد على جمهورية العراق، وزارة النقل والمواصلات، الهيئة العامة للأتواء الجوية والرصد الزلزالي، قسم المناخ، بيانات غير منشورة (2016)

خريطة (1-1) موقع المحطات المناخية وبعدها عن مركز منطقة الدراسة



المصدر: بالاعتماد على :وزارة النقل والمواصلات، الهيئة العامة للأتواء الجوية والرصد الزلزالي، قسم المناخ، بيانات غير منشورة، (2016) وباستخدام برنامج Arc Gis 10.3 .

خريطة (1-2) الموقع الجغرافي لمنطقة الدراسة من العراق



المصدر: بالاعتماد على:

- 1- وزارة الموارد المائية الهيئة العامة للمساحة، خريطة العراق الادارية، مقياس 1:1000000 لسنة 2010
- 2- باستخدام برنامج Arc Gis 10.3 .

7-1 هيكلية الدراسة Structure of the study

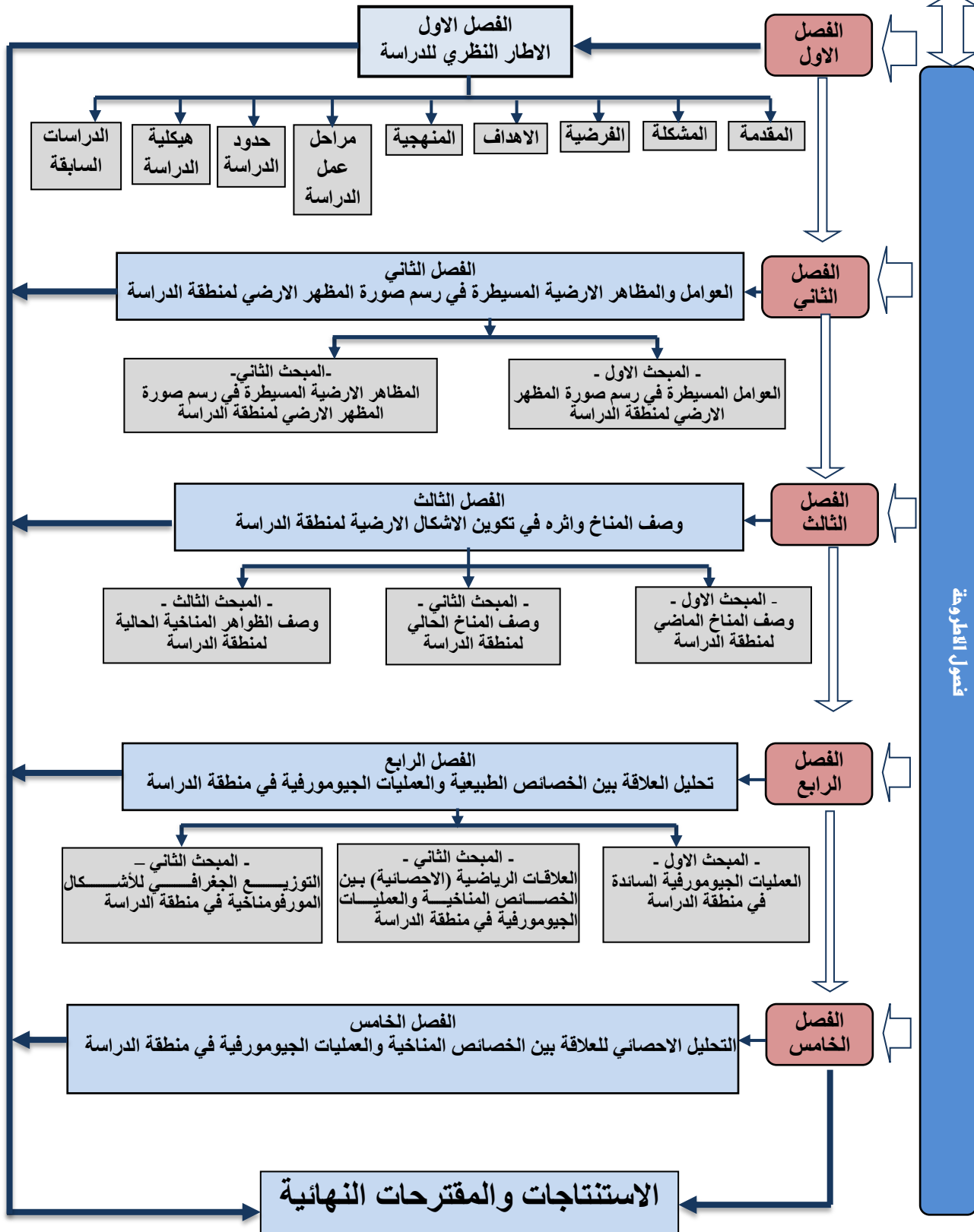
تضمنت هذه المرحلة كتابة متن الاطروحة من خمس فصول رئيسية ، إذ قُسمت هذه الفصول على مواضيع تفصيلية حسب أهميتها كالآتي:

تضمن الفصل الأول سرداً مبتدأً بالمقدمة ومنتهاً بالدراسات السابقة. أما الفصل الثاني فقد تناول العوامل والمظاهر الأرضية المسيطرة في رسم صورة المظهر الارضي وقُسم الى مبحثين شمل المبحث الاول العوامل المسيطرة في رسم صورة المظهر الارضي والمبحث الثاني المظاهر الأرضية المسيطرة في رسم صورة المظهر الأرضية ، في حين ركز الفصل الثالث على وصف المناخ واثره في تكوين الاشكال الأرضية ويمثل المبحث الاول وصف المناخ الماضي لمنطقة الدراسة ، والمبحث الثاني وصف المناخ الحالي لمنطقة الدراسة، والمبحث الثالث وصف الظواهر المناخية الحالية لمنطقة الدراسة . أما الفصل الرابع فقد تناول تحليل العلاقة بين الخصائص الطبيعية والعمليات الجيومورفية في منطقة الدراسة. ولتضمن المبحث الاول العمليات الجيومورفية السائدة في المنطقة ، والمبحث الثاني العلاقات الرياضية (الاحصائية) بين الخصائص المناخية والعمليات الجيومورفية في المنطقة ، والمبحث الثالث التوزيع الجغرافي للأشكال المورفومناخية في منطقة الدراسة .

وخصص الفصل الخامس التحليل الاحصائي للعلاقة بين الخصائص المناخية والعمليات الجيومورفية في منطقة الدراسة، واختتمت الدراسة بما توصلت الى نتائج علمية وتركت المقترحات بناءً على النتائج ولتنشيت من المصادر والملاحق تحليل تفاصيل متغيرات دراستها.

اثر الخصائص المناخية في تكوين اشكال سطح الارض بين محافظتي القادسية وذي قار

هيكلية  
الدراسة





## 8-1 الدراسات السابقة Similar Studie

للدراسات السابقة أهمية كبيرة في كتابة البحث العلمي إذ إنها تعطي صورة او خلفية نظرية عن موضوع الدراسة والاطلاع على اهم المصادر والاستنتاجات التي توصلت اليها هذه الدراسات . كما انها تغني الباحث عن التكرار والاستمرار في منهجية وموضوعية الدراسة ، أما اختلاف الدراسة الحالية عن الدراسات السابقة فعدم تناول التباين المكاني للعناصر والظواهر المناخية بشكل تفصيلي وعلاقتها بالعمليات الجيومورفية باستخدام الادلة الاحصائية وانعكاسها على اللاندسكيب الطبيعي في المنطقة ومن اهم هذه الدراسات :

- 1- **سحر نافع شاكر 1985:**<sup>(1)</sup> توصلت في دراستها الى نتائج متعددة أهمها أن الكثبان الرملية في منطقة الدراسة كانت بفعل الرياح القوية السائدة الشمالية الغربية والجنوبية الشرقية بينما يدل وجود اتجاهين محليين للرياح التي كونت الكثبان الرملية الطولية.
- 2- **ماجد السيد ولي محمد ، 2000 :**<sup>(2)</sup> بينت الدراسة ان العمليات الجيومورفية والمتمثلة بالتجوية الكيميائية والفيزيائية لها تأثير في تكوّن الاشكال الأرضية بينما كان للمناخ دور مهم في تكوين هذه الاشكال.
- 3- **جليل جاسم محمد هنون 2000:**<sup>(3)</sup> تبين من دراسة حوض وادي العرجاوي ان الخصائص الطبيعية تؤثر على الخصائص الحوضية وتوضح علاقة الاشكال الأرضية بالنشاطات البشرية في منطقة الدراسة.
- 4- **عايد جاسم الزالملي 2001 :**<sup>(4)</sup> ركزت دراسته على تأثير العوامل الطبيعية في تكوين الاشكال الأرضية ضمن المنطقة وتم اعداد خريطة جيومورفية مفصلة عن تلك الاشكال ولم يوضح في دراسته علاقة الاشكال الأرضية بالنشاطات البشرية.
- 5- **دراسة صباح عبود عاتي الخزعلي 2004 :**<sup>(5)</sup> تناولت الدراسة اثر العوامل الطبيعية في تكوين الاشكال الأرضية في الهضبة الصحراوية الغربية والتي حددت العلاقة المتكونة من تأثير العناصر المناخية القديمة والحالية في تكوين تلك الاشكال السائدة في المنطقة.

(1) سحر نافع شاكر ، جيومورفولوجية الكثبان الرملية للمنطقة المحصورة بين الكوت والناصرية والديوانية ، رسالة ماجستير (غير منشورة) ، كلية العلوم ، جامعة بغداد ، 1985 .

(2) ماجد السيد ولي محمد ، المناخ وعوامل تشكيل سطح الارض ومدى تأثير العمليات الجيومورفية بالعناصر المناخية ، مجلة الجمعية الجغرافية العراقية ، العدد 45 ، 2000.

(3) جليل جاسم هنون، جيومورفولوجية حوض وادي العرجاوي ، رسالة ماجستير غير منشورة ، كلية التربية للبنات ، جامعة بغداد ، 2000.

(4) عايد جاسم الزالملي ، تحليل جغرافي لتباين أشكال سطح الأرض في محافظة النجف ، رسالة ماجستير (غير منشورة) ، كلية الآداب ، جامعة الكوفة ، 2001.

(5) صباح عبود عاتي الخزعلي ، اثر العوامل الطبيعية في تكوين الاشكال الارضية في الهضبة الصحراوية الغربية (غرب الفرات) في العراق، اطروحة دكتوراه (غير منشورة) ، قسم الجغرافية ، كلية التربية ، الجامعة المستنصرية ، 2004 .

6- حسين عذاب خليف الهريود 2006 :<sup>(1)</sup> تناولت الدراسة المظاهر المرتبطة في زمن البلايستوسين التي لها اثر واضح في تكوين المظاهر الأرضية الناتجة عن المياه السطحية ولاسيما الاودية الجافة والتلال الازادية .

7- بسمه علي عبد الحسين الجنابي 2011 :<sup>(2)</sup> تناولت هذه الدراسة أثر المناخ في تشكيل مظاهر السطح في محافظة واسط كما بينت النتائج ان الأشكال الأرضية في المنطقة تكونت بسبب تذبذب العناصر المناخية في فترة رطوبة وجافة وتأثير بعنصري الأمطار والحرارة .

8- صباح باجي ديوان السوداني 2012 :<sup>(3)</sup> وقد اثبتت الدراسة ان للمناخ دوراً مهماً في نشاط العمليات الجيومورفولوجية والذي انعكس على تكوين الكثبان الرملية في محافظة ميسان .

---

<sup>(1)</sup> حسين عذاب خليف الهريود ، دراسة أشكال سطح الأرض في منطقة السلمان جنوب - غربي العراق ، اطروحة دكتوراه ، كلية التربية / الجامعة المستنصرية ، 2006 .

<sup>(2)</sup> بسمه علي عبد الحسين الجنابي ، المناخ وأثره في تشكيل مظاهر السطح في محافظة واسط ، رسالة ماجستير (غير منشورة) ، كلية التربية (ابن رشد) ، جامعة بغداد ، 2011 .

<sup>(3)</sup> صباح باجي ديوان السوداني ، أثر المناخ في تشكيل الكثبان الرملية في محافظة ميسان ، رسالة ماجستير (غير منشورة) ، كلية التربية (ابن رشد) ، جامعة بغداد ، 2012 .

## الفصل الثاني

العوامل والمظاهر الأرضية المسيطرة في رسم صورة  
المظهر الأرضي لمنطقة الدراسة

### المبحث الأول

العوامل المسيطرة في رسم صورة المظهر الأرضي لمنطقة الدراسة

### المبحث الثاني

المظاهر الأرضية المسيطرة في رسم صورة المظهر الأرضي لمنطقة  
الدراسة

## المبحث الاول

### العوامل المسيطرة في رسم صورة المظهر الأرضي لمنطقة الدراسة

#### تمهيد

تعد العوامل الطبيعية لأي منطقة هي المسؤولة عن أحداث تغيرات على اشكال سطح الارض في اثناء التفاعل مع بعضها وانعكاس تأثيرها على صورة المظهر الأرضي . التي تعد امراً ضرورياً لمعرفة الكثير من الخصائص الطبيعية لأي منطقة ورسم سماتها . وهذا ما سنوضحه في دراسة الخصائص الطبيعية لمنطقة الدراسة (\*) في تكوين وتباين اشكال سطح الارض في منطقة الدراسة فطبيعة الصخور ومدى مقاومتها للعمليات الجيومورفية وكذلك ميل الطبقات الصخرية جميعها عوامل ادت الى تباين نشاط العمليات الاخرى ومن ثم رسم صورة المظهر الأرضي .

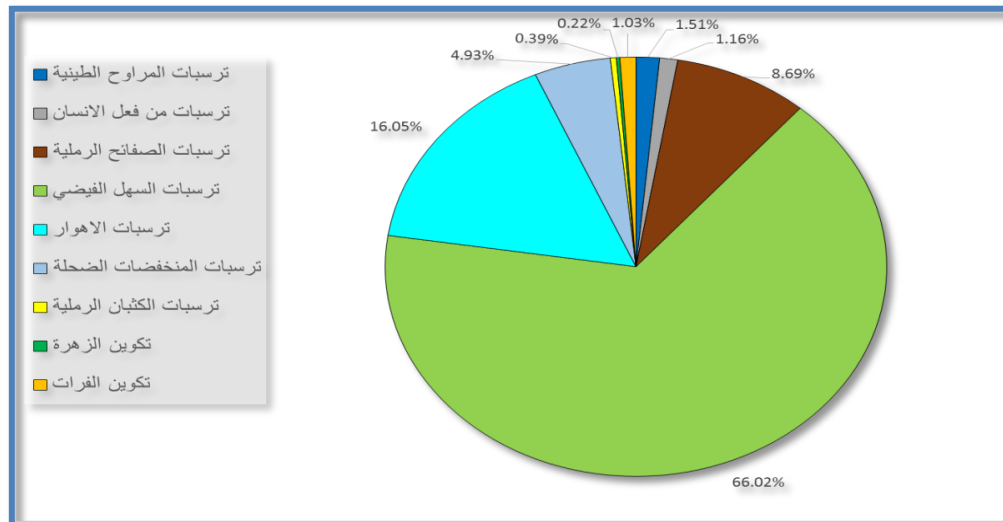
#### 1-1-2 الخصائص الجيولوجية Geological Characteristics:

لتوضيح جيولوجية منطقة الدراسة سيتم دراستها من خلال:

#### 2. 1. 1. طباقية المنطقة Stratigraphy of the Study Area

تقع منطقة الدراسة في الجزء الجنوبي من الصحراء الغربية (العراق) وتعد جزءاً من الصفحة العربية التي تعرضت الى الحركات الأرضية وطغيان بحر التيثس (Tethys) مما أدى الى ترسيب الصخور الفيضية التي تعود الى ازمة جيولوجية متباينة ، ولأهمية الدراسات الجيولوجية في تفسير الظواهر الأرضية وانتشارها وتباينها من منطقة الى اخرى. سيتم توضيح التكوينات الجيولوجية لمنطقة الدراسة يلاحظ الخريطة (1-2) والجدول (1-2) والشكل (1-2) :

شكل (1-2) المساحة والنسبة المئوية (%) للتكوينات الجيولوجية في منطقة الدراسة

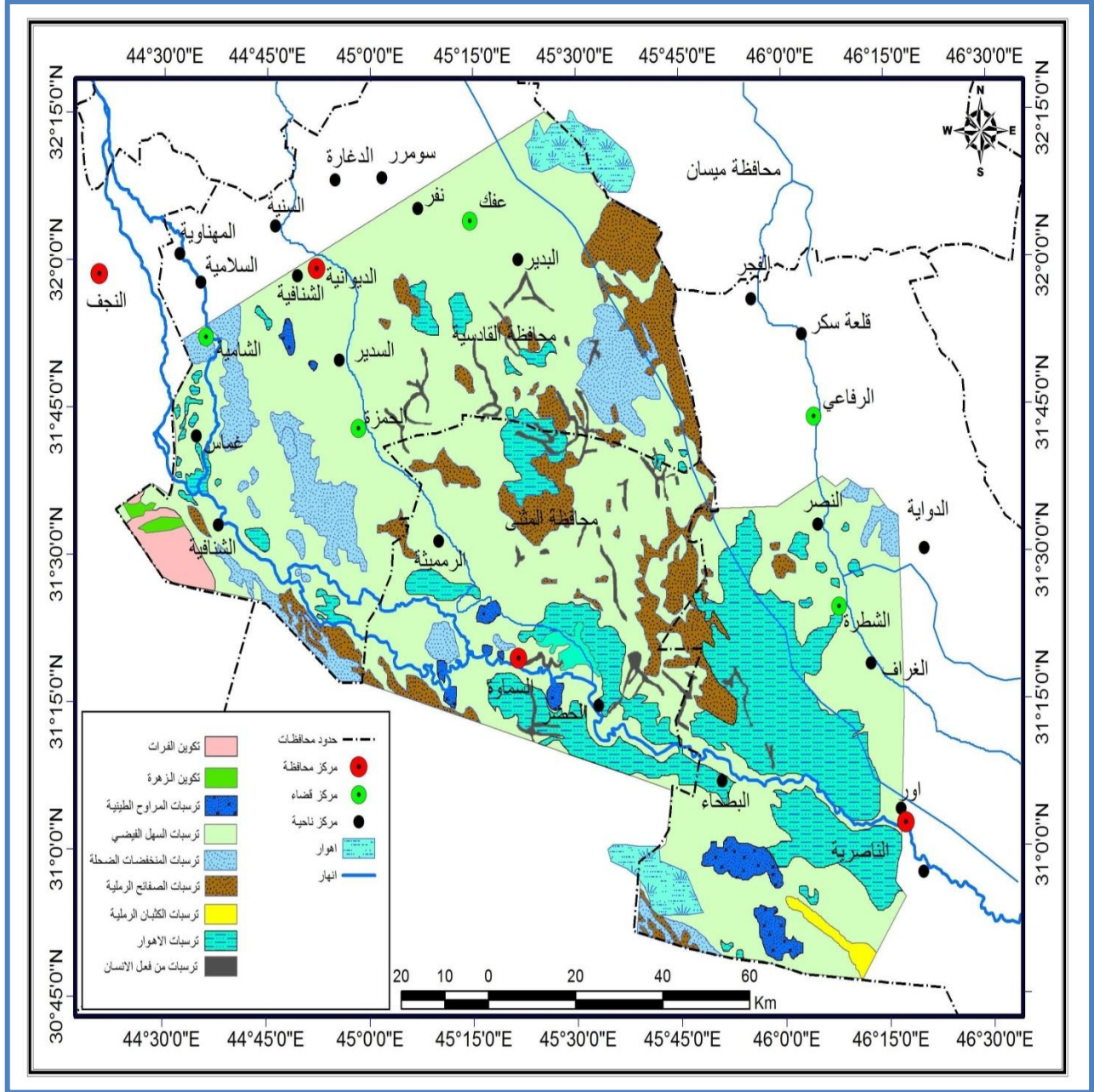


المصدر: بالاعتماد على جدول (1-2) .

(\*) يعد العامل المناخي عاملاً مسيطراً في تشكيل المظهر الأرضي لأي منطقة ولكون الدراسة تهدف الى ايجاد العلاقة بينه وبين اللاند سكيب الطبيعي لمنطقة الدراسة فقد افرز له لاحقاً فصلاً كاملاً . ولذلك لم يتم تناوله في هذا الفصل



خريطة (1-2) التوزيعات السطحية للمكاشف الصخرية في منطقة الدراسة



المصدر: بالاعتماد على :

1- وزارة الصناعة والمعادن، الهيئة العامة للمسح الجيولوجي والتحري المعدني، خريطة جيولوجية العراق، مقياس

1:1000000، لسنة 2000 م.

2- باستخدام برنامج GIS 10.3

جدول (1-2) المساحة والنسبة المئوية للتكوينات الجيولوجية في منطقة الدراسة

النسبة المئوية %	المساحة كم <sup>2</sup>	الصف	
1.03	157	تكوين الفرات	1
0.22	34	تكوين الزهرة	2
1.51	230	ترسبات المراوح الطينية	3
66.02	10062	ترسبات السهل الفيضي	4
4.93	751	ترسبات المنخفضات الضحلة	5
8.69	1325	ترسبات الصفائح الرملية	6
0.39	59	ترسبات الكثبان الرملية	7
16.05	2446	ترسبات الاهوار	8
1.16	177	ترسبات من فعل الانسان	9
100	15241	المجموع	

المصدر: تم استخراج القياسات بالاعتماد على برنامج Arc Map10.3 والخارطة (1-2).

## 2- 1-1-1-1-2 تكوينات الزمن الثلاثي Formations of Tertiary Period

### 3- 1-1-1-1-2-1 تكوين الفرات (Euphrates formation)

يظهر هذا التكوين في الجنوب الغربي وتبلغ مساحته (157 كم<sup>2</sup>) ونسبة (1.03%) من منطقة الدراسة ، ويمثل امتداداً طبيعياً لتكوين الفرات في الهضبة الغربية . وهو امتداد تحت سطحي غير متكشف مغطى برواسب جموية تعود الى الزمن الرباعي يتراوح سمك هذا التكوين بحدود (60 - 70 م) . في هذا التكوين ترتفع نسبة الرمال مما شكل رافداً طبيعياً لتزويد هذا الجزء من المنطقة بكميات كبيرة من الرمال ساهمت في تكوين اشكال الارضية منها الكثبان الرملية <sup>(1)</sup>. يتميز هذا التكوين بالطباقية المعقدة في الجزء العلوي منه ويتكون من الصخور الجيرية الطباشيرية وتتداخل مع ترسبات الرمل . أما قاعدته فتكون جيرية معادة التبلور ومكوناته تدل على ان التكوين ترسب في بيئة بحرية ضحلة ، ويظهر تغير في محتوياته الصخرية بشكل كبير ولاسيما في اقليم الهضبة الغربية من منطقة الدراسة <sup>(2)</sup> .

### 2- 1-1-1-1-2-2 تكوين الزهرة AL- Zahra Formation

يقع هذا التكوين في الجزء الجنوب الغربي وتبلغ مساحته (34 كم<sup>2</sup>) ويشكل نسبة (0.22%) من مساحة منطقة الدراسة . وصف التكوين لأول مره من قبل بيلين عام 1959م في المقطع الشمالي فيضة الزهرة <sup>(3)</sup>. يتكون من ثلاث دورات ارسابية كل دورة تحتوي على الحجر الطيني والحجر الكلسي ثم الحجر

<sup>(1)</sup> عبد الله السياب ، وآخرون، جيولوجيا العراق، مطبعة دار الكتب ، جامعة الموصل، 1985، ص35

<sup>(2)</sup> Saad Z.jassim, jerenyc. off . Geology of Iraq , 2006 , p 177 .

<sup>(3)</sup> المصدر نفسه، ص160.

الرملي والكلسي ويصل سمكه الى 30 م ويقع تكوين الزهرة بشكل غير توافقي فوق التكوينات الاقدم عمراً ويغطي بترسبات العصر الرباعي لذلك فإن بيئته الترسيبية تعد بيئة نهريّة عذبة<sup>(1)</sup>.

#### 2-1-1-1-2 ترسبات العصر الرباعي Sediments of Quaternary Period

يتضح من خلال جيولوجية الزمن الرباعي في العراق بأن التتابع الطبقي لرسوبيات هذا الزمن تعتمد على عاملين مهمين هما<sup>(2)</sup>:

1- التغيرات المناخية التي تسبب اعادة دورية لحالات الترسيب والحت .

2- التضاريس تساعد على ترسيب الفتات الصخري في الوديان والسهول.

يبدأ الزمن الرباعي مع بداية أول العصور الجليدية التي سادت على سطح الارض والتي تلي الزمن الثلاثي وبذلك يمكن تعيين الحد الطبقي الأسفل للزمن الرباعي عند الفيضيات التي تحوي أدلة على وجود انخفاض واضح في درجة حرارة مناخات الأرض ، أما الحد الطبقي الأعلى فيبدأ بنهاية آخر عصر جليدي وزيادة درجة الحرارة<sup>(3)</sup>. وتغطي ترسبات العصر الرباعي معظم ارض العراق ولكن اغلبها في السهل الفيضي التي تتكون من رواسب نهريّة وبحريّة ودلتاوية وريحية ويبلغ سمكها (150 - 200 م)<sup>(4)</sup>. تتكون من الرواسب المنقولة لاسيما رواسب الرمل والغرين والطين وتتداخل فيما بينها ونقلتها عوامل التعرية المائية، وتتداخل معها الرواسب المنقولة بفعل الرياح من الرمال ، وتعود هذا الرواسب الى عصر الهولوسين<sup>(5)</sup>. وتقسم الترسبات الزمن الرباعي كالآتي:

#### 2-1-1-1-2 ترسبات المراحل الطينية

تظهر هذا الترسبات في الجزء الجنوبي من منطقة الدراسة على الحدود بين المنطقة الصحراوية والسهل الفيضي وتبلغ مساحتها (230 كم<sup>2</sup>) وتشكل نسبة (1.51%) من مساحة منطقة الدراسة ، إذ يكون هناك انحدار طوبوغرافي باتجاه السهل الفيضي . هذه الترسبات تتكون من الحصى غير المتماسك وقطع الصخور الكربونية التي تختلط مع الرمل والقشرة الجبسية يكون الحصى ذا أحجام وأشكال مختلفة.

(1) حاتم خضير صالح الجبوري ، دراسة هيدروجيولوجية وهيدركيميائية لمنطقة سوق الشيوخ ، الشركة العامة للمسح الجيولوجي والتعدين ، 2002، ص6.

(2) سحر نافع شاكر ، جيومورفولوجية الكتلان الرملية للمنطقة المحصورة بين الكوت - الديوانية - الناصرية ، رسالة ماجستير (غير منشورة) ، كلية العلوم ، جامعة بغداد ، 1985 ، ص 11 .

(3) سحر نافع شاكر ، جيومورفولوجية العراق في العصر الرباعي ، مجلة الجمعية الجغرافية العراقية ، العدد الثالث والعشرون ، تموز ، 1989 ، ص228 .

(4) سرحان نعيم طرطوش الخفاجي، هيدروجيومورفولوجية نهر الفرات بين قضائي الخضر والقرنة، أطروحة دكتوراه (غير منشورة)، قسم الجغرافية، كلية الآداب، جامعة بغداد، 2008، ص20.

(5) حسين جوبان عريبي المعارضي، دراسة جيومورفولوجية للجزء الجنوبي للسهل الرسوبي العراقي، رسالة ماجستير (غير منشورة)، قسم الجغرافية، كلية التربية، جامعة بغداد، 1996، ص32.

إن سمك هذه الترسبات غير واضح <sup>(1)</sup>. تكونت على طول الحافة الجنوبية الغربية وأكثر الاحتمال أنها تكونت خلال عصر البلايستوسين وأكثرها وضوحاً مروحة وادي الكصير جنوب غرب الناصرية <sup>(2)</sup>.

#### 2-2-1-1-2 ترسبات السهل الفيضي (الهولوسين)

تسود هذه الترسبات في اغلب مناطق منطقة الدراسة لاسيما في الاجزاء الوسطى والشمالية والشرقية والجنوبية منها تبلغ مساحتها (10.62 كم<sup>2</sup>) وتشكل نسبة بحدود (66.02 %) من مساحة منطقة الدراسة. هذه الترسبات هي نتيجة تكرار عمليات فيضانات الأنهار وطغيانها على الأراضي المجاورة ومن ثم ترسيبها بشكل دوري خلال مراحل التاريخ وتمثل غالبية ترسبات المنطقة <sup>(3)</sup>. تكونت أيضاً من ترسبات الطين الغريني الذي يكون الجزء الأكبر لترسبات السهل الفيضي يتبعه الغرين والرمل . امتازت تلك الترسبات بتفككها وقلة تماسكها مما سهل عملية نقلها ، ومن ثم تكوين أشكال أرضية متعددة حسب طبيعة تلك الترسبات المنقولة والعوامل المؤثرة في انتقالها ومن أهمها الكتلان الرملية ، ولاسيما وان تلك الترسبات تحتوي على كميات من المفتتات الصخرية الناعمة التي تتأثر بعوامل النحت والتعرية <sup>(4)</sup>. إن أكثر من 90% من رواسب نهري دجلة والفرات تصل السهل الفيضي فتترسب في مناطق كثيرة من السهل الفيضي بسبب تناقص سرعة وجريان مياه الأنهار لقلة انحدار الأرض وقلة سرعة النهر لكونه غير قادر على حمل ترسباته ويمكن ملاحظة ذلك في نهر الفرات عند منطقة سوق الشيوخ <sup>(5)</sup>.

#### 2-2-1-1-2 ترسبات المنخفضات الضحلة (الهولوسين)

تظهر هذه الترسبات في الجزء الجنوبي الغربي والجنوب الشرقي وتبلغ مساحتها حوالي (750 كم<sup>2</sup>) وتشكل نسبة نحو (4.93%) من مساحة منطقة الدراسة . تكونت المنخفضات الضحلة بشكل امتدادات مختلفة وأحواض فيضية أو بلايا (Playa) وهي بحيرات ملحية لمياه راكدة تكون ذات طبيعة موسمية التي تتجمع فيها مياه التصريف الداخلي <sup>(6)</sup>. لهذه ترسبات امتدادات مختلفة بالمنطقة، اذ يكون أصلها من الحالات المورفولوجية الصغيرة المحلية، ومن شبكة قنوات الري القديمة وأكثر تلك المنخفضات تكون جافة لفترة طويلة جداً ومعظم مكونات هذه المنخفضات مملوءة بالغرين الطيني والرمل والغرين وعلى الرغم من ان الرمل والغرين يملآن المنخفضات الضحلة ، كما ان الصفة المميزة والمهمة والخاصة بوصف ترسبات

<sup>(1)</sup> دريد بهجت ديكران واخرون ، التقرير الجيولوجي لوحدة الناصرية ان انج (38 -3) جي ام ) 1993، ورقعه سوق الشيوخ ان انج 38 - 10 (جي ام 37) 1995 ص1-3

<sup>(2)</sup> علي مصطفى حسين القيسي، هور الحمار دراسة في الجغرافية الطبيعية، أطروحة دكتوراه، قسم الجغرافية، كلية الآداب ، جامعة بغداد ، 1994 ، ص39.

<sup>(3)</sup> دريد بهجت ديكران ، عبد الحق ابراهيم مهدي، لوحة الناصرية، الشركة العامة للمسح الجيولوجي والتعدين، 1993، ص20.

<sup>(4)</sup> Parsons , R. Z. , Mineralogy , Geochemistry and Origin of Shari – Saitern Deposit , NE Samarra , Iraq Ph. D. thesis (unpublished) , Collage of Science , University of Baghdad , 1997 , p.173 .

<sup>(5)</sup> سفير جاسم حسين، جيومورفولوجية مجرى نهر الغراف، أطروحة دكتوراه (غير منشورة)، قسم الجغرافية، كلية الآداب، جامعة بغداد، 2007. ص16.

<sup>(6)</sup> عبد الله يوسف الغنيم، أشكال سطح الأرض المتأثرة بالرياح في شبه الجزيرة العربية، الجمعية الجغرافية الكويتية، 1981، ص14.



المنخفض الضحل هي الفعاليات البايولوجية التي تكون مرتبطة مع رطوبة التربة العالية ويصل سمك هذه الترسبات الى (3 م) في منطقة السهل الفيضي وفي حين يكون اقل من (3) في المناطق الصحراوية<sup>(1)</sup>.

#### 2-1-1-1-2 ترسبات الصفائح الرملية

تنتشر هذه الترسبات بشكل متفرق لاسيما في الاجزاء الغربية والوسطى والشمالية الشرقية وتبلغ مساحتها (1325 كم<sup>2</sup>) وتشكل نسبة (8.69%) من مساحة منطقة الدراسة. تعود هذه الترسبات الى عصر الهولوسين وترسبات العصر الرباعي الموجودة في الصحراء المصدر الرئيسي لهذه الترسبات التي تنقلها الرياح الغربية والشمالية الغربية من التكوين الجيولوجي لعصر المايوسين والتي تكون على شكل نطاق ضيق يتكون من الرمل الناعم والغرين<sup>(2)</sup>.

#### 2-1-1-1-2 ترسبات الكثبان الرملية

تظهر هذه الترسبات في الجزء الجنوبي من منطقة الدراسة وتبلغ مساحتها (59 كم<sup>2</sup>) وتشكل نسبة نحو (0.39%) من مساحة منطقة الدراسة . بدأت فترة الهولوسين في نهاية آخر فترة مطيرة قبل 11000 سنة إلى آخر فترة جافة لا نزال نعيشها اليوم. امتاز المناخ بكونه قارياً في وسط وجنوب العراق واستمر الحت المائي، لكن بفعالية اقل مع زيادة الحت الريحي في المناطق الصحراوية والسهل الفيضي. ونتيجة لعوامل الترسيب تكونت حقول الكثبان الرملية وامتدت ترسبات الهولوسين فوق ترسبات البلايستوسين لاسيما في السهل الفيضي<sup>(3)</sup>. تعد من اكثر الظواهر انتشاراً وتشكلت بفعل عوامل المناخ (الرياح) ، ان اصل هذه الرمال الفيضانات التي حدثت في الفترات المطيرة في دور البلايستوسين وترسبت في السهول الفيضية ثم جرفت ورسبت الرياح على شكل كثبان رملية . لقد حصل انحراف للعوامل المناخية منتصف فترة الهولوسين اي قبل 5000 سنة واصبح المناخ يميل للبرودة والرطوبة وخلال هذه الفترة حصلت فيضانات كثيرة ، ثم اعقبتها فترة استقرار في مناخ العراق الذي تحول اليه المناخ الدوري حار جاف صيفاً وبارد ممطر شتاءً وبالتالي تغيرت الصورة الجيومورفولوجية لسطح العراق.

تكون الكثبان الرملية في منطقة الدراسة وفق اصل تكوينها<sup>(4)</sup> ذات الأصل القاري وتشمل كثبان (مناطق البطحاء والناصرية وجنوب سوق الشيوخ) وتكون موازية لنهر الفرات من جهة الجنوب ومحاذية للهضبة الجنوبية في منطقة الدراسة.

(1) سفير جاسم حسين، جيومورفولوجية مجرى نهر الغراف، مصدر سابق ، ص16.

(2) جليل جاسم محمد هنون ، هيدروجيومورفولوجية منطقة كربلاء ، اطروحة دكتوراه (غير منشورة)، قسم الجغرافية ، كلية التربية الجامعة المستنصرية ، 2011 ، ص 32 .

(3) حسن كريم محمد، وآخرون، التقرير الجيولوجي لرقعة السلمان، الشركة العامة للمسح الجيولوجي والتعدين، بغداد، 1995، ص16.

(4) سحر نافع شاكر ، مصدر سابق ، ص241.

## 2-1-1-1-2 ترسبات الاهوار (الهولوسين)

تظهر هذا الترسيبات في مناطق متفرقة لاسيما في الاقسام (الشمال والوسط وجنوب شرق) وتبلغ مساحتها نحو (2446 كم<sup>2</sup>) وتشكل بنسبة نحو (16.05%) من مساحة منطقة الدراسة. تنتشر ضمن منطقة السهل الفيضي وتغطي مساحات واسعة من المنطقة . وتتكون ترسبات الاهوار أما على السطح أو تكون مدفونة تحت الترسيبات الأخرى، يتراوح سمك الواحدة من هذه الترسيبات من بضع سنتيمترات إلى (2-1 م) وان الطبقات الأفقية لترسيبات المستنقعات لها لون اسود أو رصاصي غامق إذ إنها تتكون من بقايا تفحم النباتات ومواد عضوية أخرى مخلوطة مع الطين <sup>(1)</sup>. هذه الترسيبات تتكون من غرين طيني، وطين غريني وبعض الرمال ، وتغطي المستنقعات اللون الأسود مع نسب مختلفة من الرطوبة وسمك هذه الرواسب لا يزيد عن (3 م) ، و تسود في الأحواض الضحلة وأحواض الأنهار والبحيرات المتصلة بصورة مباشرة وغير مباشرة وتكون بشكل موازٍ لمجرى نهر الفرات في مناطق الإصلاح ، والغراف ، والفهود ، وسوق الشيوخ ، والحمار ، والمدينة ، وعكبة ومناطق أخرى صغيرة ومتفرقة ضمن المنطقة التي لا يمكن تمثيلها على الخريطة لمحدودية المساحات التي تشغلها <sup>(2)</sup> .

## 2-1-1-1-2 الترسيبات العائدة لفعاليات الإنسان :

تظهر هذه الترسيبات في الاجزاء الوسطى من اقليم السهل الفيضي تبلغ مساحتها (177 كم<sup>2</sup>) وتشكل نسبة نحو (1.16%) من مساحة منطقة الدراسة ومعدل ارتفاعها لا يزيد عن (2-3 م) وقطرها يتراوح لعدة أمتار. وهي الترسيبات التي تتجمع نتيجة لفعاليات الإنسان المختلفة ، ومن هذه الترسيبات أجسام قنوات الري القديمة والتلال والمواقع الأثرية. وتمثل هذه الأشكال معالم تضاريس أرضية واضحة في منطقة الدراسة فتتميز بتضاريس مستوية علاوة على ذلك إن هذه الترسيبات تتلوث وتتداخل مع الترسيبات الطبيعية المجاورة لها <sup>(3)</sup>. وجودها يعكس طبيعة البيئة التي كانت سائدة خلال العصور القديمة ودرجة تأثيرها بمختلف العمليات الجيومورفية <sup>(4)</sup>.

## 2. 1.1. 2. تكتونية المنطقة Tectonic of the Study Area:

يقع العراق ضمن حافة المنطقة المحصورة بين الرصيف العربي النوبي والفرع الاسيوي للجيوسنكلالين الالبي وهو بذلك يشغل جزءاً من الحافة الشمالية والشمالية الشرقية من الصحيفة العربية الافريقية التي

(1) أنور مصطفى برواري، صباح يوسف يعقوب، فائزة توفيق أحمد، الهيئة العامة للمسح الجيولوجي والتعدين، تقرير عن جيولوجية لوحة الكوت (أن أي 38\_15)، (جي أم 27) رقم التقرير 2256، 1992، ص8.

(2) سرحان نعيم الخفاجي ، مصدر سابق ، ص22.

(3) عبد الله صبار عبود العجيلي ، دراسة جيومورفولوجية لتغيرات مجرى نهر دجلة بين المدائن والصور ، رسالة ماجستير (غير منشورة )، كلية الآداب ، جامعة بغداد ، 2000، ص10.

(4) دريد بهجت ديكران ، واخرون ، مصدر سابق ، ص8.

تعد من الصفائح التكتونية الكبيرة ويشغل ايضاً جزءاً من الفرع الاسيوي للجيوستركلاين الالبي الذي يقع شمال شرق العراق<sup>(1)</sup>.

تشكلت حدود الصفيحة العربية الافريقية من الصفائح المحيطة بها نتيجة لمجموعة من الاحداث الجيولوجية التي تعرضت لها منذ تكوينها وخلال الازمنة المختلفة وفي مقدمتها الحركات التكتونية والتي انعكست هذه الحركات على بناء الاطار التركيبي والتكتوني للعراق وحوضه الفيضي<sup>(2)</sup>. والتي أثرت سلباً على السلوك التركيبي للأنهار التي تعد أنهار منطقة الدراسة جزءاً منها . من قبل العديد من الباحثين قسم العراق تكتونيا إلى عدة مناطق متباينة في خصائصها التكتونية ، لكن أحدث التقسيمات التكتونية للعراق هي التي طرحت لتوضيح السمات البنائية والحركية في المناطق التكتونية المختلفة والتأثير التكتوني لكتل صخور القاعدة والغطاء الفيضي الذي اعتمد على بلورة البيانات ، والدراسات الجيوفيزيائية والجيولوجية السابقة وان أحدث هذه التقسيمات هو التقسيم الثنائي الذي وضعه ( Buday & Jassim )<sup>(3)</sup> ، الذي يشمل دراسة تكتونية شاملة ، يلاحظ خريطة (2-2) توضح الانطقة التكتونية لمنطقة الدراسة كالآتي<sup>(4)</sup>:

#### 1- منطقة الرصيف العربي - النوبي يقسم الى

1. نطاق الرصيف غير المستقر الذي يشمل السهل الفيضي

2. نطاق الرصيف المستقر يشمل

• نطاق الرطبة - الجزيرة

• نطاق السلمان الذي يشغل مساحة في جنوب منطقة الدراسة

#### 2- منطقة الحوض المقعر الالبي ( جيوستركلاين).

يتضح من الخريطة (2-2) ان منطقة الدراسة على مستوى الانطقة التكتونية تقع ضمن الرصيف العربي النوبي اما على مستوى التقسيمات المحلية فأنها تقع ضمن حزام تكريت ، عمارة وحزام النجف ، ابو جبر ، الحضر وحزام السماوة ، الناصرية وحزام السلمان. ويقع ايضاً جزء من منطقة الدراسة ضمن الرصيف المستقر والجزء الاخر ضمن الرصيف غير المستقر كما يلاحظ الخريطة (2-3). ان اصطدام الصفيحة العربية في جزئها الشمالي الشرقي بالصفيحة الايرانية التركية كونت طية محدبة تتمثل بسلسلة جبال طوروس - زاكروس وطية مقعرة الى الغرب منها متمثلة بالسهل الفيضي<sup>(5)</sup>. لقد احدثت تلك الحركات اثراً في صخور القاعدة تمثلت بشبكة تصدعات تمتد باتجاه ( شمال شرق ، جنوب غرب

(1) Budy and Jasim .The regional geology of Iraq , OP, Cit , Page17 .

(2) أيسر محمد الشماع ، دراسة هيدروجيولوجية وتكتونية للجزء الجنوبي من الصحراء الغربية (المنطقة الواقعة بين الكسرة والشبة)، اطروحة دكتوراه (غير منشورة ) ، كلية العلوم، جامعة بغداد ، 1993، ص29-3.

(3) Tibor Buday & Saad Z. Jassim , The Regional Geology of Iraq Tectonism magmatism and metamorphism , Vo.2 , Baghdad , 1987 , P.61.

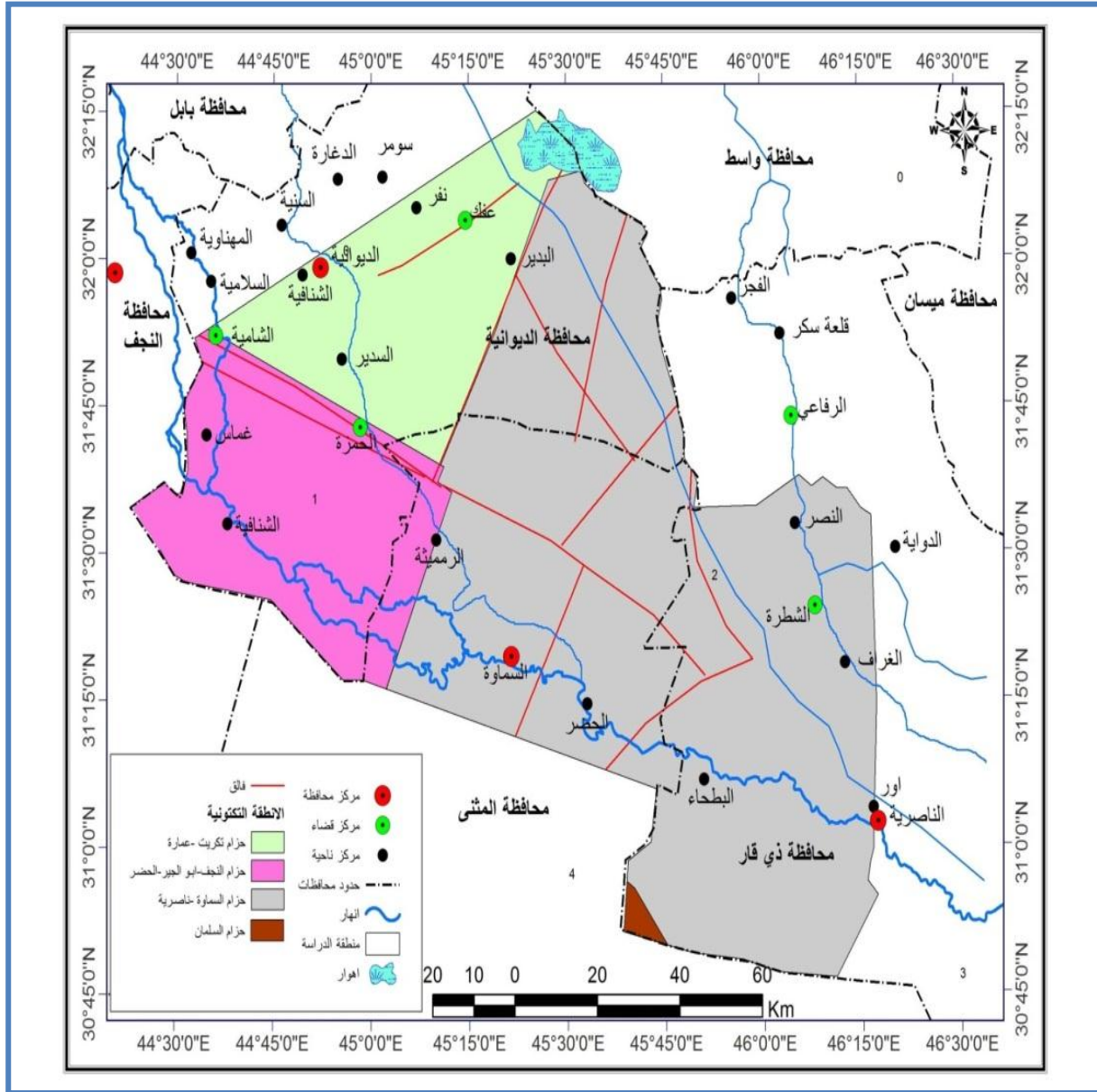
(4) جاسم محمد الخلف، محاضرات في جغرافية العراق الطبيعية والاقتصادية، القاهرة، معهد الدراسات العربية العالية، 1959، ص17.

(5) عدنان النقاش ، وآخرون ، اثر الظواهر الخطية في التكتونية الصحراء الغربية العراقية ، المجلة الجيولوجية العراقية، المجلد 25، العدد (1)، 1992، ص16.

## الفصل الثاني / العوامل والمظاهر الأرضية المسيطرة في رسم صورة المظهر الأرضي لمنطقة الدراسة

وشمال ، جنوب وشمال غرب ، جنوب شرق) وكانت لهذه الصدوع اهمية كبيرة في تحديد تركيبية منطقة الدراسة اذ تكوّن حفرًا غائرًا عند تقاطع تلك الصدوع والفوالق . واثرت الحركات الابلية في نهاية العصر الطباشيري في نطاق الرصيف المستقر بشكل حركات رفع عمودية صاحبته بعض الازاحات الافقية في كتل الاساس فنتج عن ذلك تشوهات في الغطاء الفيضي لقليل السمك متمثلاً في اشكال من الهضبات والمنخفضات <sup>(1)</sup>.

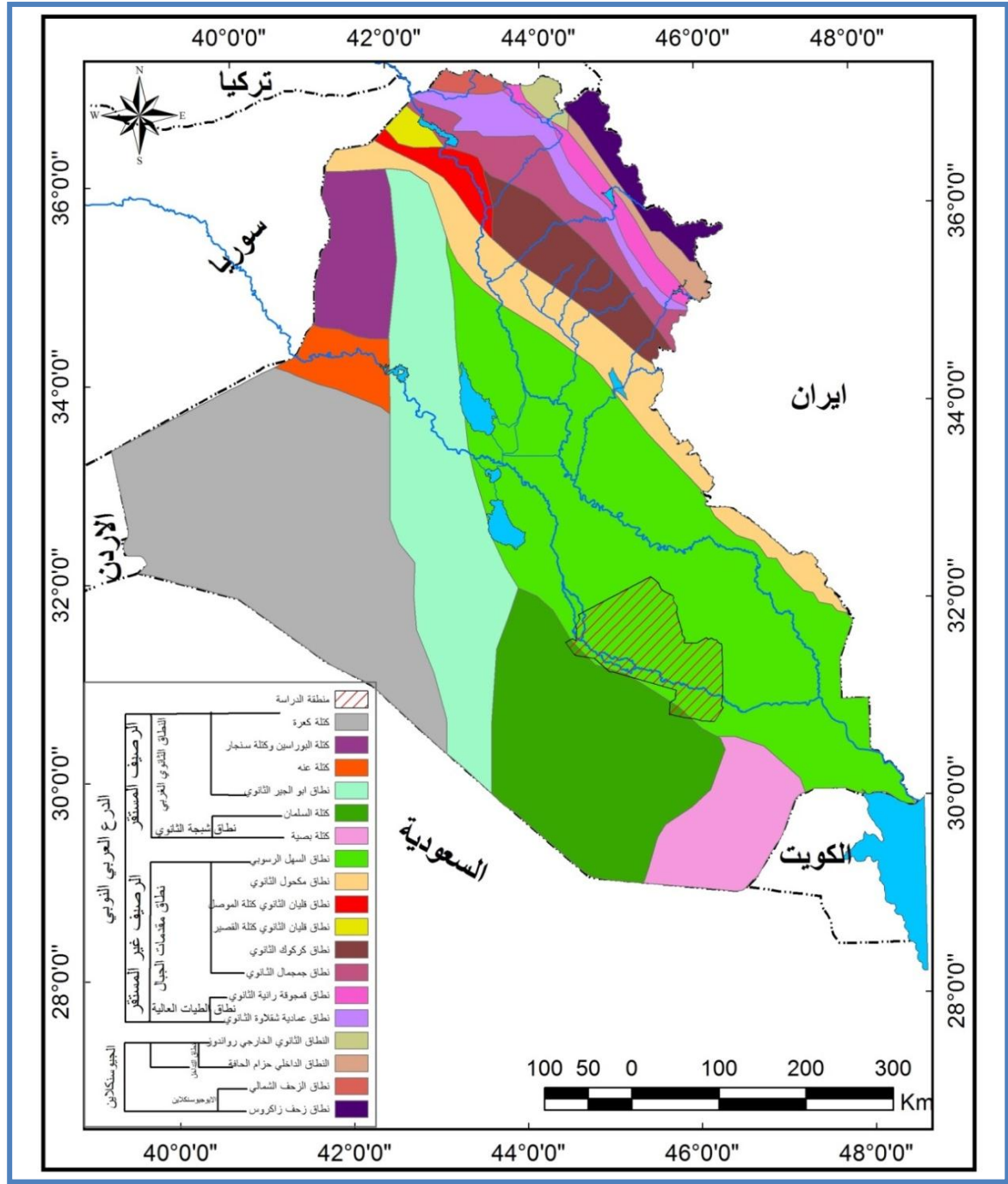
### الخريطة (2-2) الانطقة التكتونية لمنطقة الدراسة



المصدر: بالاعتماد على: وزارة الصناعة والمعادن، الهيئة العامة للمسح الجيولوجي والتحري المعدني، خريطة جيولوجية العراق، مقياس 1:1000000، لسنة 2000 م. وباستخدام برنامج GIS 10.3

<sup>(1)</sup> حسين عذاب خليف الهريود، دراسة اشكال سطح الارض في منطقة سلمان جنوب - غرب العراق ، اطروحة دكتوراه (غير منشورة) قسم الجغرافية ، كلية التربية ، جامعة المستنصرية ، 2006، ص93

الخريطة (2-3) موقع منطقة الدراسة حسب الانطقة التكتونية



المصدر: بالاعتماد على:

- 1- وزارة الصناعة والمعادن، الهيئة العامة للمسح الجيولوجي والتعديني، خريطة جيولوجية العراق، مقياس 1:1000000، لسنة 2000 م.
- 2- بأستخدام برنامج GIS 10.3



## المبحث الثاني

### المظاهر الأرضية المسيطرة في رسم صورة المظهر الأرضي لمنطقة الدراسة

#### 2-2-1 الخصائص التضاريسية Thematic characteristics

يؤدي الخصائص التضاريسية دوراً كبيراً في تكوين الأشكال الأرضية من خلال تأثيرها بالعمليات الجيومورفية في منطقة الدراسة ومن خلال شكل هذه التضاريس الارتفاع والانخفاض والانبساط والتموج والانحدار وذلك لأنه يحدد مدى التأثير بالعمليات الجيومورفية (التجوية - التعرية) والتي تغير كثيراً من مظاهر سطح الأرض المنطقة ، وان خطوط الارتفاعات المتساوية هي انسب الوسائل لبيان مظاهر سطح الأرض المختلفة فإن كل مظهر من أشكال السطح يظهر بصورة معينة اذا ما رسم بخطوط الكنتور يمكن معرفة تلك الأشكال ودراسة خطوط الارتفاع وانتشاءاتها وطبيعة مناسيبها ومدى تقاربها وتباعدها عن بعضها لبعض والتي تم رسمها بواسطة برنامج (Arc GLS10.3) وتم تعريف البرنامج على قيمة الارتفاع لكل خط لغرض تحليل خصائص الارتفاع والخصائص الانحدار على نحو الاتي:

#### 2-2-1-1 خصائص الارتفاع Height characteristics

تقع منطقة الدراسة بين خط الارتفاع (20 م) فوق مستوى سطح البحر في الجزء الشمالي وخط الارتفاع (54 م) فوق مستوى سطح البحر في الجزء الغربي كما في الخريطة (2-4) ونلاحظ خطوط الارتفاع المتساوية تسير بأشكال مختلفة في المنطقة وتكون متقاربة في الاقسام الشمالية الغربية والوسطى لمنطقة الدراسة.

يتضح من خطوط الكنتور التي تتراوح بين (9 - 20 م) فوق مستوى سطح البحر في الجزء الشمالي الشرقي انها تتميز بتضرس قليل ومن الخط (9 - 54 م) فوق مستوى سطح البحر في الجزء الجنوب الغربي يتميز بتضرس وتقارب شديدين ويتميز هذا الجزء من المنطقة بالمظاهر الجيومورفية البارزة والمميزة والسبب في ذلك يرجع الى الحركات التكتونية التي حدثت في المنطقة والتي ساعدت على وجود مناطق تضاريس متنوعة فيها، قسمت منطقة الدراسة الى ست فئات ارتفاع كما نلاحظ في الخريطة (2-5) والجدول (2-2) والشكل (2-2).

1- الفئة الاولى : تقع ضمن الجزء الجنوب الشرقي الذي يتراوح ارتفاعها بين (0.8 م) فوق مستوى سطح البحر وبمساحة تبلغ (4835 كم<sup>2</sup>) وتشكل نسبة نحو (31.72%) من مساحة منطقة الدراسة وتتميز بأنها اكثر الأرضي انخفاضاً في المنطقة.

2- الفئة الثانية : تسود هذه الفئة في الاجزاء الجنوبية الشرقية والوسطى وتتراوح ارتفاعها بين (0.01 ، 13 م) فوق مستوى سطح البحر وبمساحة تبلغ (2618 كم<sup>2</sup>) وتشكل نسبة (17.18%) من مساحة منطقة الدراسة وتتميز اكثر ارتفاعاً من الفئة الاولى.

## الفصل الثاني/ العوامل والمظاهر الأرضية المسيطرة في رسم صورة المظهر الأرضي لمنطقة الدراسة

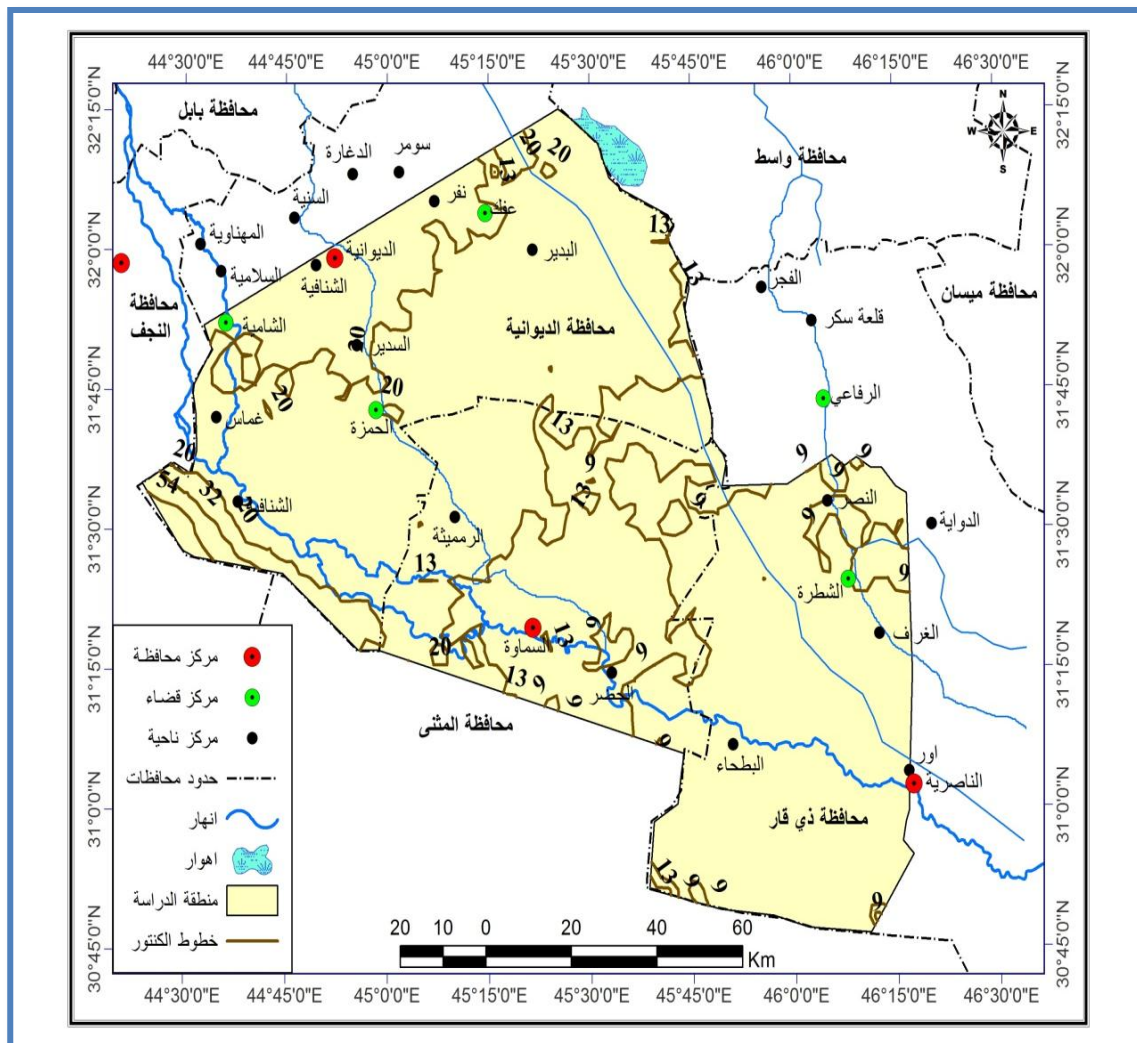
3- **الفئة الثالثة** : تقع ضمن الاجزاء الشمالية الشرقية والغربية ويتراوح ارتفاعها بين (13.1 ، 18 م) فوق مستوى سطح البحر وبمساحة (6027 كم<sup>2</sup>) وتشكل نسبة نحو (39.54%) من مساحة منطقة الدراسة.

4- **الفئة الرابعة**: تقع ضمن الجزء الشمالي الغربي ويتراوح ارتفاعها بين (18.1، 30 م) فوق مستوى سطح البحر وبمساحة (1586 كم<sup>2</sup>) وتشكل نسبة (10.41%) من مساحة منطقة الدراسة .

5- **الفئة الخامسة**: تسود هذه الفئة في الجزء الغربي ويتراوح ارتفاعها بين (30.1، 50 م) فوق مستوى سطح البحر وبمساحة (114 كم<sup>2</sup>) وتشكل نسبة (0.75%) من مساحة المنطقة .

6- **الفئة السادسة** : تظهر هذه الفئة في الجزء الغربي ويتراوح ارتفاعها بين (50.1 ، 79 م) فوق مستوى سطح البحر وبمساحة (61 كم<sup>2</sup>) وتشكل نسبة نحو (0.4%) من مساحة المنطقة .

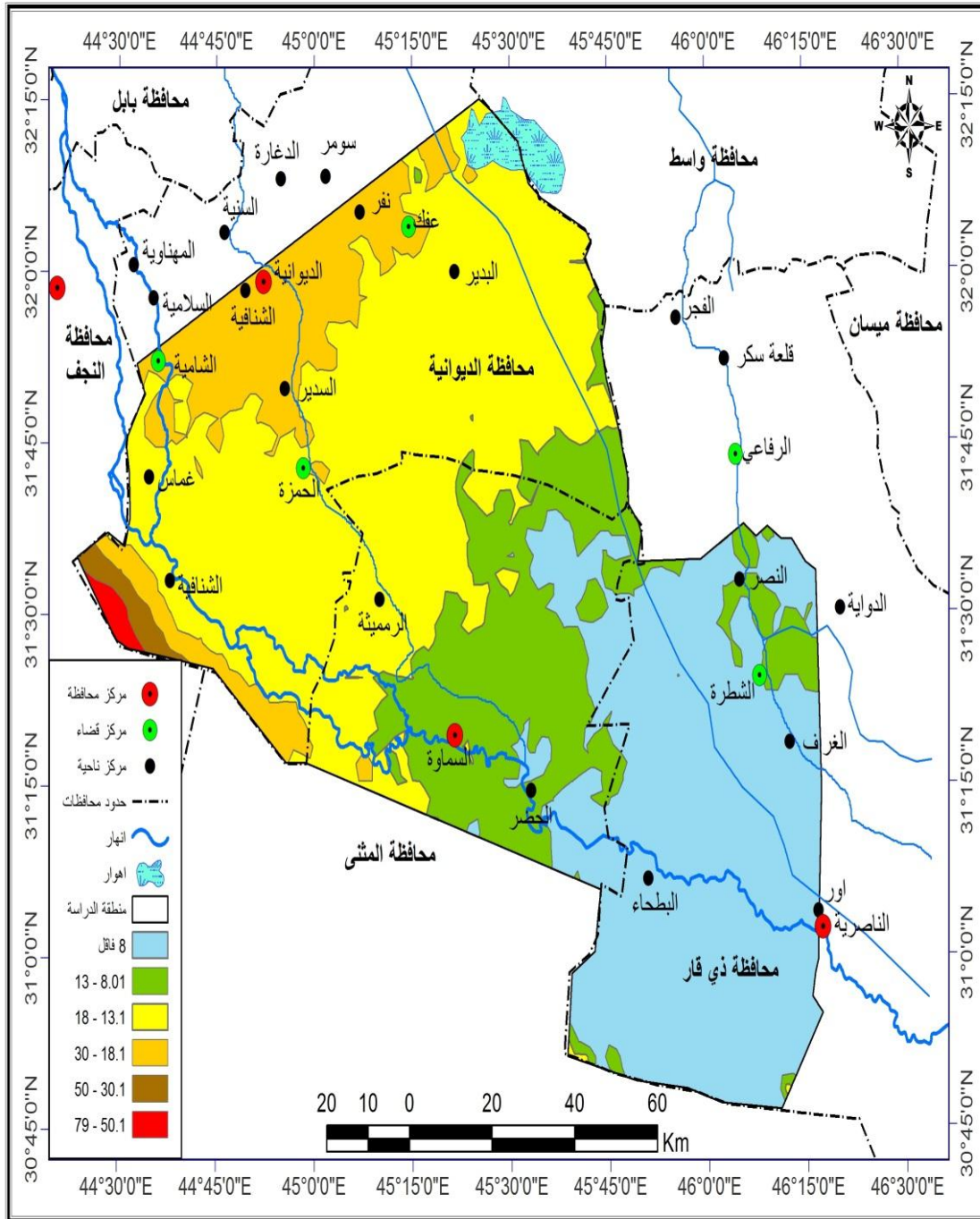
الخريطة (2-4) الارتفاعات المتساوية لمنطقة الدراسة



المصدر: اعتماداً على: وزارة الصناعة والمعادن، الهيئة العامة للمسح الجيولوجي والتحري المعدني، خريطة جيولوجية العراق، مقياس 1:1000000، لسنة 2000 م. وباستخدام برنامج Arc Gis 10.3 .

## الفصل الثاني/ العوامل والمظاهر الأرضية المسيطرة في رسم صورة المظهر الأرضي لمنطقة الدراسة

### الخريطة (2-5) انطقة فئات الارتفاع (متر) في منطقة الدراسة



المصدر: اعتماداً على: وزارة الصناعة والمعادن، الهيئة العامة للمسح الجيولوجي والتحري المعدني، خريطة جيولوجية العراق، مقياس 1:1000000، لسنة 2000 م . وباستخدام برنامج Arc Gis 10.3 .

## الفصل الثاني/ العوامل والمظاهر الأرضية المسيطرة في رسم صورة المظهر الأرضي لمنطقة الدراسة

جدول (2-2) المساحة والنسبة المئوية لمستويات السطح في منطقة الدراسة

الارتفاعات/ متر	المساحة كم <sup>2</sup>	النسبة المئوية لمساحة فئات الارتفاع الى المساحة الكلية %
8 فأقل	4835	31.72
13 - 8.01	2618	17.18
18 - 13.1	6027	39.54
30 - 18.1	1586	10.41
50 - 30.1	114	0.75
79 - 50.1	61	0.4
المجموع	15241	100

المصدر: بالاعتماد على برنامج Arc Map10.3

### 2-1-2-2 خصائص الانحدار Characteristics of the slope

يعرف المنحدر بأنه تغير عمودي لسطح الأرض عن المستوى الأفقي عند ارتفاع وانخفاض سطح الأرض ولا ينحصر تواجدتها على الأراضي المضروسة والمرتفعات بل تشمل الأراضي السهلية مثل السهول العظمى المتموجة ، السفوح المعتدلة الانحدار باستثناء السهول الفيضية الرسابية التي لا تزيد مساحتها عن (10%) من مساحة اشكال سطح الأرض<sup>(1)</sup> . ويتكون المنحدر من ثلاثة محاور رئيسة وتشمل<sup>(2)</sup>:

- قمة المنحدر التي تمثل أعلى جهة في المنحدر.
- سفح المنحدر وهو المكان الذي يترسب عليه الفتات الصخري.
- خلف المنحدر هو المكان الذي ينقل منه الفتات الصخري.

تعد الانحدارات ذات أهمية كبيرة في الدراسات الجيومورفية ، إذ أن اعداد خريطة الانحدار تساعد على توضيح المتغير الجيومورفي وتحديد ملامح تنوع العمليات الجيومورفية وشدها<sup>(3)</sup>. من أجل تحليل خصائص الانحدارات السائدة في منطقة الدراسة ، فقد تم الاعتماد على تصنيف (Young, 1975) الذي صنف المنحدرات الى سبع درجات تتراوح ما بين (0- أكثر من 45) للوصول إلى أفضل النتائج التي تمثل منحدرات منطقة الدراسة ، ووفقاً لذلك صنفنا المنطقة الى خمس فئات انحداريه واقعة ضمن تصنيف (young) بناءً على ما ظهر من خريطة درجات الانحدار كما نلاحظ في الخريطة (2-6) جدول (2-3) والشكل (2-3) وهي على النحو الآتي:

(1) تغلب جرجيس داود، علم اشكال سطح الارض التطبيقي، مجلد 1، وزارة التعليم العالي والبحث العلمي، الدار الجامعية للطباعة، البصرة، 2000 م، ص 123.

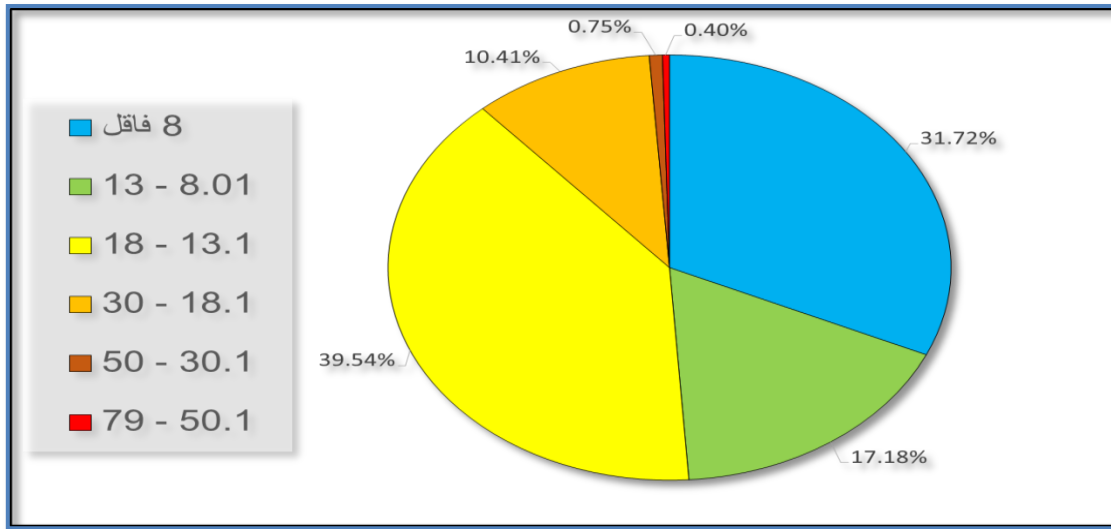
(2) سعد عجبل مبارك الدراجي ، اساسيات علم اشكال سطح الارض ، دار الكتب والوثائق ببغداد، ط2، 2014، ص231.

(3) تغلب جرجيس داود، علم اشكال سطح الارض التطبيقي، مصدر سابق، ص 124.



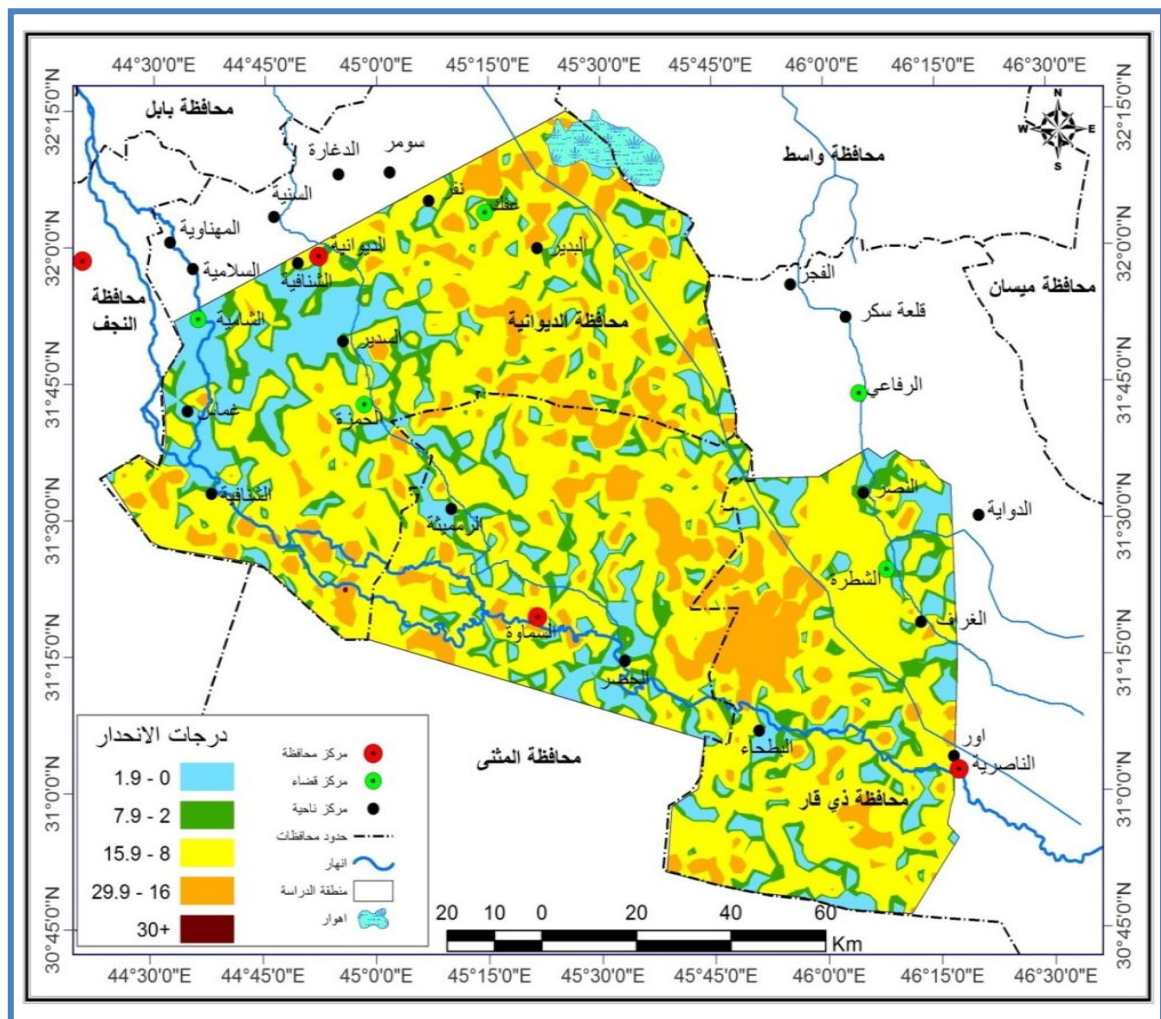
## الفصل الثاني/ العوامل والمظاهر الأرضية المسيطرة في رسم صورة المظهر الأرضي لمنطقة الدراسة

شكل (2-2) النسبة المئوية (%) لمستويات السطح في منطقة الدراسة



المصدر: بالاعتماد على جدول (2-2)

خريطة (2-6) فئات الانحدار لمنطقة الدراسة



المصدر: بالاعتماد على: وزارة الصناعة والمعادن، الهيئة العامة للمسح الجيولوجي والتعدين، خريطة جيولوجية العراق، مقياس 1:1000000، لسنة 2000 م. وباستخدام برنامج Arc Gis 10.3 .



## الفصل الثاني/ العوامل والمظاهر الأرضية المسيطرة في رسم صورة المظهر الأرضي لمنطقة الدراسة

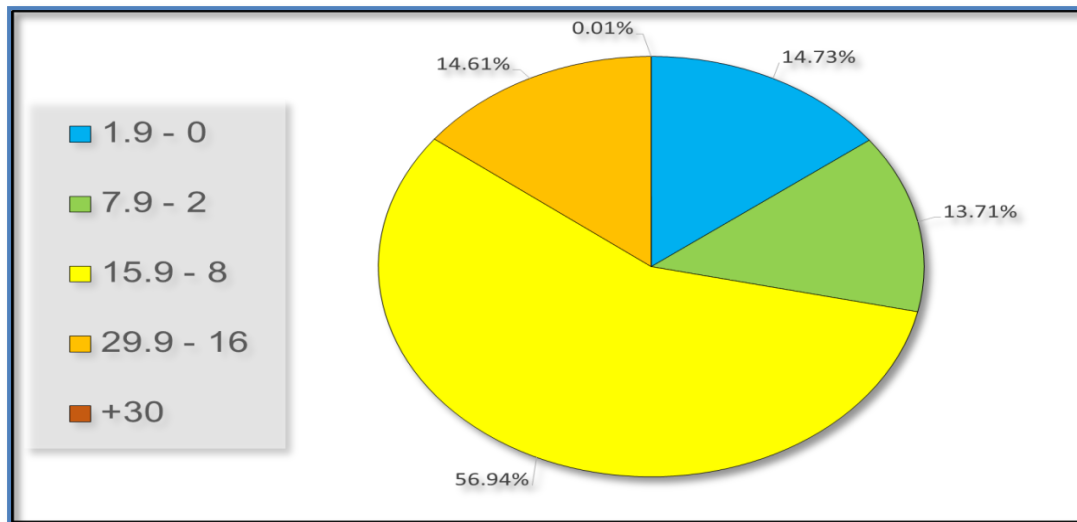
جدول (3-2) المساحة والنسبة المئوية والنوع الانحدارات في منطقة الدراسة

درجات الانحدار	المساحة كم <sup>2</sup>	النسبة المئوية %	نوع انحدار الأرض
1.9 - 0	2245.7	14.73	أراضي شبه مستوية
7.9 - 2	2089.9	13.71	أراضي بسيطة الانحدار
15.9 - 8	8677.5	56.94	أراضي خفيفة الانحدار
29.9 - 16	2226.7	14.61	أراضي معتدلة الانحدار
+30	1.2	0.01	أراضي شديدة الانحدار
المجموع	15241	100	

المصدر : بالاعتماد على:

- 1- باستخدام برنامج ( Arc map 10.3 )
- 2- تغلب جرجيس داود، علم إشكال سطح الأرض، الجيومورفولوجيا التطبيقية، كلية التربية، الجامعة المستنصرية، الدار الجامعية للطباعة ، البصرة ، 2000 م ، ص 123-124.

شكل (3-2) النسبة المئوية (%) لانحدارات في منطقة الدراسة



المصدر : بالاعتماد على جدول (3-2)

1- **الفئة الاولى :** تقع هذه الفئة في مناطق متفرقة ولاسيما الجزء الشمال الغربي والجنوب الشرقي والتي تتراوح درجة انحدارها بين (صفر ، 1.9) وتشغل مساحة نحو (2245.7 كم<sup>2</sup>) ونسبة (14.73%) من منطقة الدراسة . تمثل الأراضي شبه المستوية التي تكون بمساحة محدودة من المنطقة الهضابية المنبسطة، التي تأخذ الطبقات الصخرية فيها وضعاً شبه أفقي وكذلك الأراضي التي أسهمت عوامل التعرية والتجوية في تسويتها ، إذ ان مثل هذه الأراضي لا تمثل عائقاً او مشكلاً أمام اي نشاط اقتصادي او زراعي عند انشائها ، لكنها تعاني من عدم تصريف المياه اذا كانت ذات طبقات صخرية غير نفاذة.

2- **الفئة الثانية :** تسود هذه الفئة في الاقسام الوسطى والشمالية الغربية والجنوبية الشرقية والتي تتراوح درجة انحدارها بين (2 ، 7.9) وتشغل مساحة نحو (2089.9 كم<sup>2</sup>) ونسبة (13.71%) من منطقة الدراسة وتمثل هذه الفئة الاراضي البسيطة الانحدار تبدأ هذه الفئة عندما تتحدر الأرض قليلاً قبل الوصول الى المنخفضات والجروف الصخرية التي تتمثل بأراضي ما بين الوديان وتعد وحدة انتقالية بين الاراضي شبه المستوية والاراضي الخفيفة الانحدار .

3- **الفئة الثالثة :** تنتشر هذه الفئة في شكل واسع وتتراوح درجة انحدارها بين (8 ، 15.9) وتشغل مساحة (8677.5 كم<sup>2</sup>) ونسبة (56.94%) من منطقة الدراسة وتكون الارضي فيها خفيفة الانحدار وتمثل هذه الفئة جروف المنخفضات المنحدرات الصخرية وتعد مناطق هذه الفئة بيئة ملائمة لعمليات التعرية.

4- **الفئة الرابعة :** تتمثل هذه الفئة في مناطق متفرقة لاسيما الاجزاء الوسطى والشمالية الشرقية والجنوبية الغربية والتي تتراوح درجة انحدارها بين (16 ، 29.9) وتشغل مساحة نحو (2226 كم<sup>2</sup>) ونسبة (14.61%) من المنطقة . تكون الارضي فيها معتدلة الانحدار نتيجة الانجراف الذي تتعرض له التربة بفعل المياه الجارية عند موسم تساقط الامطار وتعد بيئة ذات مخاطر تعرية كبيرة .

5- **الفئة الخامسة :** تمثل الاراضي شديدة الانحدار تقع بين فئة الانحدار (30 واكثر) وتشغل مساحة (1.2 كم<sup>2</sup>) ونسبة (0.01%) من منطقة الدراسة . ويجب اتخاذ اجراءات خاصة لتقليل انحدار سطح الارض بأنشاء المصاطب والمدرجات .

### 2-2-1-3 اتجاه الانحدار Direction of The Slope

يؤثر اتجاه الانحدار في سير العملية الجيومورفية ولاسيما عملية التعرية من خلال تباين درجات الحرارة والامطار والتبخر ، ان الانحدارات التي تواجه الجنوب الغربي تعاني من التعرية اكثر من الانحدارات التي تواجه الشمال الشرقي وذلك لان الانحدارات الجنوبية تكون معرضة لاختلاف درجات الحرارة والرطوبة اكثر من الاتجاهات الاخرى . كما ان الاراضي والمنحدرات الجنوبية التي تواجه الشمس بشكل مباشر تجف بسرعة اكثر من الاراضي المستوية من ثم تصبح تربة المنحدرات الجنوبية قليلة المادة العضوية وتكون معرضة للتفكك اكثر من ترب اراضي المنحدرات المواجهة للشمال ويمكن القول أن الانحدارات الجنوبية تكون معرضة للتبخر ولاسيما المناطق ذات الانحدار الشديد إذ إن كمية الجريان في هذه المنحدرات تكون اقل ولكن التعرية اكبر <sup>(1)</sup>.

توضح الخريطة (2-7) والجدول (2-4) والشكل (2-4) وفق الاتجاهات والانحدار التي اشتقت من نموذج الارتفاع الرقمي (DEN) لمنطقة الدراسة وان اغلب اتجاهات المنحدر نحو الجنوب الذي يشغل مساحة (4122.7 كم<sup>2</sup>) ونسبة (27.05%) من مساحة منطقة الدراسة واتجاه الجنوب الشرقي الذي

(1) أحمد محمد صالح العزي، التقييم الجيومورفولوجي وآلية التغيرات الهندسية لشكل حوضي طوز جاي ووداي شيخ محسن/نهر العظيم ،أطروحة دكتوراه (غير منشورة) ، كلية التربية ابن رشد، جامعة بغداد، 2005، ص45.

## الفصل الثاني/ العوامل والمظاهر الأرضية المسيطرة في رسم صورة المظهر الأرضي لمنطقة الدراسة

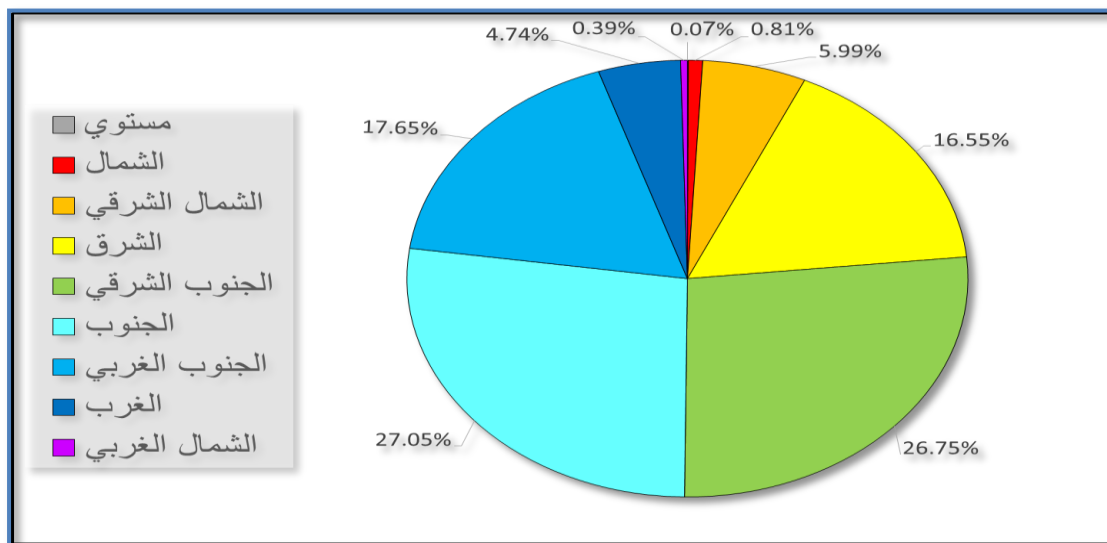
يشغل أعلى اتجاه نحو (4077.6 كم<sup>2</sup>) ونسبة نحو (26.75%) من مساحة المنطقة وتأثير المنخفضات لا يقتصر على جهة الانحدار وإنما على عموم المنطقة ولكن الأمر الفاعل هو شدة الانحدار في حالة سقوط أمطار غزيرة والعكس . أما الاتجاهات الأخرى لاسيما (الشمال ، الشمال الشرقي ، الشرق ، الجنوب الغربي ، الغرب ، الشمال الغربي) والتي بلغت نحو (124.1، 913.6، 2522.4 ، 2689.6 ، 722.7، 60 كم<sup>2</sup>) على التوالي ونسبة (0.81، 5.99، 16.55، 17.65، 4.74، 0.39 %) لكل منهما على التوالي . إن أغلب الأراضي المختلفة انحداراتها تتجه نحو الجنوب والجنوب الشرقي وأقلها في الاتجاهات الأخرى ويقود هذا إلى أن أغلب انحدارات منطقة الدراسة تواجه التساقط المطري الموسمي وهذا يؤدي إلى نشاط العمليات المورفومناخية .

جدول (4-2) المساحة والنسبة المئوية للاتجاهات الانحدار في منطقة الدراسة

اتجاهات الانحدار	المساحة كم <sup>2</sup>	النسبة المئوية %
1 مستوي	8.3	0.07
2 الشمال	124.1	0.81
3 الشمال الشرقي	913.6	5.99
4 الشرق	2522.4	16.55
5 الجنوب الشرقي	4077.6	26.75
6 الجنوب	4122.7	27.05
7 الجنوب الغربي	2689.6	17.65
8 الغرب	722.7	4.74
9 الشمال الغربي	60	0.39
المجموع	15241	100

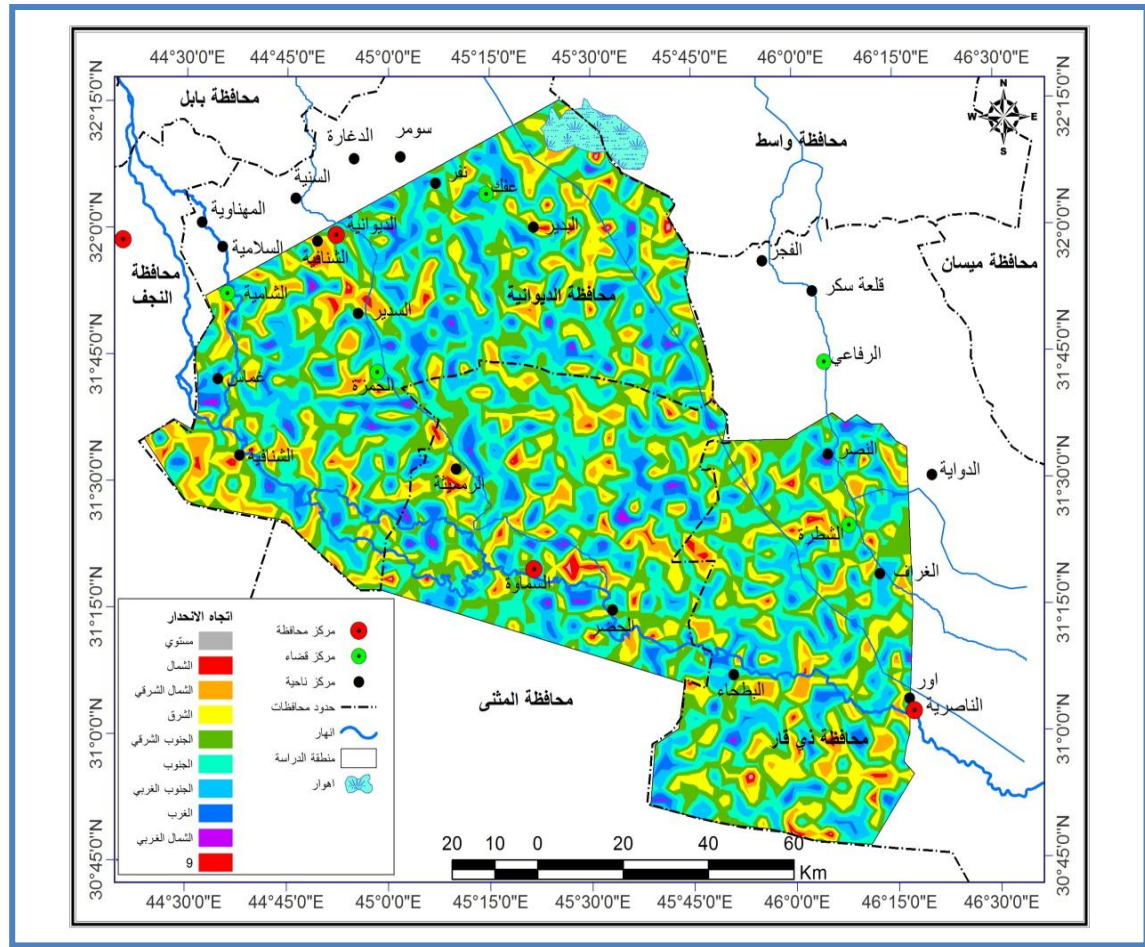
المصدر: بالاعتماد على برنامج Arc Map10.3

شكل (4-2) النسبة المئوية للاتجاهات الانحدار في منطقة الدراسة



المصدر: بالاعتماد على جدول (4-2)

خريطة (2-7) اتجاهات الانحدار لسطح منطقة الدراسة



المصدر: بالاعتماد على بيانات الارتفاعات الرقمية (DEM).

## 2-2-2 الموارد المائية Water Resource

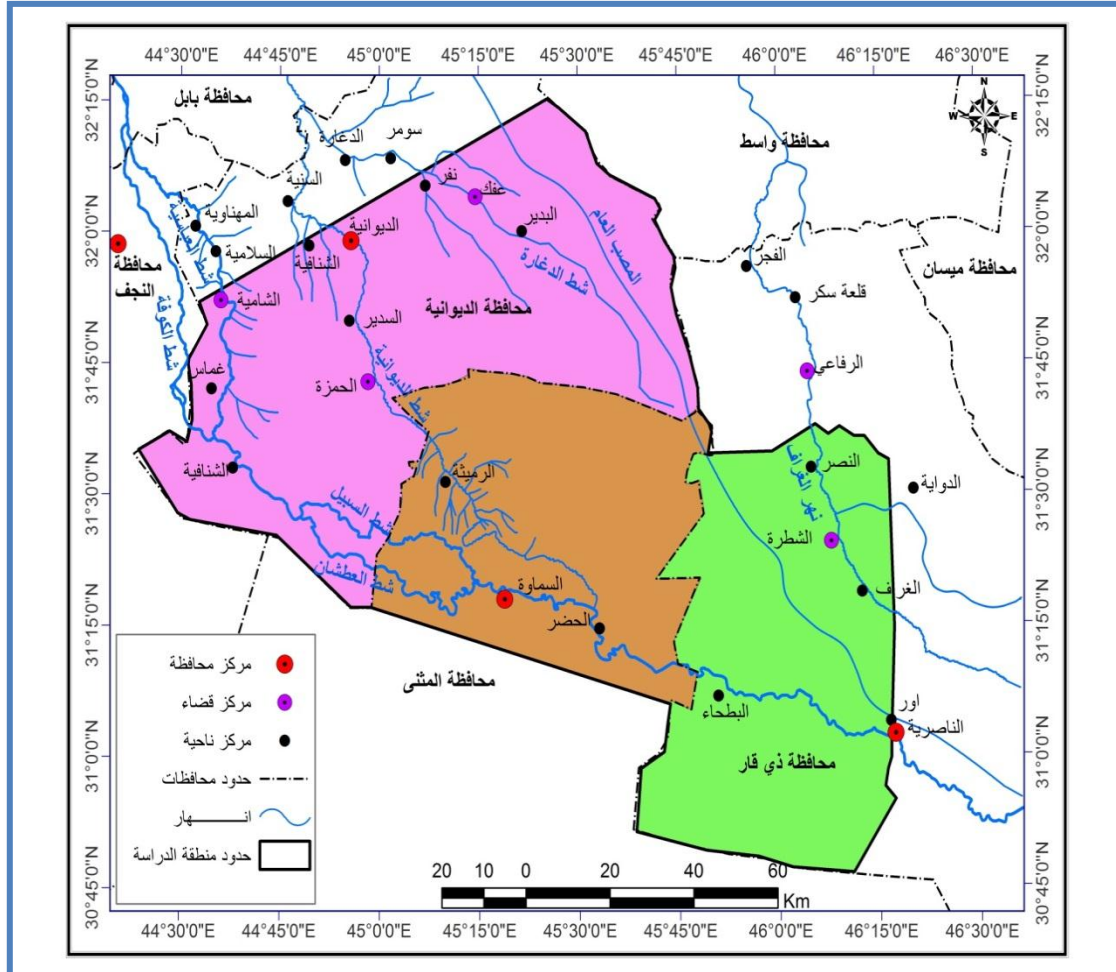
تعد المياه من عوامل التشكيل الخارجي لسطح الأرض التي تسهم في تكوين الأشكال الأرضية في منطقة الدراسة من خلال ما تقوم به عمليتا النحت والترسيب. إذ تعد منطقة الدراسة من المناطق التي اعتمدت على المياه السطحية التي يوفرها نهر الفرات وفروعه المتعددة منذ القدم<sup>(1)</sup>. يكون مناخ المنطقة مناخ صحراوي نتيجة قلة الأمطار وارتفاع درجات الحرارة، وقد وصل مجموع الأمطار السنوية لمحطات منطقة الدراسة (109.4، 131.9، 89.8، 101.2) ملم، وارتفاع التبخر ونتيجة لذلك حدث عجز مائي كبير في المنطقة. مما يساعد على تنشيط العمليات الجيومورفية مثل التجوية (الفيزيائية والكيميائية) لتكوين الأشكال الجيومورفية المختلفة. كما أن طبيعة سطح المنطقة المستوي والتربة الخصبة وطبيعة جريان الأنهار كلها دفعت الإنسان في العراق القديم إلى الاعتماد على الري إذ إن

(1) حسني خروجي، الآثار المحتملة لتغير المناخ على الموارد المائية: دواعي القلق في المنطقة العربية، برنامج الأمم المتحدة الإنمائي لجامعة الدول العربية، 2009، ص 3.

## الفصل الثاني/ العوامل والمظاهر الأرضية المسيطرة في رسم صورة المظهر الأرضي لمنطقة الدراسة

المطر لا يكفي للإنتاج الزراعي. ولغرض معرفة توزيع الموارد المائية في منطقة الدراسة فقد قسمت على النحو الآتي كما موضح في خريطة (8-2) :-

خريطة (8-2) الموارد المائية السطحية في منطقة الدراسة



المصدر: بالاعتماد على: وزارة الصناعة والمعادن، الهيئة العامة للمسح الجيولوجي والتحري المعدني، خريطة جيولوجية العراق، مقياس 1:1000000، لسنة 2000 م. وباستخدام برنامج Arc Gis 10.3 .

### 1-2-2-2 المياه السطحية Surface Water

#### 1-1-2-2-2 نهر الفرات

يدخل بمجرى واحد عند ناحية البطحاء يواصل جريانه باتجاه الجنوب والجنوب الشرقي و يبلغ طوله نحو (180 كم) بانحدار مقداره نحو (2.7 سم/كم)<sup>(1)</sup>. عند دخوله البطحاء ويسبب قله انحدار مجرى النهر وانخفاض سرعة جريانه أدى الى ظهور الجزر النهرية مثل جزيرة عويجة والزوية تكونت من ترسبات في قاع المجرى فضلاً عن زيادة كمية الرواسب التي لا يستطيع النهر حملها فيتم ارسابها كما يتصف بتكثر المنعطفات النهرية<sup>(2)</sup>. تتمثل مناطق تغذية نهر الفرات بالأمطار والتلوج التي تتجمع فوق

(1) وفيق حسين الخشاب ، وآخرون، الموارد المائية في العراق، جامعة بغداد ، 1983، ص62.

(2) سرجان نعيم الخفاجي ، مصدر سابق ، ص172.



## الفصل الثاني/ العوامل والمظاهر الأرضية المسيطرة في رسم صورة المظهر الأرضي لمنطقة الدراسة

قمم جبال تركيا والتي تعد المصدر الرئيس والخزان الطبيعي لمجرى نهر الفرات <sup>(1)</sup>. كما تعد المصدر الثاني في تغذية منابع نهر الفرات ، ولاسيما الأمطار التي تسقط في تركيا، وتشكل الأمطار التضاريسية والاعصارية نسبة (45.3%) من مجموع امطارها السنوية، في حين تشكل الأمطار الربيعية نسبة (24.5%) من كمية الأمطار السنوية. ويظهر من ذلك بان نسبة تغذية نهر الفرات من المياه تتركز في ضمن منابعه في تركيا وسوريا، في حين ان ما يصل من نهر الفرات إلى العراق يكون قليلاً جداً، والتي غالباً ما تكون على شكل مياه تتجمع في وديان الهضبة الغربية والتي تتجه مع الانحدار باتجاه حوض الفرات نتيجة سقوط الأمطار، والتي تتعرض كميات كبيرة منها اما إلى التبخر والتسرب داخل سطح الأرض مُشكلة بذلك مياهاً جوفية، مما لا يساعد ذلك في تزويده بالمياه إلا بكميات قليلة جداً <sup>(2)</sup>. وتبين من الجدول (2-5) ان مساحة حوض نهر الفرات تبلغ نحو (444000 كم<sup>2</sup>) موزعة بين الدول إذ تصل في تركيا (12500 كم<sup>2</sup>) ونسبة (28.2 %) من المساحة الكلية وتصل في سوريا نحو ( 76000 كم<sup>2</sup>) ونسبة (17%) وفي حين تبلغ نسبة حوضه في العراق والسعودية الى ما يقارب (177000 ، 66000 كم<sup>2</sup>) ونسبة 40 ، 14.8% لكل منهما على التوالي ويتضح ان اكبر مساحة الحوض تتركز في العراق بنسبة 40% من مجموع المساحة الكلية ومجموع الامطار التي يتغذى منها النهر تبلغ حوالي (138 ملم) كحد اعلى ونحو ( 50 ملم) كحد ادنى.

جدول (2-5) مساحة حوض نهر الفرات ونسبتها وكميات الأمطار التي تغذيها

الدولة	مساحة الحوض (كم <sup>2</sup> )	نسبتها من المساحة الكلية (%)	المساحة المهمة في التغذية (كم <sup>2</sup> )	نسبتها من مساحة الحوض (%)	المجموع السنوي للأمطار (ملم)
الدولة	اعلى معدل	ادنى معدل	اعلى معدل	ادنى معدل	ادنى معدل
تركيا	125000	28.2	125000	100	1137
سوريا	76000	17	26000	34.2	476
العراق	177000	40	-	-	138
السعودية	66000	14.8	-	-	50
المجموع	444000	100%	-	-	-

المصدر: حارث عبد الجبار الضاحي، الأمطار في العراق ، رسالة ماجستير (غير منشورة)، كلية الآداب، جامعة الاسكندرية، 1989، ص 248.

نتيجة لقلّة الانحدار وظهور الحواجز الصغيرة ترسبت المواد الناعمة من الرمل والغرين وتكونت جزيرة آل العظم جنوب شرق الناصرية. وإلى الجنوب من مدينة الناصرية بحدود 32 كم يتفرع من نهر الفرات شط السفحة الذي يتفرع إلى جدولين هما عكيكة وبني حسن حيث ينتهيان في الأهوار. ثم يصل النهر سوق الشيوخ ليخرج من الجانب الأيمن جدول أم نخلة ثم يتفرع منه جدولان هما جدول بني سعيد والحفار ثم يسير المجرى في هور الحمار ليمر بمدن الفهود والجبايش ليدخل محافظة البصرة. ثم يجري ليصب في

(1) جاسم محمد الخلف ، جغرافية الطبيعية والبشرية والاقتصادية، مطبعة دار المعرفة، القاهرة، 195، ص 180.

(2) حارث عبد الجبار الضاحي ، الامطار في العراق، رسالة ماجستير غير منشورة كلية الآداب . جامعة الاسكندرية ، 1989، ص 248.

شط العرب عند القرنة، وتسود هنا ظاهرة انهيار الضفاف النهرية لاسيما بين قضاءي سوق الشيوخ والجبايش.

## 2-2-2-1-2 نهر الغراف

يتفرع من نهر دجلة من مقدمة سدة الكوت ويتجه نحو الاقسام الجنوبية الشرقية من المنطقة وعند قلعة سكر يدخل نهر الغراف الى محافظة الناصرية ويصب في هور الحمار وان المجرى الذي يسلكه نهر الغراف هو المجرى القديم لنهر دجلة قبل ان يغير مجراه ويسير الغراف بطول (230 كم<sup>2</sup>) ويسير في 140 كم في ذي قار<sup>(1)</sup>. يمر النهر بأطوار متعددة بلغت اربعة اطوار ففي طوره الاول الذي يمتد من الالف الثالث قبل الميلاد وحتى الالف الاول قبل الميلاد كان يجري باتجاه شط الغراف وفي الطور الثاني الذي يشمل اوائل العهد الميلادي اتجه نحو العمارة واستمر ستة قرون وفي الطور الثالث عاد النهر الى مجرى الغراف سنة 627، 628 م وفي الطور الرابع تحول النهر الى مجرى العمارة سنة 1695م وحيث اشارة مصادر اخرى الى ان التغير حدث في بداية القرن التاسع عشر<sup>(2)</sup>.

ان الظروف الطبيعية المؤثرة على نهر الغراف هي نفسها المؤثرة على نهر دجلة ولاسيما درجات الحرارة وقيم التبخر لأغلب اشهر السنة وترشيع المياه الى باطن الارض مما يجعل تصاريدها المائية منخفضة وخاصة في فترة الصيف ونتيجة للانخفاض مع قلة انحدار الارض واصبح تصريف مياه الري بطيئاً اضافة لدور المياه الجوفية التي ترفد بالمياه اثناء فترة انخفاض مناسيبها في فصل الصيف وجعل مياهه مالحة وترتبط تصاريدها مياه نهر الغراف بتصاريدها نهر دجلة حيث ان هناك تبايناً بين فترة واخرى حيث سجل اعلى تصريف سنوي (1987، 1988 م) وبلغ نحو (2992 م<sup>2</sup> - ثا) بينما اقل تصريف مائي لنهر الغراف سنة (2000، 2001 م) بلغ نحو (85 م<sup>2</sup> - ثا)<sup>(3)</sup>.

## 2-2-2-3 شط الديوانية

يتفرع شط الديوانية من ذنائب شط الحلة ويسير في المجرى القديم لنهر الفرات ويعد شط الديوانية أهم الأنهار المتفرعة في محافظة القادسية والذي يروي مساحة زراعية كبيرة تقدر نحو (550000 دونم) وبطاقة تصريفية تصل الى 60 م<sup>3</sup> / ثا وبطول يبلغ نحو (123 كم<sup>2</sup>)<sup>(4)</sup>. يتضح من الجدول (2-6) والخريطة (2-9) ان من اهم الجداول المتفرعة من شط الديوانية هي (الشافعية الحديث، الشافعية القديم، الحفار الصغير، النورية) إذ بلغت اطوالها نحو (30، 6، 12.5، 20 كم) وتصاريدها نحو (17.07، 2، 2.7، 1.6 م<sup>3</sup>/ثا) وتروي مساحات من الاراضي الزراعية (91640، 5845، 19000، 13860 دونماً) لكل منهما على التوالي.

(1) جمعة عليوي الخفاجي، مشروع الغراف (1925-1939) دراسة تاريخية، مجلة الاستاذ، العدد 170، 2011، ص 217-218

(2) ماجد السيد ولي، احوال العراق عبر التاريخ، مجلة الجمعية الجغرافية العراقية، العدد 39، 1999، ص 4

(3) هدى حيدر حسين العبيدي، امكانية حصاد المياه في محافظة واسط، رسالة ماجستير غير منشورة، قسم الجغرافية، كلية التربية، جامعة بغداد، 2014، ص 89

(4) وزارة الموارد المائية، المديرية العامة لتشغيل وصيانة مشاريع الري والبلز، بيانات غير منشورة، 2016.

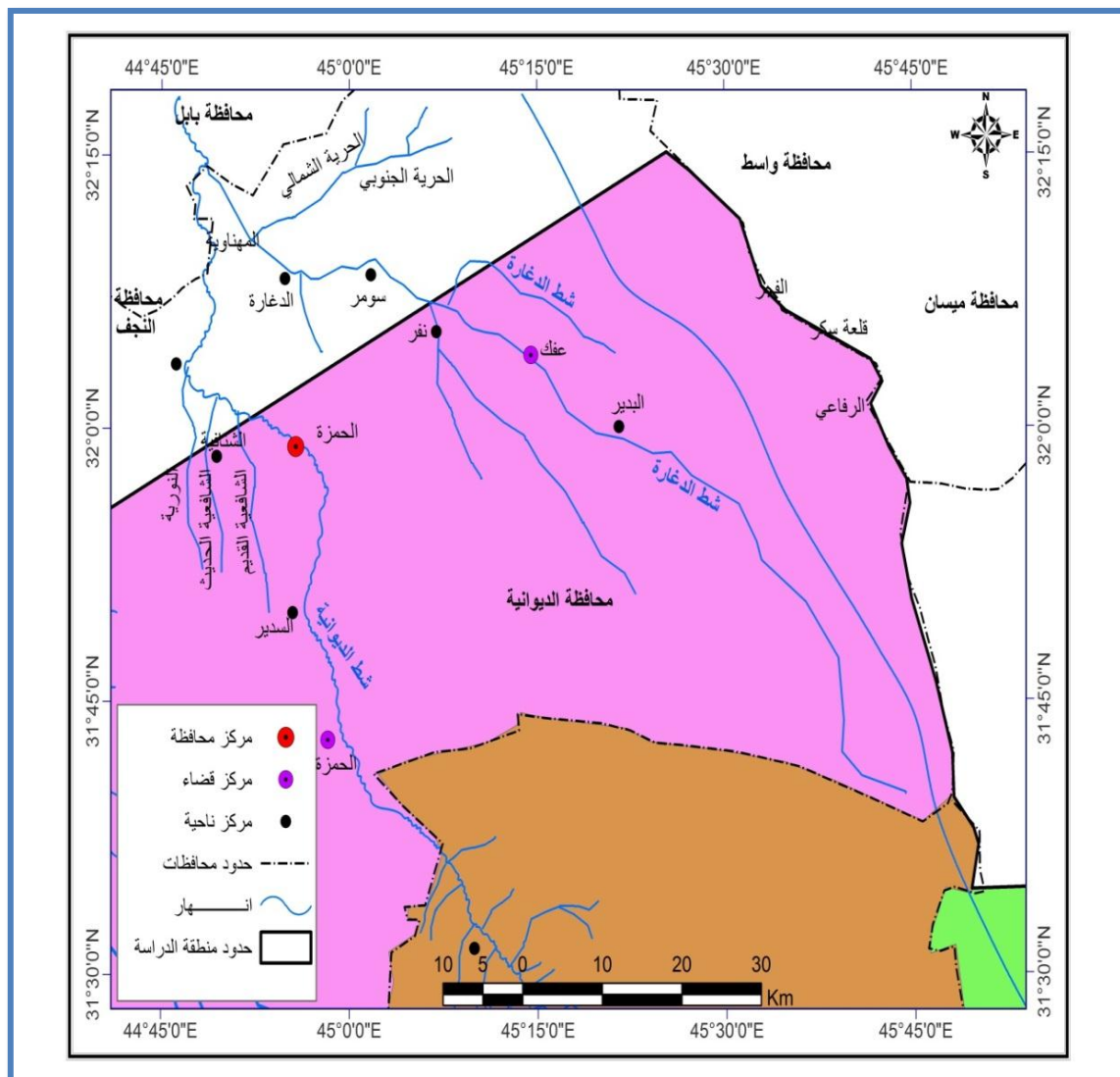
## الفصل الثاني/ العوامل والمظاهر الارضية المسيطرة في رسم صورة المظهر الارضي لمنطقة الدراسة

جدول (2-6) جداول الري المتفرعة من شط الديوانية في محافظة القادسية

ت	اسم النهر أو الجدول	موقع التفرع من شط الديوانية (كم)	الطول (كم)	التصريف التشغيلي (م <sup>3</sup> /ثا)	المساحة المروية (دونما)	النسبة المئوية للأراضي الزراعية دونما (%)
1	الشافعية الحديث	36.6	30	17.07	91640	70
2	الشافعية القديم	45	6	2	5845	5
3	الحفار الصغير	10.3	12.5	2.7	19000	15
4	النورية	15	20	1.6	13860	10
	المجموع	-	75.5	23.27	131345	100

المصدر: وزارة الموارد المائية ، المديرية العامة لتشغيل وصيانة مشاريع الري واليزل، بيانات غير منشورة ، 2016

خريطة (2-9) التوزيع الجغرافي لجدول الري المتفرعة من شط الديوانية في محافظة القادسية



المصدر: بالاعتماد على: وزارة الموارد المائية ، المديرية العامة لتشغيل وصيانة مشاريع الري ، (بيانات غير منشورة) ، 2016 .  
وباستخدام برنامج Arc Gis 10.3 .

## 2-2-1-4 شط الدغارة

يعد شط الدغارة الفرع الثاني الرئيس الذي يتفرع من شط الحلة عند الكيلومتر ( 103 ) شمال قرية صدر الدغارة وبطول ( 70 كم<sup>2</sup> ) ويسقي مساحة من الأراضي الزراعية نحو ( 432994 دونم ) وبتصريف نحو ( 75 م<sup>3</sup>/ثا )<sup>(1)</sup>. تبين من الجدول ( 2-7 ) والخريطة ( 2-9 ) ان اهم الجداول المتفرعة من الدغارة هي (الفوار ،الجوعان، نفر، ام الصخيم ،الفواره ،جحيش، عفك، الثريمة ، النوثية ، الجنابية اليسرى ، الجنابية اليمنى ،ابو صبخة ، ام صخيلة ، ابو حنين ، ورشانه) حيث بلغت اطوالها نحو ( 16 ، 14 ، 18.5 ، 4 ، 7 ، 11 ، 12 ، 51.25 ، 26.46 ، 18 ، 30 ، 23.7 ، 4.6 ، 6 ، 3.5 كم ) وتصاريدها بلغت نحو ( 0.935 ، 12 ، 4.211 ، 0.361 ، 0.482 ، 5.681 ، 1.920 ، 15.755 ، 0.511 ، 6.183 ، 9 ، 6.957 ، 0.358 ، 0.450 ، 0.545 م<sup>3</sup>/ثا ) وتروي مساحة من الأراضي الزراعية نحو ( 13932 ، 54355 ، 51710 ، 2872 ، 1562 ، 37120 ، 13482 ، 86442 ، 1512 ، 46165 ، 85115 ، 41905 ، 2765 ، 3195 ، 33 دونماً ) لكل منهما على التوالي .

جدول ( 2-7 ) جداول الري المتفرعة من شط الدغارة في محافظة القادسية

ت	الجدول	موقع التفرع من شط الدغارة (كم)	الطول (كم)	التصريف (م <sup>3</sup> /ثا)	المساحة المروية (دونماً)	النسبة المئوية للأراضي الزراعية (دونماً %)
1	الفوار	18.80	16	0.935	13932	3.2
2	الجوعان	25.5	14	12	54355	12.3
3	نفر	32.6	18.5	4.211	51710	11.7
4	ام الصخيم	32.2	4	0.361	2872	0.6
5	الفواره	39.92	7	0.482	1562	0.4
6	جحيش	43.8	11	5.681	37120	8.4
7	عفك	44.51	12	1.920	13482	3.0
8	الثريمة	43.54	51.25	15.756	86442	19.5
9	النوثية	44.3	26.46	0.511	1512	0.3
10	الجنابية اليسرى	65	18	6.183	46165	10.4
11	الجنابية اليمنى	65.200	30	9	85115	19.2
12	أبو صبخة	12.63	23.7	6.957	41905	9.5
13	ام صخيلة	15.5	4.6	0.358	2765	0.6
14	أبو حنين	15.77	6	0.450	3195	0.7
15	ورشانه	17.51	3.5	0.545	33	0.0
	المجموع	-	246	65	442165	100

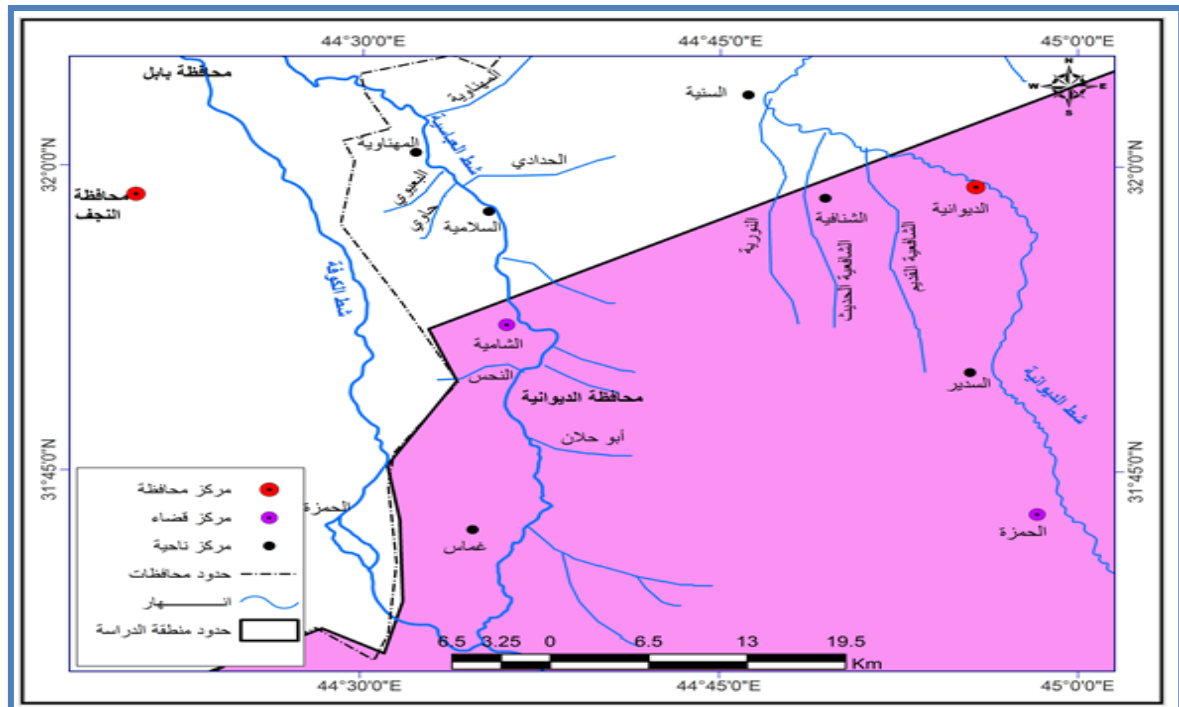
المصدر : وزارة الموارد المائية ، المديرية العامة لتشغيل وصيانة مشاريع الري ، (بيانات غير منشورة) ، 2016 .

(1) وزارة الموارد المائية ، المديرية العامة لتشغيل وصيانة مشاريع الري والبزل ، بيانات غير منشورة ، 2016

## 2-2-2-1-5 شط الشامية

يدخل شط الشامية محافظة القادسية ضمن حدودها الشمالية الغربية ويجري عند الكيلو متر (23.5) في ناحية الصلاحية وفي الكيلومتر (42) ويجري في قضاء الشامية وهو بذلك يروي الاراضي الزراعية تقدر مساحتها (384000 دونم) وبطول يصل (80 كم) وبتصريف يصل (140.300 م<sup>3</sup>/ثا)<sup>(1)</sup>. يتضح من الخريطة (2-10) والجدول (2-8) ان الجداول المتفرعة من شط الشامية هي (الفيضة ، طبر ال ابراهيم ، حاوي ، ابو حلان ، ضاحي ال حمود، النغيل، البعيوي ، النحس، النغيشية ، المهناوية، الجيجان، عكر ، غضيب، الحدادي ، مهدي العسل، النجارمة، غريشة، الغشانية، الدراغي، المعبرة) حيث بلغت اطوالها نحو(4 ، 3.5 ، 10 ، 4 ، 11 ، 4 ، 6 ، 4 ، 21 ، 12 ، 5.60 ، 9 ، 7 ، 5 ، 5 ، 9 ، 4 ، 4 ، 14 كم) وبلغ معدل تصريفها نحو(3، 7، 3، 0.6، 2، 2، 0.9، 2، 0.7، 14، 6، 3، 2، 2، 3، 10، 2، 5، 4، 3 م<sup>3</sup>/ثا) اذ بلغت المساحة المروية نحو (4950 ، 1300 ، 4810 ، 915 ، 1465 ، 2500 ، 375 ، 2500 ، 1120 ، 2600 ، 6500 ، 4400 ، 2820 ، 710 ، 4865 ، 15342 ، 3122 ، 6781 ، 5240 ، 2200 دونماً ) لكل منهما على التوالي . تتميز هذه الاراضي بخصوصيتها الزراعية لمحصول الشلب كما ان حال تلك الاراضي في الوقت الحاضر افضل بشكل نسبي من بقية المناطق الزراعية المجاورة في منطقة الدراسة .

خريطة (2-10) التوزيع الجغرافي لجدول الري الرئيسة المتفرعة من شط الشامية في محافظة القادسية



المصدر: بالاعتماد على: وزارة الموارد المائية ، المديرية العامة لتشغيل وصيانة مشاريع الري ، (بيانات غير منشورة) ، 2016 . وباستخدام برنامج Arc Gis 10.3 .

(1) وزارة الموارد المائية ، المديرية العامة لتشغيل وصيانة مشاريع الري والبزل ، مديرية الموارد المائية في الديوانية ، بيانات غير منشورة ، 2015



## الفصل الثاني/ العوامل والمظاهر الارضية المسيطرة في رسم صورة المظهر الارضي لمنطقة الدراسة

جدول (2-8) جداول الري الرئيسية المتفرعة من شط الشامية في محافظة القادسية

ت	الجدول	موقع التفرع من شط الشامية (كم)	الطول (كم)	التصريف (م <sup>3</sup> /ثا)	المساحة المروية (دونماً)	النسبة المئوية للأراضي الزراعية دونماً (%)
1	الفيضة	57.300	4	3	4950	4.5
2	طبر آل إبراهيم	62	3.5	7	13000	11.9
3	حاوي	68	10	3	4810	4.4
4	أبو حلان	72.100	10	0.6	915	0.8
5	ضاحي آل حمود	61	4	2	1465	1.3
6	النغيل	77.100	11	2	2500	2.3
7	البعيوي	71.200	4	0.9	375	0.3
8	النحس	77.700	6	2	2500	2.3
9	النجشبية	82	4	0.7	1120	1.0
10	المهناوية	25.200	21	14	26000	23.7
11	الجيجان	26.200	12	6	6500	5.9
12	عكر	31.300	5.60	3	4400	4.0
13	غضيب	31.400	9	2	2820	2.6
14	الحدادي	33.600	7	2	710	0.6
15	مهدي العسل	36	5	3	4865	4.4
16	النجارمة	36.300	5	10	15342	14.0
17	غريشة	38	9	2	3122	2.8
18	الغشانية	47	4	5	6781	6.2
19	الدراغي	56.800	4	4	5240	4.8
20	المعبرة	76.400	14	3	2200	2.0
	المجموع	-	179.1	75.2	109615	100

المصدر : وزارة الموارد المائية ، المديرية العامة لتشغيل وصيانة مشاريع الري ، (بيانات غير منشورة) ، 2016 .

### 2-2-2-1-6 شط الرميثة

يخرج من شط الديوانية احد تفرعات شط الحلة ويصل الامتداد الجغرافي لشط الرميثة ضمن محافظة المثنى الى حوالي (36,600 كم) وتصريف نحو (25 م<sup>3</sup>/ثا) يروي الاراضي الزراعية تقدر مساحتها نحو (206,500 دونم). ويتضح من الجدول (2-9) والخريطة (2-11) ان اهم الجداول المتفرعة من شط الرميثة ضمن منطقة الدراسة هي (شط الرميثة، النجمي ، العرفي ، ابي صخير ، جدول القزويني ، جدول الحساني ، الخضراوي ، خويسة ، العوجة ، المشرعة، الجنابية القادسية ، العارضيات، النعماني ، ابو كحوف) اذ بلغ معدل اطوالها نحو (36.60 ، 10 ، 4 ، 4 ، 18 ، 0.51 ، 5 ، 6.800 ، 13.5 ، 4 ، 102 ، 18 ، 6 ، 5 كم) وتصريفها بلغت (26 ، 2.112 ، 1.25 ، 6.750 ، 3.45 ، 2.3 ، 0.95 ، 11 ، 2.45 ، 0.21 ، 10 ، 2.12 ، 1.75 ، 0.300 م<sup>3</sup> / ثا) وتروي مساحة من الاراضي الزراعية حيث سجلت نحو (211300 ، 17795 ، 5398 ، 13670 ، 35350 ، 2600 ، 1850 ، 2100 ، 21690 ، 1042 ، 115000 ، 19380 ، 6350 ، 2500 دونماً) لكل منهما على التوالي .

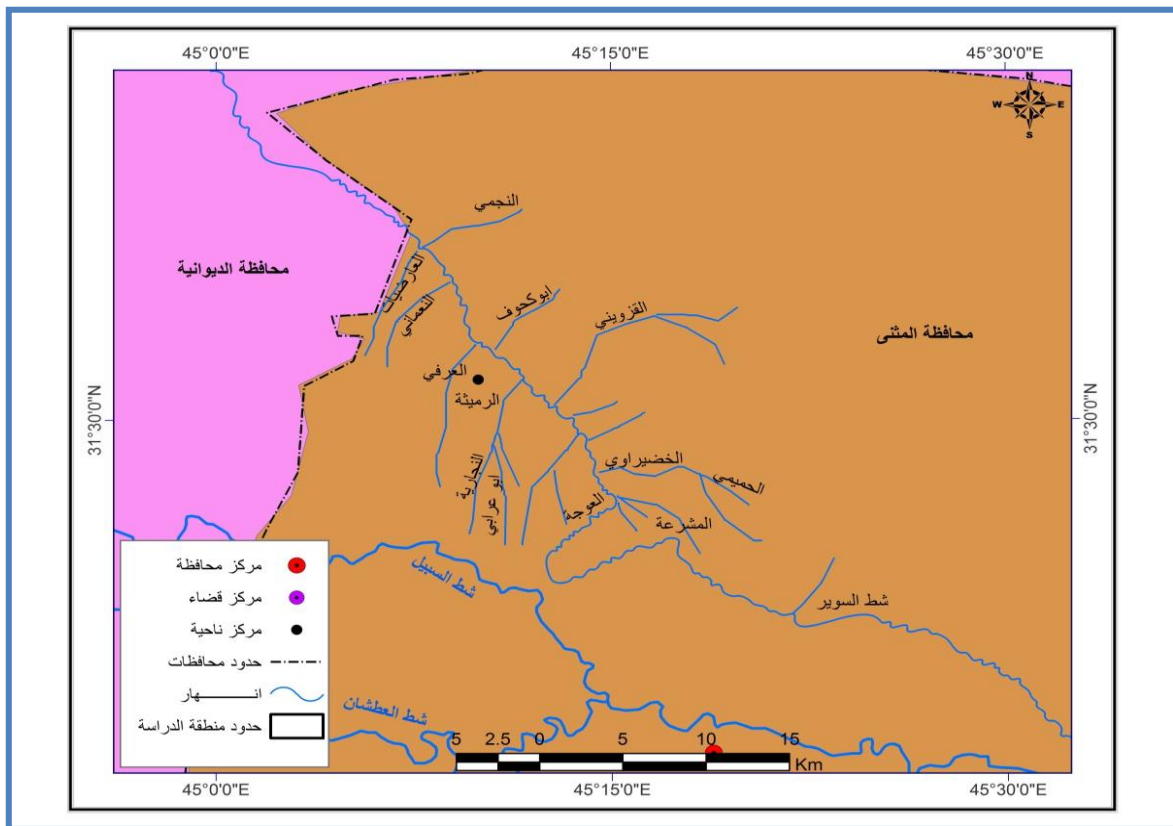
## الفصل الثاني/ العوامل والمظاهر الأرضية المسيطرة في رسم صورة المظهر الأرضي لمنطقة الدراسة

جدول (2-9) جداول الري الرئيسية المتفرعة من نهر الفرات في محافظة المثنى

ت	اسم النهر أو الجدول	الطول (كم)	التصريف (م <sup>3</sup> /ثا)	المساحة المروية (دونماً)	النسبة المئوية للمياه الزراعية دونما (%)
1	شط الرميثة	36.60	26	211300	44.5
2	النجمي	10	2.112	17795	3.7
3	العرفي	4	1.25	5398	1.1
4	أبي صخير	4	6.750	13670	2.9
5	جدول القزويني	18	3.45	35350	7.4
6	جدول الحساني	0.51	2.3	2600	0.5
7	الخضيراوي	5	0.95	1850	0.4
8	خويسة	6.800	11	21000	4.4
9	العوجة	13.5	2.45	21690	4.6
10	المشرعة	4	0.21	1042	0.2
11	الجنابية القادسية	102	10	115000	24.2
12	العارضيات	18	2.12	19380	4.1
13	النعماني	6	1.75	6350	1.3
14	ابوكحوف	5	0.300	2500	0.5
	المجموع	-	70.6	474925	100

المصدر: وزارة الموارد المائية ، المديرية العامة لتشغيل وصيانة مشاريع الري ، (بيانات غير منشورة) ، 2016 .

خريطة (2-11) التوزيع الجغرافي لجدول الري الرئيسية المتفرعة من نهر الفرات في محافظة المثنى



المصدر: بالاعتماد على: وزارة الموارد المائية ، المديرية العامة لتشغيل وصيانة مشاريع الري ، (بيانات غير منشورة) ، 2016 .

وباستخدام برنامج Arc Gis 10.3 .

## 2-2-2-2 المياه الجوفية Ground Water:

تتمثل بالمياه الراكدة او الجارية الموجودة تحت سطح الارض وقد تظهر بشكل طبيعي او اصطناعي. إذ تعد الصخور الرسوبية بطبيعتها خزانات جيدة للمياه الجوفية حيث تترشح عبر مساماتها ان نوعية المياه الجوفية تتأثر بنوعية الصخور التي تمر من خلالها والتي لها دور كبير في زيادة او نقصان تركيز المواد المذابة ، إذ تؤثر بشكل مباشر على نوعية تلك المياه ، وتعد المياه الجوفية اهم المصادر المائية الموجودة في منطقة الدراسة، لاسيما في فصل الصيف الطويل، اذ تزداد استعمالات المياه الجوفية يوماً بعد آخر بسبب زيادة حفر الآبار، وذلك لازدياد الحاجة لها في توفير مياه الشرب لكثير من المدن ولتوفير مياه الري في الزراعة في مناطق واسعة (1). اما تأثير المياه الجوفية في تكوين الاشكال الأرضية فيتمثل بجعل التربة التي فوقها رطبة في موسم سقوط الامطار وارتفاع مناسيبها مما يقلل من عمليات نحتها وتعريتها فضلاً عن ان مياه الامطار التي تتسرب الى سطح الارض تمارس عملها الهيدرولوجي من خلال تسربها عن طريق الفواصل والمسامات الى داخل التربة الهشة وخاصة الكلسية والرملية فضلاً عن عملية الازدابة التي تمارسها على بعض الصخور علماً ان اجزاء من منطقة الدراسة ذات صخور جيرية قابلة للإذابة مما يساعد على تكوين الخسفات وبعض الاشكال الأرضية وعند انخفاض مستوى المياه الجوفية في فصل الصيف فان ذلك يساعد على جفاف التربة وتفككها ويؤدي الى نشاط العمليات الجيومورفية (2). ان منطقة الدراسة جزء من السهل الفيضي الذي يتصف بالصرف الطبيعي الامر الذي جعل المياه الجوفية في اغلب المناطق قريبة من السطح مما زاد من عملية التبخر فضلاً عن احتوائها على كمية من الجبس مما ادى الى ارتفاع كمية الاملاح فيها . لقد اجريت على (25 بئر) للتعرف على عمق المياه الجوفية يوضح انها تتراوح بين 6 م والى اكثر من 22 م وذلك بحسب طبوغرافية المنطقة تتحرك المياه الجوفية في منطقة الدراسة باتجاهات الشمال الغربي والجنوب الغربي مع انحدار سطح الارض. ان مصدر تغذيته المياه الجوفية يتم من نهر الفرات وتفرعاته وهي مياه مالحة موجودة في التكوينات الجيولوجية السائدة في المنطقة والخزان الجوفي لرسوبيات البلايستوسين (3)، وتعد المنطقة من المناطق الصحراوية التي تعتمد بصورة اساسية على المياه الجوفية وذلك لقلة المياه السطحية في المنطقة، اذ اخذت عينات من ابار منطقة الدراسة وتم تحليلها لمعرفة خصائصها. تبين من الخريطة (2-12) والجدول (2-10) الخصائص الكيميائية والفيزيائية لمياه الآبار المحفورة في منطقة الدراسة والتي بلغت عددها (25) بئر وبأعماق مختلفة تتراوح اعماقها 6-22 م ان المعدل العام لـ pH مياه منطقة الدراسة نحو 7.27 وهذا يشير الى مياه قاعدية او حامضية اما معدل نسبة الاملاح EC بلغ 7068 مايكروموز/سم اما المعدلات الايونات الموجبة (كالسيوم ، مغنيسيوم ، صوديوم ، بوتاسيوم) بلغت نحو ( 28، 285

(1) شبكة المعلومات العالمية ، [www.smsec.com/ar](http://www.smsec.com/ar)

(2) المصدر نفسه.

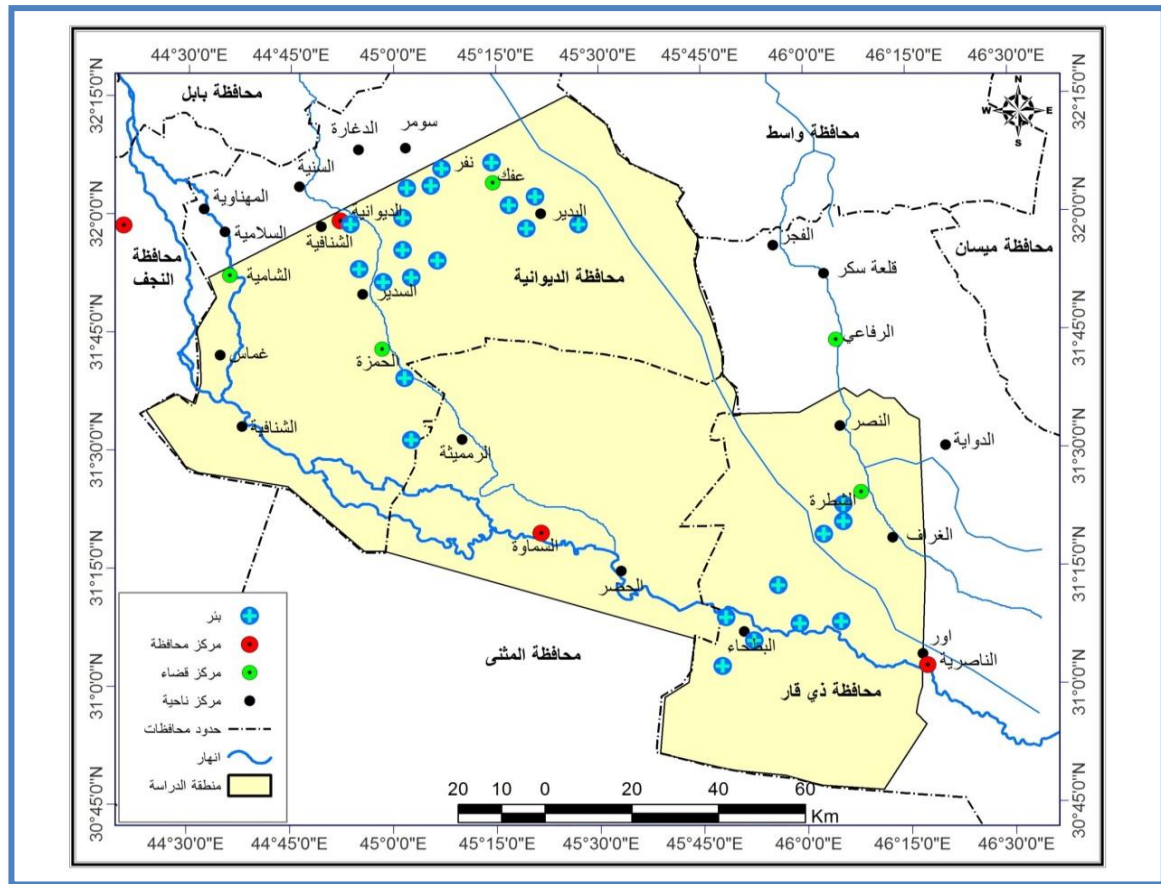
(3) حسين عذاب خليف ، دراسة اشكال سطح الارض في منطقة السلمان جنوب - غرب العراق ، مصدر سابق ، 2006 ، ص 49.

(238 ، 336 ) ملغرام / لتر، اما معدلات الايونات السالبة (الكلور ، الكبريتات ، البكاريونات، والنترات) بلغت (2308 ، 960.84 ، 284 ، 4.1) ملغرام/ سم كل منهما على التوالي وهذا يدل على عدم صلاحية المياه للشرب وسقي المحاصيل المختلفة في منطقة الدراسة التي تكون مصدرها الرئيس المياه الجوفية ومختلف الاستخدامات البشرية والصناعية والزراعية وغيرها يعود الى ارتفاع معدلات الايونات الموجبة على حساب الايونات السالبة نتيجة وصول النهر الى مرحلة الجفاف الناتج عن عدم توفر المياه مما ادى الى ارتفاع تركيز الاملاح وارتفاع قيم بعض العناصر لذلك تؤدي المياه الجوفية دوراً مهماً في تشكيل المظاهر الجيومورفية لدرجة لا تقل عن اهمية دور المياه السطحية في المنطقة ويتمثل بالنشاط الكيميائي للمياه الجوفية بالنسبة للصخور من خلال (الاذابة ، الارساب) ويهتم هذا النشاط في تكوين الاشكال الأرضية المختلفة خصوصاً الاشكال ذات الاصل الازدبابي .لأجل توضيح تأثير المياه الجوفية بالمناخ تم اختيار اربعة متغيرات متعلقة بكمية المياه الجوفية لمجموعة من آبار منطقة الدراسة (العمق ، المنسوب الثابت للمياه الجوفية ، المنسوب المتحرك للمياه الجوفية ، الطاقة الانتاجية للآبار) ، والمتمثل بانخفاض مناسيب الآبار في منطقة الدراسة والناتج من نقصان تغذية المياه الجوفية بواسطة الامطار كنتيجة مباشرة لانخفاض التساقط المطري وتكرار الجفاف وارتفاع درجات الحرارة لينتج ارتفاع العجز المائي في منطقة الدراسة . نتج من نقصان الامطار والموارد المائية السطحية الى الاتجاه نحو المياه الجوفية وادى الى زيادة عدد الآبار المحفورة في منطقة الدراسة . ومن ثم انخفاض واضح في مناسيب هذه المياه الجوفية ، ان المتغيرات المتعلقة بكمية المياه الجوفية في منطقة الدراسة اهمها اعماق الآبار فقد بلغ معدله (9.40 م) وتباين ما بين اعلى عمق 22 م في بئر رقم (254) في مزرعة عقيل محمد . وادنى عمق 6 م في ارقام الآبار (129، 238، 247، 251، 262، 299، 312، 320) لكل منهما على التوالي كما موضح في الجدول (2-10)، ويلاحظ من الخريطة (2-13) يزداد تباين عمق الآبار في الاجزاء الوسطى والشمالية الغربية وتتراوح اعماقها بين (8.904 ، 13 م) وتشغل مساحة (90367 كم<sup>2</sup>) ونسبة (61.46%) من المنطقة. تبين من ذلك ان اعماق الآبار تتفاوت في منطقة الدراسة نتيجة احتواء بعض الآبار على عمود سميك من الطين لذا فإن الحفر يكون أعمق للوصول الى تصاريف عالية. اما المناسيب الثابتة اذ بلغ معدل مناسيب المياه المستقرة فيها بمعدل (2.60 م) وتباين ما بين 1 م في بئر رقم (231) في مزرعة فليح محمد الى 13 م في بئر رقم (254) في مزرعة عقيل محمد كما في الجدول (2-11) ، ويلاحظ من الخريطة (2-14) إن أعلى قيمة لمنسوب الماء المستقر تركز في الاجزاء الوسطى والشمالية الشرقية والجنوبية الغربية وتتراوح درجة منسوبها (1.72 ، 2.290 م) وتشغل مساحة نحو (8906 كم<sup>2</sup>) ونسبة (58.43%) من منطقة الدراسة . يتضح من ذلك ان المناسيب الثابتة قريبة عن السطح مما يسهل عملية استثمارها اقتصادياً اذ تقلل كلفة الحفر الا انها تتعرض الى فقدان كمية من المياه عن طريق التبخر بسبب ارتفاع درجة الحرارة . كما ان الآبار الواقعة في الاراضي المنخفضة نسبياً تكون قريبة من مستوى سطح البحر وهي ذات منسوب ماء جوفي مرتفع نتيجة لقربها

## الفصل الثاني/ العوامل والمظاهر الأرضية المسيطرة في رسم صورة المظهر الأرضي لمنطقة الدراسة

من مستوى سطح الأرض وميلان الطبقات الحاملة للمياه ، بينما المناسيب المتحركة فقد بلغ معدلها (4.49 م). وتباين ما بين 2 م في بئر رقم (262 ، 289 ، 312 ، 320) الى 16 م في بئر رقم (254) في مزرعة عقيل محمد كما في الجدول (2-11) ، ويلاحظ من الخريطة (2-15) إن أعلى قيمة لمنسوب الماء المتحرك تركز في الاقسام الوسطى والشمالية الغربية والشرقية والتي تتراوح درجة منسوبها بين (3,7 – 5,19 م) وتشغل مساحة نحو (6348 كم<sup>2</sup>) ونسبة (41.65%) من المنطقة. يتضح من ذلك ان اعماق المناسيب المتحركة للمياه الجوفية في المنطقة تنخفض بصورة عامة وان طوبوغرافية المنطقة السهلية وقلة الانحدار قلل من سرعة حركة المياه من مناطق التغذية الى مناطق التصريف لتعويض النقص الحاصل للمياه خاصة في فصل الصيف . أما انتاجية الآبار من المياه الجوفية سواء من آبار الضخ أو التدفق الذاتي فقد بلغ معدلها 1,68 لتر/ثا، وتباين ما بين أدنى كمية للانتاج بمقدار 0.14 لتر/ثا في بئر رقم (129) إلى أعلى كمية للانتاج البالغة 3 لتر/ثا في بئر رقم (245) كما في جدول (2-11) ، ويلاحظ من الخريطة (4-16) إن كمية الانتاج تركزت في الاجزاء الوسطى والشمالية الشرقية وتتراوح طاقة انتاجها بين (1.21، 1.78 لتر<sup>3</sup>/ثا) وتشغل مساحة نحو (8273 كم<sup>2</sup>) ونسبة (54.4%) من منطقة الدراسة .

خريطة (2-12) مواقع الآبار في منطقة الدراسة



المصدر: بالاعتماد على: برنامج Arc Map10.3 و جدول (2-10)



## الفصل الثاني / العوامل والمظاهر الأرضية المسيطرة في رسم صورة المظهر الأرضي لمنطقة الدراسة

جدول (2-10) تركيز الأيونات الموجبة والسالبة وقيم  $\text{Na}^+ - \text{EC} - \text{PH} - \text{TDS}$  في المياه الجوفية لأبار منطقة الدراسة

الموقع	رقم بئر	دائرة العرض شمالاً	دائرة العرض شرقاً	العمق الكلي لم	PH	EC مليمول /سم	للملوحة الكلية TDS ملغم /لتر	الأيونات الموجبة ppm				الأيونات السالبة ppm			
								الكالسيوم $\text{Ca}^{++}$ ملغم /لتر	مغنسيوم $\text{Mg}^{++}$ ملغم /لتر	الصوديوم $\text{Na}^+$ ملغم /لتر	البوتاسيوم $\text{K}^+$ ملغم /لتر	الكوريت $\text{Cl}$ ملغم /لتر	الكبريتات $\text{SO}_4$ ملغم /لتر	البايكربونات $\text{HCO}_3$ ملغم /لتر	النترات $\text{NO}_3$ ملغم /لتر
قرية خضير / الحبيب / رحيم عود	1	31,03	45,79	12	7,3	17680	2200	481	243	444	51	7498	376	412	2,7
قرية الأديمة / علي كريم	17	31,8	45,87	12	6,9	17240	9500	1242	1560	473	44	4548	2880	389	2,6
قرية المليحة / طامي / مناحي	70	31,12	45,98	12	7,4	8970	2750	501	365	196	20	1049	1920	305	2,7
قرية المجري / علي نايف	74	31,31	46,08	12	7	4980	2850	942	121	163	31	1100	1440	427	3,0
قرية الشمخانية عبد الله	82	31,14	45,81	12	7,2	12080	4450	1342	267	347	35	5848	240	580	4,2
قرية المليحة / حيال عبت	90	31,18	45,94	12	7	12980	3650	681	548	331	50	5998	3360	366	3,2
قرية مسبعة / الكليحة / خليل	123	31,32	46,02	12	7,1	52800	37320	311	1214	468	67	23943	200	31	0,2

المصدر : بالاعتماد على: وزارة الموارد المائية، الهيئة العامة للمياه الجوفية، بيانات غير منشورة، 2016.

الفصل الثاني / العوامل والمظاهر الأرضية المسيطرة في رسم صورة المظهر الأرضي لمنطقة الدراسة

جدول (10-2) تركيز الأيونات الموجبة والسالبة وقيم (Na3- EC -PH -TDS) في المياه الجوفية لآبار منطقة الدراسة

الايونات السالبة ppm				الايونات الموجبة ppm						لملوحة الكلية TDS ملغم /لتر	EC ملليومز/سم	PH	العمق الكلي /م	دائرة العرض شرقا	دائرة العرض شمالا	رقم بئر	الموقع
النترات NO <sub>3</sub> <sup>-</sup> ملغم /لتر	البايكربونات HCO <sub>3</sub> <sup>-</sup> ملغم /لتر	الكبريتات SO <sub>4</sub> <sup>-</sup> ملغم /لتر	الكوريت CL ملغم /لتر	البوتاسيوم K <sup>+</sup> ملغم /لتر	الصوديوم Na <sup>+</sup> ملغم /لتر	مغنسيوم Mg <sup>++</sup> ملغم /لتر	الكالسيوم Ca <sup>++</sup> ملغم/ لتر										
0,3	44	80	650	7	40	132	116	3290	4400	7,7	7	46,07	31,34	126	بئر ال عجرش / سعد بشير		
1,1	41	68	1200	4	30	88	116	7840	1105	7,6	6	46,07	31,36	129	ال مشيعل / موسى		
1,0	337	1393	752	33	527	161	380	3792	5090	7,17	8	45,04	31,51	133	حيدر هاشم		
3,0	247	1062	590	107	421	120	270	2834	3408	7,12	13	45,01	31,66	165	احمد صالح		
1,3	62	561	246	10	163	89	129	1760	2580	7,16	10	45,04	31,86	223	نجاح علي		
3,0	354	680	464	3	375	95	139	2560	3300	7,15	7	44,96	31,86	231	فليح محمد		
0,4	51	490	142	8	73	82	102	1008	1487	7,66	6	44,91	31,88	238	عبد الحسين جهاد		
9,0	48	459	311	9	164	80	117	1260	1374	7,16	8	45,09	31,89	240	بهاول جردا31		
5,1	176	695	210	11	298	55	126	1850	2220	7,14	6	45,03	31,91	247	علاوي فريش		
4,0	1181	497	201	4	229	51	161	1868	2400	7,62	8	45,31	31,96	251	غافل فرهود		
3,1	265	1033	443	76	247	165	270	2738	3802	7,5	22	44,89	31,96	254	مزرعة عقيل محمد		

المصدر : بالاعتماد على : وزارة الموارد المائية ،الهيئة العامة للمياه الجوفية ، بيانات غير منشورة ، 2016.

الفصل الثاني / العوامل والمظاهر الأرضية المسيطرة في رسم صورة المظهر الأرضي لمنطقة الدراسة

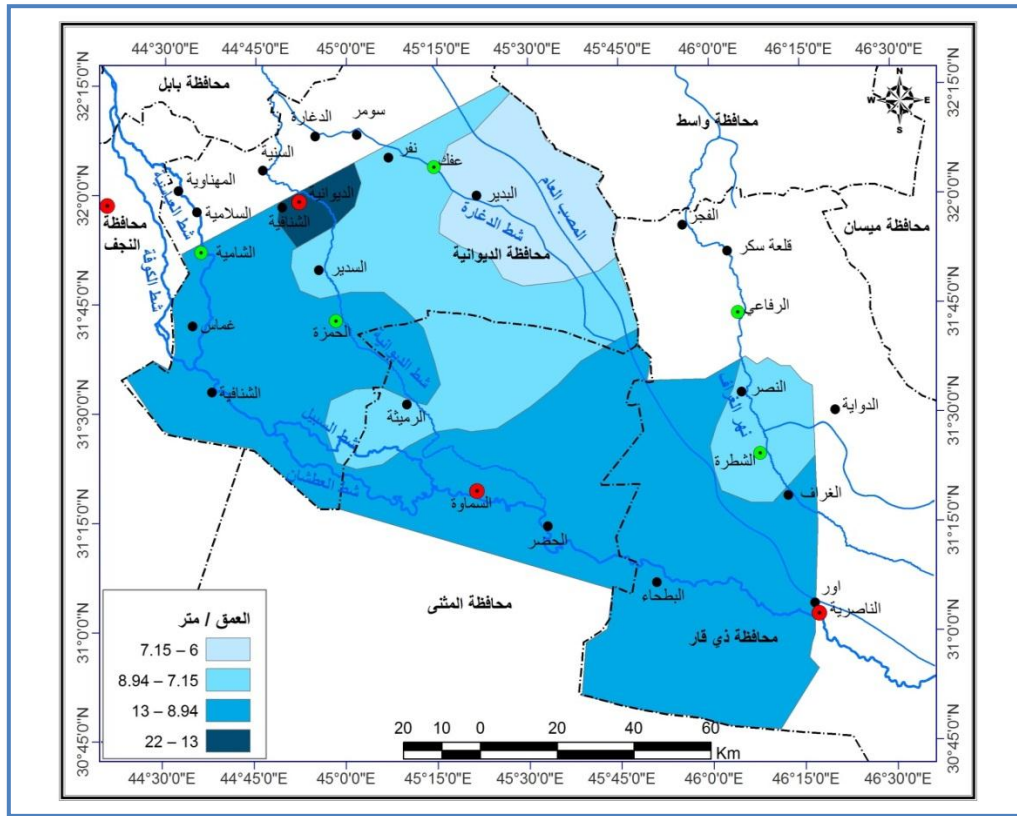
جدول (2-10) تركيز الايونات الموجبة والسالبة وقيم (Na3- EC -PH -TDS) في المياه الجوفية لآبار منطقة الدراسة

الايونات السالبة ppm				الايونات الموجبة ppm						ملوحة الكلية TDS ملغم /لتر	EC ملليموز/سم	PH	العمق الكلي /م	دائرة العرض شرقا	دائرة العرض شمالا	رقم بئر	الموقع
النترات NO <sub>3</sub> <sup>-</sup> ملغم /لتر	البايكربونات HCO <sub>3</sub> <sup>-</sup> ملغم /لتر	الكبريتات SO <sub>4</sub> <sup>-</sup> ملغم /لتر	الكوريد CL ملغم /لتر	البوتاسيوم K <sup>+</sup> ملغم /لتر	الصوديوم Na <sup>+</sup> ملغم /لتر	مغنسيوم Mg <sup>++</sup> ملغم /لتر	الكالسيوم Ca <sup>++</sup> ملغم/ لتر										
3,9	449	780	489	3	433	91	207	3246	4350	7,18	6	45,45	31,97	262	خلد داود		
3,0	47	360	169	5	78	67	88	1080	1350	7,18	8	45,02	31,97	264	صبار حسين 11		
0,1	78	420	358	10	259	42	102	1086	1628	7,2	8	45,29	31,01	289	نعيم زنجيل		
2,0	453	861	530	6	340	121	213	3870	5501	7,2	6	45,23	32,01	299	سلام كاظم		
8,0	180	721	241	16	300	57	131	1920	2770	7,14	12	45,00	32,04	305	قرية السادة ال داود		
4,0	125	87	93	1	51	25	42	777	1050	7,15	6	45,08	32,06	312	محمد سوالي		
4,5	412	1210	630	17	687	116	193	3506	5140	7,14	6	45,10	32,09	320	مهدي حافظ		
4,1	284	960,84	2308	336	238	285	28	43562	7068	7,275	-	-	-	-	المعدل		

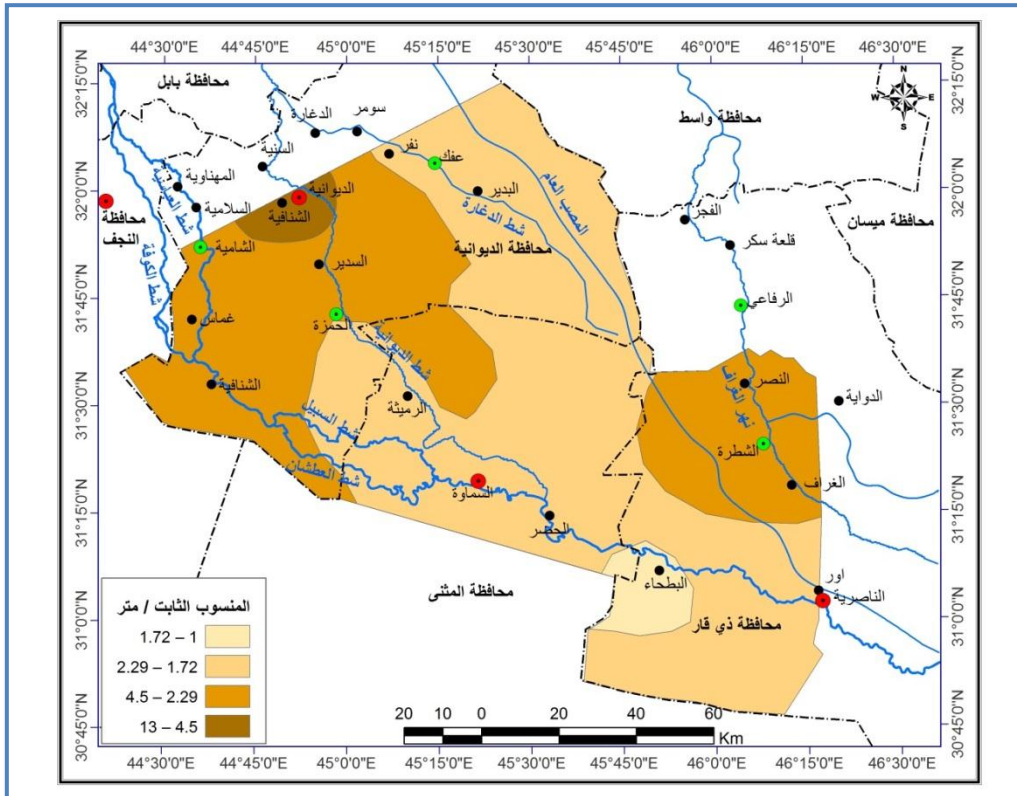
المصدر : بالاعتماد على : وزارة الموارد المائية ،الهيئة العامة للمياه الجوفية ، بيانات غير منشورة ، 2016.

## الفصل الثاني/ العوامل والمظاهر الارضية المسيطرة في رسم صورة المظهر الارضي لمنطقة الدراسة

خريطة (2-13) التباين المكاني لعمق الآبار (متر) في منطقة الدراسة



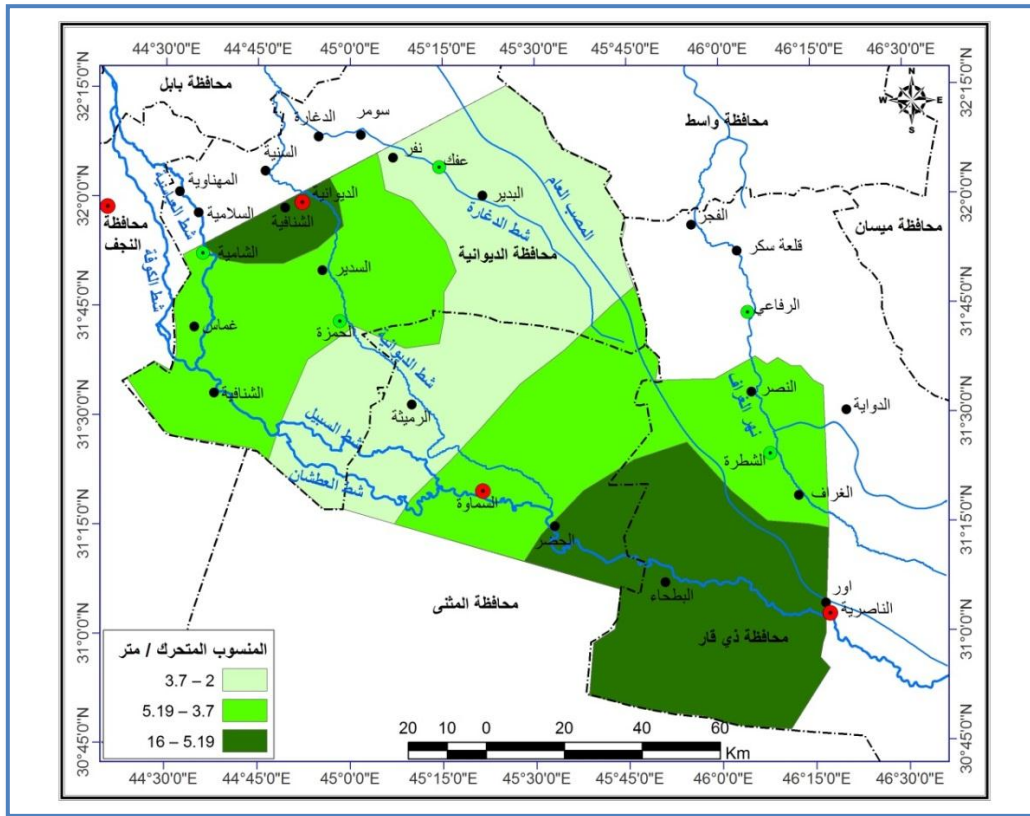
خريطة (2-14) التباين المكاني للمستويات الثابتة للمياه الجوفية (م) في منطقة الدراسة



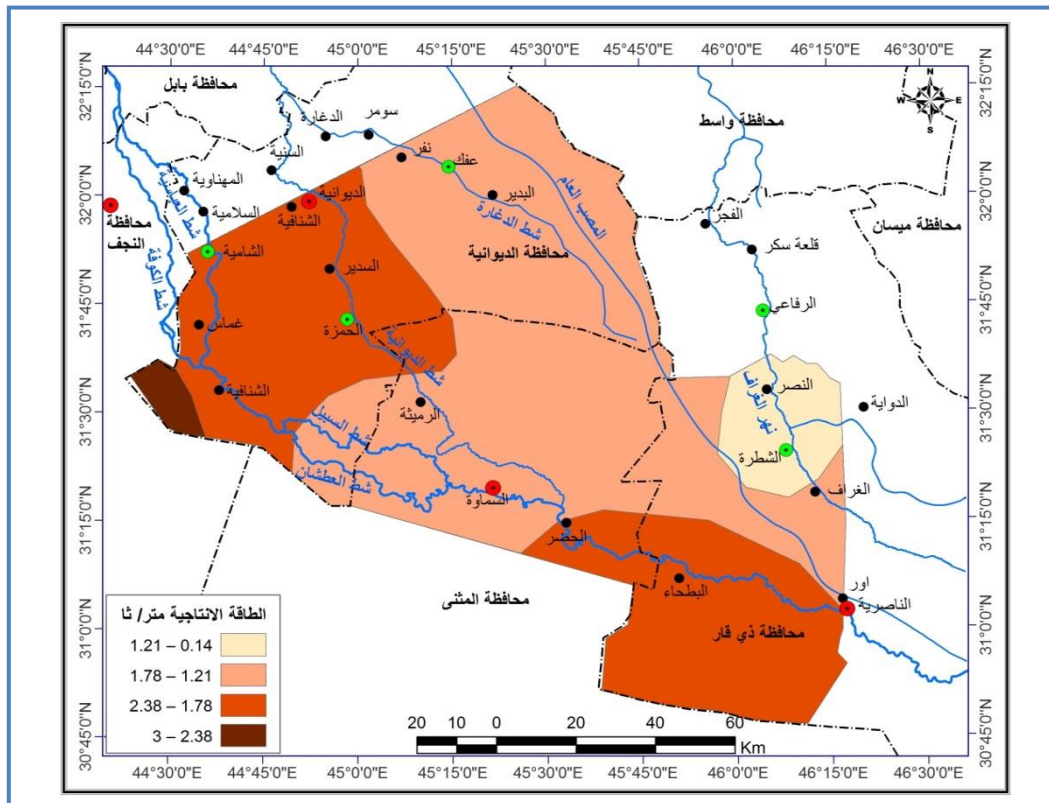
المصدر: اعتماداً على: وزارة الصناعة والمعادن، الهيئة العامة للمسح الجيولوجي والتعديني، خريطة جيولوجية العراق، مقياس 1:1000000، لسنة 2000 م. وبيانات الجدول (2-11) باستخدام برنامج Arc Gis 10.3

## الفصل الثاني/ العوامل والمظاهر الارضية المسيطرة في رسم صورة المظهر الارضي لمنطقة الدراسة

خريطة (2-15) التباين المكاني للمستويات المتحركة (م) في منطقة الدراسة



خريطة (2-16) التباين المكاني للإنتاجية (م/ثا) في منطقة الدراسة



المصدر: اعتماداً على: وزارة الصناعة والمعادن، الهيئة العامة للمسح الجيولوجي والتحري المعدني، خريطة جيولوجية العراق، مقياس

1:1000000، لسنة 2000 م. وبيانات الجدول (2-11) باستخدام برنامج Arc Gis 10.3



## الفصل الثاني/ العوامل والمظاهر الارضية المسيطرة في رسم صورة المظهر الارضي لمنطقة الدراسة

جدول (2-11) التباين المكاني لـ (العمق ، المستوى الثابت ، المستوى المتحرك ، الطاقة الانتاجية)

الموقع	رقم البئر	X	Y	العمق (م)	المستوى الثابت (م)	المستوى المتحرك (م)	الانتاجية لتر/ثا
قرية خضير الحبيب	1	31,03	45,79	12	1.7	5.7	2
قرية الديمة / علي كريم	17	31,8	45,87	12	1.4	5.8	2
قرية المايعة	70	31,12	45,98	12	1.8	5.5	2
قرية علي نايف	74	31,31	46,08	12	1.58	5.5	2
قرية الشمخانية	82	31,14	45,81	12	1.6	5.3	2
قرية حيال عبث	90	31,18	45,94	12	2	6	2
قرية القطيعة ال خليل	123	31,32	46,02	12	3.3	7.6	1.25
بئر ال عجرش	126	31,34	46,07	7	2.9	3.75	1.5
ال مشيعل / موسى	129	31,36	46,07	6	2.95	3.35	0.14
حيدر هاشم	133	31,51	45,04	8	1.5	2	1
احمد صالح	165	31,66	45,01	13	1.5	3.5	3
نجاح علي	223	31,86	45,04	10	3.5	4	2
فليح محمد	231	31,86	44,96	7	1	3	2
عبدالحسين	238	31,88	44,91	6	2.75	3	1
بهلول جردا3	240	31,89	45,09	8	3	4.25	1.5
علاوي فريش	247	31,91	45,03	6	2	4	2
غافل فرهود	251	31,96	45,31	6	2	3.5	1.5
مزرعة عقيل محمد	254	31,96	44,89	22	13	16	3
خالد داود	262	31,97	45,45	6	1.5	2	1
صبار حسين1	264	31,97	45,02	8	3.5	4	2
نعيم زنجيل	289	31,01	45,29	8	2	4	2
سلام كاظم	299	32,01	45,23	6	1.5	2	1
قرية السادة ال داود	305	32,04	45,00	12	4	4.5	2
محمد سوادي	312	32,06	45,08	6	1.5	2	1
مهدي حافظ	320	32,09	45,10	6	1.5	2	1
المعدل				9,40	2,60	4,49	1,68

المصدر: بالاعتماد على: وزارة الموارد المائية، الهيئة العامة للمياه الجوفية ، بيانات غير منشورة ، 2016.

## 2-2-3 التربة Soil

تعرف التربة بأنها الطبقة المفتتة التي تغطي صخور القشرة الأرضية ويتراوح سمكها ما بين بضعة سنتيمترات إلى عدة أمتار<sup>(1)</sup>. إذ تختلف نوعية التربة وسمكها من مكان إلى آخر نتيجة لاختلاف عوامل التكوين والبناء التي تظهر أثارها على الخصائص الكيميائية والفيزيائية للتربة وتفاعل عوامل عديدة منها (المناخ والصخور التي تكون التربة النبات الطبيعي وعامل الزمن لوضع الطبوغرافي والموقع الجغرافي ونظام الري)<sup>(2)</sup>. تعد دراسة خصائص التربة ذات أهمية كبيرة في الدراسات الجيومورفية لأنها تسهم بالتعرف على مدى استجابة التربة لنشاط العمليات الجيومورفية التي يظهر تأثيرها على الأشكال الأرضية<sup>(3)</sup>. من البديهي أن تختلف الترب المتكونة على أشكال سطح الأرض في خصائصها الفيزيائية والكيميائية نتيجة التباين الموجود بين هذه الأشكال الأرضية من حيث الانحدار والارتفاع والاتجاه وما يقترن به من تباين في الظروف المناخية<sup>(4)</sup> وتساعد تلك الظروف على تكوين ترب مختلفة والتي منها التربة الجافة والرطبة والتربة الملحية والكلسية والجبسية والترب المتطورة كاملة الأفق والترب غير المتطورة وإن هذا التطور للترب واختلافها هي من مخلفات العمليات الجيومورفية والتي أصبحت دراستها تكتسب أهمية كبيرة. وإن أكثر العمليات الجيومورفية تأثيراً في تكوين الترب هي عمليات التجوية والتعرية حيث تزداد التعرية المائية في المناطق المنحدرة لاسيما المناطق التي تمتاز بقلّة كثافة الغطاء النباتي حيث تقوم المياه الجارية بجرف التربة ونقلها إلى المناطق المنخفضة وكما أن المياه قد تؤثر كيميائية في نوعية الترب على السطح كنقل الأملاح للتربة مثال على ذلك التربة الملحية. أما تأثر الرياح على التربة فيكون من خلال نحتها وتعريتها إذ إن تأثيرها يتمثل بتعرية تربة الأراضي المرتفعة ولاسيما الأراضي الخالية من الغطاء النباتي التي تتميز بقلّة تماسك حبيباتها أكثر من تعرية الأراضي المنخفضة. أي إن التربة المفككة وغير المتماسكة تكون سريعة التعرية للعمليات الجيومورفية وتساعد على تكوين المظاهر الأرضية<sup>(5)</sup>، أن تأثيرها على العمليات الجيومورفية من خلال ما يصيبها من ضعف من خلال تفككها وعدم تماسكها وقلة رطوبتها وما تحتوي من مواد عضوية وكيميائية مثل كاربونات الكالسيوم التي تعمل على تماسك حبيبات التربة وجود الترطيب الذي يعمل على التماسك وعكس ذلك يعمل التجفيف على تفكك حبيباتها

(1) علي حسين الشلش ، جغرافية التربة ، مطبعة جامعة البصرة، ط 1 ، 1981، ص13

(2) نوري خليل البرازي، التربة واثراها في التطور الزراعي في السهل الرسوبي ، مجلة الجمعية الجغرافية العراقية ، المجلد 1، 1962، ص117

(3) حارث عبد الجبار ، منخفض الكعرة (دراسة في أشكال سطح الأرض) اطروحة دكتوراه (غير منشورة) قسم الجغرافية ، كلية الآداب ، جامعة بغداد ، 1996، ص58-59.

(4) صباح عبود عاتي الخزعلي، اثر العوامل الطبيعية في تكوين الأشكال الأرضية في الهضبة الصحراوية الغربية غرب الفرات في العراق ، مصدر سابق، ص40.

(5) قيس سامي عبد الكريم الجميلي ، جيومورفولوجية حوض وادي الاخضر في الهضبة الغربية العراقية وامكانية استثمارها في حصاد المياه، رسالة ماجستير غير منشورة، قسم الجغرافية ، كلية الآداب، جامعة الأنبار ، 2010، ص26.

وان تربة منطقة الدراسة قليلة التماسك ومفككة بسبب ارتفاع درجات الحرارة التي تعمل على زيادة التبخر الذي يعمل على جفاف التربة مما يسهل عملية حثها بواسطة الرياح ونقلها وتعريضها وسهولة انجرافها بواسطة الجريان السطحي<sup>(1)</sup>. ترب منطقة الدراسة ترب محلية نشأت من الصخور الام وتنتجت عنها ترب منقولة تكونت نتيجة الترسيبات التي حملتها الانهار في موسم الفيضانات والرواسب الرملية التي حملتها الرياح . عموماً يمكن تصنيف التربة في منطقة الدراسة الى الانواع الاتية كما يتضح من الخريطة (2-17) والجدول (2-12) والشكل (2-5).

2-2-3-1 تربة السهل الفيضي وتشمل:

2-2-3-1-1 تربة كتوف الانهار

2-2-3-1-2 تربة الاحواض

2-2-3-1-3 تربة الاهوار

2-2-3-2 تربة الكثبان الرملية

2-2-3-3 التربة الصحراوية الجبسية المختلطة

2-2-3-1 تربة السهل الفيضي

تظهر هذه الترب بشكل واسع ومتفرق اذ تبلغ مساحتها نحو (11874.7 كم<sup>2</sup>) ونسبة (77%) من منطقة الدراسة وهي تربة حديثة التكوين نشأت بفعل ترسيبات نهري الفرات والغراف وكذلك الرواسب التي جلبتها الرياح من خارج منطقة الدراسة بشكل ارسابات هوائية وتوجد هذه الترب في الاقسام الواطئة والمنبسطة من السهل الفيضي<sup>(2)</sup>. تكون هذه التربة عميقة يصل عمقها الى عدة امتار وتحتوي على نسبة مرتفعة من الكلس ونسبة منخفضة من الجبس وتقل فيها نسبة المادة العضوية وترتفع فيها نسبة الاملاح<sup>(3)</sup>. ان مصدر هذه الترسيبات إما أن تكون نهريّة أو ريحية فضلاً عن رواسب الأهوار والمستنقعات ورواسب المناطق الصحراوية المنقولة بواسطة الرياح خلال المدة التي أعقبت العصر الممطر (البلايستوسين) وبالإمكان تصنيف التربة في منطقة السهل الفيضي إلى ثلاثة أصناف وكما يلي:

2-2-3-1-1 تربة كتوف الانهار

2-2-3-1-2 تربة الاحواض

2-2-3-1-3 تربة الاهوار

(1) رياض كاظم سلمان الجميلي ، كفاءة التوزيع المكاني للخدمات المجتمعية (التعليمية والصحية والترفيهية) في مدينة كربلاء ،رسالة ماجستير (غير منشورة) جامعة بغداد ،كلية التربية ،2007،ص51.

(2) ماجد السيد ولي، العوامل الجغرافية وأثرها في انتشار الأملاح بترب السهل ما بين النهرين، مجلة الجمعية الجغرافية العراقية، العدد 17، 1986، ص30.

(3) صفاء مجيد المظفر ، جغرافية التربة ، وزارة التعليم العالي والبحث العلمي ، جامعة الكوفة، كلية الاداب ، قسم الجغرافية ،

## 2-2-3-1-1 تربة كتوف الانهار

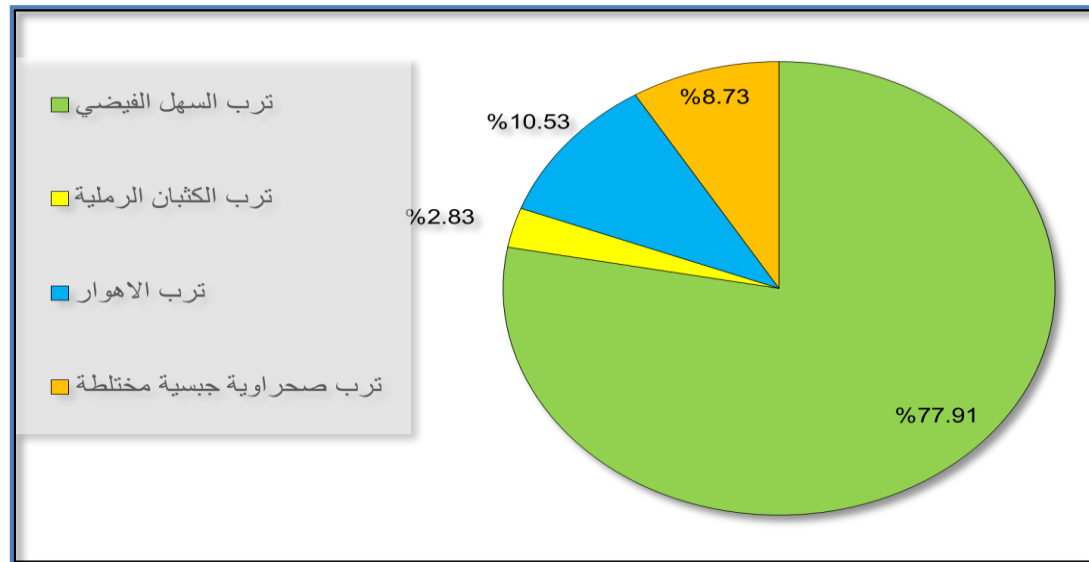
تمتد هذه التربة بشكل اشترط طبيعي وهي تربة مزيجية الى مزيجية غرينية وذات نسجة خشنة الى متوسطة الخشونة اذ تشكل نسبة الرمل فيها نحو (25.8%) والغرين (25.2%) والطين نحو (22%)، اما ملوحتها فقليلة تتراوح ما بين (4 ، 8 ملليموز) وتمتاز بالتصريف الجيد لكون مجرى النهر هو المصرف الطبيعي لها . اذ يتراوح ارتفاعها بين (2 ، 3 م) فوق مستوى الارضي المجاورة لها مما يساعد على انخفاض مستوى المياه الجوفية <sup>(1)</sup> . يمكن توسع هذا النطاق من التربة خلال الافادة من الكميات الكبيرة من الرواسب التي يحملها النهر سنوياً.

جدول (2-12) المساحة والنسبة المئوية لأصناف الترب في منطقة الدراسة

النسبة المئوية%	المساحة كم <sup>2</sup>	اصناف الترب
77.91	11874.7	1 ترب السهل الفيضي
2.83	431.3	2 ترب الكثبان الرملية
10.53	1605.1	3 ترب الالهوار
8.73	1329.9	4 ترب صحراوية جبسية مختلطة
100	15241	المجموع

المصدر: بالاعتماد على برنامج Arc Map10.3

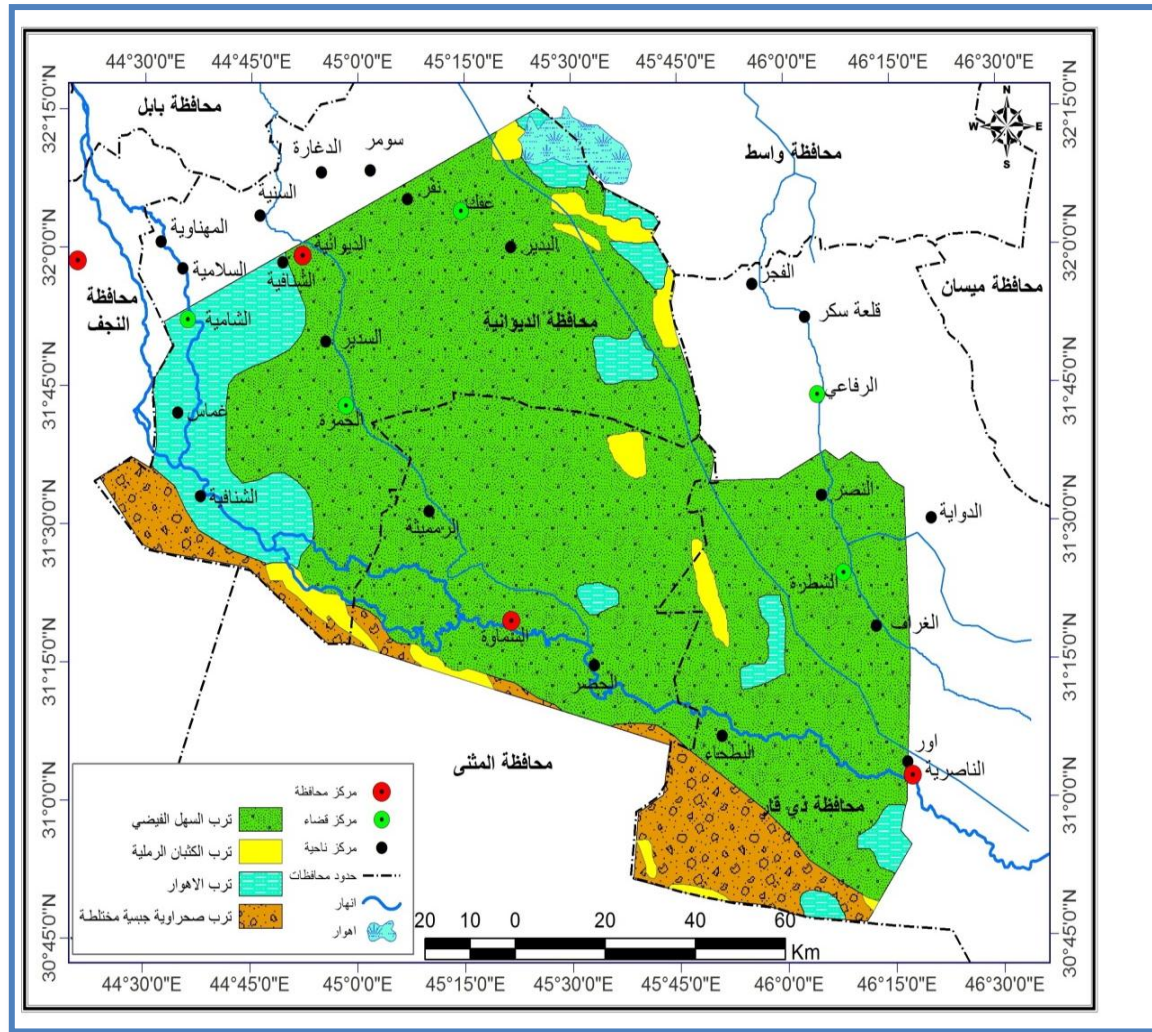
شكل (2-5) النسبة المئوية (%) لأصناف الترب في منطقة الدراسة



المصدر: بالاعتماد على جدول (2-12).

(1) رياض محمد علي عودة المسعودي ، الموارد المائية ودورها في الانتاج الزراعي في محافظة كربلاء ، اطروحة دكتوراه غير منشورة ، كلية التربية ابن رشد ، جامعة بغداد ، 2000، ص40.

خريطة (2-17) اصناف التربة في منطقة الدراسة



المصدر: اعتماداً على : Burig p. map soil and soils condition in Iraq, 1960. وباستخدام برنامج Arc Map10.3

## 2-2-3-1-2 تربة الاحواض

تسود هذه التربة في المناطق المحصورة بين اكتاف الانهار وترب المنخفضات (الاهوار والمستنقعات) ويتراوح ارتفاعها ما بين (2 - 4 م) وتتكون من التربة الطينية الغرينية الرديئة النفاذية التي تتعرض باستمرار الى زيادة تجمع الاملاح<sup>(1)</sup>. يحتوي هذا النوع من التربة على عدد من المكونات من اهمها الغرين ويبلغ معدل (50.82%) والطين يتراوح ما بين (50 ، 70%) والرمل (13.3%) ونسبه عالية من الكلس تصل نحو (30,15%) ويبلغ معدل درجة ملوحتها نحو (7,6 مليموز/سم) اما معدل درجة PH نحو (7.06) والذي اثر سلبياً في انخفاض نسبة مادتها العضوية اذ بلغت نحو (0.30) وتمتاز هذه التربة بانخفاضها وارتفاع نسبة المياه الجوفية . فضلاً عن ارتفاع نسبة الملوحة ولهذا تحتاج الى القيام بأعمال الدفن وتعليات التربة<sup>(2)</sup>. تكونت هذه التربة بفعل عمليات الترسيب النهري، إذ إن المجاري المائية

(1) صفاء مجيد المظفر ، جغرافية التربة ، مصدر سابق ، ص119

(2) محمد عبد الله محمد ، جغرافية التربة ، مكتبة المجمع العربي للنشر والتوزيع ، 2010 ، ص30.



تقوم بإرساب الذرات الخشنة قرب مجاريها ثم الذرات الدقيقة بمسافات أبعد، فضلاً عن الإرساب الريحي، إن استمرار عملية الهبوط التي يتعرض لها السهل الفيضي نتج عنها تكون طبقات رسوبية قديمة مغطاة برواسب نهريّة حديثة زيادة على رواسب الرياح المنقولة من الصحراء الجنوبية الغربية<sup>(1)</sup>.

### 2-2-3-1-3 تربة الاهوار

تسود هذه التربة في الجزء الشرقي والغربي وتبلغ مساحتها نحو (1605.1 كم<sup>2</sup>) وينسبه بلغت نحو (10.53%) من مساحة منطقة الدراسة وتتميز هذه التربة بكونها تربة طينية او طينية مزيجية يغطي سطحها طبقة غرينية ذات تركيب فيزيائي ضعيف وغالباً ما تكون منشورياً وتتسبع هذه التربة بالماء فيكون معدل عمق الماء الأرض فيها بحدود (1 م)<sup>(2)</sup>. تمتاز بانها تربة لزجة ومرونة مشبعة بالماء اما في حالة جفافها خلال الصيف فتكون صلبة ومشققة وتتصف بنسجه متوسطة النعومة الى ناعمة وتتصف بصرفها الرديء وارتفاع نسبه الاملاح فيها<sup>(3)</sup>. وبلغت درجة ملوحتها نحو (32,20 ملليموز / سم) ومعدل الطين (62%) والغرين (32,4%) والرمل (6.3%) ومعدل درجة PH (7.2) والذي ادى الى انخفاض نسبة مادتها العضوية إذ بلغت (0.33)<sup>(4)</sup>، وباحتوائها على نسبة كبيرة من المواد العضوية لذلك تعد من الترب المستغلة في النشاط البشري في منطقة الدراسة.

### 2-2-3-2 تربة الكثبان الرملية

تظهر هذه التربة في الاجزاء الشمالية الشرقية والوسطى والغربية وتبلغ مساحتها بحدود (431.3 كم<sup>2</sup>) وينسبه (2.83%) من مساحة منطقة الدراسة وتتكون بفعل الظروف المناخية الجافة المتمثلة بقلة سقوط الامطار وارتفاع درجات الحرارة والتبخر. الامر الذي جعلها تمتاز بندره النبات الطبيعي كما ان للرياح الشمالية دوراً كبيراً في تكوين الاشكال الأرضية المختلفة<sup>(5)</sup>. تتألف نسجتها في الاغلب من ذرات رملية خشنة اذ بلغ معدل الرمل نحو (80%) لذا فهي تتصف بنفاذيتها العالية اما محتواها من الغرين والطين فقد بلغ نحو (10.5 ، 9%) على التوالي. ومعدل PH (6.8) وتمتد طبقتها السطحية بعمق يصل نحو (60 سم) وتصل ملوحتها (5.7) وبلغ معدل المادة العضوية نحو (0.11)<sup>(6)</sup>. تكون ايضاً تربة مفككة

(1) صباح عبود عاتي الخزعلي، سحر إبراهيم المحارب، خصائص التربة وأثرها في تباين النظم الأرضية في محافظة ذي قار، مجلة الأستاذ، العدد 64، 2007م، ص1123.

(2) عابد جاسم حسين الزامل، تحليل الجغرافي لتباين سطح الأرض في محافظة النجف، رسالة الماجستير (غير منشوره) كلية الآداب، جامعة الكوفة، 2001. ص58.

(3) محمد عبد الله محمد، جغرافية التربة، مصدر سابق، ص32

(4) وزارة الزراعة، مديرية الزراعة ذي قار، بيانات غير منشورة، 2016.

(5) ابتسام عدنان رحمن الحميداي، الخصائص الطبيعية في محافظة القادسية وعلاقتها المكانية في استغلال الموارد المائية المتاحة 'رسالة ماجستير غير منشوره، كلية التربية للبنات، جامعة الكوفة، 2009، ص55.

(6) حمادي عباس حمادي الشمري، دراسة التغيرات السكانية في محافظة القادسية، دراسة في جغرافية السكان، اطروحة دكتوراه غير منشوره، كلية التربية ابن رشد، جامعة بغداد، 2005، ص37.

الأجزاء حديثة التكوين ، أما إمكانيتها الزراعية فهي فقيرة وذلك لانعدام المواد الغذائية الضرورية التي يحتاجها النبات من جهة ولمساميتها الشديدة من جهة أخرى ويتميز هذا النوع من التربة بقابلية الرياح العالية على نقل ذراتها ، وتكوين تجمعات من الرمال تسهم في تكوين أشكال مختلفة من الكثبان بحسب طبيعة العوامل المؤثرة في الكثبان.

### 2-2-3 التربة الصحراوية الجبسية المختلطة

يظهر هذا النوع من الترب في الاجزاء الجنوبية الغربية وتبلغ مساحتها (1329.9 كم<sup>2</sup>) ونسبة (8.73%) من المنطقة الدراسة . انعكست طبيعة السطح والصفات المناخية عل تكوينها وتمتاز هذه التربة بقلة عمقها الذي لا يزيد عن (25 سم) وتتألف من مكونات كلسية طينية ورملية مختلفة بنسب عالية من الجبس ونسبه نحو (45%) وبلغت نسبة الرمل نحو (74%) ومعدل محتواها من الطين (18%) بينما بلغ نسبة الغرين (8%) ودرجة ملوحتها (2 مليموز/سم) ومعدل Ph نحو (6.2) . وقد انعكست تلك الصفات على مادتها العضوية والتي بلغت (0.2) <sup>(1)</sup> . تعد تربة فقيرة بالمواد العضوية والنتروجينية وغنية بالأملاح القاعدية التي تتراكم بالقرب او على سطح التربة وبسبب قلة الامطار السنوية في منطقة الدراسة وارتفاع نسب التبخر لهذا السبب حددت الحياة النباتية <sup>(2)</sup> . تحتوي على املاح الكالسيوم ولكن يمكن اذابتها وجعلها صالحة للزراعة عكس الترب الاخرى الحاوية على نسبة عالية من الاملاح والتي لا يمكن جعلها صالحة للزراعة وان الترب الصحراوية لا تحتاج فقط الى مياه الري وانما تحتاج الى الاسمدة الحيوانية لتعويض نقص المواد العضوية والنتروجينية <sup>(3)</sup> .

### 2-2-4 النبات الطبيعي Natural Vegetation

يعد انتشار النبات الطبيعي في اي منطقة انعكاساً للظروف المناخية السائدة في المنطقة اذ تؤثر عناصر المناخ في توزيع المجموعات النباتية على سطح الارض اذ يظهر دور الامطار في كثافة وتوزيع النبات في المناطق الرطبة ذات الامطار الغزيرة ودرجات الحرارة العالية مع زيادة التبخر يؤثر سلباً في جفاف النبات . فضلاً عن العوامل الاخرى منها التضاريس التربة والانحدار وتدخل الانسان التي اثرت في توزيع النبات على سطح الارض فتأتي اهمية النبات الطبيعي في الدراسات الجيومورفية من خلال دوره الايجابي والسلبى اذ يتمثل الدور الايجابي للنبات الطبيعي من خلال دوره من الحد من آثار التعرية المائية والريحية <sup>(4)</sup> ، في حين يظهر الاثر السلبى للنبات الطبيعي فهو بنشاط عمليات الجيومورفية لاسيما لاسيما التجوية بنوعها (الكيميائية ، الفيزيائية ، فالتجوية الكيميائية تنشط بفعل الاحماض الناتجة عن

<sup>(1)</sup> صفاء مجيد مظفر ، جغرافية التربة ، مصدر سابق ، ص120.

<sup>(2)</sup> ابراهيم شرف ، علي حسين الشلش ، جغرافية التربة ، مطبعة جامعة بغداد ، 1985، ص198

<sup>(3)</sup> علي حسين الشلش ، جغرافية التربة ، جامعة البصرة ، ط2، 1985، ص143.

<sup>(4)</sup> عباس فاضل السعدي. جغرافية العراق، وزارة التعليم العالي والبحث العلمي ، جامعة بغداد ،دار الجامعة للطباعة والنشر والترجمة ، ط1، 2008، ص160.

تعفن جذور النباتات وتحللها بعد اقتطاعتها من عمليات الاحتطاب والرعي الجائر للنباتات بالقرب من الضفاف<sup>(1)</sup>. لذلك فإن النبات الطبيعي يعمل على تماسك التربة ويساعد على تسرب مياه الأمطار إلى باطن الأرض وعودتها للمجرى على شكل مياه الجوفية<sup>(2)</sup>. إن التباين الكبير في الخصائص المناخية والأشكال الأرضية والتربة في المنطقة أدى إلى تباين واضح بين نباتات ضفاف الأنهار وبين نباتات الأهوار ونباتات المناطق الجافة وتنوع كبير في الخصائص النباتية كما تبين من الجدول (2-13) إن النبات الطبيعي المتمثل بمختلف النباتات الموجودة في المنطقة تشغل مساحة (5779.7 كم<sup>2</sup>) بنسبة (37.9%) ، أما المناطق الخالية من النبات الطبيعي (المناطق الصحراوية) ولاسيما الكثبان الرملية والأراضي الجرداء وتشغل مساحة (9461.3 كم<sup>2</sup>) بنسبة (62.1%) ونتيجة هذا التباين هو العامل المناخي السائد في المنطقة الذي يمتاز بقلّة الأمطار والتربة الصحراوية الجافة ويمكن تمييز ثلاثة أنواع من النباتات الرئيسة السائدة في منطقة الدراسة كما في الخريطة (2-18):

#### 2-2-4-1 نباتات ضفاف الأنهار

هي النباتات التي تنمو على اكتاف الأنهار الرئيسة وتفرعاتها ضمن منطقة الدراسة وتنمو نتيجة توافر التربة الخصبة فضلاً عن الحركة البطيئة في بعض أجزاء المجرى النهري، مما يتولد عنه برك ومستنقعات متباينة المساحات، أذ تساعد البرك والمستنقعات على تكاثر نباتات الضفاف وانتشارها في أماكن أخرى ، من خلال ما تمتاز به هذه النباتات من جذور تمتد إلى عمق (3 م)، وهي نباتات تعمل على حماية ضفاف الأنهار من التآكل والانهيال من خلال الحد من قدرة النهر على عملية الحت المائي في ضفافه ويفيد هذا النوع اصلاح التربة في منطقة الدراسة<sup>(3)</sup>. وأهم أنواع هذا النباتات هي الغرب والصفصاف والعوسج والصريم والسوس لهذا النباتات تأثير في تكوين الأشكال الأرضية من خلال تقليل سرعه التعرية المائية.

#### 2-2-4-2 نباتات الأهوار والمستنقعات

تنتشر هذا النباتات في مناطق الأهوار الواقعة في المنطقة ويعد الماء العامل الرئيس في تحديد نوع النبات الطبيعي في المنطقة والذي يغطي سطح التربة في الهور بشكل دائمى وموسمي وتباين الماء في فصول السنة نحو الارتفاع والانخفاض حسب الظروف المناخية السائدة في المنطقة مما يساعد على بقاء النباتات متواجدة في تلك المناطق من أهم النباتات القصب والبردي . وتمتد بشكل كبير في داخل المجرى وجوانبه وفوق الاسنة والجزر النهرية ، ويتمثل دوره في حماية ضفاف النهر من نشاط العمليات الجيومورفولوجية (النحت والتعرية) ويمنع تراجع الضفاف ولاسيما نبات القصب والبردي التي تتميز

(1) اشواق عبد الكريم حاتم، الخصائص الجيومورفولوجية لمجرى نهري الكحلاء والمشرح واثرها على النشاطات البشرية، اطروحة

دكتوراه ، غير منشورة ، قسم الجغرافية، كلية التربية ابن رشد ، جامعة بغداد، 2016، ص84

(2) مهدي الصحاف، الموارد المائية في العراق وحمايتها من التلوث ، دار الحرية للطباعة بغداد ، 1976، ص116.

(3) جليل جاسم محمد هنون ، هيدروجيومورفولوجية منطقة كربلاء ، مصدر سابق، ص45.

بسيقانه الطويلة وجذوره التي تشكل منظومة كبيرة تمتد لعدده امتار، تتميز بدورها النباتي لأنها تقوم باعتراض طريق التيارات المائية مشكلة مصيده للرسوبيات الناعمة من الطين والغرين وتساهم بتشكيل الجزر والالسنه النهرية كما انها تمنع خروج النهر من المجرى الا في حالة الالتواءات الحادة التي تشتد فيها عملية النحت<sup>(1)</sup>.

## 2-2-4-3 النباتات الصحراوية

توجد هذه النباتات في مناطق واسعة من المنطقة وتكيف هذا النوع في المناطق الجافة استجابة مباشرة لمناخها السائد في المنطقة من حيث ارتفاع درجات الحرارة وقلة الرطوبة والأمطار، اذ كيفة النباتات الصحراوية نفسها لتقاوم الجفاف الذي يدوم ثمانية اشهر بوسائل مختلفة منها جذورها الطويلة وخزن الماء في اجزائها و اوراقها المدببة التي تغطيها مادة شمعية قليلة المسام لتحافظ على رطوبتها اذ تتواجد هذا النباتات مبعثرة في اماكن متباعدة والتي تنمو في موسم تساقط الامطار وهذه الصفات تنطبق على النباتات الصحراوية المعمرة مثل (الشوك والعاكول) بينما لا تنطبق هذا الصفات على موسمية النمو التي تسمى (الحولية)<sup>(2)</sup>. تعيش النباتات الصحراوية على التربة الرملية متكيفة مع عملية النتج النشطة وكذلك تكيفت ضد تموجات الرمال التي تغطيها ، وعند فيض الماء في التربة تظهر الطبقة السطحية جافة ومفككة ، وهذان العاملان يقفان عائقا أمام تطور النباتات ، وتستطيع بذور النباتات أن تنمو في الرمل نفسه لأنها منقولة في الوقت نفسه مع الرمل المفتت والجاف ويمكن أن تعيش النباتات التي لها جذور طويلة في هذه الظروف من خلال مد جذورها إلى مناطق الرطوبة ، وهناك النباتات التي تنمو في شقوق الصخور ، حيث تتجمع ذرات الرمل المترسبة والمنقولة بواسطة الرياح مع الأوراق التي تساعد على تكوين مادة الدبال القليلة في شقوق أو فوالق الصخور التي تقوم بحماية تلك الذرات والمادة العضوية فتوفر شروط النمو لبعض النباتات<sup>(3)</sup>. اذ ان النباتات الصحراوية هي (الشيخ ، الكيصوم ، الرمث ، السدر البري ، الرغل ، الحنظل) تنمو في الترب الجبسية في الهضبة الصحراوية ، والسدر البري عبارة عن نباتات ظليّ لها أشواك حادة وكثيرة التفرعات ، تتحمل الجفاف ولكنها لا تتحمل انخفاض درجات الحرارة ويكون خشبها صلباً. أما نباتات الرمث وهي نباتات علفية معمرة ويصل ارتفاعها إلى أكثر من (1 م) ترعاها الجمال ، أما نباتات العرفج فهي عبارة عن شجيرات معمرة ، يصل أقصى ارتفاع لها (70 سم) ويعتمد عليها في رعي الجمال لأنها ذات قيمة علفه جيدة ، أما أطرافها الغضة فتكون علفاً للأغنام<sup>(4)</sup>.

(1) اشواق عبد الكريم صالح ، مصدر سابق ، ص87.

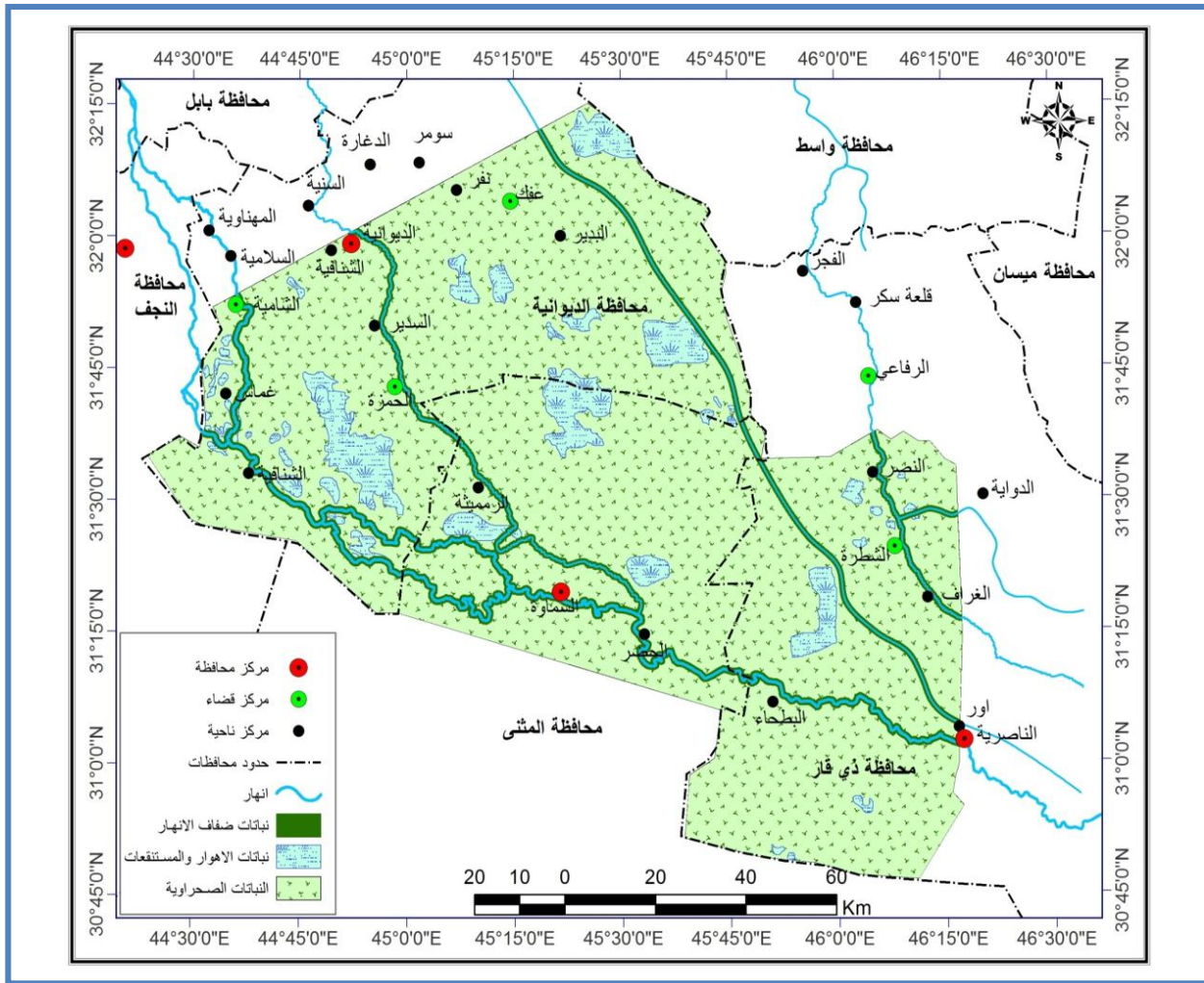
(2) رضا عبد الجبار سلمان الشمري، البنية الطبيعية والجغرافية لمحافظة القادسية ، مجلة القادسية ، العدد (1) ، 1997 ، ص223 .

(3) عايد جاسم حسين الزامل ، الاشكال الأرضية في الحافات المنقطعة للهضبة الغربية بين بحيرتي الرزاة وسواه واثارها على النشاط البشري ، اطروحة دكتوراه غير منشورة ،كلية الاداب ، جامعة بغداد ، 2007، ص79.

(4) محمد محي الدين الخطيب، المراعي الصحراوية في العراق، مطبعة سرمد ، بغداد ، ط 1، 1978، ص 336.

## الفصل الثاني/ العوامل والمظاهر الأرضية المسيطرة في رسم صورة المظهر الأرضي لمنطقة الدراسة

### خريطة (2-18) توزيع النبات الطبيعي في منطقة الدراسة



المصدر: اعتماداً على: وزارة الصناعة والمعادن، الهيئة العامة للمسح الجيولوجي والتعديني، خريطة جيولوجية العراق، مقياس 1:1000000، لسنة 2000 م. وباستخدام برنامج Arc Gis 10.3.

### جدول (2-13) المساحة والنسبة المئوية لأصناف النبات الطبيعي في منطقة الدراسة

النسبة المئوية %	المساحة/ كم <sup>2</sup>	الصنف
37.9	5779.7	الغطاء النباتي
62.1	9461.3	المناطق الخالية من النبات
100	15241	المجموع

المصدر: بالاعتماد على 1- المرئية الفضائية لمنطقة الدراسة من القمر الأمريكي Landsat L8 OLI (11) حزمة طيفية، استخدمت لهذا الغرض الحزمتين (4، 5) فقط، تاريخ المرئية 2017/4/25.

2- خريطة (2-18).



## الفصل الثالث

### وصف المناخ واثره في تكوين الاشكال الارضية لمنطقة الدراسة

#### المبحث الاول

وصف المناخ الماضي لمنطقة الدراسة

#### المبحث الثاني

وصف المناخ الحالي لمنطقة الدراسة

#### المبحث الثالث

وصف الظواهر المناخية الحالية لمنطقة الدراسة

## المبحث الاول

### وصف المناخ الماضى لمنطقة الدراسة

#### تمهيد

يعد المناخ عاملاً مهماً في تشكيل المظهر الارضي لأي منطقة سواء كان للمناخ القديم او الحالي المعاصر المتمثلة بدرجات الحرارة والامطار والرياح والعناصر الاخرى ولها دور في تأثيرها على العمليات الجيومورفية المتمثلة بالتجوية والتعرية. قبل التطرق الى دراسة تأثير عناصر المناخ، لابد من دراسة المناخ القديم خلال الحقب الزمنية المتعاقبة وما حدث من تغيرات مناخية تركت أثرها في الظواهر الجيومورفية على سطح الارض في الوقت الحالي. ان فكرة اختلاف الاشكال الأرضية ترتبط بالظروف المناخية التي أثرت في تطورها لذلك ظهرت محاولات لتقسيم العالم إلى أقاليم مورفومناخية ، إذ اقترح بيدل Budel عام (1944) بوجود ما يمكن أن يسمى بالأقاليم الجيومورفية المتشابهة الأصل ، وقام بتصنيف سطح الأرض إلى أقاليم مناخية أو أقاليم مورفولوجية مجتمعة . وفي عام (1950) اقترح بلتير Peltier قائمة مبدئية تتضمن أقاليم متشابهة الأصل وحاول أن يعرفها تعريفاً كمياً في ضوء درجة الحرارة والرطوبة ، وفي عام (1965) استخدم كل من تريكارتر Tricart وكيليه cailleux العناصر الجوية والمناخ القديم عند تصنيف سطح الأرض إلى أقاليم مورفومناخية وأثر العناصر (الظروف المناخية) مجتمعة في تشكيل الظواهر الجيومورفية العامة للإقليم بخصائص مميزة تجعله يختلف عن غيره من الأقاليم الأخرى . ويعد وليم موريس ديفز Davis من أوائل الجيومورفولوجيين الذين تطرقوا إلى أثر المناخ على أشكال سطح الأرض من خلال ما أسماه بالدورة الجيومورفية (الجغرافية) والتي ميز من خلالها بين الدورات الجليدية والدورات الجافة والتي أطلق عليها فيما بعد بالحوادث المناخية <sup>(1)</sup> . يتضح ان التباين المناخي الاقليمي له اثر في التوزيع المكاني للمظاهر الارضية نتيجة انعكاس التغير المناخي القديم وتذبذب المناخ الحالي وبالتالي تكونت المظاهر الارضية الحالية بسبب ظروف المناخ القديم واصبحت شبه مستقرة في المناخ الحالي ولذلك سنتناول الدراسة دور العناصر والظواهر المناخية في تغيير فاعلية العمليات الجيومورفية وانعكاسها على المظاهر الارضية في ظل التغير المناخي القديم والحالي .

### 3-1-1 المناخ القديم واثره فى تكوين الاشكال الارضية :

تعد دراسة المناخ القديم ذات اهمية في اعطاء صورة واضحة للتطور التاريخي للوحدات الأرضية عبر التغيرات المناخية التي تحصل لاسيما في الزمن الرباعي إذ ان الزمن الرابع يعد من اهم الأزمنة التي يجب التركيز على دراستها بسبب التغير الكبير الذي طرأ على المناخ في هذا العصر والاشكال التي كونها من خلال الفيضانات التي تعرضت لها الارض بسبب ذوبان الجليد لذا يعد من اهم الازمنة التي يجب دراستها لأنه غير كثيراً من جيومورفية الارض ، بينما الزمن الثالث الذي حدثت فيه الحركات

<sup>(1)</sup>Louis C. Peltier , The Geographic Cycle in Periglacial Regions as it related to climatic Gemorphology tour , Geo , Soc. Am. Vol. 16 , 1950 , p. 214 .

الارضية ايضاً كان له الاثر على جيومورفية الارض ، و اما اثار العصور الجيولوجية الاخرى فكانت موجودة على سطح الارض ولان العصر الرباعي اجرى تغييراً كاملاً لأشكال سطح الارض سيتم دراسة المناخ القديم كالآتي:

#### 3-1-1-1 المناخ في الزمن الثالث (عصر البليوسين) :

يعد البليوسين من الوحدة الزمنية الجيولوجية التي بدأت قبل (10) ملايين سنة وانتهت قبل (3 - 2) مليون سنة ، وبعد أن أصبحت فكرة لكل إقليم مناخي أشكال أرضية خاصة به حقيقة أدركت من قبل الباحثين ، فلا بد من دراسة التطور التاريخي لظواهر سطح الأرض وعلاقتها بتطور المناخ خلال تعاقب المراحل الزمنية ، إلا أن المعلومات المناخية المتوفرة عن هذه الحقبة الزمنية نادرة جداً ليس هذا فحسب بل ان سطح الكرة الأرضية لم يكن قد بلغ من التطور ما هو عليه الآن . فالفقرات لم تكن في مواضعها الحالية كما ان البحار لم تكن بصورتها الراهنة ومواقع القطبين كانت في غير مواقعها الحالية . ان هذا كله دليل على عدم استقرار المناخ في الماضي ، لذا ينظر إلى مناخ هذه المدة ضمن النظرة العامة لمناخ الأرض وغالباً ما يبنى مناخ منطقة ما استناداً إلى اختلاف مواقعها عبر العصور الجيولوجية<sup>(1)</sup>. إما موقع العراق فتوضح خرائط نشرها شنايدر في كتابه إنه كان جنوب دائرة العرض 30 درجة شمالاً قبل 20 مليون سنة ، وفي اثناء هذه المدة (المايوسين) كان البحر يفصل بين صفيحة اوراسيا والصفيحة العربية الافريقية وهذا يعني ان مناخ العراق كان مناخاً مدارياً بحرياً يقع تحت تأثير الرياح الموسمية ، وفي المدة الممتدة بين 15-20 مليون سنة قبل الحاضر تشير الدراسات الى ارتفاع درجة حرارة العروض المدارية ومن ضمنها العراق ، بينما بدأت الثلجات بالظهور فوق المناطق الجبلية قبل (10 ملايين سنة) وقد شهد العراق في الزمن الثالث تكون السلاسل الجبلية في الشمال مما خلق ظروفاً مناخية جديدة وقد شهد أواسط البليوسين التقهقر النهائي للبحر وعادت العصور الجليدية وظهرت الحياة الحيوانية والنباتية قبل خمسة ملايين سنة واستمر مناخ جنوب العراق مدارياً رطباً في بداية عصر الميوسين على الرغم من تقهقر البحر ، إذ إن موقعه الجغرافي وأمتداد السواحل البحرية الى جنوبه لعبت دوراً كبيراً في استمرار حرارته ورطوبته باستثناء المنطقة الشمالية التي أخذت مناخاً مختلفاً في درجة حرارته بسبب عامل ارتفاع الارض<sup>(2)</sup>. وامتازت عناصر المناخ بتوزيعين خلال السنة فقد تراوحت كمية الامطار بين 1000-1500 ملم خلال السنة ، ومتوسط حرارة الشتاء اعلى من درجة الصفر المئوي. شهد المناخ قبل نهاية الزمن الثالث انتقالاً من المناخ القاري نحو مناخ البحر المتوسط خصوصاً في نظام سقوط الامطار قبل بداية الزمن الرباعي . ويتميز البليوسين بصورة عامة بمناخ مشابه لمناخنا الحالي مع زيادة بالدفع مع

(1) قصي عبد المجيد السامرائي ، مناخ العراق الماضي والحاضر ، مجلة كلية الآداب، جامعة بغداد ، العدد 50 ، 2000 ، ص112 .

(2) فاضل باقر الحسني، تطور مناخ العراق عبر الأزمنة الجيولوجية والعصور التاريخية ، المجلد العاشر، 1976، ص376.

احتمال توسع النطاق الجاف باتجاه القطب<sup>(1)</sup> ، وفي النصف الثاني من الزمن الثالث حصلت اضطرابات كبيرة في قشرة الأرض ففي أواخر الاوليغوسين بدأت الحركات الألبية التي نجم عنها تشكل جبال الالب وهملايا والأنديز وقد رافق هذا الارتفاع في قشرة الأرض في بعض المناطق تبرد في المناخ وأستمر هذا التبريد إلى الزمن الرابع الذي قاد إلى ظهور الجليديات الضخمة في البلايوسين<sup>(2)</sup> ، وأهم العمليات الجيومورفية التي سادت عمليات التجوية والتعرية في الأجزاء الجنوبية والغربية من العراق وانعدم الترسيب ماعدا بعض المساحات الصغيرة التي تترسب فيها الرسوبيات الفتاتية المحلية القليلة السمك جداً<sup>(3)</sup>.

#### 3-1-1-2 المناخ في الزمن الرباعي

يقسم الى عصرين هما البلايوسين الذي حدث خلاله الفترات الجليدية التي بدأت قبل حوالي مليون سنة وانتهت قبل 2000 سنة و تكوينات عصر البلايوسين من الرواسب التي نحتها واكتسحها الجليد المتحرك ثم أرسبها، ومن رواسب الأنهار القديمة. ،اما الهولوسين (الحديث) الذي بدأ بعد انتهاء الفترة الجليدية مباشرة والذي نعيشه في الوقت الحاضر ويتركب من رواسب الأنهار الحالية من حصي ورمل وطيني، ومن الرواسب الهوائية مثل الكثبان الرملية ، ومن الرواسب التي تتراكم في البحيرات والبحار والمحيطات<sup>(4)</sup> . وعند الرجوع الى الترسيبات الجيولوجية في المنطقة تبين ان اغلبها تعود الى المناخ في الزمن الرباعي وهذا يرجع الى دور المناخ في الحث والارساب ومن ثم ازالة الترسيبات الزمن الرباعي في عصر (الهولوسين ، البلايوسين) الذي ادى الى تكشف الترسيبات الاقدم عمراً في المنطقة والتي كونت (الفرات ، الزهرة) التي تعود الى عصر الميوسين والايوسين وبهذا نستدل ان نقاط الترسيب الاولى للمظاهر الارضية في المنطقة تعود الى عصر الايوسين وصاعداً.

#### 3-1-1-2-1 المناخ في عصر البلايوسين :

اطلق على عصر البلايوسين (pleistocene) اسم العصر الجليدي (Iceage)<sup>(5)</sup> والمقصود بتعبير العصر الجليدي هو انخفاض كبير في درجات الحرارة لفترة زمنية محددة لإقليم ما على سطح الارض ومن ضمنها منطقة الدراسة والذي ينجم عن هذا الانخفاض حدوث تغير في المناخ الى شديد البرودة والذي يعمل بدوره على تراكم الثلوج فتره بعد فترة وان الانخفاض بدرجة الحرارة يساعد على عدم حدوث ذوبان لهذه الثلوج ولفترة طويلة والذي يعمل على تكوين الغطاءات الجليدية على سطح الارض ولكن شاع استخدام العصر الجليدي ليدل بوجه خاص على برودة المناخ وحدث الجليد وانتشار

(1) صباح عيود عاتي الخزعلي، مصدر سابق ، ص60

(2) علي حسن موسى، التغيرات المناخية، دار الفكر بدمشق، سوريا ،1986، ص 124.

(3) سحر نافع شاكر، جيومورفولوجية العراق في العصر الرباعي ، مصدر سابق ، ص 229 - 230 .

(4) فاروق صنع الله العمري، عبد الهادي يحيى صائغ، الجيولوجيا العامة، مطبعة جامعة الموصل، ط1، 1977، ص288.

(5) فاروق صنع الله العمري ،مبادئ علم الجيولوجيا، دار اريا للطباعة والنشر ،بيروت، ط1، 2001 ، ص 418.

الغطاءات الجليدية وخاصة في نصف الكرة الشمالي <sup>(1)</sup>. امتاز هذا العصر بحدوث تغيرات مناخية مهمة وخطيرة على سطح الارض وهو ما نسميه بالفترات الجليدية Glacial Intervals اذ تميز هذا العصر بتعاقب المدد الجليدية والمدد ما بين الجليدية اذ شهد هذا العصر اربع ذبذبات جليدية Glacial واستمرت كل ذبذبه منها عشرات الآلاف من السنين فصلت بينها ثلاث حقب دفيئة نسبياً Interglacial وهذه الذبذبات هي:

1. الحقبة الجليدية الاولى Gunze بدأت قبل 600000 سنة.
2. الحقبة الجليدية الثانية Mindel بدأت قبل 500000 سنة.
3. الحقبة الجليدية الثالثة Riss وبدأت قبل 250000 سنة.
4. الحقبة الجليدية الرابعة Wurm بدأت قبل 120000 سنة <sup>(2)</sup>.

على الرغم من ان جليد عصر البلايوستوسين لا تزال اثاره قائمة حتى الان ، فليس العصر الجليدي الوحيد الذي تعرضت له الارض عبر عمرها الطويل . فجليد عصر البلايوستوسين يعد اخر عصر جليدي من الزمن الجيولوجي الرابع والارض تعرضت الى الدفاء والبرودة المتكررة .اي تعرضت الى تقدم الجليد وانحساره والامر الذي يدل على تعرض الارض الى تغير مناخي <sup>(3)</sup>. أثرت العصور الجليدية على مستويات الخليج العربي مما أدى إلى طغيانه على السهل الفيضي، وتراوح مناخ العراق بين الدافئ الرطب والبارد الرطب ثم المناخ الجاف. وتتميز مناخ العراق خلال الهولوسين بارتفاع حرارته وشهدت الأمطار تذبذباً واضحاً. وتشير الدلائل إلى أن مناخ العراق الحالي قد بدأ بالظهور منذ خمسة آلاف سنة قبل الميلاد ولم يكن المناخ على وتيرة واحدة بل شهد تذبذباً في الحرارة والرطوبة. وفي فترة الزحف الجليدي خلال عصر البلايستوسين تغطت أوروبا وأمريكا بالجليد وكان يقابل هذه الفترات عصور رطبة ومطيرة في صحاري أفريقيا وشبه جزيرة العرب والعراق. وقد أحدثت هذه التقلبات في المناخ تغيرات مهمة فشهد العراق خلال الزحف الجليدية أمطاراً غزيرة في الشتاء ومناخاً معتدلاً مصحوباً ببعض المطر صيفاً. (في الوقت الذي كانت فيه أوروبا مغطاة بالتلوج كان ضغط القطب الشمالي الشديد يسوق أعاصير البحر المتوسط التي تستمر دون أن تستنزفها جبال لبنان فتصل بلاد ما بين النهرين وكانت الصحاري (الحالية) تتمتع بأمطار منتظمة موزعة على فصول السنة) <sup>(4)</sup>. يتضح من الشكل (3-1) ان انخفاضاً واضحاً في

(1) حسن السيد احمد ابو العينين ، اصول الجيومورفولوجيا ، الدار الجامعية للطباعة والنشر ، جامعة الاسكندرية-بيروت ، ط6 ، 1981 ، ص655 .

(2) رايت ترجمة فواد حمة خورشيد ، اثار العصر الجليدي البلاستوسيني في كردستان ، الجاحظ للطباعة والنشر ، بغداد ، 1986 ، ص9.

(3) يوسف محمد علي حاتم الهذال ، سلام هاتف احمد الجبوري، التغير المناخي بين الماضي والحاضر والمستقبل ، دار احمد الدباغ للطباعة والنشر ، بغداد ، ط1 ، 2014 ، ص25.

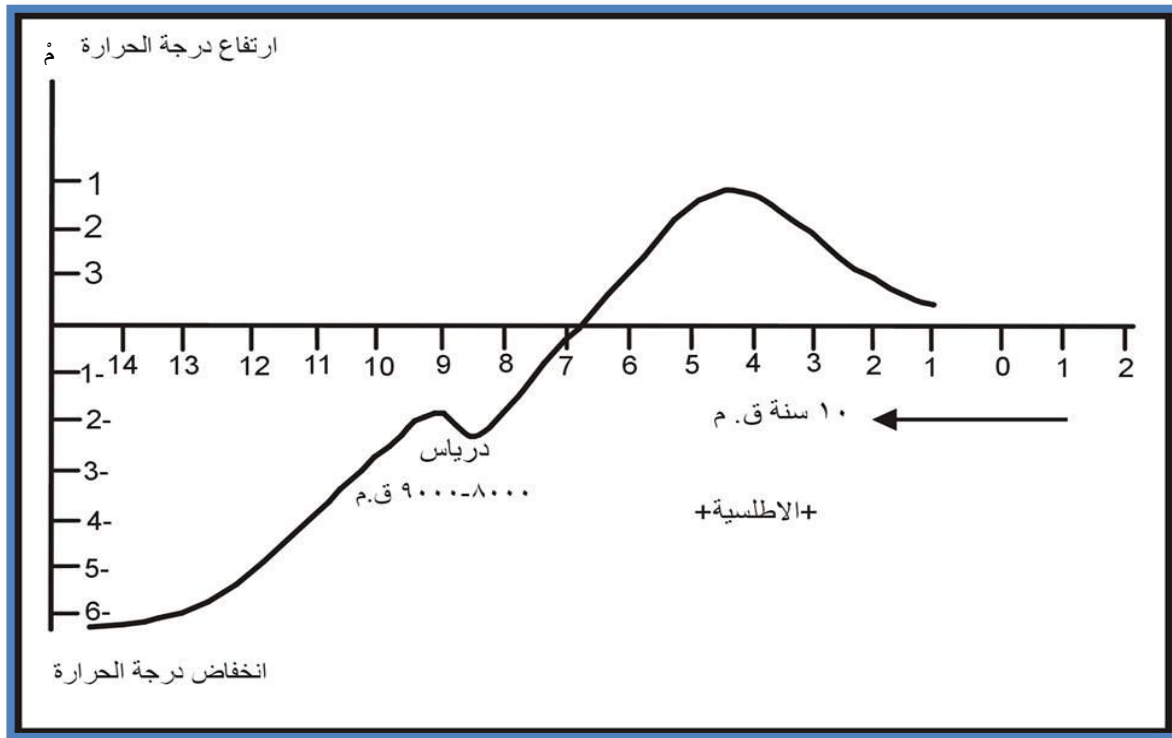
(4) أحمد سوسة، تاريخ حضارة وادي الرافدين في ضوء مشاريع الري الزراعية والمكتشفات الأثرية والمصادر التاريخية، الجزء الأول، بغداد، 1983، ص120.



### الفصل الثالث / وصف المناخ واثره فى تكوين الاشكال الارضية لمنطقة الدراسة

معدلات درجات الحرارة لهذه الفترة ووصل هذا الانخفاض الى اقل من 6 درجات مئوية . وبدأت معدلات درجات الحرارة بالارتفاع التدريجي حتى وصل الانخفاض الى 2.5 درجة مئوية تقريباً في فترة درياس المحصورة بين 9000 سنة قبل الميلاد – 8000 سنة قبل الميلاد. بدأت معدلات درجات الحرارة بالارتفاع بعد سنة 7000 قبل الميلاد حيث ارتفعت بمعدل درجة مئوية واحدة خلال الفترة المحصورة بين 6000 – 7000 سنة قبل الميلاد ، و 2 درجة مئوية بين 5000-6000 سنة قبل الميلاد ووصلت الى أعلى ارتفاع لها في الفترة بين 3000-5000 سنة قبل الميلاد حيث وصل الارتفاع الى 3 درجات مئوية وهذه الفترة تمثل الفترة الاطلسية (\*) Atlanticum<sup>(1)</sup>.

شكل (3-1) معدلات درجة الحرارة في الشرق الأوسط من 14000-2000 سنة ق.م



المصدر: إسحاق صالح مهدي العكام ، جيومورفولوجية السهول المروحية بين مندلي وبدره ، رسالة ماجستير (غير منشورة) ، كلية الاداب ، جامعة بغداد ، 2000، ص 23.

يتضح من الشكل (3-2) ان الجزء (أ) الفترة المناخية الحالية الممتدة من (500) سنة ق.م إلى وقتنا الحاضر. والتي تعد مقياساً معتدلاً مقارنة مع الفترات الأخرى أي إن التساقط أخذ نسق شبه مستقيم وواحداً بينما شهدت الفترات الأخرى من المناخ وفي (14) الف سنة ق.م التي مضت كان هناك تذبذب في تساقط الامطار بين الارتفاع والانخفاض ، إذ يلاحظ ارتفاع في الجزئين (ج) و (هـ) إذ تمثل الفترة (ج) الفترة الأطلسية الدافئة الرطبة ، بينما يمثل الجزء (هـ) الفترة الممتدة من بداية عصر فيرم الجليدي

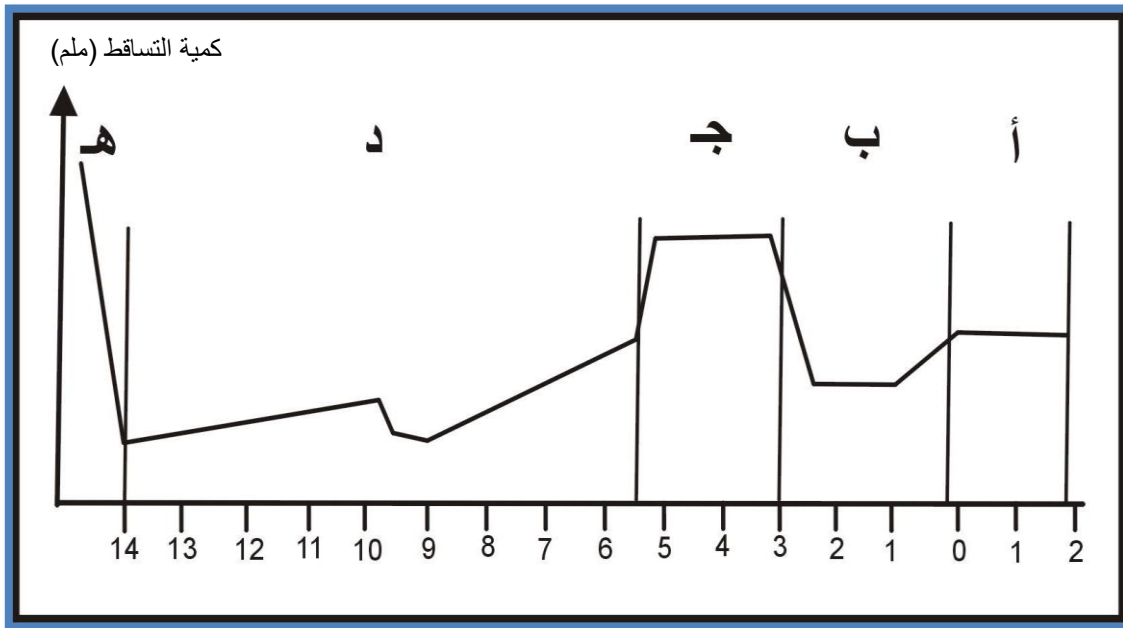
(\*) الفترة الاطلسية وهي فترة ما بعد الجليد الذي ارتفعت فيه درجة الحرارة وازداد ذوبان الجليد .

(1) صباح عبود عاتي الخزعلي، مصدر سابق ، ص 64.

### الفصل الثالث / وصف المناخ واثره فى تكوين الاشكال الارضية لمنطقة الدراسة

وحتى ذروة 14 الف سنة ق.م التي عدت بمثابة فترة باردة رطبة ، كما نجد انخفاضاً في التساقط في الفترة (ب) الممتدة من (3000-500) سنة ق.م والفترة (د) الممتدة من 14 الف سنة إلى 5500 سنة ق.م التي تمثل انخفاضاً شديداً في التساقط مقارنة مع الفترة (ب) مع وجود تزايد قليل في التساقط في فترة درياس (9-10) الف سنة ق.م وكانت الأمطار متذبذبة بشكل واضح ، إذ يمكن عد هاتين الفترتين تمثلا ل فترة باردة جافة . وفي الفترة الممتدة (بين 9-6 الاف) قبل الحاضر تزايدت الأمطار بشكل طفيف مع ارتفاع في درجات الحرارة ، اما الفترة الممتدة (بين 6-3 الاف سنة) قبل الحاضر فقد شهدت الأرض المناخ الأمثل (الدافئ الرطب) و يرجع سبب تزايد الأمطار في تلك الفترة الى ترحل الرياح الموسمية إلى شمال موقعها الحالي مما جعل جنوب العراق يخضع لنظام تلك الرياح ثم بدا المناخ يشهد انخفاضاً في درجات الحرارة مما حول الضغط الحالي شبه المداري إلى جنوب موقعه السابق وبذلك أصبح المناخ الموسمي لا يصل الى جنوب العراق ، وبذلك ازدادت امطار المناطق الشمالية وقلت أمطار جنوب العراق ومنها منطقة الدراسة ففي الفترة الممتدة ما بين 1500 - 1000 كانت أمطار جنوب العراق شحيحة (1) .

شكل (2-3) التساقط في العراق من سنة (14000 - 200) سنة ق.م



المصدر: إسحاق صالح مهدي العكام، جيومورفولوجية السهول المروحية بين مندلي وبدرة ، رسالة ماجستير (غير منشورة) ،كلية الاداب ،جامعة بغداد ،2000، ص 22.

امتاز عصر البلايستوسين بانتشار الجليد إذ ادت البرودة القاسية التي تعرضت لها مناطق العالم، المختلفة خصوصا في اواخر هذا العصر الى زحف الجليد وان عصر البلايستوسين شهد الكثير من التغيرات سواء كان في مناخ العراق ومن ضمنها منطقة الدراسة واثرت تلك التغيرات في جيومورفية المنطقة التي تعتبر الدليل على وجود زمن رباعي في منطقة الدراسة حيث تكونت الكثير من الاشكال

(1) قصي عبد المجيد السامرائي ، مناخ العراق الماضي والحاضر ، مصدر سابق 120.

الارضية سواء كان منخفضات او اودية او انهار وايضاً ساعدت تعرية الرياح والامطار والثلوج على تكوين الترب الملحية والجبسية وحصول زياده في الازابات بشكل عام بمساعدة انخفاض درجات الحرارة اما البرودة فلم تصل الى اراضي العراق باستثناء الاراضي الجبلية المرتفعة وان هذا الزحف قابله ارتفاع بالرطوبة وانخفاض في الحرارة . ويعتقد اخرون ان الفترة الجليدية قابلها جفاف وانخفاض في الحرارة في العراق والذي اعتبرت اهم ظاهرة شهدتها الكرة الارضية خلال المليون سنة الماضية. وهذا انعكس بدوره على مناخ العراق ففي الفترات المطيرة كان العراق اكثر رطوبة من الوقت الحالي اما الجبال فقد غطاها جليد سميك ولهذا فقد تميز بعصور جليدية في الاجزاء الشمالية وعصور مطيرة في الاجزاء الوسطى والجنوبية اما خلال الفترات الجافة (بين العصور المطيرة) فكان مناخ العراق يشابه ما هو عليه الان<sup>(1)</sup>. كان مناخ العراق ينتقل من الجاف الى الرطب وسبب ذلك هو التغير في مسار المنخفضات الجبهوية والتي هي مسؤولة عن التساقط . حيث ان توزيع انطقة الضغط وما يتبعها من الدورة العامة للرياح كانت تتعرض للتغير حيث ادت الى زحزة المنخفضات الجبهوية جنوب موقعها الحالي .اي ان المنخفضات الجبهوية تسلك مسلك جنوبي والتي تعمل على خفض درجة الحرارة والتبخر وزيادة الامطار لاسيما في مناطق الصحاري الحارة الحالية وتؤدي الى سقوط الامطار فوق منطقة البحر المتوسط لاسيما المرتفعات . اما التغير في شكل الدورة العامة للرياح فإنه يؤدي الى زحزة نطاق المرتفعات الى شمال موقعها الحالي .والذي يعمل على دفع المنخفضات الى شمال موقعها الاعتيادي وبهذا تنقطع الامطار او تقل في العروض الشبه المدارية ويؤدي الى سيادة الجفاف<sup>(2)</sup>. عملت المدد المطيرة خلال عصر البلايستوسين على نشاط العملية الجيومورفية التعرؤية و الارسابية التي اسهمت في تعرية سطح الارض وتكوين مظاهر ارضية جديدة، عن طريق الازابة وماينتج عنها من اشكال جيومورفية كالمظاهر الكارستية ، وتكوين المدرجات النهرية في الهضبة الغربية الناتجة عن تتابع العصور المطيرة والعصور الجافة خلال عصر البلايستوسين.<sup>(3)</sup>

#### 3-1-1-2 المناخ في عصر الهولوسين:

بعد انتهاء العصر البلايستوسيني بدا العصر الحديث قبل 11000 سنة وحتى الوقت الحاضر والذي يعتبر العصر الاخير من زمن الحياة الحديثة بعد عصر البلايستوسين اي اخر فترة جافة نعيشها حتى اليوم . ولابد من الرجوع الى الخلف قليلا لمعرفة فترة تراجع الجليد والتي هي نفس الفترة التي بدأ فيها الدفء ففي عام 8000 قبل الميلاد وهي فترة تراجع الجليد في الدول الاوربية وتركبة للركامات الجليدية النهائية والتي تمثل هذه الركامات اخر مرحلة باردة من مراحل اواخر الفترة الجليدية وتعد فترة

(1) محمد رشيد الفيل ،تطور مناخ العراق منذ بداية البلايستوسين حتى الوقت الحاضر ،مجلة كلية الاداب ،جامعة بغداد ،العدد 11،

1968،ص245.

(2) قصي عبد المجيد السامرائي ،مناخ العراق الماضي والحاضر ،مصدر سابق،ص114-115.

(3) محمد يوسف حسن، وآخرون، اساسيات علم الجيولوجيا، مركز الكتب، الاردن، عمان، 1998، ص134.

تحرير للبحيرات العظمى من الجليد حيث اعتبرت الحد الفاصل بين الفترة الجليدية والفترة الدافئة وهي تتفق مع نهاية العصر الحجري القديم . واثناء الفترة الجليدية الاخيرة اختفى انسان النياندرتال (Neandertal) وافسح اختفاؤه المجال لظهور اجناس البشر الحالية وغيرها من الفصائل اي ان في بداية هذه الفترة ظهر الانسان وقامت التنقلات الكبيرة الحيوانية والنباتية من اماكنها القديمة الى اماكن جديدة<sup>(1)</sup>. اما التساقط فقد حدث في فصلي الشتاء والصيف في الهولوسين المبكر في اقاليم الخليج العربي الشمالية ودليل ذلك اشجار البلوط في جبال زاكروس ولكنه شهد تذبذباً واضحاً وان الامطار كانت بين (1-9) الاف سنة قبل الحاضر قليلة و بينما كانت الفترة الاطلسية رطبة جداً ثم تلاها انخفاض شديد في التساقط للفترة (3000 - 5000) ق.م. إذ بدأت درجات الحرارة بالارتفاع التدريجي حتى وصلت إلى ما يشابه معدلاتها الحالية في الألف السابع قبل الميلاد . وقد أطلق على فترة الانتقال من المناخ البارد إلى المناخ الدافئ التي أخذت فيه كمية الأمطار بالزيادة اسم (عصر الهولوسين) . ويمكن القول ان عهد الهولوسين يمثل نهاية العصر الجليدي وبداية فترة دفء في العالم ، لكن الذي حدث ان العشرة آلاف سنة الأخيرة لم تكن بنفس الوتيرة والثبات المناخي بل حدث هناك تذبذب مناخي في كميات الأمطار ودرجات الحرارة ، ويذكر انها مرت بفترات مميزة:

1- **الفترة الأولى : من (10 آلاف - 5 آلاف) سنة ق.م.** :ارتفاع واضح في درجات الحرارة مما أدى إلى ارتفاع منسوب مياه البحر ، وتجمعت المياه في منخفض الخليج العربي فوصلت حدوده إلى شمال بغداد إذ ارتفع منسوب مستوى سطح البحر عن مستواه الحالي (50) متراً ، وهذا يعني ان كل أراضي السهل الرسوبي انغمرت بالمياه لفترة نتيجة الدفء ، ثم بدأ الخليج العربي بالتراجع ووصل إلى مستواه الحالي قبل (5) آلاف سنة .

2- **الفترة الثانية : من (5 آلاف - 3 آلاف) سنة ق.م.** : فقد شهدت هذه الفترة مناخاً مثالياً ، إذ ارتفعت درجات الحرارة عن معدلها الحالي بـ (2 - 3) م ، وفيها أيضاً ارتفع منسوب البحر حوالي (5) أمتار عن مستوى البحار في الفترات الرطبة . وأشارت معظم الدراسات إلى ان الانخفاض والارتفاع في درجات الحرارة كان أقل في المناطق المدارية مما هو عليه في المناطق الوسطى ، فقد شهدت الحرارة انخفاضاً بمعدل (6 - 7) م في سهل ما بين النهرين قبل (10) آلاف سنة ، وارتفعت بحوالي (2 - 3) م في فترة المناخ المثالي بحدود (3800) سنة ق.م. كذلك تميزت تلك الفترة بكون مناخها رطباً عقبها فترات جفاف قصيرة بسبب زيادة التساقط وارتفاع درجات الحرارة .

3- **الفترة الثالثة : بعد (3000) سنة ق.م.** : فقد شهدت هذه الحقبة تذبذباً واضحاً ، بحيث أصبحت أمطار جنوب العراق قليلة وازدادت أمطار المنطقة الشمالية . وتزحزح الرياح الموسمية إلى الجنوب ، مما

(1) جودة حسنين جودة ، الجغرافية الطبيعية للزمن الرابع والعصر المطير في الصحاري الاسلامية ، ط1، 1989، ص25.

أدى إلى سيطرة الضغط العالي شبه المداري على جنوب العراق والذي تسبب في قلة التساقط ، أما درجة الحرارة فقد مالت إلى الانخفاض (1).

4- الفترة الرابعة ( من 1500 - 750 سنة ق . م . : فقد حدث خلالها ميل باتجاه البرودة مصحوبة بتساقط الثلوج في شمال العراق

5- الفترة الخامسة (من 750 الى سنة ق. م الى م) : فقد شهدت هذا الفترة انخفاضاً كبيراً في درجات الحرارة مصحوبة بغزارة الامطار الشتوية في شمال العراق أي انها فترة باردة رطبة .

يتضح من خلال هذه الفترات ان عهد الهولوسين في العراق تميز بتعدد الانماط المناخية من الدافئ الى فترات تذبذبت فيها درجات الحرارة فهناك فترات ارتفاع وانخفاض لدرجات الحرارة الامر الذي كان تأثيره واضحاً على ارتفاع مناسيب مياه البحار والمحيطات ومنها الخليج العربي تأثير الظروف المناخية لعصر الهولوسين في تكوين الاشكال الارضية في منطقة الدراسة فتتوضح من الخصائص المناخية لهذا العصر فقد كان مناخاً قارياً والذي يعد فترة جفاف لا نزال نعيشها الان في معظم اقسام العراق ولذلك نشطت عمليات الحت والترسيب الريحية . وهذا ما اشارت اليه الدراسات وبشكل واضح عندما اكدت على اهمية تأثير النشاط الريحي في عصر الهولوسين . ادى هذا النشاط الى تكوين اشكال ارضية ذات ملامح بارزة تتمثل بالكثبان الرملية التي ترسبت فوق تكوينات عصر البلايوسين ، وخير من يمثلها الكثبان الرملية التي تمتد بموازة نهر الفرات ابتداء من مدينة النجف وتتجه نحو الجنوب الغربي حتى تصل الى محافظة ذي قار (2).

(1) قصي عبد المجيد السامرائي ، مصدر سابق ، ص 118 - 119 .

(2) صباح عبود عاتي الخزعلي، مصدر سابق ، ص 64.



## المبحث الثاني

### وصف المناخ الحالي لمنطقة الدراسة

#### تمهيد

يُعد المناخ أحد العوامل المسؤولة عن التغيرات الموضعية ضمن الاطار العام لأي منطقة ، اذ تعد العناصر المناخية المختلفة احد العوامل المؤثرة في تشكيل المظاهر الارضية ، فضلا عن انها تساعد على تنشيط العمليات الجيومورفية كعمليات التجوية الميكانيكية والكيميائية، وعمليات الحت والترسيب ، يتباين تأثير عناصر المناخ الحالي في تكوين الاشكال الارضية بحسب طبيعة هذه الاشكال ومدى استجابتها للعناصر المناخية سواء كانت مجتمعة او منفردة ، وهذه العناصر هي (السطوع الفعلي ، درجات الحرارة ، الرياح سرعة واتجاه ، الامطار، الامطار الفعالة ، الرطوبة النسبية) كما سنتناول (التبخر - التبخر / نتح - الموازنة المائية المناخية).

#### 3-2-1 السطوع الفعلي Sun Duration

تعد مدة السطوع من العناصر المهمة المتحكم والمسيطر على كمية الأشعة الشمسية الواصلة إلى منطقة الدراسة <sup>(1)</sup> ، ان مدة السطوع الفعلي هي فترة الإضاءة المحددة بالمدة التي تبقى فيها الشمس ساطعة في السماء ، تؤثر ساعات الشروق في كمية الأشعة الشمسية ويرتبط بمدة السطوع الشمسي (هي الفترة التي يمكن مشاهدة قرص الشمس فيها خلال النهار) وتصل الأرض كمية اكبر من الأشعة في النهار الطويل مقارنة بالنهار القصير كما في فصل الصيف والشتاء وتختلف ساعات الشروق أيضاً بحسب دائرة العرض فالمناطق المحصورة بين منطقة تعامد الأشعة الشمسية يكون النهار فيها أطول من أي منطقة ثم يبدأ يقصر طول النهار كلما اتجهنا شمالاً وجنوب منطقة التعامد <sup>(2)</sup>. وعلى هذا الأساس فان الأشعة المكتسبة من الأشعة العمودية أكبر من الأشعة المائلة. وهذا يؤدي الى ارتفاع كمية الاشعاع الشمسي الواصلة الى منطقة الدراسة فضلاً عن طول النهار يؤثر تأثيراً مباشراً في ارتفاع درجات الحرارة مما يؤدي إلى نشاط عمليات التجوية الكيميائية والفيزيائية والحياتية ولاسيما التجوية الفيزيائية متمثلة بعمليات النحت والتذرية وعمليات التعرية الريحية بسبب جفاف التربة الناجم عن شدة الإشعاع. تبين ذلك من تحليل الجدول (3-1) والشكل (3-3) ان معدلات السطوع الفعلي تختلف من فصل واخر حيث بلغ معدل ساعات السطوع الفعلي نحو الارتفاع خلال فصل الصيف في اشهر (حزيران، تموز، اب) والبالغة نحو (11.73، 11.81، 11.49 ساعة / يوم) على التوالي لمحطة السماوة، اما محطة الناصرية فبلغت نحو (9.56، 9.88، 10.08 ساعة/ يوم) على التوالي وفي محطة النجف تصل نحو (11.12، 11.30، 10.86 ساعة/ يوم) على التوالي، بينما محطة الديوانية سجلت نحو (9.58، 9.73، 9.97 ساعة / يوم) على التوالي ولذلك السبب لان الشمس تكون عمودية على مدار السرطان في هذا

(1) علي حسن موسى ، أساسيات علم المناخ ، الطبعة الأولى ، دار الفكر ، سوريا ، دمشق ، 1994 ، ص 25 .

(2) علي حسن موسى ، الوجيز في المناخ التطبيقي ، دار الفكر ، سوريا ، دمشق ، 1982 ، ص 15 .

## الفصل الثالث / وصف المناخ واثره في تكوين الاشكال الارضية لمنطقة الدراسة

الشهر. انخفاض تدريجي في فصل الشتاء خلال الشهر (كانون الاول ، كانون الثاني ، شباط) اذ تصل نحو (6.15، 6.79، 7.71 ساعة / يوم) على التوالي لمحطة السماوة ، وفي محطة الناصرية بلغت نحو (5.96 ، 6.51 ، 7.42 ساعة / يوم) ، اما محطة النجف فبلغت نحو (6.00، 6.26، 7.19 ساعة / يوم) . بينما محطة الديوانية سجلت نحو (6.10، 6.29، 7.19 ساعة / يوم) لكل منهما على التوالي. اما المعدل السنوي في منطقة الدراسة فبلغ نحو (8.96، 8.20، 8.59 ، 8.23 ساعة/ يوم) على التوالي.

جدول (3-1) معدل السطوع الشمسي (ساعة / يوم) في منطقة الدراسة للمدة (1980-2016)

ت	المحطة الشهر	السماوة	الناصرية	النجف	الديوانية
1	ايلول	10.00	9.52	10.08	9.51
2	تشرين الاول	8.60	8.33	8.10	8.43
3	تشرين الثاني	7.43	6.81	7.06	7.32
4	كانون الاول	6.15	5.96	6.00	6.10
5	كانون الثاني	6.79	6.51	6.26	6.29
6	شباط	7.71	7.42	7.19	7.19
7	اذار	7.96	7.69	7.88	7.74
8	نيسان	8.34	7.74	8.19	8.00
9	ايار	9.53	8.88	9.06	8.87
10	حزيران	11.73	9.56	11.12	9.58
11	تموز	11.81	9.88	11.30	9.73
12	اب	11.49	10.08	10.86	9.97
المعدل		8.96	8.20	8.59	8.23

المصدر: بالاعتماد على بيانات وزارة النقل والمواصلات، الهيئة العامة للأتواء الجوية ، قسم المناخ (بيانات غير منشورة)، 2016.

يتضح من الخريطة (3-1) والجدول (3-2) والشكل (3-4) والتي توضح التباين المكاني للسطوع

الفعلي (ساعة/ يوم) في منطقة الدراسة . تم تصنيف بياناتها على شكل رتب كالآتي :

1- **الرتبة الاولى** : تتمثل هذه الرتبة في الاجزاء الشمالية والجنوبية والتي تتراوح درجة تباينها بين (8.2 ، 8.4 ساعة/ يوم) وتشغل مساحة (3732 كم<sup>2</sup>) وبنسبة (24.49%) من منطقة الدراسة.

2- **الرتبة الثانية** : امتدت صورتها المكانية بشكل واسع ولاسيما في الاقسام الوسطى والشمالية الغربية والجنوبية الشرقية والتي تتراوح درجة تباينها بين (8.4 ، 8.6 ساعة/ يوم) تشغل مساحة نحو (5848 كم<sup>2</sup>) وبنسبة (38.37%) من المنطقة .

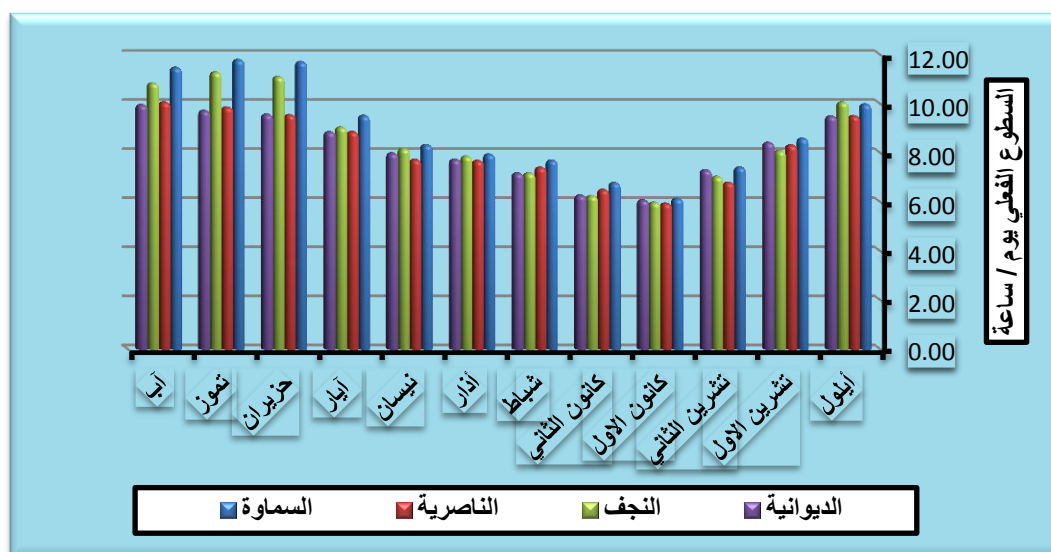
3- **الرتبة الثالثة** : تمتد هذه الرتبة في الاجزاء الوسطى والجنوبية الغربية والشرقية والتي تتراوح درجة تباينها بين (8.6 ، 8.8 ساعة/ يوم) تشغل مساحة (2794 كم<sup>2</sup>) وبنسبة (18.33%) .

4- **الرتبة الرابعة** : تتمثل هذه الرتبة في الاقسام الجنوبية الغربية والتي تتراوح درجة تباينها بين (8.8 ، 9 ساعة/ يوم) تشغل مساحة (2867 كم<sup>2</sup>) وبنسبة (18.86%) من منطقة الدراسة. تبين من

### الفصل الثالث / وصف المناخ واثره في تكوين الاشكال الارضية لمنطقة الدراسة

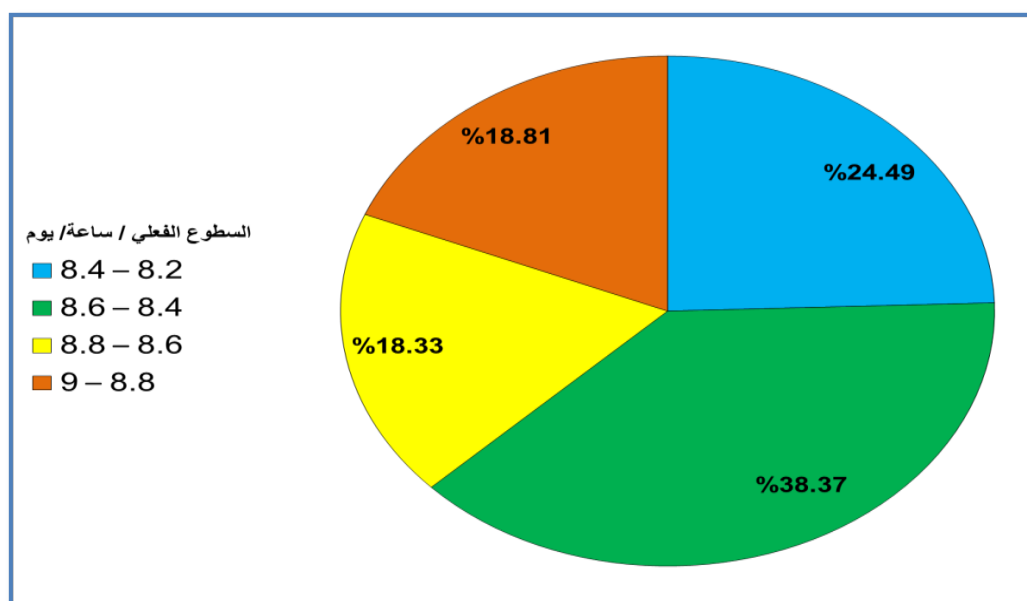
ذلك التباين في السطوع الفعلي بين اشهر الصيف والشتاء اسهم بشكل فعال في تشكيل المظهر الارضي وبشكل غير مباشر اذ ان سقوط الاشعاع الشمسي على أي سطح عندها تتحول الموجات المرئية الى موجات حرارية ومن ثم تعمل على تمدد وتقلص الصخور مما يؤدي الى تفككها وتكسرها، تبعاً لمعامل التمدد والتقلص للمعادن التي تحتويها ، ومن ثم زيادة قابليتها للتعرض الى عملية التعرية الريحية ، كما له أثر في نمو النباتات التي تؤثر في الكثير من الاشكال الارضية ، فعند زيادة الاشعاع الشمسي يؤدي ذلك الى زيادة نمو النباتات المائية التي تعمل كعائق للرواسب التي يحملها النهر فتسبب تجمعها وتكوين الجزر النهرية .

شكل (3-3) السطوع الشمسي الفعلي (ساعة/ يوم) في منطقة الدراسة للمدة (1980-2016)



المصدر: بالاعتماد على جدول (1-3)

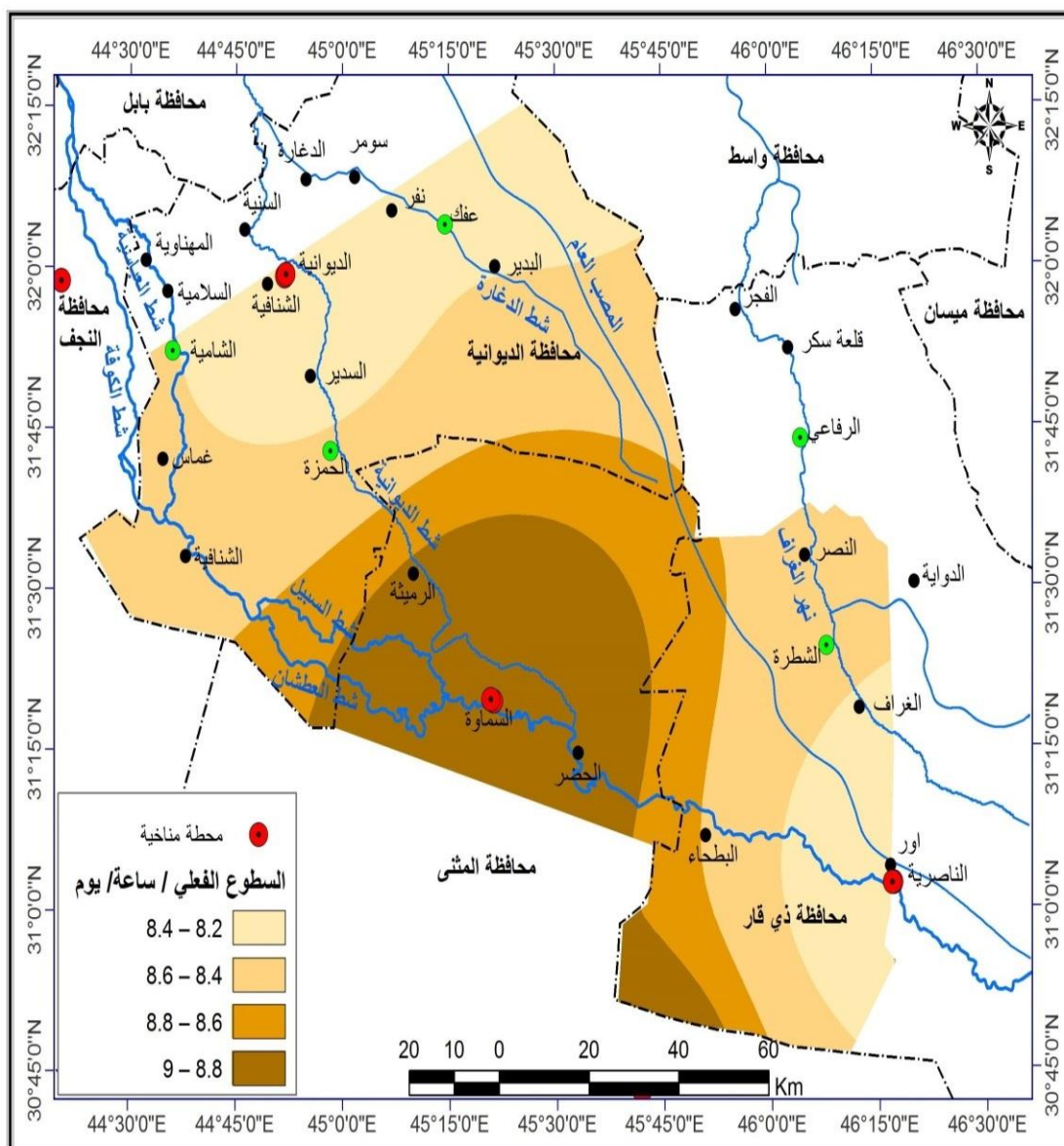
شكل (3-4) النسبة المئوية (%) لسطوع الشمس الفعلي (ساعة/ يوم) في منطقة الدراسة



المصدر: بالاعتماد على جدول (2-3)

## الفصل الثالث / وصف المناخ واثره في تكوين الاشكال الارضية لمنطقة الدراسة

خريطة (1-3) التباين المكاني للسطوع الشمسي الفعلي السنوي (ساعة/يوم) في منطقة الدراسة



المصدر: بالاعتماد على بيانات الجدول (1-3) وباستخدام برنامج Arc Gis 10.3 .

جدول (2-3) المساحة والنسبة المئوية للسطوع الشمسي الفعلي (ساعة/يوم) في منطقة الدراسة

النسبة المئوية %	المساحة / كم <sup>2</sup>	السطوع الفعلي / ساعة/ يوم
24.49	3732	8.4 – 8.2
38.37	5848	8.6 – 8.4
18.33	2794	8.8 – 8.6
18.81	2867	9 – 8.8
100	15241	المجموع

المصدر: بالاعتماد على جدول (1-3) باستخدام برنامج Arc Map 10.3.

### 2-2-3 درجة الحرارة Temperature

تعد درجة الحرارة اهم العناصر المناخية لتأثيرها على العناصر الاخرى ، فعند ارتفاع الحرارة يزداد التبخر. تتميز منطقة الدراسة ببروز فصلين خلال السنة ، فصل الصيف الذي ترتفع فيه درجات الحرارة، وفصل الشتاء الذي تنخفض فيه درجات الحرارة ، اضافة الى فصلين انتقاليين قصيرين بين فصلي الشتاء والصيف هما فصلا الربيع والخريف <sup>(1)</sup>. لدرجات الحرارة دور كبير في تكوين الاشكال الارضية وذلك من خلال عمليات التجوية الكيميائية والفيزيائية، وان اختلاف درجات الحرارة ما بين اشهر الصيف والشتاء وتباينها له أهمية من الناحية الجيومورفولوجية لارتباطه بالعمليات المورفومناخية. تبين من الجدول (3-4) والشكل (3-5) ان معدلات درجة الحرارة الاعتيادية (م) تستمر بالارتفاع التدريجي خلال فصل الصيف اذ سجل اعلى معدل في شهر تموز بلغ نحو ( 36.83 ، 36.98 ، 37.46 ، 37.92 م) على التوالي في منطقة الدراسة ، بينما سجل ادنى معدل في فصل الشتاء لشهر كانون الثاني اذ بلغ نحو (11.24 ، 12.00 ، 10.59 ، 11.87 م) على التوالي في محطات الدراسة، اما المعدل السنوي لدرجة الحرارة الاعتيادية في منطقة الدراسة فبلغ نحو (24.92 ، 26.46 ، 24.68 ، 25.81 م) على التوالي . يتضح من تحليل الجدول (3-3) والشكل (3-6) والخريطة (3-2) والتي صنفت بياناتها الى مجموعة من رتب والتي وزعت جغرافياً التباين المكاني لدرجة الحرارة الاعتيادية في منطقة الدراسة . تقسم هذا رتب كالاتي:

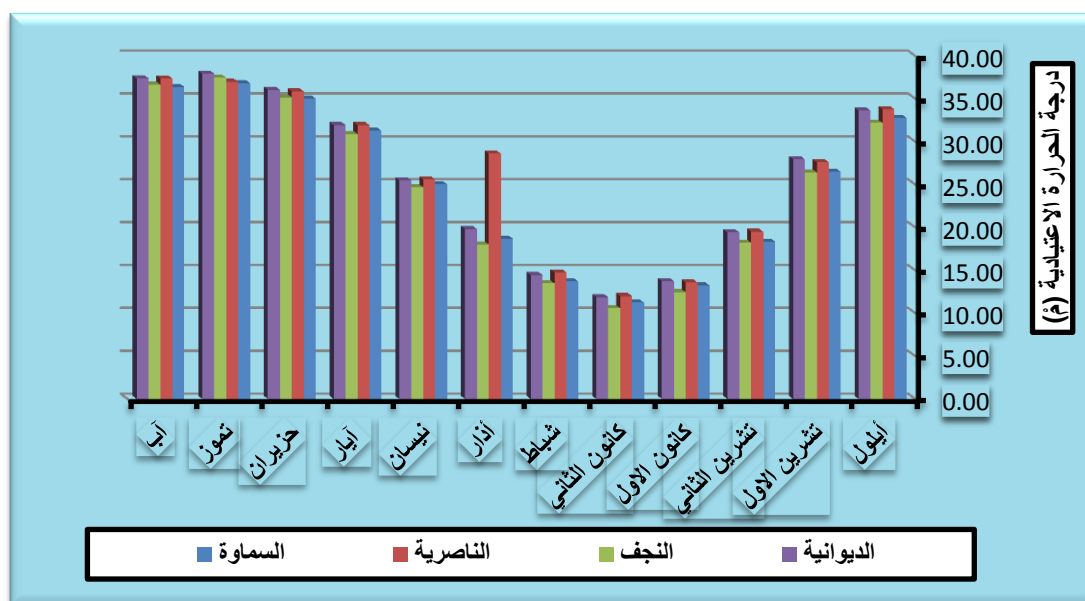
- 1- الرتبة الاولى : تتمثل هذه الرتبة في الجزء الغربي والتي تتراوح درجة تباينها بين (24.7 ، 25.2 م) تشغل مساحة (1911 كم<sup>2</sup>) وبنسبة (12.54%).
- 2- الرتبة الثانية : امتدت صورتها المكانية في الاقسام الوسطى والشمالية الغربية والجنوبية الشرقية والتي تتراوح درجة تباينها بين ( 25.2 ، 25.5 م) وتشغل مساحة (5056 كم<sup>2</sup>) وبنسبة (33.17%).
- 3- الرتبة الثالثة : تظهر بشكل واسع لاسيما في الاجزاء الشمالية الشرقية والجنوبية الشرقية والتي تتراوح درجة تباينها بين ( 25.5 ، 25.9 م) وتشغل مساحة (8274 كم<sup>2</sup>) وبنسبة (54.29%) من المنطقة.

(1) كريم دراغ محمد ، خصائص مناخ محافظة النجف ،مجلة الجمعية الجغرافية العراقية ، عدد 47، 2001، ص209.



### الفصل الثالث / وصف المناخ واثره في تكوين الاشكال الارضية لمنطقة الدراسة

شكل (3-5) معدل درجة الحرارة الاعتيادية (م) في منطقة الدراسة للمدة (1980 - 2016)



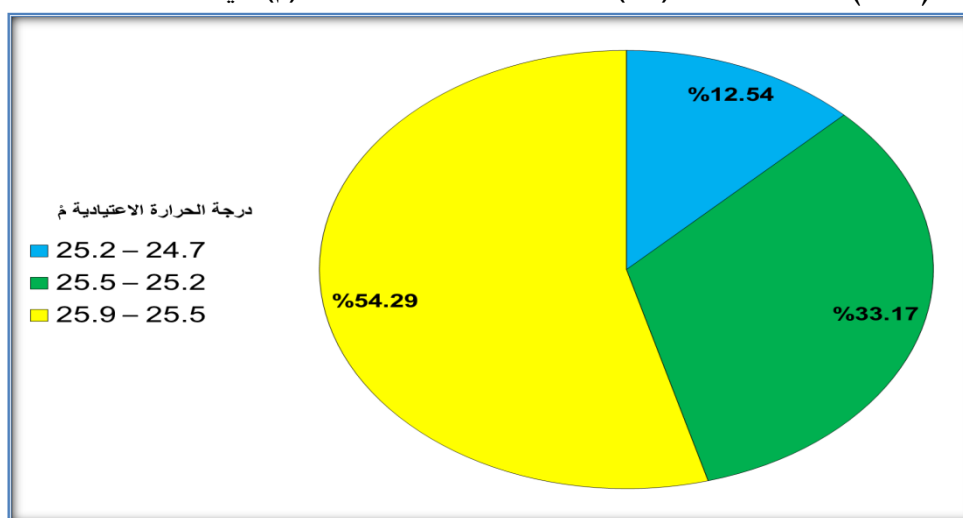
المصدر : بالاعتماد على جدول (3-4)

جدول (3-3) المساحة والنسبة المئوية لدرجة الحرارة الاعتيادية (م) في منطقة الدراسة

النسبة المئوية %	المساحة / كم <sup>2</sup>	درجة الحرارة الاعتيادية م
12.54	1911	25.2 – 24.7
33.17	5056	25.5 – 25.2
54.29	8274	25.9 – 25.5
100	15241	المجموع

المصدر: بالاعتماد على جدول (3-4) باستخدام برنامج Arc Map10.3

شكل (3-6) النسبة المئوية (%) لدرجة الحرارة الاعتيادية (م) في منطقة الدراسة



المصدر: بالاعتماد على جدول (3-3)

## الفصل الثالث / وصف المناخ واثره في تكوين الاشكال الارضية لمنطقة الدراسة

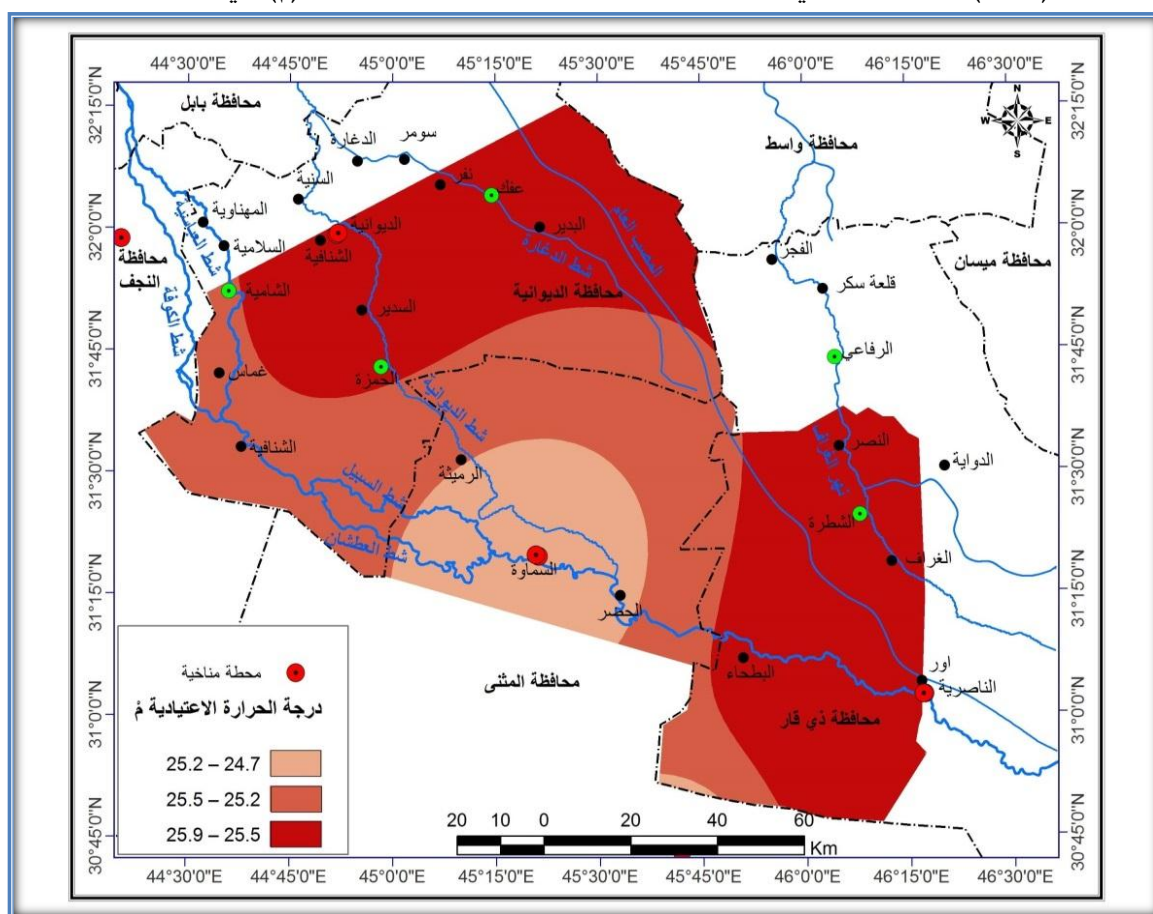
جدول (3-4) المعدلات الشهرية والسفوية لدرجات الحرارة ( الاعتيادية - العظمى - الصغرى (°) والحدى الحراري في منطقة الدراسة للمدة ( 1980 - 2016 )

الشهر المحطة	يناير	فبراير	مارس	أبريل	مايو	يونيو	يوليو	أغسطس	سبتمبر	أكتوبر	نوفمبر	ديسمبر	المعدل
السمارة	24.92	36.38	36.83	35.04	31.27	25.03	18.69	13.70	11.24	13.24	18.35	26.50	32.78
	32.22	44.55	44.64	42.83	38.51	32.04	25.57	20.44	17.02	19.19	25.84	34.73	41.28
	17.57	27.25	27.96	26.21	23.34	17.77	11.86	7.61	5.89	7.72	12.67	19.02	23.56
	24.9	35.9	36.3	34.5	30.9	24.9	18.7	14.0	11.5	13.5	19.3	26.9	32.4
	14.65	17.3	16.68	16.62	15.17	14.27	13.71	12.83	11.13	11.47	13.17	15.71	17.72
	26.46	37.37	36.98	35.86	31.93	25.59	28.60	14.75	12.00	13.58	19.50	27.60	33.79
الناصريه	32.86	45.65	45.58	43.37	39.03	32.21	26.04	20.82	17.85	19.42	26.30	35.78	42.29
	18.39	28.28	28.78	27.01	24.13	18.84	12.74	8.50	6.52	8.15	13.34	19.73	24.68
	25.6	37.0	37.2	35.2	31.6	25.5	19.4	14.7	12.2	13.8	19.8	27.8	33.5
	14.47	17.37	16.8	16.36	14.9	13.37	13.3	12.32	11.33	11.27	12.96	16.05	17.61
	24.68	36.65	37.46	35.17	30.90	24.67	18.01	13.48	10.59	12.45	18.20	26.42	32.19
	31.46	44.33	44.72	42.12	37.64	31.24	24.65	19.53	16.57	18.36	24.40	33.29	40.72
النجف	17.95	28.67	29.20	26.89	23.24	17.90	11.84	7.76	5.62	7.41	12.23	19.72	24.97
	24.7	36.5	37.0	34.5	30.4	24.6	18.2	13.6	11.1	12.9	18.3	26.5	32.8
	13.51	15.66	15.52	15.23	14.4	13.34	12.81	11.77	10.95	10.95	12.17	13.57	15.75
	25.81	37.39	37.92	36.05	31.93	25.49	19.82	14.45	11.87	13.74	19.42	27.95	33.63
	32.88	45.67	45.74	43.60	39.20	31.96	25.79	20.44	17.78	19.79	26.25	36.04	42.36
	18.38	28.27	28.86	27.05	24.13	18.85	12.60	8.26	6.30	8.26	13.15	20.15	24.68
الديوانية	25.6	37.0	37.3	35.3	31.7	25.4	19.2	14.3	12.0	14.0	19.7	28.1	33.5
	14.5	17.4	16.88	16.55	15.07	13.11	13.19	12.18	11.48	11.53	13.1	15.89	17.68

المصدر: بالاعتماد على بيانات وزارة النقل والمواصلات، الهيئة العامة للأدواء الجوية، قسم المناخ (بيانات غير مشفرة)، 2016.

## الفصل الثالث / وصف المناخ واثره في تكوين الاشكال الارضية لمنطقة الدراسة

خريطة (2-3) التباين المكاني لمعدلات درجة الحرارة الاعتيادية السنوية (م) في منطقة الدراسة



المصدر: اعتماداً على بيانات الجدول (3-4) وباستخدام برنامج Arc Gis 10.3

تبين من الجدول (3-4) والشكل (3-7) ان معدلات الشهرية لدرجة الحرارة العظمى (م) تبدأ بالارتفاع في فصل الصيف خلال الشهر (نيسان، ايار، حزيران، تموز، اب، ايلول، تشرين الاول) والبالغة نحو (32.04، 38.51، 42.83، 44.64، 44.55، 41.28، 34.73 م)، وفي محطة الناصرية فبلغت نحو (32.03، 39.03، 43.37، 45.58، 45.65، 42.290، 35.78 م)، اما محطة النجف فسجلت (31.24، 37.64، 42.12، 44.33، 44.72، 40.70، 33.290 م)، بينما محطة الديوانية سجلت بمقدار (31.96، 39.20، 43.60، 45.74، 45.67، 42.36، 36.04 م) لكل منهما على التوالي. ويبدأ بالانخفاض التدريجي خلال فصل الشتاء للأشهر (تشرين الثاني، كانون الاول، كانون الثاني، شباط، اذار) والبالغة نحو (17.02، 19.19، 25.84، 20.44، 25.57 م) على التوالي لمحطة السماوة، اما محطة الناصرية فبلغ نحو (19.42، 26.30، 17.85، 20.82، 26.04 م)، بينما محطة النجف سجلت بمقدار (16.57، 18.36، 44.40، 25.79، 20.44، 17.78، 19.79، 26.25 م) وفي محطة الديوانية بمعدل (24.65، 19.53، 32.22، 32.86، 31.46، 32.88 م) على التوالي. يتضح من تحليل الخريطة (3-3) والجدول

### الفصل الثالث / وصف المناخ واثره في تكوين الاشكال الارضية لمنطقة الدراسة

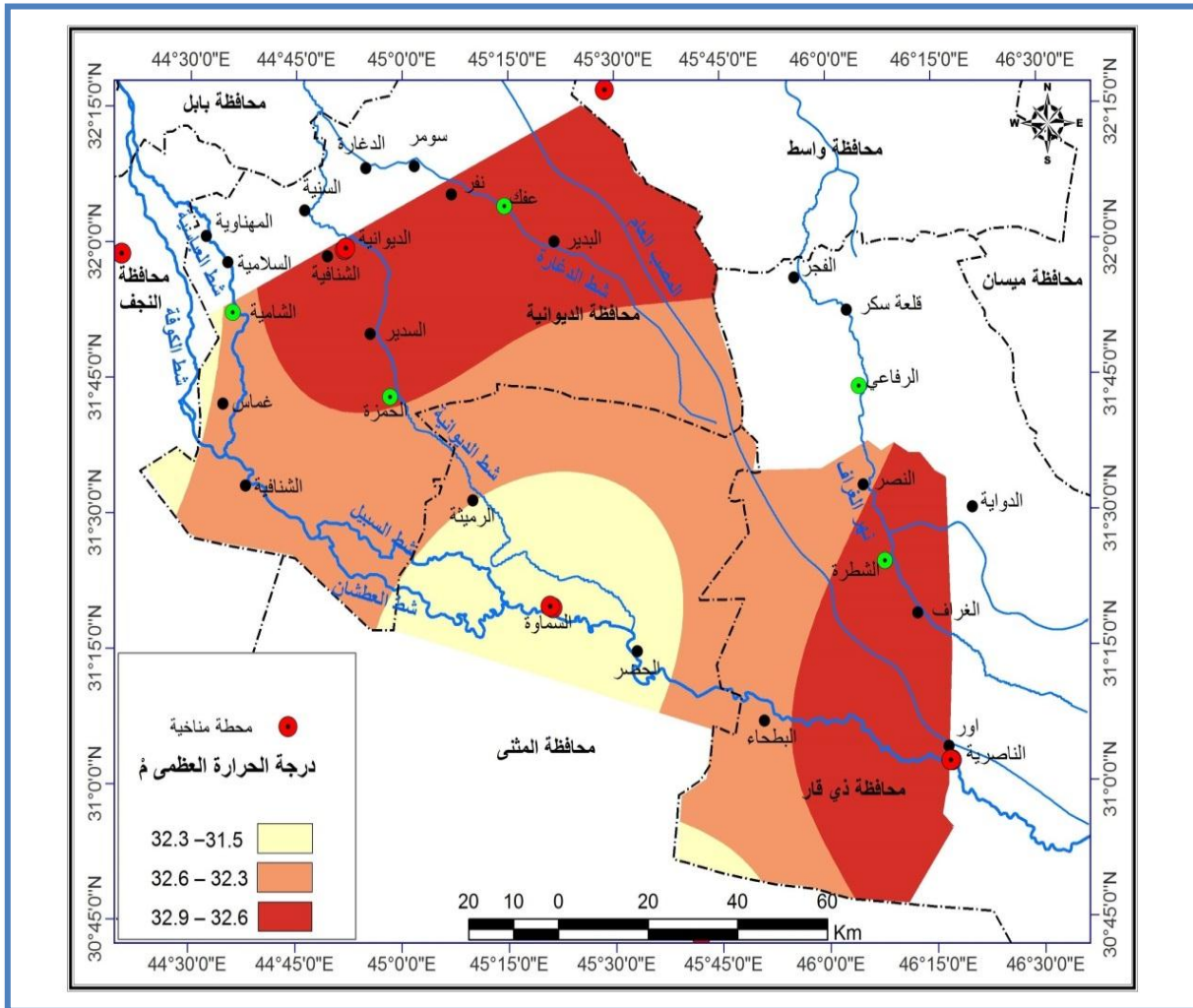
(5-3) والشكل (3-8) التباين المكاني لدرجة الحرارة العظمى في منطقة الدراسة ، ويقسم هذا التباين الى مجموعة من رتب كالآتي :

1- الرتبة الاولى : تتمثل هذه الرتبة في الاقسام الجنوبية والشمالية الغربية والتي تتراوح درجة تباينها بين (31.5 ، 32.3 م) وتشغل مساحة (229 كم<sup>2</sup>) ونسبة (15.03%).

2- الرتبة الثانية : تظهر بشكل واسع ولاسيما في الاقسام الوسطى والشمالية الغربية والجنوبية الشرقية والتي تتراوح درجة تباينها بين (32.3 ، 32.6 م) وتشغل مساحة (6680 كم<sup>2</sup>) ونسبة (43.83%) من المنطقة.

3- الرتبة الثالثة : تمتد هذه الرتبة في الاقسام الشمالية والجنوبية الشرقية والتي تتراوح تباينها بين (32.6 ، 32.9 م) وتشغل مساحة (6270 كم<sup>2</sup>) ونسبة (41.14%) من المنطقة.

خريطة (3-3) التباين المكاني لمعدلات درجة الحرارة العظمى السنوية (م) في منطقة الدراسة



المصدر: اعتماداً على بيانات الجدول (4-3) وباستخدام برنامج Arc Gis 10.3

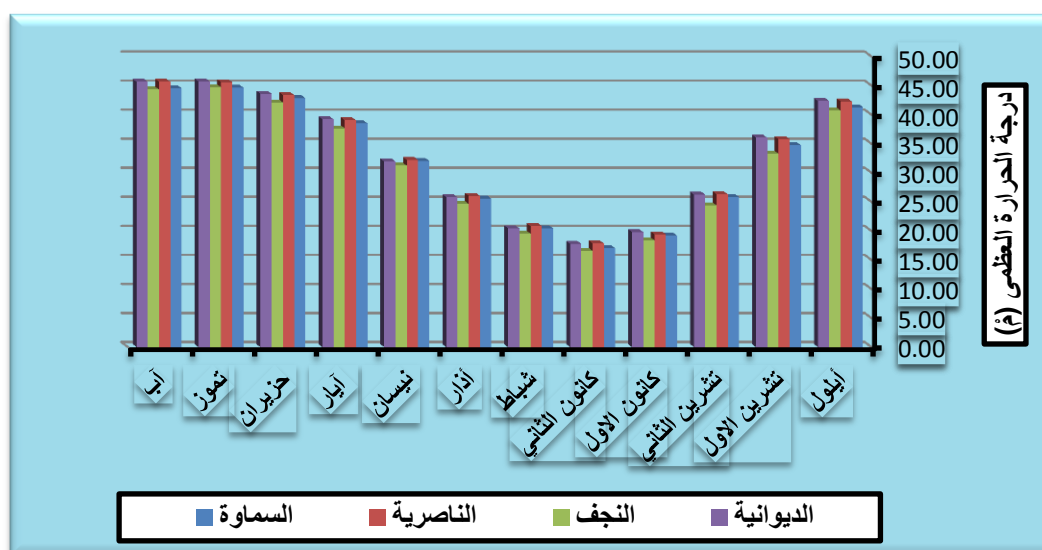
## الفصل الثالث / وصف المناخ واثره في تكوين الاشكال الارضية لمنطقة الدراسة

جدول (3-5) المساحة والنسبة المئوية لدرجة الحرارة العظمى (م) في منطقة الدراسة

النسبة المئوية %	المساحة كم <sup>2</sup>	درجة الحرارة العظمى م
15.03	2291	32.3 – 31.5
43.83	6680	32.6 – 32.3
41.14	6270	32.9 – 32.6
100	15241	المجموع

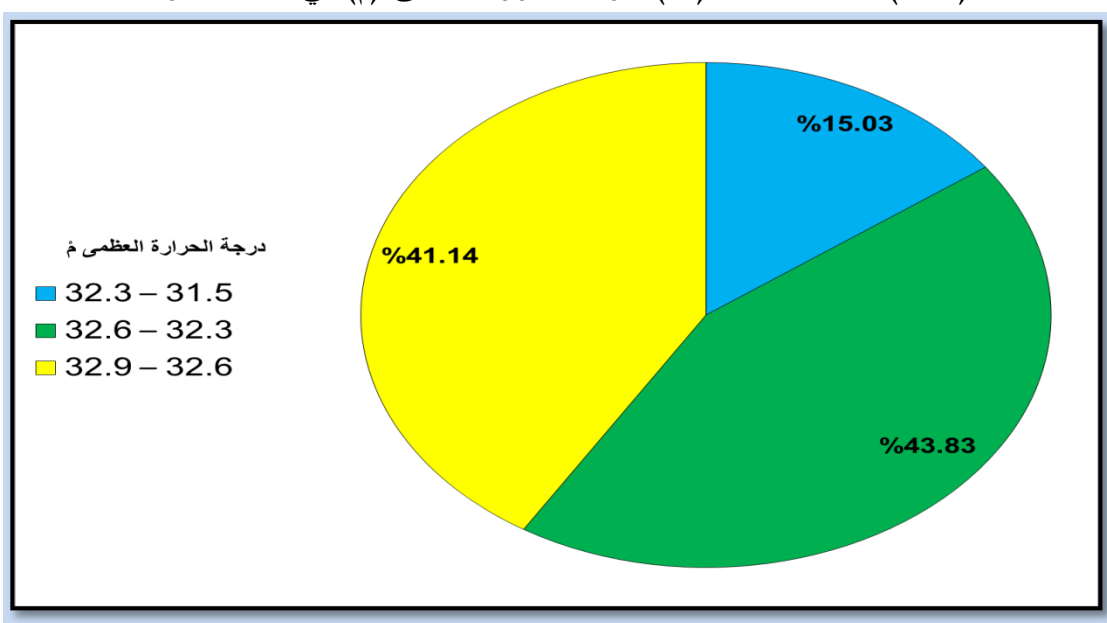
المصدر: بالاعتماد على جدول (3-4) باستخدام برنامج Arc Map 10.3

شكل (3-7) معدل درجة الحرارة العظمى (م) في منطقة الدراسة للمدة (1980 – 2016)



المصدر: بالاعتماد على جدول (3-4)

شكل (3-8) النسبة المئوية (%) لدرجة الحرارة العظمى (م) في منطقة الدراسة



المصدر: بالاعتماد على جدول (3-5)



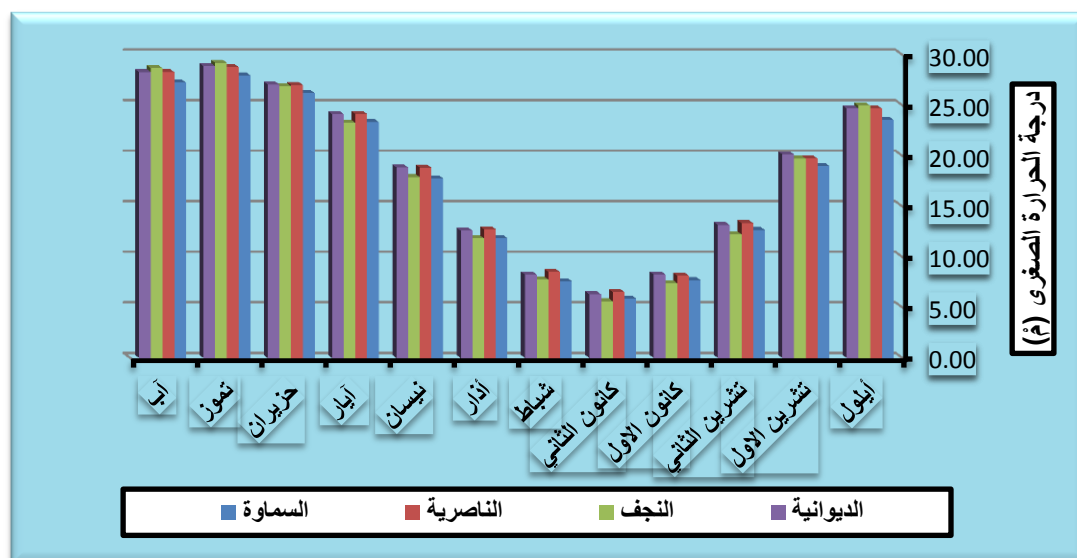
تبين من الجدول (3-4) والشكل (3-9) ان المعدلات الشهرية لدرجة الحرارة الصغرى (م) وتم تسجيلها قبل شروق الشمس اذ تزيد في فصل الصيف وتقل معدلاتها في فصل الشتاء اذ سجل اعلى معدل في شهر تموز فبلغ نحو (27.96، 28.71، 29.20، 28.86 م) ، بينما سجل ادنى معدل في فصل الشتاء لتصل الى ادنى مستوياتها في شهر كانون الثاني اذ بلغ نحو (5.83، 6.52، 5.62 ، 6.30 م) لكل منهما على التوالي في محطات الدراسة . اما المعدل السنوي فبلغ نحو (17.57 ، 18.39 ، 17.95، 18.38م) على التوالي . تبين من تحليل الخريطة (3-4) والجدول (3-6) والشكل (3-10) التباين المكاني لدرجة الحرارة الصغرى (م) في منطقة الدراسة. حيث يقسم هذا التباين على شكل رتب كالآتي:

- 1- **الرتبة الاولى** : تتمثل هذه الرتبة في الجزء الجنوبي الغربي والتي تتراوح درجة تباينها (17.6 ، 17.9 م) وتشغل مساحة (3026 كم<sup>2</sup>) ونسبة (19.85%) .
- 2- **الرتبة الثانية** : تظهر هذه الرتبة في الاقسام الوسطى والجنوبية الشرقية والغربية والتي تتراوح درجة تباينها بين (17.9 ، 18.1 م) وتشغل مساحة (4770 كم<sup>2</sup>) ونسبة (31.30%) .
- 3- **الرتبة الثالثة** : امتدت بشكل واسع ولاسيما في الاجزاء الشمالية الغربية والجنوبية الشرقية والتي تتراوح درجة تباينها بين (18.1 ، 18.4 م) وتشغل مساحة (7440 كم<sup>2</sup>) ونسبة (48.85%) من المنطقة . ان قلة الغطاء النباتي الذي له دور في تباين المديات الحرارية الشهرية لدرجات الحرارة (العظمى ، الصغرى ) فتكون اعلى ما يمكن في شهري (اب، ايلول) حيث بلغ نحو (17.3، 17.72 م) في محطة السماوة ، اما محطة الناصرية فبلغ (17.37، 17.61م) وفي محطة النجف حيث سجل نحو (15.66 ، 15.75 م) ، بينما في محطة الديوانية بلغ نحو (17.4 ، 17.68 م) لكل منهما على التوالي. وتكون ادنى في شهري (كانون الاول ، كانون الثاني) حيث بلغت (11.47، 11.13 م) في محطة السماوة ، اما محطة الناصرية فسجل نحو (11.27 ، 11.33 م) ، بينما محطة النجف بلغ (10.95، 10.95 م) ، وفي محطة الديوانية يصل نحو (11.53 ، 11.48 م) لكل منهما على التوالي. هذا يعني وجود تباين حراري كبير في منطقة الدراسة له اثر كبير في تكوين المظاهر الارضية جديدة من خلال ارتفاع في درجة الحرارة في اثناء النهار يؤدي الى تمدد المعادن المكونة للصخور ، وانخفاض درجة الحرارة اثناء الليل يؤدي الى تقلص تلك المعادن وبفعل التمدد والتقلص يتم تفكيك الصخور وتحطيمها، ونشوء ظاهرة التقشير (Exfoliation) حيث تتعرض طبقة الصخور العليا الى التغير اليومي لدرجات الحرارة الامر الذي يحتم عليها ان تنفصل عن بقية اجزاء الصخور الواقعة اسفلها والتي لا تتأثر بالدرجة نفسها الحاصلة في درجة الحرارة. وينتج من هذه العملية انفصال قشور صخرية بشكل صفائح رقيقة تسقط عند اسفل المنحدرات . يؤدي ارتفاع الحرارة الى جفاف التربة مما يساعد على ارتفاع المياه الجوفية الى الاعلى خلال مسامات التربة بموجب الخاصية الشعرية حيث يتبخر الماء من النطاق الاعلى الجاف الذي يقع فوق مستوى الماء الجوفي تاركا ما يحمله من املاح داخل المسامات الصخرية

### الفصل الثالث / وصف المناخ واثره في تكوين الاشكال الارضية لمنطقة الدراسة

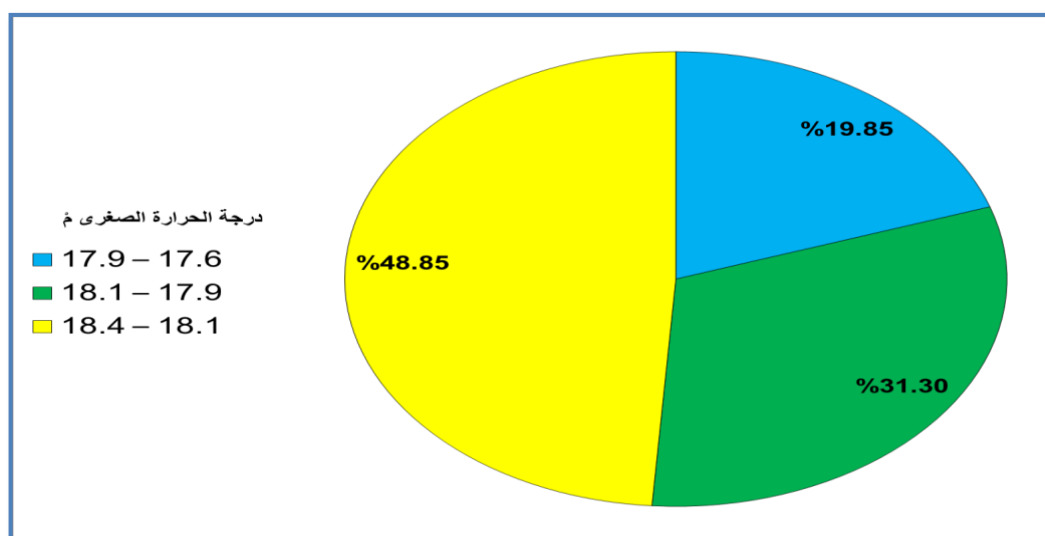
وان نمو البلورات الملحية يؤدي الى تفكك المواد اللاصقة لذرات الصخور وتتشرب طبقاتها <sup>(1)</sup> . أن ارتفاع معدلات درجة الحرارة يؤدي الى نشاط وزيادة التعرية الريحية نتيجة لشدة التبخر في المنطقة ويؤدي هذا الارتفاع الى تبخر المياه من الاراضي الطينية ويقود بتكون المظهر الارضي ويعرف بالسباخ، يعود سبب التباين في درجات الحرارة صيفاً وشتاءً وارتفاع المديات الحرارية اليومية والسنوية ، الى وقوع منطقة الدراسة ضمن العروض شبه المدارية وزيادة زاوية سقوط الاشعاع الشمسي، فضلاً عن عدم تأثر المنطقة بالمسطحات المائية التي تساعد على تقليل المدى الحراري <sup>(2)</sup> .

شكل (3-9) معدل درجة الحرارة الصغرى (م) في منطقة الدراسة للمدة (1980 – 2016)



المصدر: بالاعتماد على جدول (3-4)

شكل (3-10) النسبة المئوية (%) لدرجة الحرارة الصغرى (م) في منطقة الدراسة



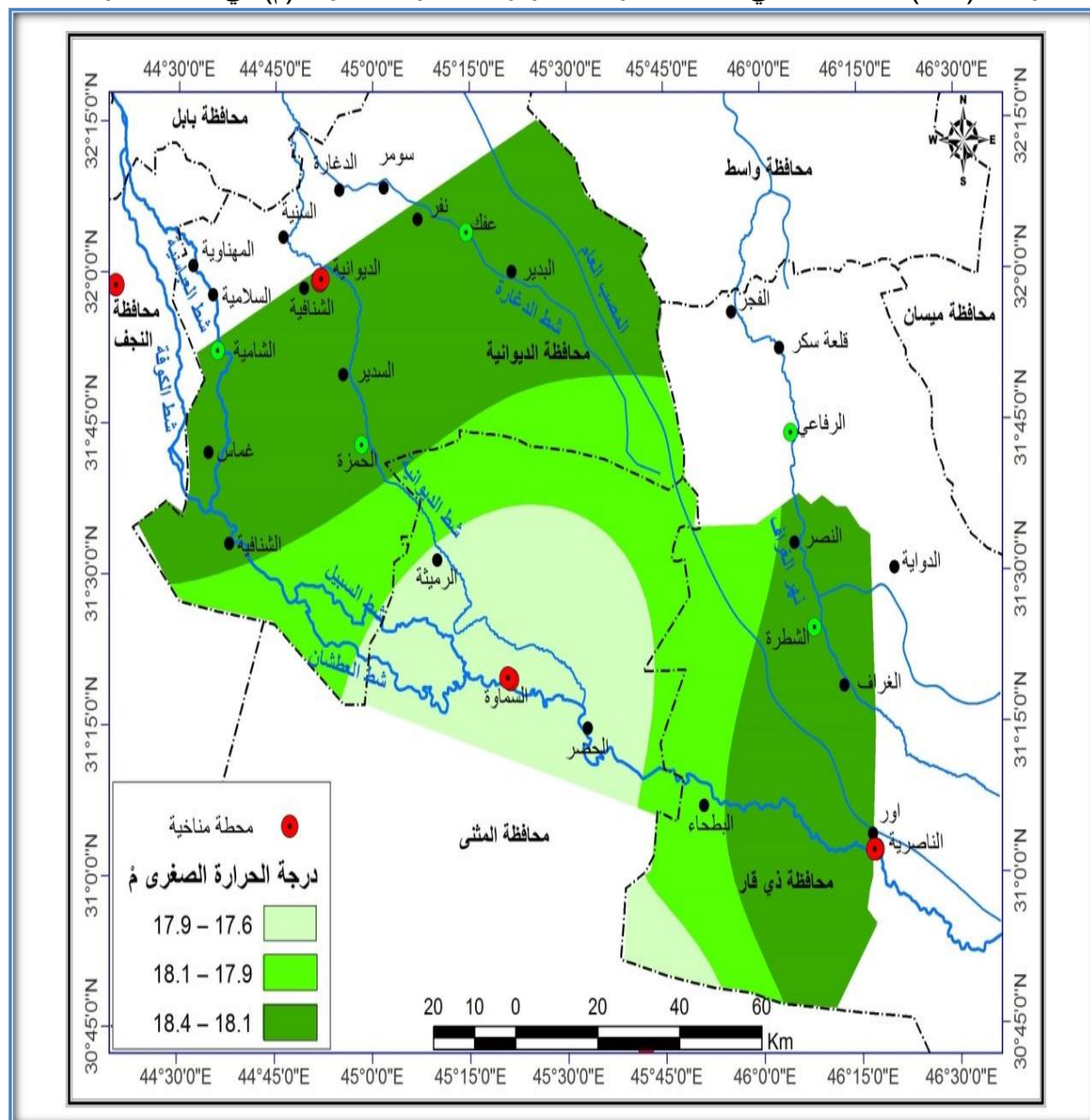
المصدر: بالاعتماد على جدول (3-6)

<sup>(1)</sup> عبد الآلة رزوقي كريل، علم الإشكال الأرضية الجيومورفولوجيا، جامعة البصرة، كلية الآداب، 1986، ص 85.

<sup>(2)</sup> أحمد عبد الله أحمد بابكر، أسس الجغرافيا المناخية، الشركة الحديثة للطباعة، الدوحة، قطر. 1997، ص 86.

## الفصل الثالث / وصف المناخ واثره في تكوين الاشكال الارضية لمنطقة الدراسة

خريطة (4-3) التباين المكاني لمعدلات درجة الحرارة الصغرى السنوية (م) في منطقة الدراسة



المصدر: بالاعتماد على بيانات الجدول (4-3) وباستخدام برنامج Arc Gis 10.3 .

جدول (6-3) المساحة والنسبة المئوية لدرجة الحرارة الصغرى (م) في منطقة الدراسة

النسبة المئوية %	المساحة / كم <sup>2</sup>	درجة الحرارة الصغرى (م)
19.85	3026	17.9 – 17.6
31.30	4770	18.1 – 17.9
48.85	7445	18.4 – 18.1
100	15241	المجموع

المصدر: بالاعتماد على جدول (4-3) باستخدام برنامج Arc Map 10.3

### 3- 2- 3 سرعة واتجاه الرياح Wind speed and direction

تأتي الرياح بوصفها أحد العوامل المناخية المهمة التي تسهم في تكوين الاشكال الارضية، ويظهر تأثيرها بشكل واضح في الاقاليم الصحراوية وشبه الصحراوية، لأنها تكون شديدة اغلب الاوقات<sup>(1)</sup>، وتعد الرياح من العوامل الجيومورفولوجية المهمة التي لها دور كبير في العمليات الجيومورفية ولاسيما (التعرية الريحية) في أي منطقة ولاسيما المناطق الجافة المكشوفة كمنطقة الدراسة التي يظهر أثر الرياح واضحاً فيها إذ تأتي بعد الأمطار في فعل التعرية والإرساب ولاسيما في الأقاليم الصحراوية وشبه الصحراوية، لذلك وقوع منطقة الدراسة ضمن الاقاليم الجافة ولهذا يؤدي العامل الريحي دوره في تشكيل العملية الريحية فالحقيقة العلمية المؤكدة ان الرياح هي القوة الميكانيكية الاساسية في تكوين المظاهر الترسيبية في الصحاري، وهناك عوامل طبيعية وبيئية تؤدي لزيادة العمل الريحي في المنطقة منها (استمرار سرعة الرياح، قلة الامطار الناتجة عن زيادة الجفاف، قلة الغطاء النباتي وتبعثره وانعدامه في كثير من المناطق، استواء السطح وقلة العوائق التضاريسية بوجه الرياح، مدى حراري يومي كبير يؤدي الى حدوث عمليات التجوية ومن ثم توفر المواد المفككة التي تذروها الرياح<sup>(2)</sup>، وتبين من الجدول (3-7) والشكل (3-11) ان معدل سرعة الرياح السنوي في محطات الدراسة بلغ نحو (3.3، 4.1، 1.9، 4.0 م/ثا) على التوالي، وجد تباين في قيم المعدلات الشهرية لسرعة الرياح تكون اعلى المعدلات في فصل الصيف للأشهر (حزيران، تموز، اب) والبالغة نحو (4.1، 3.9، 3.5 م/ثا) على التوالي لمحطة السماوة. اما محطة الناصرية فبلغت معدلاتها نحو (5.8، 5.7، 4.8 م/ثا) على التوالي، وفي محطة النجف حيث سجلت نحو (2.9، 2.7، 2.2 م/ثا) على التوالي اما محطة الديوانية فبلغت نحو (5.6، 5.5، 4.8 م/ثا)، وتنخفض خلال فصل الشتاء في الأشهر (كانون الاول، كانون الثاني، شباط) والبالغة نحو (2.6، 2.7، 3.3 م/ثا) على التوالي لمحطة السماوة، وسجل نحو (3.0، 3.2، 3.7 م/ثا) لمحطة الناصرية، اما محطة النجف فبلغت معدلاتها نحو (1.1، 1.3، 1.8 م/ثا) على التوالي، وفي محطة الديوانية اذ بلغ نحو (3.0، 3.1، 3.6 م/ثا) على التوالي، وتبين ان للرياح دور كبير في تشكيل المظهر الارضي في منطقة الدراسة، وذلك بمساعدة العوامل الاخرى فقلة الامطار الناتجة عن زيادة الجفاف، واقتارانه بارتفاع درجات الحرارة يؤدي الى تفكك التربة وجعلها قابلة للتعرية والنقل بفعل الرياح، كما ان العلاقة عكسية بين معدلات الرطوبة النسبية والحرارة الشهرية تؤدي الى جفاف التربة وزيادة نشاط الرياح<sup>(3)</sup>.

(1) وفيق الخشاب وآخرون، علم الجيولوجيا، تعريفه، تطوره، مجالات تطبيقه، جامعة بغداد، بغداد، 1978، ص 219.

(2) صباح عبود عاتي الخزعلي، مصدر سابق، ص 96.

(3) عدنان هزاع الباتي وكاظم موسى، المناخ والقدرات الحثية للرياح في العراق، مجلة الجمعية الجغرافية العراقية، عدد 23، 1989، ص 77.

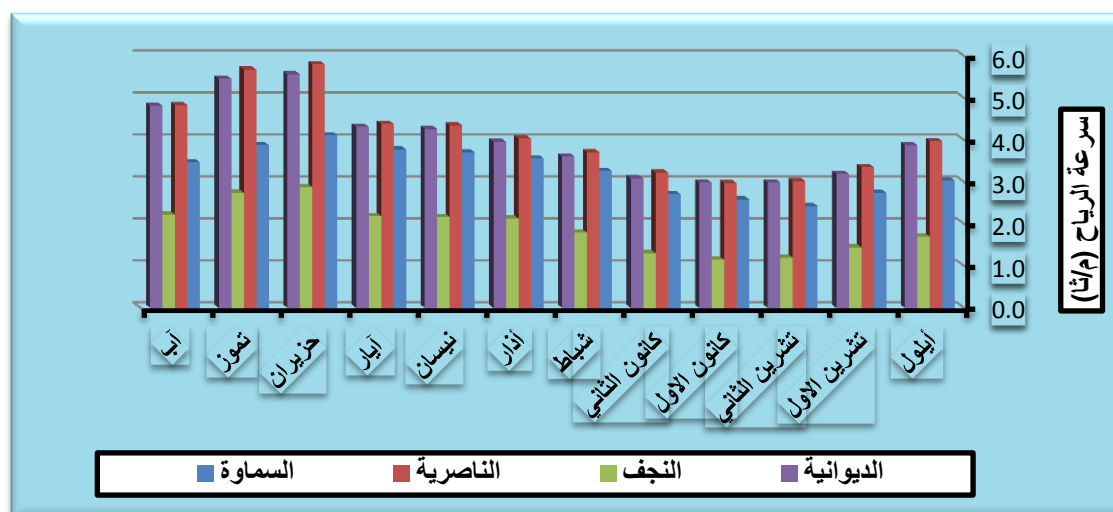
## الفصل الثالث / وصف المناخ واثره في تكوين الاشكال الارضية لمنطقة الدراسة

جدول (3-7) معدل سرعة الرياح (م/ثا) في منطقة الدراسة للمدة (1980 - 2016)

ت	المحطة	الديوانية	النجف	الناصرية	السماوة
1	أيلول	3.9	1.7	4.0	3.0
2	تشرين الاول	3.2	1.4	3.4	2.7
3	تشرين الثاني	3.0	1.2	3.0	2.4
4	كانون الاول	3.0	1.1	3.0	2.6
5	كانون الثاني	3.1	1.3	3.2	2.7
6	شباط	3.6	1.8	3.7	3.3
7	أذار	4.0	2.1	4.0	3.6
8	نيسان	4.3	2.2	4.3	3.7
9	أيار	4.3	2.2	4.4	3.8
10	حزيران	5.6	2.9	5.8	4.1
11	تموز	5.5	2.7	5.7	3.9
12	آب	4.8	2.2	4.8	3.5
	المعدل	4.0	1.9	4.1	3.3

المصدر: بالاعتماد على بيانات وزارة النقل والمواصلات، الهيئة العامة للأتواء الجوية، قسم المناخ (بيانات غير منشورة)، 2016.

شكل (3-11) معدل سرعة الرياح (م/ثا) في منطقة الدراسة للمدة (1980 - 2016)



المصدر: بالاعتماد على جدول (3-7).

ينبغي عدم اغفال دور اتجاه الرياح ومدى تأثيرها في المنطقة عن طريق توافق اتجاه الرياح مع اتجاه الانحدار في المنطقة مما اثر في تعرض المنحدرات لفعل الحث الريحي والتي تحدد رطوبتها وحرارتها وحمولتها من الرواسب والمواد العالقة مما يؤثر في نشاط العمليات الجيومورفية، ان الجدول (3-8) والشكل (3-12) يوضحان سيادة الرياح الشمالية الغربية هي السائدة خلال اشهر السنة في منطقة الدراسة اذا بلغت نسبة تكرارها (18.1%) بينما تأتي الرياح الشمالية في المرتبة الثانية اذ بلغت نسبة تكرارها (13.9%) اما الرياح الغربية فبلغت نسبة تكرارها (8.5%) اما اتجاهات الرياح الاخرى



### الفصل الثالث / وصف المناخ واثره في تكوين الاشكال الارضية لمنطقة الدراسة

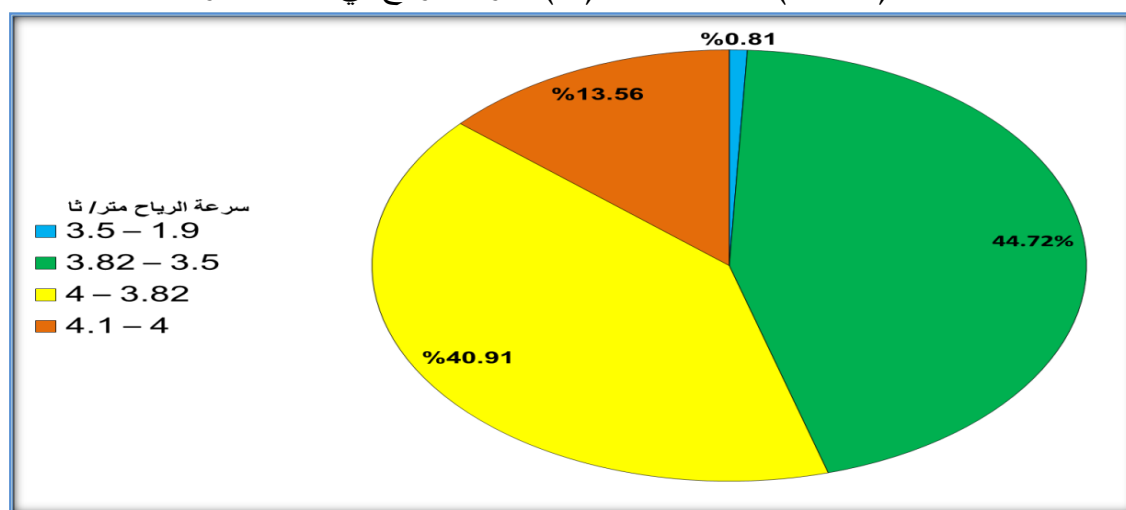
(الجنوبية الغربية، الجنوبية، الجنوبية الشرقية، الشرقية ، الشمالية الشرقية) والبالغة نسبة تكرارها نحو (2.1 ، 3.0 ، 4.1 ، 3.8 ، 3.3 %) على التوالي . تبين من خلال دراسة اتجاه الرياح ان الرياح السائدة في منطقة الدراسة هي الشمالية الغربية ماعدا محطة النجف إذ كان اتجاه الرياح فيها شمالي ولها دور في تكوين الكثبان الرملية وسفي الرمال والنييم الصحراوي وهذا من خلال الترسيب وتآكل ضفاف الانهار نتيجة زيادة تعامد هبوب الرياح لأنها تحدث الامواج ، كما تؤدي الى تكوين المنخفضات الصحراوية وكهوف الرياح وهذا من خلال النحت والصقل، وايضاً تؤدي على ارتفاع معدلات التبخر والتي تعمل بذلك على زيادة جفاف التربة وتذريتها وخاصة الخالية من الغطاء النباتي .

جدول (3-8) نسبة تكرار اتجاه الرياح في منطقة الدراسة للمدة (1980 – 2016)

ت	اتجاه الرياح	المحطة	السماوة	الناصرية	النجف	الديوانية	المعدل %
1	شمالية غربية		27.8	23	6.78	14.9	18.1
2	غربية		12.7	12.8	5.1	3.58	8.5
3	جنوبية غربية		3.82	2.3	0.9	1.24	2.1
4	جنوبية		3.62	2.5	2.38	3.3	3.0
5	جنوبية شرقية		3.6	4.6	3.11	5	4.1
6	شرقية		4.72	5.1	3.23	2.2	3.8
7	شمالية شرقية		3.6	2.8	4.15	2.45	3.3
8	شمالية		6.94	15.8	19.45	13.28	13.9
9	السكون		33.18	31.1	54.9	54.05	43.3

المصدر: بالاعتماد على بيانات وزارة النقل والمواصلات، الهيئة العامة للأتواء الجوية ، قسم المناخ (بيانات غير منشورة)، 2016

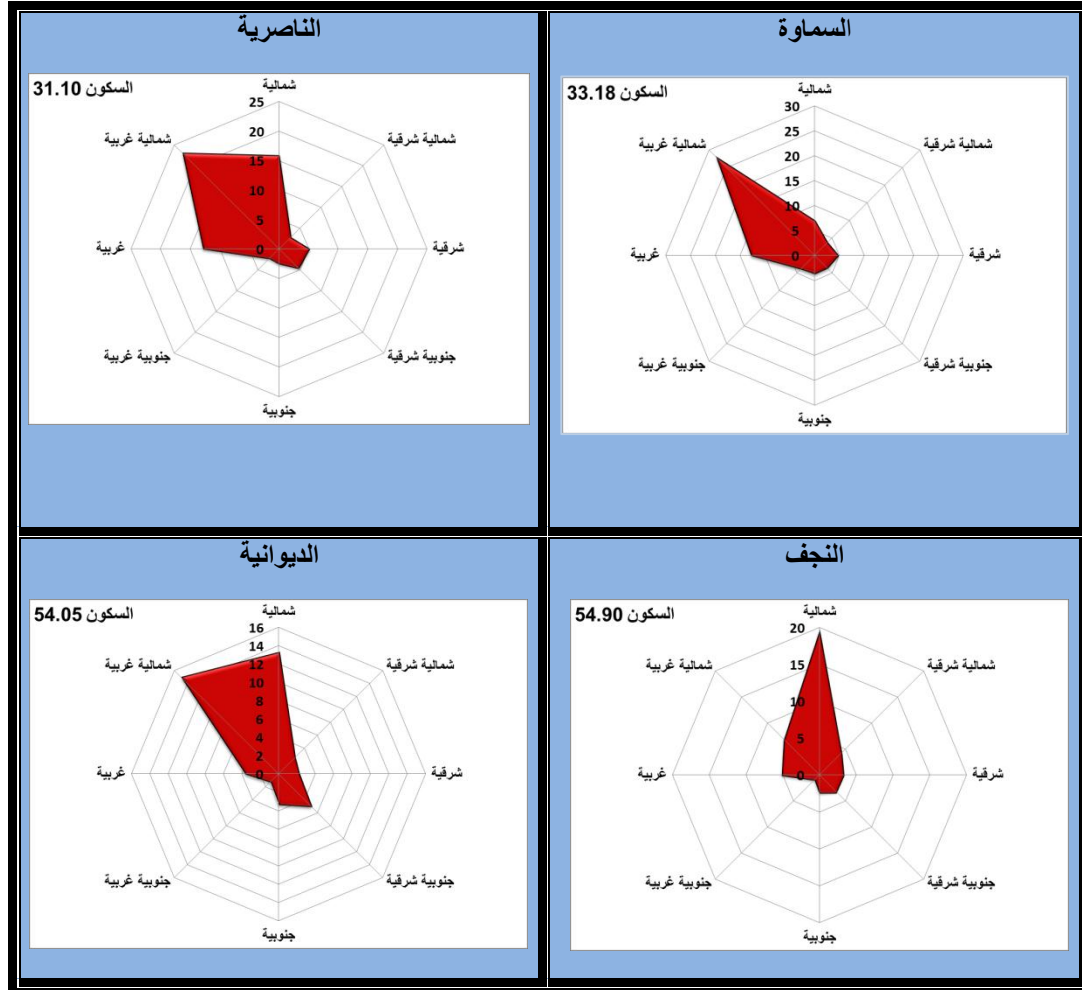
شكل (3-13) النسبة المئوية (%) لسرعة الرياح في منطقة الدراسة



المصدر : بالاعتماد على جدول (3-9)

## الفصل الثالث / وصف المناخ واثره في تكوين الاشكال الارضية لمنطقة الدراسة

شكل (3-12) نسبة تكرار اتجاه الرياح في منطقة الدراسة للمدة (1980 – 2016)



المصدر: بالاعتماد على جدول (3-8).

يتضح من الخريطة (3-5) والجدول (3-9) والشكل (3-13) التباين المكاني لسرعة الرياح في منطقة الدراسة ، تم تصنيف صورتها المكانية على شكل رتب كما يلي :

1- **الرتبة الاولى** : تتمثل هذه الرتبة في الجزء الشمالي الغربي والتي تتراوح درجة تباينها بين (1.9 ، 3.5 م/ثا) وتشغل مساحة (124 كم<sup>2</sup>) ونسبة (0.81 %) من منطقة الدراسة.

2- **الرتبة الثانية** : امتدت صورتها المكانية بشكل واسع في الاقسام الوسطى والشمالية الغربية والجنوبية الشرقية والتي تتراوح درجة تباينها بين (3.5 ، 3.82 م/ثا) وتشغل مساحة (6815 كم<sup>2</sup>) ونسبة (44.72 %) من المنطقة .

3- **الرتبة الثالثة** : تمتد هذه الرتبة في الاجزاء الشمالية الغربية والجنوبية الشرقية والتي تتراوح درجة تباينها بين (3.82 ، 4 م/ثا ) وتشغل مساحة (6235 كم<sup>2</sup>) ونسبة (40.91 %) من المنطقة .

4- **الرتبة الرابعة** : تظهر هذه الرتبة في الاقسام الجنوبية والغربية والتي تتراوح درجة تباينها بين (4 ، 4.1 م/ثا) وتشغل مساحة (2067 كم<sup>2</sup>) ونسبة (13.56 %) من المنطقة .

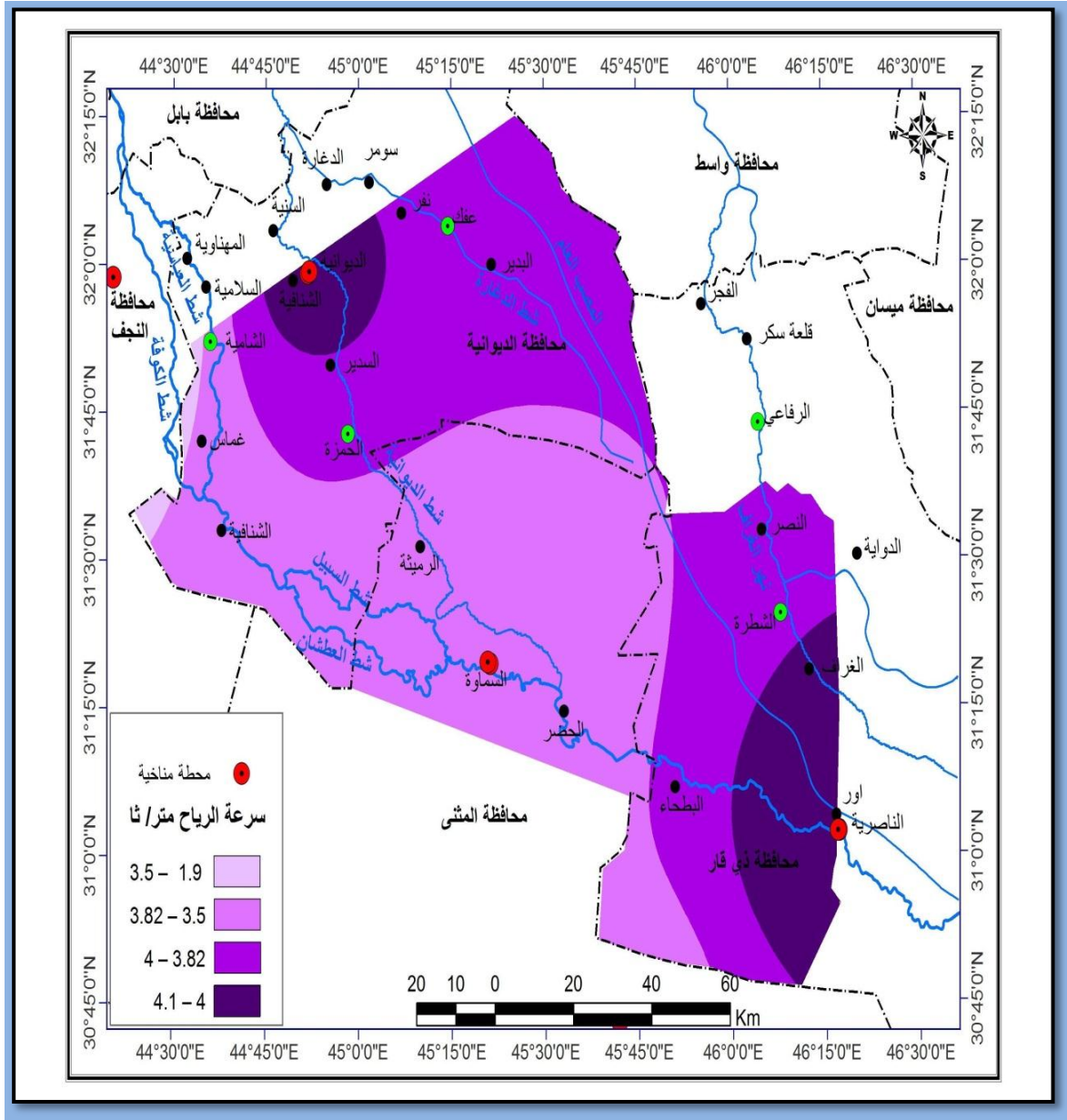
### الفصل الثالث / وصف المناخ واثره في تكوين الاشكال الارضية لمنطقة الدراسة

جدول (3-9) المساحة والنسبة المئوية لسرعة الرياح (م/ثا) في منطقة الدراسة

النسبة المئوية %	المساحة/ كم <sup>2</sup>	سرعة الرياح متر/ ثا
0.81	124	3.5 – 1.9
44.72	6815	3.82 – 3.5
40.91	6235	4 – 3.82
13.56	2067	4.1 – 4
100	15241	المجموع

المصدر: بالاعتماد على جدول (3-7) باستخدام برنامج Arc Map10.3

خريطة (3-5) التباين المكاني لسرعة الرياح (م/ ثا) في منطقة الدراسة

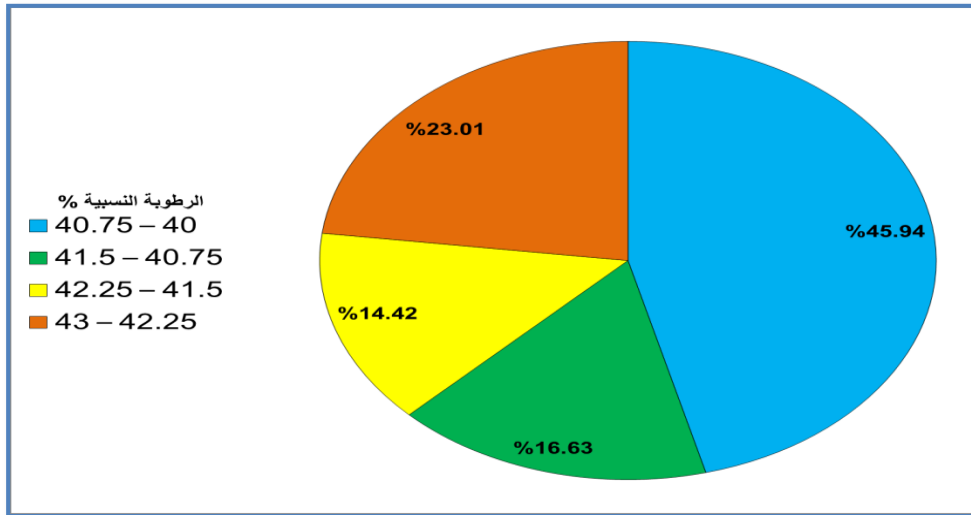


المصدر: اعتماداً على بيانات الجدول (3-7) وباستخدام برنامج Arc Gis 10.3

### 3-2-4 الرطوبة النسبية Relative Humidity

تُعد الرطوبة النسبية من العناصر المساعدة على الاحتفاظ بالحرارة إذ تقل كمية الاشعاع الارضي اذا كانت الرطوبة مرتفعة، بينما يكون الهواء الجاف منخفض الرطوبة النسبية اكثر عرضة لفقد حرارته وبسرعة أكبر ويعد الهواء جافاً اذا كانت الرطوبة النسبية اقل من (50%) ومتوسط الجفاف ما بين (60-70%) ورطب او شديد الرطوبة اذا زادت عن (70%)<sup>(1)</sup>، وللرطوبة النسبية أثر فعال في العمل الجيومورفي ، فكلما ازدادت كميات الامطار ارتفعت نسبة الرطوبة النسبية في الجو وهذا يؤدي الى نشاط التجوية الكيميائية، اذ تعمل على تفتيت وتشقق الصخور من خلال تصلبه الى بلورات ملحية بالتجمد و تبلور الاملاح الذائبة بالتبخر.<sup>(2)</sup> تبين من الجدول (3-10) والشكل (3-15) ان المعدل العام للرطوبة النسبية في المنطقة يتصف بانخفاض معدلاتها اذ يصل (40، 40، 42، 43%) على التوالي بينما يصل اعلى معدل للرطوبة النسبية خلال فصل الشتاء للأشهر (كانون الاول، كانون الثاني، شباط) والبالغة (63، 66، 56%) على التوالي لمحطة السماوة ، وفي محطة الناصرية فسجلت بمقدار (65، 66، 56%) على التوالي . بينما محطة النجف فبلغت (65، 68، 58%) على التوالي اما محطة الديوانية فسجلت (66، 65، 58%) على التوالي. وان ادنى معدل خلال اشهر الصيف (حزيران، تموز، اب) والبالغة (23، 22، 23%) على التوالي لمحطة السماوة اما محطة الناصرية فبلغت (21، 20، 22%) على التوالي بينما محطة النجف سجلت (25، 23، 23%) على التوالي، وفي الديوانية فبلغت (25، 25، 27%) على التوالي.

شكل (3-14) النسبة المئوية (%) للرطوبة النسبية في منطقة الدراسة



المصدر: بالاعتماد على جدول (3-11).

(1) عبد العزيز طريح شرف، الجغرافية المناخية والنباتية، الجزء الاول، الطبعة الاولى، القاهرة، 1986، ص 202.

(2) حسن رمضان سلامة، اصول الجيومورفولوجيا ، دار الميسرة للنشر والتوزيع : عمان، 2010 ص 451.

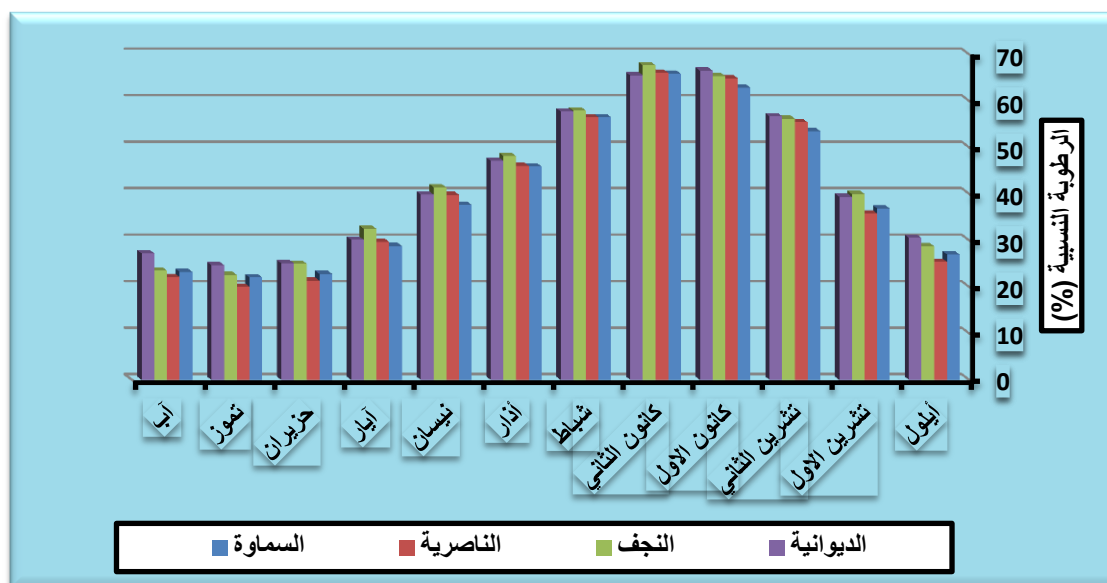
## الفصل الثالث / وصف المناخ واثره في تكوين الاشكال الارضية لمنطقة الدراسة

جدول (3-10) معدل الرطوبة النسبية (%) في منطقة الدراسة للمدة (1980 - 2016)

ت	الشهر	المحطة	السماوة	الناصرية	النجف	الديوانية
1	أيلول		27	25	29	31
2	تشرين الاول		37	36	40	39
3	تشرين الثاني		53	55	56	57
4	كانون الاول		63	65	65	66
5	كانون الثاني		66	66	68	65
6	شباط		56	56	58	58
7	أذار		46	46	48	47
8	نيسان		38	40	41	40
9	أيار		29	30	32	30
10	حزيران		23	21	25	25
11	تموز		22	20	23	25
12	آب		23	22	23	27
	المعدل		40	40	42	43

المصدر: بالاعتماد على بيانات وزارة النقل والمواصلات، الهيئة العامة للأمناء الجوية، قسم المناخ (بيانات غير منشورة)، 2016.

شكل (3-15) معدل الرطوبة النسبية (%) في منطقة الدراسة للمدة (1980 - 2016)



المصدر: بالاعتماد على جدول (3-10)

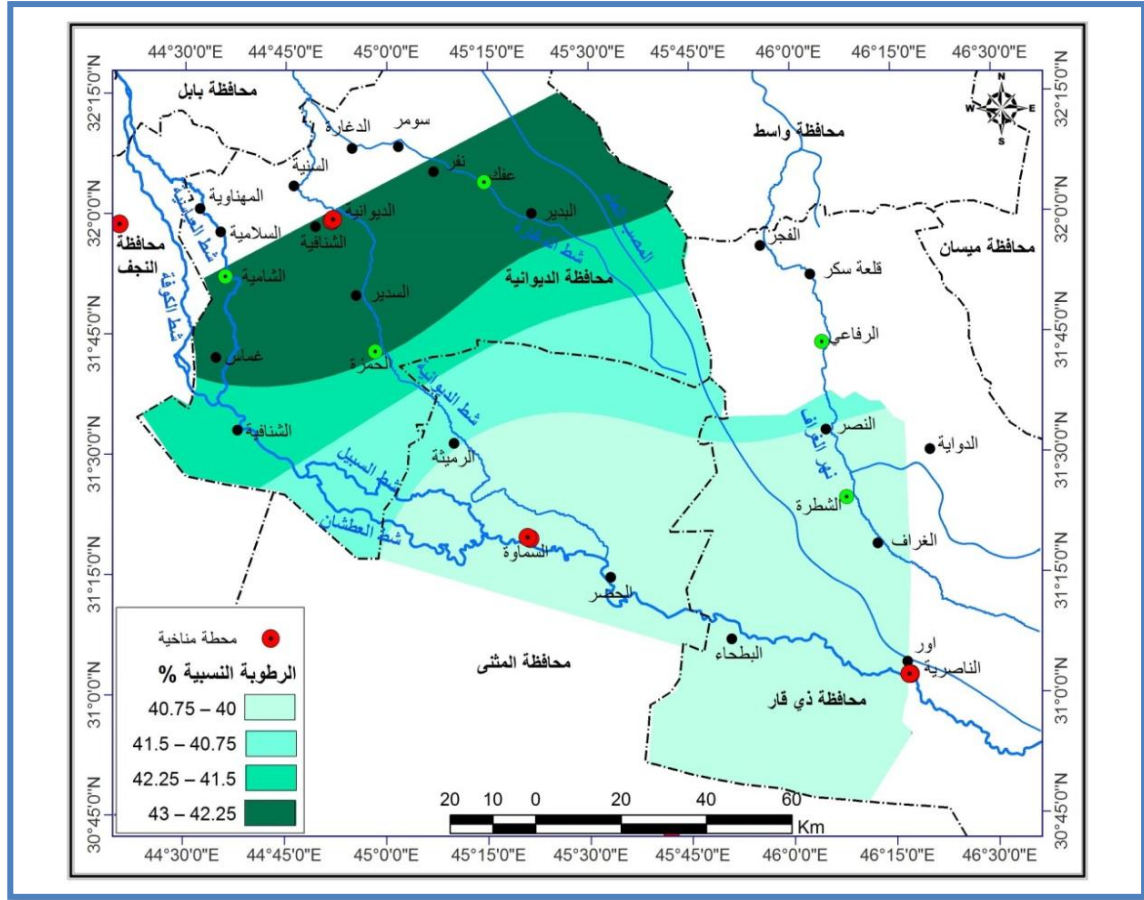
يتضح من الخريطة (3-6) والجدول (3-11) والشكل (3-14) والتي صنفتم بياناتها الى مجموعة من الرتب والتي وزعت جغرافيا التباين المكاني للرطوبة النسبية في منطقة الدراسة . وتقسم على شكل رتب كما يأتي :

1- الرتبة الاولى : تمتد هذه الرتبة صورتها المكانية بشكل واسع ولاسيما في الاقسام الجنوبية الشرقية والجنوبية الغربية والتي تتراوح درجة تباينها بين (40 - 40.75 %) وتشغل مساحة (7001 كم<sup>2</sup>) وبنسبة (45.94%) من المنطقة .



## الفصل الثالث / وصف المناخ واثره في تكوين الاشكال الارضية لمنطقة الدراسة

- 2- الرتبة الثانية : تتمثل هذه الرتبة في الاجزاء الوسطى والشرقية والغربية والتي تتراوح درجة تباينها بين (40.75 - 41.5 %) وتشغل مساحة (2535 كم<sup>2</sup>) وبنسبة (16.63 %) من المنطقة .
- 3- الرتبة الثالثة : تظهر هذه الرتبة في الاقسام الوسطى والشمالية الغربية والشرقية والتي تتراوح درجة تباينها بين (41.5 - 42.25 %) وتشغل مساحة (2198 كم<sup>2</sup>) وبنسبة (14.42 %) من المنطقة .
- 4- الرتبة الرابعة : امتدت هذه الرتبة في الاتجاه الشمالي الشرقي والغربي والتي تتراوح درجة تباينها بين (42.25 - 43 %) وتشغل مساحة (3507 كم<sup>2</sup>) وبنسبة (23.01 %) من المنطقة .
- خريطة (3- 6) التباين المكاني للرطوبة النسبية (%) في منطقة الدراسة



المصدر: اعتماداً على بيانات الجدول (10-3) وباستخدام برنامج Arc Gis 10.3

جدول (11-3) المساحة والنسبة المئوية للرطوبة النسبية (%) في منطقة الدراسة

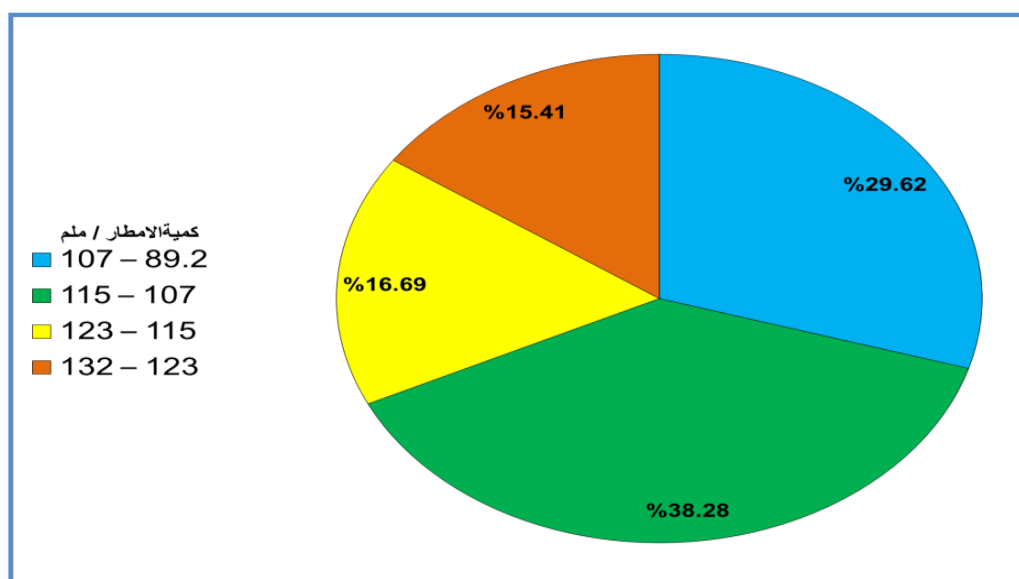
النسبة المئوية %	المساحة/ كم <sup>2</sup>	الرطوبة النسبية
45.94	7001	40.75 – 40
16.63	2535	41.5 – 40.75
14.42	2198	42.25 – 41.5
23.01	3507	43 – 42.25
100	15241	المجموع

المصدر: بالاعتماد على جدول (10-3) باستخدام برنامج Arc Map 10.3

### 3-2-5 Rainfall الامطار

يُعد عنصر المطر من العناصر الاساسية، لما له من دور في تشكيل مظاهر السطح الجيومورفية من خلال عملية التعرية وما تحدثه من تفتيت للصخور ونقلها وترسيبها في بطون الاودية وتكوين المظاهر الكارستية وتغذية المياه الجوفية ونمو النبات الطبيعي في المنطقة، لذا تتباين الامطار في منطقة الدراسة من سنة الى اخرى ويتركز التساقط في فصل الشتاء ، بسبب مرور المنخفضات الجوية للبحر المتوسط ثم ينعدم التساقط في فصل الصيف لانعدام المنخفضات الجوية <sup>(1)</sup>. تبين من خلال الجدول (3-12) والشكل (3-17) ان مجموع تساقط الامطار السنوي في منطقة الدراسة اذ يصل نحو (109.4 ، 131.9 ، 89.8 ، 101.2 ملم) على التوالي. تبين ان اعلى معدل شهري لكمية الامطار كانت خلال الاشهر (تشرين الثاني ، كانون الاول ، كانون الثاني) وبالبالغة نحو (21.5 ، 13.3 ، 22.3 ملم) على التوالي لمحطة السماوة . بينما محطة الناصرية فبلغت نحو (28.0 ، 19.6 ، 20.5 ملم) على التوالي ، وفي محطة النجف فسجلت نحو (13.3 - 14.8 - 14.8 ملم) على التوالي . اما محطة الديوانية فبلغت نحو (17.7 ، 15.2 ، 20.6 ملم) على التوالي . وبسبب شدة تأثير المنخفضات الجوية الرطبة في هذه الاشهر، ثم تبدأ مجاميع كمية الامطار بالتناقص التدريجي اذ نجد ان اقل الشهور الممطرة هي (تشرين الاول ، ايار) بسبب قلة تكرار المنخفضات الجوية الرطبة . انعدام سقوط الامطار في فصل الصيف للأشهر (حزيران ، تموز، اب) بسبب سيطرة نطاق الضغط العالي شبه المداري بفعل الحركة الظاهرية للاشعاع الشمسي شمالاً في فصل الصيف وهذا يؤدي الى زيادة في ظاهر الجفاف في المنطقة وبالتالي نشاط العمليات الجيومورفية ولاسيما التعرية الريحية .

شكل (3-16) النسبة المئوية (%) لكمية الامطار (ملم) في منطقة الدراسة



المصدر : بالاعتماد على جدول (3-13)

(1) علي حسين شلش، ترجمة ماجد السيد ولي وعبدالله كربل، مناخ العراق، جامعة البصرة، 1988، ص 27.

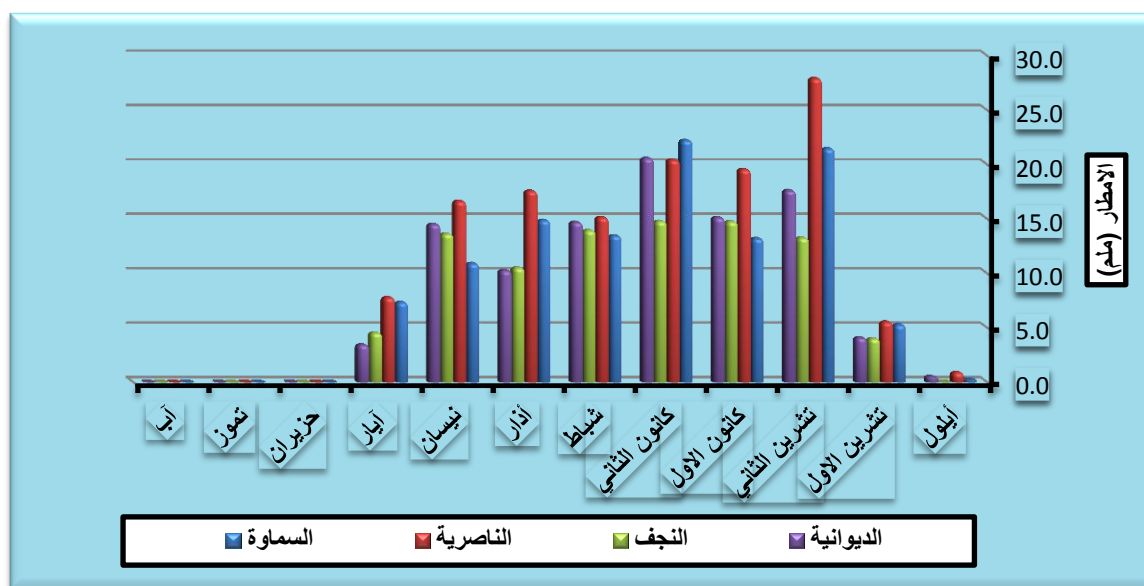
## الفصل الثالث / وصف المناخ واثره في تكوين الاشكال الارضية لمنطقة الدراسة

جدول (3-12) المجموع الشهري لكمية الامطار (ملم) في منطقة الدراسة للمدة (1980-2016)

ت	الشهر	المحطة	السماوة	الناصرية	النجف	الديوانية
1	أيلول		0.2	0.9	0.0	0.5
2	تشرين الاول		5.3	5.6	4.1	4.1
3	تشرين الثاني		21.5	28.0	13.3	17.7
4	كانون الاول		13.3	19.6	14.8	15.2
5	كانون الثاني		22.3	20.5	14.8	20.6
6	شباط		13.5	15.2	14.0	14.8
7	أذار		14.9	17.6	10.6	10.3
8	نيسان		11.0	16.7	13.7	14.6
9	أيار		7.4	7.8	4.6	3.5
10	حزيران		0.0	0.0	0.0	0.0
11	تموز		0.0	0.0	0.0	0.0
12	أب		0.0	0.0	0.0	0.0
المجموع			109.4	131.9	89.8	101.2

المصدر: بالاعتماد على بيانات وزارة النقل والمواصلات، الهيئة العامة للأتواء الجوية، قسم المناخ (بيانات غير منشورة)، 2016

شكل (3-17) المجموع الشهري لكمية الامطار (ملم) في منطقة الدراسة للمدة (1980 - 2016)



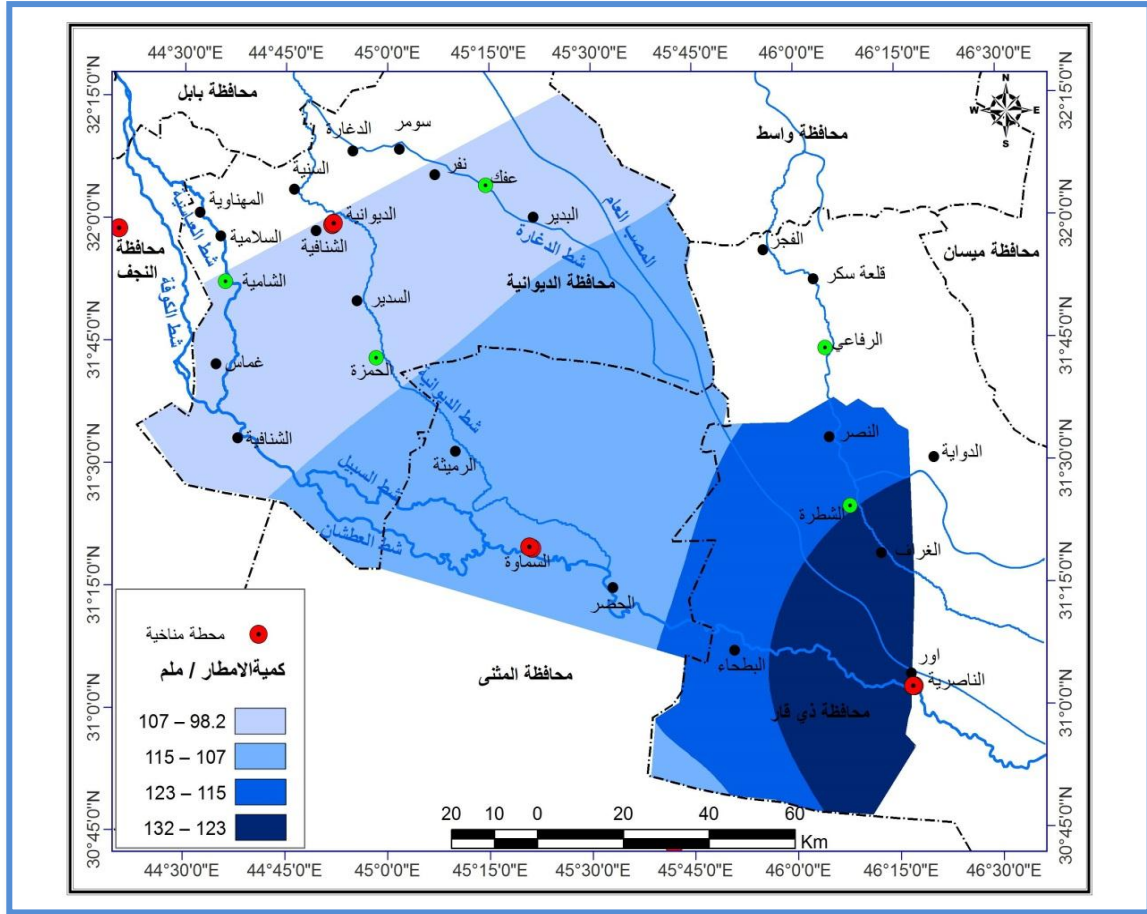
المصدر: بالاعتماد على جدول (3-12)

يتضح من الخريطة (3-7) والجدول (3-13) والشكل (3-16) ان التباين المكاني لكمية تساقط الامطار في منطقة الدراسة تم تصنيف بياناتها على شكل رتب كما يلي :

1- الرتبة الاولى : تتمثل هذه الرتبة في الاقسام الشمالية الغربية والشرقية والتي تتراوح درجة تباينها بين ( 89.2 ، 107 ملم) وتشغل مساحة ( 3515 كم<sup>2</sup>) ونسبة (29.62%) من المنطقة .

## الفصل الثالث / وصف المناخ واثره في تكوين الاشكال الارضية لمنطقة الدراسة

- 2- الرتبة الثانية: تمتد صورتها المكانية بنطاق واسع في الاجزاء الوسطى والجنوبية الشرقية والغربية وتتراوح درجة تباينها بين (170، 115 ملم) وبمساحة (5834 كم<sup>2</sup>) وبنسبة (38.28%) من المنطقة.
- 3- الرتبة الثالثة : تنتشر في الجزء الجنوب الشرقي والغربي والتي تتراوح درجة تباينها بين ( 115، 123 ملم) وتشغل مساحة (2543 كم<sup>2</sup>) وبنسبة (16.69%) من منطقة الدراسة .
- 4- الرتبة الرابعة : تظهر هذه الرتبة في الاتجاه الجنوبي الشرقي والتي تتراوح درجة تباينها بين ( 123 ، 132 ملم) وتشغل مساحة (2349 كم<sup>2</sup>) وبنسبة (15.42%) من منطقة الدراسة .
- خريطة (3-7) التباين المكاني لكميات الامطار (ملم) في منطقة الدراسة



المصدر: اعتماداً على بيانات الجدول (3-12) وباستخدام برنامج Arc Gis 10.3

جدول (3-13) المساحة والنسبة المئوية لكمية الامطار (ملم) في منطقة الدراسة

النسبة المئوية%	المساحة/ كم <sup>2</sup>	كمية الامطار / ملم
29.62	4515	107 – 89.2
38.28	5834	115 – 107
16.69	2543	123 – 115
15.41	2349	132 – 123
100	15241	المجموع

المصدر: بالاعتماد على جدول (3-12) باستخدام برنامج Arc Map10.3

### 3-2-6 الامطار الفعالة Effective rainfall

عند احتساب الموازنة المائية المناخية لمنطقة معينة يجب معرفة كمية الامطار الفعالة ، ويقصد بالأمطار الفعالة هي كمية المياه من الامطار التي تختزن داخل التربة في منطقة نمو الجذور وتساهم في امداد النبات بالماء<sup>(1)</sup> وليس كل ما يسقط من الامطار يصل الى سطح الارض ويستفاد منه إذ إن قسماً من الامطار الساقطة يتبخر في اثناء سقوطها من الجو في حين القسم الثاني يسقط على اوراق النباتات اذ يتبخر جزء منها . والقسم الآخر يصل الى سطح الارض وتجري على شكل مياه سطحية، اذ يتسرب جزء منها في التربة لتصل الى منطقة جذور النباتات بينما يتسرب القسم الآخر الى أعماق التربة يصل الى خزانات المياه الجوفية<sup>(2)</sup> . اما العوامل التي تؤثر على الامطار الفعالة فهي (الظروف المناخية ، نسجه التربة ، التضاريس ، عمق منطقة الجذور) لذا عرفت شركة سلخوزبروم الروسية معامل المطر الفعال بأنه ذلك الجزء من الامطار الساقطة الذي يتسرب داخل التربة على وفقا نسجتها وتركيبها والذي فقد عن طريق التبخر لكل موقع او مكان بناء على صفات التربة والاحوال المناخية ، وعليه فالقيمة الفعلية للأمطار نفس الكمية المتبقية من الامطار مطروح منها الفواقد المائية<sup>(3)</sup> . ويتم ايجاد كمية الامطار الفعالة عن طريق ضرب مجموع الامطار الساقطة بعامل المطر الفعال . حيث ثم الاعتماد على معامل المطر الفعال وفق طريقة (سلخوزبروم) اي ان محطات الدراسة تقع ضمن هذا المعامل كما في الجدول(3-14).

جدول(3-14) المعدلات الشهرية لمعامل المطر الفعال (ملم) لمقياس وفق طريقة سلخوز بروم

الشهر	2ك	شباط	اذار	نيسان	ايار	حزيران	تموز	اب	ايلول	1ت	2ت	ك1
معامل المطر لمنطقة الدراسة	0.70	0.75	0.80	0.85	0.85	0	0	0	0	0.80	0.70	0.70

المصدر: USSR Selkhozprom export , General Scheme of Water Resources and Land Development in Iraq , Ministry of Irrigation , volume III , Book 1, Moscow, Baghdad , 1982 , p.33-44

تبين من الجدول (3-15) والشكل (3-18) ان المجموع السنوي للأمطار الفعالة في منطقة الدراسة اذ يصل نحو (77.34، 93.74، 67.75، 75.36 ملم) على التوالي ، وسجل اعلى معدل شهري خلال فصل الشتاء للأشهر ( تشرين الثاني ، كانون الاول ، كانون الثاني ) والبالغة نحو (31.82، 8.83، 14.71 ملم) على التوالي لمحطة السماوة ، وفي محطة الناصرية فبلغت نحو (17.40

(1) عبد المنعم محمد عامر ، حركة الماء في الاراضي ومقننات الري، ط1، دار العربية للنشر والتوزيع ، القاهرة، 2001، ص366.

(2) سلام هاتف احمد الجبوري ،الموازنة المائية المناخية لمحطات الموصل بغداد والبصرة ، اطروحة دكتوراه (غير منشورة) جامعة بغداد كلية التربية ابن رشد، 2005 ، ص174 .

(3) المصدر نفسه، ص173 .



### الفصل الثالث / وصف المناخ واثره في تكوين الاشكال الارضية لمنطقة الدراسة

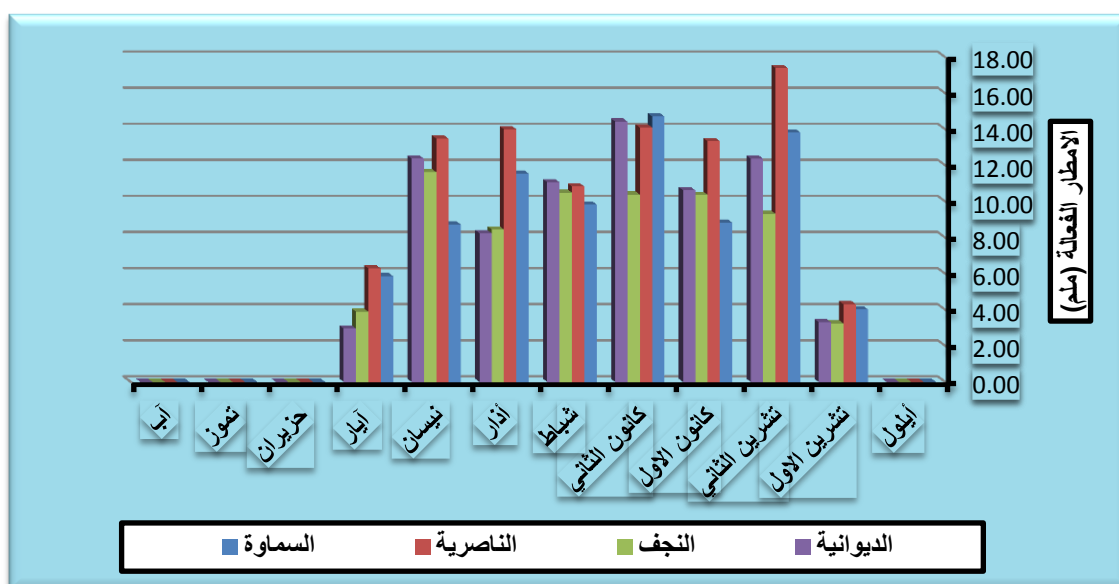
، 13.34 ، 14.10 ملم) على التوالي، اما في محطة النجف فسجل بمقدار (9.32 ، 10.37 ، 10.38 ملم) على التوالي ، وسجل في محطة الديوانية بمقدار (12.37، 10.62، 14.43 ملم) على التوالي ، ثم تبدأ معدلات كمية الامطار الفعالة نحو الانخفاض في الاشهر (شباط ، اذار ، نيسان ، ايار)، وتتعدم كمية الامطار الفعالة (حزيران ، تموز ، اب، ايلول) على التوالي.

جدول (3-15) مجموع الامطار الفعالة (ملم) في منطقة الدراسة للمدة (1980- 2016)

ت	المحطة الشهر	السماوة	الناصرية	النجف	الديوانية
1	أيلول	0.00	0.00	0.00	0.00
2	تشرين الاول	4.02	4.31	3.24	3.31
3	تشرين الثاني	13.82	17.40	9.32	12.37
4	كانون الاول	8.83	13.34	10.37	10.62
5	كانون الثاني	14.71	14.10	10.38	14.43
6	شباط	9.83	10.83	10.49	11.06
7	أذار	11.54	14.00	8.45	8.24
8	نيسان	8.73	13.48	11.62	12.37
9	ايار	5.86	6.29	3.89	2.96
10	حزيران	0.00	0.00	0.00	0.00
11	تموز	0.00	0.00	0.00	0.00
12	أب	0.00	0.00	0.00	0.00
	المجموع	77.34	93.74	67.75	75.36
	المعدل	6.45	7.81	5.65	6.28

المصدر: ملحق (5) و(6) و(7) و(8)

شكل (3-18) مجموع الامطار الفعالة (ملم) في منطقة الدراسة للمدة (1980- 2016)



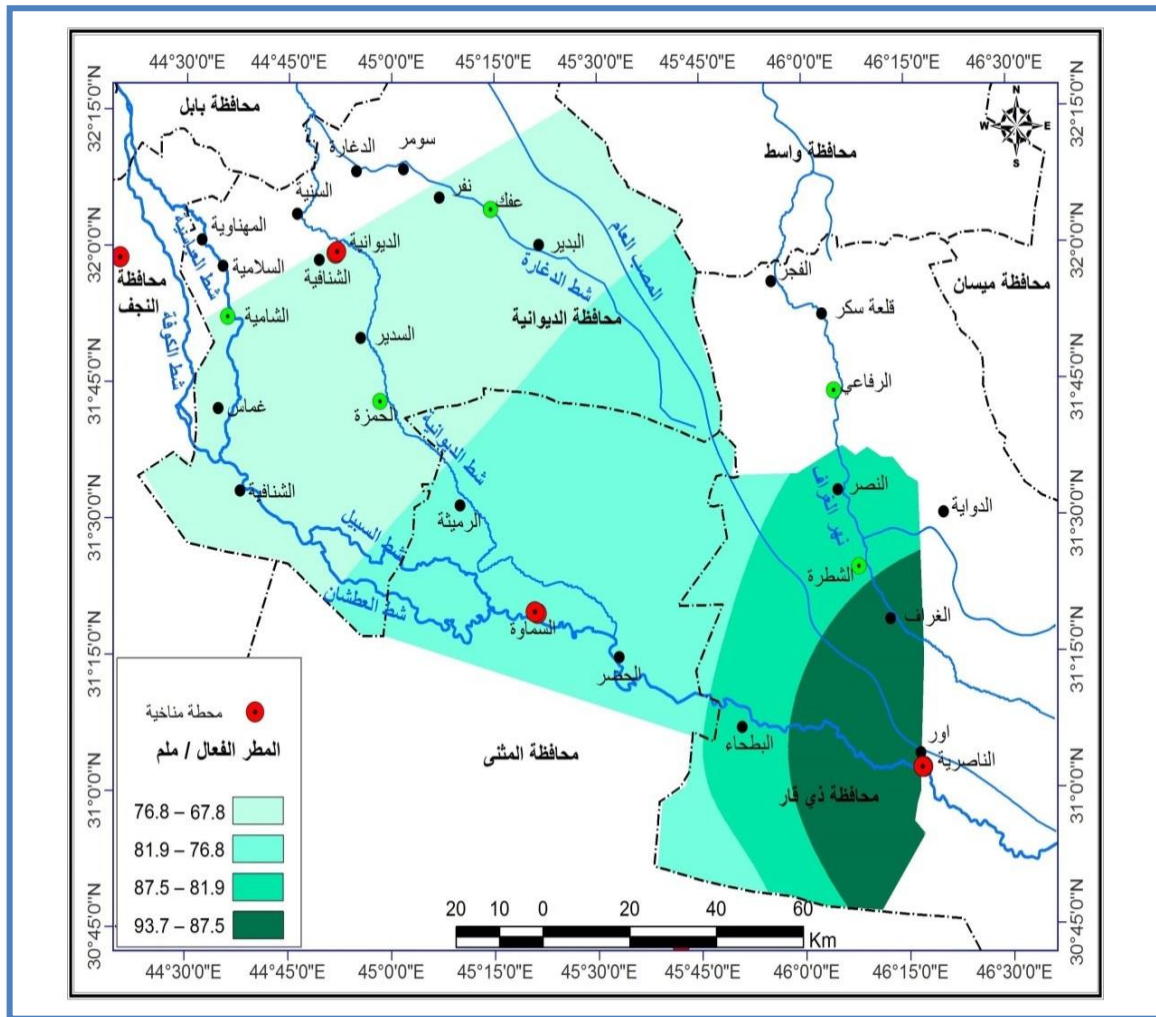
المصدر: بالاعتماد على جدول (3-15)

### الفصل الثالث / وصف المناخ واثره في تكوين الاشكال الارضية لمنطقة الدراسة

تبين من تحليل الخريطة (3-8) والجدول (3-16) والشكل (3-19) التي صنفبت بياناتها الى مجموعة رتب ووزعت جغرافياً التباين المكاني لكميات الامطار الفعالة في منطقة الدراسة وتقسم بياناتها على شكل رتب كما يلي :

- 1- **الرتبة الاولى** : تمتد هذه الرتبة في الاقسام الشمالية الشرقية والغربية والتي تتراوح درجة تباينها بين ( 67.8 ، 76.8 ملم) وتشغل مساحة (5881 كم<sup>2</sup>) ونسبة ( 38.59%) من المنطقة .
- 2- **الرتبة الثانية** : تتمثل هذه الرتبة في الاجزاء الوسطى والجنوبية الشرقية والغربية وتتراوح درجة تباينها بين ( 76.8 ، 81.9 ملم) وتشغل مساحة (5693 كم<sup>2</sup>) ونسبة (37.53%) من المنطقة .
- 3- **الرتبة الثالثة** : تسود هذه الرتبة في الجزء الجنوبي الشرقي وتتراوح درجة تباينها بين ( 81.9 ، 87.5 ملم) وتشغل مساحة (2100 كم<sup>2</sup>) ونسبة (13.78%) من المنطقة .
- 4- **الرتبة الرابعة** : تمتد هذه الرتبة في الجزء الجنوبي الشرقي والتي تتراوح درجة تباينها بين ( 87.5 ، 93.7 ملم) وتشغل مساحة (1567 كم<sup>2</sup>) ونسبة (10.28%) من المنطقة .

خريطة (3-8) التباين المكاني لكميات الامطار الفعالة (ملم) في منطقة الدراسة



المصدر : اعتماداً على بيانات الجدول (3-15) وباستخدام برنامج Arc Gis 10.3

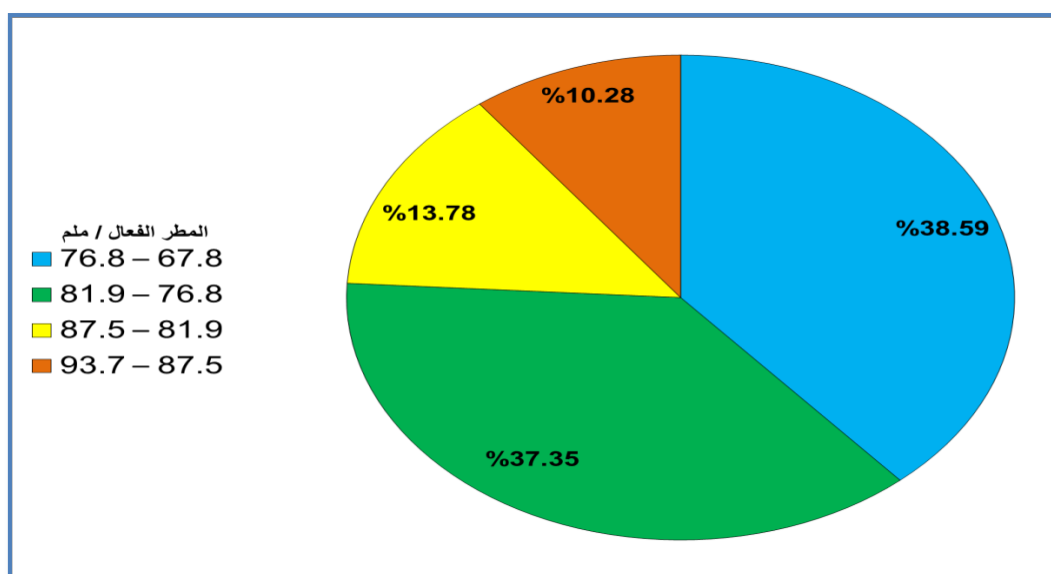
## الفصل الثالث / وصف المناخ واثره في تكوين الاشكال الارضية لمنطقة الدراسة

جدول (3- 16) المساحة والنسبة المئوية لكميات الامطار الفعالة (ملم) في منطقة الدراسة

النسبة المئوية%	المساحة/ كم <sup>2</sup>	المطر الفعال / مل
38.59	5881	76.8 – 67.8
37.35	5693	81.9 – 76.8
13.78	2100	87.5 – 81.9
10.28	1567	93.7 – 87.5
100	15241	المجموع

المصدر: بالاعتماد على جدول (3-15) باستخدام برنامج Arc Map 10.3

شكل (3- 19) النسبة المئوية (%) لكميات الامطار الفعالة (ملم) في منطقة الدراسة



المصدر: بالاعتماد على جدول (3-16).

### 7-2-3 الشدة المطرية Rainfall Intensity

يؤثر الزمن في العملية الجيومورفية من حيث توقيت بدء العملية والاستمرارية والتقطع، سواء أكانت في زمن طويل أو قصير ومن ثم انتهائها، وتحصل التربة على رطوبتها عن طريق تسرب مياه الامطار وتختلف بحسب خصائص التربة والسطح، فضلاً عن خصائص التساقط كالتركيز والشدة المطرية أي كمية الامطار المتساقطة في مدة زمنية معينة، إذ تتزايد معدلات التسرب مع تناقص شدة الامطار وتزايد مدة العاصفة المطرية، كما إن كمية المياه المتسربة تتزايد عند سقوط الزخات المطرية الأولى أو المراحل الاولى من العاصفة ثم تأخذ بالنقصان مع استمرار العاصفة، أضف الى ذلك إن زيادة طول الفاصل الزمني بين تكرار العواصف تؤدي إلى زيادة معدلات التسرب وذلك على العكس من الوضع الناتج عن حدوث عواصف متكررة ومتتابعة<sup>(1)</sup>. تبين من خلال البيانات المناخية واستخراج المجموع

(1) اياد عبد علي سلمان الشمري، الأشكال الأرضية لحوض وادي أبو غريبات في محافظة ميسان، اطروحة دكتوراه (غير منشورة)، قسم الجغرافية، كلية التربية ابن رشد، جامعة بغداد، 2018 ص 60.

### الفصل الثالث / وصف المناخ واثره في تكوين الاشكال الارضية لمنطقة الدراسة

الشهري والفصلي للشدة المطرية التي اعتمدت على ثلاث مدد هي (15 ، 30 ، 60 دقيقة) لمدة الدراسة (1980 ، 2016) . تبين من خلال الجدول (3-17) والشكل (3-20) و(3-21) و(3-22) ان اعلى مقدار للشدة المطرية في المدة (15دقيقة) كان في الاشهر (نيسان ، شباط) لمحطات الدراسة (السماوة، الناصرية ، الديوانية) بمقدار ( 3.2، 3.6، 3.7 ملم) على التوالي وادنى مقدار يكون في شهر (تشرين الاول) في محطات الدراسة وبمقدار (0.6، 1.2، 0.8 ملم) لكل منهما على التوالي ، كما تبين ان أعلى مقدار كان في شهر نيسان في المدة (30 دقيقة) بمقدار (4.7، 4.7، 4.1 ملم) لمحطات الدراسة لكل منهم على التوالي وادنى قيمة للشدة المطرية كانت في شهر حزيران بمقدار (0.7، 0.4، 0.8 ملم) لمحطات الدراسة على التوالي، بينما بلغت اعلى قيمة للشدة المطرية خلال المدة (60 دقيقة) للأشهر (نيسان ، كانون الاول) بمقدار (5.2، 5.9، 5.8 ملم) لمحطات الدراسة على التوالي وادنى قيمة كانت في الاشهر (تشرين الاول ، حزيران) وبمقدار (1.5، 1.7، 1.5 ملم) لمحطات الدراسة على التوالي. تبين من ذلك ان كميات الامطار في المدة (15 دقيقة) هي اكبر تأثير في منطقة الدراسة لكونها ذات تركيز وشدة عالية وتتناقص معدلات التسرب وبالتالي يقابلها زيادة في العملية التعرية المائية ولاسيما (التعرية الصفائحية والاختودية والمسيلات) . اما كمية الامطار خلال مدة (60 دقيقة) فهي اقل تأثيراً نتيجة التساقط بشكل بطيء تعمل على زيادة معدلات التسرب بسبب نوعية التربة الرملية ذات نفاذية عالية. تبين من الجدول (3-17) ارتفاع كمية الامطار في فصل الشتاء والربيع وانخفاضها في فصل الخريف والصيف في المدة الزمنية (15 ، 30 ، 60 دقيقة) ، حين تمتاز أمطار فصل الربيع بأنها غالباً تسقط بكميات غزيرة خلال مدة قصيرة نسبياً وإن كانت بمدد متباعدة نسبياً، اذ يمتاز هذا الفصل بكثرة حدوث حالات الزوابع الرعدية التي تؤدي الى تساقط هذا النمط من الامطار وبالتالي زيادة كميات الجريان السطحي الذي يزيد من خطر الانجراف والسيول المائية التي تعمل على زيادة الحمولة النهرية وتزايد عمليات الحت المائي. وبينما في بداية الفصل الخريف نلاحظ انخفاض في معدلات درجات الحرارة ولكن ظروف الجفاف مازالت مسيطرة على انواع ترب منطقة الدراسة في فصل الصيف الحار. وقلة النبات الطبيعي تؤدي الى زيادة كميات المياه المتسربة أثناء التساقط المطري حتى وان كانت كمية التساقط تعادل (1.6 ، 1.8 ، 1.7ملم) خلال المدة (30 دقيقة) في فصل الخريف لكل من السماوة والناصرية والديوانية على التوالي.

الفصل الثالث / وصف المناخ واثره في تكوين التشكال الارضية لمنطقة الدراسة

جدول (3-17) المجموع الشهري والفصلي للشدة المطرية (مم) في منطقة الدراسة للمدة (1980-2016)

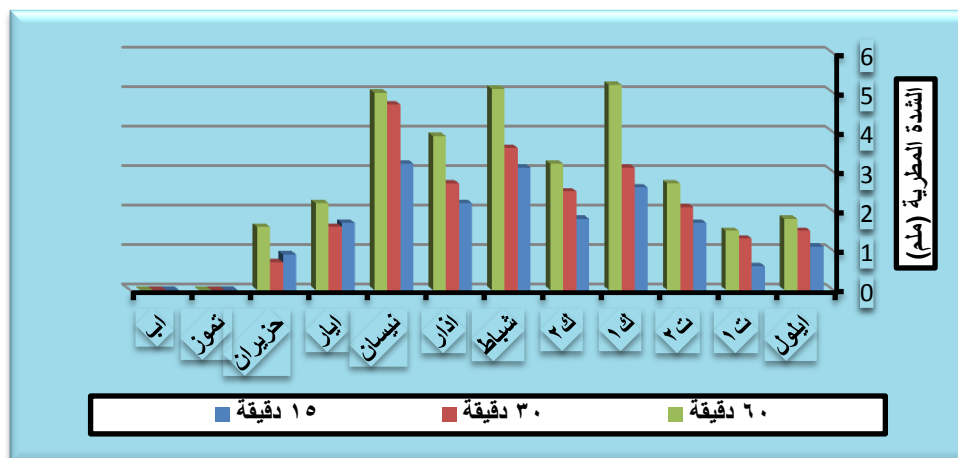
الاشهر		المحطة		ايلول	ت 1	ت 2	فصل الخريف	ك 1	ك 2	شباط	الشتاء	اذار	نيسان	ايار	فصل الربيع	حزيران	تموز	اب	فصل الصيف	
	15 دقيقة	1.1	0.6	1.7	1.1	2.6	1.8	3.1	2.5	2.2	3.2	1.7	2.4	0.9	0	0	0	0	0.3	
	30 دقيقة	1.5	1.3	2.1	1.6	3.1	2.5	3.6	3.1	2.7	4.7	1.6	3.0	0.7	0	0	0	0	0.2	
	60 دقيقة	1.8	1.5	2.7	2.0	5.2	3.2	5.1	4.5	3.9	5.2	2.2	3.8	1.6	0	0	0	0	0.5	
	15 دقيقة	1.6	1.2	2.2	1.7	2.8	2.1	3.6	2.8	2.2	3.4	2.1	2.6	1.3	0	0	0	0	0.4	
	30 دقيقة	1.5	1.4	2.4	1.8	3.2	2.5	4.2	3.3	2.7	4.7	1.7	3.0	0.4	0	0	0	0	0.1	
	60 دقيقة	2.5	2	2.6	2.4	5.9	3.7	5.4	5.0	4.1	5.7	2	3.9	1.5	0	0	0	0	0.5	
	15 دقيقة	0.9	0.8	1.5	1.1	3.1	2.1	2.9	2.7	2	3.7	1.9	2.5	1.1	0	0	0	0	0.4	
	30 دقيقة	1.3	1.2	2.5	1.7	3	2.9	3.3	3.1	2.5	4.1	2	2.9	0.8	0	0	0	0	0.3	
	60 دقيقة	1.9	1.7	2.8	2.1	5.7	3.8	5	4.8	4.1	5.8	2.9	4.3	1.7	0	0	0	0	0.6	
																			التجف	

المصدر: بالاعتماد على بيانات وزارة النقل والمواصلات، الهيئة العامة للأثراء الجوية، قسم المناخ (بيانات غير مشورة) 2016،

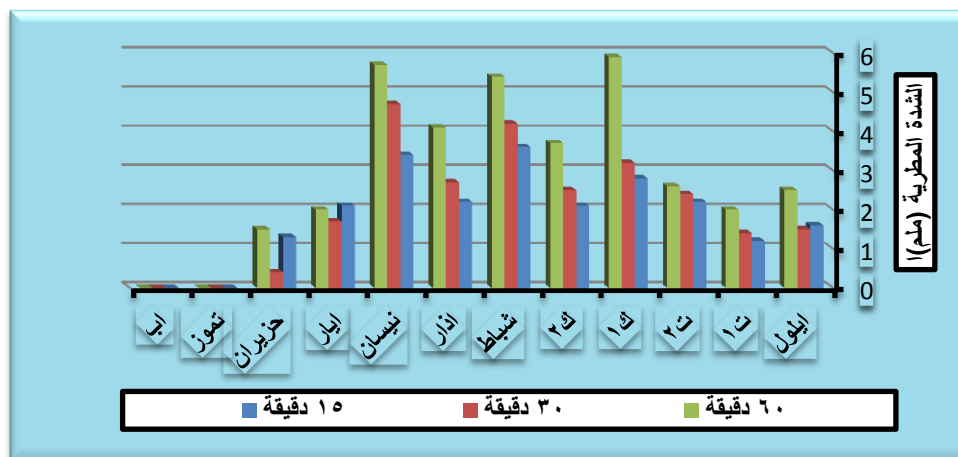
♦ لا تتوفر بيانات للشدة المطرية لمحطة النجف.



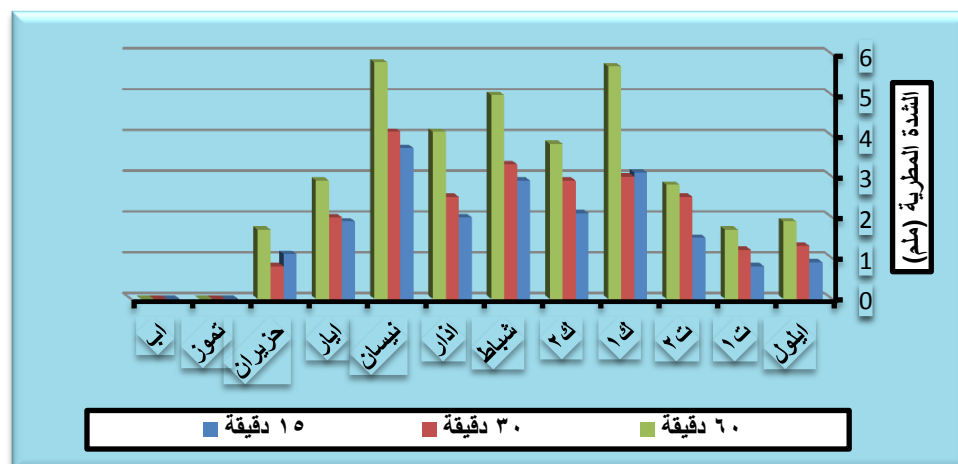
شكل (3- 20) المجموع الشهري للشدة المطرية (مم) لمحطة السماوة



شكل (3- 21) المجموع الشهري للشدة المطرية (مم) لمحطة الناصرية



شكل (3- 22) المجموع الشهري للشدة المطرية (مم) لمحطة الديوانية

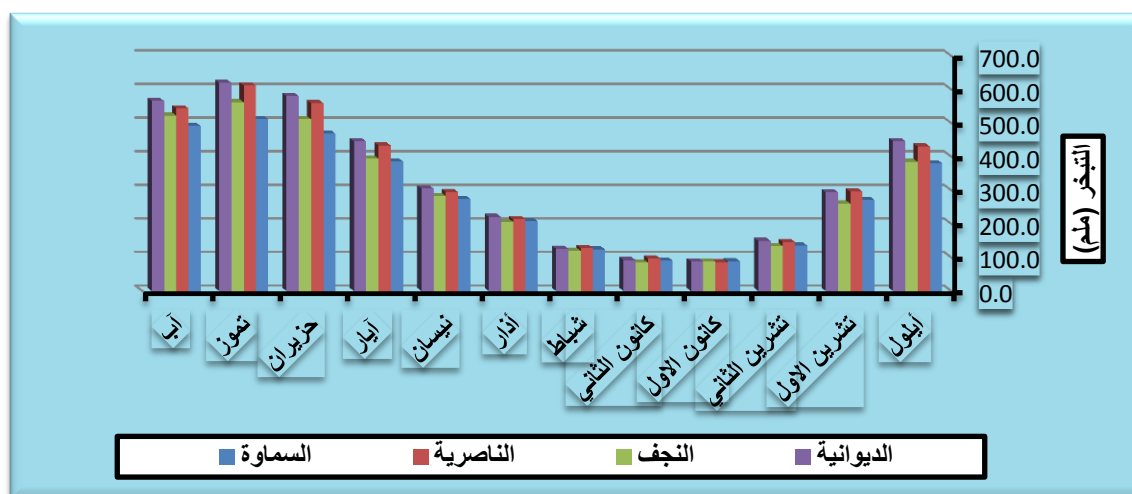


المصدر: بالاعتماد على جدول (3- 17)

### 3-2-8 Evaporation التبخر

يؤثر التبخر في العمليات الجيومورفية بشكل مباشر وغير مباشر لذلك له اهمية كبيرة في الدراسات الجيومورفية لاسيما في المناطق الجافة وشبه الجافة ، اذ تتوقف عملية التبخر من حوض التبخر على مجموعة من المتغيرات سواء كانت مناخية او ما يتعلق بالغطاء النباتي او طبيعة التربة ومنها الاشعاع الشمسي ودرجة الحرارة وسرعة الرياح وان لدرجات الحرارة والرياح علاقة عكسية مع التبخر فكلما زادت قيم هذه العناصر يؤدي الى انخفاض كمية التبخر ، تبين من الجدول (3-18) والشكل (3-23) ان المجموع السنوي لكمية التبخر في منطقة الدراسة بلغ (3429.2 ، 3840.6 ، 3549.9 ، 3934.0 ملم) على التوالي اذ سجل اعلى معدل للتبخر في فصل الصيف للأشهر (تموز ، اب) والبالغة (511.8 ، 491.1 ملم) على التوالي لمحطة السماوة ، وفي محطة الناصرية فبلغت بمقدار (611.9 ، 543.9 ملم) على التوالي . اما محطة النجف يصل معدلها خلال الاشهر (تموز ، اب) وبنسبة (562.1 ، 522.1 ملم) على التوالي. بينما محطة الديوانية سجلت بمقدار (619.9 ، 565.8 ملم) على التوالي وبسبب ارتفاع قيم التبخر خلال هذه الاشهر يعود ذلك الى ارتفاع درجات الحرارة وارتفاع سرع الرياح وانخفاض الرطوبة النسبية. أما ادنى معدلات للتبخر سجلت في فصل الشتاء للأشهر (كانون الاول ، كانون الثاني) والبالغة (88.7 ، 90.7 ملم) على التوالي لمحطة السماوة ، وفي محطة الناصرية سجلت (85.9 ، 97.0 ملم) على التوالي . اما محطة النجف فبلغت نحو (88.2 ، 84.6 ملم) على التوالي ، وفي محطة الديوانية سجلت (88.1 ، 92.0 ملم) على التوالي والسبب في ذلك انخفاض قيم التبخر في منطقة الدراسة نتيجة لانخفاض درجات الحرارة وقلة سرعة الرياح وارتفاع الرطوبة النسبية، ويتضح من التباين في ارتفاع وانخفاض معدلات التبخر في منطقة الدراسة يؤدي الى زيادة جفاف التربة ويعمل ذلك على تفككها ولذلك يؤدي الى تسهيل عمليات حثها بواسطة الرياح وتغيير شكلها بمرور الزمن ويساعد في تشكيل المظاهر الارضية في منطقة الدراسة .

شكل (3-23) المجموع الشهري لكميات التبخر (ملم) من حوض التبخر في منطقة الدراسة للمدة (1980-2016)



المصدر : بالاعتماد على جدول (3-18)

## الفصل الثالث / وصف المناخ واثره في تكوين الاشكال الارضية لمنطقة الدراسة

جدول (3-18) المجموع الشهري لكميات التبخر (ملم) من حوض التبخر في منطقة الدراسة للمدة (1980-2016)

ت	الشهر	المحطة	السماوة	الناصرية	النجف	الديوانية
1	أيلول		380.4	430.4	384.6	446.3
2	تشرين الاول		271.1	296.1	260.5	294.4
3	تشرين الثاني		135.3	145.9	133.7	149.6
4	كانون الاول		88.7	85.9	88.2	88.1
5	كانون الثاني		90.7	97.0	84.6	92.0
6	شباط		123.8	128.4	120.0	125.8
7	أذار		207.8	213.7	205.5	221.0
8	نيسان		274.3	294.8	282.7	305.3
9	أيار		385.8	433.3	394.2	445.4
10	حزيران		468.4	559.4	511.6	580.5
11	تموز		511.8	611.9	562.1	619.9
12	أب		491.1	543.9	522.1	565.8
المجموع			3429.2	3840.6	3549.9	3934.0

المصدر: بالاعتماد على بيانات وزارة النقل والمواصلات، الهيئة العامة للأمناء الجوية ، قسم المناخ (بيانات غير منشورة)، 2016

تبين من الخريطة (3-9) الجدول (3-19) والشكل (3-24) ان التباين المكاني لقيم التبخر في منطقة الدراسة ، تم تصنيف بياناتها على شكل رتب كما يلي :

1- **الرتبة الاولى** : تمتد هذه الرتبة في الاقسام الوسطى والجنوبية الغربية والتي تتراوح درجة تباينها بين (3034 ، 3550 ملم) وتشغل مساحة (5520 كم<sup>2</sup>) ونسبة (36.10%) من المنطقة .

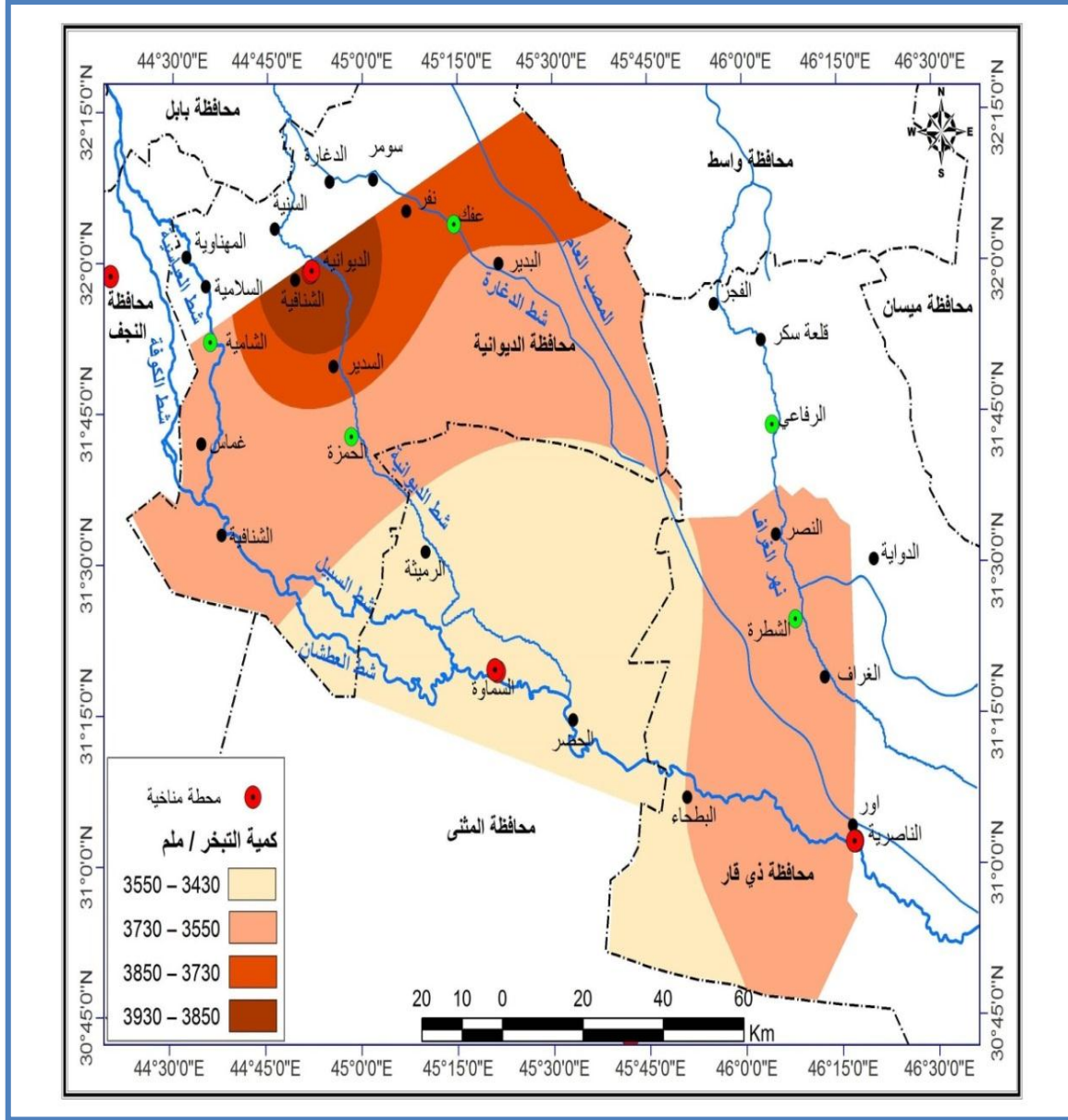
2- **الرتبة الثانية** : تتمثل هذه الرتبة بشكل واسع ولاسيما في الاجزاء الوسطى والشمالية الغربية والجنوبية الشرقية والتي تتراوح درجة تباينها بين (3550 ، 3730 ملم) وتشغل مساحة ( 7841 كم<sup>2</sup>) ونسبة (51.45%) من المنطقة .

3- **الرتبة الثالثة** : تظهر صورتها المكانية في الاقسام الشمالية الشرقية والتي تتراوح درجة تباينها بين (3730 ، 3805 ملم) وتشغل مساحة (1509 كم<sup>2</sup>) ونسبة (9.90%) من المنطقة .

4- **الرتبة الرابعة** : تمتد هذه الرتبة في الجزء الشمالي والتي تتراوح درجة تباينها بين (3850 ، 3930 ملم) وتشغل مساحة (389 كم<sup>2</sup>) ونسبة (2.55%) من المنطقة .

### الفصل الثالث / وصف المناخ واثره في تكوين الاشكال الارضية لمنطقة الدراسة

خريطة (3-9) التباين المكاني لكمية التبخر (ملم) من حوض التبخر في منطقة الدراسة



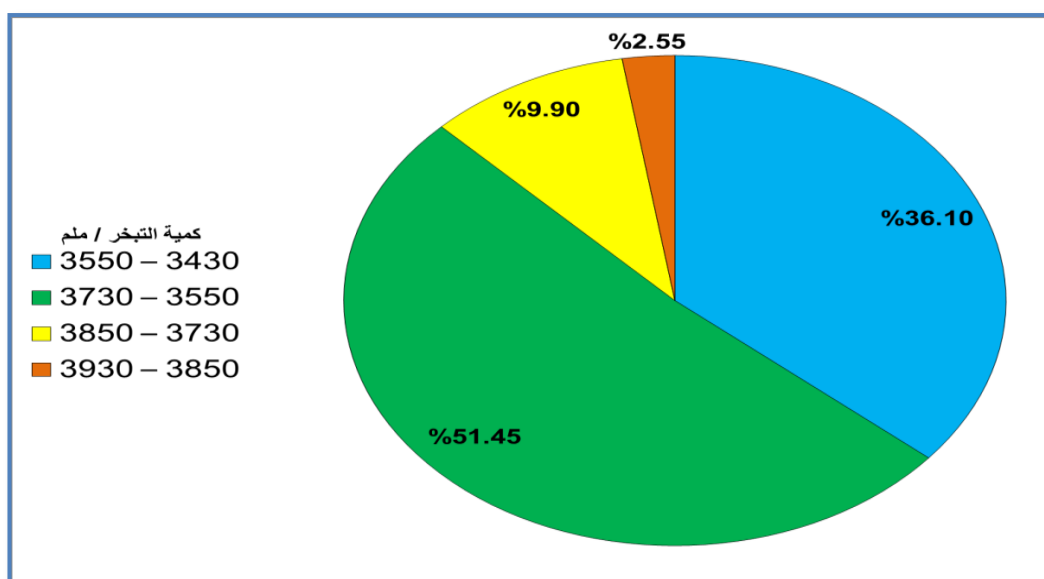
المصدر: اعتماداً على بيانات الجدول (3-18) وباستخدام برنامج Arc Gis 10.3

جدول (3-19) المساحة والنسبة المئوية لكمية التبخر (ملم) من حوض التبخر في منطقة الدراسة

النسبة المئوية %	المساحة / كم <sup>2</sup>	كمية التبخر / ملم
36.10	5502	3550 – 3430
51.45	7841	3730 – 3550
9.90	1509	3850 – 3730
2.55	389	3930 – 3850
100	15241	المجموع

المصدر: بالاعتماد على جدول (3-18) باستخدام برنامج Arc Map 10.3

شكل (3-24) النسبة المئوية لكمية التبخر (ملم) من حوض التبخر في منطقة الدراسة



المصدر: بالاعتماد على جدول (3-19).

### 9-2-3 التبخر - نتج Evapotranspiration

هو مصدر بخار الماء في الهواء وببساطة هو عملية تحول المواد السائلة والصلبة الى غازات وتعد البحار والمحيطات المصدر الرئيس للبخار الذي يزود اليابسة بالماء ، فضلا عن ما يتبخر من التربة والنباتات والجداول والانهار والبحيرات الداخلية ويقاس التبخر بالسنتيمتر المكعب او المليمتر المكعب او لأنج في الساعة او اليوم او الشهر او السنة. اما النتج بانه عملية فقد الماء بصورة بخار من خلال اوراق النباتات الحية الى المحيط الجوي ، وان النتج هو اساس عملية تبخر ولكن خلافا للتبخر من السطوح فان مقدار النتج يتم به بوساطة الثغور وتركيب النباتات ، وتتأثر كمية النتج بصورة واسعة بالتغيرات المناخية (الاشعاع الشمسي ، درجة الحرارة ، الرطوبة الجوية ، الرياح) <sup>(1)</sup>، والتبخر نتج من اكثر العوامل تأثيراً في تقدير الموازنة المائية والاحتياجات المائية والمحاصيل وهو عامل مهم يتيح الاستفادة المثلى في استخدام المياه للري في المناطق الجافة وشبه الجافة من حيث مشكله نقص الماء <sup>(2)</sup>.

### معادلة بنمان مونتيث لمنظمة الاغذية والزراعة FAO penman – monteith

تعد معادلة بنمان - مونتيث (penman – monteith) من افضل المعادلات التجريبية لتقدير معدل التبخر/ نتج المحتمل لذا تبنتها منظمة الاغذية والزراعة ، التابعة للأمم المتحدة. اسلوب امثل في جميع بلدان العالم. و تم طورت منظمة الاغذية والزراعة العالمية FAO معادلة بنمان - مونتيث المحورة

<sup>(1)</sup> علي عبد الحسين بلاسم العكيلي، الأسلوب الامثل قيم التبخر نتج في مناخ العراق ، رسالة ماجستير في الجغرافية (غير منشوره)

كلية التربية ابن رشد، جامعة بغداد، 2013، ص86

<sup>(2)</sup>Bipalk.Jana Impact of climate changon Natural Resource,management,springer Dordrecht Heidel London New York,2010,p248



بجعلها تستخدم كبرنامج يسمى (CROPWAT 8.0) لنظام التشغيل windows هو برنامج يتضمن طريقة مطورة لتقدير التبخر/نتح المرجعي للمحاصيل باعتماد نهج بنمان - مونتيث على النحو الموصي به من قبل منظمة الاغذية والزراعة <sup>(1)</sup> .

وتم حساب التبخر نتح ببرنامج (CROPWAT 8.0) :

يعتمد هذا البرنامج على ادخال معدلات كل من (درجات الحرارة الصغرى والعظمى، ساعات السطوع الشمسي الفعلي ، الرطوبة النسبية ، سرعة الرياح) بعد ادخال اسم المحطة والدولة التي تقع فيها المحطة، وارتفاع المحطة عن سطح البحر. ودائرة عرض المحطة وخط طولها، اذ تعد هذه البيانات ضرورية ولاسيما دوائر العرض لحساب قيمة كل من (w) الذي يعني العامل المعياري لتأثير الاشعاع على التبخر/نتح . اذ ان القيمة ترتبط بدرجة الحرارة ودائرة عرض المحطة وكذلك كمية الاشعاع الواصل الى اعلى الغلاف الغازي (Ra) على دائرة لعرض والوقت خلال السنة ، كما ان قيمة N التي تعني عدد الساعات الشمسية القصوى المحتملة اي طول النهار النظري يستخرج بالاعتماد على دائرة العرض. وعند استخراج التبخر / نتح المحتمل وفقا معادلة بنمان - مونتيث كان لابد من استخدام معامل تصحيح الرياح (0.78) وهو تحويل سرعة الرياح من ارتفاع (10م الى 2م) وذلك بضرب كل قيمة في معامل تصحيح<sup>(2)</sup>. تبين من الجدول (3-20) والشكل (3-25) ان مجموع قيم التبخر - النتح في منطقة الدراسة اذ سجل (2177.9 ، 2461.6 ، 1860.4 ، 2426.9 ملم) على التوالي . اذ يصل اعلى قيمة للتبخر - نتح خلال فصل الصيف للأشهر (تموز ، اب) والبالغة (316.3، 287.0 ملم) على التوالي لمحطة السماوة . اما محطة الناصرية فبلغت (375.5، 342.4 ملم) على التوالي. بينما محطة النجف حيث سجلت (291.6، 250.2 ملم) على التوالي، وفي محطة الديوانية فبلغت (367.0، 334.7 ملم) على التوالي . ثم تبدا بالانخفاض التدريجي خلال فصل الشتاء للأشهر ( كانون الاول ، كانون الثاني ) والبالغة (66.0، 60.8 ملم) على التوالي لمحطة السماوة . اما محطة الناصرية فسجلت (69.0، 66.1 ملم) على التوالي وفي محطة النجف بلغت (48.5، 48.2 ملم) على التوالي ، بينما محطة الديوانية سجلت (67.5، 65.1 ملم) على التوالي ، وتبين من ذلك ان الارتفاع والانخفاض في قيم التبخر - النتح يرجع السبب في ذلك الى ارتفاع سرعة الرياح في المنطقة لان تأثير الرياح مباشر على كميات المياه المفقودة لعملية التبخر - النتح يؤدي الى جفاف التربة وتقكيكها ويسبب في نشاط عملية التعرية الريحية في منطقة الدراسة .

<sup>(1)</sup> سلام هاتف احمد الجبوري ، دور المناخ في تباين قيم التبخر /نتح المحتمل في المنطقة الجنوبية من العراق باستخدام برنامج(CROPWOT8.0)، مجلة الاستاذ، العدد208، بغداد،2014، ص336 .

<sup>(2)</sup> منظمة الاغذية الزراعية الدولية (F.A.O)(التبخر/النتح) لمحصول ،ادلة ارشادية لحساب المتطلبات المائية للمحصول، ورقة الري والصرف، رقم(56)،ترجمة ياسر كمال نزل، جامعة ولاية يوتا،2007،ص22 .

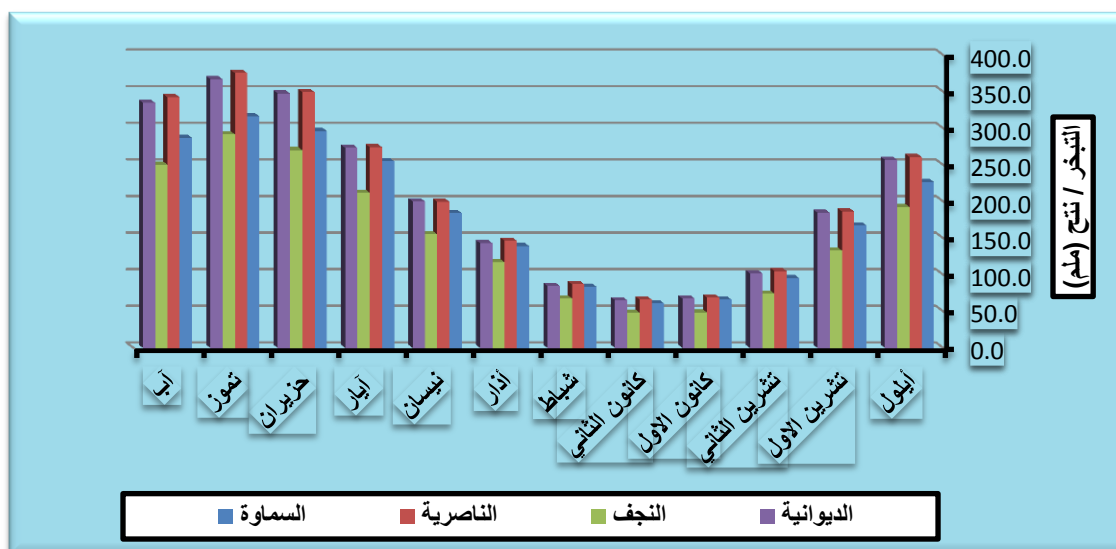
### الفصل الثالث / وصف المناخ واثره في تكوين الاشكال الارضية لمنطقة الدراسة

جدول (3-20) المجموع الشهري لكمية التبخر - نتح (لم) في منطقة الدراسة للمدة (1980-2016)

ت	الشهر	المحطة	السماوة	الناصرية	النجف	الديوانية
1	أيلول		226.6	260.9	192.5	256.9
2	تشرين الاول		167.3	186.3	133.0	184.8
3	تشرين الثاني		95.5	104.9	74.2	102.0
4	كانون الاول		66.0	69.0	48.5	67.5
5	كانون الثاني		60.8	66.1	48.2	65.1
6	شباط		83.7	87.0	67.7	84.8
7	أذار		139.1	146.4	117.0	143.2
8	نيسان		184.3	199.6	155.3	200.1
9	أيار		254.9	274.2	211.9	273.3
10	حزيران		296.3	349.4	270.1	347.5
11	تموز		316.3	375.5	291.6	367.0
12	آب		287.0	342.4	250.2	334.7
المجموع			2177.9	2461.6	1860.4	2426.9

المصدر: بالاعتماد على ملحق (9) و (10) و (11) و (12).

شكل (3-25) المجموع الشهري لكمية التبخر - نتح (لم) في منطقة الدراسة للمدة (1980-2016)



المصدر: بالاعتماد على جدول (3-20)

يتضح من الخريطة (3-10) الجدول (3-21) والشكل (3-26) التباين المكاني لقيم التبخر - النتح في منطقة الدراسة تم تقسيم صورتها المكانية على شكل رتب كما يلي :-

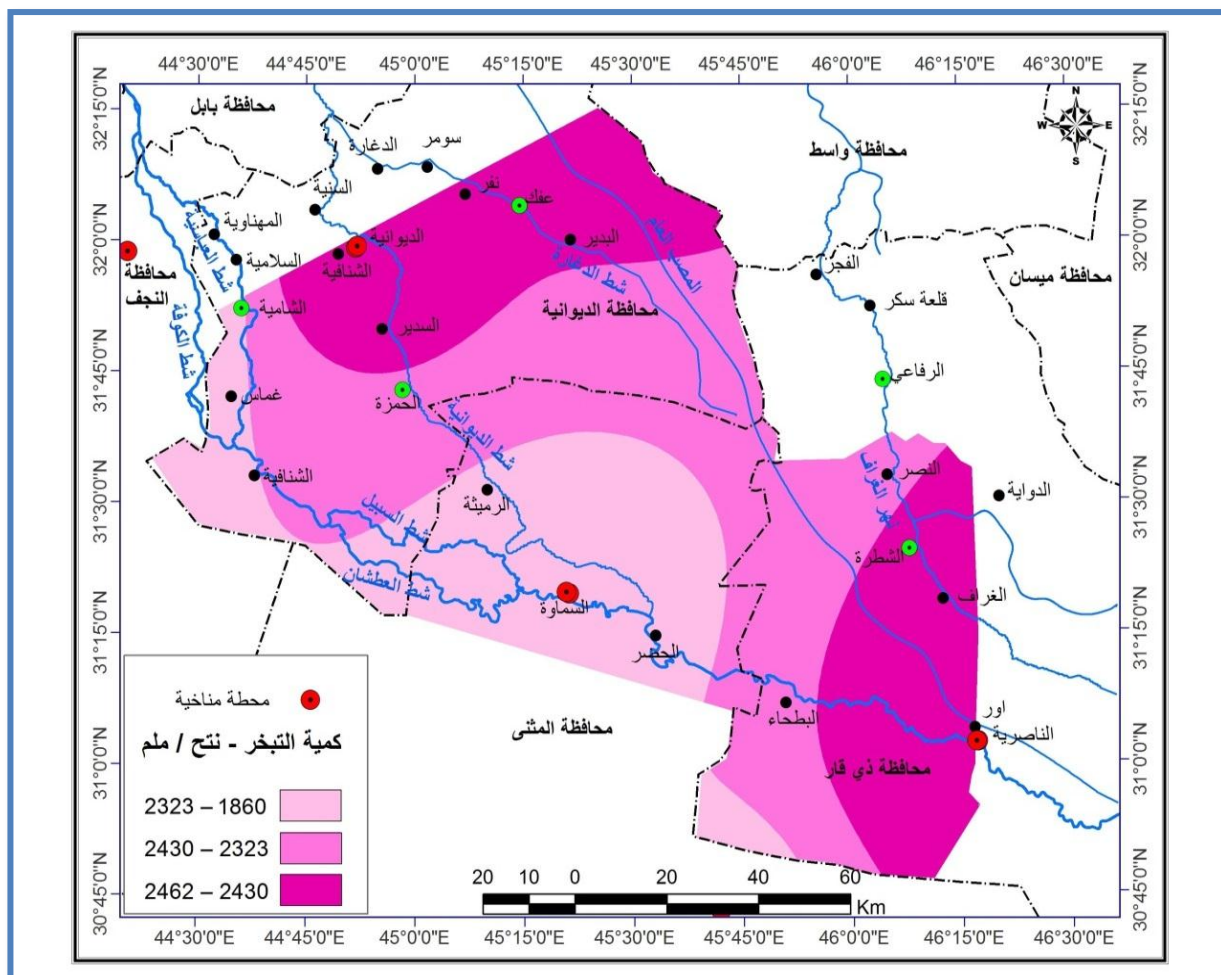
- 1- الرتبة الاولى : تسود هذه الرتبة في الجزء الجنوبي الغربي والتي تتراوح درجة تباينها بين (1860، 2323 ملم) وتشغل مساحة (4079 كم<sup>2</sup>) وبنسبة (26.76%) من المنطقة .

## الفصل الثالث / وصف المناخ واثره في تكوين الاشكال الارضية لمنطقة الدراسة

2- الرتبة الثانية: تتمثل هذه الرتبة في الاقسام الوسطى والشمال الشرقي والجنوب الشرقي والتي تتراوح درجة تباينها بين (2323 ، 2430 ملم) وتشغل مساحة (6219 كم<sup>2</sup>) ونسبة (40.81%) من المنطقة.

3- الرتبة الثالثة : تمتد هذه الرتبة في الاجزاء الشمالية الشرقية والجنوبية الشرقية والتي تتراوح درجة تباينها بين (2430 ، 2462 ملم) وتشغل مساحة (4943 كم<sup>2</sup>) ونسبة (32.43%) من منطقة الدراسة.

خريطة (3-10) التباين المكاني لكمية التبخر - نتح (ملم) في منطقة الدراسة



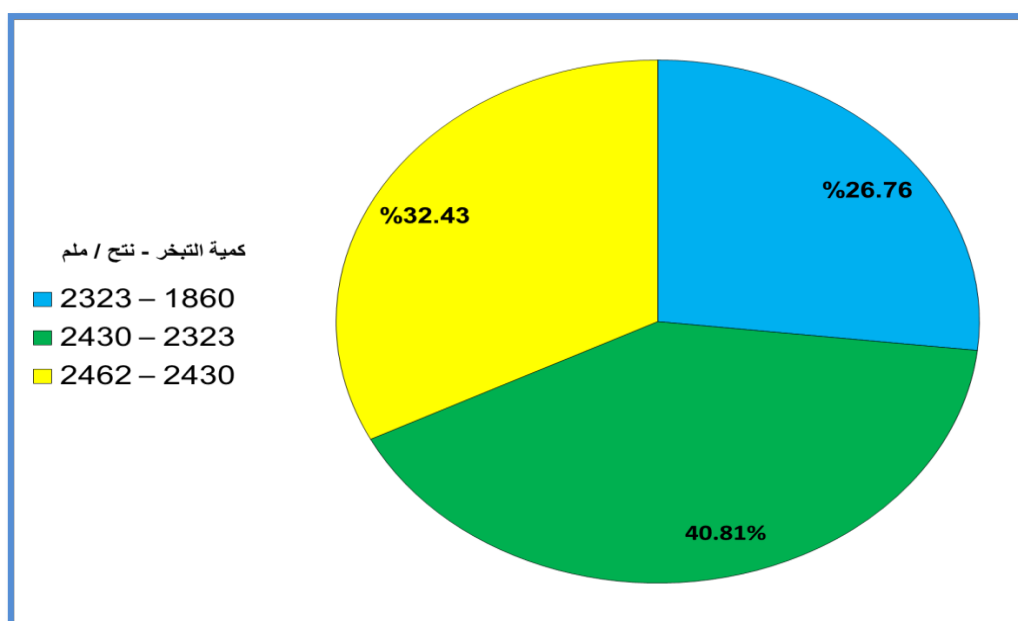
المصدر: اعتماداً على بيانات الجدول (3-20) وباستخدام برنامج Arc Gis 10.3

جدول (3-21) المساحة والنسبة المئوية لكمية التبخر - نتح (ملم) في منطقة الدراسة

النسبة المئوية %	المساحة / كم <sup>2</sup>	كمية التبخر - نتح / ملم
26.76	4079	2323 – 1860
40.81	6219	2430 – 2323
32.43	4943	2462 – 2430
100	15241	المجموع

المصدر: : بالاعتماد على جدول (3-20) باستخدام برنامج Arc Map10.3

شكل (3-26) النسبة المئوية لكمية التبخر - نتح (ملم) في منطقة الدراسة



المصدر: بالاعتماد على جدول (3-21)

### 10-2-3 الموازنة المائية المناخية Climate Water Budget

يقصد بالموازنة المائية المناخية الفرق بين الامطار الفعالة والتبخر / نتح المحتمل والذي يجسد بدوره المؤشرات الواضحة عن الفائض أو العجز في مياه التربة وكمية المياه اللازمة لسقي المزروعات ومدتها<sup>(1)</sup>. وتم حساب الموازنة المناخية :

الموازنة المائية وفق معادلة بنمان مونتث لمنظمة الأغذية والزراعة العالمية

تبين من الجدول (3-22) والشكل (3-27) ان مجموع قيم العجز المائي في منطقة الدراسة تدل على وجود عجز مائي كبير نتيجة في قلة تساقط الامطار وارتفاع معدلات التبخر - النتح في المنطقة اذ بلغ مقدار العجز المائي السنوي نحو (2346، -2579، -1793، -2608 ملم) على التوالي في منطقة الدراسة ، وهو فارق كبير جداً يحتاج إلى توفر المياه في الري لسد النقص الحاصل في مياه الأمطار بالنسبة للزراعة، كما يسبب زيادة في مظاهر الجفاف، وهذا يعني ان منطقة الدراسة تعاني من جفاف دائم وفي جميع أشهر وفصول السنة وتعرض التربة فيها الى عمليات التجوية الفيزيائية والكيميائية والتعرية الريحية على نطاق واسع ولاسيما في فصل الصيف بسبب زيادة مقدار العجز المائي بشكل كبير وسبب انعدام تساقط الأمطار مقارنة بارتفاع معدلات التبخر ارتفاعاً ملحوظاً.

<sup>(1)</sup> كاظم موسى الطائي، موازنة حوض نهر دىالى المائية المناخية في العراق، مجلة الجمعية الجغرافية العراقية، العدد 45، بغداد، 2000، ص82.

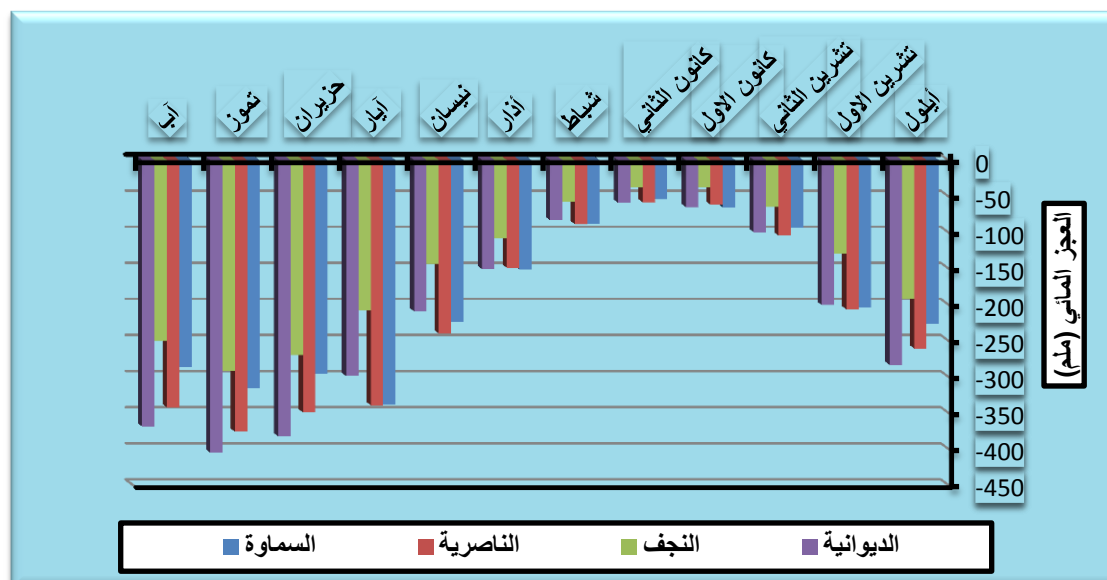
## الفصل الثالث / وصف المناخ واثره في تكوين الاشكال الارضية لمنطقة الدراسة

جدول (3-22) المجموع الشهري لكمية العجز المائي (مم) في منطقة الدراسة للمدة (1980-2016)

ت	المحطة الشهر	السماوة	الناصرية	النجف	الديوانية
1	أيلول	-227	-261	-193	-284
2	تشرين الاول	-204	-207	-130	-201
3	تشرين الثاني	-94	-105	-65	-100
4	كانون الاول	-66	-62	-38	-65
5	كانون الثاني	-54	-58	-38	-59
6	شباط	-88	-89	-57	-83
7	أذار	-152	-149	-109	-151
8	نيسان	-224	-240	-144	-210
9	أيار	-338	-340	-208	-299
10	حزيران	-296	-349	-270	-383
11	تموز	-316	-376	-292	-405
12	أب	-287	-342	-250	-369
المجموع		-2346	-2579	-1793	-2608

المصدر: ملحق (13) و (14) و (15) و (16).

شكل (3-27) المجموع الشهري لكمية العجز المائي (مم) في منطقة الدراسة للمدة (1980 - 2016)



المصدر : بالاعتماد على جدول (3-22).

يتضح من الخريطة (3-11) الجدول (3-23) والشكل (3-28) ان التباين المكاني لقيم العجز المائي في منطقة الدراسة تم تصنيف بياناتها على شكل رتب كما يلي :-



### الفصل الثالث / وصف المناخ واثره في تكوين الاشكال الارضية لمنطقة الدراسة

1-الرتبة الاولى : تمتد صورتها المكانية في الاقسام الشمالية الشرقية والجنوبية الشرقية والتي تتراوح درجة تباينها بين (2608 - ، 2503.1 ملم) وتشغل مساحة (4799 كم<sup>2</sup>) ونسبة (31.50%) من المنطقة .

2-الرتبة الثانية : تسود هذه الرتبة بشكل واسع في الاقسام الوسطى والجنوبية الشرقية والغربية والتي تتراوح درجة تباينها بين (2503.1 - ، 2311.9 ملم) وتشغل مساحة (10258 كم<sup>2</sup>) ونسبة (67.30%) من المنطقة .

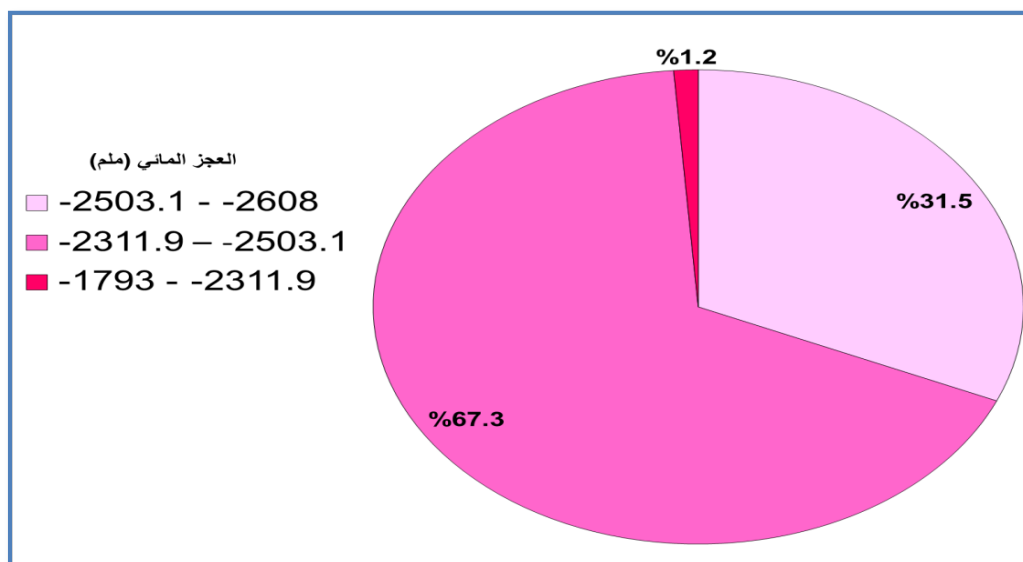
3-الرتبة الثالثة : تتمثل هذه الرتبة في الجزء الشمالي الغربي والتي تتراوح درجة تباينها بين (2311.9 - ، 1793 - ملم) وتشغل مساحة (184 كم<sup>2</sup>) ونسبة (1.20%) من المنطقة .

جدول (3-23) المساحة والنسبة المئوية لكمية العجز المائي (ملم) في منطقة الدراسة

النسبة المئوية %	المساحة / كم <sup>2</sup>	العجز المائي (ملم)
31.50	4799	-2503.1 - -2608
67.30	10258	-2311.9 - -2503.1
1.20	184	-1793 - -2311.9
100	15241	المجموع

المصدر: بالاعتماد على جدول(3-22) باستخدام برنامج Arc Map10.3

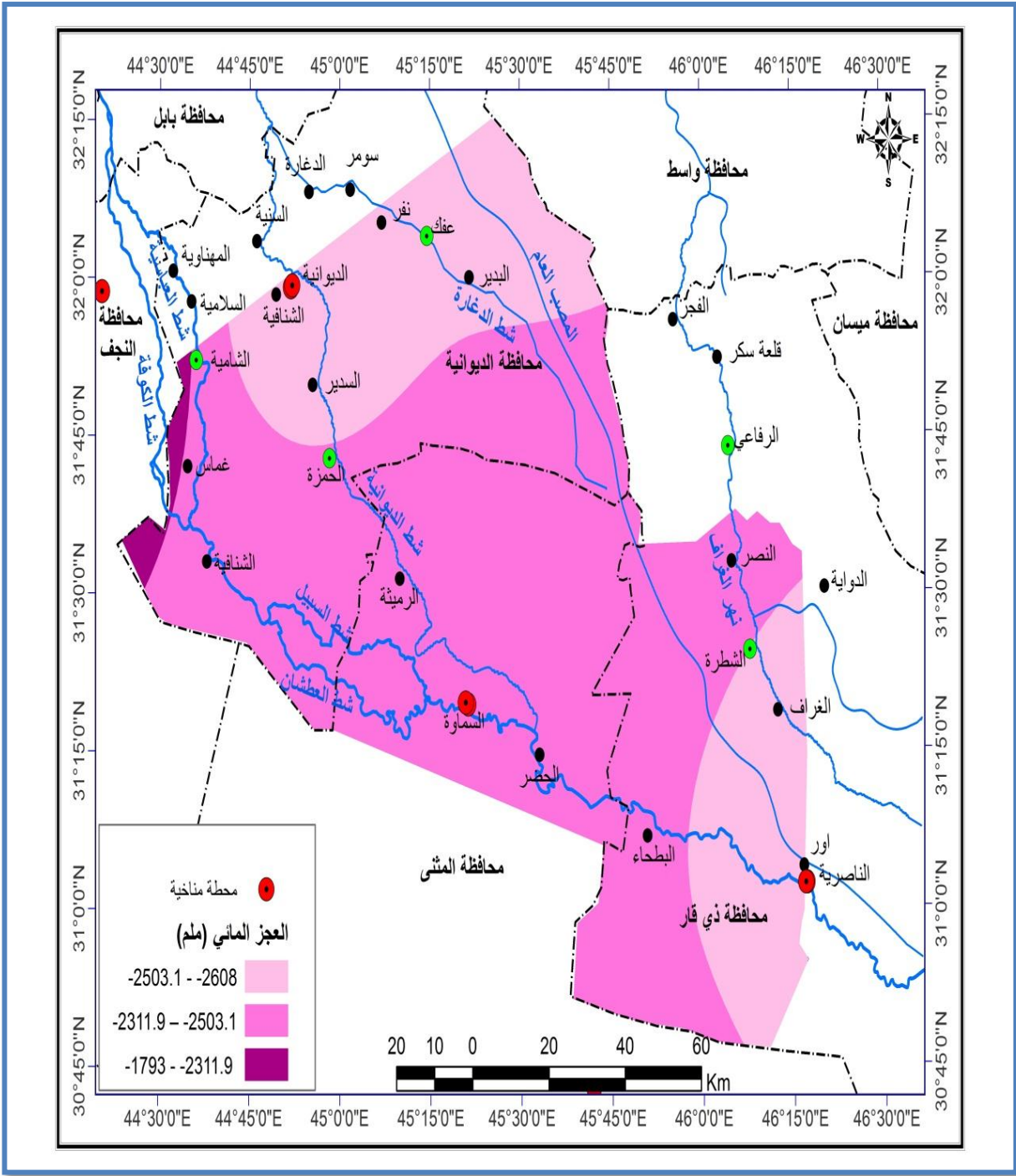
شكل (3-28) النسبة المئوية (%) لكمية العجز المائي (ملم) في منطقة الدراسة



المصدر : بالاعتماد على جدول (3-23)

الفصل الثالث / وصف المناخ واثره في تكوين الاشكال الارضية لمنطقة الدراسة

خريطة (3-11) التباين المكاني لكمية العجز المائي (ملم) في منطقة الدراسة



المصدر: اعتماداً على بيانات الجدول (3-22) وباستخدام برنامج Arc Gis 10.3

### المبحث الثالث

#### وصف الظواهر المناخية الحالية لمنطقة الدراسة

#### 3-3-1 ظاهرة الغبار Dust phenomenon

يقصد بظاهرة الغبار هي ارتفاع دقائق التراب عن سطح الأرض وانتشارها في الجو مسببة هبوطاً في شفافية الهواء ومدى الرؤيا. ويختلف حجم وشكل الدقائق الترابية تبعاً لمصدرها وتكوينها الفيزيائي والكيميائي وسرعة الرياح. وتتكون من نسب مختلفة من الطين والغرين والرمل وكاربونات الكالسيوم وتتراوح أقطارها بين (0.05 ، 100) مايكرون<sup>(1)</sup>.

تتكرر ظواهر الغبار بأنواعه متمثلة بـ(العواصف الغبارية ، المتصاعد) في منطقة الدراسة حتى يمكن أن تطلق على محطة الناصرية تسمية مدينة الغبار لكثرة تكرار هذه الظاهرة القاسية فيها.

#### 3-3-1-1 العواصف الغبارية Dust Storms

تتصف الاقاليم الجافة بالعواصف الغبارية، ذلك لقلة الامطار وانقطاعها لمدة زمنية طويلة وارتفاع درجات الحرارة وزيادة معدلات التبخر وجفاف وتفكك التربة وقلة الغطاء النباتي، اذ تنشأ العواصف الغبارية عند معدل سرعة رياح يصل الى أكثر من (7م/ثا)، اذ تتصاعد كميات من دقائق التربة الطينية والغرينية والرملية<sup>(2)</sup>، ان الرياح الشمالية الغربية في منطقة الدراسة لها علاقة بالمرتفع الاوزوري (الضغط العالي الاوزوري) الذي يعطي للمنطقة حالة الاستقرار خلال فصل الصيف حيث يكون مجاوراً لامتداد المنخفض الحراري بالإضافة الى زيادة ظاهرة الجفاف وارتفاع معدلات درجات الحرارة ، وكذلك تشير الرياح الجنوبية الشرقية والعواصف الغبارية في المنطقة<sup>(3)</sup>، وتبين من الجدول (3-24) والشكل (3-29) ان المعدل العام للعواصف الغبارية في منطقة الدراسة اذ سجلت (1 ، 2 ، 0 ، 2) على التوالي ويلاحظ ان اعلى معدل تكرار العواصف الغبارية في محطتي (الناصرية ، الديوانية) خلال الاشهر (حزيران وتموز) والبالغة (5، 4) على التوالي لمحطة الناصرية . اما محطة الديوانية فبلغت نحو (4، 4) على التوالي والسبب في ذلك لان فيهما ترباً رسوبية ذات قدرة جيدة للتصريف جعلتها لا تحتفظ بالمياه لمدة طويلة وبسبب ارتفاع درجات الحرارة فيها ، وسجل اعلى معدل تكرار العواصف الغبارية في الاشهر (اذار، نيسان ، ايار) والبالغة (1، 2، 2) على التوالي لمحطة السماوة وفي محطة النجف سجلت (1 ، 1 ، 1) على التوالي يتضح من ذلك ان الزيادة في تكرار وتباين العواصف الغبارية تختلف من فصل

<sup>(1)</sup> يوسف محمد علي حاتم الهذال، تكرار المنظومات الضغطية المختلفة وأثرها في تباين قيمة الإشعاع الشمسي الكلي وشفافية الهواء في العراق خلال السنوات 1980-1989، رسالة ماجستير (غير منشورة) ، قسم الجغرافية، كلية التربية، جامعة بغداد، 1994، ص12.

<sup>(2)</sup> احمد سعيد حديد، فاضل باقر الحسني، حازم توفيق العاني، المناخ المحلي، جامعة بغداد، 1982، ص155.

<sup>(3)</sup> بدر جدوع احمد المعموري، العواصف الترابية في وسط العراق وجنوبه وطرق معالجتها ، مجلة الاستاذ، العدد 8، جامعة بغداد، 1996، ص128-129.

### الفصل الثالث / وصف المناخ واثره في تكوين الاشكال الارضية في منطقة الدراسة

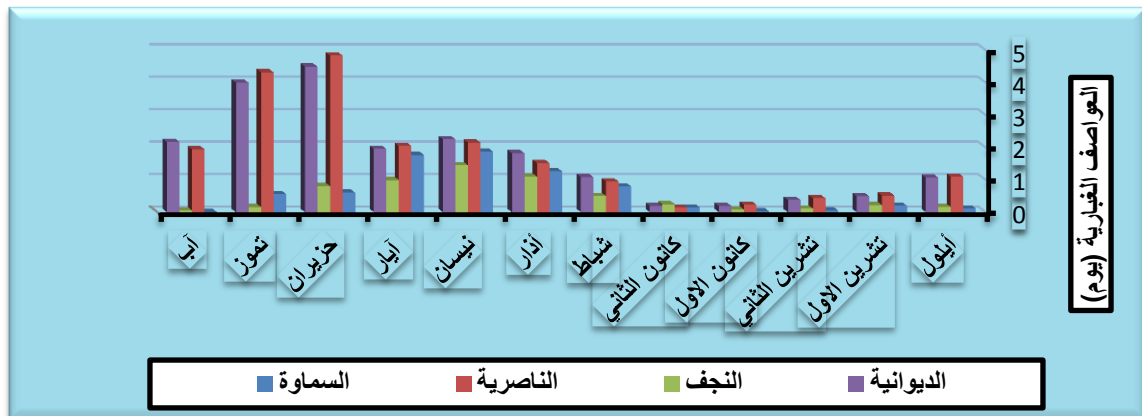
لآخر بسبب طبيعة المنطقة (الجافة وشبه الجافة) وقلة الغطاء النباتي والارتفاع في معدلات درجات الحرارة وانخفاضها بالإضافة الى انعدام المنخفضات الجوية الرطبة التي تسبب تساقط الامطار في المنطقة ، في حين تقل تدريجياً في فصل (الخريف ، الشتاء) نتيجة انخفاض درجات الحرارة وتماسك جزئيات سطح الارض المغطاة بالأتربة نتيجة تشبعها بمياه الامطار وانخفاض سرعة الرياح، ساعد ذلك في تغير وتطوير المظاهر الارضية نتيجة التعرية الريحية بالتزامن مع الفصول التي ترتفع فيها درجات الحرارة وتقل الامطار، بما يجعل التربة شديدة الجفاف قابلة للتذرية بمجرد ارتفاع سرعة الرياح التي لها قدرة على حمل الغبار وتعرية سطح التربة وعندما تخف سرعتها من خلال ما يعترضها اثناء مسيرتها فأنها تقوم بترسيب حمولتها بكميات كبيرة من ذرات الرمال وتسهم في تكوين مساحات واسعة من الكثبان الرملية في المنطقة.

جدول (3-24) معدل تكرار العواصف الغبارية (يوم) في منطقة الدراسة للمدة (1980-2016)

ت	المحطة	الديوانية	النجف	الناصرية	السماوة
1	أيلول	1	0	1	0
2	تشرين الاول	2	0	1	0
3	تشرين الثاني	3	0	0	0
4	كانون الاول	4	0	0	0
5	كانون الثاني	5	0	0	0
6	شباط	6	1	1	1
7	أذار	7	1	2	2
8	نيسان	8	1	2	2
9	أيار	9	1	2	2
10	حزيران	10	1	5	1
11	تموز	11	0	4	1
12	أب	12	0	2	0
المعدل		2	0	2	1

المصدر : بالاعتماد على بيانات وزارة النقل والمواصلات، الهيئة العامة للأتواء الجوية ، قسم المناخ (بيانات غير منشورة)، 2016

شكل (3-29) معدل تكرار العواصف الغبارية (يوم) في منطقة الدراسة للمدة (1980-2016)



المصدر: بالاعتماد على جدول (3-24)

### الفصل الثالث / وصف المناخ واثره فى تكوين الاشكال الارضية فى منطقة الدراسة

يتضح من الخريطة (3-12) الجدول (3-25) والشكل (3-30) ان التباين المكاني للعواصف الغبارية فى منطقة الدراسة . تم تصنيف بياناتها على شكل رتب كما يلي :

1- **الرتبة الاولى** : تتمثل هذه الرتبة فى الجزء الشمالي الغربي والتي يكون معدل تكرارها (0) يوم وتشغل مساحة (184 كم<sup>2</sup>) ونسبة (1.20%) من المنطقة .

2- **الرتبة الثانية** : تمتد هذه الرتبة فى الاقسام الجنوبية الشرقية والغربية والتي يكون معدل تكرارها (1) يوم وتشغل مساحة (5860 كم<sup>2</sup>) ونسبة (38.50%) من المنطقة .

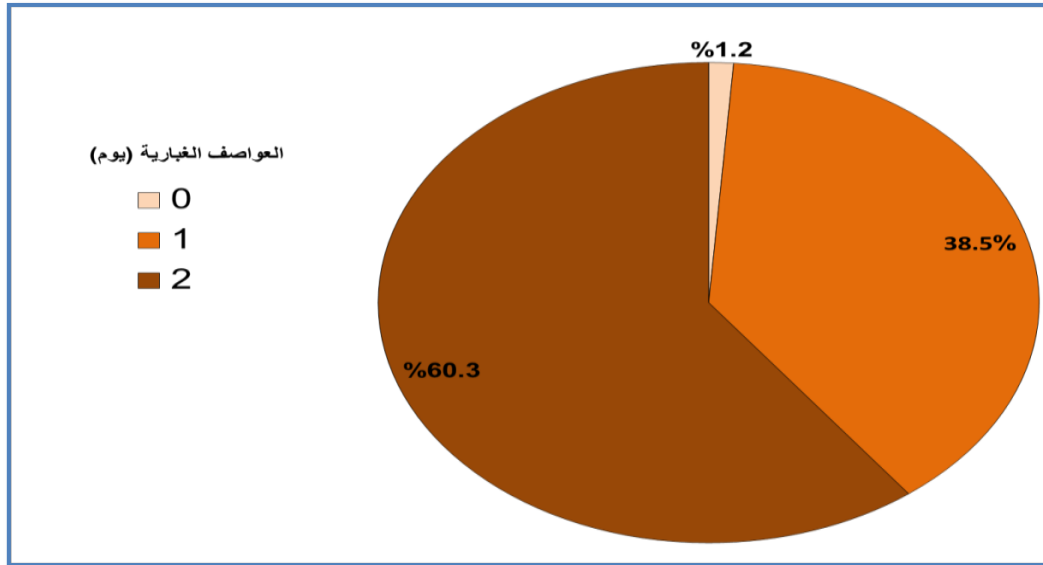
3- **الرتبة الثالثة** : تمتد هذه الرتبة بشكل واسع فى الاجزاء الشمالية الشرقية والجنوبية الشرقية والتي يكون معدل تكرارها (2) يوم وتشغل مساحة (9197 كم<sup>2</sup>) ونسبة (60.30%) من المنطقة .

جدول (3-25) المساحة والنسبة المئوية للعواصف الغبارية (يوم) فى منطقة الدراسة

النسبة المئوية %	المساحة / كم <sup>2</sup>	تكرار العواصف الغبارية / يوم
1.20	184	0
38.50	5860	1
60.30	9197	2
100	15241	المجموع

المصدر: بالاعتماد على جدول (3-24) باستخدام برنامج Arc Map10.3

شكل (3-30) النسبة المئوية (%) للعواصف الغبارية (يوم) فى منطقة الدراسة

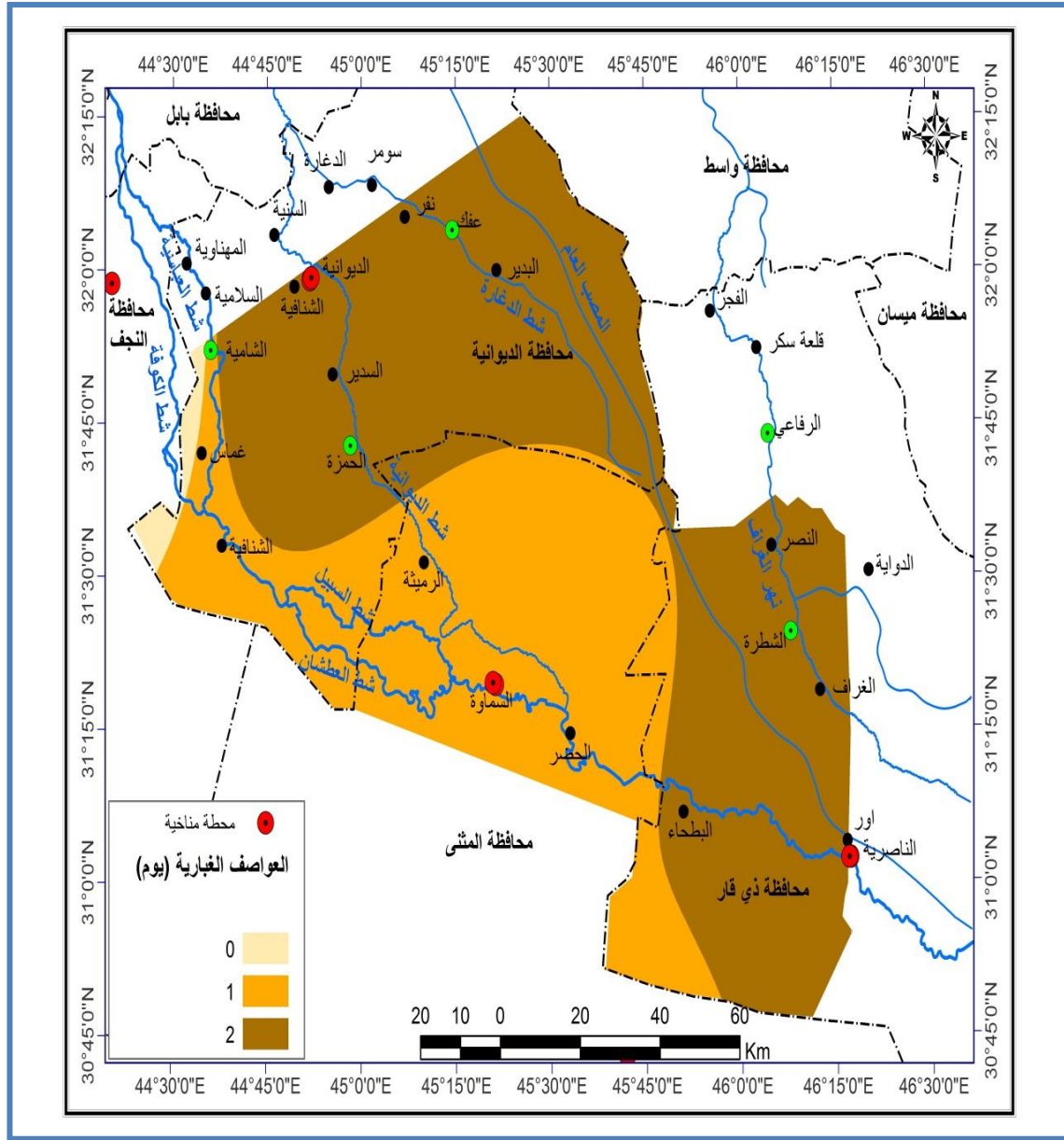


المصدر : بالاعتماد على جدول (3-25)



## الفصل الثالث / وصف المناخ واثره في تكوين الاشكال الارضية في منطقة الدراسة

خريطة (3-12) التباين المكاني للعواصف الغبارية (يوم) في منطقة الدراسة



المصدر: اعتماداً على بيانات الجدول (3-24) وباستخدام برنامج Arc Gis 10.3 .

### 3-3-1-2 الغبار المتصاعد Rising Dust

يحدث الغبار المتصاعد في منطقة الدراسة بسبب حالات عدم الاستقرار الجوي الناتج عن التسخين الشديد لسطح الارض وحصول متغيرات في قوة مقدار الضغط الجوي مما يعمل على تكوين دوامات هوائية تعمل على رفع الدقائق الغبارية الى ارتفاع يصل (15 م) وتبين من الجدول (3-26) والشكل (3-31) ان المعدل العام لتكرار الغبار المتصاعد في منطقة الدراسة والذي يصل (4 ، 10 ، 3 ، 10) على التوالي وسجل اعلى معدل تكرار للغبار المتصاعد في محطة الناصرية خلال الاشهر (حزيران وتموز) اذ بلغ نحو (19، 20 يوم) على التوالي وفي محطة الديوانية وخلال هذه الاشهر بلغت نحو (18، 18 يوم) على التوالي وسجل اعلى معدل تكرار للغبار المتصاعد في محطة السماوة خلال الاشهر (اذار

### الفصل الثالث / وصف المناخ واثره فى تكوين الاشكال الارضية فى منطقة الدراسة

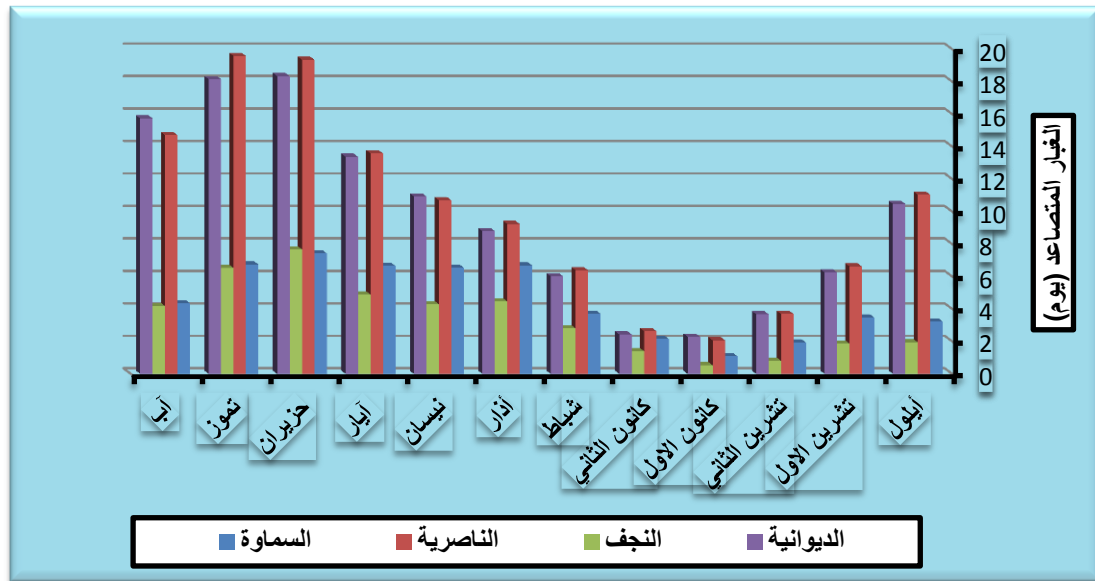
، نيسان ، ايار ، حزيران ، تموز) والبالغة نحو (7 ، 7 ، 7 ، 7 يوم) على التوالي بينما محطة النجف خلال هذه الاشهر بلغت نحو (4، 4 ، 5 ، 8 ، 7 يوم) على التوالي . ويتضح من ذلك ان الغبار المتصاعد له اهمية فى تكوين المظاهر الارضية اكثر من العواصف الغبارية والعالق بسبب حدوثها فى الطبقات القريبة من سطح الارض.

جدول(3-26) معدل تكرار الغبار المتصاعد (يوم) فى منطقة الدراسة للمدة (1980-2016)

ت	المحطة	الديوانية	النجف	الناصرية	السماعة
1	أيلول	10	2	11	3
2	تشرين الاول	6	2	7	3
3	تشرين الثاني	4	1	4	2
4	كانون الاول	2	1	2	1
5	كانون الثاني	2	1	3	2
6	شباط	6	3	6	4
7	أذار	9	4	9	7
8	نيسان	11	4	11	7
9	ايار	13	5	14	7
10	حزيران	18	8	19	7
11	تموز	18	7	20	7
12	آب	16	4	15	4
المعدل		10	3	10	4

المصدر: بالاعتماد على بيانات وزارة النقل والمواصلات، الهيئة العامة للأشواء الجوية ، قسم المناخ (بيانات غير منشورة)، 2016

شكل(3-31) معدل تكرار الغبار المتصاعد (يوم) فى منطقة الدراسة للمدة (1980-2016)



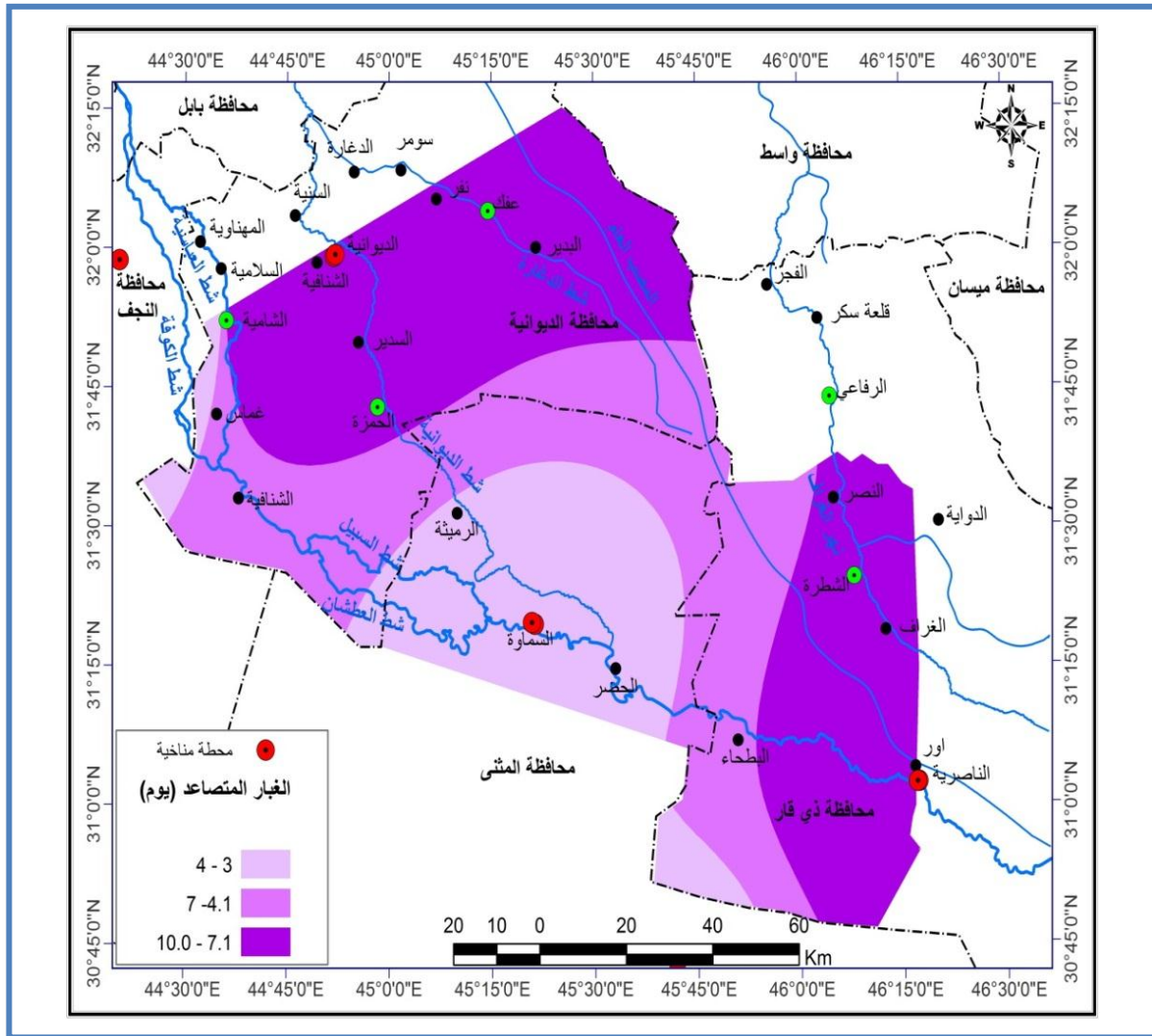
المصدر : بالاعتماد على جدول (3-26)

### الفصل الثالث / وصف المناخ واثره في تكوين الاشكال الارضية في منطقة الدراسة

يتضح من الخريطة (3-13) الجدول (3-27) والشكل (3-32) ان التباين المكاني للغبار المتصاعد في منطقة الدراسة . تم تصنيف بياناته على شكل رتب كما يلي :

- 1- **الرتبة الاولى** : تمتد هذه الرتبة في الجزء الجنوبي الغربي والتي يتراوح درجة تباينها بين (3، 4 يوم) وتشغل مساحة (2948 كم<sup>2</sup>) ونسبة (19.34%) من المنطقة .
- 2- **الرتبة الثانية** : تظهر صورتها المكانية في الاقسام الوسطى والجنوبية الشرقية والغربية والتي يتراوح درجة تباينها بين (4.1، 7 يوم) وتشغل مساحة (5040 كم<sup>2</sup>) ونسبة (33.07%) من المنطقة .
- 3- **الرتبة الثالثة** : تتمثل هذه الرتبة بشكل واسع ولاسيما في الاقسام الشمالية الغربية والجنوبية الشرقية والتي يتراوح درجة تباينها بين (7.1، 10.0 يوم) وتشغل مساحة (7253 كم<sup>2</sup>) ونسبة (47.59%) من المنطقة .

خريطة (3-13) التباين المكاني للغبار المتصاعد (يوم) في منطقة الدراسة



المصدر: اعتماداً على بيانات الجدول (3-26) وباستخدام برنامج Arc Gis 10.3 .

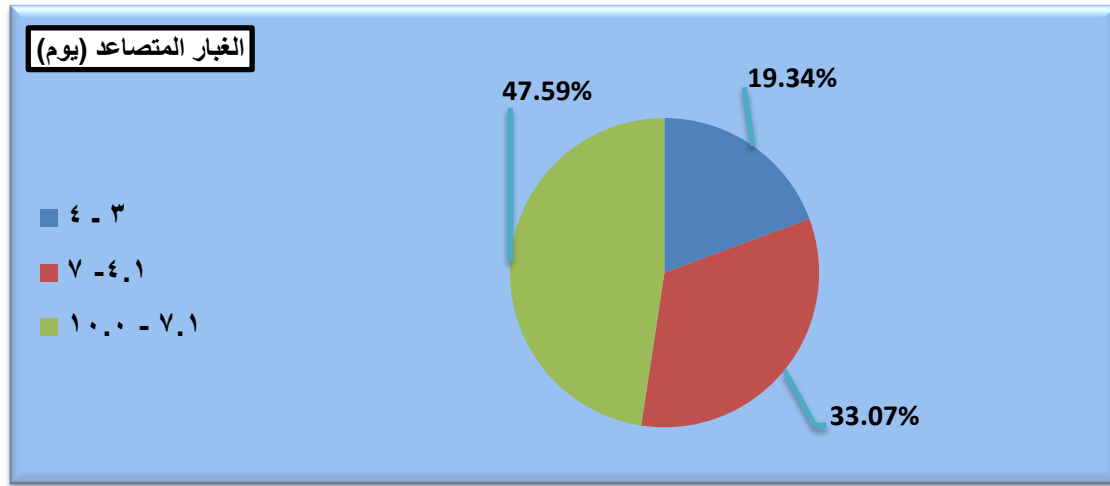
### الفصل الثالث / وصف المناخ واثره في تكوين الاشكال الارضية في منطقة الدراسة

جدول (3-27) المساحة والنسبة المئوية للغبار المتصاعد (يوم) في منطقة الدراسة

النسبة المئوية %	المساحة كم2	الغبار المتصاعد يوم
19.34%	2948	4 - 3
33.07%	5040	4.1 - 7
47.59%	7253	7.1 - 10.0
100	15241	المجموع

المصدر: بالاعتماد على جدول (3-26) باستخدام برنامج Arc Map10.3

شكل (3-32) النسبة المئوية (%) للغبار المتصاعد (يوم) في منطقة الدراسة



المصدر: بالاعتماد على جدول (3-27).

#### 3-1-3-3 ظاهرة الجفاف Drought phenomenon

ظاهرة طبيعية مناخية متكررة من الصعب التنبؤ بحدوثها أو مدّة دوامها وشدتها فكلها مرتبطة بعوامل كونية تتعلق بالغلاف الغازي بأكمله<sup>(1)</sup> وتتأثر في العناصر المناخية الحرارة وانخفاض الرطوبة وزيادة سرعة الرياح وقلة الامطار، ومن هنا يمكن أن نحدد مفهومه الشامل على أنه القصور في الموارد المائية لفترة طويلة أو قصيرة بسبب انخفاض كمية التساقط عن معدلاتها الطبيعية إذ ترتفع فيها درجات الحرارة مما تعمل على تبخر جميع أنواع التساقط فتؤدي إلى ارتفاع معدلات التبخر على حساب معدلات الأمطار. كما إن العلاقة بين الأمطار الساقطة والحرارة هي التي تحدد كمية التبخر، وهذا الأخير يمكن استعماله لتحديد ظاهرة الجفاف بصورة دقيقة ، فالأمطار من شأنها التقليل من درجات الحرارة بسبب حاجة التبخر للطاقة الحرارية<sup>(2)</sup>.

#### 3-1-3-3 أسباب الجفاف Causes Drought:

(1) الياس جبور، الكوارث المناخية في الجمهورية العربية السورية - الجفاف، ط1، دار الرضا للنشر، دمشق، 2003، ص 30 .

(2) عبد مخور نجم الرياحي، ظاهرة التصحر في العراق وآثارها في استثمار الموارد الطبيعية، أطروحة دكتوراه (غير منشورة)، كلية الآداب، جامعة بغداد، 1986، ص 53.

### 3-3-1-3-1-1-1-3-1-3-3 Drought of Natural Causes الاسباب الطبيعية للجفاف

تتضمن الاسباب الطبيعية تحت مظلة المناخ، لان الجفاف يحل مع انقطاع الامطار وتراجعها ولاسيما اذا ما تطرفت عناصر المناخ كعوامل تعجل في ظهور الجفاف، ومن اهم الاسباب الطبيعية المسببة للجفاف هي:

- 1- انخفاض معدل تساقط الأمطار في منطقة ما عن المعدل الطبيعي، مما يؤثر على الإنتاج الزراعي بشكل عام ، ويتسبب بالجفاف وانعكاسه على العمليات الجيومورفية.
- 2- ارتفاع درجات الحرارة مما ينعكس سلباً على البيئة بارتفاع نسبة معدل التبخر، وهناك عوامل أخرى تزيد من معدل التبخر مثل عدم قدرة التربة على تخزين الماء، ويرجع ذلك لمساميتها وطبيعتها.

### 3-3-1-3-1-2-1-3-1-3-3 Drought of Human Causes الاسباب البشرية للجفاف

ان الانسان الذي يعيش في المناطق شبه الجافة بل وشبه الرطبة، قد اصبح من بين العوامل الرئيسية التي تسبب في تحول تلك المناطق الى الجفاف، اي الى صحراء جرداء وتلك منبع مشكلة التصحر، فالإنسان قد زال الكثير من الغطاء النباتي من خلال الرعي الجائر والغلو في التحطيب وبذلك احدث الجفاف<sup>(1)</sup>. او تجفيف وتحويل مسارات الموارد المائية ومنع وصولها الى مناطق تصريفها كما حصل في جنوبي العراق منها منطقة الدراسة اذ تم تجفيف الالهوار وتحويل مياهها عنها فتعرضت الى الجفاف، او بناء السدود العملاقة ضمن دول المنبع لحجز المياه ومنع وصولها الى دول المصب كما يحصل الآن في العراق، وقد تتضافر العوامل الطبيعية مع الجهود البشرية لحصول الجفاف.

### 3-3-1-3-1-3-3-3 طريقة تصنيف نوع المناخ السائد في الدراسة الحالية:

ان ظاهرة الجفاف لا توجد في الطبيعة امكانية لرصدها مباشر مثل ظاهرة العواصف الغبارية وانما يتم ايجادها بطرق احصائية ووفق نماذج متعددة، اذ يتم توظيف العناصر المناخية المقاسة وبعد معالجتها يمكن ايجاد ظاهرة الجفاف وطبيعة اتجاهها وتحديد شدتها بعد ان يتم مقارنتها مع دليل معد لذلك، ومدتها ودوريتها وامكانية التنبؤ المستقبلي بحصولها، ومن هنا تعددت ادلة احتساب الجفاف وسبل تطبيقه وهي ادلة متعددة المطالب ومدخلاتها من حيث العناصر الداخلة في حسابها في حسابها فبعضها مقتصرة على عنصر واحد واخرى متعددة، وهذا نتيجة لتعدد مدى الفائدة من استخراج الدليل اذ منها ادلة الجفاف المناخي والهيدرولوجي والزراعي، لكن إن مختلف المعايير لمعاملات الجفاف يمكن ان تبحث التالي :

- 1- معاملات تبحث العلاقة ما بين الأمطار ودرجات الحرارة خلال العام أو لفترات زمنية مختلفة .
- 2- معاملات مبنية على علاقة الأمطار بالتبخر نتج .
- 3- معاملات مبنية على علاقة الامطار والتصريف ورطوبة التربة.

(1) محمد ابراهيم حسن، مقومات التصحر واشكال الكثبان الرملية، المكتبة المصرية، الاسكندرية، 2014، ص34.



## الفصل الثالث / وصف المناخ واثره في تكوين الاشكال الارضية في منطقة الدراسة

ومن جانباً آخر اختلفت ادلة الجفاف في ما يأتي:

- 1- حسب طبيعة العناصر الداخلة في ايجاد الجفاف منها تعتمد على عنصر او لعدة عناصر.
  - 2- منها القديمة التطبيق والحديثة التي ربما طورت او عدلت بإمكانية ايجادها في برنامج معد لذلك بما يخدم سرعة المعالجة ودقتها ناهيك عن طبيعة متغيرات هذه المعادلات وصياغاتها.
  - 3- حسب قياس النتائج منها تعتمد معياراً واحد اما جافة او رطبة ومنها تعتمد دليلاً ذا فئات متعددة، اي ما معناه ان الاولى هي ذات تعميم ونتائجها غير دقيقة تفصيلاً في تحديد الجفاف.
  - 4- حسب طبيعة تطبيقها فمنها اشتقت لتمثيل بيئاتها المناخية.
  - 5- حسب عدد الاشهر المقاسة لظاهرة الجفاف ويعتمد هذا على طبيعة التساقط.
- وهناك كثير من أدلة الجفاف مثل معامل كوسين ولانج وكوين ديمارتون و ثورنثويت ومعامل جفاف كابوت ري وسوف نكتفي بتصنيف معامل الجفاف (D) .
- معامل الجفاف (D)<sup>(1)</sup>** الذي يعد من أفضل وأدق أدلة الجفاف. والتي تم اعتمادها من قبل منظمة الفاو واليونيسكو والارصاد الجوية وهي من المعادلات ذات النتائج الدقيقة والمعمول بها حالياً لاسيما عند استخراج التبخر نتح وفقاً لبنمان مونتث الذي هو من شروطها المحددة. وهي وفقاً للتالي:

$$D = \frac{P}{ET}$$

حيث إن:

P = المطر السنوي (مم)

ET = التبخر نتح السنوي (مم)\*

جدول (3-28) تقسيم مناطق الجفاف حسب معامل الجفاف (D)

وصف المنطقة	معامل دليل D
عالية الجفاف	أقل من 0.03
جافة	0.03-0.20
شبه جافة	0.20-0.50
شبه رطبة	0.50-0.75
رطبة	0.75-1.0
رطبة جداً	أكبر من 1

المصدر: الياس جبور، الكوارث المناخية في الجمهورية العربية السورية ، سلسلة الرضا ، دمشق، 2003 ص 48

تبيين من تحليل الجدول (3-29) والشكل (3-33) ان محطة السماوة هي منطقة جافة وشهدت السنوات العالية الجفاف (1985، 1990، 2007) وبلغ مقدار الجفاف (0.02 ملم) اما محطة الناصرية ايضاً

(1) الياس جبور، الكوارث المناخية في الجمهورية العربية السورية، مصدر سابق، ص 48

\* التبخر نتح وفق بنمان مونتث باستخدام برنامج (CROPWAT 8.0)

### الفصل الثالث / وصف المناخ واثره في تكوين الاشكال الارضية في منطقة الدراسة

منطقة جافة وشهدت السنوات (1990، 2009، 2010) هي سنوات عالية الجفاف وبلغ مقدارها (0.02 ملم) اما محطة النجف فشهدت السنوات العالية الجفاف (1990، 2007) وبلغ مقدارها (0.02 ملم) وفي محطة الديوانية شهدت السنوات (1983، 1990، 2007، 2008، 2009، 2010) وبلغ مقدارها (0.02 ملم). تبين من الجدول (3 - 30) بتطبيق معادلة ديمارتون (\*) للأشهر المطيرة وغير المطيرة في منطقة الدراسة ويتضح ان الاشهر (حزيران ، تموز ، اب) هي اشهر جافة وفق تصنيف ديمارتون في منطقة الدراسة . اما الاشهر (ايلول ، تشرين الاول ، نيسان ، ايار) هي اشهر جافة فبلغ معامل جفافها (0.06 ، 1.72 ، 3.78 ، 2.17) على التوالي لمحطة السماوة . اما الاشهر الجافة في محطة الناصرية (ايلول ، تشرين الاول ، ايار) فسجلت نحو (0.24 ، 1.77 ، 2.25) على التوالي ، اما الاشهر الجافة في محطة النجف والديوانية (ايلول ، تشرين الاول ، اذار ، نيسان ، ايار) فسجلت نحو (0.0 ، 1.35 ، 4.51 ، 4.75 ، 1.36) لمحطة النجف، وسجلت نحو (0.13 ، 1.29 ، 4.23 ، 4.94 ، 1.01) في محطة الديوانية. اما الاشهر شبه جافة في محطة السماوة (تشرين الثاني ، كانون الاول ، شباط ، اذار) وبلغ معامل جفافها نحو (8.80 ، 6.79 ، 6.75 ، 6.22) على التوالي . اما محطة الناصرية (كانون الاول ، شباط ، اذار ، نيسان) هي اشهر شبه جافة وبلغ معامل جفافها نحو (9.88 ، 7.38 ، 7.18 ، 5.64) على التوالي ، والاشهر شبه الجافة في محطة النجف (تشرين الثاني ، كانون الاول ، كانون الثاني ، شباط) وبلغ معامل جفافها نحو (5.63 ، 7.75 ، 8.41 ، 7.11) على التوالي . اما الاشهر شبه جافة في محطة الديوانية (تشرين الثاني ، كانون الاول ، شباط) فبلغ فيها معامل الجفاف نحو (7.15 ، 7.6 ، 7.30) . اما الشهر الذي كان رطباً (كانون الثاني) في المحطة (السماوة ، الديوانية) فسجل نحو (12.44 ، 11.23) على التوالي ، اما الاشهر الرطبة في محطة الناصرية (تشرين الثاني ، كانون الثاني) فسجلت نحو (11.27 ، 11.08) على التوالي ، ولقد اعتمدت طريقة التصنيف المناخي الحالي وحسب معامل الجفاف (D) وتبين ان نوع المناخ السائد في المنطقة هو جاف وشبه جاف (B) وفق معامل ديمارتون لشهر السنة كانت جميع الاشهر التي تتراوح بين الوصف جاف وشبه جاف وماعدا الاشهر التي تبين فيها نوع المناخ الرطب ( تشرين الثاني ، كانون الثاني) ويؤدي الى نشاط التجوية الكيميائية.

(\*) لقد وصفت هذا المعادلة بأنها قليلة الخطأ في التعرف على المناطق الجافة وشبه الجافة ، لان قلة الامطار وعلاقتها بالحرارة السائدة تؤثر في قيم التبخر وحالة النبات الطبيعي ، ومن ثم تحديد نوع المناخ لكل شهر اذا كان جاف او شبه جاف او رطب حسب معامل ديمارتون:

$$\text{معامل الجفاف لشهر معين} = \frac{\text{معدل امطار ذلك الشهر ملم}}{\text{معدل درجة الحرارة لنفس الشهر } ^\circ\text{C} + 10} \times 12$$

اذ ان :

رقم (10) ثابت في المعادلة والرقم (12) يمثل عدد الاشهر :فإذا كان الناتج اقل من (5) يعد شهراً جافاً، (5-10) شبه جاف ، وكثر من (10) رطب . المعرفة المزيد بنظر : علي صاحب طالب الموسوي ، عبد الحسين مدفون ابو رحيل ، مناخ العراق ، ط1 ، مطبعة الميزان ، النجف الاشرف ، 2013، ص333.

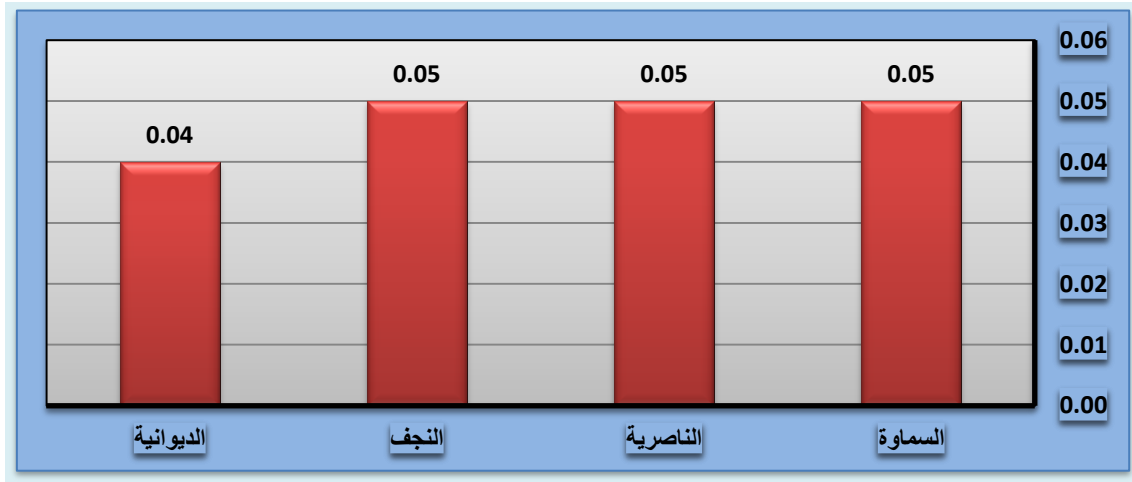
### الفصل الثالث / وصف المناخ واثره في تكوين الاشكال الارضية في منطقة الدراسة

يتضح من الخريطة (3-14) والجدول (3-30) والشكل (3-34) ان التباين المكاني لمعامل الجفاف (D) في منطقة الدراسة وتقسم بياناته على شكل رتب كما يلي :

1- **الرتبة الاولى** : تتمثل هذه الرتبة في الاقسام الشمالية الشرقية والغربية والتي يتراوح درجة تباينها بين (0.045، 0.04 ملم) وتشغل مساحة (4642 كم<sup>2</sup>) وبنسبة (30.46%) من المنطقة .

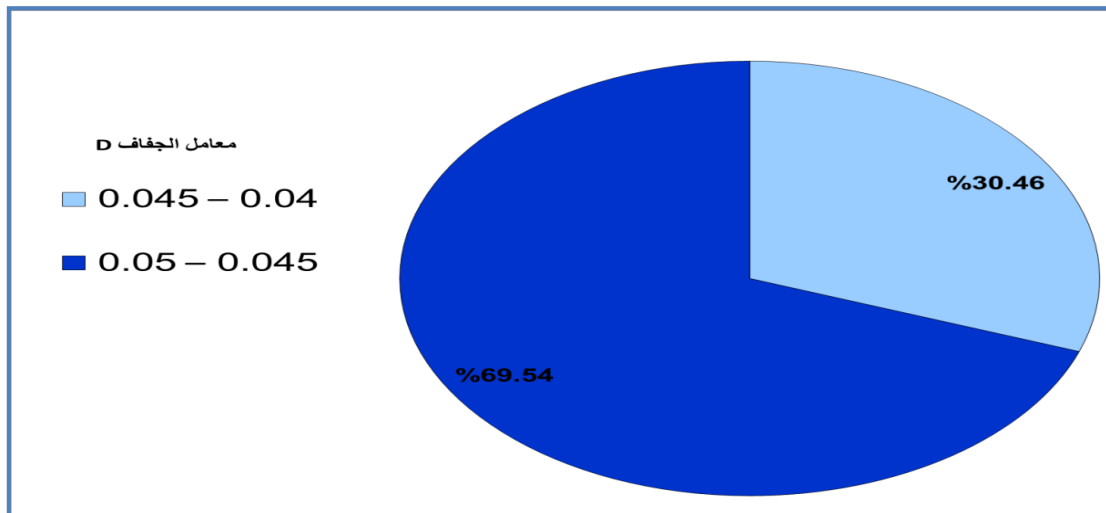
2- **الرتبة الثانية**: امتدت صورتها المكانية بشكل واسع في الاقسام الوسطى والجنوبية الشرقية والغربية والتي يتراوح درجة تباينها بين (0.05، 0.045 ملم) وتشغل مساحة (10599 كم<sup>2</sup>) وبنسبة (69.54%) من المنطقة . تبين من خلال ذلك التباين في معامل الجفاف ان منطقة الدراسة شهدت سنوات عالية الجفاف وهذا يدل على وجود زيادة في ظاهرة الجفاف وبسبب قلة الامطار وارتفاع درجات الحرارة وانخفاض الرطوبة النسبية في المنطقة يؤدي الى نشاط العمليات الجيومورفية ولاسيما التعرية الريحية وبالتالي تكوين المظاهر الأرضية ولاسيما الكثبان الرملية في منطقة الدراسة .

شكل (3-33) معامل الجفاف السنوي (D) في منطقة الدراسة للمدة (1980 - 2016) .



المصدر: بالاعتماد على جدول (3-29)

شكل (3-34) النسبة المئوية (%) لظاهرة الجفاف في منطقة الدراسة



المصدر: بالاعتماد على جدول (3-31)

## الفصل الثالث / وصف المناخ واثره فى تكوين الاشكال الارضية فى منطقة الدراسة

جدول (3-29) معامل الجفاف السنوي (D) فى منطقة الدراسة للمدة (1980-2016) .

السنة	السموة	المنطقة ج	المنطقة د	المنطقة هـ	المنطقة و	المنطقة ز	المنطقة ح	المنطقة ط
1980	0.04	جافة	0.04	جافة	0.06	جافة	0.04	جافة
1981	0.03	جافة	0.05	جافة	0.03	جافة	0.03	جافة
1982	0.04	جافة	0.05	جافة	0.09	جافة	0.05	جافة
1983	0.03	جافة	0.03	جافة	0.06	جافة	0.02	عالية الجفاف
1984	0.03	جافة	0.06	جافة	0.06	جافة	0.03	جافة
1985	0.02	عالية الجفاف	0.03	جافة	0.03	جافة	0.03	جافة
1986	0.07	جافة	0.09	جافة	0.06	جافة	0.05	جافة
1987	0.04	جافة	0.03	جافة	0.08	جافة	0.05	جافة
1988	0.04	جافة	0.04	جافة	0.08	جافة	0.05	جافة
1989	0.03	جافة	0.04	جافة	0.05	جافة	0.04	جافة
1990	0.02	عالية الجفاف	0.02	عالية الجفاف	0.01	عالية الجفاف	0.01	عالية الجفاف
1991	0.06	جافة	0.08	جافة	0.03	جافة	0.05	جافة
1992	0.07	جافة	0.05	جافة	0.06	جافة	0.04	جافة
1993	0.08	جافة	0.05	جافة	0.09	جافة	0.08	جافة
1994	0.07	جافة	0.06	جافة	0.08	جافة	0.06	جافة
1995	0.06	جافة	0.05	جافة	0.04	جافة	0.04	جافة
1996	0.05	جافة	0.07	جافة	0.05	جافة	0.05	جافة
1997	0.09	جافة	0.08	جافة	0.09	جافة	0.05	جافة
1998	0.09	جافة	0.08	جافة	0.05	جافة	0.05	جافة
1999	0.11	جافة	0.07	جافة	0.03	جافة	0.04	جافة
2000	0.05	جافة	0.05	جافة	0.03	جافة	0.10	جافة
2001	0.03	جافة	0.03	جافة	0.04	جافة	0.04	جافة
2002	0.03	جافة	0.06	جافة	0.04	جافة	0.08	جافة
2003	0.04	جافة	0.05	جافة	0.07	جافة	0.05	جافة
2004	0.04	جافة	0.05	جافة	0.03	جافة	0.03	جافة
2005	0.03	جافة	0.05	جافة	0.04	جافة	0.05	جافة
2006	0.07	جافة	0.11	جافة	0.10	جافة	0.05	جافة
2007	0.02	عالية الجفاف	0.06	جافة	0.02	عالية الجفاف	0.02	عالية الجفاف
2008	0.03	جافة	0.03	جافة	0.04	جافة	0.02	عالية الجفاف
2009	0.03	جافة	0.02	عالية الجفاف	0.04	جافة	0.02	عالية الجفاف
2010	0.03	جافة	0.02	عالية الجفاف	0.03	جافة	0.02	عالية الجفاف
2011	0.03	جافة	0.04	جافة	0.04	جافة	0.04	جافة
2012	0.05	جافة	0.05	جافة	0.03	جافة	0.04	جافة
2013	0.12	جافة	0.08	جافة	0.03	جافة	0.03	جافة
2014	0.05	جافة	0.06	جافة	0.03	جافة	0.04	جافة
2015	0.08	جافة	0.07	جافة	0.03	جافة	0.04	جافة
2016	0.10	جافة	0.07	جافة	0.03	جافة	0.04	جافة
المعدل	0.05		0.05		0.05		0.04	

المصدر: بالاعتماد على ملحق (1) و (2) و (3) و (4)

## الفصل الثالث / وصف المناخ وآثره في تكوين الاشكال الارضية في منطقة الدراسة

جدول (3-3) نوع المناخ ومعامل الجفاف للأشهر المطيرة وغير المطيرة وفق معادلة ديمارتون في منطقة الدراسة للمدة (1980-2016)

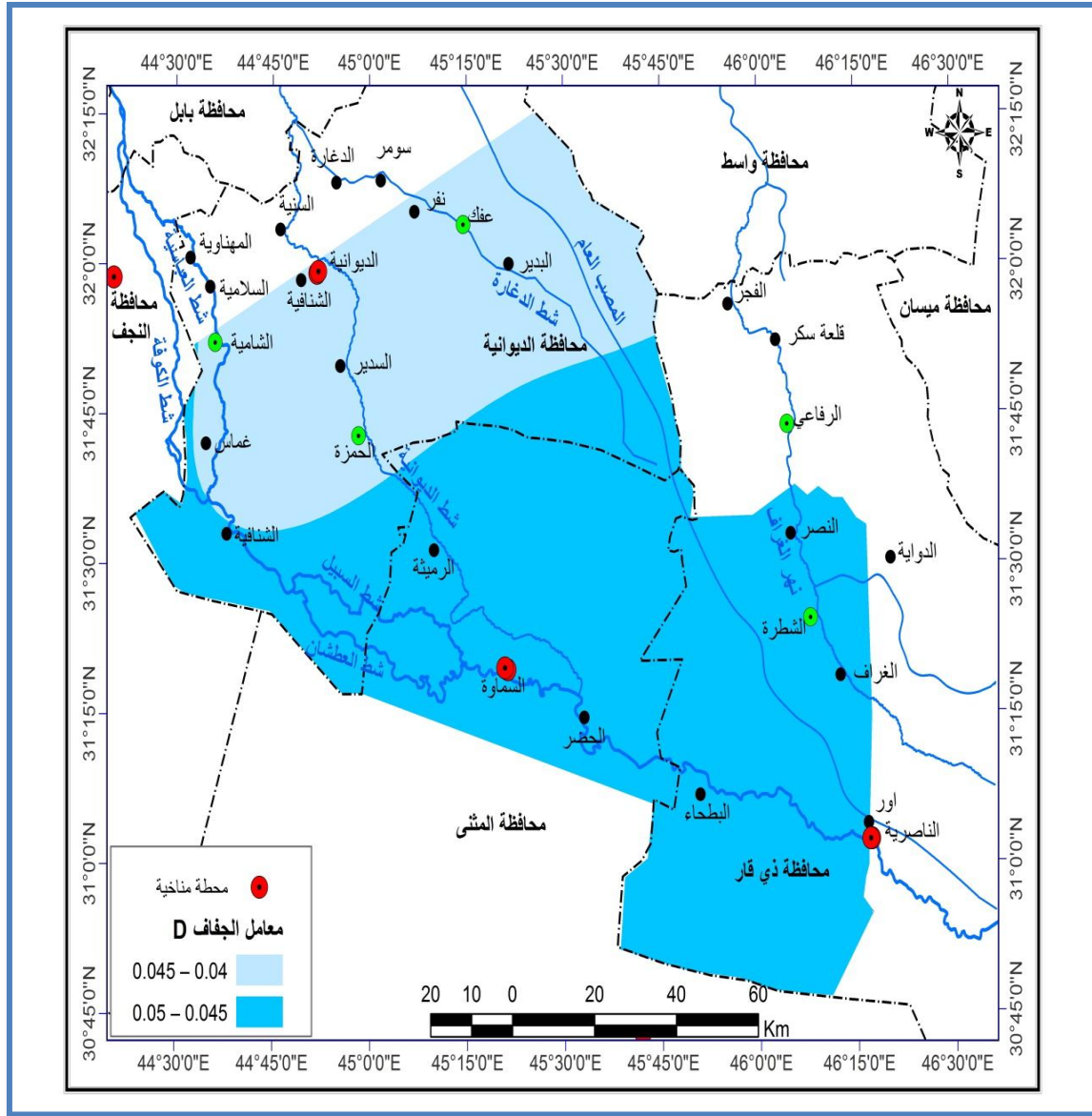
الشهر المحطة	1 أيلول	2 ت	3 ن	4 أ	5 أيار	6 حزيران	7 تموز	8 أب	المعدل
السماوة	معدل الحرارة (م)	32.4	26.9	19.3	13.5	11.5	14.0	18.7	24.9
	معدل الأمطار (ملم)	0.2	5.3	21.5	13.3	22.3	13.5	14.9	9.1
	معامل الجفاف	0.06	1.72	8.80	6.79	12.44	6.75	6.22	0.0
	التصنيف	جاف	جاف	شبه جاف	شبه جاف	رطب	شبه جاف	جاف	جاف
الناصية	معدل الحرارة (م)	33.5	27.8	19.8	13.8	12.2	14.7	19.4	25.6
	معدل الأمطار (ملم)	0.9	5.6	28.0	19.6	20.5	15.2	17.6	11.0
	معامل الجفاف	0.24	1.77	11.27	9.88	11.08	7.38	7.18	0.0
	التصنيف	جاف	جاف	رطب	شبه جاف	رطب	شبه جاف	شبه جاف	جاف
التجف	معدل الحرارة (م)	32.8	26.5	18.3	12.9	11.1	13.6	18.2	24.7
	معدل الأمطار (ملم)	0.0	4.1	13.3	14.8	14.8	14.0	10.6	7.5
	معامل الجفاف	0.0	1.35	5.63	7.75	8.41	7.11	4.51	0.0
	التصنيف	جاف	جاف	شبه جاف	شبه جاف	شبه جاف	شبه جاف	جاف	جاف
الديوانية	معدل الحرارة (م)	33.5	28.1	19.7	14.0	12.0	14.3	19.2	25.6
	معدل الأمطار (ملم)	0.5	4.1	17.7	15.2	20.6	14.8	10.3	8.4
	معامل الجفاف	0.13	1.29	7.15	7.6	11.23	7.30	4.23	0.0
	التصنيف	جاف	جاف	شبه جاف	شبه جاف	رطب	شبه جاف	جاف	جاف

المصدر : بالاعتماد على جدول (3-3) و (3-2) وفق معادلة ديمارتون



## الفصل الثالث / وصف المناخ واثره فى تكوين الاشكال الارضية فى منطقة الدراسة

خريطة (3-14) التباين المكاني لظاهرة الجفاف في منطقة الدراسة



المصدر: اعتماداً على بيانات الجدول (3-29) وباستخدام برنامج Arc Gis 10.3

جدول (3-31) المساحة والنسبة المئوية لظاهرة الجفاف في منطقة الدراسة

معامل الجفاف D	المساحة / كم <sup>2</sup>	النسبة المئوية %
0.04 – 0.045	4642	30.46
0.045 – 0.05	10599	69.54
المجموع	15241	100

المصدر: بالاعتماد على جدول (3-29) باستخدام برنامج Arc Map 10.3

## الفصل الرابع

### تحليل العلاقة بين الخصائص الطبيعية والعمليات الجيومورفية في منطقة الدراسة

المبحث الاول  
العمليات الجيومورفية السائدة في منطقة الدراسة

المبحث الثاني  
العلاقات الرياضية (الاحصائية) بين الخصائص المناخية  
والعمليات الجيومورفية في منطقة الدراسة

المبحث الثاني  
التوزيع الجغرافي للأشكال المورفومناخية في منطقة الدراسة

## المبحث الاول

### العمليات الجيومورفية السائدة في منطقة الدراسة

#### تمهيد

تعد المظاهر الارضية في منطقة الدراسة انعكاساً للتطور الجيومورفي عبر تاريخها الجيولوجي الطويل وللارتباط الكبير بين العملية الجيومورفية ونوع المناخ السائد فان نوع العمليات الجيومورفية من حيث شدتها وقوتها ومعدلها يختلف بحسب طبيعة الظروف المناخية الامر الذي انعكس على تباين الاشكال الارضية في المنطقة و للعمليات المورفومناخية والعمليات المورفوداينميكية تأثير كبير على تكوين المظاهر الارضية، وسيتم دراسة العوامل الخارجية ولاسيما العناصر المناخية وتأثيرها في تشكيل المظهر الارضي أو ما يطلق عليه الجيومورفولوجيا المناخية التي تتناول دراسة التأثيرات المناخية على الأشكال الأرضية لأن لكل مناخ ينشأ عنه نوع معين من الأشكال الأرضية، وقد وضع أصول هذا العلم الألماني بيدل (Budel) عام 1963 حيث تناول دراسة المناخ القديم والمعاصر وعني بالتحليل التاريخي لأشكال السطح . لا يقتصر دور المناخ على تطور الأشكال الأرضية وإنما يظهر أثره في نشأة أشكال أرضية معينة تحت ظروف مناخية محددة ، وتعد هذه المدرسة من أحدث مدارس الجيومورفولوجيا ويُعدّ دي مارتون في فرنسا أول من استعمل هذا المصطلح عام 1940 على الرغم من أن جذور هذا العلم ترجع إلى ديفز عند كتابته عن الدورة التحتانية في المناطق المعتدلة لها سطح الأرض أطلق عليها (Climaticaccidents)<sup>(1)</sup> .

#### 1-1-4 العمليات الجيومورفية Geomorphic Processes

تعمل هذه العمليات بنشاط طبيعي تقوم بإنجازه قوة أو طاقة يطورها أي عامل جيومورفولوجي بسبب خصائصه الذاتية نفسها أو التي يكتسبها من الوسط البيئي الذي يوجد فيه . والتي لها دور كبير في تغير المظاهر الارضية وتكون عمليات متداخلة مع بعضها ولاسيما عمليات التجوية (الفيزيائية والكيميائية) والتعرية (المائية والريحية) وعملية الارساب<sup>(2)</sup> .

#### 1-1-1-4 العمليات المورفوتكتونية (التركيبية) Morphotictonic Processes

يعرف علم المورفوتكتونك بأنه التفسير التكويني لأشكال سطح الأرض وذلك عن طريق التركيز على دراسة اصل تلك المظاهر وعلاقتها بالعمليات التكتونية<sup>(3)</sup> . الناتجة عن عمليات الضغط والشد وطبيعة البنية الصخرية في المنطقة وهذا يؤدي الى ظهور عمليات التجوية والتعرية السائدة في منطقة الدراسة<sup>(4)</sup> .

(1) حسن سيد أبو العينين، أصول الجيومورفولوجيا دراسة الأشكال الأرضية لسطح الأرض، ط11، الاسكندرية، 1995، ص120.

(2) حسن رمضان سلامة، اصول الجيومورفولوجيا، مصدر سابق، ص412.

(3) قاسم يوسف شتيت ، دراسه جيومورفولوجيه للواديان الجافه غرب الفرات وادي الغدق، رسالة ماجستير (غير منشوره)، كلية التربية، جامعة بغداد، 1995 ، ص104.

(4) Roberts S.Anderson , Douglas..Burbank, Tectonic Geomorphology , Blackwell Pub,2001,P53-82.

أذ تقوم الدراسة المورفوتكتونية على أساس البنية التركيبية وما يرافقها من مظاهر على سطح الأرض. إذ إن معظم مظاهر سطح الأرض تتكون بفعل عمليات التجوية والتعرية بأنواعها.

#### 4-1-1-1-1 طبيعة التكوينات الصخرية

تظهر في منطقة الدراسة أنواع من الصخور المختلفة باختلاف تكويناتها الصخرية. إذ إن المظاهر الأرضية المتباينة تعكس طبيعة الصخور وكيفية تواجدها في منطقة الدراسة. وتظهر الترسبات المتمثلة بالصخور الكلسية وصخور الدولومايت المتبلور والصخور الرملية المترسبة بشكل أفقي صلب مع صخور فتاتية أقل صلابة متمثلة بصخور المارل والصخور الطينية التي تؤدي لعمليات التجوية والتعرية بأنواعها<sup>(1)</sup>. إن عدم التجانس الصخري له أثره في تشكيل المظهر الأرضي. وطبيعة الصخور الرملية والجيرية ذات الشقوق والانكسارات تعمل على تسهيل حركة المياه الجوفية والاختراق لعمل على إذابة المادة اللاصقة وتكوين مناطق ضعف صخري، يجعلها ضعيفة المقاومة للعمليات الجيومورفية. فإذا كانت الطبقات الصخرية مكونة من طبقة صلبة تعقبها طبقات هشة متأثرة بالحركات الصدعية تنتج عنها حافات صخرية عالية شديدة الانحدار وأودية عنيفة. إما إذا كانت غير متجانسة وفتاتية يظهر عنها أشكال أرضية سهلية<sup>(2)</sup>. واثراً البنية الصخرية المتمثلة بالفوالق والشقوق المؤدية إلى زيادة المساحة السطحية للصخور. ودخول الماء المحمل بالأحماض إلى الصخور عن طريق المفاصل الموجودة مما يؤدي إلى ظهور أشكال أرضية كارستية في الصخور الجيرية. تكون الشقوق والفواصل من مظاهر الضعف الصخري لارتباطه بالعمليات التجوية والتعرية التي أسهمت في تشكيل المظاهر الأرضية<sup>(3)</sup>.

#### 4-1-1-2 التراكيب الخطية

هي الفواصل والصدوع الرئيسة والثانوية المنتشرة في منطقة الدراسة. ويعبر عنها بالاستطاليات إذا اقترنت بحركة، تتميز بأنها ظواهر سطحية خطية بسيطة أو مركبة قابلة للرسم وتكون أجزائها مصطفة بخطوط مستقيمة أو منحنية قليلاً وتختلف عن أشكال الظواهر المجاورة وقد تعكس أحداثاً جيولوجية موجودة تحت سطح الأرض، فضلاً عن أنها تختلف في أطوالها التي تعكس عمق امتداداتها ومدى قوة الحركات الأرضية الداخلية<sup>(4)</sup>. تصنف الظواهر الخطية عادةً بحسب أطوالها، فإذا كانت أقل من (2 كم) تسمى بالتراكيب الخطية القصيرة، وإذا كانت من (2 - 10 كم) تسمى بالتراكيب الخطية الطويلة، وتسمى

(1) آرثر ان . ستريهلر "أشكال سطح الأرض"، دراسة جيومورفولوجية" تعريب وفيق حسين الخشاب، 1964، ص 242

(2) عبدالله صبار العجيلي، وديان غرب بحيرة الرزاة الثانوية والأشكال المتعلقة بها دراسة في الجغرافية الطبيعية، أطروحة دكتوراه، غير منشورة، كلية الآداب، جامعة بغداد، 2005، ص 56.

(3) جنان منصور كورنيل، دراسة التراكيب الخطية لسهل الحماد غرب العراق وأهميتها التكتونية، رسالة ماجستير، غير منشورة، كلية العلوم، جامعة بغداد، 2000، ص 34.

(4) ثائر مظهر فهمي العزاوي، تكتونية غرب الفرات من خلال تفسير الصور الفضائية والمعلومات الجيولوجية، رسالة ماجستير (غير منشورة)، جامعة بغداد، كلية العلوم، 1988، ص 33

## الفصل الرابع / تحليل العلاقة بين الخصائص الطبيعية والعمليات الجيومورفية في منطقة الدراسة

الاستطلايات إذا كانت أكثر من (10 كم) <sup>(1)</sup> . من خلال تفسير المرئية الفضائية ومقارنتها والخريطة الجيولوجية والتضاريسية . تم رسم وتحديد الصدوع باستخدام البرامج (ARC-GIS10.3) تنتشر في أغلب منطقة الدراسة أذ تم تحديد (52) ظاهرة خطية كما موضح في الخريطة (1-4) والشكل (1-4) و(2-4) والجدول (1-4). تم تحديد امتدادات الظواهر الخطية واثرها في جيومورفية المنطقة وهي :

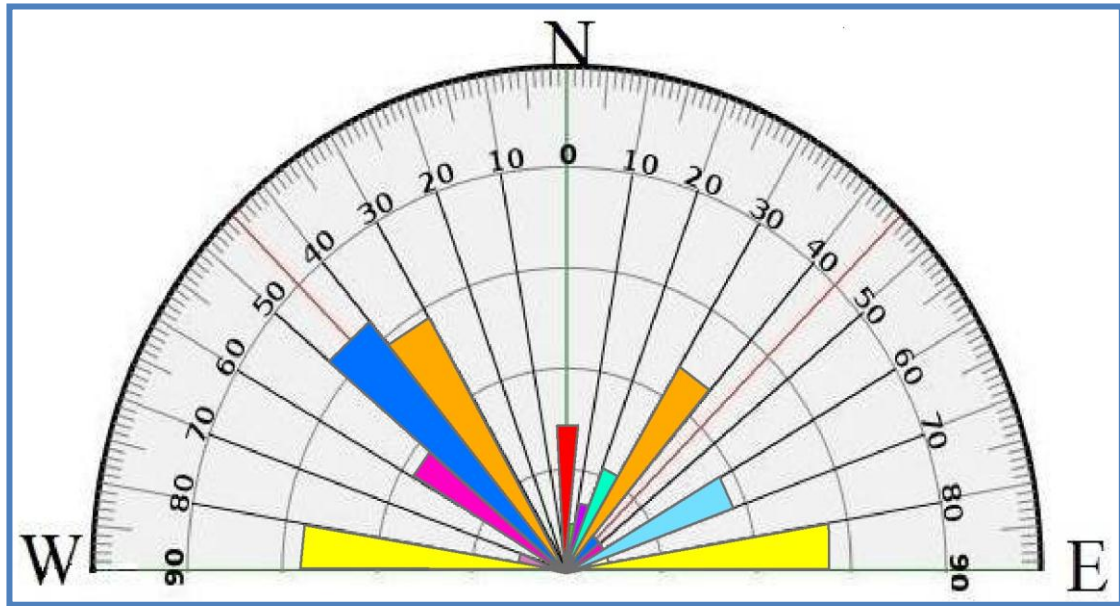
1- التراكيب الخطية ذات الاتجاه شمال الشرق: بلغت (21) تركيباً خطياً أي بنسبة (37.5%) من مجموع تكرار التراكيب الخطية لمنطقة الدراسة ، وبطول (43.8 كم) وبنسبة (47.5%).

2- التراكيب الخطية ذات الاتجاه شمال الغرب : شكلت (23) تكرارات للتراكيب خطية وصلت بنسبة تكرارها (41.1%) من مجموع تكرارات التراكيب، وبطول (34.3 كم) ، ونسبة (36.8%).

3- التراكيب الخطية ذات الاتجاه شمال الجنوب : فقد شكلت نسبة تكرار قدرها (7.1%) وبلغ عددها (4) تراكيب خطية، وبلغت مجموع اطوالها (5.3 كم) وبنسبة قدرها (5.7%) .

4- التراكيب الخطية ذات الاتجاه شرق غرب : فقد سجلت (8) ظواهر خطية أي بنسبة (14.3%) من مجمل تكراراتها ، وبطول (9.3 كم) وبنسبة (10.0%). تبين من ذلك ان التراكيب الخطية لها اثر في تباين المظاهر الارضية في المنطقة التي تعمل على إضعاف التكوينات الصخرية ذات الشكل الطبقي في منطقة الدراسة مما جعلها تنشط العمليات الجيومورفية التجوية والتعرية . نتيجة هذه الظواهر نشأت الصدوع المتوازية الهابطة التي كونت العديد من المظاهر منها المنخفضات والسبخات في المنطقة.

شكل (1-4) المخطط الاشعاعي التكراري للظواهر الخطية في منطقة الدراسة



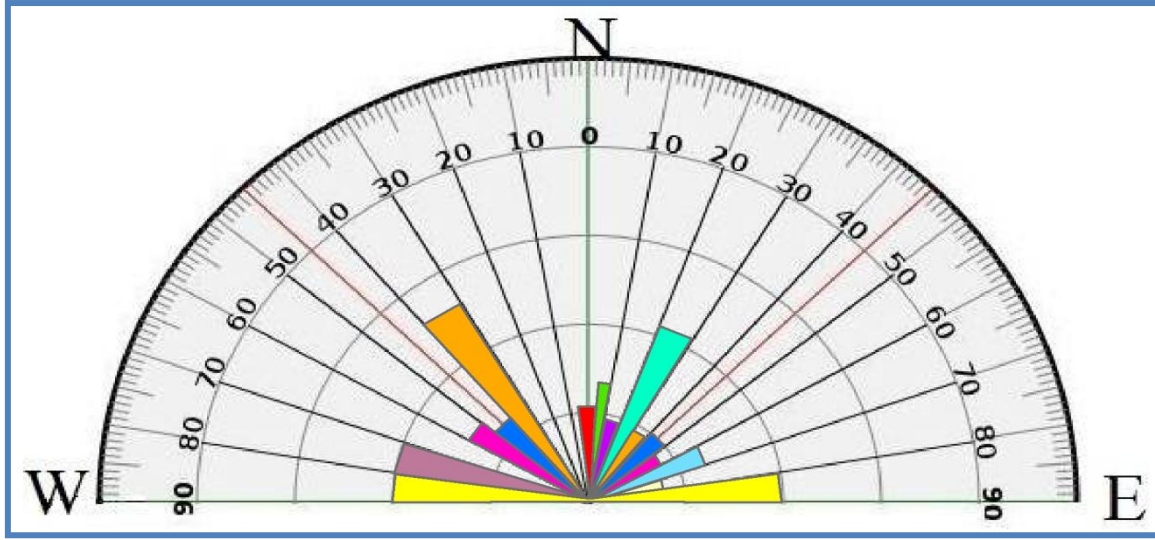
المصدر: بالاعتماد على جدول (1-4)

(1) فرج أحمد سليمان، دراسة تركيبية لأنظمة الكسور في الصحراء الغربية باستخدام معطيات التحسس النائي، رسالة ماجستير(غير منشورة)، جامعة بغداد، كلية العلوم، 1989، ص37.



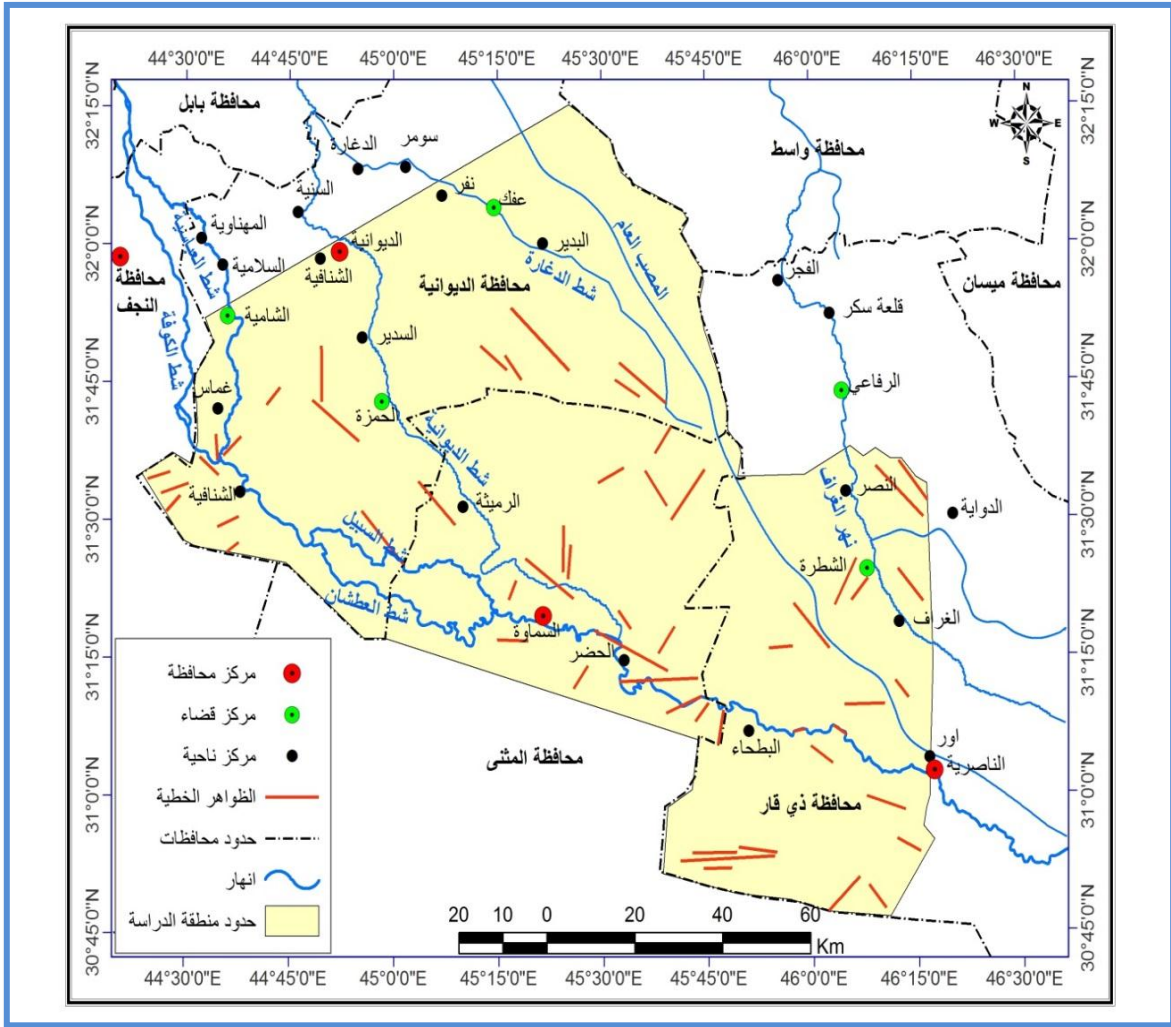
## الفصل الرابع / تحليل العلاقة بين الخصائص الطبيعية والعمليات الجيومورفية في منطقة الدراسة

شكل (2-4) المخطط الاشعاعي الطولي للظواهر الخطية في منطقة الدراسة



المصدر: بالاعتماد على جدول (1-4)

خريطة (1-4) التراكيب الخطية في منطقة الدراسة



المصدر: بالاعتماد على أنموذج الارتفاع الرقمي (DEM) ومخرجات برنامج (Arc Gis10.2.1).



## الفصل الرابع / تحليل العلاقة بين الخصائص الطبيعية والعمليات الجيومورفية في منطقة الدراسة

جدول (1-4) أطوال الخطيات والاستطاليات وتكرارها العددي ونسبتها المئوية حسب الدرجات الاتجاهية

الدرجات الاتجاهية	أطوال التراكم الخطية	النسبة المئوية %	التكرار العددي الاتجاهي	النسبة المئوية %
الاتجاه الجغرافي الشمالي الشرقي				
10 - 1	7.1	7.5	1	1.8
20 - 11	4.2	4.8	2	3.5
30 - 21	10.6	11.5	3	5.4
40 - 31	4.5	4.9	7	12.5
50 - 41	4.7	5.1	1	1.8
60 - 51	3.2	3.4	1	1.8
70 - 61	6.7	7.3	5	8.9
80 - 71	2.8	3.0	1	1.8
المجموع	43.8	47.5	21	37.5
الاتجاه الجغرافي الشمالي الغربي				
10 - 1	0	0	0	0
20 - 11	0	0	0	0
30 - 21	0	0	0	0
40 - 31	12.2	13.1	8	14.3
50 - 41	6.1	6.5	9	16.1
60 - 51	6.6	7.1	5	8.9
70 - 61	0	0	0	0
80 - 71	9.4	10.1	1	1.8
المجموع	34.3	36.8	23	41.1
الاتجاه الجغرافي الشمالي الجنوبي				
0	5.3	5.7	4	7.1
الاتجاه الجغرافي الشرقي الغربي				
90 - 81	9.3	10.0	8	14.3
المجموع	92.7	100	56	100

المصدر: بالاعتماد على خريطة (1-4)

#### 2-1-1-4 العمليات المورفومناخية Morphoclimatic Processes

تعرف العمليات المورفومناخية بأنها التغيرات الكيميائية والفيزيائية التي تؤدي بدورها الى تهيئة المواد التي تغطي سطح الارض للعمليات الجيومورفية اللاحقة بمساعدة العوامل المناخية ومنها (الحرارة ، الامطار ، الرياح) والتي تعمل بدورها على تنشيط عمليات (الحت ، النقل ، الترسيب) وان هذه العمليات تحدد نوع التجوية التي تحدث وبمساعدة العوامل الاخرى ومنها نوعية الصخور وبنيتها وتركيبها الكيميائي والفيزيائي والغطاء النباتي وطبوغرافية المنطقة التي تحدد مقدار التجوية وتأثيرها على النبات الطبيعي وبالتالي تأثيرها على عمليات التجوية ، كما يعد المناخ عامل هدم ونقل وبناء وتطوير الشكل الجيومورفي. وفيما يلي توضيح دور العمليات المورفومناخية في تكوين المظهر الارضي :

#### 1-2-1-4 علاقة التجوية بالمناخ

تؤثر العمليات المورفومناخية بعمليات التجوية المختلفة والتجوية تعني التحول الفيزيائي او الكيميائي أو كليهما لمعادن الصخور على سطح الارض وان معظم الصخور والمعادن المكشوفة على سطح الارض قد تكون في بيئة غير البيئة التي تكونت تحت ظلها ، وان هذه الصخور تتكون في درجات حرارة وضغوط عالية باستثناء بعض الصخور البركانية<sup>(1)</sup> ، وللمناخ دور مهم في تجوية الصخور من خلال التغيرات الزمانية والمكانية وخاصة درجات الحرارة والامطار التي تؤثر في تكوين الاشكال الارضية لسطح الارض والمناخ السائد في منطقة الدراسة هو مناخ صحراوي والذي اتصف بالجفاف والتذبذب في كميات الامطار والاختلاف في معدلات درجات الحرارة وقلة الرطوبة وعلى هذا فان التجوية الميكانيكية هي السائدة من خلال التباين الشهري والسنوي في الحرارة والذي يؤدي الى التمدد والتقلص . والمقصود بالتمدد والتقلص اي تمدد المعادن الناتج عن التباين الحراري بين الليل و النهار اي تمددها في النهار وتقلصها في الليل والتي تعمل على تشقق الصخور او تفتيتها الى حبيبات وذلك بحسب استجابة الصخور وعمقها وسمكها أي إن سطح الفراش الصخري يكون أكثر عرضة للتجوية من أعماق ابعده والتي تنتج عنه عملية التقشر كما ان الانخفاض في درجات الحرارة والذي يحدث في الأشهر الباردة من السنة وفي منتصف الليل في منطقة الدراسة يعمل على نمو بلورات ثلجية صغيرة والتي تزيد الضغط على أسطح الفراغات الصخرية (المسامات والتشققات) مما تساعد على تجوية الصخور في منطقة الدراسة اي ان الاختلاف الحراري بين الليل والنهار تؤدي الى التمدد نهاراً والتقلص ليلاً<sup>(2)</sup> ، وتلك التضاريس لها دور اساسي في التجوية من خلال الاختلاف في الانحدار. إذ يعد عاملاً رئيساً في زيادة معدلات التجوية. أذ يغطي المنحدر صخور غير متماسكة لا تغطيها النباتات ومن ثم يجري عليها عمليات التفكك الصخري

(1) وفيق حسين الخشاب ، واحمد سعيد ومهدي الصحاف ، علم الجيومورفولوجيا، ج 1 ، دار النشر جامعة بغداد ، 1977 - 1978 ، ص 65 .

(2) حسن رمضان سلامة ، اصول الجيومورفولوجيا ، مصدر سابق، ص 122.

من الطبقة العليا مما يعرض الطبقة السفلى لعوامل جديدة من التجوية <sup>(1)</sup> ، وان منطقة الدراسة ذات الانحدار (6%) ضمن الفئة المتوسطة لذا يكون له تأثير في تكوين المظاهر الارضية منها الجروف والوديان وغيرها. <sup>(2)</sup> ورغم قلة النبات الطبيعي في المنطقة له دور في عملية التجوية من حيث عمله في مد جذوره داخل شقوق الصخر والتربة يبحث عن المعادن الذائبة وعندما تكبر الجذور تعمل على فلق الصخور <sup>(3)</sup> . اما عامل الزمن فيظهر تأثيره بأن المعادن والصخور تختلف في الزمن الذي تحتاجه ، ليتم تحليله بالكامل. إذ تختلف مكانياً حسب العوامل البيئية منها المناخ ويزداد معدل التجوية مع تقدم الزمن الى مدد تصل الى مئات السنين . ويظهر اثرها في انخفاض مستوى المكاشف الصخرية بحسب طبيعة الصخر والمناخ السائد في المنطقة <sup>(4)</sup> .

#### 1-1-2-1-1-4 التجوية الفيزيائية (الميكانيكية) Physical Weathering

وهي من العمليات الجيومورفية الخارجية ذات الأهمية البالغة في تشكيل المظاهر على سطح الارض ضمن المناخ الصحراوي الجاف وهي عملية تفكيك الصخور الى اجزاء متشظية صغيرة الحجم دون اي تغير او تبديل في التركيب الكيميائي والمعدني لتلك المفتتات <sup>(5)</sup> ، ودور المناخ في هذه العملية وله تأثير على الصخور بأساليب فيزيائية. إذ تتحطم الصخور إلى فئات صخري اصغر حجماً من الصخور الأصلية ولا يحدث أي تغيير مهمما كان بسيطاً في التركيب الكيميائي للصخور الناتجة ، ويلعب هذه النوع من أنواع التجوية دوراً مهماً في زيادة المساحات السطحية للفتات الصخري الناتج عن تحطم الصخور الأصلية. ولهذا النوع من انواع التجوية الميكانيكية نشاطه في المنطقة بسبب تباين مديات درجات الحرارة الشهري والسنوي . وتتم التجوية الفيزيائية بأساليب متعددة:

#### 1-1-2-1-1-4 التجوية بفعل التغير الحراري Contrast Warming Weathering

تتميز منطقة الدراسة بالتباين الكبير في درجات الحرارة العظمى والصغرى بين الصيف والشتاء وبين الليل والنهار حيث يصل ارتفاع الحرارة خلال ساعات النهار التي وصلت (44.65 ، 45.58 ، 44.72 ، 45.74 م°) في شهر تموز خلال فصل الصيف بينما تنخفض الحرارة في اثناء الليل خلال فصل الشتاء والتي تصل الى اقل من (5.89 ، 6.52 ، 5.62 ، 6.30 م°) في كانون الثاني اي ان هناك فرقاً كبيراً في درجات الحرارة بين الصيف والشتاء جدول (3-3) ، وبلغ المدى الحراري السنوي لدرجات الحرارة بين الصيف والشتاء نحو (14.65 ، 14.47 ، 13.51 ، 14.5 م°) يصاحبه ، انخفاض في الرطوبة صيفاً

(1) عبدالله صبار العجيلي، مصدر سابق، ص62.

(2) عبد العزيز طريح شرف ، الجغرافية الطبيعية (اشكال سطح الارض ) ، ط2 ، مؤسسة الثقافة الجامعية ، الكويت ، 1977 ، ص

(3) تاريوك لوتجنز، ترجمة عمر سلمان حموده وآخرون ، الارض (مقدمة للجيولوجيا الطبيعية ) ، بدون تاريخ، ص143.

(4) حسن رمضان سلامة، مصدر سابق، ص129.

(5) حسين علي عبد الحسين ، اثر اتساع المدى الحراري في تشكيل بعض المظاهر الجيومورفولوجية في الهضبة الغربية العراقية (دراسة في علم الجيومورفولوجيا المناخية ) ، مجلة كلية الاداب ، جامعة الكوفة ، العدد13 ، 2012 ، ص 243 .

اذ انخفضت الى (22 ، 20 ، 23 ، 25%) وهذا يؤدي الى نشاط بشكل فعال في نشاط عمليات التجوية بأنواعها المختلفة ولاسيما التجوية الفيزيائية (الميكانيكية) التي تحدث بشكل فعال في المنطقة وعملية التقشر يلاحظ صوره (1-4) . تعمل هذا التغيرات في المديات الحرارية ما بين الليل والنهار والصيف والشتاء الى تمدد اثناء النهار والانكماش اثناء الليل لمواد الصخور والتي تكون كافية لإحداث التشققات والتقشر والتفكك في بعض الصخور وان هذا التمدد والانكماش يختلف بدرجة اختلاف مقدار التذبذب في درجات الحرارة والتي تتعرض له الطبقات السطحية دون السفلى بسبب ضعف التوصيل للحرارة بالنسبة للصخور اي ان الحرارة تقل عند العمق لذلك تتشقق الصخور على شكل الواح رقيقة تسقط على الجهات المجاورة<sup>(1)</sup>. لذا فان التغير المناخي وما يصاحبها من عمليات جيومورفية قد أسهم عن طريق عمليات الحت والتجوية والنقل والترسيب في تنوع المظاهر الارضية الهدمية والبنائية ومن ثم رسم صورة المظهر الأرضي في المنطقة .

صورة (1-4) ظاهرة تقشر الصخور في منطقة الدراسة



المصدر: الدراسة الميدانية لمنطقة الدراسة بتاريخ 2017/6/10، الموقع N 70 10° - E 88 55° - 45°

#### 4-1-1-2-1-1-2 التجوية بفعل الكائنات الحية :

تؤدي الكائنات الحية دوراً مهماً في عمليات التجوية . ان للإنسان دوراً من خلال ممارسته للعديد من الأنشطة الاقتصادية مثل عمليات التعدين التي تؤدي الى الإخلال بالنظام البيئي . إذ تكون هذه المنطقة مهيأة للتربة فضلاً عن دور الانسان في عمليات التجوية منها عمليات الحراثة والزراعة والرعي ومد الطرق . أما النباتات فيكون دورها من خلال مد جذورها في الشقوق الموجودة داخل الصخور يؤدي ذلك إلى تعميقها وتوسيعها ثم انفصال كتل الصخور عن بعضها<sup>(2)</sup> ، وللحيوان دور مهم حيث يعمل على

(1) وفيق الخشاب وآخرون ، علم الجيومورفولوجيا ، مصدر سابق ، ص 70.

(2) احمد احمد مصطفى ، سطح الارض (دراسة في جغرافية التضاريس) ، دار المعرفة الجامعية ، الاسكندرية ، 2003 ، ص 33.



## الفصل الرابع / تحليل العلاقة بين الخصائص الطبيعية والعمليات الجيومورفية في منطقة الدراسة

حفر حجورها داخل التربة مما يؤدي إلى تفككها وتفتتها. ولحيوانات الرعي دور في التجوية من خلال تعرية المنخفضات الصالحة للرعي<sup>(1)</sup> كما موضح في صورة (2-4) (أ-ب).  
صورة (4-2) التجوية بفعل الحيوانات في اتجاه الشمالي الغربي من منطقة الدراسة



المصدر: الدراسة الميدانية لمنطقة الدراسة بتاريخ 2018 / 2 / 21 ، الموقع  $31^{\circ} 19' 20'' \text{N}$  -  $45^{\circ} 38' 10'' \text{E}$   
صوره (2-4 ب) تمثل الرعي في اتجاه الشمالي الغربي والجنوب الغربي من منطقة الدراسة



المصدر: الدراسة الميدانية لمنطقة الدراسة بتاريخ 2018 / 2 / 21 ، الموقع  $31^{\circ} 07' \text{N}$  -  $45^{\circ} 09' \text{E}$

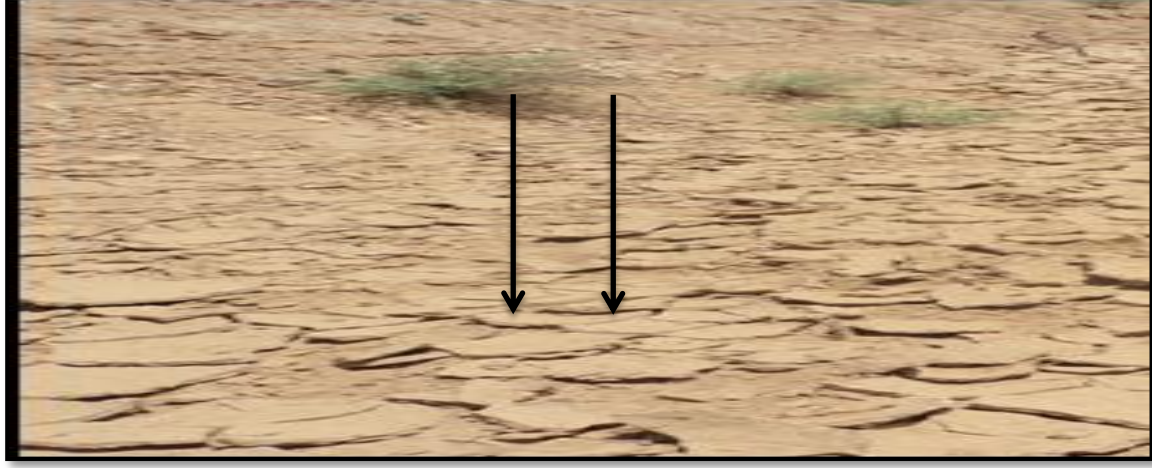
### 3-1-1-2-1-1-4 التجوية بفعل الترطيب والتجفيف Wetting and Drying Weathering

تحدث هذا العملية بفعل الترطيب والتجفيف من خلال التشققات التي تحدث في زيادة الحجم أو تقلصه على التكوينات الصخرية . وتُعد الاراضي الجافة البيئة المناسبة لهذا النوع من التجوية. إذ يؤثر نوع الطين السائد والنباتات الصحراوية والاملاح الزائدة في الطين الى انتفاخ سطح الكتل الطينية القائمة بين التشققات ومع شدة التجفيف تصبح منخفضة متخذة غطاء متعامد يختلف في درجة انتظامه<sup>(2)</sup>. نتيجة

(1) عبد الله صبار عبود العجيلي، وديان غرب الرزاوة الثانوية والاشكال الارضية المتعلقة بها ، مصدر سابق، ص65.

(2) حسن رمضان سلامة، مصدر سابق، ص133.

ذلك في فصل الامطار يحث تغلغل المياه داخل الطبقات سطح الارض وبعدها يؤدي الى انتفاخها نتيجة تشبعها بالمياه ويعقبها جفاف التربة نتيجة ارتفاع درجات الحرارة صورة (3-4).  
صوره (3-4) التجوية بفعل الترطيب والتجفيف في اتجاه الجنوب الغرب من منطقة الدراسة



المصدر : الدراسة الميدانية لمنطقة الدراسة بتاريخ 21 / 2 / 2018 ، الموقع 31° 19' 20" N – 45° 38' 10" E

### 2-1-1-4 التجوية الكيميائية Chemical Weathering

من أهم مكونات الغلاف الجوي الذي له تأثير كيميائي في الصخور من الناحية الجيومورفية هي الاوكسجين وثاني اوكسيد الكربون وبخار الماء، فكل منها تأثيرها. إذ يعد بخار الماء الوسط الطبيعي المهم الذي تتم فيه التفاعلات الكيميائية ولاسيما الاكسدة والتكرين مع توافر درجات الحرارة والرطوبة. فضلاً عن عملية التحلل والتميز<sup>(1)</sup>، وتعد عملية التجوية الكيميائية في منطقة الدراسة ضعيفة جداً معتمداً على الظروف المناخية الحالية بسبب قلة الامطار ويكون بشكل زخات و انخفاض درجات الحرارة ليلاً فتكون السيادة لعملية التجوية الميكانيكية، حيث يبرد الهواء الملامس لسطح الأرض فيتكاثف بخار الماء الموجود في الهواء ومن ثم يتحول على شكل قطرات من الندى ، تتغلغل تلك القطرات داخل شقوق الصخور المكشوفة . وتشير الدلائل إلى أن الاشكال الارضية بفعل عملية التجوية الكيميائية كانت نشطة في عصر البلايستوسين لتوفر الظروف الملائمة لها . تسود عمليات التجوية الكيميائية في المنطقة بعدة صور كما يأتي:

### 1-2-1-2-1-1-4 التجوية بفعل الإذابة والكربنة Weathering By Solution and Carbonation

تعد الإذابة أولى مراحل التجوية الكيميائية وتتم عبر عملية تحلل تام لمعادن الصخور كالصخور الملحية او الجيرية الى ايونات . التي تتكون منها هذه المعادن بفعل مياه الأمطار أو المياه الجوفية . أما الكربنة فهي عملية اتحاد حامض الكربونيك مع بعض القواعد مثل اكاسيد وكربونات الكالسيوم والمغنيسيوم والصوديوم والبوتاسيوم لتكون الكربونات او البيكاربونات<sup>(2)</sup>.

(1) عدنان باقر النقاش، مهدي الصحاف، الجيومورفولوجي، وزارة التعليم العالي، جامعة بغداد، 1989، ص 181.

(2) محمد صبري محسوب، جيومورفولوجية الاشكال الارضية ، نصر - القاهرة ، دار الفكر العربي ، 2003، ص 93.



## الفصل الرابع / تحليل العلاقة بين الخصائص الطبيعية والعمليات الجيومورفية في منطقة الدراسة

لا يمكن الفصل بين عمليتي الإذابة والكربنة ، بسبب تفاعل قطرات الأمطار في الجو مع غاز ثاني أكسيد الكربون مكونة حامض الكربونيك . والذي يتفاعل مع الصخور الكلسية مكونة محلول بيكربونات الكالسيوم ، يلاحظ المعادلتين في جدول (2-4) .

ان قابلية بيكربونات الكالسيوم على الإذابة بالماء أكثر ب (30) مرة من كربونات الكالسيوم . لذلك تعمل هذه العملية على إذابة الصخور وتحللها وتكون محاليل اذابية بعد ما كانت صخور <sup>(1)</sup>.

### 4-1-1-2-2-1-2 عملية التميؤ Hydration

هي عملية إتحاد الماء مع بعض المعادن مكوناً المعادن المائية. إذ تتحول المعادن الاصلية الى معادن اقل صلابة ومقاومة لعمليات الحت. كأتحاد الماء بالانهايدرايت <sup>(2)</sup> يلاحظ المعادلة في جدول (2-4). أذ يتحول في هذه العملية معدن كبريتات الكالسيوم (الانهايدرايت الى كبريتات الكالسيوم (الجبس).

### 4-1-1-2-1-3 التأكسد Oxidation

هي عملية تفاعل الأوكسجين مع العناصر الكيماوية أو المعادن المكونة للصخور لتنتج اكاسيد . وتنشط هذه العملية حيثما توفرت رطوبة وهواء في فراغات الصخور والترربة . مما يؤدي الى تلون الصخور والترب باللون الأحمر أو الأصفر . ويزداد نشاطها في الصخور الرملية والكلسية والطين الأحمر. توجد هذه الصخور غرب منطقة الدراسة . تكثر هذه العملية في الصخور الرسوبية لاحتوائها على معادن الحديد والألمنيوم والنحاس والمنغنيز والمغنيسيوم وغيرها، وكلها عناصر يمكن أن تتحد مع الأوكسجين <sup>(3)</sup> . يلاحظ المعادلة في جدول(2-4) .

جدول(2-4) عملية التجوية ومعادلتها

العملية	المعادلة
الإذابة والكربنة	$\text{CO}_2 + \text{H}_2\text{O} \rightleftharpoons \text{H}_2\text{CO}_3$ <p style="text-align: center;">ثاني أكسيد الكربون      ماء      حامض الكربونيك الضعيف</p> $\text{CaCO}_3 + \text{H}_2\text{CO}_3 \rightarrow \text{Ca}(\text{HCO}_3)_2$ <p style="text-align: center;">كربونات الكالسيوم      حامض الكربونيك      بيكربونات الكالسيوم</p>
التميؤ	$\text{CaCO}_3 + 2\text{H}_2\text{O} \rightarrow \text{CaSO}_4 \cdot 2\text{H}_2\text{O}$ <p style="text-align: center;">ماء + انهايدرايت      جبس      ماء</p>
التأكسد	$2\text{FeS}_2 + 7\text{O}_2 + 2\text{H}_2\text{O} \rightarrow 2\text{Fe}^{+2} + 4\text{SO}_4^{-2} + 4\text{H}^+$ <p style="text-align: center;">هيدروجين      كبريتات      حديد      ماء      أوكسجين      كبريتيد الحديد (بايرايت)</p>

المصدر: بالاعتماد على حسن رمضان سلامة . اصول الجيومورفولوجيا ، عمان - الاردن . دار المسيرة . 2010. ص123.

<sup>(1)</sup>Edward Derby Shire, Geomorphology And Climate, John Wily and Sons , London,1976 , P.48.

<sup>(2)</sup> سهل السنوي، وآخرون ،الجيولوجيا العامة ،وزارة التعليم العالي والبحث العلمي ،جامعة بغداد ، ط1، 1979، ص 147.

<sup>(3)</sup> كامل حمزة فليفل الاسدي ، تباين الخصائص المورفومترية لوديان الهضبة الغربية في محافظة النجف وعلاقتها بالنشاط البشري ، اطروحة دكتوراه ، غير منشوره ، كلية الاداب ، جامعة الكوفة، 2012، ص65.

#### 4-1-1-2-2 عمليات التعرية Erosion Processes

هي من العمليات الجيومورفية المهمة التي تقوم بعملية تفتيت الصخور القشرة الأرضية ونحتها ونقلها من موضعها الأصلي وإرسابها في مواضع جديدة بفعل المياه الجارية والرياح والتي تختصر وظائفها على النحت والنقل والارساب، وتساعد على تشكيل المظاهر الأرضية أو تغير الأشكال الموجودة على السطح وبشكل دائم في المنطقة<sup>(1)</sup>. تتأثر عمليات التعرية بالظروف المناخية الحالية والقديمة كما تبين بالفصل السابق وهذه متمثلة بكمية الأمطار و سرعة اتجاه الرياح ، وتبين من الدراسة ان مناخ الزمن الرباعي فان هذين العاملين نشطان واستمرتا مدة طويلة من الزمن ، أما المناخ الحالي المتمثل بالجفاف ولاسيما الأمطار وتذبذبها وتساقطها بشكل زخات سريعة فانه بطبيعته يؤدي إلى زيادة نسبة الجريان السطحي بعد صيف جاف أدى إلى تفتيت التربة ومن ثم ينشط من عملية التعرية في المنطقة ، فضلا عن الرياح ما تتركه . من أثر في تشكيل مظاهر الأرضية في منطقة الدراسة . نتيجة قلة الرطوبة النسبية وارتفاع درجات الحرارة وقيم التبخر وسرعة اتجاه الرياح صيفاً وفقر الغطاء النباتي في المنطقة كل هذه العوامل مجتمعة تؤدي إلى نشاط عمليات التعرية في منطقة الدراسة .

ويمكن تقسيم عملية التعرية في منطقة الدراسة بحسب العوامل المكونة ويمكن إيضاحها بالشكل الآتي:

#### 4-1-1-2-2-1 التعرية المائية Water Erosion

تعد التعرية المائية مهمة في الدراسات الجيومورفية لما لها دور فعال في تشكيل المظهر الأرضي في المنطقة . سواء كانت تعرية مطرية أو نهريّة . وفي منطقة الدراسة كثير من الأشكال الأرضية تعود لزمن البلايستوسين نتيجة مناخات العصور المظلمة في الزمن الرابع إذ كانت الأمطار غزيرة وذات زخات عنيفة تساعد على تفتيت التربة وتكسر الصخور ونقلها بواسطة المياه إلى أماكن أخرى تترسب بها . ولاسيما عصر البلايستوسين الذي كان رطباً فكانت التعرية المائية أشد قوة وأكثر نتاجاً من عملها الحالي، والتي تركت آثاراً وشواهد مازالت قائمة لغاية هذه اللحظة، أما الأمطار تعد عاملاً فعالاً في تشكيل التعرية المائية في منطقة الدراسة رغم قلتها . أن مجموع الأمطار السنوي في المنطقة (السماوة ، الناصرية ، النجف ، الديوانية) فبلغت (109.4 ، 131.9 ، 89.8 ، 101.2 ملم) . أما مجموع الأمطار الفعالة حيث بلغت (77.34 ، 93.74 ، 67.75 ، 75.36 ملم) . إنها تتصف عند تساقطها بالغزارة والشدة لها القدرة على تشكيل مخاطر جيومورفية ولاسيما سيول مائية تعمل على اقتلاع الصخور وتهديم الجسور ونقل المواد المفتتة من ترب وفتات صخري من المناطق المرتفعة إلى المناطق المنخفضة. تتباين شدة التعرية المائية حسب غزارة الأمطار وطول مدة تساقطها ونوع التكوينات السطحية وكثافة الغطاء النباتي في المنطقة. تقسم التعرية المائية في منطقة الدراسة كالآتي:

(1) جودة حسنين جودة ، معالم سطح الأرض ، ط 2 ، الهيئة المصرية للتأليف والنشر ، الاسكندرية ، 1971 ، ص 287.

**4-1-1-2-1-1-2-1-1-1 التعرية المطرية:** تُنتج عن تساقط الأمطار أنواع عديدة من العمليات المختلفة لتعرية التربة مما ينجم عنها اشكال ارضية متنوعة وتنقسم الى الانواع التالية:

**4-1-1-2-1-1-2-1-1-1 التعرية المطرية التصادمية Raindrop Erosion:**

يرتبط هذا النوع من التعرية بسقوط الأمطار ولاسيما تلك التي تكون على شكل زخات مطرية شديدة وقطرات كبيرة الحجم. وذلك من خلال التصادم المباشر بين قطرات المطر الذي يؤدي إلى إثارة حبيبات التربة وحدوث الجريان السطحي. بسبب سرعة تساقط المطر والذي يقدر متوسطه بـ (914 سم/ ثانية). وعند اصطدامها بسطح التربة فتنتشر كمية من هذه الأتربة لمسافة (152 سم) بعيداً عن مكان سقوط القطرة المطرية ولاارتفاع يصل إلى (61 سم) <sup>(1)</sup> ، والتراب المتأثرة بهذا النوع من التعرية هي تربة تتكون من الرمال الناعمة والخشنة ولا تستطيع أن تتحرك الحبيبات الخشنة بفعل هذه القطرات نظراً لكبر حجمها ووزنها. بينما يكون تأثير تعرية التصادمية في الأراضي الطينية ضمن السهل الفيضي بسبب تماسك حبيباتها، ويعد هذا النوع من التعرية المطرية نشطة في منطقة الدراسة ولاسيما في الجزء الجنوبي الغربي من المنطقة بسبب قلة تماسك تربتها وقلة النبات الطبيعي فضلاً عن دور العامل البشري ومعدل الانحدار والغطاء النباتي الذي يقلل من تعرية الأمطار عن طريق منع قطرات المطر من الوصول الى سطح التربة مما جعل جزيئات التربة أقل عرضة للتفكك نتيجة لاحتفاظها برطوبتها.

**4-1-1-2-1-1-2-1-1-2 التعرية الصفائحية (الغطائية) Sheet Erosion:**

هي التعرية الناتجة عن تجمع مياه الأمطار فوق الأراضي المنبسطة الانحدار على شكل طبقة متماثلة السمك ولاسيما في المناطق قليلة الانحدار. إذ تفوق الأمطار الساقطة ما يتسرب داخل التربة . فتتحرك المياه المتجمعة نحو جهة الانحدار وبسرعة بطيئة جارفة معها المواد المفككة على شكل مادة عالقة أو ذائبة ، وتنقلها إلى منطقة منخفضة . يسود هذا النوع من التعرية في المناطق الخالية من الغطاء النباتي او القليلة الغطاء <sup>(2)</sup> ، وتوجد بعض المحددات للانسحاب الصفائحي في بعض اجزاء منطقة الدراسة والتي منها انتشار مكاشف الصخور الجيرية والرملية في المناطق القليلة الانحدار مما يساعد على ترشيح مياه الأمطار في بادئ الامر ووجود بعض المنخفضات التي تحد من حركة المواد مع المياه لذا تتجمع المياه داخل المنخفضات وتنتشر في مناطق واسعة وخاصة في المناطق الشمالية الغربية.

**4-1-1-2-1-1-2-1-1-3 تعرية الميسيلات المائية Rills Erosion:**

يؤدي الجريان الشديد فوق الأسطح المكشوفة والخالية من الغطاء النباتي بالتظاهر مع السطح ودرجة الانحدار. دوراً مهماً في التحكم بكمية وشكل الانسياب السطحي ولاسيما على التلال وحافات الأودية . إذ

<sup>(1)</sup> مصطفى عز محمد ، انواع التعرية المائية وكيفية حدوثها ، جامعة دمشق ، دمشق ، 2001م ، ص31

<sup>(2)</sup> خلف حسين علي الدليمي ، التضاريس الارضية ، عمان - الاردن ، دار صفاء للطباعة والنشر ، 2005، ص233-234.

يتحول فيها الجريان الغطائي من جريان منتشر إلى جريان مركّز من جراء العواصف المطرية ذات الزخات المطرية الغزيرة وتكون شبكة دقيقة من المسيلات التي تتصل ببعضها البعض على هيئة شبكة من القنوات والتي تحرز الصخور بدرجات مختلفة حسب صلابة الصخور . وتكون لها قدرة في تعرية الصخور ونقلها<sup>(1)</sup> كما في صورة (4-4) ، وعندما تقل نفاذية التربة يزيد كمية الجريان السطحي مما يزيد من معدلات التعرية . تكون المسيلات على شكل قنوات مائية بسيطة ضحلة على سطح الأرض تعمل على تعرية مواد الأرض والتربة الهشة وهي لا تمثل خطورة في حالة وجود الغطاء النباتي. يكون انتشارها في المناطق الهضبية والأراضي الرديئة وتأخذ هذه التعرية من الشقوق والفواصل مسارات لها تعمل على تعميقها ليتطور فيما بعد إلى تعرية أخدودية . فالمسيلات هي وسيلة نقل رسوبيات التعرية الصفائحية<sup>(2)</sup>، ويزداد عددها مع زيادة الأمطار والانحدار قلة الغطاء النباتي وضعف صلابة التكوينات الصخرية وتماسك التربة، التي تزيد من فاعلية التعرية المسيلية في جرف التربة السطحية والصخور المفتتة<sup>(3)</sup>.

#### 4-1-1-2-2-1-1-4 التعرية الأخدودية Gully Erosion

هي التعرية الناتجة عن المياه الوقائية الجارية نحو أسفل المنحدرات خلال قنوات معينة بعد أو خلال سقوط أمطار غزيرة . والتي ينتج عنها سيل مؤقت ورغم أن مدة سقوط الأمطار قصيرة إلا أن طاقتها كبيرة على إزالة المواد المفككة وصخور القاعدة . وتسمى هذه المواد برواسب الأودية المضطربة وتتساقط عنها وديان عميقة لذا تسمى هذه العملية بالغسل الأخدودي وتسمى الإرسابات المتخلفة عنها بإرسابات الأخاديد<sup>(4)</sup> . تحدث عندما تزداد كمية المياه الجارية على شكل صفائحي على المنحدرات تبدأ بتكوين مسيلات بسيطة تتجمع مع بعضها في اتجاه المنحدر لتكوين أخاديد عميقة تزيد قدرتها على الجرف ونقل التربة على أعماق كبيرة . لذا فإن التعرية الأخدودية هي عملية تآكل التربة أو الصخور اللينة نتيجة تدفق المياه لتكوين مجرى مائي فتتآكل وتشكل شقوقاً ضيقة تكون عادة أكبر وأعمق من التعرية المسيلية التي عادة ما يجري فيها الماء في أثناء وبعد العواصف المطرية الشديدة<sup>(5)</sup>.

تتحكم عدة عوامل في نشوء وتطور الأخاديد منها ، طول المنحدر ودرجة انحداره وقلة النبات الطبيعي وضعف تركيب الصخور وشدة التساقط المطري كما موضح في صورة (4-5).

(1) كامل حمزة فليفل الاسدي ، تباين الخصائص المورفومترية لوديان الهضبة الغربية في محافظة النجف وعلاقتها بالنشاط البشري ، أطروحة دكتوراه ، مصدر سابق ، ص 85

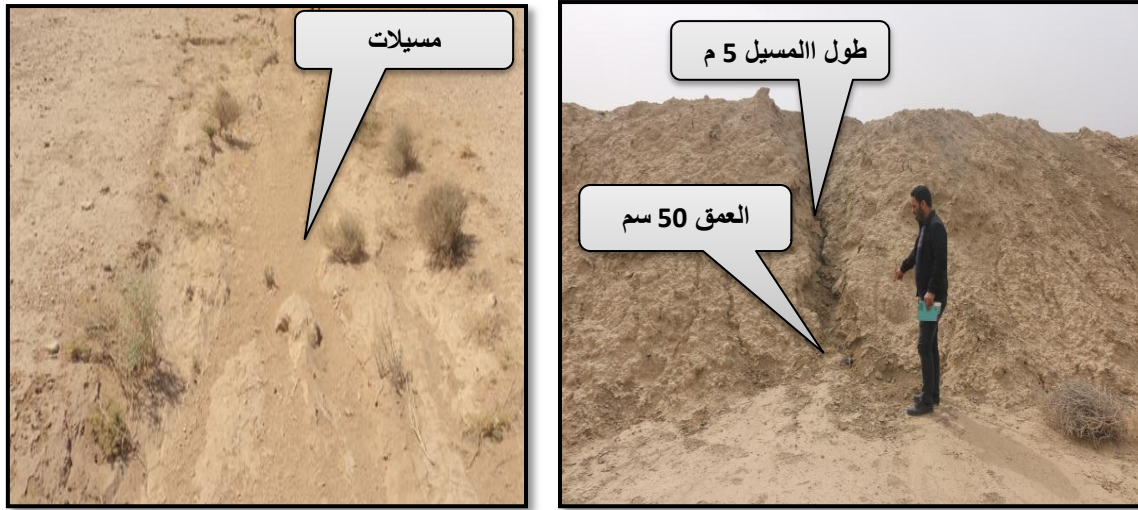
(2) ايمان شهاب حسون ، هايدروجيومورفولوجيا حوض وادي أبو مريس في محافظة المثنى وأثره في التنمية الاقتصادية، أطروحة دكتوراه غير منشورة، كلية الآداب ، جامعة بغداد، 2016، ص 97.

(3) Tim Davie- John Gerrard, Fundamentals Of Hydrology, Routledge Fundamentals of Physical Geography, Second edition, London and New York, 2008, pp.83-85.

(4) عايد جاسم حسين الزامل ، مصدر سابق، ص 112

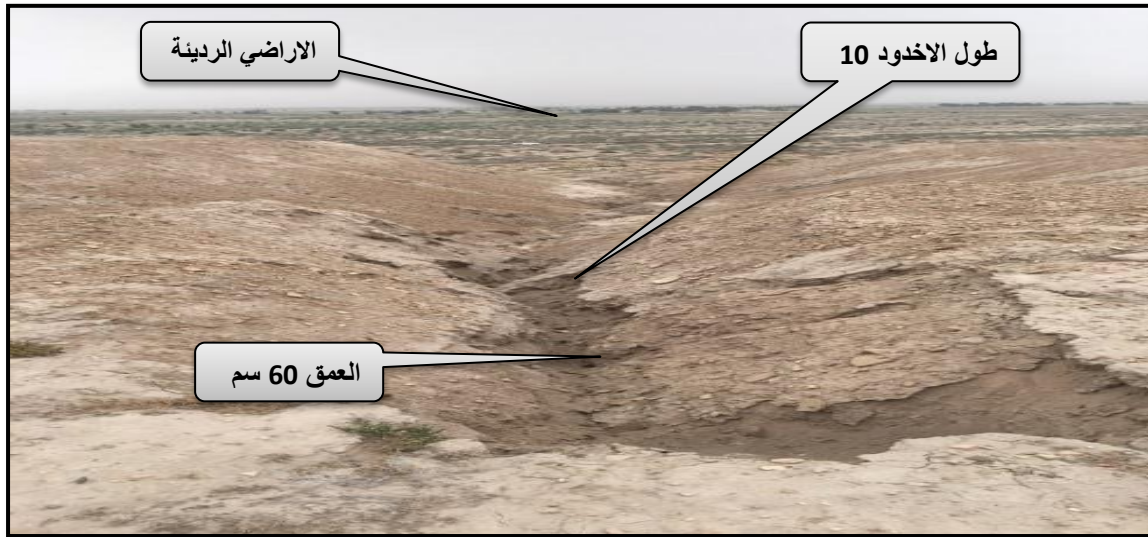
(5) Alvaro comez cutierrsz , susanable and franice lavado contour, processes, faetors and consegnences of gully erosion investigat in the Iberian peninsuld Bulletined, la Association. Gegrafas Es paholes. N55, P385.

صوره (4-4) تعرية المسيلات المائية في شمال غرب منطقة الدراسة



المصدر: الدراسة الميدانية لمنطقة الدراسة بتاريخ 22 / 2 / 2018 ، الموقع  $31^{\circ} 52' 09'' \text{N}$  -  $45^{\circ} 20' 16'' \text{E}$

صورة (4-5) التعرية الاخدودية في جنوب غرب منطقة الدراسة



المصدر: الدراسة الميدانية لمنطقة الدراسة بتاريخ 22 / 2 / 2018 ، الموقع  $31^{\circ} 17' 17'' \text{N}$  -  $45^{\circ} 08' 05'' \text{E}$

#### 4-1-1-2-2-1-2 التعرية النهرية River Erosion

تعد الانهار من اهم عوامل التعرية في تشكيل مظاهر سطح الارض بما تقوم به من نحت ونقل وارساب ويوجد هذا في الانهار الدائمة الجريان وحتى في الوديان الوقتية التي يسببها سقوط الامطار والسيول التي لها الدور في تشكيل بعض المظاهر في المناطق الصحراوية علماً ان منطقة الدراسة معظم أمطارها على شكل زخات عنيفة و بفترات زمنية قصيرة حيث تؤدي هذه الى حركة مضطربة تعمل على نحت المجاري النهرية وتكون اشكال الارضية <sup>(1)</sup>. كما أن للأنهار لها دوراً مهماً في الدراسات الجيومورفية تبعاً لظروف السائدة ولاسيما الظروف المناخية والغطاء النباتي والتركيب الصخري . والمصدر الرئيس في

<sup>(1)</sup> محمد صبري محسوب ، الظواهرات الجيومورفولوجية (دراسة تحليلية)، القاهرة ، مطبعة الاسكندرية ، 1980، ص 58.



التعرية هو الأمطار ، إذ إن لغزارة الأمطار وديمومتها دوراً فاعلاً في عملية التعرية ، تؤدي غزارة الأمطار إلى تولد طاقة كبيرة تعمل على زيادة الضغط على الصخور والرواسب السطحية ، ومن ثمة زيادة معدلات التعرية وبفترات زمنية قصيرة . يعد عامل الحث النهري أحد العوامل المهمة في تشكيل المظاهر الأرضية إذ يعتمد على كمية المياه وسرعتها في المجرى النهري .

#### 4-1-1-2-2-2-1-2 التعرية الريحية Wind Erosion

تعد الرياح العامل الرئيسي المؤثر في عملية التعرية والنقل والارساب في منطقة الدراسة وهي من العوامل المشكلة لسطح الأرض لكونه عاملاً مهماً الذي يسود كافة أجزاء سطح الأرض ، إذ تعمل الرياح على نقل ذرات التربة من الأراضي ذات الأجزاء المفتتة أو التي تغطيها التربة والرمال إلى المناطق التي يمكن للأتربة أن تترسب بها والتي يمكن أن تنقل مرة أخرى أو تثبت من دون نقلها، وهذا ما يساعد على تكوين الأشكال الجيومورفية الريحية التي تكون الرياح العامل الرئيسي في تكوينها وانها وبالرغم من حدوثها في كل مكان إلا أن دورها يظهر في الأراضي الجافة بصورة كبيرة عنها في الأراضي الأخرى ، حيث أن هناك عوامل تساعد الرياح على التعرية وتكوين المظاهر الأرضية والتي منها الجفاف وهذه الحالة هي السائدة في منطقة الدراسة وخاصة في الأشهر الحارة حيث تزداد نسبة التبخر التي تعمل على تقليل الرطوبة من التربة وجفافها متزامنة مع توقف التساقط المطري لأكثر من خمسة أشهر متتالية مما يعرضها بذلك إلى التفكك وعدم تماسك المواد الصخرية مما جعلها معرضة لتعرية الرياح حيث أن التكوينات الصخرية في الأرض الجافة تفرض دورها بوضوح في تحديد المعالم الجيومورفولوجية بحيث تتباين خصائص الأشكال الأرضية بحسب نوعية الصخور<sup>(1)</sup> . لا تتأثر التعرية الريحية فقط بفعل الجفاف السائد في المنطقة بل تتأثر أيضاً بفعل عوامل رئيسية تشترك في تحديد الخصائص التي تميز الأشكال الناتجة عن العملية التعرية الريحية ولاسيما سرعة الرياح واتجاهاتها ودرجة اضطرابها وخشونة السطح وتلاحم التكوينات السطحية وأحجام الحبيبات والغطاء النباتي ولها علاقة عكسية مع الرياح . فكما قلت الكثافة النباتية أدت إلى زيادة سرعة الرياح وعملها الجيومورفولوجي في عمليتي النحت والنقل وكذلك العوامل الأخرى مع درجة تلاحم التكوينات وخشونة السطح<sup>(2)</sup> .

إن الظروف الطبيعية الملائمة لعملية حدوث التعرية الريحية في المنطقة نتيجة سيادة التربة الجافة وقلة الأمطار وارتفاع درجات الحرارة السنوية وأما واقع سرعة الرياح في منطقة الدراسة يشير إلى أن التأثير الفعلي للرياح كبير نسبياً بسبب سرعة الرياح التي تصل إلى أعلى معدلاتها خلال فصل الصيف في شهر تموز رغم حصول بعض التطرفات اليومية في معدلاتها فقد بلغ معدل سرعة الرياح السنوي في محطات الدراسة نحو (3.3 ، 4.1 ، 1.9 ، 4.0 م/ثا) وهي تتفاوت ما بين (2.9 ، 5.8 ، 4.1) ، 5.6 م/ثا) في شهر حزيران و(2.6 ، 3.0 ، 1.1 ، 3.0 م/ثا) في شهر كانون الأول جدول (3-7) وهذا

(1) حسن رمضان سلامة ، أصول الجيومورفولوجيا ، مصدر سابق ، 2010 ، ص 254

(2) سرحان نعيم الخفاجي ، مصدر سابق ، ص 41.

## الفصل الرابع / تحليل العلاقة بين الخصائص الطبيعية والعمليات الجيومورفية في منطقة الدراسة

يعني ان سرعة الرياح في بعض الاشهر تقع تقريباً ضمن نطاق السرعة المتوسطة للتعرية الريحية والقادرة فقط على حمل حبة الرمل بقطر 0.25 ملم<sup>(1)</sup>. تبين من ذلك ان التعرية الريحية لها علاقة طردياً مع سرعة الرياح ودرجة اضطرابها وثبات الاتجاه والاستمرارية، إلى جانب اخر في زيادة خشونة نسيج التربة وارتفاع مفصولات الرمل فيها، واستواء السطح وعدم وجود عوائق تؤدي الى تبطيء في سرعة الرياح<sup>(2)</sup>. كما هو موضح في جدول (3-4).

جدول (3-4) العلاقة بين سرعة الرياح وحجم حبات الرمل المنقولة

السرعة اللازمة لنقلها م/ ثا	قطر حبة الرمل (ملم)
من ( 6.70 - 4.50 )	0.25
من ( 8.40 - 6.70 )	0.50
من ( 12.40 - 9.40 )	1
من ( 13 - 11.40 )	1.5

المصدر : عبد الله صبار عبود العجيلي ، وديان غرب بحيرة الرزازة الثانوية والاشكال الارضية ، اطروحة دكتوراه (غير منشورة)، كلية الاداب ، جامعة بغداد ، 2005 ، ص 80.

ويظهر دور الرياح كونها عامل تعرية للسطح من خلال الطرائق الآتية :

### 1- التذرية

هي عملية حمل المفتتات الصخرية من رمال وغبار ودقائق التربة الاخرى برفعها ودحرجتها من مكان لآخر، وتعني ايضاً الازاحة التامة للذرات الصغيرة الحجم وترك الذرات ذات الحجم الكبير في اماكنها مثل الحصى والجلاميد<sup>(3)</sup>. تظهر هذه العملية بشكل فعال في منطقة الدراسة والتي تعتمد الظروف المناخية ولاسيما ارتفاع درجة الحرارة وتساقط الامطار وانخفاض رطوبة التربة وقلة الغطاء النباتي فضلاً عن سرعة الرياح. وبالتالي تنتج مظاهر ارضية متمثلة الحماد والمنخفضات الصحراوية. ويؤدي ذلك في تأثيرها على النشاطات البشرية ولاسيما الطرق النقل والأراضي الزراعية في المنطقة.

### 2- النحت أو البري

هي عملية بري الصخور وصقلها من خلال ما تحمله الرياح من رمال ، تعمل ذرات الرمال والمواد الفتاتية على نحت الصخور وصقلها بفعل اصطدامها بالصخور، وتعتمد هذه العملية على سرعة الرياح وصلابة الصخور، اذ يكون تأثير الرياح القليلة السرعة في عملية التذرية ولكن الرياح السريعة تستطيع حمل الفتات الصخري والحصى الصغيرة وذرات الرمال ، حيث من النادر أن تكون الرياح قادرة على رفع ذرات الرمل إلى مسافة تزيد عن 0.9 من المتر او المتر الواحد عن سطح الأرض. إن معظم ذرات الرمل

(1) عبد الله صبار العجيلي ، مصدر سابق ، ص، 80.

(2) John Bridge and Robert Demicco, Earth Surface Processes Land Sediment Deposits, Cambridge University Press, 2008, pp195-197.

(3) صباح عبود عاتي الخزعلي، مصدر سابق ، ص124

التي تستخدمها الرياح كأدوات للنحت والتعرية تتركز خلال (0.5 م) عن سطح الأرض<sup>(1)</sup>. أما نوعية الصخور فكلما كانت الصخور صلبة فإن درجة مقاومتها لعملية التعرية عالية جداً ، على حين تكون الصخور اللينة أكثر تأثراً بتلك العملية ، وتكون هذه العملية أقل تأثيراً في الصخور المتجانسة عنه في الصخور غير المتجانسة ، فإذا كانت الصخور متجانسة في تركيبها ودرجة صلابتها فإن عملية التعرية تؤدي إلى صقلها ، أما إذا كانت غير متجانسة فإن عملية النحت تؤدي إلى تآكل الأجزاء اللينة قبل الأجزاء الصلبة . وأكثر الصخور تأثراً بعملية الحت الريحي هي الصخور الجيرية. وتتم عملية انتقال الحبيبات الرملية بثلاث طرق هما<sup>(2)</sup>:

- 1- القفز :** فيها تنتقل حبيبات الرمل التي تتراوح ما بين (1 - 5 ملم) وتنتقل كمية تقدر بحوالي 9% من كمية الرمال وبارتفاع حوالي 30 سم من سطح الأرض.
- 2- الدرجة :** هي زحف وتقل حبيبات الرمل التي تتراوح حبيباتها من (2-5) ملم ويتم نقل هذه الحبيبات على سطح الأرض نتيجة دفع الرياح لها أو التصادم للحبيبات مع بعضها البعض.
- 3- التعلق :** وهي عبارة عن انتقال حبيبات الرمل الناعمة جداً التي يكون قطرها أقل من (0.05 ملم) لحركة الرمال إلى الطبقات العليا من الجو. إذ تبقى معلقة لمدة طويلة وتنتقل بهذه الطريقة لمسافات كبيرة تتراوح ما بين (3 - 4) آلاف كيلو متر. وتسود العملية الأخيرة (التعلق) في منطقة الدراسة بدرجة أكبر من الأولى والثانية . بسبب قلة سرعة الرياح التي بلغ معدلها السنوي (3.3 ، 4.1 ، 1.9 ، 4.0 م/ثا) ومثل هذه الرياح ليس لديها القدرة على درجة أو تقفيز المفتتات بل يقتصر عملها على حمل الذرات الناعمة جداً في الهواء . وأن أكثر الشهور شيوعاً بهذه الظاهرة هما شهرا (حزيران وتموز) اللذان يشهدان أعلى المعدلات في سرعة الرياح.

#### 4-1-1-2-3 عمليات الارساب Deposition Processes

يبدأ النهر بإلقاء رواسبه عندما يقل منسوب مياهه أو عندما تتناقص سرعته ويقل حجم المياه في النهر إذا كان يجري فوق منطقة تتكون من صخور مسامية كالصخر الرملي أو الحجر الجيري مما يؤدي إلى تسرب جزء من مياهه خلال مساماتها . كما تؤثر الظروف المناخية على حجم المياه فأن نوع المناخ السائد في المنطقة جاف وترتفع فيه درجات الحرارة ويؤدي ضياع كميات كبيرة من المياه بالتبخر وتتناقص سرعة النهر عندما يدخل في ارض سهلية قليلة الانحدار إذ يبدأ النهر بإلقاء حمولته من المواد الخشنة أولاً كالحصى ، ويكون الإرساب في مجرى النهر أو جوانبه ثم يبدأ النهر بترسيب المواد الدقيقة ثم الادق في سهله الفيضي عندما تفيض مياهه . فتتكون بذلك طبقة من الغرين تكون أعظم سمكاً في

(1) سرحان نعيم طرطوش الخفاجي ، دراسات في الجيومورفولوجيا، مصدر سابق، ص47

(2) عطا الله احمد يونس، التصحر وتثبيت الكثبان الرملية، كلية الارصاد والبنية الزراعية لمناطق الجافة ،جامعة الملك عبد

المناطق التي تمتد على جانبي النهر<sup>(1)</sup>. ويمكن تعريف عملية الترسيب وهي المرحلة الأخيرة من تأثير العامل وتكون عملية مهمة أيضاً في تشكيل المظاهر الأرضية في المنطقة ، تتم هذه العملية عندما تقل سرعة العامل فتبدأ المواد المحمولة بالترسيب وتعتمد الأشكال الأرضية على كمية وحجم المواد المحمولة وسيتم الإشارة إلى عمليات الترسيب على وفق العملية المكوّنة لها:

### 1-1-2-3-4 الرساب الريحي Wind Deposition

ترتبط عمليات الترسيب الريحية ارتباطاً مباشراً بعملية التعرية والنقل ، فالرياح الهادئة يمكنها تحريك حبات الرمل ونشرها في السهل الصحراوي وتجعل سمكها رقيقاً وبمساحة أوسع ويمكن للرياح أن تزيد من تلك الرقعة إذا زادت كمية الرمال المتوفرة ، أما الرياح السريعة فإنها تكون سرعات سطحية فوق الأسطح الصلبة مما يمكنها من نقل حبيبات الرمل على حين تمتص طاقة الرياح على السطح الرملي القوية بواسطة الرمال ومن ثمة يستخلص رمل جديد من تلك الرياح ومن ثم يترسب<sup>(2)</sup>. ترسب الرياح حمولتها في حالة تناقص سرعتها نتيجة لمؤثرات منها طول المسافة الناتجة عن ابتعاد الرياح عن مناطق التصدير الريحي ذات الضغط الجوي المرتفع ودخوله في النطاقات المستقبلية لها ذات الضغط الجوي المنخفض ، وكذلك في حالة زيادة حمولة الرياح من الرواسب حيث تنقل الرياح كميات من الرواسب تتناسب مع قوتها الجارية أو سرعتها أو طاقتها وكلما زادت سرعة الرياح أو طاقتها زادت حمولتها من الرواسب وإن أي تناقص في ذلك يجعل الرياح عاجزة عن الاستمرار في عملية النقل وتقوم بترسيب الكميات والاحجام من الرواسب التي لا تتناسب معها ويمكن ان نلاحظ ان زيادة الحمولة تقلل من سرعة الرياح وايضاً زيادة كمية الرطوبة في الرياح عامل اخر للترسيب فان الرياح الجافة تكون اكثر سرعة من الرياح الرطبة واكثر قدرة على نقل الرواسب، اي ان الرياح عندما تعبر مناطق تزداد بها الرطوبة كالمسطحات المائية والاراضي الرطبة والسبخات او مناطق تزداد بها الرطوبة بسبب ارتفاع معدلات التبخر - النتح فأنها تكتسب رطوبة تساعد على ترسيب نسبة عالية من هذه الرواسب بسبب تناقص سرعتها من خلال ما تحمله من غبار وغرين وطين ذات القدرة على الاحتفاظ بالرطوبة الأرضية والجوية . وايضاً خشونة السطح وتموجاته والتشققات الصخرية والطينية التي تقلل من سرعة الرياح كما ان تغيير الرياح من اتجاهها الى اماكن مغذية للرواسب وكذلك الامطار الغزيرة التي تغسل الرواسب الريحية<sup>(3)</sup>. الأشكال الأرسابية الريحية في منطقة الدراسة واضحة المعالم . نتيجة استواء سطح المنطقة وقلة تضاريسها التي تشكل عائقاً للرياح . من بين الأشكال الريحية التي تم تحديدها اشكال أرسابية رملية على شكل كتبان رملية وانواعها وذلك لوجود عوائق طبيعية كالغطاء النباتي ووجود الرياح الشمالية والشمالية الغربية السائدة في المنطقة.

(1) جودة حسنين جودة ، معالم سطح الارض ، مصدر سابق ، ص312-313.

(2) محمد سامي عسل ، الجغرافية الطبيعية "المدخل إلى السطح ، ط1، ص519.

(3) حسن رمضان سلامة ، اصول الجيومورفولوجيا ، مصدر سابق ، ص 280 .

#### 4-1-1-2-3-2-1-4 River Deposition الارساب النهري

عند ترتبط عمليات الترسيب بعملية التعرية والنقل ، وتتم هذه العملية عندما تقل طاقة النهر من حيث تقل سرعته وكمية المياه الجارية فيه . تعتمد عملية الترسيب النهري على طبيعة الصخور والظروف المناخية القديمة ولاسيما الفترة المطيرة في العصر البلايستوسين مكونة سيولاً جارفة وترسبات حصوية وتربة رملية طينية . وعكست الظروف المناخية الحالية التي امتازت بقلّة الأمطار متمثلة بزخات مطرية قصيرة تزيد من عملية التعرية ومن ثم عملية الترسيب. ولدرجة الانحدار والغطاء النباتي دور فعال في هذه العملية فتزداد عملية الترسيب من خلال جريان المياه إلى أسفل المنحدرات ، ويعمل الغطاء النباتي على التقليل من سرعة المياه بواسطة عملية الاحتكاك. تكون ترسبات نهر الفرات وتفرعاته في المنطقة على شكل مراحل حيث تترسب الذرات الكبيرة أولاً ومن ثم الصغيرة والذائبة المنتقلة من المناطق المرتفعة الى المناطق المنخفضة اي ان النهر يلقي ما يحمله من مفتتات حينما يقل تصريف المياه او تقل سرعته عندما تزداد قيم حجم الرواسب فيه فلا يستطيع النهر حملها مما يؤدي الى ترسب تلك الحمولة الا انها تختلف من مكان الى اخر حسب قطاع المجرى النهري ومن اهم ظواهر الترسيب الجزر النهرية التي تعمل على التقليل من عرض النهر من خلال الارسابات الجانبية وتقليل من عمق النهر من خلال الترسيب بالقاع وايضاً السهول الفيضية التي تتكون من خلال ترسب المياه <sup>(1)</sup>. لمعرفة كميات الترسيبات النهرية (الانهار) في منطقة الدراسة تم تطبيق معادلة (Langbien and schumm.1958)<sup>(2)</sup>.

معادلة Langbien and schumm.1958 :

قدر العالمان الناتج الرسوبي لمجموعة من الاحواض المائية الصغيرة في الولايات المتحدة الامريكية بالاعتماد على الامطار الفعالة <sup>♦</sup>. وفق المعادلة الاتية:

$$E = \frac{1.631(0.03937p)^{2.3}}{1 + 0.0007(0.03938p)^{3.3}}$$

حيث ان :

E = الناتج الرسوبي (م<sup>3</sup>/كم<sup>2</sup>/سنة)

p = التساقط الفعلي

<sup>(1)</sup> شذى كريم، جيومورفولوجية شط الحلة، رسالة ماجستير (غير منشورة)، كلية الاداب، جامعة الكوفة، 2013، ص 54.

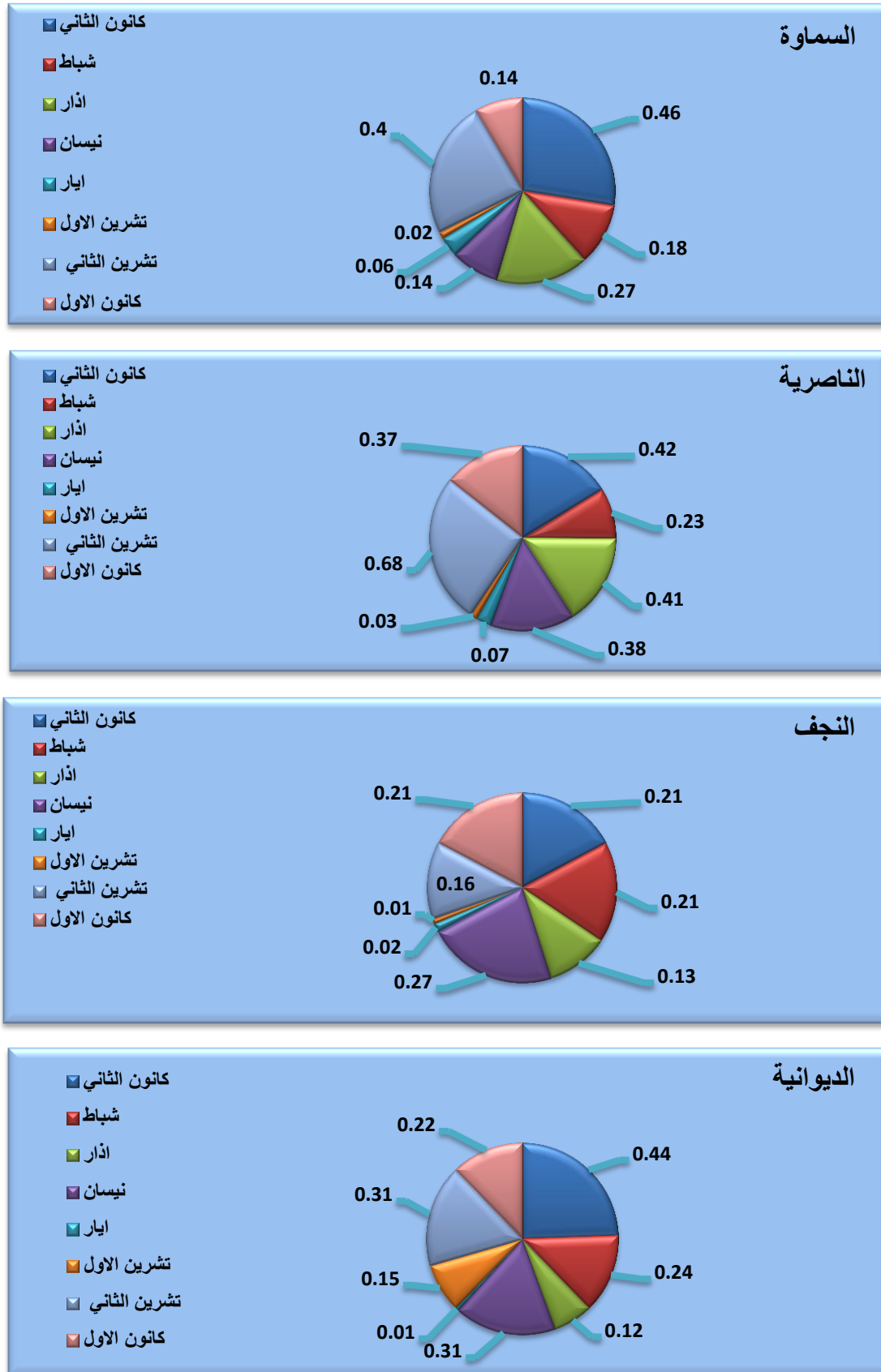
<sup>(2)</sup> حسن رمضان سلامة ، اصول الجيومورفولوجيا ، مصدر سابق ، ص 423 .

<sup>♦</sup> تم استخراج الامطار الفعالة وفق طريقة سلخوزيروم ، واختيار الاشهر اكثر مطراً.



## الفصل الرابع / تحليل العلاقة بين الخصائص الطبيعية والعمليات الجيومورفية في منطقة الدراسة

شكل (3-4) الناتج الرسوبي (E) وفق معادلة (Langbien and schumm.1958) في منطقة الدراسة



المصدر: بالاعتماد على جدول (4-4)

## الفصل الرابع / تحليل العلاقة بين الخصائص الطبيعية والعمليات الجيومورفية في منطقة الدراسة

جدول (4-4) الناتج الرسوبي وفق معادلة (Langbien and schumm.1958) في منطقة الدراسة

الناصرية			السماوة		
E	p	الشهر	E	p	الشهر
0.42	14.10	كانون الثاني	0.46	14.71	كانون الثاني
0.23	10.83	شباط	0.18	9.83	شباط
0.41	14.00	آذار	0.27	11.54	آذار
0.38	13.48	نيسان	0.14	8.73	نيسان
0.07	6.29	ايار	0.06	5.86	ايار
0.03	4.31	تشرين الاول	0.02	4.02	تشرين الاول
0.68	17.40	تشرين الثاني	0.40	13.82	تشرين الثاني
0.37	13.34	كانون الاول	0.14	8.83	كانون الاول
الديوانية			النخف		
E	p	الشهر	E	p	الشهر
0.44	14.43	كانون الثاني	0.21	10.38	كانون الثاني
0.24	11.06	شباط	0.21	10.49	شباط
0.12	8.24	آذار	0.13	8.45	آذار
0.31	12.37	نيسان	0.27	11.62	نيسان
0.01	2.96	ايار	0.02	3.89	ايار
0.15	3.31	تشرين الاول	0.01	3.28	تشرين الاول
0.31	12.37	تشرين الثاني	0.16	9.32	تشرين الثاني
0.22	10.62	كانون الاول	0.21	10.37	كانون الاول

المصدر: بالاعتماد على معادلة Langbien and schumm.1958 وجدول (3-15).

يتضح من الجدول (4-4) والشكل (4-3) ان اكثر ناتج رسوبي للأنهار منطقة الدراسة كان في شهر كانون الثاني (0.46 ، 0.44 م<sup>3</sup>/كم<sup>2</sup> سنة) لمحطة السماوة والديوانية، اما محطة الناصرية فسجل اعلى شهر تشرين الثاني نحو (0.68 م<sup>3</sup>/كم<sup>2</sup> سنة)، وفي محطة النخف سجل اعلى شهر نيسان اذ بلغ نحو (0.26 م<sup>3</sup>/كم<sup>2</sup> سنة). وتكون الرواسب متباينة عند تطبيق المعادلتين ونتيجة التكوينات الجيولوجية تكون مفتتة او صلبة او مناطق خالية من النبات الطبيعي هذا يؤدي الى نشاط عمليات التعرية وتؤثر في كمية الرواسب.

### المبحث الثاني

العلاقات الرياضية (الاحصائية) بين الخصائص المناخية والعمليات الجيومورفية في منطقة الدراسة  
تمهيد:

تكون العلاقة بين المناخ والعمليات الجيومورفية علاقة طردية لان نوع المناخ السائد في المنطقة جاف حسب معامل الجفاف D مما ادى الى نشاط العملية الجيومورفية الامر الذي انعكس على رسم وتباين صورة المظهر الارضي في منطقة الدراسة.

#### 4-2-1 معادلة (فورنية- ارنولدس (F-A-I)

هي من المعادلات المهمة في العمليات الجيومورفية ولاسيما تقدير التعرية المطرية والتي تعتمد هذه المعادلة على معدلات الامطار الشهرية ومجموع الامطار السنوية لمحطات منطقة الدراسة المختارة وهي (السماوة ، الناصرية ، النجف ، الديوانية) وحسب المعطيات المناخية لكمية الامطار المتساقطة بالنسبة لمحطات الدراسة وفق معادلة فورنيه (1).

$$F.A.I = \frac{(PI)^2}{p} \text{ حيث ان:}$$

F-A-I = القدرة الحتية للتساقط المطري في منطقة الدراسة.

$(PI)^2$  = تربيع معدل الامطار الشهري (مم).

p = كمية التساقط السنوي (مم).

لقد وضع (فورنية) مؤشراً لبيان شدة التعرية المطرية في اية منطقة على وفق محددات ، يلاحظ جدول (4-6).

جدول (4-5) صنف ( F-A-I ) نتائج المعادلة الى خمسة مستويات وهي كما يلي

الدرجات	شدة التعرية
اقل من 50	ضعيفة
50 - 500	معتدلة
500 - 1000	عالية
اكثر من 1000	عالية جداً

المصدر: سرحان نعيم الخفاجي ، دراسات في الجيومورفولوجيا، ط1، دار الكتب والوثائق بغداد، 2017. ص104

تبين من الجدول (4-6) و (4-7) و (4-8) و (4-9) والشكل (4-4) و (4-5) و (4-6) و (4-7) أن درجات التعرية المطرية بلغت (15.9) في محطة السماوة ، اما محطة الناصرية فقد بلغت (19.0). في حين بلغت في محطة النجف نحو (12.8) اما محطة الديوانية ف سجلت معدل التعرية (15.2) وهذا يعني ان منطقة الدراسة تقع ضمن مناطق التعرية الضعيفة حسب معادلة فورنية ويعزى ذلك الى قلة تساقط الامطار في منطقة الدراسة ، يلاحظ خريطة (4-2).

(1) سرحان نعيم الخفاجي ، دراسات في الجيومورفولوجيا، مصدر سابق، ص104.

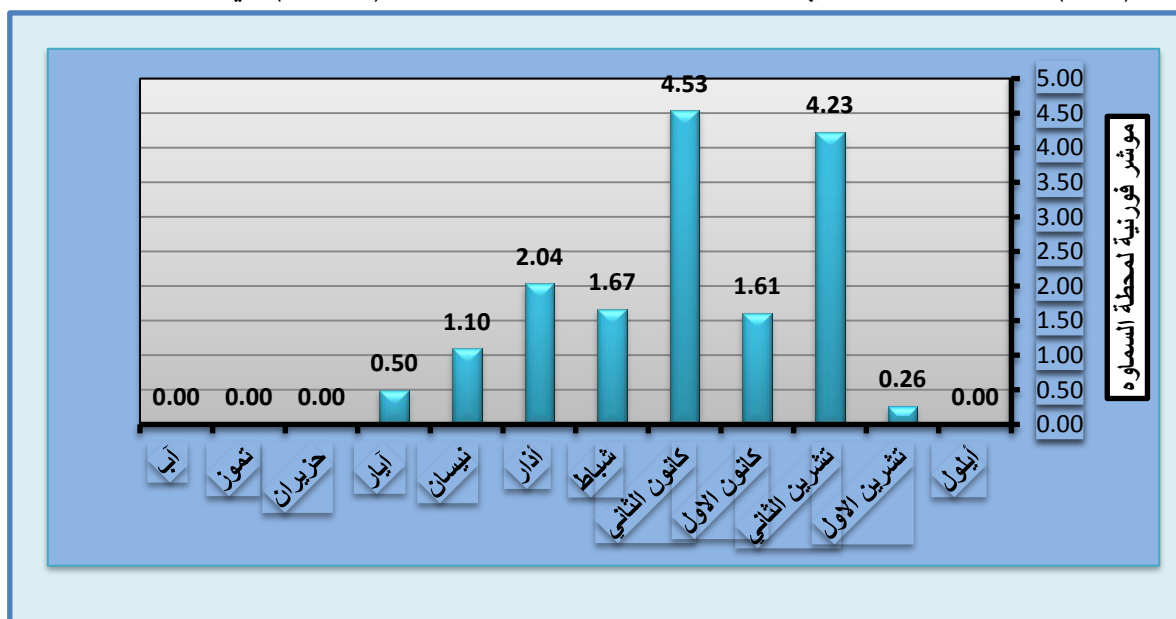
## الفصل الرابع / تحليل العلاقة بين الخصائص الطبيعية والعمليات الجيومورفية في منطقة الدراسة

جدول (4-6) قابلية المطر على التعرية حسب مؤشر فورييه - ارنولدس لمجموع الامطار الشهرية لمحطة السماوة

الاشهر	مجموع الامطار (مم)	تربيع الامطار ملم	مؤشر فورنييه-ارنولدس	شدة التعرية
ايلول	0.24	0.0576	0.00	ضعيفة
تشرين الاول	5.32	28.30	0.26	ضعيفة
تشرين الثاني	21.51	462.68	4.23	ضعيفة
كانون الاول	13.25	175.56	1.61	ضعيفة
كانون الثاني	22.27	495.95	4.53	ضعيفة
شباط	13.51	182.52	1.67	ضعيفة
أذار	14.92	222.60	2.04	ضعيفة
نيسان	10.95	119.90	1.10	ضعيفة
أيار	7.38	54.46	0.50	ضعيفة
حزيران	0.02	0.00	0.00	ضعيفة
تموز	0.00	0.00	0.00	ضعيفة
أب	0.00	0.00	0.00	ضعيفة
المجموع	109.4	1742	15.9	ضعيفة

المصدر: بالاعتماد على بيانات الانواء الجوية، محطة السماوة، بيانات غير منشورة للمدة (1980-2016).

شكل (4-4) تباين المعدل الشهري لقابلية التعرية المطرية وفق معادلة (F-A-I) في محطة السماوة



المصدر: بالاعتماد على جدول (4-6)

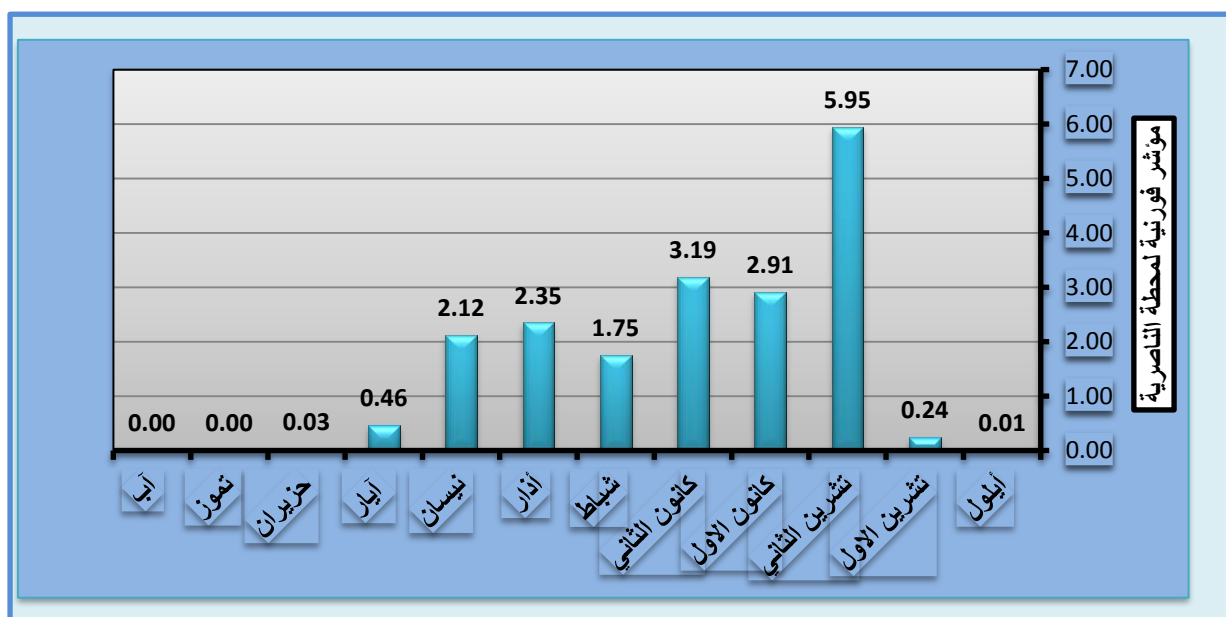
## الفصل الرابع / تحليل العلاقة بين الخصائص الطبيعية والعمليات الجيومورفية في منطقة الدراسة

جدول (4-7) قابلية المطر على التعرية حسب مؤشر فورنييه - ارنولدس لمجموع الامطار الشهرية لمحطة الناصرية

الاشهر	مجموع الامطار (مم)	تربيع الامطار ملم	مؤشر فورنييه-ارنولدس	شدة التعرية
ايلول	0.94	0.88000	0.01	ضعيفة
تشرين الاول	5.6	31.36	0.24	ضعيفة
تشرين الثاني	28.0	784.00	5.95	ضعيفة
كانون الاول	19.6	384.16	2.91	ضعيفة
كانون الثاني	20.5	420.25	3.19	ضعيفة
شباط	15.2	231.04	1.75	ضعيفة
أذار	17.6	309.76	2.35	ضعيفة
نيسان	16.7	278.89	2.12	ضعيفة
آيار	7.8	60.84	0.46	ضعيفة
حزيران	0.0	0.0	0.0	ضعيفة
تموز	0.0	0.0	0.0	ضعيفة
آب	0.0	0.0	0.0	ضعيفة
المجموع	131.9	2501	19.0	ضعيفة

المصدر: بالاعتماد على بيانات الانواء الجوية، محطة الناصرية، بيانات غير منشورة للمدة (1980-2016).

شكل (4-5) تباين المعدل الشهري لقابلية التعرية المطرية وفق معادلة (F-A-I) في محطة الناصرية



المصدر: بالاعتماد على جدول (4-7).



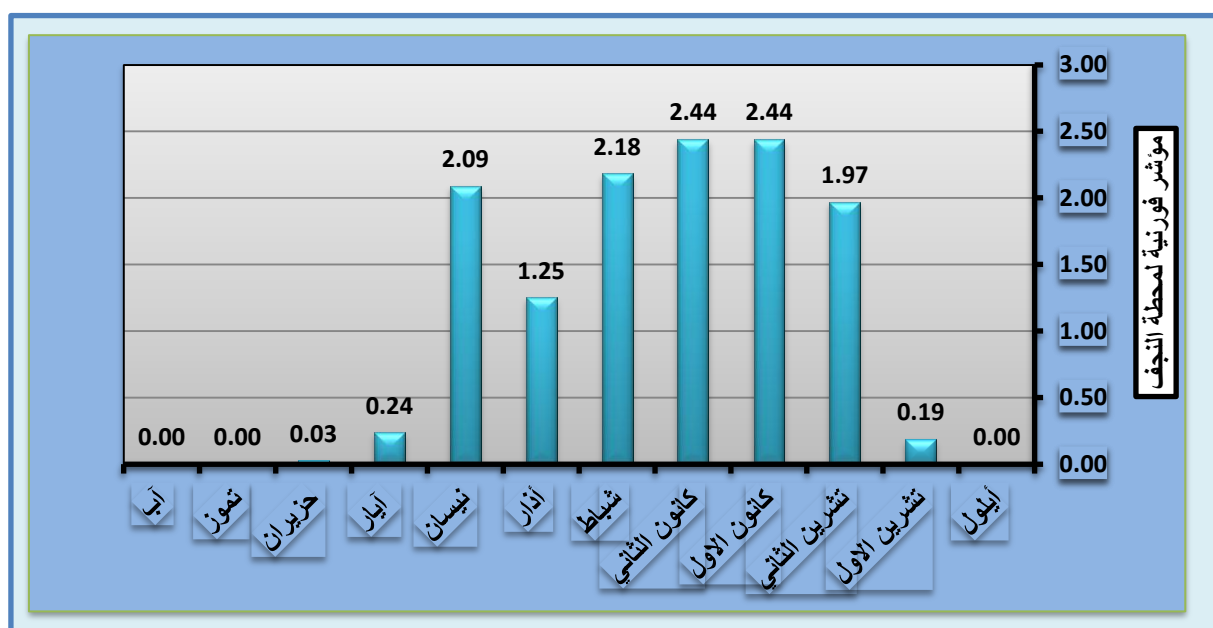
## الفصل الرابع / تحليل العلاقة بين الخصائص الطبيعية والعمليات الجيومورفية في منطقة الدراسة

**جدول (4-8) قابلية المطر على التعرية حسب مؤشر فورنييه - ارنولاس لمجموع الامطار الشهرية لمحطة النجف**

الاشهر	مجموع الامطار (مم)	تربيع الامطار ملم	مؤشر فورنيه-ارنولدس	شدة التعرية
ايلول	0.0	0.0	0.0	ضعيفة
تشرين الاول	4.1	16.81	0.19	ضعيفة
تشرين الثاني	13.3	176.89	1.97	ضعيفة
كانون الاول	14.8	219.04	2.44	ضعيفة
كانون الثاني	14.8	219.04	2.44	ضعيفة
شباط	14.0	196.00	2.18	ضعيفة
أذار	10.6	112.36	1.25	ضعيفة
نيسان	13.7	187.69	2.09	ضعيفة
أيار	4.6	21.16	0.24	ضعيفة
حزيران	0.0	0.0	0.0	ضعيفة
تموز	0.0	0.0	0.0	ضعيفة
آب	0.0	0.0	0.0	ضعيفة
المجموع	89.8	1149	12.8	ضعيفة

المصدر: بالاعتماد على بيانات الانواء الجوية، محطة النجف، بيانات غير منشورة للمدة (1980-2016).

شكل (4-6) تبين المعدل الشهري لقابلية التعرية المطرية وفق معادلة (F-A-I) في محطة النجف



المصدر: بالاعتماد على جدول (4-8).

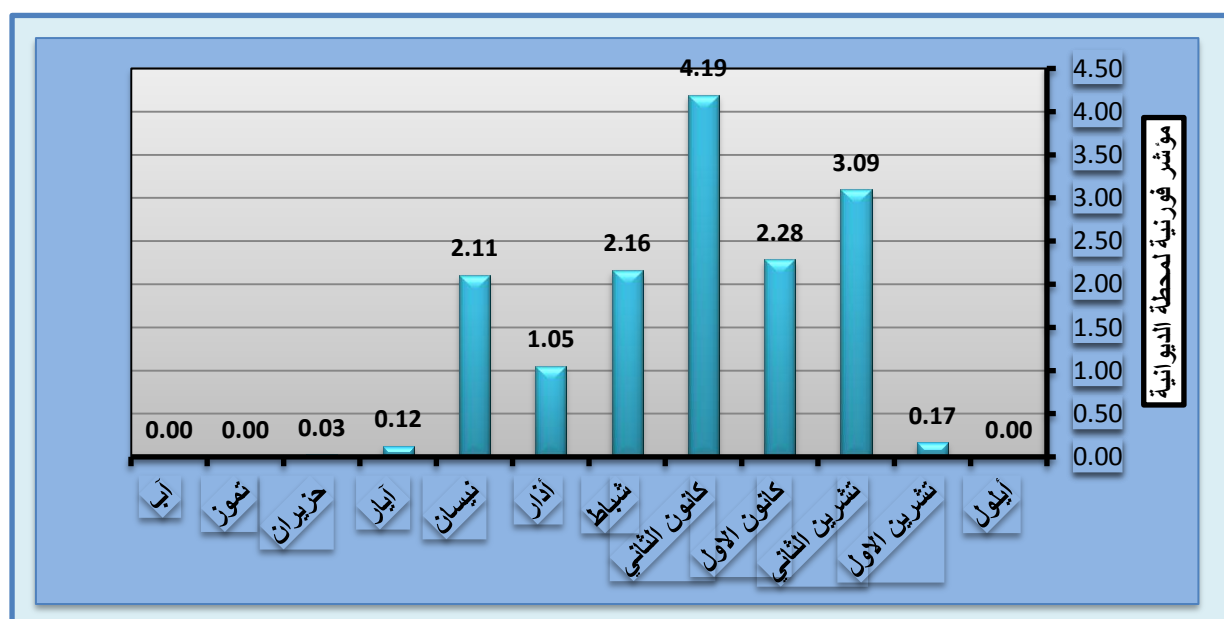
## الفصل الرابع / تحليل العلاقة بين الخصائص الطبيعية والعمليات الجيومورفية في منطقة الدراسة

جدول (4-9) قابلية المطر على التعرية حسب مؤشر فورنييه - ارنولدس لمجموع الامطار الشهرية لمحطة الديوانية

الاشهر	مجموع الامطار (مم)	تربيع الامطار ملم	مؤشر فورنييه-ارنولدس	شدة التعرية
ايلول	0.5	0.25	0.00	ضعيفة
تشرين الاول	4.1	16.81	0.17	ضعيفة
تشرين الثاني	17.7	313.29	3.09	ضعيفة
كانون الاول	15.2	231.04	2.28	ضعيفة
كانون الثاني	20.6	424.36	4.19	ضعيفة
شباط	14.8	219.04	2.16	ضعيفة
أذار	10.3	106.09	1.05	ضعيفة
نيسان	14.6	213.16	2.11	ضعيفة
أيار	3.5	12.25	0.12	ضعيفة
حزيران	0.0	0.0	0.0	ضعيفة
تموز	0.0	0.0	0.0	ضعيفة
آب	0.0	0.0	0.0	ضعيفة
المجموع	101.2	1536	15.2	ضعيفة

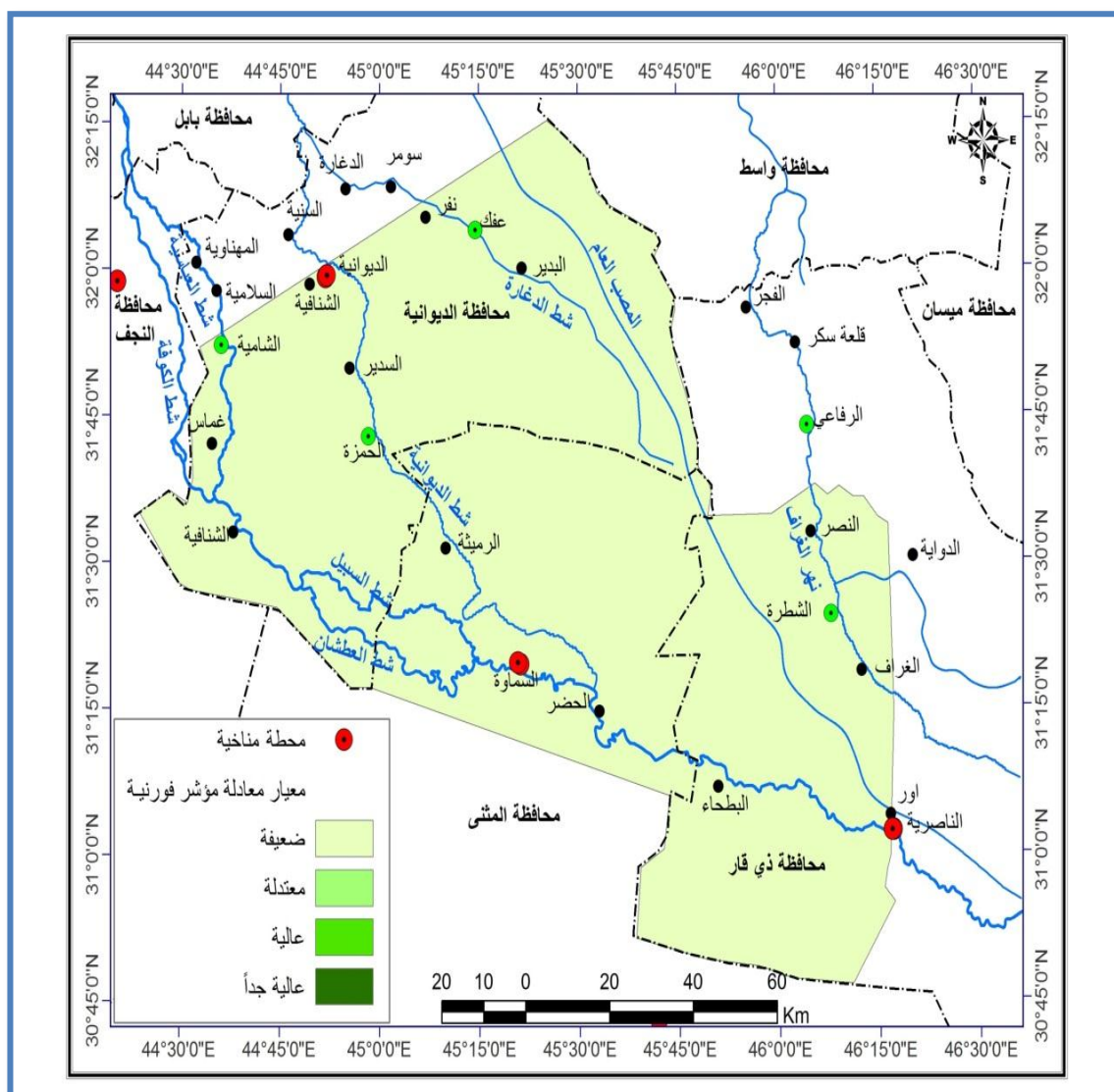
المصدر: بالاعتماد على بيانات الاتواء الجوية، محطة الديوانية، بيانات غير منشورة للمدة (1980-2016).

شكل (4-7) تبين المعدل الشهري لقابلية التعرية المطرية وفق معادلة (F-A-I) في محطة الديوانية



المصدر : بالاعتماد على جدول (4-9)

خريطة (2-4) نتائج مؤشر فورنية (F-A-I) للتعرية المطرية في منطقة الدراسة



المصدر: بالاعتماد على جدول (6-4) و(7-4) و(8-4) و(9-4) باستخدام برنامج (GIS 10.3) .

يتضح من الجدول (10-4) والشكل (8-4) والخريطة (3-4) التي صنفت بياناتها الى مجموعة فئات وزعت جغرافياً التباين المكاني لمؤشر فورنية (F-A-I) في منطقة الدراسة ، وتم تصنيف بياناتها على شكل فئات كما يلي:

- 1- **الفئة الاولى** : تنتشر هذه الفئة في الاقسام الشمالية الغربية والتي تتراوح درجة تباينها بين (12.8 ، 15.2) وتشغل مساحة (2610 كم<sup>2</sup>) تقريباً ونسبة (17.12%) من منطقة الدراسة.
- 2- **الفئة الثانية**: تتمثل هذه الفئة بشكل واسع ولاسيما في الاجزاء الوسطى والشمالية الشرقية والجنوبية الغربية والتي تتراوح درجة تباينها بين (15.2 ، 17.3) وتشغل مساحة (10033 كم<sup>2</sup>) تقريباً ونسبة (65.83%) من منطقة الدراسة.

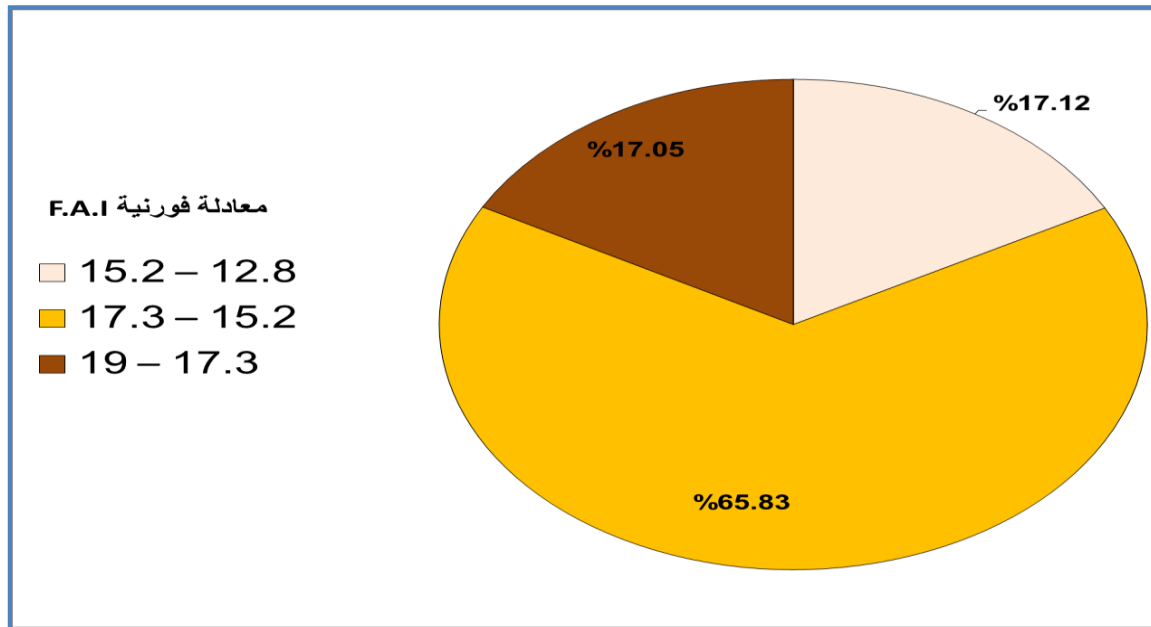
3- الفئة الثالثة: تظهر هذه الفئة في الجزء الجنوبي الشرقي والتي تتراوح درجة تباينها بين (17.3 ، 19) وتشغل مساحة (2598 كم<sup>2</sup>) تقريباً ونسبة (17.05%) من منطقة الدراسة. تبين من ذلك ان التباين المكاني وتذبذب كمية التعرية المطرية حسب تطبيق مؤشر فورنية (F-A-I) على مستوى السنوات الدراسة وكان المؤشر واضحاً نحو الانخفاض كما نلاحظ في ملحق (17) و(18) و(19) و(20) ونتيجة ارتفاع درجات الحرارة وقلة الامطار وانقطاع المنخفضات الرطبة في المنطقة يؤدي ذلك الى نشاط العمليات الجيومورفية ولاسيما التجوية والتعرية الريحية في منطقة الدراسة.

جدول (4-10) المساحة والنسبة المئوية لمؤشر (F-A-I) للتعرية المطرية في منطقة الدراسة

النسبة المئوية %	المساحة/ كم <sup>2</sup>	معادلة فورنية F.A.I
17.12	2610	15.2 – 12.8
65.83	10033	17.3 – 15.2
17.05	2598	19 – 17.3
100	15241	المجموع

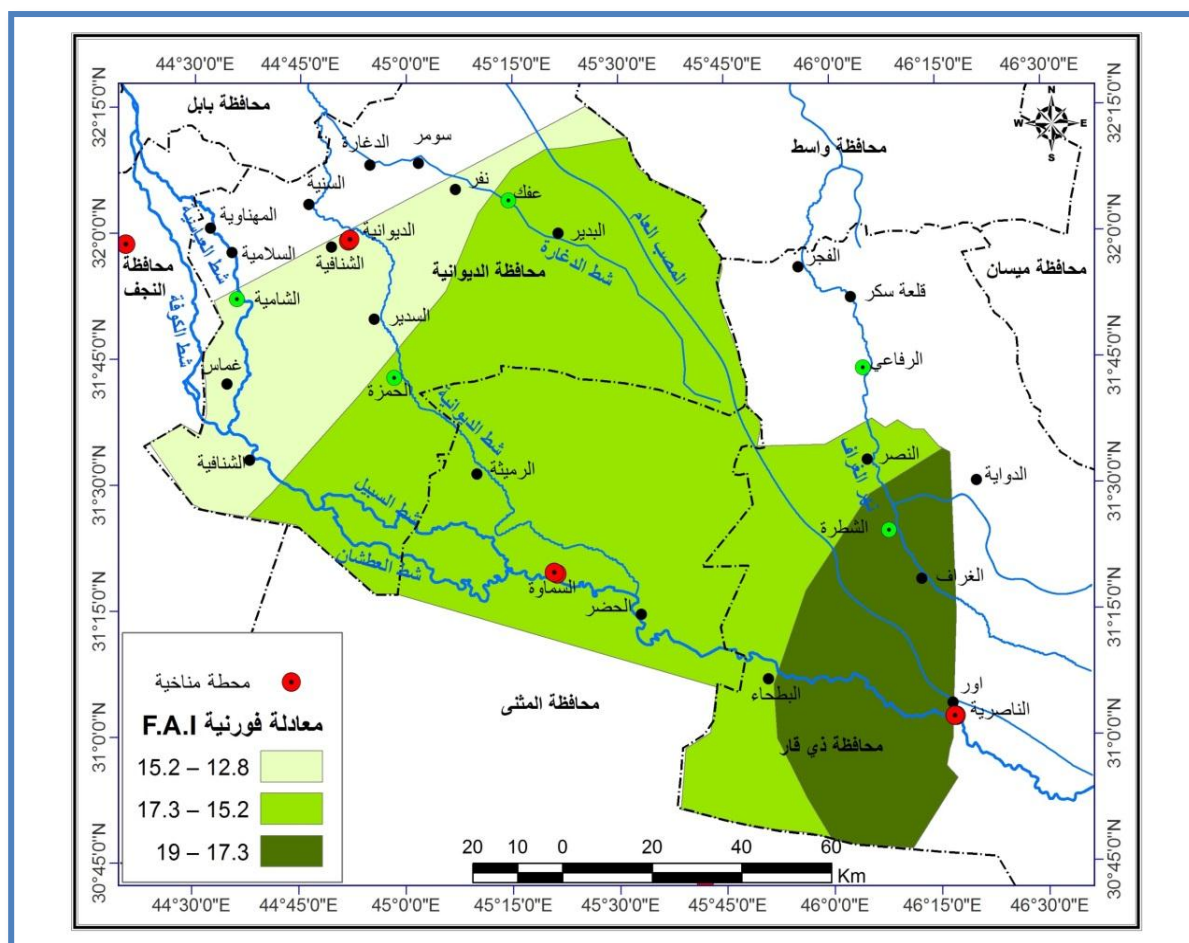
المصدر: بالاعتماد على جدول (4-6) و(4-7) و(4-8) و(4-9) باستخدام برنامج (Arc Map 10.3).

شكل (4-8) النسبة المئوية (%) لمؤشر (F-A-I) للتعرية المطرية في منطقة الدراسة



المصدر : بالاعتماد على جدول (4-10).

خريطة (3-4) التباين المكاني لمؤشر فورنية (F-A-I) للتعرية المطرية في منطقة الدراسة



المصدر: بالاعتماد على (6-4) و (7-4) و (8-4) و (9-4) وباستخدام برنامج (GIS 10.3)

#### 2-2-4 معادلة التعرية الريحية (chepil)

يمكن تقدير المعدل السنوي للتعرية الريحية في منطقة الدراسة من خلال المعطيات المناخية باستخدام معادلة (chepil)<sup>(1)</sup>. والتي تعتمد على عنصر سرعة الرياح والامطار بقيمتها الفعلية وفق طريقة سلخوزيروم ، لاستنباط قرائن القابلية المناخية لتعرية الرياح والتي تتناسب قوة الرياح الحتية طردياً مع مكعب سرعتها وعكسياً مع مربع الرطوبة للتربة والامطار وعبر عنها بالمعادلة التالية<sup>(2)</sup>:

أذ أن:

$$C = 386 \frac{V^3}{PE^2}$$

C=القابلية المناخية للتعرية الريحية

V<sup>(\*)</sup>=معدل سرعة الرياح ميل/ساعة

(1) عدنان هزاع البياتي ، كاظم موسى ، المناخ والقدرات الحتية للرياح في العراق ، مجلة الجمعية الجغرافية العراقية ، العدد32 ، 1989 ، ص79

(2) W.S, Chepil and F.H Siddoway, Climate Factor For Estimating wind Erodibility of Farm Field, j, Soil and water conser vation, Iowa, 1962, p.163.

(\*) معدل سرعة الرياح ميل/ساعة استخرجت من معدل سرعة الرياح م/ثا من خلال ضرب المراد تحويله  $(60 \times 60)$  ثم يقسم الناتج على 1000 ليكون الناتج كم /ساعة وثم يقسم الناتج على (1.56) ميل .

PE = المطر الفعال ويستخرج وفق المعادلة الآتية<sup>(1)</sup>:

$$\text{القيمة الفعلية للأمطار} = \text{معامل المطر الفعال} \times \text{كمية التساقط الكلي (ملم)}$$

جدول (4-11) درجات التعرية الريحية حسب معادلة (chepil)

درجة التعرية	قرينة الرياح
قليلة جداً	0 - 17
قليلة	18 - 35
متوسطة	36 - 71
عالية	72 - 150
عالية جداً	150 فأكثر

المصدر: عدنان هزاع البياتي، كاظم موسى، المناخ والقدرات الحية للرياح في العراق، مجلة الجمعية الجغرافية العراقية، العدد 32، 1989، ص 79.

جدول (4-12) قرائن القابلية المناخية للتعرية الريحية في منطقة الدراسة

المحطة	سرعة الرياح ميل / ساعة	متوسط الامطار الفعالة ملم	القابلية المناخية للتعرية C	مستوى التعرية
السماوة	7.61	6.45	4089.28	عالية جداً
الناصرية	9.46	7.81	5357.98	عالية جداً
النجف	4.38	5.65	1016.03	عالية جداً
الديوانية	9.23	6.28	7697.77	عالية جداً

المصدر : بالاعتماد على معادلة (Chepil) و جدول (3-7) و (3-15)

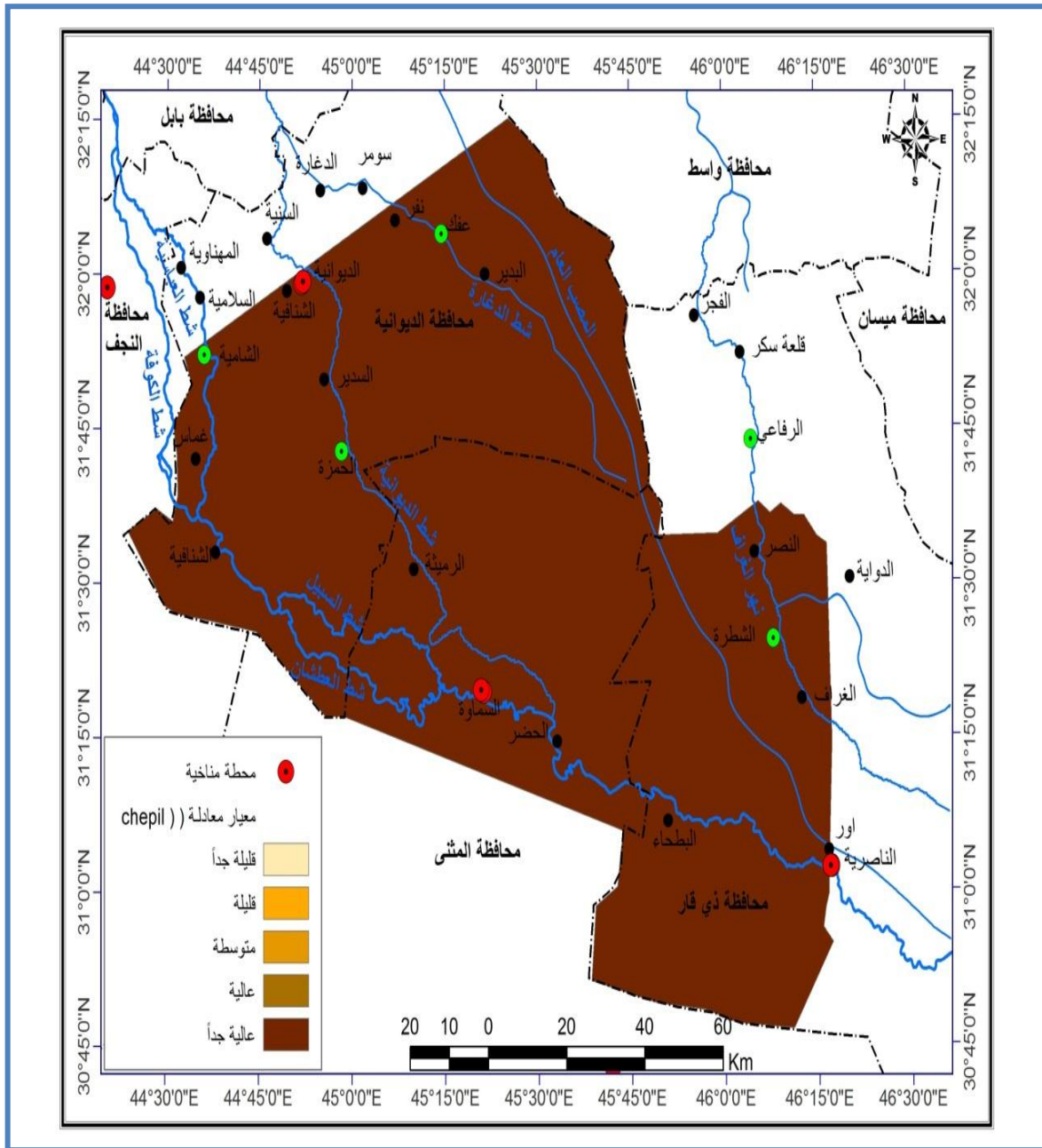
يتضح بعد تطبيق المعادلة (chepil) ان القابلية المناخية للتعرية في محطات منطقة الدراسة والمتمثلة في محطة ( السماوة ،الناصرية ، النجف ، الديوانية) وان اعلى قيمة للتعرية الريحية في محطة الديوانية والناصرية اذ بلغت نحو ( 7697.77 ، 5357.98) على التوالي وسجلت اقل قيمة في محطة السماوة والنجف نحو (4089.28 ، 1016.03). من العوامل التي تساعد على نشاط الحث الريحي ارتفاع درجة الحرارة وقلة كمية الأمطار وقلة النبات الطبيعي واستواء السطح ووصول سرعة الرياح إلى السرعة الحرجة وهي السرعة التي تبدأ فيها عملية فقدان قوة ترابط الدقائق الجافة المفككة بسطح الأرض وبداية تحركها ولا تتم التعرية إلا عندما تبدأ وتستمر هذه السرعة والتي تتراوح بين (3.5، 5.7) م/ ثانية<sup>(2)</sup> كما موضح في خريطة (4-4).

<sup>(1)</sup> علي عبد الزهرة الوائلي ، علم الهيدرولوجي والمورفوميتري، ط1، مطبعة احمد الدباغ، بغداد، 2012، ص233.

<sup>(2)</sup> صباح عبود عاتي الخزعلي، مصدر سابق، ص124.



خريطة (4-4) نتائج معادلة (chepil) للتعرية الريحية في منطقة الدراسة



المصدر: بالاعتماد على برنامج (GIS 10.3) ، وجدول (4-12)

يتضح من الجدول (4-13) والشكل (4-9) والخريطة (4-5) ان التباين المكاني لقابلية التعرية الريحية (chepil) في منطقة الدراسة وفق مجموعة من رتب كما يلي:

1- الرتبة الاولى : تنتشر هذه الرتبة في الجزء الشمالي الغربي والتي تتراوح درجة تباينها بين (1016، 4284) وتشغل مساحة (1364 كم<sup>2</sup>) تقريباً ونسبة (8.95%) من منطقة الدراسة.

## الفصل الرابع / تحليل العلاقة بين الخصائص الطبيعية والعمليات الجيومورفية في منطقة الدراسة

2- **الرتبة الثانية:** تمتد صورتها المكانية بشكل واسع ولاسيما في الاقسام الوسطى والجنوبية الشرقية والشمالية الغربية والتي تتراوح درجة تباينها بين (4284، 6368.4) وتشغل مساحة (10928 كم<sup>2</sup>) تقريباً ونسبة (71.70%) من منطقة الدراسة.

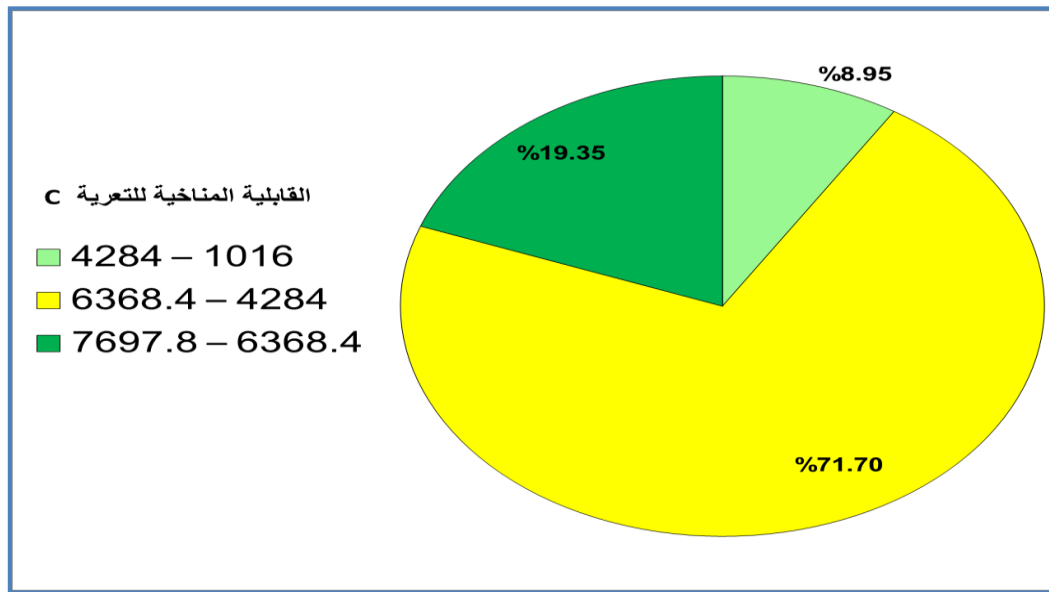
3- **الرتبة الثالثة :** تظهر هذه الرتبة في الجزء الشمالي الشرقي والتي تتراوح درجة تباينها بين (6368.4، 7697.8) وتشغل مساحة (2949 كم<sup>2</sup>) تقريباً بنسبة (19.35%) من منطقة الدراسة.

جدول (4-13) المساحة والنسبة المئوية لقابلية التعرية الريحية (C) في منطقة الدراسة

النسبة المئوية %	المساحة/ كم <sup>2</sup>	القابلية المناخية للتعرية C
8.95	1364	4284 – 1016
71.70	10928	6368.4 – 4284
19.35	2949	7697.8 – 6368.4
100	15241	المجموع

المصدر: بالاعتماد على جدول (4-12) باستخدام برنامج (Arc Map 10.3).

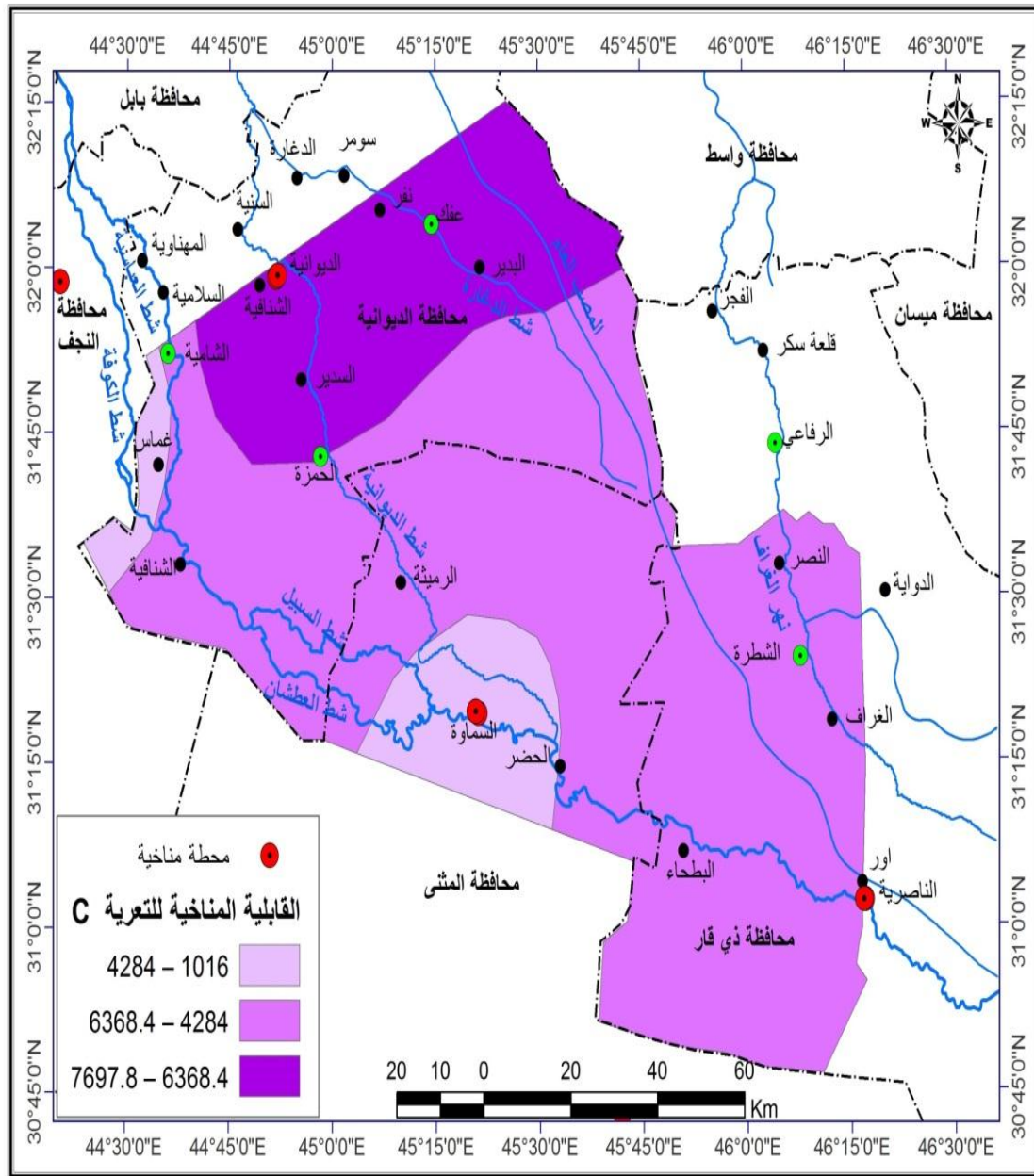
شكل (4-9) النسبة المئوية (%) لقابلية التعرية الريحية في منطقة الدراسة



المصدر : بالاعتماد على جدول (4-13)

## الفصل الرابع / تحليل العلاقة بين الخصائص الطبيعية والعمليات الجيومورفية في منطقة الدراسة

خريطة (4-5) التباين المكاني لقابلية المناخية لتعرية الريحية (C) في منطقة الدراسة



المصدر: بالاعتماد على برنامج (GIS 10.3) ، وجدول (4-12)

يتضح ان التباين المكاني للقابلية التعرية الريحية (chepil) في منطقة الدراسة متباين بين منطقة واخرى وحسب تطبيق معادلة (C) على مستوى سنوات الدراسة كما في جدول (4-14) و(4-15) و(4-16) و(4-17) وكان مؤشر التعرية الريحية واضحاً نحو الارتفاع لكل سنة من سنوات الدراسة، وبالتالي يؤدي الى اتساع المظهر الارضي في منطقة الدراسة ولاسيما الكتبان الرملية وانواعها .

## الفصل الرابع / تحليل العلاقة بين الخصائص الطبيعية والعمليات الجيومورفية في منطقة الدراسة

جدول (4-14) قرائن القابلية المناخية للتعرية الريحية السنوية وفق معادلة (chepil) لمحطة السماوة

السنوات	سرعة الرياح م/ثا	متوسط الامطار الفعالة ملم	سرعة الرياح ميل/ساعة	نتيجة تطبيق المعادلة C	وصف السنة
1980	3.2	6.1	7.38	4169.54	عالية جداً
1981	3.1	5.1	7.15	5424.47	عالية جداً
1982	2.5	4.7	5.76	3339.27	عالية جداً
1983	2.5	3.3	5.76	6773.60	عالية جداً
1984	3.6	4.5	8.30	10899.11	عالية جداً
1985	3.4	2.6	7.84	27516.20	عالية جداً
1986	3.5	8.3	8.07	2944.72	عالية جداً
1987	3.2	5.5	7.38	5128.88	عالية جداً
1988	3.4	5.6	7.84	5931.42	عالية جداً
1989	3.0	3.8	6.92	8857.95	عالية جداً
1990	2.7	2.1	6.23	21164.35	عالية جداً
1991	2.8	6.2	6.46	2707.02	عالية جداً
1992	3.1	8.1	7.15	2150.44	عالية جداً
1993	2.1	9.1	4.84	528.44	عالية جداً
1994	2.2	7.5	5.07	894.28	عالية جداً
1995	2.8	8.7	6.46	1374.79	عالية جداً
1996	2.9	7.3	6.69	2168.74	عالية جداً
1997	2.7	11.1	6.23	757.52	عالية جداً
1998	2.2	10.8	5.07	431.27	عالية جداً
1999	2.6	13.8	6.00	437.80	عالية جداً
2000	4.2	6.9	9.69	7376.64	عالية جداً
2001	4.7	4.8	10.84	21339.90	عالية جداً
2002	4.0	5.5	9.23	10033.83	عالية جداً
2003	4.3	4.3	9.92	20379.08	عالية جداً
2004	4.3	3.8	9.92	26094.82	عالية جداً
2005	4.2	3.6	9.69	27098.92	عالية جداً
2006	3.8	9.9	8.76	62647.45	عالية جداً
2007	4.3	4.0	9.92	23550.58	عالية جداً
2008	3.1	3.5	7.15	11517.60	عالية جداً
2009	3.1	4.1	7.15	8393.26	عالية جداً
2010	3.2	3.7	7.38	11333.00	عالية جداً
2011	3.3	4.2	7.61	9643.65	عالية جداً
2012	3.7	7.2	8.53	3621.35	عالية جداً
2013	3.3	16.2	7.61	648.20	عالية جداً
2014	3.3	6.9	7.61	3573.07	عالية جداً
2015	3.4	7.6	7.84	3220.38	عالية جداً
2016	3.3	7.7	7.61	2869.18	عالية جداً
المعدل	3.3	238.1	7.5	9917.3	عالية جداً

المصدر: بالاعتماد على:

- 1- بيانات وزارة النقل والمواصلات. الهيئة العامة للأنواء الجوية. قسم المناخ (بيانات غير منشورة). 2016.
- 2- باستخدام المعادلة (chepil) للتعرية الريحية في منطقة الدراسة.

## الفصل الرابع / تحليل العلاقة بين الخصائص الطبيعية والعمليات الجيومورفية في منطقة الدراسة

جدول (4-15) قرائن القابلية المناخية للتعرية الريحية السنوية وفق معادلة (chepil) لمحطة الناصرية

السنوات	سرعة الرياح م/ثا	متوسط الامطار الفعالة ملم	سرعة الرياح ميل/ساعة	نتيجة تطبيق المعادلة C	وصف السنة
1980	5.1	6.7	11.76	13984.82	عالية جداً
1981	5.1	7.6	11.76	10868.74	عالية جداً
1982	5.1	7.7	11.76	10588.27	عالية جداً
1983	5.2	5.6	12	21269.38	عالية جداً
1984	5.2	9.7	12	7089.04	عالية جداً
1985	5.0	5.7	11.53	18210.55	عالية جداً
1986	4.6	14.7	10.61	2133.51	عالية جداً
1987	5.5	5.2	12.69	29171.83	عالية جداً
1988	4.8	7.7	11.07	8831.77	عالية جداً
1989	5.6	8.2	12.92	12380.70	عالية جداً
1990	5.6	4.5	12.92	41110.04	عالية جداً
1991	5.6	13.2	12.92	4777.76	عالية جداً
1992	5.2	7.1	12	13231.66	عالية جداً
1993	4.6	7.5	10.61	8196.10	عالية جداً
1994	4.2	7.8	9.69	5772.55	عالية جداً
1995	4.2	8.1	9.69	5352.87	عالية جداً
1996	4.3	11.2	9.92	3003.90	عالية جداً
1997	3.6	10.9	8.30	1857.64	عالية جداً
1998	3.6	12.0	8.30	1532.68	عالية جداً
1999	3.7	11.4	8.53	1843.24	عالية جداً
2000	3.7	6.4	8.53	5848.89	عالية جداً
2001	4.3	4.4	9.92	19463.29	عالية جداً
2002	3.6	10.3	8.30	2080.37	عالية جداً
2003	3.4	5.4	7.84	6378.92	عالية جداً
2004	3.0	6.1	6.92	3437.48	عالية جداً
2005	3.1	6.5	7.15	3339.42	عالية جداً
2006	3.3	15.2	7.61	736.29	عالية جداً
2007	3.1	7.9	7.15	2260.70	عالية جداً
2008	3.1	4.1	7.15	8393.26	عالية جداً
2009	3.2	3.5	7.38	12665.21	عالية جداً
2010	3.2	3.9	7.38	10200.44	عالية جداً
2011	3.1	6.1	7.15	3791.74	عالية جداً
2012	3.2	7.5	7.38	2758.20	عالية جداً
2013	3.3	11.8	7.61	1221.73	عالية جداً
2014	3.2	6.4	7.38	3783.81	عالية جداً
2015	3.2	6.4	7.38	3787.81	عالية جداً
2016	3.2	6.2	7.38	4036.13	عالية جداً
المعدل	4.1	290.6	9.5	8524.1	عالية جداً

المصدر: بالاعتماد على:

- 1- بيانات وزارة النقل والمواصلات. الهيئة العامة للأشياء الجوية. قسم المناخ (بيانات غير منشورة). 2016.
- 2- باستخدام المعادلة (chepil) للتعرية الريحية في منطقة الدراسة.



جدول (4-16) قرائن القابلية المناخية للتعرية الريحية السنوية وفق معادلة (chepil) لمحطة النجف

السنوات	سرعة الرياح م/ثا	متوسط الامطار الفعالة ملم	سرعة الرياح ميل/ساعة	نتيجة تطبيق المعادلة C	وصف السنة
1980	2.3	7.2	5.30	1108.48	عالية جداً
1981	2.3	3.5	5.30	4690.92	عالية جداً
1982	2.7	11.0	6.23	771.36	عالية جداً
1983	2.4	7.8	5.53	1072.92	عالية جداً
1984	2.2	6.7	5.07	1120.59	عالية جداً
1985	1.8	3.6	4.18	2175.12	عالية جداً
1986	2.1	7.4	4.84	799.13	عالية جداً
1987	2.3	9.8	5.30	589.33	عالية جداً
1988	2.1	9.8	4.84	455.65	عالية جداً
1989	2.6	7.1	6	1653.95	عالية جداً
1990	3.1	1.9	7.15	39083.30	عالية جداً
1991	2.6	4.2	6	3726.35	عالية جداً
1992	2.6	6.9	6	1715.22	عالية جداً
1993	2.2	11.2	5.07	401.01	عالية جداً
1994	2.1	8.9	4.84	552.46	عالية جداً
1995	1.6	4.2	3.69	1099.35	عالية جداً
1996	1.4	5.7	3.23	400.25	عالية جداً
1997	1.4	8.8	3.23	167.92	عالية جداً
1998	1.3	5.2	3	358.42	عالية جداً
1999	1.2	2.9	2.76	964.77	عالية جداً
2000	1.1	3.3	2.53	573.86	عالية جداً
2001	1.3	4.8	3	452.34	عالية جداً
2002	1.6	4.2	3.69	1099.35	عالية جداً
2003	1.6	7.5	3.69	344.75	عالية جداً
2004	1.8	3.2	4.18	2752.88	عالية جداً
2005	1.4	4.5	3.23	642.18	عالية جداً
2006	1.8	11.9	4.18	199.06	عالية جداً
2007	1.8	2.2	4.18	5824.29	عالية جداً
2008	1.9	4.5	4.38	1582.50	عالية جداً
2009	1.7	4.2	3.92	1317.59	عالية جداً
2010	1.7	3.3	3.92	2134.87	عالية جداً
2011	1.8	4.6	4.18	1332.21	عالية جداً
2012	1.8	2.9	4.18	3351.91	عالية جداً
2013	1.9	3.6	4.38	2472.66	عالية جداً
2014	1.8	3.7	4.18	2059.13	عالية جداً
2015	1.8	3.4	4.18	2483.54	عالية جداً
2016	1.9	3.5	4.38	2647.48	عالية جداً
المعدل	1.9	209.1	4.4	2545.3	عالية جداً

المصدر: بالاعتماد على:

- 1- بيانات وزارة النقل والمواصلات، الهيئة العامة للأحواء الجوية ، قسم المناخ (بيانات غير منشورة). 2016.
- 2- باستخدام المعادلة (chepil) للتعرية الريحية في منطقة الدراسة.



## الفصل الرابع / تحليل العلاقة بين الخصائص الطبيعية والعمليات الجيومورفية في منطقة الدراسة

جدول (4-17) قرائن القابلية المناخية للتعرية الريحية السنوية وفق معادلة (chepil) لمحطة الديوانية

السنوات	سرعة الرياح م/ثا	متوسط الامطار الفعالة ملم	سرعة الرياح ميل/ساعة	نتيجة تطبيق المعادلة C	وصف السنة
1980	4.3	5.6	9.92	12015.60	عالية جداً
1981	3.9	4.1	9	16739.67	عالية جداً
1982	4.2	7.7	9.69	5923.46	عالية جداً
1983	5.2	3.8	12	46191.68	عالية جداً
1984	5.2	5.8	12	19827.82	عالية جداً
1985	5.0	5.2	11.53	21880.94	عالية جداً
1986	4.6	8.3	10.61	6692.27	عالية جداً
1987	5.5	7.8	12.69	12965.26	عالية جداً
1988	4.8	7.8	11.07	8606.77	عالية جداً
1989	5.6	7.6	12.92	14412.71	عالية جداً
1990	5.6	2.4	12.92	144527.51	عالية جداً
1991	5.6	6.4	12.92	20324.18	عالية جداً
1992	5.2	6.8	12	14424.91	عالية جداً
1993	4.6	12.4	10.61	2998.37	عالية جداً
1994	4.2	8.7	9.69	4640.00	عالية جداً
1995	4.2	6.9	9.69	7376.64	عالية جداً
1996	4.3	7.4	9.92	6881.10	عالية جداً
1997	3.6	6.8	8.30	4773.07	عالية جداً
1998	3.6	6.8	8.30	4773.07	عالية جداً
1999	3.7	6.0	8.53	6654.74	عالية جداً
2000	3.7	13.3	8.53	1354.34	عالية جداً
2001	3.5	5.9	8.07	5827.70	عالية جداً
2002	3.6	12.5	8.30	1412.52	عالية جداً
2003	3.7	7.1	8.53	4752.44	عالية جداً
2004	3.0	3.5	6.92	10441.53	عالية جداً
2005	3.1	6.1	7.15	3791.74	عالية جداً
2006	3.3	6.6	7.61	3905.28	عالية جداً
2007	3.1	2.7	7.15	19354.00	عالية جداً
2008	3.1	2.8	7.15	17996.62	عالية جداً
2009	3.2	2.9	7.38	18448.13	عالية جداً
2010	3.2	3.3	7.38	14246.90	عالية جداً
2011	3.1	5.2	7.15	5217.85	عالية جداً
2012	3.2	5.8	7.38	4612.03	عالية جداً
2013	3.2	4.7	7.38	7023.48	عالية جداً
2014	3.1	5.3	7.15	5022.80	عالية جداً
2015	3.2	5.3	7.38	5523.27	عالية جداً
2016	3.2	5.1	7.38	5964.96	عالية جداً
المعدل	4.0	232.4	9.3	13987.2	عالية جداً

المصدر: بالاعتماد على:

1- بيانات وزارة النقل والمواصلات. الهيئة العامة للأتواء الجوية . قسم المناخ (بيانات غير منشورة). 2016.

2- باستخدام المعادلة (chepil) للتعرية الريحية في منطقة الدراسة.

#### 4-2-3 تطبيق نموذج جافر يلوفاك لتقدير التعرية المائية في منطقة الدراسة

تعد منطقة الدراسة من المناطق المهمة لاحتوائها على موارد طبيعية كثيرة ، وهذا جعلها قابلة للتنمية السياحية والصناعية والزراعية. ان المساحات الزراعية الكبيرة ذات الترب الجيدة بدأت تتناقص انتاجيتها بفعل التعرية المائية ، ولهذا السبب تم اختيار نموذج جافريلوفيك لتقدير التعرية المائية في منطقة الدراسة ويطبق هذا النموذج من خلال سلسلة من المعادلات على النحو الاتي<sup>(1)</sup>:

$$w = t * h * n * \sqrt{z^3}$$

$w$  = المعدل السنوي للتعرية المائية (  $\text{م}^3 / \text{كم}^2 / \text{سنة}$  )

جدول (4-18) درجات تقدير التعرية المائية حسب نموذج جافر يلوفاك

مستوى التعرية	معامل التعرية المائية ( $\text{م}^3 / \text{كم}^2 / \text{سنة}$ )
ضعيفة	أقل من 500
متوسطة	500 - 800
عالية	800 فأكثر

المصدر : سرحان نعيم الخفاجي ، دراسات في الجيومورفولوجيا، ط1، دار الكتب والوثائق بغداد، 2017. ص100

$t$  = معامل الحرارة والذي يحسب عن طريق المعادلة الاتية :

$$t = (0.1 * t_o + 0.1)^{0.5}$$

حيث :

$t_o$  = درجة الحرارة (م) المحسوسة العليا للتربة ويستخرج عن طريق GIS .

$h$  = المجموع السنوي للأمطار (مم)

$n$  = ثابت مقداره 3.14

$Z$  = معامل التعرية وهو اهم عناصر النموذج وقد يكفي به لوحده مؤشراً على تقدير التعرية المائية في منطقة الدراسة وله فائدة عظيمة في تتبع التغيير في مستويات التعرية مع مرور الزمن لمعرفة تأثيرات مستويات الممارسة والتغير في الانشطة واستخدامات الارض ، ويحسب معامل التعرية عن طريقة المعادلة الاتية :

$$z = Y * X_a * (\Phi + \sqrt{J_a})$$

$Y$  = معامل قابلية التربة للتعرية .

$X_a$  = معامل حماية التربة .

$\Phi$  = معامل تطور التعرية وشبكة التصريف

$J_a$  = معدل انحدار التضاريس في منطقة الدراسة (%)

<sup>(1)</sup> سعد ابو راس الغامدي ، قسم الجغرافية ، جامعة ام القرى ، تطبيق نموذج جافريلوفيك لتقدير التعرية المائية في حوض وادي نعمان بوسائل الاستشعار عن بعد ونظم المعلومات الجغرافية ، المجلة المصرية للتغير البيئي ، العدد الاول ، 2009، ص19

## الفصل الرابع / تحليل العلاقة بين الخصائص الطبيعية والعمليات الجيومورفية في منطقة الدراسة

وصنفت مستويات التعرية المائية تبعاً لقيمة (Z) كما موضح في الجدول (4-19).

جدول (4-19) فئات مستويات التعرية تبعاً لقيمة معامل التعرية (Z).

ت	مستوى التعرية	معامل التعرية	متوسط قيمة
1	شديدة جداً	1,01 أكثر	1,25
2	شديدة	1,0 – 0,71	0,85
3	متوسطة	0,70 – 0,41	0,55
4	خفيفة	0,40 – 0,20	0,30
5	خفيفة جداً	0,19 – 0,01	0,10

المصدر : سعد ابو راس الغامدي ، قسم الجغرافية ، جامعة ام القرى ، تطبيق نموذج جافريلوفيك لتقدير التعرية المائية في حوض وادي نعمان بوسائل الاستشعار عن بعد ونظم المعلومات الجغرافية ، المجلة المصرية للتغير البيئي ، العدد الاول ، ص 19، 2009 .

جدول (4-20) العوامل المستخدمة لاستخراج قيمة (Z)

معامل قابلية التربة للتعرية (y)	
0.3-0.1	صخور صلبة شديدة المقاومة
0.5-0.3	صخور ذات مقاومة متوسطة
0.6-0.5	صخور ضعيفة المقاومة
0.8-0.6	ركام حطامي ورواسب خشنة وترب صلصاليه
1.0-0.9	رواسب رملية ناعمة وترب لا مقاومة لها
معامل حماية التربة (xa)	
0.2-0.05	غابات مختلطة كثيفة – متوسطة الكثافة
0.4-0.2	غابات صنوبرية وجنابات متبعثرة على جوانب القنوات المائية
0.6-0.4	مراع وغابات او جنابات متضررة
0.8-0.6	مزارع ومراع متضررة
1.0-0.8	اراضٍ جرداء
معامل تطور التعرية وتطور شبكة التصريف (Φ)	
0.2-0.1	تعرية ضعيفة في حوض التصريف
0.5-0.3	تعرية في القنوات المائية بين 20%-50% من حوض التصريف
0.7-0.6	تعرية في الانهار والاختاديد والارسابات الفيضية وتعرية كارستية
0.9-0.8	50%-80% من حوض التصريف تحت تأثير التعرية والانزلاقات الارضية
1.0	جميع حوض التصريف تحت تأثير التعرية

المصدر : سعد ابو راس الغامدي ، قسم الجغرافية ، جامعة ام القرى ، تطبيق نموذج جافريلوفيك لتقدير التعرية المائية في حوض وادي نعمان بوسائل الاستشعار عن بعد ونظم المعلومات الجغرافية ، المجلة المصرية للتغير البيئي ، العدد الاول، 2009، ص 19.

## الفصل الرابع / تحليل العلاقة بين الخصائص الطبيعية والعمليات الجيومورفية في منطقة الدراسة

وبعد تطبيق معادلة (Z) تبين ان قيمتها بلغت (0.12) وبسبب نسبة انحدارها البالغة نحو (0.06%) وعند الرجوع الى مستويات وفئات التعرية تبعا لقيمة (Z) تبين ان التعرية خفيفة جداً. كما موضح في الجدول (21-4).

جدول (21-4) بعض القيم المستخدمة لاستخراج قيمة (W) في منطقة الدراسة

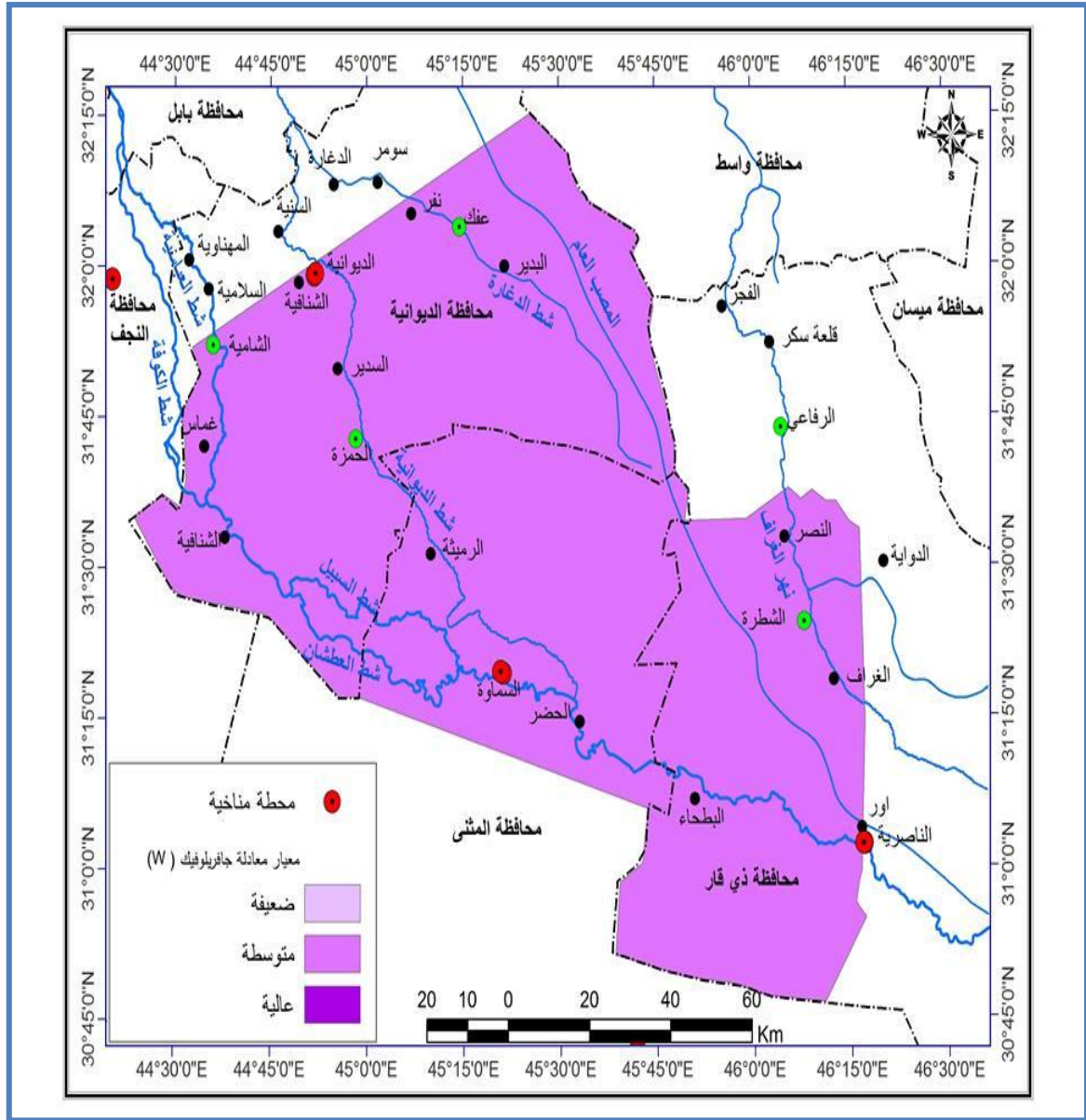
وصف المنطقة	التعرية المائية م <sup>3</sup> /كم <sup>2</sup> /سنة W	$\sqrt{Z^3}$	Z3	قيمة Z	الحرارة المحسوسة t	نسبة الانحدار %	منطقة الدراسة
متوسطة	646.43	0.041	0.0017	0.12	46.45	0.06	

المصدر: بالاعتماد على معادلة قيمة (Z) و برنامج GIS 10.3 .

تم تطبيق المعادلة الخاصة في انموذج جافريلوفيك (W) تبين النتائج ان التعرية المائية في منطقة الدراسة وحسب الانموذج اذ بلغت (646.43 م<sup>3</sup>/كم<sup>2</sup>/سنة) وكانت نسبة انحدارها نحو (0.6%)، وعند المقارنة قيم (W) مع المعيار الخاص بالانموذج تبين ان قيم التعرية المائية في منطقة الدراسة كانت فيها متوسطة ، اما عند مقارنة قيمة (Z) بالمعيار الخاص بها تبين ان منطقة الدراسة تقع ضمن التعرية الخفيفة جداً وهو اهم عناصر النموذج وقد يكتفي به لوحده كمؤشر على تقديم التعرية المائية في منطقة الدراسة ، وسبب هذا النوع من التعرية في منطقة الدراسة يعود لجملة من الامور منها انتشار الترب الصحراوية المفككة بنسبة (8.73%) من مساحة منطقة الدراسة ، وكذلك وجود التراكيب الخطية والفواصل المنتشرة في المنطقة و موقع منطقة الدراسة ضمن تكوينات الزمن الثلاثي ولاسيما تكوين الفرات والزهرة والتي تكون ظروفها ملائمة للتعرية المائية ، اما العامل المناخي فله الاثر البارز حيث ارتفاع درجات الحرارة مما يجعل الترب مفككة ، جرداء ، خالية من النباتات ، وعند سقوط الامطار يعمل الانحدار على تحريك هذه السيول مما تؤثر على النشاطات البشرية في منطقة الدراسة ، يلاحظ خريطة (4-6).

## الفصل الرابع / تحليل العلاقة بين الخصائص الطبيعية والعمليات الجيومورفية في منطقة الدراسة

خريطة (4-6) نتائج نموذج جافريلوفيك (W) لتقدير التعرية المائية في منطقة الدراسة



المصدر: بالاعتماد على برنامج (GIS 10.3) ، وجدول (4-21) .

### المبحث الثالث

#### التوزيع الجغرافي للأشكال المورفومناخية في منطقة الدراسة

##### تمهيد

تعد الاشكال الارضية في المنطقة انعكاساً للظروف الطبيعية ولاسيما الخصائص المناخية (القديمة والحالية والبنية الجيولوجية، طبيعة السطح، انواع التربة ، الموارد المائية ، النبات الطبيعي) التي تسهم بدورها الفعال في طبيعة تكوين المظاهر الارضية في المنطقة ، وبما ان منطقة الدراسة تتصف باستواء سطحها وقلة انحدارها والتباين المكاني للمظاهر الأرضية . حيث تم وصف الأشكال الارضية (\*) وتحليلها وتوزيعها الجغرافي بالاعتماد على الدراسة الميدانية والمرئيات الفضائية من خلال إعداد خريطة جيومورفية التي تعد مصدراً من مصادر المعرفة وتحقيق هدف الدراسة من خلالها يمكن الاستدلال على الكثير من الاشكال وتفسير وتحليل العديد من الظواهر بعد تحديد مواقعها من أجل ذلك تم اعتماد نظام المسح الجيومورفولوجي العالمي (I.T.C) الصادر عن المعهد الدولي لمسوحات الفضاء وعلوم الاراضي في هولندا عام 1975، الذي يستند في تصنيفه للأشكال الأرضية على معيار نوع العملية الجيومورفية الأساسية المسؤولة عن تشكيل المظهر الارضي، وهو نظام معتمد لدى معظم أقسام الجغرافية وأغلب الجيومورفولوجيين في العالم، كونه نظام مرن قابل للتطبيق في بيئات مختلفة<sup>(1)</sup> ، في الخريطة (4-7) والجدول (4-22) والشكل (4-10) سنتعرف على الاشكال الارضية حسب أصل العملية التي قامت بتكوينها. وفقاً لذلك صنفنا منطقة الدراسة الى ثلاث وحدات ارضية وكالاتي:

#### 4-3-1 وحدات ذات اصل بينوي - تعروي

تعد هذا الاشكال التي ترجع في اصلها الى الاختلاف في تكوين الطبقات الصخرية ونظام بنائها ودرجة ميلها واثار التراكيب الخطية، وتتأثر بالعمليات الجيومورفية ولاسيما (الحت والتجوية)، ويمكن تميز الاشكال الآتية:

#### 4-3-1-1 الهضاب Plateaus

يتمثل هذا الشكل في الاجزاء الغربية والتي تشغل مساحة (451.9 كم<sup>2</sup>) ونسبة (2.97%) من منطقة الدراسة ، وتعد الهضاب من الأشكال الأرضية الرئيسة في المنطقة. هي عبارة عن مساحة مرتفعة من الأرض ذات سطوح منبسطة تتميز بجوانب شديدة الانحدار وهي على الأرجح حواف انكسارية أو جوانب أودية تأثرت بعمليات الحت ولا يخلو سطحها من بعض التباينات في المظاهر حيث يتقطع سطحها الى أودية عميقة بواسطة المجاري المائية ، وهذا الارتفاع في سطح الهضبة قد يكون ناتجاً من عمليات رفع

(\*) هي حسيبة تفاعل ثلاثة متغيرات كل يؤثر بمقدار معين في نوعيته وسرعة وشكل انجاز العملية الجيومورفية والمتمثلة بالبنية والعملية والزمن.

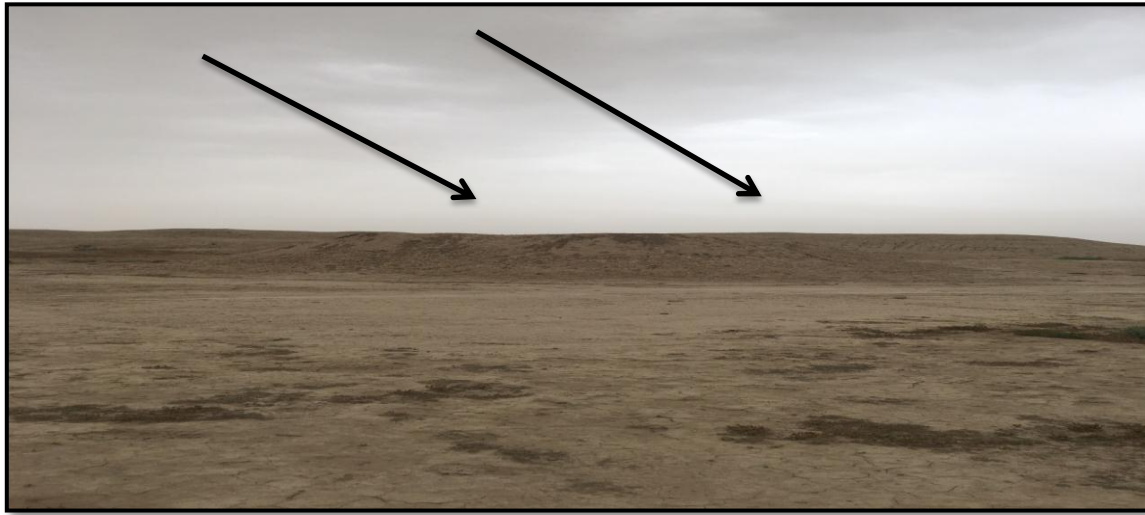
(1) هيرمان فيرستابن، روي فان زويدام، نظام المسح الجيومورفولوجي لمسوحات الفضاء وعلوم الاراضي، ترجمة: يحيى عيسى فرحان، دار مجدي لاي للنشر والتوزيع، عمان - الاردن، 1988، ص7.



## الفصل الرابع / تحليل العلاقة بين الخصائص الطبيعية والعمليات الجيومورفية في منطقة الدراسة

بحيث تبدو كأنها تشبه سهولاً مرتفعة إلى الأعلى<sup>(1)</sup>. إذ توجد طبقات قليلة المقاومة للعمليات الجيومورفية فيسهل جرفها من أسفل حافات الطبقات الصخرية الأكثر مقاومة ، إذ تتعرض صخور الطفل والطين إلى عمليات حتية مائية مما يؤدي إلى تراجع دائم للحافات الصخرية فضلاً عن وجود مناطق التطبيق التي تعمل على وجود فجوات متوازية يؤدي إلى تقليل في حجم الهضاب عكس الطبقات الصخرية الأكثر صلابة المتمثلة بصخور الكلس والدولومايت التي تتعرض إلى التراجع بفعل عمليات الحت، وأثرت عوامل التعرية المائية والريحية في تراجع المنحدرات من الحافات العليا للهضاب ثم تقلص الهضبة وتجزؤها إلى أشكال تلائية محاطة بصخور منكشفة تمثل بقايا التعرية للهضاب الكبيرة مكونة بذلك موائد صخرية وبقايا تلال التعرية<sup>(2)</sup> ، كما في صورة (6-4).

صورة (6-4) إحدى الهضاب في منطقة الدراسة



المصدر: الدراسة الميدانية لمنطقة الدراسة بتاريخ (2018/2/21) ، الموقع  $31^{\circ} 07' N - 44^{\circ} 09' E$

صورة (7-4) الموائد الصخرية في اتجاه الشمال الغربي من منطقة الدراسة



المصدر: الدراسة الميدانية لمنطقة الدراسة بتاريخ (2018/2/22) ، الموقع  $31^{\circ} 52' N - 45^{\circ} 20' E$

(1) يوسف عبد الحميد فايدة ، جغرافية السطح ، دار النهضة العربية ، بيروت، 1972، ص19  
(2) آرثر آن ستريلر ، الجغرافية الطبيعية ، الجزء الثالث، ترجمة محمد سيد غلاب ، دار الاشعاع الفنية ، مصر، 1998، ص357.

#### 2-1-3-4 الموائد الصخرية (الميسا): Mesa

تعرف الميسا بأنها تلال مستوية السطوح ذات جوانب شديدة الانحدار تغطيها طبقة صخرية صلبة تحميها من التعرية وقد اقتطعت هذه الأشكال من الهضاب بفعل عدة عوامل منها تكتونية أدت الى وجود الصدوع والانكسارات واخرى الخصائص المناخية مرتبطة بعمليات النحت بالمياه السطحية الجارية التي تعرضت لها المنطقة في الفترة المطرية وكذلك تأثير الرياح والأمطار فضلاً عن عدم التجانس الطبقي وضعف الصخور التي كان لها الأثر الواضح في تشكيل هذه الظاهرة<sup>(1)</sup>، فضلاً عن وجود التراكيب الخطية المختلفة الاتجاه والامتداد على انتشارها ولاسيما قرب الهضاب الكبيرة وشوهدت هذه الظاهرة بنسبة قليلة في الجزء الغربي من منطقة الدراسة . إذ تتعرض الصخور الهشة الى عمليات التعرية المائية مكونة هضاب ذات جوانب شديدة الانحدار، يلاحظ صورة (4-7).

#### 3-1-3-4 التلال Hills

يظهر هذا الشكل في الاجزاء الشمالية الغربية من منطقة الدراسة التي يتراوح ارتفاعها بين (4-6 م)، وهي تلال قبابية ذات جوانب قليلة الانحدار قد يخلو سطحها من الصخور او من طبقة صخرية رقيقة نتيجة لعمليات التجوية وخاصة الميكانيكية ، فضلاً عن عمليات التعرية الريحية . تعد بقايا تلال التعرية مرحلة متقدمة في التعرية على البيوت ، وقد تسمى الشواهد للدلالة على ان المنطقة كانت هضبة أدت عمليات التجوية والتعرية على إزاحتها وبقيت عبارة عن تلال شاهدة وسط منطقة مستوية<sup>(2)</sup> تظهر هذه التلال كأجسام متبقية أما بصورة منفردة أو على شكل تجمعات تغطي مساحات اكبر. فإذا ظهرت بصورة منفردة فهذا يدل على أنها كتلة صخرية صلبة قاست مراحل التقطيع والتجزئة المتعاقبة لجسم الهضبة بفعل الحت النهري الرأسي وبالتالي لم يبق منها سوى شواهد منفردة<sup>(3)</sup>، كما في الصورة (4-8).

صورة(4-8) التلال المنفردة في اتجاه الشمال الغربي من منطقة الدراسة



المصدر: الدراسة الميدانية لمنطقة الدراسة بتاريخ (2018/2/22)، الموقع 24° 45' N – 56° 20' E

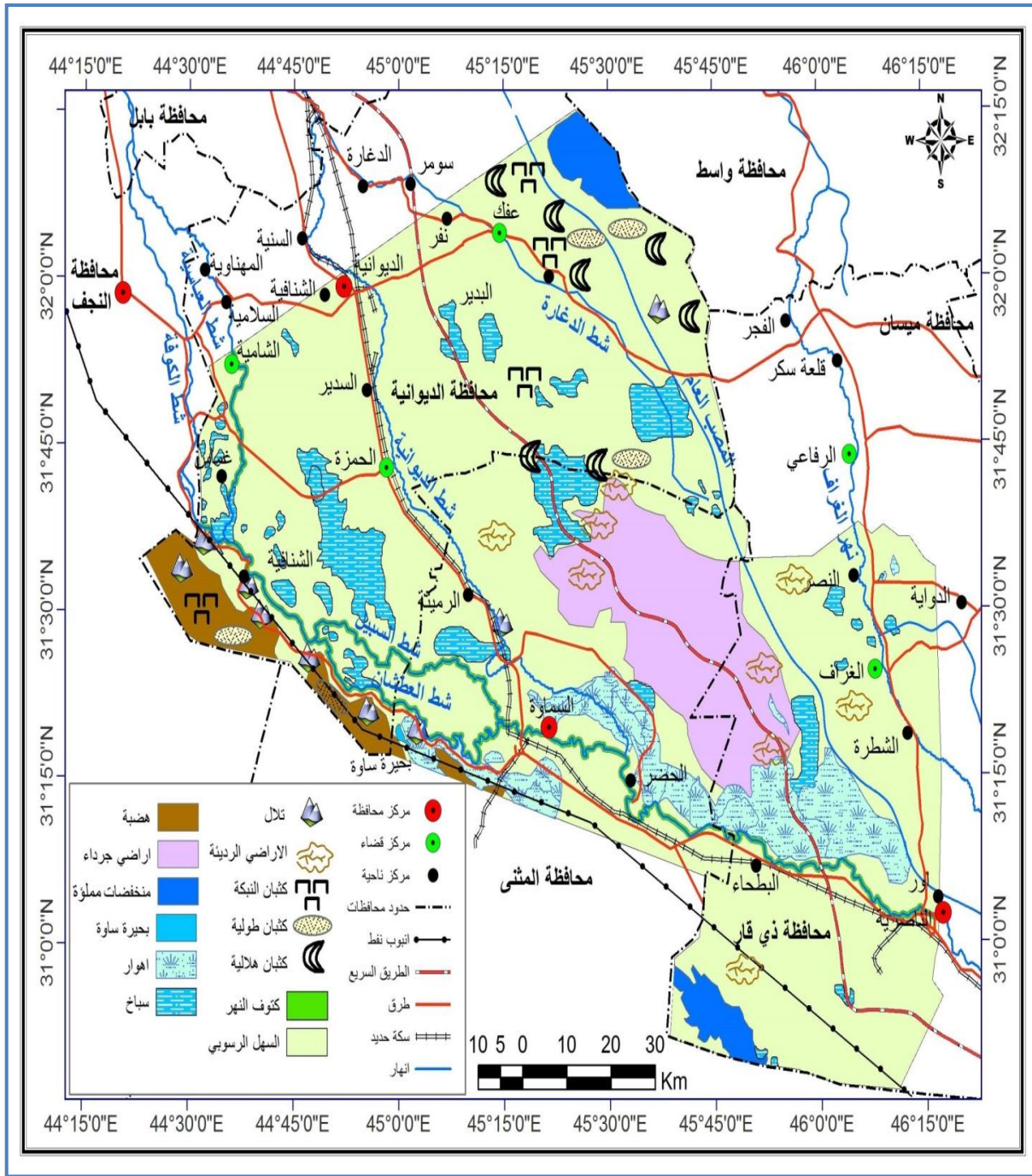
(1) <https://www.google.iq>

(2) عايد جاسم حسين الزاملي، مصدر سابق ، ص170.

(3) عبد الله صبار عبود العجيلي ، وديان غرب الرزاة الثانوية والاشكال الارضية المتعلقة بها ، مصدر سابق ، ص152.

## الفصل الرابع / تحليل العلاقة بين الخصائص الطبيعية والعمليات الجيومورفية في منطقة الدراسة

خريطة (7-4) الاشكال الارضية (الجيومورفية) في منطقة الدراسة



المصدر: بالاعتماد على :

- 1- الدراسة الميدانية
- 2- مرئية فضائية للقمر الصناعي land sat 7 ، الباندات (7-4-2) بتاريخ 2013/5/9 ومعالجتها باستخدام برنامج (ERDAS IMAGINE 9.2) وبرنامج (Arc Map 10.3) .

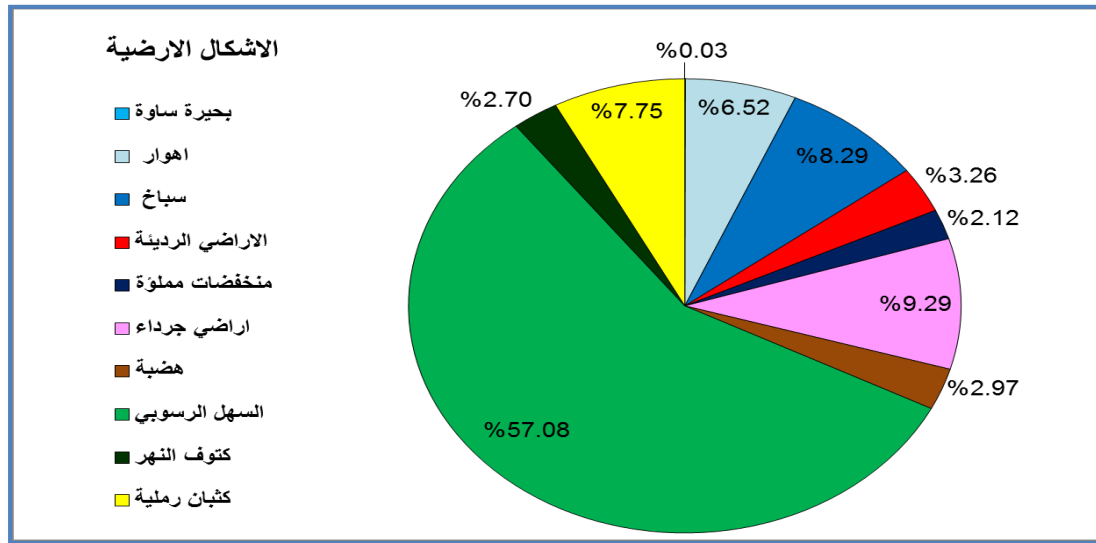
## الفصل الرابع / تحليل العلاقة بين الخصائص الطبيعية والعمليات الجيومورفية في منطقة الدراسة

جدول (4-22) المساحة والنسبة المئوية للأشكال الأرضية في منطقة الدراسة

النسبة المئوية %	المساحة / كم <sup>2</sup>	الأشكال الأرضية
0.03	4.7	بحيرة ساوة
6.52	993.05	اهوار
8.29	1263.3	سباخ
3.26	496.5	الأراضي الرديئة
2.12	323.8	منخفضات مملوءة
9.29	1415.2	أراضي جرداء
2.97	451.9	هضبة
57.08	8699.25	السهل الرسوبي
2.70	411.4	كتوف النهر
7.75	1181.9	كثبان رملية
100	15241	المجموع

المصدر: بالاعتماد على برنامج ( Arc Map 10.3 ). والخارطة (4-7).

الشكل (4-10) النسبة المئوية (%) للأشكال الأرضية في منطقة الدراسة



المصدر: بالاعتماد على جدول (4-22)

### 4-3-2 وحدات ذات اصل التعرؤية - الأرسابية

تختلف الأشكال الأرضية الناتجة بفعل العمليات التعرؤية بنوعيتها (المائية والريحية) وتتباين من مكان واخر، وذلك تبعاً لشدة فعالية العوامل المؤثرة في تكوين وتنوع هذه الأشكال في منطقة الدراسة، وبسبب نوع المناخ الجاف السائدة في المنطقة، وقلة النبات الطبيعي الذي يحد من عمل المياه، أما الرياح فهي عكس المياه إذ تنشط ويزداد تأثيرها في المناطق الجافة، أما الأرسابية فهي نتيجة حتمية لعمليات التجوية والتعرية، وتنشط الرياح في المناطق الجافة ذات الصخور الهشة ولغرض دراستها بشكل تفصيلي تم تقسيمها الى :-



#### 4-3-2 الأراضي الرديئة Bad Lands

تنتشر هذا الاراضي في الاجزاء الوسطى والجنوبية الشرقية وتشغل مساحة (496.5 كم<sup>2</sup>) تقريباً وبنسبة (3.26%) من منطقة الدراسة ، وهي نتيجة عمليات الحت التي تحدثها مياه الامطار في المناطق الصحراوية ولاسيما عند تساقط الامطار الفجائية الغزيرة المكونة للسيول ، إذ إن في الاراضي غير المتماسكة سرعان ما يبدأ العمل الجيومورفي للسيول وتحيل الاراضي الى شبكة من الخنادق والغدران مما يجعل الارض صعبة الاستغلال ولا يمكن عبورها ، لذا جاء الاسم الانكليزي لهذا النوع من التعرية المطرية (Bad Land) الارض الرديئة <sup>(1)</sup> ادى ذلك الى زيادة نشاط عمليتي التعرية الاخدودية والتعرية الجدولية على سفوح المنحدرات مما نتج عنها اخاديد متشعبة عميقة ذات جوانب شديدة الانحدار بمقطع عرضي يشبه الحرف V <sup>(2)</sup> ، وتنتشر هذه الأراضي في الاجزاء الوسطى والجنوبي الغربي الشرقي في منطقة الدراسة بسبب نحت مياه الأمطار التكوينات الهشة في حين تقاوم التكوينات الصلبة عمليات التعرية المائية ، يلاحظ صورة (4-9).

صورة (4-9) الأراضي الرديئة في اتجاه الجنوبي الشرقي من منطقة الدراسة



المصدر: الدراسة الميدانية لمنطقة الدراسة بتاريخ (2018/2/22) ، الموقع 31° 33' N - 17° 08' E

#### 4-3-2 الأراضي الجرداء Barren Land

تتمثل هذه الاراضي في الاقسام الوسطى وتشغل مساحة (1415.2 كم<sup>2</sup>) وبنسبة (9.29%) من منطقة الدراسة. وهي اراضي منبسطة ذات الانحدار البسيط ومكونات هذه الفئة تتباين بشكل كبير بسبب الاختلافات الكبيرة في مصدر المواد المكونة، إذ أن الترب الجرداء تكون غير صالحة للزراعة او

<sup>(1)</sup> محمد يوسف وآخرون ، تأثير الظروف الطبيعية والمناخية على انجراف التربة ، وزارة البيئة ، دائرة التخطيط والمتابعة ، قسم الصحاري والاراضي الزراعية ، 2006 ، ص229.

<sup>(2)</sup> سرحان نعيم الخفاجي ، مصدر سابق، ص95.

## الفصل الرابع / تحليل العلاقة بين الخصائص الطبيعية والعمليات الجيومورفية في منطقة الدراسة

الاستثمار البشري وتكون خالية من النبات الطبيعي وانتشارها في المنطقة ولعدم استغلالها بسبب بعدها عن القنوات المائية وقلة التساقط المطري في منطقة الدراسة كما موضح في الصورة (4-10).  
صورة (4-10) الاراضي الجرداء في الاجزاء الوسطى والغربية من منطقة الدراسة



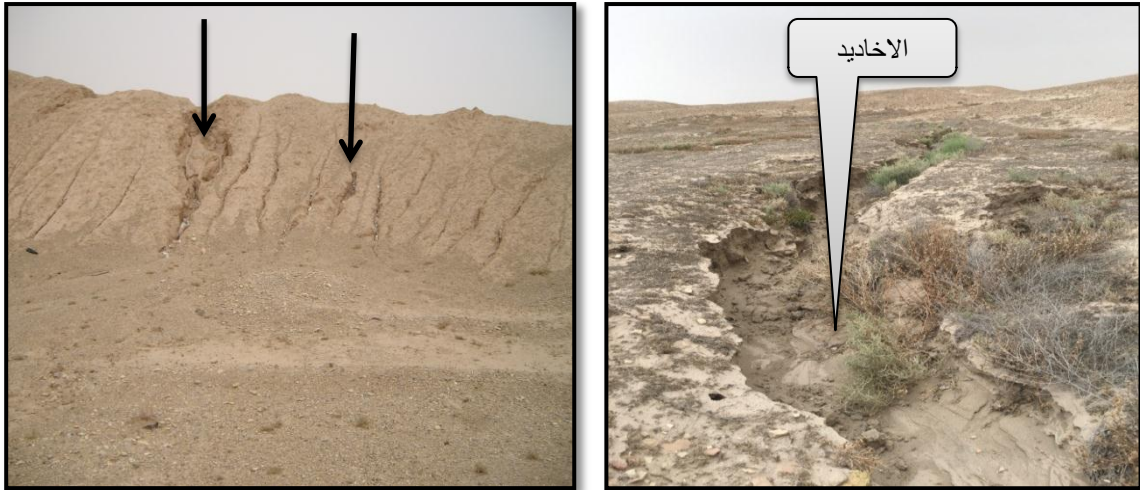
المصدر: الدراسة الميدانية لمنطقة الدراسة بتاريخ (2018/2/22)

### 3-2-3-4 الاخاديد canyons

هي عبارة عن جداول مائية قصيرة وصغيرة ، والتي حفرتها مجاري مائية عميقة ومتوازية مع بعضها البعض والمنتشرة عند سفوح المنحدرات الصخرية ، المتمثلة بسفوح الهضاب ، والموائد الصخرية ، والتلال وتتكون بفعل التعرية المائية . وتتخذ هذه الاخاديد مسارات شبه متوازية على جوانب التلال المتكونة صخورها من الطين والرمل والغرين ، يتراوح عمق الواحدة منها بين (15-20 سم) اما عرضها فيتراوح بين (30-40 سم) ، تظهر الاخاديد في اجزاء متفرقة من منطقة الدراسة بسبب تساقط الامطار التي تعمل على تطوير تحديد الاخاديد الصغيرة وزيادة عمقها واتساعها، إذ تميزت منطقة الدراسة بوجود شبكة من الاخاديد الصغيرة التي تمتاز بانحدارات خفيفة ، وطول فترة تساقط الامطار وتنصرف مياهها الى الاراضي المنخفضة وهذا النوع من الجريان يمتاز بعظم نشاطه في تعرية التربة وخاصة اذا كانت خالية من الغطاء النباتي ، كما موضح في الصورة (4-11).



صورة (4-11) الاخاديد في شمال شرق منطقة الدراسة



المصدر: الدراسة الميدانية لمنطقة الدراسة بتاريخ (2018/2/22)، الموقع  $31^{\circ} 52' 09'' \text{N}$  -  $45^{\circ} 20' 16'' \text{E}$

#### 4-2-3-4 منخفضات مملوءة Depressions filled

ينتشر هذه الشكل في الاجزاء الشمالية والجنوبية الغربية وتشغل مساحة (323.8 كم<sup>2</sup>) وينسبة (2.12%) من منطقة الدراسة كما يلاحظ الصورة (4-12)، وتتكون هذه الاشكال بفعل الخصائص المناخية القديمة والحالية وهذا ما يجعلها ممثلة في فصل الشتاء وتبقى آثار تلك المسيلات حتى بعد انتهاء موسم تساقط الأمطار وكذلك الجيولوجية ولاسيما البنية والتراكيب الصخرية وتتباين من مكان واخر وبشكل متغير حتى ضمن المنخفض نفسه اعتماداً على عملية تكوين التربة ولاسيما الكبيرة منها، او تغطيتها تربة ذات طبيعة متباينة، والتي تحتوي على تربة مزيجية طينية ورملية تنمو فيها بعض النباتات ويكون الصرف فيها مركزياً ، فضلاً عن الرمال الناتجة من الترسيب الريحي<sup>(1)</sup>.

صورة (4-12) منخفضات مملوءة في جنوب غرب منطقة الدراسة



المصدر: الدراسة الميدانية لمنطقة الدراسة بتاريخ (2018/2/21)، الموقع  $31^{\circ} 18' 19'' \text{N}$  -  $45^{\circ} 05' 26'' \text{E}$

(1) سفير جاسم حسين ، مصدر سابق، ص87.

#### 4-3-2-5 السهل الفيضي Flood Plain

يتمثل هذه المظهر بشكل واسع ويشغل مساحة (8699.25 كم<sup>2</sup>) ونسبة (57.08%) من منطقة الدراسة ، ويعد السهل الفيضي بشكل عامة مساحة من الارض المسطحة او المنبسطة نسبياً والتي تمتد من ضفاف النهر الرئيس وحتى اسفل الوادي وتتدفق المياه حاملة معها الرسوبيات من النهر عند حدوث تصريف مائي في اوقات الفيضانات فتظهر عند الترسيب طبقات رسوبية رقيقة من الطمي والرمال واحياناً الحصى<sup>(1)</sup>، وبداية تكوين السهل الفيضي وقد استمرت عملية الترسيب بداية الزمن الجيولوجي الرابع خلال عصر البلايستوسين قبل نحو مليوني سنة حتى اخذ السهل الرسوبي الفيضي صورته الحالية في العصر الحديث (الهولوسين) الذي بدأ قبل عشرة آلاف سنة من الآن<sup>(2)</sup>، هذا التباين وبشكل واضح التغيرات المناخية التي حدثت في المنطقة ففي عصر البلايستوسين الذي يتصف بالمناخ الرطب كان لنهر الفرات القدرة على حمل كميات كبيرة من الحمولة (Load) وبسبب كثرة المياه وارتفاع كمية التصريف المائي فيه اجتازت هذه المياه مجرى النهر وطغت على الاراضي المستوية على جانبيه الامر الذي ادى الى ترسيب قسم من حمولته فوق هذه الاراضي المستوية التي تمثل السهل الفيضي، وظروف المناخ الحالي حيث يصل المعدل المدى الحراري في منطقة الدراسة (14.65، 14.47، 13.51، 14.5 م) وسجلت الرياح بمعدل (3.3، 4.1، 1.9، 4.0 م/ثا) وبلغ مجموع الامطار (89.8، 131.9، 109.4، 101.2 ملم) وذلك ادى على انتشار ظاهرة الجفاف وبلغت معدلاتها نحو (0.05، 0.05، 0.05، 0.04) ويؤدي الى قلة التصريف المائي فان فرصة استمرار تكوين سهل فيضي قليلة او شبه معدومة ، وقد ارتبط تكوين السهل الفيضي في منطقة الدراسة بنهر الفرات منذ القدم عندما كانت له القدرة على توسيع قاع واديه ومن ثم فصح المجال لتكون أرضاً مستوية تزايدت مساحتها عبر الزمن وعلى كلا جانبي النهر واصبحت هذه الاراضي عرضة لتلقي الرواسب في اوقات ارتفاع مناسيب مياه نهر الفرات عندما تجتاز مجراه الامر الذي ادى الى غمر الاراضي المستوية جميعاً وعلى الجانبين وامتلائهما بالرواسب الفيضية مكونة السهل الفيضي الذي يتصف بالمستوى الواطئ او القريب من قاعدة التعرية وقلة انحداره بشكل عام<sup>(3)</sup> ، ويتصف السهل الفيضي في منطقة الدراسة بارتفاعه قرب مجرى النهر، وينخفض بعيداً عنه ، وهذا يمكن ان يرجع الى اختلاف سرعة موجة الفيضان التي تتاوبت على السهل الفيضي ، إذ يكون النهر سريعاً بالقرب من الضفاف وبذلك ترتفع هذه المنطقة عن بقية اجزاء السهل ، اذ تتحدر اراضي السهل بشكل تدريجي كلما ابتعدنا عن مجرى النهر بالنسبة لأكثر جهات السهل انخفاضاً وهي

(1) همسة جمال سويدان، التتابع المناخي وأثره في تشكيل مظاهر سطح الأرض في السهل الفيضي العراقي، اطروحة دكتوراه (غير منشورة) جامعة بغداد ، كلية التربية ابن رشد، 2017، ص147

(2) سرحان نعيم الخفاجي ، التطور الجيومورفولوجي للسهل الرسوبي في العراق ، مجلة الأستاذ ، العدد 62، كلية التربية (ابن رشد) ، 2008، ص18

(3) صباح عبود عاتي ، مصدر سابق ، ص 154.

## الفصل الرابع / تحليل العلاقة بين الخصائص الطبيعية والعمليات الجيومورفية في منطقة الدراسة

النهايات الهامشية له على جانبي المجرى ، وكثيراً ما تتميز هذه المناطق بظاهرة المستنقعات وأدت العوامل الطبيعية والبشرية التي لها دور في تحجيم دور النهر في تكوين السهل الفيضي، كون نهر الغراف يمثل احد مجاري نهر دجله وتغير هذا المجرى مرات عدة ، وكان تباين في الكميات الرواسب التي ينقلها النهر حالياً وقدرتها على النحت والأرساب ليست بقدر الكمية التي ينقلها النهر سابقاً الى المنطقة قبل انشاء سدة الكوت والناظم الصدري للغراف اذ كان تصريفه يصل الى (1000م<sup>3</sup>/ثا) . وتدخل الإنسان في ضبط جريان المياه من خلال انشاء السدود والنواظم ، اذ لم تعد المياه تجري بحريه، واصبح النهر مسيطراً عليه ومسألة فيضانه واجتيازه لضافه امراً ليس من السهولة حدوثه ، لذا تعذر على النهر الخروج من مجراه في اثناء مواسم الفيضان البسيط<sup>(1)</sup> ، كما في الصورة (4-13).

صورة (4-13) تمثل جزء من السهل الفيضي في منطقة الدراسة



المصدر: الدراسة الميدانية لمنطقة الدراسة بتاريخ (21/2/2018)

### 4-3-2-6 كتوف الانهار

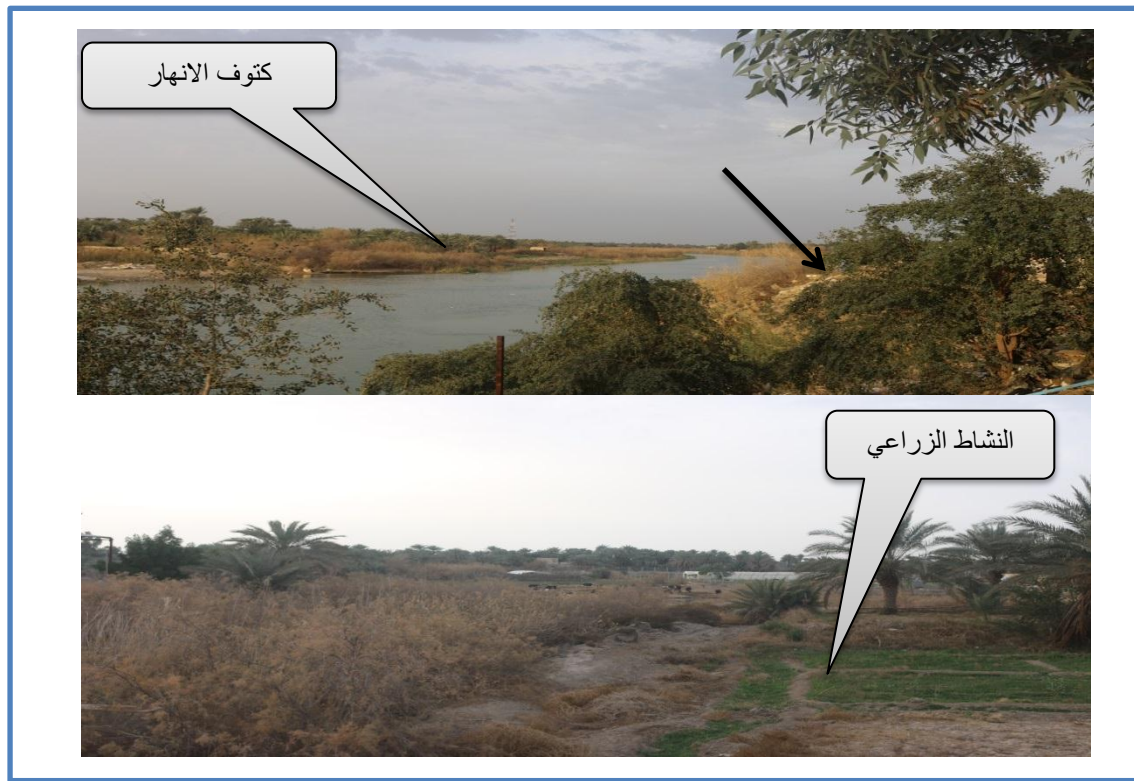
عبارة عن جوانب مرتفعة نسبياً تحيط بالنهر كانت لعمليات الترسيب التي تقوم بها النهر السبب الرئيس في تشكيلها خصوصاً مرحلة الشيخوخة، وفي منطقة الدراسة تمتد هذه الاشكال على جانب انهار المنطقة وتشكل مساحة تقدر (411.1 كم<sup>2</sup>) تقريباً وتشكل نسبة (2.70%) من مساحة المنطقة والسبب ارتفاعها النسبي عن منسوب السهل الفيضي شكلت حماية طبيعية للنهر نفسه خاصة عند الفيضانات، والنهر الفرات الاثر الواضح في تشكيلها من خلال الفيضانات المتكررة مما ادى الى تجمع الترسبات النهرية الأكثر كمية والأكبر حجماً بالقرب من المجرى النهري ويستغل هذه المظهر في النشاط الزراعي لسهولة انسياب مياه الري من خلالها نحو اجزاء السهل الفيضي . والاجزاء القريبة من المجرى تتجمع

(1) سفير جاسم حسين ، مصدر سابق، ص77

## الفصل الرابع / تحليل العلاقة بين الخصائص الطبيعية والعمليات الجيومورفية في منطقة الدراسة

عندها الرواسب الخشنة في حين يقل حجم الدقائق الرسوبية المضافة للسهل الفيضي كلما ابتعدنا عن المجرى ، وذلك لانخفاض سرعة التيار المائي وقلة حمولة الترسبات . ويمتد بشكل متقطع نتيجة تعرضه للتآكل ومن ثم للاختفاء نتيجة الحركة الجانبية للنهر وخاصة في الجانب المقعر ، كما تتخذ كتوف الانهار في منطقة الدراسة اشكال مختلفة وقليلة الارتفاع كما في الصورة (4-14). وتكون قريبة من الجوانب المقعرة لمجرى النهر في حين تكون بعيدة عن الجوانب المحدبة <sup>(1)</sup>. يتباين هذه المظهر في الجزء الغربية لنهر الفرات والتي تمتد على طول مجرى النهر من شماله وحتى جنوبه ، وارتفاعها (3.5 م) عند دخول النهر منطقة الدراسة ، وتكونت من الترسبات الخشنة من الرمل والغرين وتكون ذا نسجه مزيجية وملائمة للزراعة.

صورة (4-14) كتوف الانهار ضمن منطقة الدراسة



المصدر: الدراسة الميدانية لمنطقة الدراسة بتاريخ (2018/2/21)

### 4-3-2-7 بحيرة ساوه

تقع هذه البحيرة في الشمال من مدينة السماوة على الاجزاء الغربية من المنطقة ، وتشغل مساحة (4.7 كم<sup>2</sup>) ونسبة (0.03%) من منطقة الدراسة، وتعد من المنخفضات الطبيعية التي تكونت نتيجة الانحلال والاذابة للصخور الجيرية بعملية تحت سطحية مكونة فتحات متقاربة فيما بينها (بالوعات) تعرضت هي الاخرى الى انهيار اسطحها الامر الذي ادى الى تلاحم هذه الفتحات مكونة بذلك هذه

(1) محمد يوسف حسن وآخرون ، أساسيات علم الجيولوجيا، مركز المكتب الأردني ، عمان ، 1990 ، ص 241 .



## الفصل الرابع / تحليل العلاقة بين الخصائص الطبيعية والعمليات الجيومورفية في منطقة الدراسة

البحيرة ومما يدل على صحة هذا التفسير شكل البحيرة الطولي<sup>(1)</sup>، وذلك لموقعها في المناطق الصحراوية تقع في الجزء الغربية من المنطقة كما نلاحظ الصورة (4-15) وتبلغ مساحتها نحو (9 كم<sup>2</sup>) طولها (4.5 كم) عرضها (2 كم) ويبلغ عمقها (4.2 م) وبعض الأماكن غير معروفة عمقها. مصدر مياهها هو تدفق المياه الباطنية على شكل عيون عبر الصدوع والفواصل في الخزانات الجوفية المحصورة وترتفع (5 م) عن مستوى الأراضي المجاورة لها وترتفع عن نهر الفرات ب (11 م) ، ولذلك يمكن تصريف مياهها الى نهر العطشان الذي يبعد عنها بحدود (3.5 كم) ولكن لم يصل ذلك بسبب وقوع البحيرة في جيب صخري وتكون قاعها وساحلها من الصخور الصلبة وتوثر بحيرة ساوه على الابار القريبة منها فقط من خلال تدفق مياه العيون المغذية لها ولا يحصل تأثيرها على الابار والعيون البعيدة عنها وبسبب نوع مكامن المياه الجوفية في المنطقة ، فضلاً عن حصول تغذية عكسية للمياه الجوفية ، وتدهور بيئتها بالفترات الاخيرة بسبب قلة الامطار في المنطقة والمناطق المجاورة لها ، ويكون دورها فعالاً لغرض السياحة في المنطقة<sup>(2)</sup>.

صورة (4-15) بحيرة ساوه



المصدر: الدراسة الميدانية لمنطقة الدراسة بتاريخ (22 / 2 / 2018) ، الموقع 31° 18' N - 46° 57' E

### 4-3-2-8 الاهوار Marshes

يظهر هذه المظاهر في الاقسام الشمالية والجنوبية الغربية وتشغل مساحة (993.05 كم<sup>2</sup>) ونسبة (6.52%) من منطقة الدراسة، وهي اراضٍ منخفضة التي تغطيها المياه في جميع ايام السنة او في بعضها وحسب الخصائص المناخية الحالية التي تساعد على زيادة الحصة المائية في الاهوار او بالعكس، وسبب ذلك نوع المناخ الجاف وشبه جاف السائدة في المنطقة وارتفاع معدل درجات الحرارة العظمى نحو (24.9 ، 25.6 ، 24.7 ، 25.6 م) وادى الى زيادة كميات تبخر مياهها

(1) صباح عبود عاتي، مصدر سابق، ص160

(2) جاسم وحواش شاتي الجياشي، التحليل المكاني للموارد المائية والرسوبيات في بادية محافظة المثنى واستثمارها، رسالة ماجستير (غير منشورة) كلية التربية ، جامعة المثنى، 2017، ص134



## الفصل الرابع / تحليل العلاقة بين الخصائص الطبيعية والعمليات الجيومورفية في منطقة الدراسة

(3429.2، 3840.6، 3549.9، 3934.0 ملم) ونتيجة تحويل بعض الاهوار في المنطقة الى قشور ملحية وجبسية.

4-3-2-8-1 التوزيع الجغرافي للأهوار في منطقة الدراسة كالاتي . كما في الجدول (4-23) والشكل (4-11) والخريطة (4-8) :

1- هور الحمار : يقع جنوب نهر الفرات ويتغذى منه ، ويظهر في الجزء الجنوبي الغربي ويشغل مساحة (348.9 كم<sup>2</sup>) بنسبة (21.46%) من منطقة الدراسة.

2- هور اللكطاية : يظهر في الاجزاء الجنوبية ويشغل مساحة (430.6 كم<sup>2</sup>) وبنسبة (37.13%) من المنطقة.

3- هور غرب بحيرة ساوة : يقع بالقرب من البحيرة وتتغذى منها وتشغل مساحة (156.5 كم<sup>2</sup>) وبنسبة (13.49%) من المنطقة.

4- هور الدلمج: يظهر في الجزء الشمالي ويشغل مساحة (177 كم<sup>2</sup>) وبنسبة (15.46%) .

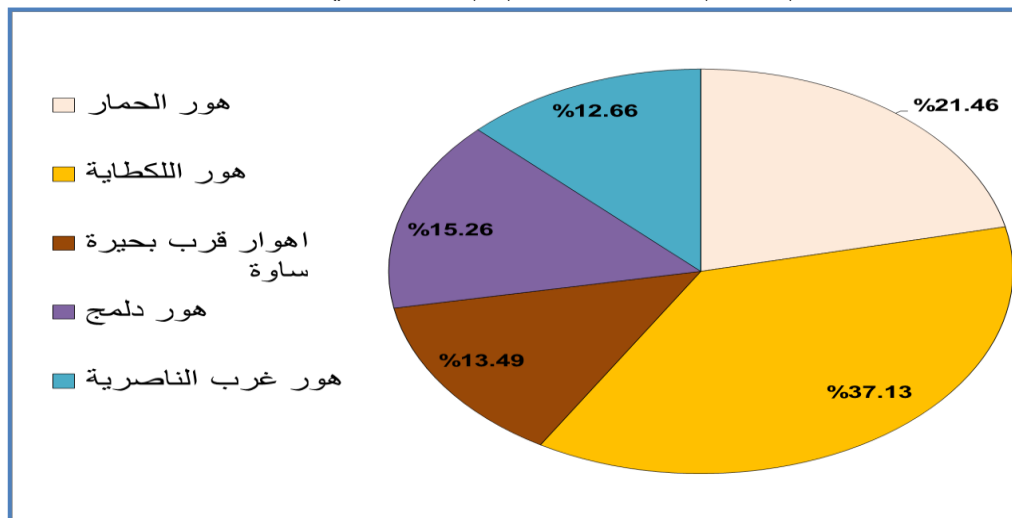
5- هور غرب الناصرية: يشغل مساحة (146.8 كم<sup>2</sup>) وبنسبة (12.66%) من منطقة الدراسة.

جدول (4-23) المساحة والنسبة المئوية للأهوار في منطقة الدراسة

اسم الهور	المساحة/ كم <sup>2</sup>	النسبة المئوية %
هور الحمار	248.9	21.46
هور اللكطاية	430.6	37.13
اهوار قرب بحيرة ساوة	156.5	13.49
هور دلمج	177	15.26
هور غرب الناصرية	146.8	12.66
المجموع	1159.8	100

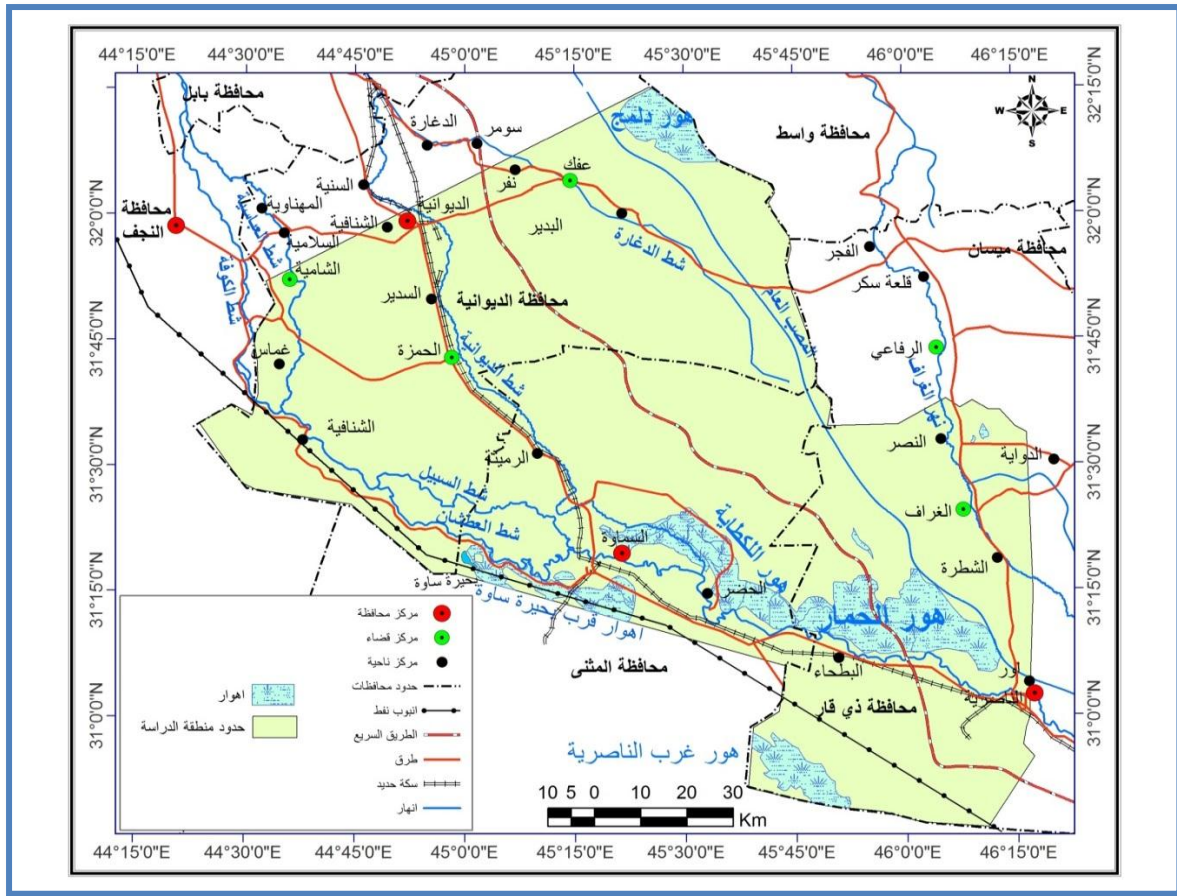
المصدر: بالاعتماد على برنامج ( Arc Map 10.3). والخارطة (4-8).

شكل (4-11) النسبة المئوية (%) للأهوار في منطقة الدراسة



المصدر: بالاعتماد على جدول (4-23)

خريطة (4-8) التوزيع الجغرافي للأهوار في منطقة الدراسة



المصدر: بالاعتماد على : 1- الدراسة الميدانية 2- مرئية فضائية للقمّر الصناعي land sat 7 ، الباندات (2-4-7) بتاريخ 2013 /5/9 ومعالجتها باستخدام برنامج (ERDAS IMAGINE 9.2) وبرنامج (Arc Map 10.3).

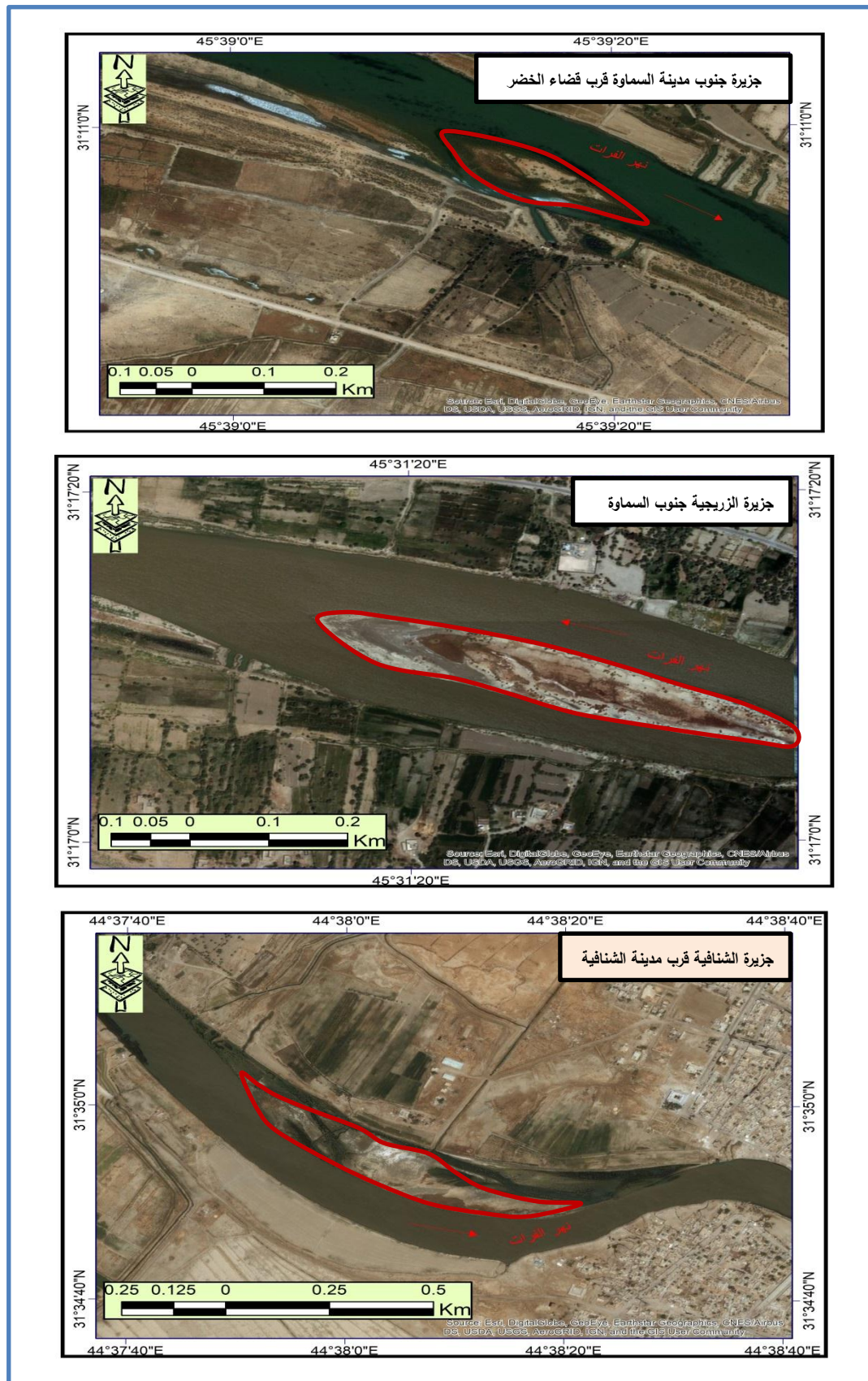
#### 4-3-2-9 الجزر النهرية River Islands

هي اشكال ارسابية مختلفة يتعرض لها مجرى النهر تكون ذات اشكال واحجام مختلفة تحيط بها المياه من كل جانب وتنشأ نتيجة لتجمع المواد الارسابية المتمثلة بـ ( حصى، رمل ، غرين ، طين) بشكل طبقات ابتداءً من القاع حتى سطح المياه <sup>(1)</sup>. تتكون هذه الاشكال بشكل حواجز صغيرة في المجرى تظهر عندما ينتاب النهر حالة من العجز ، نتيجة لانخفاض سرعة التيارات المائية التي تكون محملة بكميات كبيرة من الترسبات المختلفة فتترسب كميات كبيرة منها فجأة بسبب حدوث انخفاض في انحدار المنطقة التي يجري عليها النهر فيصبح النهر عاجزاً عن حمل هذه الكمية من الترسبات فيلجأ الى ترسيبها بدايةً من قاع المجرى متدرجاً في ترسيبها وصولاً الى السطح ، ويمرور الزمن تصبح هذه الحواجز بيئة ملائمة لنمو النباتات عليها فيزيد من ثباتها وتأخذ بالنمو والانتساع بسبب استمرار عملية ترسيب المواد الناعمة من الرمل والغرين الى ان تصبح جزراً داخل المجرى النهري <sup>(2)</sup>.

<sup>(1)</sup> Arthur .N. Strahler ,physical Geography, Second Edition Bowdon,1960,p.254

<sup>(2)</sup> سحر طارق الملا، أثر العوامل الطبيعية في تكوين نمط وجيومورفولوجية الخيران في خور الزبير ، رسالة ماجستير (غير منشورة) ، قسم الجغرافية، كلية الاداب، جامعة البصرة، 1999. ص162

خريطة (4-9) الجزر النهرية في منطقة الدراسة



المصدر: مرئية فضائية للقمر الصناعي land sat 7 ، البانات (7-4-2) بتاريخ 2013/5/9



## الفصل الرابع / تحليل العلاقة بين الخصائص الطبيعية والعمليات الجيومورفية في منطقة الدراسة

جدول (4-24) الابعاد المورفولوجية للجزر النهرية في منطقة الدراسة

ت	اسم الجزيرة	المساحة (م <sup>2</sup> )	العرض (م)	الطول (م)	نسبة الاستدارة % (*)	الشكل
1	جنوب مدينة السماوة	5273	37	180	20.5	طولية
2	جزيرة الزرجية	2375	21	345	6	شريطية
3	جزيرة الشنافية	3620	25	160	15.6	طولية

المصدر: بالاعتماد على مرئية فضائية للقمر الصناعي land sat 7 ، الباندات (2-4-7) بتاريخ 2013/5/9.

تبين من الخريطة (4-9) والجدول (4-24) والمرئية الفضائية لسنة (2013) ان الجزر النهرية في منطقة الدراسة تتباين ابعادها المورفولوجية كما يأتي:

- 1- جنوب مدينة السماوة قرب قضاء الخضر وتشغل مساحة (5273 م<sup>2</sup>) بعرض (37 م) وبطول (180 م) ، اذ بلغت نسبة الاستدارة (20.5 %) وشكلها طولي.
- 2- جزيرة الزرجية جنوب السماوة تشغل مساحة (2375 م<sup>2</sup>) بعرض (21 م) وبطول (345 م) وبلغت نسبة الاستدارة (6%) وشكلها شريطي.
- 3- جزيرة الشنافية تشغل مساحة (3620 م<sup>2</sup>) بعرض (25 م) وبطول (180 م) . التي سجلت نسبة الاستدارة (15.6 %) وذات شكل طولي.

نتيجة هذا التباين يعود الى عدة عوامل منها سرعة التيارات والانحدار والنبات الطبيعي ولاسيما العامل المناخي يعد عاملاً مسيطراً في تباين الجزر النهرية من خلال عناصره الحرارة والأمطار يؤثران كمية الرواسب التي ينقلها النهر وتعمل درجة الحرارة على تشقق وتفتت الطبقات الرسوبية . مما يساعد على نقلها بواسطة عملية التعرية الريحية والمائية . بينما الامطار برغم قلتها في المنطقة ساعدت على نشاط عمليتي التجوية والتعرية ، اما الشدة المطرية تسهم في تفتت طبقات التربة وفصل حبيباتها ومن ثم نقلها الى المجري بواسطة الامطار المنحدرة . مما اضافت كميات كبيرة من الترسبات الى النهر تفوق قدرته على حملها مما ادى الى ترسيبها على شكل جزر نهرية.

### 4-3-2-10 الاشكال الارضية الناتجة بفعل الرياح

#### 4-3-2-10-1 الكثبان الرملية Sand duns

ينتشر هذه المظهر بشكل واسع ومتفرق ولاسيما في الاقسام الشمالية الغربية والجنوبية الشرقية وتشغل مساحة (1181.9 كم<sup>2</sup>) وينسبة (7.75%) من منطقة الدراسة صورة (4-16)، وهي ظاهرة طبيعية

(\*) تم احتساب نسبة الاستدارة حسب المعادلة (نسبة الاستدارة =  $\frac{\text{العرض}}{\text{الطول}} \times 100$ ) فاذا كانت النتيجة اقل من (15%) فالجزيرة شريطية اما اذا

كانت (15-26%) فالجزيرة طولية وذا كانت (26-30%) فالجزيرة قوسية ، واذا كانت من (30-45%) فالجزيرة غير منتظمة الشكل ، اما اذا كانت (46-59%) فالجزيرة مستديرة وشبه مستديرة ، واذا كانت النتيجة (60-90%) فالجزيرة شبه منتظمة . المصدر : أن رجب السامرائي ، ظاهرة التشعب في مجرى نهر دجلة بين حصن القادسية الاثري ومصب نهر العظيم ، رسالة ماجستير (غير منشورة) ، كلية الاداب جامعة بغداد ، 2001، ص129-130.

## الفصل الرابع / تحليل العلاقة بين الخصائص الطبيعية والعمليات الجيومورفية في منطقة الدراسة

شائعة في معظم المناطق الجافة وشبه الجافة تنشأ نتيجة لتراكم الرمال التي تلقىها الرياح الحاملة لها بعد انخفاض سرعتها وتتخذ اشكالاً واحجاماً عديدة تبعا لعدة عوامل منها سرعة الرياح اذ بلغ معدلها في منطقة الدراسة (3.3 ، 4.1 ، 1.9 ، 4.0 م/ثا). واصل هذه الرمال هي رمال الفيضانات التي جلبت خلال الفترة المطيرة في دور البلايستوسين وترسيبها في السهول الفيضية ثم جرفت الرياح ورسبتها بشكل كثبان رملية في أماكنها الحالية ونتيجة لعوامل الترسيب الريحي تكونت حقول الكثبان الرملية الحديثة وامتدت طبقات ترسبات الهولوسين الريحية فوق طبقات ترسبات البلايستوسين<sup>(1)</sup>، واتجاهاتها ومصدر الحبيبات المحمولة وصفاتها الطبيعية ولكون نوع المناخ السائدة في المنطقة جافاً وشبه جاف وسبب قلة الامطار اذ سجلت كميات الامطار في منطقة الدراسة (109.4، 131.9، 89.8، 101.2 ملم) ويؤدي ذلك على انتشار ظاهرة الجفاف بشكل واسع في المنطقة وبلغ معدل الجفاف حسب معامل D (0.05، 0.05، 0.04، 0.05)، ونتيجة ذلك تدهور الاراضي في السهل الفيضي من خلال مشاكل التملح وتغدق التربة وتدهور الغطاء النباتي ومما يساعد على نشاط التعرية الريحية ومن ثم رسم المظهر الارضي ولاسيما الكثبان الرملية المنتشرة بشكل واسع في المنطقة . وتم دراسة التحليل المورفومتري والاحصائي لأنواع الكثبان الرملية المنتشرة في المنطقة بالاعتماد على الدراسة الميدانية والمرئيات الفضائية باستخدام برنامج (GIS)، وسيتم تناول كل نوع من هذه الأنواع كما يأتي :

صورة (4-16) الكثبان الرملية في منطقة الدراسة



المصدر: الدراسة الميدانية لمنطقة الدراسة بتاريخ (2018/2/22)، الموقع 31° 17' N - 05° 08' E

### 4-3-10-2-1 الكثبان الهلالية Barchan Dunes

تعتمد في تكوينها على اتجاه حركة الرياح في المنطقة ووجود كميات من الرمال الكافية لتكوين الكثيب الرمي، أذ تتكون عندما تتجمع الرمال وتصبح في مرحلة النضج عندها تبدأ بالحركة باتجاه حركة

(1) سحر نافع شاكر ، جيومورفولوجية العراق في العصر الرباعي ، مصدر سابق، ص 338 .



## الفصل الرابع / تحليل العلاقة بين الخصائص الطبيعية والعمليات الجيومورفية في منطقة الدراسة

الرياح السائدة<sup>(1)</sup>. اما الجهة المعاكسة للرياح ذات الانحدار الشديد فتسمى واجهة الانزلاق وتحتفظ هذه الجهة بزاوية (35°) تقريباً<sup>(2)</sup>. مما يؤدي الى سقوط الرمال او انزلاقها نحو الاسفل وينتشر هذا النوع في الجزء الشمالي الغربي من المنطقة صورة (4-17)، ونتيجة الظروف الملائمة لانتشار هذا النوع في هذه الاتجاه ولاسيما سيادة الرياح الشمالية الغربية خلال اشهر السنة وتكرارها خلال اشهر الجفاف ، فضلا عن تواجد الرواسب السطحية المفككة بفعل الرياح وقلة الغطاء النباتي في المنطقة. التحليل المورفومتري والاحصائي لأبعاد الكتبان الهلالية ان الطول الكتبان يتراوح بين (21 - 8 م) وبمتوسط (13.4) وانحرافها (6.1) ، اما العرض فيتراوح بين (6.5 ، 4.2 م) وبمتوسط (5.2) وانحرافها (2.1). اما الارتفاع فيتراوح بين (1.9 ، 0.4 م) وبمتوسط (1.0) وانحرافها (0.6) كما في جدول (4-25) وخريطة (4-10). اما علاقة الارتباط بين (الطول ، العرض ، الارتفاع) كما تبين من الجدول (4-25) والشكل (4-12) و (4-13) و (4-14) وبلغ معامل الارتباط بين الطول والعرض نحو (0.71) وهي علاقة طردية قوية، تبين ان اقوى علاقة طردية ممتازة بين الطول والارتفاع اذ بلغ (0.98) ، وكانت العلاقة طردية قوية جداً بين العرض والارتفاع نحو (0.76).

صورة (4-17) الكتبان الهلالية في اتجاه شمال غرب منطقة الدراسة



المصدر: الدراسة الميدانية لمنطقة الدراسة بتاريخ (21 - 2018/2/22) ، الموقع 45° 14' 34" E - 32° 03' 45" N

(1) ولاء كامل صبري ، الكتبان الرملية في محافظة المثنى دراسة جيومورفولوجية تطبيقية، رسالة ماجستير غير منشورة ،جامعة بغداد ،كلية الآداب، 2011، ص 81.

(2) محمد صبري محسوب، جيومورفوجية الاشكال الارضية، مصدر سابق، ص 267.

## الفصل الرابع / تحليل العلاقة بين الخصائص الطبيعية والعمليات الجيومورفية في منطقة الدراسة

(25-4) التحليل المورفومتري والإحصائي لأبعاد الكثبان الهلالية في منطقة الدراسة

الارتفاع / متر	العرض / متر	الطول / متر	أبعاد الكثبان الهلالية
1.4	5	18	
1.6	6.5	17	
0.9	5.5	13	
0.7	4.5	9	
0.4	4	8	
0.7	4.5	11	
1.9	6	21	
0.6	5.5	10	
1.9	6.5	21	
0.4	4.0	8	أقصى قيمة
1.0	5.2	13.4	الوسط الحسابي
0.6	2.1	6.1	الانحراف المعياري
نتائج الارتباط البسيط			
قوة العلاقة	وصف العلاقة	القيمة	
قوية	طردية	0.71	الطول والعرض
ممتازة	طردية	0.98	الطول والارتفاع
قوية جداً	طردية	0.76	العرض والارتفاع

المصدر: بالاعتماد على

1- الدراسة الميدانية

2- المرئيات الفضائية باستخدام (gis)

3- تطبيق الصيغة الرياضية<sup>(1)</sup>:

$$1- \bar{X} = \frac{\sum Xi}{n}$$

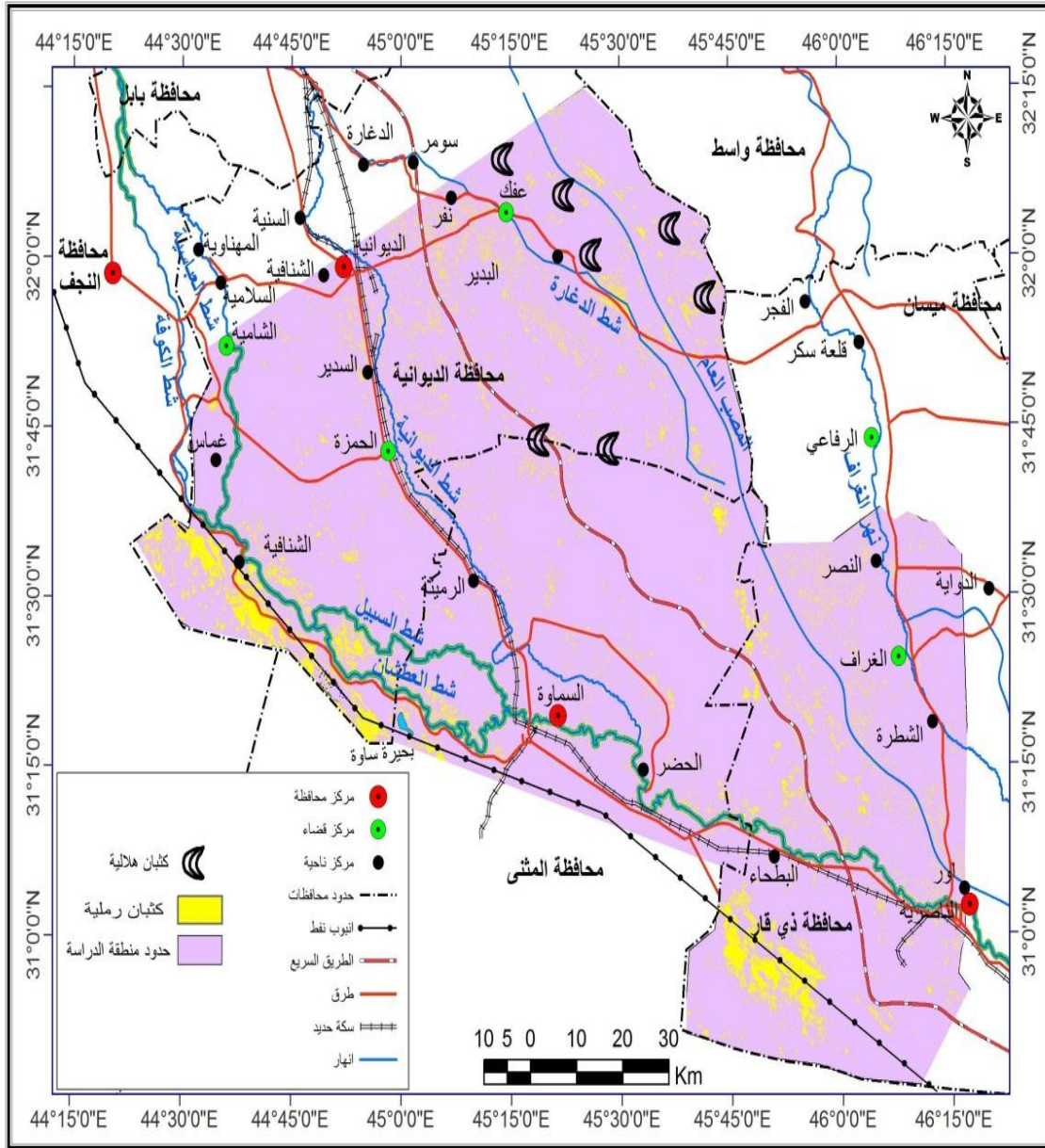
$$2- S = \sqrt{\frac{\sum Xi^2 - \frac{(\sum Xi)^2}{n}}{n-1}}$$

$$3- r = \frac{\sum xy - \frac{(\sum x)(\sum y)}{n}}{\sqrt{(\sum x^2 - \frac{(\sum x)^2}{n})(\sum y^2 - \frac{(\sum y)^2}{n})}}$$

<sup>(1)</sup> سامي عزيز عباس العتبي، اياد عاشور الطائي، الاحصاء والنمذجة في الجغرافية، مطبعة اكرم للطباعة، جامعة بغداد،

## الفصل الرابع / تحليل العلاقة بين الخصائص الطبيعية والعمليات الجيومورفية في منطقة الدراسة

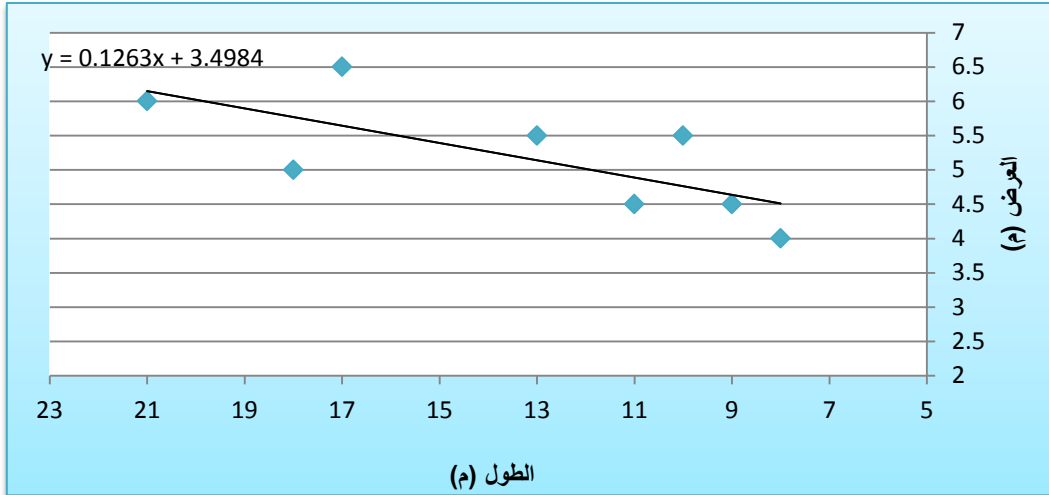
### خريطة (4-10) التوزيع المكاني للكثبان الهلالية في منطقة الدراسة



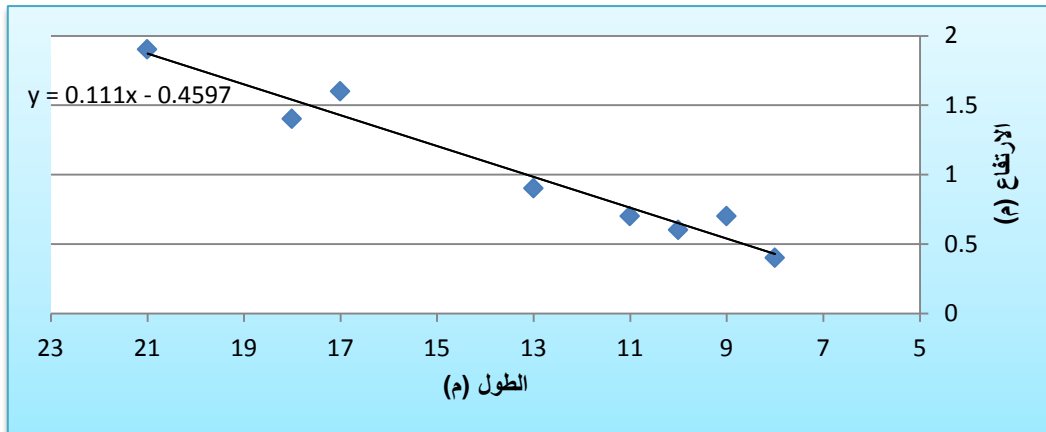
المصدر: بالاعتماد على :

- 1- الدراسة الميدانية
- 2- مرئية فضائية للقمر الصناعي 7 land sat ، الباندات (2-4-7) بتاريخ 2013/5/9 ومعالجتها باستخدام برنامج (ERDAS IMAGINE 9.2) وبرنامج (Arc Map 10.3) ..

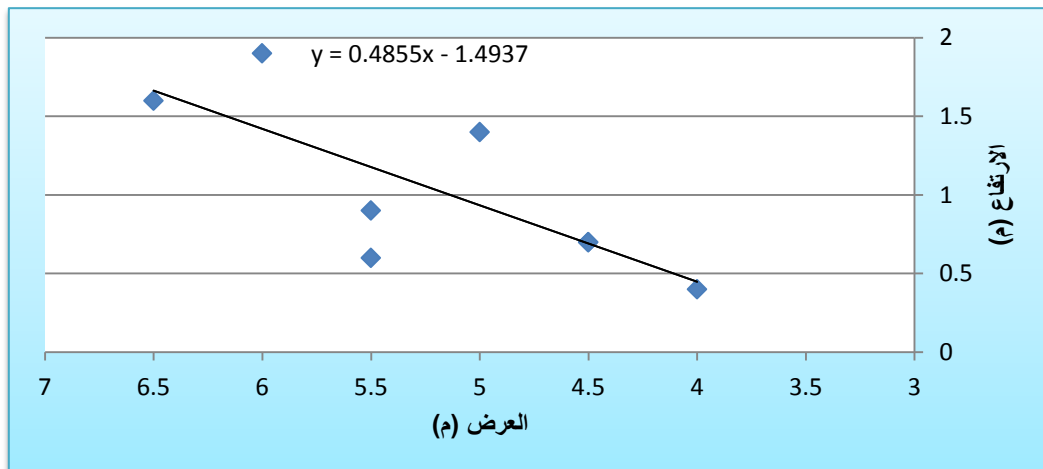
شكل (4-12) العلاقة بين الطول والعرض للكتبان الهلالية في منطقة الدراسة



شكل (4-13) العلاقة بين الطول والارتفاع للكتبان الهلالية في منطقة الدراسة



شكل (4-14) العلاقة بين العرض والارتفاع للكتبان الهلالية في منطقة الدراسة

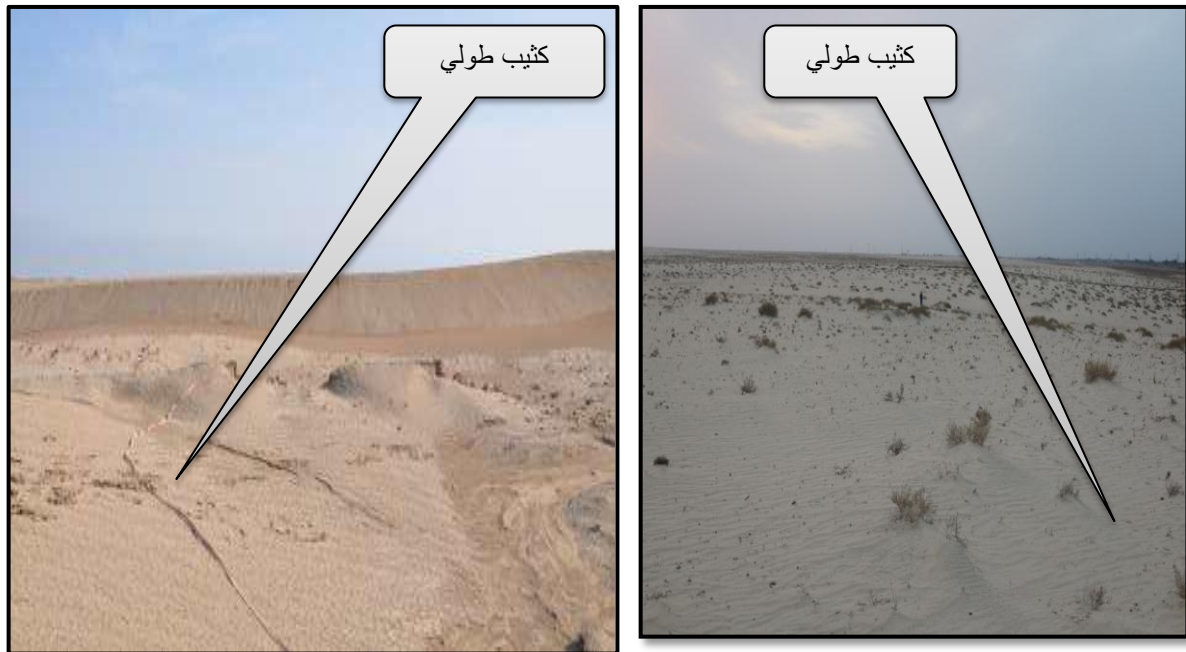


المصدر: بالاعتماد على جدول (4-25)

#### 4-3-2-10-2-1 الكثبان الرملية الطولية Longitudinal Dunes:

هي كثبان طولية تمتد باتجاه معاكس لاتجاه الرياح الحاملة للرمال وتمتاز باعتدال انحدارها المواجه للرياح وشدة الانحدار المضاد لها وعدم انتظام سفوحها الجانبية <sup>(1)</sup> كما موضح في الصورة (4-18)، يتعرض هذه النوع الى عوائق طبيعية واصطناعية يؤدي الى مسار الرياح الحاملة لدقائق الرمل ، مما يؤدي الى ترسيب حمولة الرمال خلف العوائق وتكررها يؤدي الى زيادة الرمال وثم طول الكثيب الرمي ويكون متوازياً مع اتجاه الرياح ، نتيجة عوامل تؤدي الى انتشار الكثبان الطولية في المنطقة ولاسيما استواء السطح بشكل واسع وسرعة واتجاه الرياح وسجلت اعلى تكرار اتجاه الرياح الشمالية الغربية في منطقة الدراسة نحو (27.8، 23، 6.78، 14.9%) ، يتضح من خلال التحليل المورفومتري والاحصائي لأبعاد الكثبان الطولية ان الطول الكثبان ويتراوح بين (10 ، 25 م) وبمتوسط (16.3) وانحرافها (5.5) ، اما العرض فيتراوح بين (1.7، 5.5 م) وبمتوسط (3.7) وانحرافها (1.3). اما الارتفاع يتراوح بين (0.7، 1.8 م) وبمتوسط (1.1) وانحرافها (0.4) . كما موضح في جدول (4-26) وخريطة (4-11). اما العلاقة الارتباط بين (الطول ، العرض ، الارتفاع) كما يتضح من الجدول (4-26) والشكل (4-15) و(4-16) و(4-17) . ان معامل الارتباط بين الطول والعرض (0.88) وكانت العلاقة طردية قوية جداً، اما الارتباط الاقوى بين الطول والارتفاع علاقة طردية ممتازة نحو (0.90) ، وكانت العلاقة بين العرض والارتفاع علاقة طردية قوية جداً (0.88).

صورة (4-18) الكثبان الطولية في اتجاه الجنوبي الغربي من منطقة الدراسة



المصدر: الدراسة الميدانية لمنطقة الدراسة بتاريخ (21 - 22 / 2 / 2018) ، الموقع 31° 17' N - 05° 08' E

<sup>(1)</sup> سرحان نعيم الخفاجي، مصدر سابق، ص150.



## الفصل الرابع / تحليل العلاقة بين الخصائص الطبيعية والعمليات الجيومورفية في منطقة الدراسة

جدول (4-26) التحليل المورفومتري والإحصائي لأبعاد الكتبان الطولية في منطقة الدراسة

الارتفاع /متر	العرض /متر	الطول /متر	أبعاد الكتبان الطولية
1	4.5	19	
1.1	4.1	14	
1.8	5	25	
0.9	3.2	11	
0.9	3.1	15	
0.7	2.8	13	
1.6	5.5	23	
0.9	1.7	10	
1.8	5.5	25	
0.7	1.7	10	أقصى قيمة
1.1	3.7	16.3	الوسط الحسابي
0.4	1.3	5.5	الانحراف المعياري
نتائج الارتباط البسيط			
قوة العلاقة	وصف العلاقة	القيمة	
قوية جداً	طردية	0.88	الطول والعرض
ممتازة	طردية	0.90	الطول والارتفاع
قوية جداً	طردية	0.88	العرض والارتفاع

المصدر: بالاعتماد على

1- الدراسة الميدانية

2- المرئيات الفضائية باستخدام (gis)

3- تطبيق الصيغة الرياضية<sup>(1)</sup>:

$$1- \bar{x} = \frac{\sum Xi}{n}$$

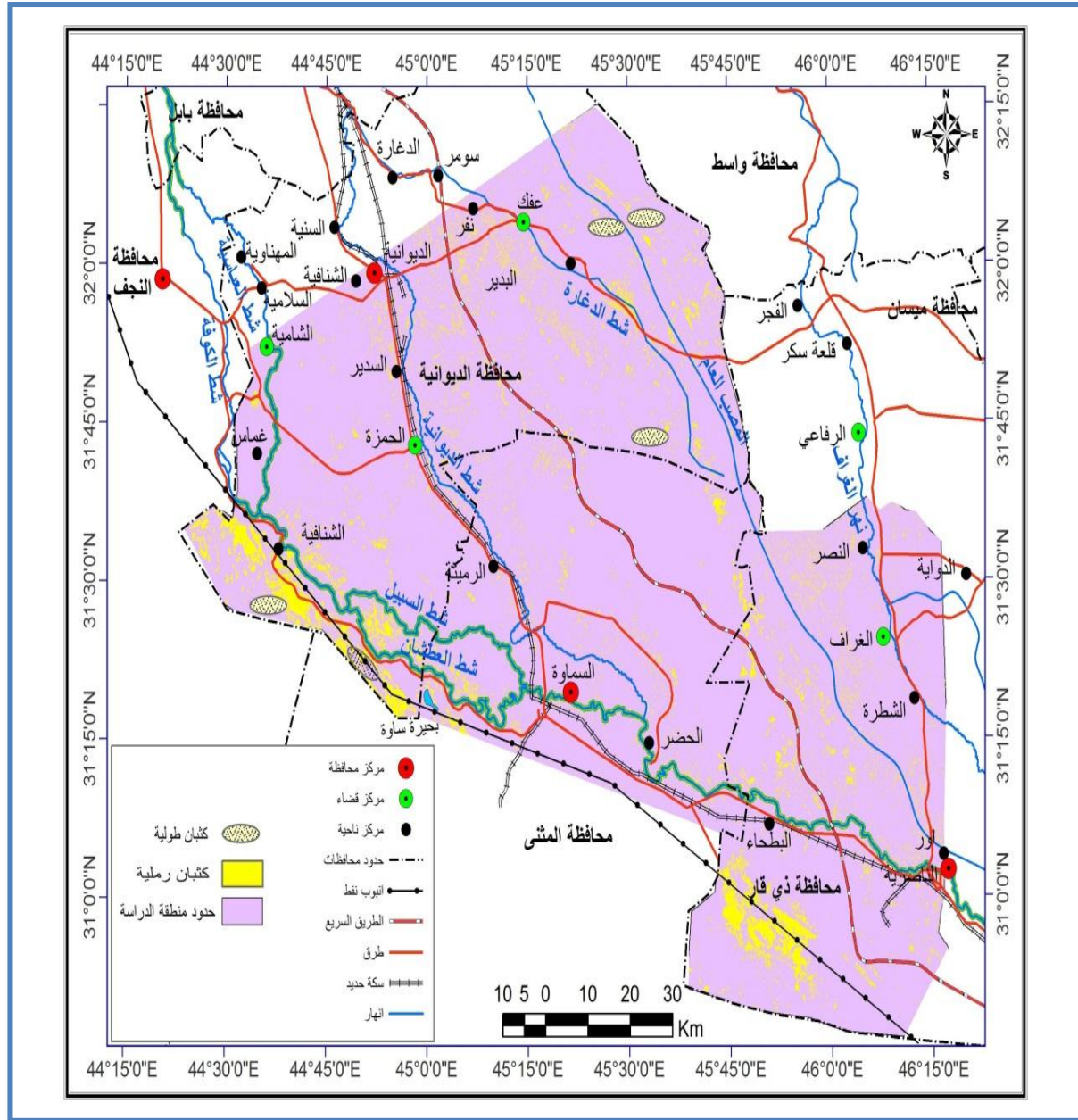
$$2- S = \sqrt{\frac{\sum Xi^2 - \frac{(\sum Xi)^2}{n}}{n-1}}$$

$$3- r = \frac{\sum xy - \frac{(\sum x)(\sum y)}{n}}{\sqrt{(\sum x^2 - \frac{(\sum x)^2}{n})(\sum y^2 - \frac{(\sum y)^2}{n})}}$$

<sup>(1)</sup> سامي عزيز عباس العتبي، اياد عاشور الطائي، الاحصاء والنمذجة في الجغرافية، مطبعة اكرم للطباعة، جامعة

## الفصل الرابع / تحليل العلاقة بين الخصائص الطبيعية والعمليات الجيومورفية في منطقة الدراسة

### خريطة (4-11) التوزيع المكاني للكتبان الطولية في منطقة الدراسة



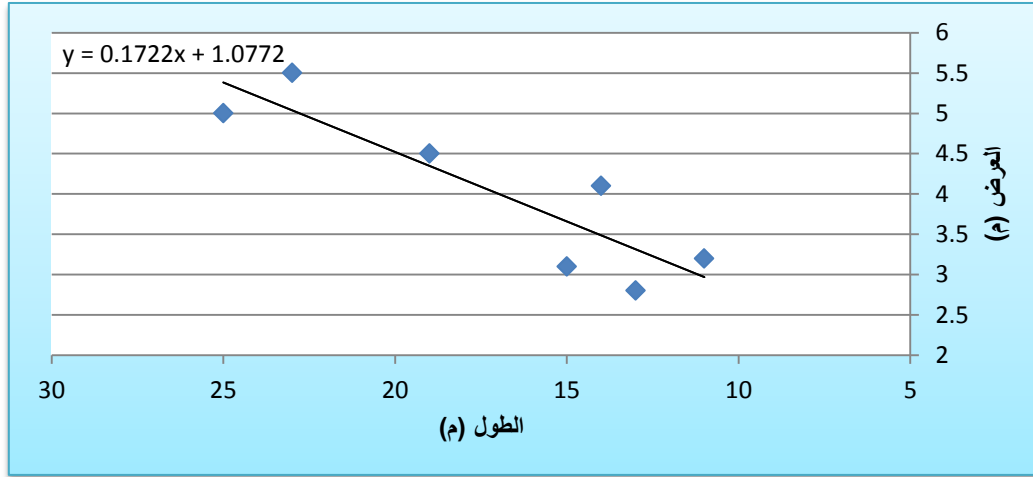
المصدر: بالاعتماد على :

1- الدراسة الميدانية

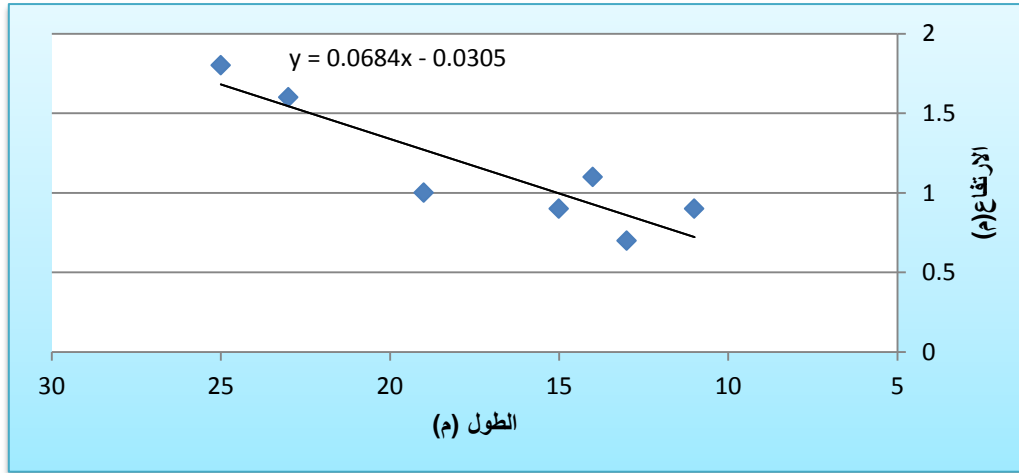
2- مرئية فضائية للقمر الصناعي land sat 7 ، الباندات (2-4-7) بتاريخ 2013/5/9 ومعالجتها باستخدام برنامج

(ERDAS IMAGINE 9.2) وبرنامج (Arc Map 10.3) ..

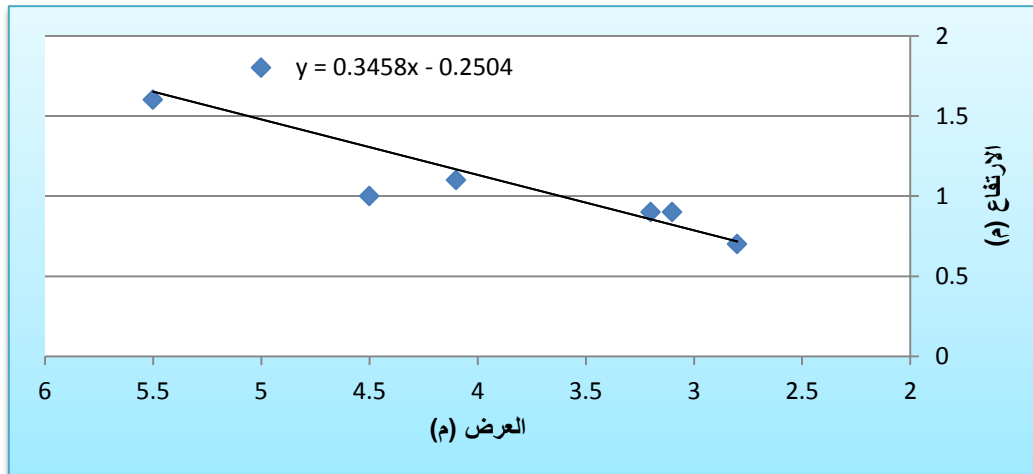
شكل (4-15) العلاقة بين الطول والعرض للكثبان الطويلة في منطقة الدراسة



شكل (4-16) العلاقة بين الطول والارتفاع للكثبان الطويلة في منطقة الدراسة



شكل (4-17) العلاقة بين العرض والارتفاع للكثبان الطويلة في منطقة الدراسة



المصدر: بالاعتماد على جدول (4-26)

#### 3-4-10-2-3-1 Nebkha النباك

تبرز هذه الاشكال على هيئة تراكمات رملية قبابية الشكل، وتتكون من رمال ناعمة ومفتتات جبسية وتكون بشكل مثلث رأسه يشير إلى اتجاه الرياح اذ تعمل البقايا النباتية على ترسيب حمولة الرياح من الرمال وتجميعها على شكل ظلال رملية صغيرة الحجم تحيط بالحاجز النباتي، وترتفع عن السطح وفقاً لحجم العائق النباتي وحمولة الرياح من الرواسب، وتعمل البقايا النباتية على تثبيتها<sup>(1)</sup>. هناك علاقة طردية بين النبات وحجم الكثيب يتوقف حجم الكثيب وارتفاعه على حجم النبات وارتفاعه وتعمل النبتة بأغصانها وجذورها وبقاياها العضوية وما تضيفه من رطوبة إلى الرمال على تثبيت التجمعات الرملية ، وتتباين ابعاد النباك بين مكان واخر وتنتشر في مناطق متفرقة في منطقة الدراسة صورة (4-19) ، وهناك عوامل تؤدي الى اخفائها تماماً ولاسيما الرعي الجائر والتحطيب وعدم وصول جذور النبات الى الماء الجوفي . التحليل المورفومتري والاحصائي لأبعاد الكثبان النباك ان الطول الكثبان يتراوح بين (0.7 ، 2.9 م) وبمتوسط (1.8) وانحرافها (1.1) ، اما العرض فيتراوح بين (0.3 ، 2.8 م) وبمتوسط (1.1) وانحرافها (1.0). اما الارتفاع يتراوح بين (0.2 ، 1.5م) وبمتوسط (0.8) وانحرافها (0.5). كما في جدول (4-27) وخريطة (4-12). اما علاقة الارتباط بين (الطول ، العرض ، الارتفاع) وكما يتضح من خلال الجدول (4-27) والشكل (4-18) و(4-19) و(4-20) . ان العلاقة بين الطول والعرض علاقة طردية قوية جداً اذ بلغ (0.78)، وكان الارتباط بين الطول والارتفاع نحو(0.85) وهي علاقة طردية قوية جداً، وتبين معامل الارتباط اقل علاقة طردية شبه قوية بين العرض والارتفاع (0.38).

صورة (4-19) كثبان النباك في منطقة الدراسة



المصدر: الدراسة الميدانية لمنطقة الدراسة بتاريخ (22/ 2/ 2018) ، الموقع 31° 17' N - 05° 08' E

<sup>(1)</sup> حسن رمضان سلامة ، اصول الجيومورفولوجيا ، مصدر سابق ، ص 286 - 287

## الفصل الرابع / تحليل العلاقة بين الخصائص الطبيعية والعمليات الجيومورفية في منطقة الدراسة

جدول (4-27) التحليل المورفومتري والإحصائي لأبعاد الكتبان النباك في منطقة الدراسة

الارتفاع /متر	العرض /متر	الطول /متر	أبعاد الكتبان النباك
0.6	2.8	2.5	
1.3	1.5	2.8	
0.6	0.3	0.8	
1.5	1.3	2.9	
0.2	0.3	0.9	
0.3	0.4	0.7	
1.5	2.8	2.9	أقصى قيمة
0.2	0.3	0.7	أدنى قيمة
0.8	1.1	1.8	الوسط الحسابي
0.5	1.0	1.1	الانحراف المعياري
نتائج الارتباط البسيط			
قوة العلاقة	وصف العلاقة	القيمة	
قوية جداً	طردية	0.78	الطول والعرض
قوية جداً	طردية	0.85	الطول والارتفاع
شبه قوية	طردية	0.38	العرض والارتفاع

المصدر: بالاعتماد على

1- الدراسة الميدانية

2- المرئيات الفضائية باستخدام (gis)

3- تطبيق الصيغة الرياضية<sup>(1)</sup>:

$$1- \bar{X} = \frac{\sum Xi}{n}$$

$$2- S = \sqrt{\frac{\sum Xi^2 - \frac{(\sum Xi)^2}{n}}{n-1}}$$

$$3- r = \frac{\sum xy - \frac{(\sum x)(\sum y)}{n}}{\sqrt{(\sum x^2 - \frac{(\sum x)^2}{n})(\sum y^2 - \frac{(\sum y)^2}{n})}}$$

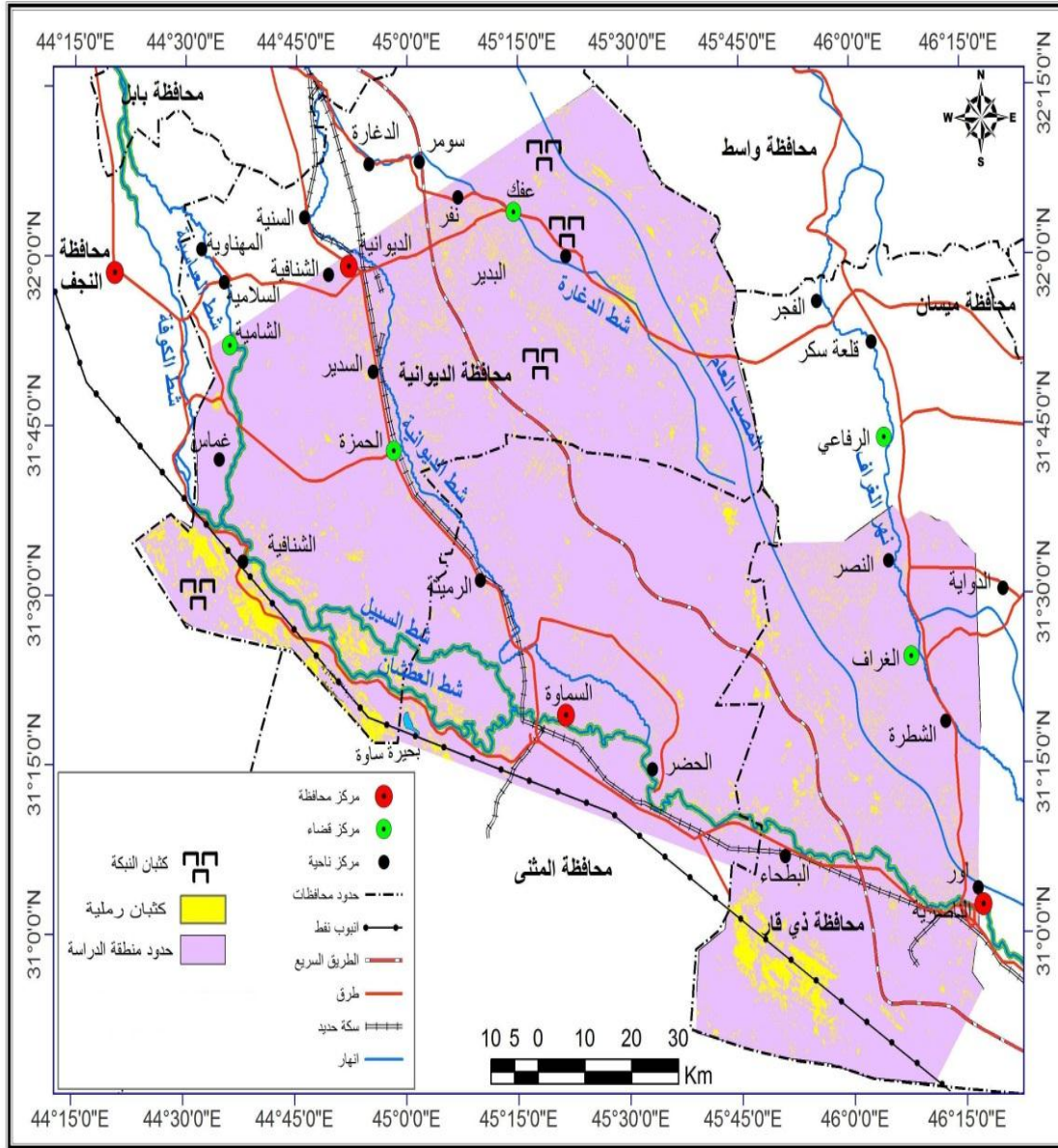
<sup>(1)</sup> سامي عزيز عباس العتبي، إياد عاشور الطائي، الإحصاء والنمذجة في الجغرافية، مطبعة أكرم للطباعة، جامعة بغداد،

2012، ص 85-116-191.



## الفصل الرابع / تحليل العلاقة بين الخصائص الطبيعية والعمليات الجيومورفية في منطقة الدراسة

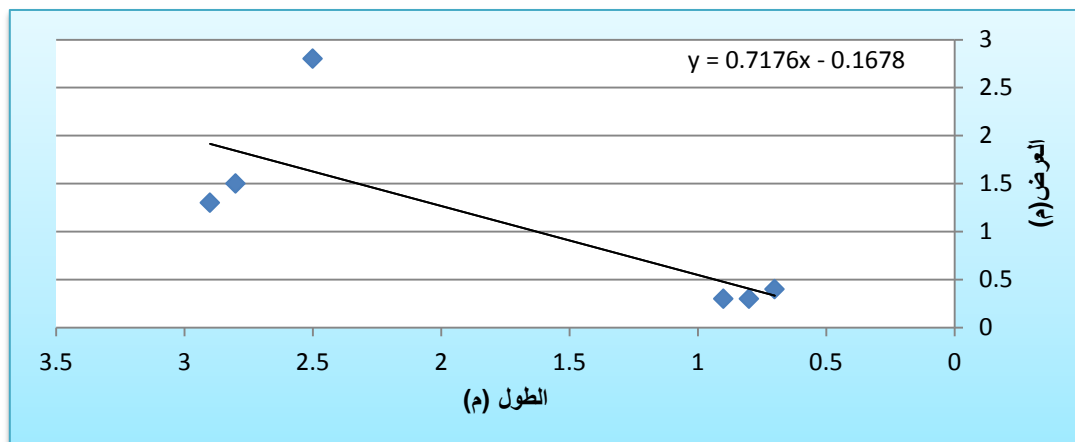
### خريطة (4-12) التوزيع المكاني لكثبان النباك في منطقة الدراسة



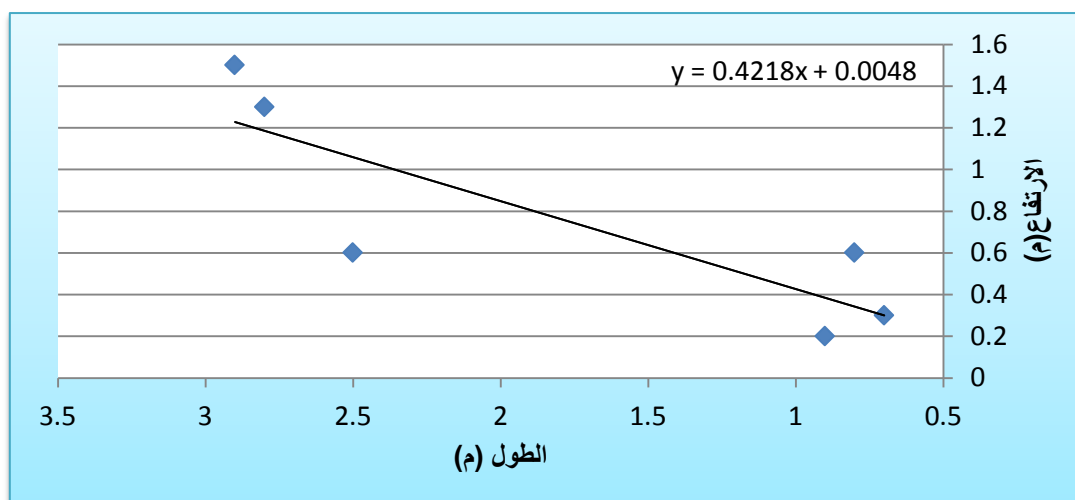
المصدر: بالاعتماد على :

- 1- الدراسة الميدانية
- 2- مرئية فضائية للقمر الصناعي land sat 7 ، الباندات (2-4-7) بتاريخ 2013/5/9 ومعالجتها باستخدام برنامج (ERDAS IMAGINE 9.2) وبرنامج (Arc Map 10.3) ..

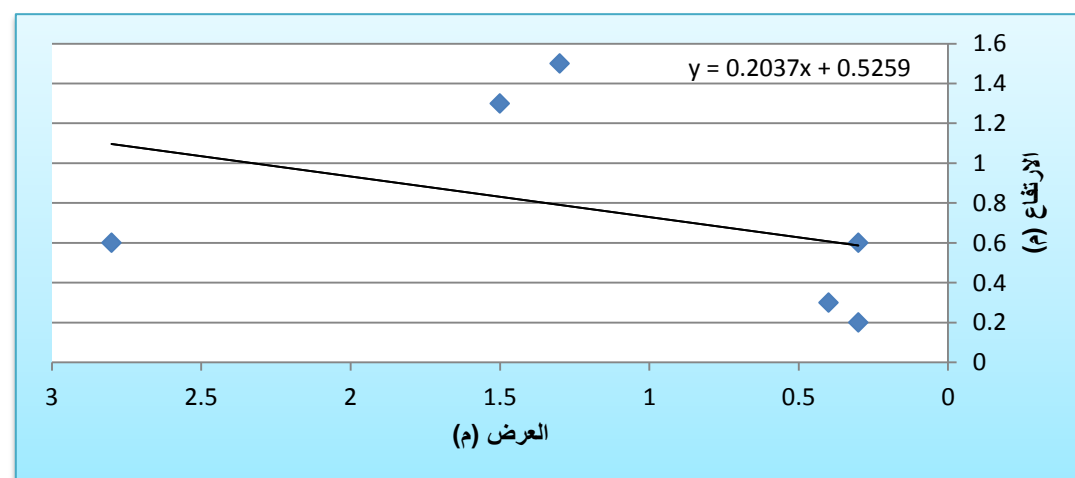
شكل (4-18) العلاقة بين طول وعرض النباك في منطقة الدراسة



شكل (4-19) العلاقة بين طول وارتفاع النباك في منطقة الدراسة



شكل (4-20) العلاقة بين عرض وارتفاع النباك في منطقة الدراسة



المصدر: بالاعتماد على جدول (4-27)

#### 4-3-10-2-3-4 علامات النيم الصحراوي

هي تموجات رملية صغيرة الحجم نشأت من عملية الترسيب تبعاً لعدة عوامل منها طبيعية السطح وسرعة اتجاه الرياح وحجم الرمال المترسبة، أذ تختلف علامات النيم في طول الموجة المتوقفة على درجة التفاوت بين احجام الحبيبات الرملية وقوة الرياح، وفي المناطق الصحراوية ولاسيما منطقة الدراسة تتميز بسيادة المناخ الجاف وشبه الجاف وقلة الغطاء النباتي مما يؤدي الى نشاط التعرية الريحية وتكون علامات النيم الصحراوية في المنطقة ، اذا كانت عوائق طبيعية او صخرية فعلامات النيم تكون واضحة ولذلك تؤدي الى تكون كثبان رملية <sup>(1)</sup>، وتنتشر في الاجزاء الشمالية الغربية والجنوبية في منطقة الدراسة كما في الصورة (4-20).

صورة(4-20) علامات النيم الصحراوي في منطقة الدراسة



المصدر: الدراسة الميدانية لمنطقة الدراسة بتاريخ (2018/2/22) ، الموقع 17° 31' N - 05° 08' E

#### 4-3-3 الاشكال الارضية ذات اصل تبخيري

تنتشر هذه الاشكال في المناطق الجافة وشبه الجافة ومنها منطقة الدراسة ، وتظهر في الترب الطينية والمتمثلة بالسباخ ، وفي الترب الرملية تتمثل بالقشرة الجبسية وتكون هذه الترب حاوية على نسبة عالية من الأملاح، وتعد السباخ من المظاهر التبخرية المنتشرة بشكل واسع في الاقسام الوسطى والشمالية الغربية والجنوبية الشرقية وتشغل مساحة (1263.3 كم<sup>2</sup>) وبنسبة (8.29%) من منطقة الدراسة كما

(1) جوده حسنين جوده، معالم سطح الارض، دار المعرفة الجامعية، الاسكندرية، 1985، ص426.



#### الفصل الرابع / تحليل العلاقة بين الخصائص الطبيعية والعمليات الجيومورفية في منطقة الدراسة

موضح في الصورة (4-21)، وهناك عوامل تؤدي الى تكوينها لاسيما الاشعاع الشمسي (السطوع الفعلي) في المنطقة اذ بلغ (8.96 ، 8.20 ، 8.59 ، 8.23 ساعة / يوم) يؤدي لارتفاع درجات الحرارة وسجلت نحو (32.22 ، 32.86 ، 31.46، 32.88 م) مما يؤدي الى زيادة معدلات التبخر اذ بلغ (3429.2 ، 3840.6 ، 3549.9 ، 3934.0 ملم) وبالتالي الى ارتفاع المياه الجوفية المشبعة الى السطح عن طريق الخاصية الشعرية ، او سبب تعرض المنطقة الى مياه الامطار التي تعمل على اذابة الاملاح في المنطقة، وبفعل ذلك يؤدي ترك الاملاح على سطح التربة وبهذا يتكون هذا المظهر الارضي السباخ .

صورة (4-21) السباخ في منطقة الدراسة



المصدر: الدراسة الميدانية لمنطقة الدراسة بتاريخ (2018/2/21) ، الموقع 45° 02' 04" E – 31° 37' 48" N

الفصل الخامس  
التحليل الاحصائي للعلاقة بين الخصائص  
المناخية والعمليات الجيومورفية في منطقة  
الدراسة



## تمهيد

لقد تم استخدام اسلوب التحليل الكمي في هذا الفصل للتعرف على طبيعة تحليل العلاقات الاحصائية القائمة كمياً بين المتغير التابع (y) والمتغيرات المستقلة (Xi) من خلال تحليل الارتباط والانحدار المتعدد وفي بناء نماذج جغرافية لقياس العلاقة بين متغيرين او مجموعة متغيرات ودرجة تأثر احداها بالآخر كمتغير تابع ومستقل ، ويمكن قياسها احصائياً باستخدام اسلوبين رئيسين هما:

## 1-5 تحليل الارتباط

الارتباط وسيلة احصائية تستخدم لقياس العلاقة بين المتغيرات المستقلة او المتغيرات المستقلة مع المتغير المعتمد ويتم ايضاً اختيارها احصائياً لتحديد طبيعية تلك العلاقة وفيما اذا كانت ذات دلالة احصائية ام انها ناتجة عن عوامل الصدفة stochastic ، ومن خلاله نستطيع تحديد نوع وقوة العلاقة ونحددها حسب اشارة الارتباط فاذا كانت الاشارة سالبة توجد علاقة عكسية بمعنى زيادة احد المتغيرين يقابله انخفاض المتغير الثاني وبالعكس . اما اذا كانت الاشارة موجبة توجد علاقة طردية بين المتغيرين بمعنى زيادة احد المتغيرين تصاحبه زيادة المتغير الثاني وبالعكس . أما اذا كانت القيمة (صفر) فتعني عدم وجود علاقة بين المتغيرين ولقد صنف بعض الإحصائيين درجات قوة العلاقة كما في جدول (1-5)

جدول (1-5) درجات قوة معامل الارتباط

ارتباط سالب					ارتباط موجب				
قوي جداً	قوي	متوسط	ضعيف	ضعيف جداً	ضعيف جداً	ضعيف	متوسط	قوي	قوي جداً
0.9-	0.7-	0.5-	0.3-		0.3	0.5	0.7	0.9	
-1 ارتباط تام					0 عدم وجود ارتباط				
					+1 ارتباط تام				

المصدر: سامي عزيز عباس العتيبي، إياد عاشور الطائي ، الإحصاء والنمذجة في الجغرافية، مطبعة الإمارة ، 2013 ، ص187.

وللتأكد من قوة علاقة (الارتباط) لا بد من اثبات معنوية تلك العلاقة من خلال اختبار (t-test) ويعتمد هذا الاختبار على مقارنة القيمة المحسوبة احصائياً بالقيمة المجدولة وفق درجة الحرية dt ومستوى المعنوي sig المطلوبة فاذا كانت القيمة المحسوبة اكبر من المجدولة فيعتبر الارتباط معنوياً وبالعكس اذا كانت اقل من القيمة المجدولة فيعتبر غير معنوي .

## 2-5 تحليل الانحدار المتعدد

الانحدار يبحث عن العلاقة بين المتغيرات من خلال بناء نموذج احصائي يستخدم للتفسير والتنبؤ وتقدير قيمة المتغير المعتمد  $Y$  بدلالة متغير او عدة مغيرات مستقلة . اما الاساليب التي تحدد قيم ومعنوية تلك المتغيرات فأنها ستعتمد على طريقة المربعات الصغرى الاعتيادية (OLS) لغرض تحديد افضل خط مستقيم لقيم المتغير المعتمد وقيم المتغيرات المستقلة والذي يضمن تصغير مجموع المربعات الانحرافات النقاط الرأسية عن الخط المستقيم الى ادنى حد ممكن <sup>(1)</sup> .

$$\text{Min } \sum_{i=1}^n ei^2 = \text{Min } \sum_{i=1}^n (yi - Bo - B1X1)^2$$

## 3-5 معامل التحديد المتعدد R<sup>2</sup>

يستخدم مربع معامل التحديد  $R^2$  لمعرفة مدى جودة التوفيق لخط الانحدار المتعدد لمتغيرات المستقلة والمتغير التابع ، ويمثل نسبة التغير في المتغير التابع نتيجة للتغير في المتغيرات المستقلة والذي يوضح مساهمة تلك المتغيرات المستقلة في تحقيق التغير الحاصل في المتغير التابع ، فيكون مربع اشارته دائماً موجبة تنحصر بين (0 - 1) ، اذا كانت قيمة  $R^2$  تساوي واحد فهذا يدل على وجود علاقة تأثير تامة بمعنى ان المتغيرات المستقلة ساهمت في تغير المتغير التابع بنسبة 100% واذا كانت قيمة  $R^2$  قريبة من الصفر فإن هذا يؤدي الى وجود ضعف في المتغيرات المستقلة في تحقيق التغير في المتغير التابع <sup>(2)</sup> .

## 4-5 اختبار المعنوية الكلية للانحدار او اختبار (F) :

يهدف اختبار (f-test) إلى التعرف على إذا ما كانت المتغيرات التوضيحية ( $X_1, \dots, X_n$ ) تؤثر في المتغير المعتمد ( $Y$ ) تأثيراً كبيراً ام لا تؤثر ، وتعامل قيمة f-test المحسوبة مثل اختبار T-test وفي هذه الدراسة سوف يتم استخدام نموذج الانحدار الخطي وغير الخطي في تحليل مصفوفة البحث ومن ثم اختيار النموذج المناسب الذي يضم اكبر عدد ممكن من المتغيرات المستقلة او التي اجتازت الاختبارات الاحصائية لثبات معنويتها وقدرتها على تفسير الظاهرة المدروسة. بعد ان تم تحديد العلاقة وصياغة النموذج الاحصائي لبيانات البحث الموضحة في الجداول (2-5) و(5-12) و(5-21) و(5-30).

<sup>(1)</sup> سامي عزيز عباس العتيبي، إياد عاشور الطائي ، الإحصاء والنمذجة في الجغرافية، مطبعة الإمارة ، 2013، ص215.

<sup>(2)</sup> مناف محمد زرزو السوداني ، الاتجاهات المكانية لاحتمالية الانتاج الزراعي والتنبؤ به علاقتها المكانية بنية سكان الريف في محافظة ذي قار للمدة 2002 - 2012 ، اطروحة دكتوراه (غير منشورة)، قسم الجغرافية، كلية التربية ابن رشد ، جامعة بغداد ، 2014، ص158.

جدول (5-2) المتغير المعتمد (1) التعرية الريحية) و (2) التعرية المطرية) والمتغيرات المستقلة (X1) وفقاً لدراسة العلاقة في محطة السمارة

السنوات	التعرية الريحية Y1	التعرية المطرية Y2	السطوع الشمسي الفعلي x1	المدى الحراري X2	سرعة الرياح X3	الرطوبة النسبية X4	الامطار X5	التبخر - نقي X6	الجفاف D X7	التبخر X8	العجز المائي X9	الامطار الفعالة X10
1980	4169.5	2.39	9.0	15.1	3.2	0.40	98.2	2205.9	0.04	3472	2122-	73.4
1981	5424.5	1.32	9.1	15.3	3.1	0.38	73.1	2137.5	0.03	3695	1825-	56.1
1982	3339.3	1.40	8.4	13.8	2.5	0.42	75.3	1915.7	0.04	3089	1859-	56.9
1983	6773.6	0.59	9.2	15.2	2.5	0.40	48.9	1964.1	0.03	3148	1772-	39.1
1984	10899.1	1.37	9.1	13.8	3.6	0.45	74.5	2256.6	0.03	3197	2202-	54.6
1985	27516.2	0.49	9.5	14.5	3.4	0.40	44.4	2230.9	0.02	3158	2396-	31.7
1986	2944.7	4.58	9.3	14.1	3.5	0.44	136	2077.6	0.07	2910	2247-	99.1
1987	5128.9	1.89	9.3	14	3.2	0.39	87.4	2175.7	0.04	3188	2109-	66.3
1988	5931.4	2.32	9.5	13.8	3.4	0.42	96.9	2286.8	0.04	3079	2431-	67.3
1989	8858	0.91	9.4	14.5	3	0.39	60.5	2190.8	0.03	3108	2336-	45.8
1990	21164.4	0.37	9.3	15.4	2.7	0.37	38.9	2069.8	0.02	3278	2095-	25.3
1991	2707	3.18	9.4	14	2.8	0.39	113.3	1884.3	0.06	3061	2345-	74.5
1992	2150.4	4.45	8.9	13.6	3.1	0.44	134.2	2034.9	0.07	2574	2112-	97
1993	528.4	5.05	9.2	13.9	2.1	0.46	142.9	1777.9	0.08	2758	1669-	109.6
1994	894.3	4.02	9.0	14.9	2.2	0.44	127.4	1875.4	0.07	3667	2033-	89.7
1995	1374.8	4.67	9.8	14.9	2.8	0.43	137.4	2165.2	0.06	3121	2061-	103.9
1996	2168.7	3.36	9.5	15.1	2.9	0.43	116.5	2128.6	0.05	3394	2041-	87.9
1997	757.5	8.50	9.4	15.1	2.7	0.44	185.4	2153.2	0.09	3647	2371-	133.6
1998	431.3	6.79	9.4	15.9	2.2	0.42	165.6	1940.2	0.09	3370	1811-	129.5
1999	437.8	12.90	9.2	16	2.6	0.40	228.3	2105.3	0.11	3470	1940-	165.3
2000	7376.6	3.27	8.2	15.4	4.2	0.39	115	2575.1	0.05	3398	2392-	82.8

المصدر : بالاعتماد على 1- على بيانات وزارة النقل والمواصلات. الهيئة العامة للأحواء الجوية ، قسم المناخ (بيانات غير منشورة) 2016.

2- معادلة بنمان مونث لمنظمة الاغذية والزراعة باستخدام برنامج CROPWAT 8.0 3- معادلة (قربانية- ارنولدس 1-A-F) للتعرية المطرية

4- معادلة (chepil) للتعرية الريحية في منطقة الدراسة.

الفصل الخامس / التحليل الإحصائي للعلاقة بين الخصائص المناخية والعمليات الجيومورفية في منطقة الدراسة

جدول (5-2) المتغير المعتمد (Y<sub>1</sub> التعرية الريحية) و (Y<sub>2</sub> التعرية المطرية) والمتغيرات المستقلة (X<sub>1</sub>) وفقاً لدراسة العلاقة في محطة السماوة

السنوات	التعرية الريحية Y <sub>1</sub>	التعرية المطرية Y <sub>2</sub>	السطوع الشمسي الفعلي x <sub>1</sub>	المدى الحراري x <sub>2</sub>	سرعة الرياح x <sub>3</sub>	الرطوبة النسبية x <sub>4</sub>	الامطار x <sub>5</sub>	التبخر - نتح x <sub>6</sub>	الجفاف D x <sub>7</sub>	التبخر x <sub>8</sub>	العجز المائي x <sub>9</sub>	الامطار الفعالة x <sub>10</sub>
2001	21339.9	1.44	9.3	16.4	4.7	0.39	76.2	2786.6	0.03	3521	2729-	58.1
2002	10033.8	1.79	8.8	16	4	0.37	85.1	2539	0.03	3798	2716-	65.7
2003	20379.1	2.10	8.7	15.9	4.3	0.38	92.1	2349.1	0.04	3572	3346-	51.9
2004	26094.8	1.77	8.9	16.1	4.3	0.38	84.5	2259	0.04	3631	3522-	45.1
2005	27098.9	1.52	8.8	15.5	4.2	0.37	78.4	2255.7	0.03	3667	3623-	42.7
2006	62647.5	6.81	8.8	14	3.8	0.41	165.9	2364.7	0.07	3623	2245-	119.2
2007	23550.6	0.96	8.8	14.3	4.3	0.38	62.3	2572.5	0.02	3640	2514-	48.1
2008	11517.6	0.80	8.8	14.8	3.1	0.35	57	2397.6	0.03	3644	2211-	42.2
2009	8393.3	1.24	8.8	14.1	3.1	0.37	70.7	2281.9	0.03	3636	2278-	49.7
2010	11333	0.83	8.3	14.3	3.2	0.37	57.9	2169	0.03	3850	2264-	44.9
2011	9643.7	1.15	9.2	13.9	3.3	0.37	68.2	2331.7	0.03	3999	2400-	50.5
2012	3621.4	3.56	7.9	14	3.7	0.36	119.9	2381.5	0.05	3534	2462-	86.3
2013	648.2	17.49	8.3	13.3	3.3	0.37	265.8	2223.9	0.12	3426	2246-	194.9
2014	3573.1	3.00	8.5	13.4	3.3	0.38	110	2044.4	0.05	4119	1961-	83.4
2015	3220.4	6.76	8.2	14.8	3.4	0.37	165.2	1989.1	0.08	3693	2867-	91.1
2016	2869.2	8.05	8.3	13.9	3.3	0.38	180.3	1882.4	0.10	3746	2922-	92.8

المصدر : بالاعتماد على 1- على بيانات وزارة النقل والمواصلات . الهيئة العامة للأدواء الجوية ، قسم المناخ (بيانات غير منشورة) 2016.

2- معادلة بنمان مونث (chepil) للتعرية الريحية في منطقة الدراسة.

3- معادلة (F-A-1) للتعرية المطرية

4- معادلة CROPWAT 8.0 برنامج

5-5 تم اخضاع بيانات الدراسة للتحليل الاحصائي باستخدام البرنامج الاحصائي (SPSS) لغرض الحصول على النتائج الوصفية والكمية للعلاقة ما بين التعرية الريحية والمطرية والمتغيرات المستقلة المفسرة لتلك العلاقة لمحطات الدراسة.

5-5-1 نتائج التحليل الوصفي بالاعتماد على معامل ارتباط (Pearson) بين المتغير المعتمد ( $y_1$ ) التعرية الريحية والمتغيرات المستقلة لمحطة السماوة كما هي موضحة في جدول (3-5).  
جدول (3-5) قيم معامل الارتباط البسيط (Pearson) بين ( $y_1$ ) التعرية الريحية والمتغيرات المستقلة (المفسرة) والمؤثرة في محطة السماوة للمدة (1980 - 2016)

المتغير المعتمد	المتغيرات المستقلة المفسرة xi	الرمز	الارتباط البسيط	المستوى المعنوي sig
التعرية الريحية $y_1$	السطوع الفعلي ساعة/ يوم	$X_1$	-0.025	غير معنوية
	المدة الحراري (م)	$X_2$	0.152	غير معنوية
	سرعة الرياح م/ ثا	$X_3$	0.540	0.01
	الرطوبة النسبية (%)	$X_4$	-0.222	غير معنوية
	الامطار (مم)	$X_5$	-0.277	غير معنوية
	التبخر - نتح (مم)	$X_6$	0.458	0.01
	الجفاف	$X_7$	-0.076	غير معنوية
	التبخر (مم)	$X_8$	0.207	غير معنوية
	العجز المائي (مم)	$X_9$	-0.402	0.05
	الامطار الفعالة (مم)	$X_{10}$	-0.308	غير معنوية

المصدر: بالاعتماد على التحليل الاحصائي وباستخدام البرنامج الاحصائي SPSS و جدول (3-5) وملحق (1-21).  
يتضح من خلال الجدول (3-5) ان هناك علاقة طردية وبمستوى معنوية 0.01 بين التعرية الريحية ( $y_1$ ) والمتغيرات المستقلة ( $X_3$  سرعة الرياح،  $X_6$  التبخر - نتح) وفي حين هناك علاقة غير معنوية بين التعرية الريحية والمتغيرات ( $X_1$  ،  $X_4$  ،  $X_5$  ،  $X_7$  ،  $X_9$  ).

5-5-2 نتائج التحليل الكمي للتعرية الريحية لمحطة السماوة و بالاعتماد على تحليل الانحدار الخطي المتعدد :

انتضح لنا من التحليل الوصفي لجدول (3-5) وجود علاقة احصائية بدرجة معنوية عالية بين التعرية الريحية وبعض المتغيرات المستقلة لذلك فإن الامر يتطلب تحديد ومعرفة العلاقة الكمية بين التعرية الريحية والمتغيرات المستقلة المؤثرة فعلاً على التعرية الريحية بصورة متجمعة لذلك تم الاعتماد على اسلوب تحليل الانحدار المتعدد الخطي وغير الخطي تم اختيار النموذج الذي يتصف بأعلى معنوية لاختباري (t-teas) (f-teas) وبأعلى قيمة لمعامل التحديد المتعدد (R-square) كما موضح في النموذج الاتي:



جدول (4-5) نموذج الانحدار الخطي المتعدد بين المتغير المعتمد ( $y_1$ ) التعرية الريحية والمتغيرات المستقلة لمحطة السماوة للمدة (1980-2016)

Model 5	Unstandardized Coefficients		Unstandardized Coefficients	t المحسوبة	Sig	t المجدولة
	B	Std. Error	Beta			
Constant	-55751.924	2523.317		-2.210	0.035	
X1 السطوع الفعلي	6747.140	2700.270	0.251	2.499	0.18	2.452**
X3 سرعة الرياح	12964.538	1756.073	0.684	7.383	0.000	2.452**
X4 الرطوبة النسبية	-79340.023	44596.450	-0.186	-1.779	0.085	-1.694*
X5 الامطار	-470.940	55.759	-2.002	-8.446	0.000	-2.452**
X7 الجفاف	863818.596	101310.235	2.086	8.526	0.000	2.452**

المصدر: بالاعتماد على التحليل الاحصائي وباستخدام البرنامج الاحصائي SPSS وملحق (1-22).

\*\* معنوية بمستوى 0.01 ودرجة الحرية 31

\* معنوية بمستوى 0.05 ودرجة الحرية 31

تشير معلمات النموذج اعلاه الى ان هناك علاقة موجبة وقوية جداً بين مقدار التعرية الريحية ( $y_1$ ) والمتغيرات المستقلة ( $X_1$  السطوع الفعلي ،  $X_3$  سرعة الرياح ،  $X_7$  الجفاف) اي ان كلما ارتفعت قيم تلك المتغيرات بوحدة واحدة فأنها ستؤدي الى زيادة مقدار التعرية الريحية بـ (6747 ، 12964 ، 863818) على التوالي وهذا يتفق مع المنطق الجغرافي .

كما نلاحظ من النموذج ان تأثير المتغيرين ( $X_4$  الرطوبة النسبية ،  $X_5$  الامطار) على مقدار التعرية الريحية هي علاقة عكسية سالبة وقوية جداً اي ان كلما انخفضت الرطوبة النسبية (1%) فأنها ستؤدي الى زيادة مقدار التعرية الريحية بـ (79340) ، وفي حين كلما انخفضت كمية الامطار (1 ملم) فأنها ستؤدي الى زيادة مقدار التعرية الريحية بـ (471) وهذا يتفق مع المنطق الجغرافي الذي بني على اساسه النموذج الرقمي لتقدير التعرية الريحية .

ومن خلال ملاحظ قيمة معامل الانحدار القياس (Beta) Unstandardized Coefficients

قيمة اختيار t-teas المحسوبة نجد ان المتغيرات المستقلة ذات التأثير الاكبر على التعرية الريحية هي ( $X_7$  الجفاف) والتي بلغت قيمة Beta في النموذج (2.086) وقيمة t المحسوبة لها (8.526) وهي اكبر بكثير من قيمة المجدولة والبالغة (2.452) بمستوى معنوية (0.01) ودرجة حرية (31) وبذلك يمكن القول ان الجفاف له تأثير كبير على زيادة التعرية الريحية وهذا فعلاً يتفق مع المنطق الجغرافي . ويلي هذا المتغير متغير ( $X_5$  الامطار) في التأثير على التعرية الريحية حيث بلغت قيمة Beta له (-2.002) وثبتت معنوية هذا المتغير باختيار t والبالغة (-8.446) وهي اعلى من القيمة المجدولة

وبالبالغة (2.452) بمستوى معنوية (0.01) ودرجة حرية (31) إذ يتضح ان كلما قلة كمية الامطار زاد الجفاف ثم سيؤدي الى نشاط وزيادة التعرية الريحية وبالعكس.

أما المتغير ( $X_3$  سرعة الرياح) فقد احتلت المرتبة الثالثة في التأثير حيث بلغت قيمة Beta (0.684) وثبت معنويتها الاحصائية باختبار t حيث بلغت قيمة t المحسوبة (7.383) وهي اكبر من القيمة الجدولة والبالغة (2.452) بمستوى معنوية (0.01) ودرجة حرية (31) .

أما ( $X_1$  السطوع الفعلي) فقد احتل المرتبة الرابعة في التأثير على مقدار التعرية الريحية حيث بلغت قيمة Beta له (0.251) وقيمة t المحسوبة والبالغة (2.499) وهي اكبر من القيمة الجدولة والبالغة (2.452) بمستوى معنوية (0.01) ودرجة حرية (31) ، واخيراً احتل المتغير ( $X_4$  الرطوبة النسبية) المرتبة الاخيرة في التأثير على مقدار التعرية الريحية وبلغت قيمة Beta في النموذج (-0.186) وقيمة t المحسوبة (-1.779) وهي اكبر بكثير من قيمة t الجدولة والبالغة (1.694) بمستوى معنوية (0.01) ودرجة حرية (31) وبذلك يمكن القول إنه كلما انخفضت الرطوبة النسبية ارتفعت التعرية الريحية وبالعكس.

وللتأكد من اهمية وواقعية المتغيرات المستقلة التي تضمنها النموذج ويعزز الثقة فيه اعتمد الباحث على اختبار f-test وكما هو مبين في الجدول (5-5).

جدول (5-5) تحليل التباين (ANOVA) بين التعرية الريحية والمتغيرات المستقلة لمحطة السماوة للمدة (1980- 2016)

Model 5	Sum of Square	df	Mean Square	f	Sig
5 Regression	4282620190	5	856524038.0	24.930	0.000**
Residual	1065078159	31	34357359.96		
Total	5347698349	36			

المصدر: بالاعتماد على التحليل الاحصائي وباستخدام البرنامج الاحصائي SPSS وملحق (1-22) .

\*\* معنوية بمستوى 0.01 ودرجة الحرية 31

ومن جدول تحليل التباين (5-5) يتضح ان قيمة f المحسوبة والبالغة (24.93) هي اكبر بكثير من القيمة الجدولة والبالغة (3.68) بمستوى معنوية (0.01) ودرجة حرية (5,31) وبذلك فأن النموذج يؤكد على اهمية وواقعية متغيراته الاحصائية من جهة وامكانية الاعتماد عليه في التقدير والتنبؤ المستقبلي لمقدار التعرية الريحية لمنطقة الدراسة. واخيراً للتأكد من قوة العلاقة بين المتغيرات المستقلة ( $X_i$ ) والمتغير المعتمد اعتمد الباحث على قيمة معامل التحديد المتعدد (R-square) للنموذج الخامس والتي يوضحها جدول (5-6).

جدول (5-6) قيم معامل التحديد المتعدد بين التعرية الريحية والمتغيرات المستقلة لمحطة السماوة للمدة (1980-2016)

Model	R	R-square	Adjusted R-square	Std. Error of the Estimate	Change statistics		
					R-square change	F change	df1
5	0.895	0.80	0.779	5861.51516	-0.007	1.130	1
Model	Change statistics		Durbin-Watson				
	df2	Sig. F change					
5	30	0.296	1.913				

المصدر: بالاعتماد على التحليل الاحصائي وباستخدام البرنامج الاحصائي SPSS وملحق (1-22) .

يتضح من الجدول (5-6) ان قيمة معامل التحديد المتعدد R-square بلغت (0.80) وبذلك يمكن القول ان (80%) من التغيرات التي تحدث في مقدار التعرية الريحية تعزى الى المتغيرات التي تتضمنها النموذج والتي اثبت معنويتها الاحصائية ( $X_1$  السطوع الفعلي،  $X_3$  سرعة الرياح،  $X_4$  الرطوبة النسبية،  $X_5$  الامطار،  $X_7$  الجفاف) وان (20%) تعزى الى المتغيرات الاخرى التي لم يتضمنها النموذج او الى المتغيرات الاخرى لم يتمكن النموذج من حصرها.

كما يتضح من قيمة اختبار **Durbin-Watson** والبالغة (1.913) عدم وجود مشكلة الارتباط الذاتي Auta correlation بين متغيرات النموذج وذلك لان قيمة D.W المحسوبة قريبة من القيمة (2) والتي تؤكد على عدم وجود تلك الظاهرة<sup>(1)</sup>

(1) دومينيك سالفاتور، الاحصاء والاقتصاد القياسي، ترجمة د. سعدية حافظ، الدار الدولية للنشر والتوزيع، القاهرة، 1997. ص 220.

5-5-3 نتائج التحليل الوصفي بالاعتماد على معامل ارتباط (Pearson) بين المتغير المعتمد ( $y_1$ ) التعرية المطرية والمتغيرات المستقلة لمحطة السماوة كما هي موضحة في جدول (5-7).

جدول (5-7) قيم معامل الارتباط البسيط (Pearson) بين ( $y_2$ ) التعرية المطرية والمتغيرات المستقلة (المفسرة) والمؤثرة في محطة السماوة للمدة (1980-2016)

المتغير المعتمد	المتغيرات المستقلة المفسرة xi	الرمز	الارتباط البسيط	المستوى المعنوي sig
التعرية المطرية $y_1$	السطوع الفعلي ساعة/ يوم	$X_1$	-0.169	غير معنوية
	المدى الحراري (م)	$X_2$	-0.123	غير معنوية
	سرعة الرياح م/ ثا	$X_3$	-0.216	غير معنوية
	الرطوبة النسبية (%)	$X_4$	0.146	غير معنوية
	الامطار (مم)	$X_5$	0.970	0.01
	التبخر - نتج (مم)	$X_6$	-0.237	غير معنوية
	الجفاف	$X_7$	0.895	0.01
	التبخر (مم)	$X_8$	-0.006	غير معنوية
	العجز المائي (مم)	$X_9$	0.108	غير معنوية
	الامطار الفعالة (مم)	$X_{10}$	0.948	0.01

المصدر: بالاعتماد على التحليل الاحصائي وباستخدام البرنامج الاحصائي SPSS و جدول (5-2) وملحق (21-1).  
يتضح من الجدول (5-7) ان هناك علاقة قوية وموجبة بمستوى معنوية (0.01) بين التعرية المطرية ( $y_2$ ) والمتغيرات ( $X_5$  الامطار ،  $X_7$  الجفاف ،  $X_{10}$  الامطار الفعالة) وهناك علاقة غير معنوية بين التعرية المطرية والمتغيرات ( $X_1$  ،  $X_2$  ،  $X_3$  ،  $X_6$  ،  $X_8$ ).

5-5-4 نتائج التحليل الكمي للتعرية المطرية لمحطة السماوة وبالاعتماد على تحليل الانحدار الخطي المتعدد

اتضح لنا من التحليل الوصفي جدول (5-7) وجود علاقة احصائية بدرجة معنوية عالية بين التعرية المطرية وبعض المتغيرات المستقلة لذلك فأن الامر يتطلب تحديد ومعرفة العلاقة الكمية بين التعرية المطرية والمتغيرات المستقلة المؤثرة فعلاً على التعرية المطرية بصورة متجمعة لذلك تم الاعتماد على اسلوب تحليل الانحدار المتعدد الخطي وغير الخطي تم اختيار النموذج الذي يتصف بأعلى معنوية لاختياري ( $t$ -teas) و ( $f$ - teas) وبأعلى قيمة لمعامل التحديد المتعدد ( $R$ -square) كما موضح في النموذج الاتي:

جدول (5-8) نموذج الانحدار الخطي المتعدد بين المتغير المعتمد ( $y_2$ ) التعرية المطرية والمتغيرات المستقلة ( $X_i$ ) لمحطة السماوة للمدة (1980-2016)

Model 7	Unstandardized Coefficients		Unstandardized Coefficients	t المحسوبة	Sig	t الجدولة
	B	Std. Error	Beta			
Constant	6.891	3.613		1.907	0.066	
X4 الرطوبة النسبية	-21.781	6.126	-0.173	-3.555	0.001	2.453**
X5 الامطار	0.050	0.010	0.719	4.809	0.000	2.453**
X8 التبخر	-0.001	0.000	-0.065	-1.420	0.165	1.306***
X10 الامطار الفعالة	0.029	0.015	0.302	1.978	0.057	1.689*

المصدر: بالاعتماد على التحليل الاحصائي وباستخدام البرنامج الاحصائي SPSS وملحق (2-22).

\*\*\* معنوية بمستوى 0.01 ودرجة الحرية 32

\*\* معنوية بمستوى 0.05 ودرجة الحرية 32

\* معنوية بمستوى 0.10 ودرجة الحرية 32

تشير معلمات النموذج اعلاه الى ان هناك علاقة موجبة وقوية جداً بين مقدار التعرية المطرية ( $y_2$ ) والمتغيرات المستقلة ( $X_5$  الامطار ،  $X_{10}$  الامطار الفعالة) اي ان كلما ارتفعت قيمة تلك المتغيرات (1ملم) فأنها سيؤدي الى زيادة مقدار التعرية المطرية بـ (0.050 ، 0.029) على التوالي وهذا يتفق مع المنطق الجغرافي. وكما ملاحظة من النموذج ان تأثير المتغيرات ( $X_4$  الرطوبة النسبية ،  $X_8$  التبخر) على مقدار التعرية المطرية هي علاقة عكسية سالبة اي ان كلما انخفضت الرطوبة النسبية (1%) فأنها ستؤدي الى زيادة مقدار التعرية المطرية بـ (-2.781) وحيث كلما انخفضت كمية التبخر (1ملم) فستؤدي الى زيادة مقدار التعرية المطرية بـ (-0.001).

ومن خلال ملاحظة قيمة معامل الانحدار القياس (Beta) Unstandardized Coefficients

وقيمة اختيار t-teas المحسوبة نجد ان المتغيرات المستقلة ذات التأثير الاكبر على التعرية المطرية هي ( $X_5$  الامطار) والتي بلغت قيمة Beta في النموذج (0.719) وقيمة t المحسوبة لها (4.809) وهي اكبر من قيمة t الجدولة والبالغة (2.453) بمستوى معنوية (0.01) ودرجة حرية (32) وبذلك يمكن القول ان الامطار لها تأثير واضح وفعال في زيادة التعرية المطرية وهذا فعلاً يتفق مع المنطق الجغرافي، والمتغير الاخر الذي احتل المرتبة الثانية هو متغير ( $X_{10}$  الامطار الفعالة) وله تأثير على التعرية المطرية حيث بلغت قيمة Beta له (0.302) وثبت معنوية باختيار t المحسوبة لها (1.978) وهي اكبر من القيمة الجدولة والبالغة (1.689) بمستوى معنوية (0.10) ودرجة حرية (32).



أما المتغير ( $X_4$  الرطوبة النسبية) فقد احتل المرتبة الثالثة في التأثير حيث بلغت قيمة Beta في النموذج (-0.173) وثبتت معنويتها الاحصائية باختبار t حيث بلغت قيمة t المحسوبة (-3.555) وهي اكبر من القيمة المجدولة والبالغة (2.453) بمستوى معنوية (0.01) ودرجة حرية (32).

أما المتغير الذي احتل المرتبة الاخيرة هو متغير ( $X_8$  التبخر) في التأثير على مقدار التعرية المطرية حيث بلغت قيمة Beta (-0.065) وقيمة t المحسوبة (-1.420) وهي اكبر من القيمة المجدولة والبالغة (1.306) بمستوى معنوية (0.10) ودرجة حرية (32).

وللتأكد من اهمية وواقعية المتغيرات المستقلة التي تضمنها النموذج ويعزز الثقة فيه اعتمد الباحث على اختبار f-test وكما هو مبين في الجدول (5-9).

جدول (5-9) تحليل التباين (ANOVA) بين التعرية المطرية والمتغيرات المستقلة لمحطة السماوة للمدة (1980-2016)

Model 7	Sum of Square	df	Mean Square	f	Sig
7 Regression	449.894	4	112.473	189.648	0.000**
Residual	18.978	32	0.593		
Total	468.872	36			

المصدر: بالاعتماد على التحليل الاحصائي وباستخدام البرنامج الاحصائي SPSS وملحق (2-22).

\*\* معنوية بمستوى 0.01 ودرجة الحرية 32.

ومن جدول تحليل التباين (5-9) يتضح ان قيمة f المحسوبة والبالغة (189.648) هي اكبر بكثير من القيمة المجدولة والبالغة (3.98) بمستوى معنوية (0.01) ودرجة حرية (4.32) وبذلك فإن النموذج يؤكد على اهمية وواقعية متغيراته الاحصائية من جهة وامكانية الاعتماد عليه في التقدير والتنبؤ المستقبلي لمقدار التعرية المطرية لمنطقة الدراسة. واخيراً للتأكد من قوة العلاقة بين المتغيرات المستقلة ( $X_i$ ) والمتغير المعتمد اعتمد الباحث على قيمة معامل التحديد المتعدد R-square للنموذج السابع والتي يوضحها جدول (5-10).

جدول (5-10) قيم معامل التحديد المتعدد بين التعرية المطرية والمتغيرات المستقلة لمحطة السماوة للمدة (1980-2016)

Model	R	R-square	Adjusted R-square	Std. Error of the Estimate	Change statistics		
					R-square change	F change	df1
7	0.980	0.960	0.954	0.77011	-0.001	0.803	1
Model	Change statistics			Durbin-Watson			
	df2	Sig. F change					
7	31	0.377		2.012			

المصدر: بالاعتماد على التحليل الاحصائي وباستخدام البرنامج الاحصائي SPSS وملحق (2-22).

يتضح من الجدول (5-10) ان قيمة معامل التحديد المتعدد R-square بلغت (0.96) وبذلك يمكن القول ان (96%) من التغيرات التي تحدث في مقدار التعرية المطرية تعزى الى المتغيرات التي تضمنها النموذج والتي اثبت معنويتها الاحصائية ( $X_4$  الرطوبة النسبية،  $X_5$  الامطار،  $X_8$  التبخر،  $X_{10}$  الامطار الفعالة) وان (4%) تعزى الى المتغيرات الاخرى التي لم يتضمنها النموذج او الى المتغيرات الاخرى لم يتمكن النموذج من حصرها، وكما يتضح من قيمة اختبار Durbin-Watson والبالغة (2.012) عدم وجود مشكلة الارتباط الذاتي Auta correlation بين متغيرات النموذج وذلك لان قيمة D.W المحسوبة قريبة من القيمة (2) والتي تؤكد على عدم وجود تلك الظاهرة<sup>(1)</sup>.

5-1-5 نتائج التحليل الوصفي بالاعتماد على معامل ارتباط (Pearson) بين المتغير المعتمد ( $y_1$ ) التعرية الريحية والمتغيرات المستقلة لمحطة الناصرية كما هي موضحة في جدول (5-11).  
جدول (5-11) قيم معامل الارتباط البسيط (Pearson) بين ( $y_1$ ) التعرية الريحية والمتغيرات المستقلة المفسرة والمؤثرة في محطة الناصرية للمدة (1980-2016)

المتغير المعتمد	المتغيرات المستقلة المفسرة xi	الرمز	الارتباط البسيط	المستوى المعنوي sig
التعرية الريحية $y_1$	السطوع الفعلي ساعة/ يوم	$X_1$	0.373	غير معنوية
	المدى الحراري (م)	$X_2$	-0.188	غير معنوية
	سرعة الرياح م/ ثا	$X_3$	0.621	0.01
	الرطوبة النسبية (%)	$X_4$	-0.096	غير معنوية
	الامطار (مم)	$X_5$	-0.593	0.01
	التبخر - نتح (مم)	$X_6$	0.620	0.01
	الجفاف	$X_7$	-0.691	0.01
	التبخر (مم)	$X_8$	0.443	0.01
	العجز المائي (مم)	$X_9$	-0.332	غير معنوية
	الامطار الفعالة (مم)	$X_{10}$	-0.543	0.01

المصدر: بالاعتماد على التحليل الاحصائي وباستخدام البرنامج الاحصائي SPSS وجدول (5-12) وملحق (2-22).

يتضح من الجدول (5-11) ان هناك علاقة قوية وموجبة وبمستوى معنوية 0.01 بين التعرية الريحية ( $y_1$ ) والمتغيرات المستقلة ( $X_3$  سرعة الرياح،  $X_5$  الامطار،  $X_6$  التبخر - نتح،  $X_7$  الجفاف،  $X_8$  التبخر،  $X_{10}$  الامطار الفعالة) وفي حين هناك علاقة غير معنوية بين التعرية الريحية والمتغيرات ( $X_2$ ،  $X_4$ ،  $X_5$ ،  $X_7$ ،  $X_9$ ).

(1) دومينيك سالفاتور، الاحصاء والاقتصاد القياسي، مصدر سابق، ص220.

جدول (5-12) المتغير المعتمد (Y) التعرية الريحية) و (Y<sub>2</sub> التعرية المطرية) والمتغيرات المستقلة (X<sub>1</sub>) وفقاً للدراسة العلاقة في محطة الناصرية

السنوات	التعرية الريحية Y <sub>1</sub>	التعرية المطرية Y <sub>2</sub>	السطوع الشمسي الفعلي x <sub>1</sub>	المدى الحراري x <sub>2</sub>	سرعة الرياح x <sub>3</sub>	الرطوبة النسبية x <sub>4</sub>	الامطار x <sub>5</sub>	التبخر - نقي x <sub>6</sub>	الجفاف D x <sub>7</sub>	التبخر x <sub>8</sub>	العجز المائي x <sub>9</sub>	الامطار الفعالة x <sub>10</sub>
1980	13984.8	2.29	8.3	14.6	5.1	0.39	105.4	2551	0.04	4529	-2470	80.9
1981	10868.7	3.08	8.2	14.5	5.1	0.39	122.2	2325	0.05	4697	-2232	91.6
1982	10588.3	3.08	8.2	14.5	5.1	0.4	122.1	2284	0.05	4495	-2191	91.9
1983	21269.4	1.41	8.0	14.6	5.2	0.41	82.7	2640	0.03	4427	-2573	66.7
1984	7089	5.46	7.9	14.5	5.2	0.39	162.7	2783	0.06	4464	-2667	116.9
1985	18210.6	1.42	8.6	14.6	5.0	0.38	83.1	2803	0.03	4456	-2636	62.5
1986	2133.5	12.10	8.9	14.4	4.6	0.41	242.2	2641	0.09	3541	-2465	176.3
1987	29171.8	1.37	8.5	14.5	5.5	0.38	81.4	2912	0.03	3661	-3032	62.7
1988	8831.8	2.49	8.8	14.0	4.8	0.45	109.9	2523	0.04	3367	-2243	85.2
1989	12380.7	3.07	8.7	14.1	5.6	0.43	121.9	2852	0.04	3933	-2738	90.7
1990	41110	1.10	9.1	12.8	5.6	0.38	73.2	3064	0.02	4261	-3374	53.4
1991	4777.8	11.46	8.1	14.5	5.6	0.42	235.7	2856	0.08	3587	-2698	158.2
1992	13231.7	2.79	8.0	13.9	5.2	0.46	116.3	2565	0.05	3343	-2845	84.9
1993	8196.1	2.85	8.2	13.8	4.6	0.46	117.6	2527	0.05	3280	-2437	90.4
1994	5772.6	4.23	7.9	14.4	4.2	0.43	143.2	2459	0.06	3461	-2429	93.2
1995	5352.9	3.88	8.7	14.2	4.2	0.42	137.2	2580	0.05	3379	-2558	96.8
1996	3003.9	6.74	8.9	13.9	4.3	0.44	180.8	2566	0.07	3364	-2432	134.5
1997	1857.6	7.15	8.0	14.3	3.6	0.46	186.1	2279	0.08	3302	-2228	130.7
1998	1532.7	6.79	9.1	14.5	3.6	0.45	181.4	2370	0.08	3298	-1979	132.5
1999	1843.2	5.96	8.5	14.9	3.7	0.44	169.9	2533	0.07	3495	-2393	125.1
2000	5848.9	2.41	7.7	14.9	3.7	0.43	108	2386	0.05	3463	-2311	76.7

المصدر : بالاعتماد على 1- على بيانات وزارة النقل والمواصلات. الهيئة العامة للأثراء الجوية ، قسم المناخ (بيانات غير منشورة) 2016.

- 2- معادلة بيمان مونث لمنظمة الاغذية والزراعة باستخدام برنامج CROPWAT 8.0 3 - معادلة (قرونية- ارنولس F-A-I) للتعرية المطرية
- 4- معادلة (chepil) للتعرية الريحية في منطقة الدراسة.

جدول (5-12) المتغير المعتمد  $Y_1$  التعرية الريحية) و  $Y_2$  التعرية المطرية) والمتغيرات المستقلة  $(X_1)$  وفقاً لدراسة العلاقة في محطة الناصرية

السنوات	التعرية الريحية $Y_1$	التعرية المطرية $Y_2$	السطوح الشمسي الفعلي $X_1$	المدى الحراري $X_2$	سرعة الرياح $X_3$	الرطوبة النسبية $X_4$	الامطار $X_5$	التبخر - نتج $X_6$	الجفاف D $X_7$	التبخر $X_8$	العجز المائي $X_9$	الامطار الفعالة $X_{10}$
2001	19463.3	1.15	8.7	15.6	4.3	0.43	74.7	2326	0.03	4311	-2486	53.2
2002	2080.4	4.70	8.0	15.2	3.6	0.41	151	2362	0.06	3667	-2239	123.3
2003	6378.9	2.55	8.1	15.3	3.4	0.42	111.2	2185	0.05	3814	-3060	65.0
2004	3437.5	2.01	8.3	17.2	3.0	0.42	98.6	2101	0.05	3930	-2028	73.0
2005	3339.4	2.33	8.1	14.8	3.1	0.41	106.3	2226	0.05	3804	-2423	78.4
2006	736.3	12.46	8.2	14.1	3.3	0.42	245.8	2302	0.11	3849	-2120	182.4
2007	2260.7	3.39	8.2	14.5	3.1	0.39	128.1	2229	0.06	3861	-2477	95.0
2008	8393.3	0.89	8.2	14.4	3.1	0.38	65.5	2271	0.03	3838	-2221	49.6
2009	12665.2	0.67	8.2	14.1	3.2	0.36	56.9	2296	0.02	3991	-2252	42.6
2010	10200.4	0.68	8.0	15.6	3.2	0.34	57.6	2381	0.02	3555	-2334	47.1
2011	3791.7	1.90	7.6	16.1	3.1	0.34	95.9	2308	0.04	3620	-2386	73.5
2012	2758.2	3.22	7.3	12.1	3.2	0.34	124.9	2338	0.05	4069	-2463	90.1
2013	1221.7	7.78	7.8	13.8	3.3	0.36	194.2	2305	0.08	3535	-2326	142.0
2014	3783.8	3.95	7.5	14.7	3.2	0.35	138.3	2317	0.06	3885	-3277	76.7
2015	3787.8	4.80	7.5	14.3	3.2	0.35	152.5	2320	0.07	3830	-3511	76.8
2016	4036.1	5.39	7.6	14.3	3.2	0.35	161.7	2314	0.07	3750	-3789	74.1

المصدر : بالاعتماد على 1- على بيانات وزارة النقل والمواصلات. الهيئة العامة للأشياء الجوية ، قسم المناخ (بيانات غير منشورة) 2016.

- 2 - معادلة بنمان مونث لمنظمة الأغذية والزراعة باستخدام برنامج CROPWAT 8.0 3- معادلة (فورنيّة- ارولس F-A-1) للتعرية المطرية
- 4 - معادلة (chepli) للتعرية الريحية في منطقة الدراسة.

### 5-5-6 نتائج التحليل الكمي للتعرية الريحية لمحطة الناصرية وبالاغتماد على تحليل الانحدار الخطي المتعدد

اتضح لنا من التحليل الوصفي لجدول (5-11) وجود علاقة احصائية بدرجة معنوية عالية بين التعرية الريحية وبعض المتغيرات المستقلة ، لذلك فإن الامر يتطلب تحديد ومعرفة العلاقة الكمية بين التعرية الريحية والمتغيرات المستقلة المؤثرة فعلاً على التعرية الريحية بصورة متجمعة لذلك تم الاعتماد على اسلوب تحليل الانحدار المتعدد الخطي وغير الخطي تم اختيار النموذج الذي يتصف بأعلى معنوية لاختياري (t-teas) و (f-teas) وبأعلى قيمة لمعامل التحديد المتعدد (R-square) كما موضح في النموذج الاتي:

جدول (5-13) نموذج الانحدار الخطي المتعدد بين المتغير المعتمد (Y<sub>1</sub>) التعرية الريحية والمتغيرات المستقلة لمحطة الناصرية للمدة (1980-2016)

Model 5	Unstandardized Coefficients		Unstandardized Coefficients	t المحسوبة	Sig	t المجدولة
	B	Std. Error	Beta			
Constant	-46763.543	15655.739		-2.987	0.006	
X1 السطوع الفعلي	4437.471	1862.527	0.237	2.383	0.024	1.697*
X3 سرعة الرياح	4334.925	1416.198	0.468	3.061	0.005	2.457**
X4 الرطوبة النسبية	-66717.576	24671.076	-0.288	-2.704	0.011	2.457**
X5 الامطار	-281.369	76.058	-1.637	-3.688	0.01	2.457**
X6 التبخر - نتح	15.986	5.873	0.431	2.722	0.011	2.457**
X7 الجفاف	477399.419	188870.913	1.173	2.528	0.017	1.697*

المصدر: بالاغتماد على التحليل الاحصائي وباستخدام البرنامج الاحصائي SPSS وملحق (22-3).

\*\* معنوية بمستوى 0.01 ودرجة الحرية 30 \* معنوية بمستوى 0.05 ودرجة الحرية 30

تشير معلمات النموذج اعلاه الى ان هناك علاقة موجبة وقوية جداً بين مقدار التعرية الريحية (Y<sub>1</sub>) والمتغيرات المستقلة (X<sub>1</sub> السطوع الفعلي ، X<sub>3</sub> سرعة الرياح ، X<sub>6</sub> التبخر نتح، X<sub>7</sub> الجفاف) اي أنه كلما ارتفعت قيم تلك المتغيرات بوحدة واحدة فأنها ستؤدي الى زيادة مقدار التعرية الريحية بـ (4437.471 ، 4334.925 ، 15.986 ، 477399.419) على التوالي وهذا يتفق مع المنطق الجغرافي. كما نلاحظ من النموذج ان تأثير المتغيرين (X<sub>4</sub> الرطوبة النسبية ، X<sub>5</sub> الامطار) على مقدار التعرية الريحية هي علاقة عكسية ايضاً . اي أنه كلما انخفضت الرطوبة النسبية (1%) فأنها ستؤدي الى زيادة مقدار التعرية الريحية بـ (-66717.576) ، وفي حين كلما انخفضت كمية الامطار (1 ملم) فأنها ستؤدي الى زيادة مقدار التعرية الريحية (-281.396) وهذا يتفق مع المنطق الجغرافي.



### ومن خلال ملاحظة قيمة معامل الانحدار القياس (Beta) Unstandardized Coefficients

وقد اختار  $t$ -test المحسوبة نجد ان المتغيرات المستقلة ذات التأثير الاكبر على التعرية الريحية هي ( $X_3$  سرعة الرياح) والتي بلغت قيمة Beta في النموذج (0.468) وقيمة  $t$  المحسوبة لها (3.061) وهي اكبر بكثير من قيمة الجدولة والبالغة (2.457) بمستوى معنوية (0.01) ودرجة حرية (30) وبذلك يمكن القول ان سرعة الرياح لها تأثير كبير على زيادة التعرية الريحية وهذا فعلاً يتفق مع المنطق الجغرافي .

ويأتي هذا المتغير متغير ( $X_6$  التبخر نتج) في التأثير على التعرية الريحية حيث بلغت قيمة Beta له (0.431) وثبتت معنوية هذا المتغير باختبار  $t$  والبالغة (2.722) وهي اعلى من القيمة الجدولة والبالغة (2.457) بمستوى معنوية (0.01) ودرجة حرية (30) . أما المتغير ( $X_4$  الرطوبة النسبية) فقد احتلت المرتبة الثالثة في التأثير حيث بلغت قيمة Beta (-0.288) وثبتت معنويتها الاحصائية باختبار  $t$  حيث بلغت قيمة  $t$  المحسوبة (-2.704) وهي اكبر من القيمة الجدولة والبالغة (2.457) بمستوى معنوية (0.01) ودرجة حرية (30) اي كلما انخفضت الرطوبة النسبية يؤدي الى زيادة التعرية الريحية وبالعكس. بينما ( $X_1$  السطوع الفعلي) فقد احتل المرتبة الرابعة في التأثير على مقدار التعرية الريحية حيث بلغت قيمة Beta له (0.237) وقيمة  $t$  المحسوبة والبالغة (2.383) وهي اكبر من القيمة الجدولة والبالغة (1.697) بمستوى معنوية 0.05 ودرجة حرية 30. أما ( $X_5$  الامطار) فقد احتل المرتبة الخامسة في التأثير على مقدار التعرية الريحية حيث بلغت قيمة Beta له (-1.637) واثبتت معنوية هذا المتغير باختبار قيمة  $t$  المحسوبة والبالغة (-3.699) وهي اكبر من القيمة الجدولة والبالغة (2.457) بمستوى معنوية (0.01) ودرجة حرية (30) . واخيراً احتل المتغير ( $X_7$  الجفاف) المرتبة الاخيرة في التأثير على مقدار التعرية الريحية وبلغت قيمة Beta في النموذج (1.173) وقيمة  $t$  المحسوبة (2.528) وهي اكبر بكثير من قيمة  $t$  الجدولة والبالغة (1.697) بمستوى معنوية (0.05) ودرجة حرية (30) . وللتأكد من اهمية وواقعية المتغيرات المستقلة التي تضمنها النموذج ويعزز الثقة فيه اعتمد الباحث على اختبار  $f$ -test وكما هو مبين في الجدول (5-14).

جدول (5-14) تحليل التباين (ANOVA) بين التعرية الريحية والمتغيرات المستقلة لمحطة الناصرية للمدة (1980-2016)

Model 5	Sum of Square	df	Mean Square	f	Sig
5 Regression	2153472871	6	358912145.2	25.021	0.000**
Residual	430338902.0	30	14344630.07		
Total	2583811773	36			

المصدر: بالاعتماد على التحليل الاحصائي وباستخدام البرنامج الاحصائي SPSS وملحق (22-3) .

\*\* معنوية بمستوى 0.01 ودرجة الحرية 30

ومن جدول تحليل التباين (5-14) يتضح ان قيمة f المحسوبة والبالغة (25.021) هي اكبر بكثير من القيمة المجدولة والبالغة (3.47) بمستوى معنوية 0.01 ودرجة حرية (6,30) وبذلك فإن النموذج يؤكد على اهمية وواقعية متغيراته الاحصائية من جهة وامكانية الاعتماد عليه في التقدير والتنبؤ المستقبلي لمقدار التعرية الريحية لمنطقة الدراسة. واخيراً للتأكد من قوة العلاقة بين المتغيرات المستقلة ( $X_i$ ) والمتغير المعتمد اعتمد الباحث على قيمة معامل التحديد المتعدد (R-square) للنموذج الخامس والتي يوضحها جدول (5-15).

جدول (5-15) قيم معامل التحديد المتعدد بين التعرية الريحية والمتغيرات المستقلة لمحطة الناصرية للمدة (1980-2016)

Model	R	R-square	Adjusted R-square	Std. Error of the Estimate	Change statistics		
					R-square change	F change	df1
5	0.913	0.833	0.800	3787.43054	-0.013	2.360	1
Model	Change statistics		Durbin-Watson				
	df2	Sig. F change					
5	29	0.135	1.978				

المصدر: بالاعتماد على التحليل الاحصائي وباستخدام البرنامج الاحصائي SPSS وملحق (22-3).

يتضح من الجدول (5-15) ان قيمة معامل التحديد المتعدد (R-square) بلغت (0.83) وبذلك يمكن القول ان 83% من التغيرات التي قد تحدث في مقدار التعرية الريحية تعزى الى المتغيرات التي تضمنها النموذج والتي اثبت معنويتها الاحصائية ( $X_1$  السطوع الفعلي،  $X_3$  سرعة الرياح،  $X_4$  الرطوبة النسبية،  $X_5$  الامطار،  $X_7$  الجفاف،  $X_6$  التبخر - نتج) وان (17%) تعزى الى المتغيرات الاخرى التي لم يتضمنها النموذج او الى المتغيرات الاخرى لم يتمكن النموذج من حصرها.

كما يتضح من قيمة اختيار **Durbin-Watson** والبالغة (1.978) عدم وجود مشكلة الارتباط الذاتي Auta correlation بين متغيرات النموذج وذلك لان قيمة D.W المحسوبة قريبة من القيمة (2) والتي تؤكد على عدم وجود تلك الظاهرة<sup>(1)</sup>

(1) دومينيك سالفاتور، الاحصاء والاقتصاد القياسي، مصدر سابق، ص220.

5-5-7 نتائج التحليل الوصفي بالاعتماد على معامل ارتباط (Pearson) بين المتغير المعتمد  $(y_1)$  التعرية المطرية والمتغيرات المستقلة لمحطة الناصرية كما هي موضحة في جدول (5-16).  
جدول (5-16) قيم معامل الارتباط البسيط (Pearson) بين  $(y_2)$  التعرية المطرية والمتغيرات المستقلة (المفسرة) والمؤثرة لمحطة الناصرية للمدة (1980-2016)

المتغير المعتمد	المتغيرات المستقلة المفسرة xi	الرمز	الارتباط البسيط	المستوى المعنوي sig
التعرية المطرية $y_1$	السطوع الفعلي ساعة/ يوم	$X_1$	0.053	غير معنوية
	المدى الحراري (م)	$X_2$	-0.170	غير معنوية
	سرعة الرياح م/ ثا	$X_3$	-0.021	غير معنوية
	الرطوبة النسبية (%)	$X_4$	0.229	غير معنوية
	الامطار (مم)	$X_5$	0.981	0.01
	التبخر - نتح (مم)	$X_6$	0.052	غير معنوية
	الجفاف	$X_7$	0.925	0.01
	التبخر (مم)	$X_8$	-0.327	غير معنوية
	العجز المائي (مم)	$X_9$	0.083	غير معنوية
	الامطار الفعالة (مم)	$X_{10}$	0.947	0.01

المصدر: بالاعتماد على التحليل الاحصائي وباستخدام البرنامج الاحصائي SPSS و جدول (5-12) وملحق (21-2).  
يتضح من الجدول (5-16) ان هناك علاقة قوية وموجبة بمستوى معنوية (0.01) بين التعرية المطرية  $(y_2)$  والمتغيرات  $X_5$  الامطار ،  $X_4$  الرطوبة النسبية ،  $X_7$  الجفاف ،  $X_{10}$  الامطار الفعالة) وهناك علاقة غير معنوية بين التعرية المطرية والمتغيرات  $(X_2, X_3, X_8)$  .

#### 5-5-8 نتائج التحليل الكمي لتعرية المطرية لمحطة الناصرية وبالا اعتماد على تحليل الانحدار الخطي المتعدد

اتضح لنا من التحليل الوصفي جدول (5-16) وجود علاقة احصائية بدرجة معنوية عالية بين التعرية المطرية وبعض المتغيرات المستقلة لذلك فأن الامر يتطلب تحديد ومعرفة العلاقة الكمية بين التعرية المطرية والمتغيرات المستقلة المؤثرة فعلاً على التعرية المطرية بصورة متجمعة لذلك تم الاعتماد على اسلوب تحليل الانحدار المتعدد الخطي وغير الخطي تم اختيار النموذج الذي يتصف بأعلى معنوية لاختياري  $(t\text{-teas})$  و  $(f\text{-teas})$  وبأعلى قيمة لمعامل التحديد المتعدد  $(R\text{-square})$  كما موضح في النموذج الاتي:

جدول (5-17) نموذج الانحدار الخطي المتعدد بين المتغير المعتمد ( $y_2$ ) التعرية المطرية والمتغيرات المستقلة ( $X_i$ ) لمحطة الناصرية للمدة (1980-2016)

Model 7	Unstandardized Coefficients		Unstandardized Coefficients	t المحسوبة	Sig	t المجدولة
	B	Std. Error	Beta			
Constant	-4.760	2.023		-2.353	0.025	
X1 السطوع الفعلي	0.581	0.239	0.086	2.427	0.021	2.450**
X4 الرطوبة النسبية	-8.047	3.219	-0.096	-2.500	0.018	2.450**
X5 الامطار	0.062	0.002	1.003	31.344	0.000	2.450**
X9 العجز المائي	0.000	0.000	0.048	1.461	0.154	1.307***

المصدر: بالاعتماد على التحليل الاحصائي وباستخدام البرنامج الاحصائي SPSS وملحق (22-4).

\*\*\* معنوية بمستوى 0.01 ودرجة الحرية 32

\*\* معنوية بمستوى 0.10 ودرجة الحرية 32

\* معنوية بمستوى 0.05 ودرجة الحرية 32

تشير معلمات النموذج اعلاه الى ان هناك علاقة موجبة وقوية جداً بين مقدار التعرية المطرية ( $y_2$ ) والمتغيرات المستقلة ( $X_1$  السطوع الفعلي،  $X_5$  الامطار،  $X_9$  العجز المائي) اي أنه كلما ارتفعت قيمة تلك المتغيرات بوحدة واحدة فأنها سيؤدي الى زيادة مقدار التعرية المطرية بـ (0.581، 0.062، 0.000) على التوالي وهذا يتفق مع المنطق الجغرافي. وكما نلاحظ من النموذج ان تأثير المتغيرات ( $X_4$  الرطوبة النسبية) على مقدار التعرية المطرية هي علاقة عكسية سالبة اي أنه كلما انخفضت الرطوبة النسبية (1%) فأنها ستؤدي الى زيادة مقدار التعرية المطرية بـ (-8.047).

ومن خلال ملاحظة قيمة معامل الانحدار القياس (Beta) Unstandardized Coefficients

قيمة اختيار t-teas المحسوبة نجد ان المتغيرات المستقلة ذات التأثير الاكبر على التعرية المطرية هي ( $X_5$  الامطار) والتي بلغت قيمة Beta في النموذج (1.003) وقيمة t المحسوبة لها (31.344) وهي اكبر من قيمة t المجدولة والبالغة (2.450) بمستوى معنوية (0.01) ودرجة حرية (32) وبذلك يمكن القول ان الامطار لها تأثير واضح وفعال في زيادة التعرية المطرية وهذا فعلاً يتفق مع المنطق الجغرافي، والمتغير الاخر الذي احتل المرتبة الثانية هو متغير ( $X_4$  الرطوبة النسبية) وله تأثير على التعرية المطرية حيث بلغت قيمة Beta له (-0.096) وثبتت معنويتها الاحصائية باختيار t حيث بلغت قيمة t المحسوبة والبالغة (-2.500) وهي اكبر من القيمة المجدولة والبالغة (2.450) بمستوى معنوية (0.01) ودرجة حرية (32). أما المتغير ( $X_1$  السطوع الفعلي) فقد احتل المرتبة الثالثة في التأثير حيث بلغت قيمة Beta في النموذج (0.086) وثبتت معنويتها الاحصائية باختيار t حيث بلغت قيمة t

المحسوبة والبالغة (2.427) وهي اكبر من القيمة المجدولة والبالغة (2.450) بمستوى معنوية (0.01) ودرجة حرية (32).

أما المتغير الذي احتل المرتبة الاخيرة فهو متغير ( $X_9$  العجز المائي) في التأثير على مقدار التعرية المطرية حيث بلغت قيمة Beta (0.048) وقيمة t المحسوبة (1.461) وهي اكبر من القيمة المجدولة والبالغة (1.307) بمستوى معنوية (1.10) ودرجة حرية (32).

وللتأكد من اهمية وواقعية المتغيرات المستقلة التي تضمنها النموذج ويعزز الثقة فيه اعتمد الباحث على اختبار f-test وكما هو مبين في الجدول (5-18).

جدول (5-18) تحليل التباين (ANOVA) بين التعرية المطرية والمتغيرات المستقلة لمحطة الناصرية للمدة (1980-2016)

Model 7	Sum of Square	df	Mean Square	f	Sig
7 Regression	327.299	4	81.825	261.028	0.000**
Residual	10.031	32	0.313		
Total	337.330	36			

المصدر: بالاعتماد على التحليل الاحصائي وباستخدام البرنامج الاحصائي SPSS وملحق (22-4).

\*\* معنوية بمستوى 0.01 ودرجة الحرية 32.

ومن جدول تحليل التباين (5-18) يتضح ان قيمة f المحسوبة والبالغة (261.028) هي اكبر بكثير من القيمة المجدولة والبالغة (3.98) بمستوى معنوية (0.01) ودرجة حرية (4.32) وبذلك فإن النموذج يؤكد على اهمية وواقعية متغيراته الاحصائية من جهة وامكانية الاعتماد عليه في التقدير والتنبؤ المستقبلي لمقدار التعرية المطرية لمنطقة الدراسة. واخيراً للتأكد من قوة العلاقة بين المتغيرات المستقلة ( $X_i$ ) والمتغير المعتمد اعتمد الباحث على قيمة معامل التحديد المتعدد R-square للنموذج السابع والتي يوضحها جدول (5-19).

جدول (5-19) قيم معامل التحديد المتعدد بين التعرية المطرية والمتغيرات المستقلة لمحطة الناصرية للمدة بين

(1980-2016)

Model	R	R-square	Adjusted R-square	Std. Error of the Estimate	Change statistics		
					R-square change	F change	df1
7	0.985	0.970	0.967	0.55988	-0.001	0.844	1
Model	Change statistics		Durbin-Watson				
	df2	Sig. F change					
7	31	0.365	1.865				

المصدر: بالاعتماد على التحليل الاحصائي وباستخدام البرنامج الاحصائي SPSS وملحق (22-4).



يتضح من الجدول (5-19) ان قيمة معامل التحديد المتعدد (R-square) بلغت (0.97) وبذلك يمكن القول ان (97%) من التغيرات التي قد تحدث في مقدار التعرية المطرية تعزى الى المتغيرات التي تضمنها النموذج والتي اثبت معنويتها الاحصائية ( $X_1$  السطوع الفعلي ،  $X_4$  الرطوبة النسبية ،  $X_5$  الامطار ،  $X_9$  العجز المائي) وان (3%) تعزى الى المتغيرات الاخرى التي لم يتضمنها النموذج او الى المتغيرات الاخرى لم يتمكن النموذج من حصرها. كما يتضح من قيمة اختبار **Durbin-Watson** والبالغة (1.865) عدم وجود مشكلة الارتباط الذاتي **Auto correlation** بين متغيرات النموذج وذلك لان قيمة **D.W** المحسوبة قريبة من القيمة (2) والتي تؤكد على عدم وجود تلك الظاهرة<sup>(1)</sup>.

**5-5-9 نتائج التحليل الوصفي بالاعتماد على معامل ارتباط (Pearson) بين المتغير المعتمد ( $y_1$ ) التعرية الريحية والمتغيرات المستقلة لمحطة النجف كما هي موضحة في جدول (5-20).**  
 جدول (5-20) قيم معامل الارتباط البسيط (Pearson) بين ( $y_1$ ) التعرية الريحية والمتغيرات المستقلة (المفسرة) والمؤثرة لمحطة النجف للمدة (1980-2016)

المتغير المعتمد	المتغيرات المستقلة المفسرة xi	الرمز	الارتباط البسيط	المستوى المعنوي sig
التعرية الريحية $y_1$	السطوع الفعلي ساعة/ يوم	$X_1$	0.195	غير معنوية
	المدى الحراري (م)	$X_2$	0.075	غير معنوية
	سرعة الرياح م/ ثا	$X_3$	0.469	0.01
	الرطوبة النسبية (%)	$X_4$	0.149	غير معنوية
	الامطار (مم)	$X_5$	-0.348	غير معنوية
	التبخر - نتح (مم)	$X_6$	0.606	0.01
	الجفاف	$X_7$	-0.406	غير معنوية
	التبخر (مم)	$X_8$	0.073	غير معنوية
	العجز المائي (مم)	$X_9$	-0.693	0.01
	الامطار الفعالة (مم)	$X_{10}$	-0.348	غير معنوية

المصدر: بالاعتماد على التحليل الاحصائي وباستخدام البرنامج الاحصائي SPSS و جدول (5-21) وملحق (3-21).

يتضح من خلال الجدول (5-20) ان هناك علاقة قوية وموجبة وبمستوى معنوية (0.0) بين التعرية الريحية ( $y_1$ ) والمتغيرين المستقلين ( $X_3$  سرعة الرياح ،  $X_6$  التبخر - نتح) وفي حين هناك علاقة غير معنوية بين التعرية الريحية والمتغيرات ( $X_5$  ،  $X_7$  ،  $X_{10}$ ).

(1) دومينيك سالفاتور، الاحصاء والاقتصاد القياسي ، مصدر سابق، ص220.

جدول (5-21) المتغير المعتمد (1) التعرية الريحية) و (2) التعرية المطرية) والمتغيرات المستقلة (X1) وفقاً لدراسة العلاقة في لمحطة النخف

السنوات	التعرية الريحية Y1	التعرية المطرية Y2	السطوع الشمسي الفعلي x1	المدة الحرارية x2	سرعة الرياح x3	الرطوبة النسبية x4	الأمطار x5	التبخر - نقيع x6	الجفاف D x7	التبخر x8	العجز المائي x9	الأمطار الفعالة x10
1980	1108.5	4.08	8.9	14.3	2.3	0.44	116.4	2105	0.06	4122	-2022	86.1
1981	4690.9	0.94	8.6	14.6	2.3	0.48	56.0	1896	0.03	4100	-1854	41.9
1982	771.4	8.67	8.3	12.6	2.7	0.42	169.7	1989	0.09	3680	-1856	131.4
1983	1072.9	4.33	8.8	13.0	2.4	0.44	119.9	2002	0.06	3962	-1908	93.8
1984	1120.6	3.61	8.9	13.2	2.2	0.43	109.5	1896	0.06	3847	-1814	80.5
1985	2175.1	1.04	9.3	13.1	1.8	0.45	58.8	1788	0.03	3797	-1744	43.0
1986	799.1	4.17	9.1	13.2	2.1	0.44	117.7	1887	0.06	3560	-1798	88.7
1987	589.3	7.64	8.8	13.7	2.3	0.45	159.3	1949	0.08	3511	-1830	117.7
1988	455.7	7.05	9.0	12.5	2.1	0.42	153.0	1865	0.08	3216	-1746	117.6
1989	1654	3.80	9.2	13.5	2.6	0.38	112.3	2132	0.05	3675	-2046	85.6
1990	39083.3	0.28	9.3	13.6	3.1	0.44	30.3	2362	0.01	3954	-2339	22.4
1991	3726.4	1.28	8.5	14.7	2.6	0.47	65.1	2039	0.03	3436	-1989	50.1
1992	1715.2	3.77	8.1	11.8	2.6	0.45	111.9	1905	0.06	3296	-1823	82.8
1993	401	8.70	8.6	12.1	2.2	0.42	170.0	1895	0.09	3498	-1760	134.9
1994	552.5	6.56	8.4	13.5	2.1	0.44	147.6	1920	0.08	3982	-1810	106.9
1995	1099.4	1.24	9.0	12.7	1.6	0.42	64.1	1780	0.04	3731	-1728	50.2
1996	400.3	2.51	8.1	14.9	1.4	0.42	91.3	1671	0.05	4228	-1602	68.3
1997	167.9	6.15	8.5	12.0	1.4	0.43	142.9	1677	0.09	3634	-1573	105.2
1998	358.4	2.12	9.2	13.9	1.3	0.42	83.8	1738	0.05	4054	-1676	62.9
1999	964.8	0.72	9.3	14.5	1.2	0.43	48.8	1695	0.03	4261	-1660	34.9
2000	573.9	0.90	8.7	13.2	1.1	0.39	54.6	1575	0.03	4176	-1534	39.1

المصدر : بالاعتماد على 1- على بيانات وزارة النقل والمواصلات. الهيئة العامة للأتواء الجوية ، قسم المناخ (بيانات غير منشورة) 2016.

2- معادلة بيمان مونتث لمنظمة الاغذية والزراعة باستخدام CROPWAT 8.0 3- معادلة (فورنية- ارفولس -F-A-1) للتعرية المطرية

4- معادلة (chepi) للتعرية الريحية في منطقة الدراسة.

جدول (5-21) المتغير المعتمد (Y<sub>1</sub> التعرية الريحية) و (Y<sub>2</sub> التعرية المطرية) والمتغيرات المستقلة (X<sub>1</sub>) وفقاً للدراسة العلاقة في محطة النجف

السنوات	التعرية الريحية Y <sub>1</sub>	التعرية المطرية Y <sub>2</sub>	السطوع الشمسي الفعلي x <sub>1</sub>	المدى الحراري x <sub>2</sub>	سرعة الرياح x <sub>3</sub>	الرطوبة النسبية x <sub>4</sub>	الامطار x <sub>5</sub>	التبخر - نتج x <sub>6</sub>	الجفاف D x <sub>7</sub>	التبخر x <sub>8</sub>	العجز المائي x <sub>9</sub>	الامطار الفعالة x <sub>10</sub>
2001	452.3	1.69	9.1	14.1	1.3	0.42	75.0	1677	0.04	4147	-1619	57.5
2002	1099.4	1.24	8.8	13.6	1.6	0.42	64.2	1777	0.04	3255	-1728	50.2
2003	344.8	4.25	8.5	12.4	1.6	0.38	118.8	1788	0.07	4118	-1698	90.0
2004	2752.9	0.80	8.9	15.0	1.8	0.39	51.4	1924	0.03	3482	-1885	37.9
2005	642.2	1.53	9.0	14.5	1.4	0.45	71.4	1735	0.04	3668	-1681	53.6
2006	199.1	10.95	8.8	14.3	1.8	0.43	190.7	1931	0.10	3794	-1789	143.1
2007	5824.3	0.39	8.8	15.0	1.8	0.43	35.9	1895	0.02	3929	-1868	26.5
2008	1582.5	1.58	8.0	14.4	1.9	0.45	72.4	1850	0.04	3545	-1795	54.0
2009	1317.6	1.24	7.7	12.9	1.7	0.38	64.3	1731	0.04	2718	-1680	50.5
2010	2134.9	0.76	8.0	17.5	1.7	0.41	50.3	1867	0.03	2833	-1827	39.8
2011	1332.2	1.53	8.0	9.7	1.8	0.39	71.3	1816	0.04	2724	-1761	54.9
2012	3351.9	1.71	7.9	13.4	1.8	0.41	48.8	1805	0.03	2686	-1769	35.2
2013	2472.7	0.95	7.9	13.5	1.9	0.40	56.2	1829	0.03	2575	-1786	42.8
2014	2059.1	1.03	7.9	12.7	1.8	0.40	58.4	1816	0.03	2597	-1772	44.0
2015	2483.5	0.88	7.9	13.2	1.8	0.40	54.1	1817	0.03	2641	-1776	40.4
2016	2647.5	0.95	7.9	14.1	1.9	0.42	56.1	1821	0.03	2626	-1778	42.3

المصدر : بالاعتماد على 1- على بيانات وزارة النقل والمراصلات. الهيئة العامة للأثراء الجوية ، قسم المناخ (بيانات غير منشور) 2016.

2- معادلة بنمان مونتث لمنظمة الاغذية والزراعة باستخدام برنامج CROPWAT 8.0 3- معادلة (فورنييه- ارفولس F-A-1) للتعرية المطرية

4- معادلة (chepil) للتعرية الريحية في منطقة الدراسة

### 5-5-10 نتائج التحليل الكمي للتعرية الريحية لمحطة النجف وبالاتماد على تحليل الانحدار الخطي المتعدد

اتضح لنا من التحليل الوصفي لجدول (5-20) وجود علاقة احصائية بدرجة معنوية عالية بين التعرية الريحية وبعض المتغيرات المستقلة لذلك فإن الامر يتطلب تحديد ومعرفة العلاقة الكمية بين التعرية الريحية والمتغيرات المستقلة المؤثرة فعلاً على التعرية الريحية بصورة متجمعة لذلك تم الاعتماد على اسلوب تحليل الانحدار المتعدد الخطي وغير الخطي تم اختيار النموذج الذي يتصف بأعلى معنوية لاختياري (t-teas) (f-teas) وبأعلى قيمة لمعامل التحديد المتعدد (R-square) كما موضح في النموذج الاتي:

جدول (5-22) نموذج الانحدار الخطي المتعدد بين المتغير المعتمد ( $y_1$ ) التعرية الريحية والمتغيرات المستقلة لمحطة النجف للمدة (1980-2016)

Model 7	Unstandardized Coefficients		Unstandardized Coefficients	t المحسوبة	Sig	t الجدولة
	B	Std. Error	Beta			
Constant	-17933.453	8567.226		-2.093	0.044	
X1 السطوع الفعلي	1456.136	1015.349	0.113	1.434	0.161	1.307*
X3 سرعة الرياح	6004.797	587.963	0.803	10.213	0.000	2.447**
X10 الامطار الفعالة	-56.427	15.014	-0.294	-3.758	0.001	2.447**

المصدر: بالاعتماد على التحليل الاحصائي وباستخدام البرنامج الاحصائي SPSS وملحق (5-22).

\*\* معنوية بمستوى 0.01 ودرجة الحرية 33 \* معنوية بمستوى 0.10 ودرجة الحرية 33

تشير معلمات النموذج اعلاه الى ان هناك علاقة موجبة وقوية جداً بين مقدار التعرية الريحية ( $y_1$ ) والمتغيرات المستقلة ( $X_1$  السطوع الفعلي،  $X_3$  سرعة الرياح) اي أنه كلما ارتفعت قيم تلك المتغيرات بوحدة واحدة فأنها ستؤدي الى زيادة مقدار التعرية الريحية ب (1456.136، 6004.797) على التوالي وهذا يتفق مع المنطق الجغرافي، كما نلاحظ من النموذج ان تأثير المتغير ( $X_{10}$  الامطار الفعالة) على مقدار التعرية الريحية هي علاقة عكسية سالبة وقوية جداً اي أنه كلما انخفضت الامطار الفعالة (1ملم) فأنها ستؤدي الى زيادة مقدار التعرية الريحية ب (-56.427) وهذا يتفق مع المنطق الجغرافي.

ومن خلال ملاحظة قيمة معامل الانحدار القياس (Unstandardized Coefficients (Beta)

وقيمة اختيار t-teas المحسوبة نجد ان المتغيرات المستقلة ذات التأثير الاكبر على التعرية الريحية هي ( $X_3$  سرعة الرياح) والتي بلغت قيمة Beta في النموذج (0.803) وقيمة t المحسوبة لها (10.213) وهي اكبر بكثير من قيمة الجدولة والبالغة (2.447) بمستوى معنوية 0.01 ودرجة حرية (33) وبذلك يمكن القول ان سرعة الرياح لها تأثير كبير على زيادة التعرية الريحية وهذا فعلاً يتفق مع المنطق

الجغرافي . ويلي هذا المتغير متغير ( $X_1$  السطوع الفعلي) في التأثير على التعرية الريحية حيث بلغت قيمة Beta له (0.113) وثبتت معنوية هذا المتغير باختبار  $t$  والبالغة (1.434) وهي اعلى من القيمة المجدولة والبالغة (1.307) بمستوى معنوية (0.10) ودرجة حرية (33) . أما المتغير ( $X_{10}$  الامطار الفعالة) فقد احتلت المرتبة الاخيرة في التأثير حيث بلغت قيمة Beta (-0.294) وثبتت معنويتها الاحصائية باختبار  $t$  حيث بلغت قيمة  $t$  المحسوبة (-3.758) وهي اكبر من القيمة المجدولة والبالغة (2.447) بمستوى معنوية (0.01) ودرجة حرية (33) . اي كلما انخفضت الامطار الفعالة سيؤدي الى زيادة التعرية الريحية وبالعكس. وللتأكد من اهمية وواقعية المتغيرات المستقلة التي تضمنها النموذج ويعزز الثقة فيه اعتمد الباحث على اختبار  $f$ -test وكما هو مبين في الجدول (5-23).

جدول (5-23) تحليل التباين (ANOVA) بين التعرية الريحية والمتغيرات المستقلة لمحطة النجف للمدة (1980-2016)

Model 7	Sum of Square	df	Mean Square	f	Sig
7 Regression	1148578182	3	382859394.2	44.642	0.000**
Residual	283012359.0	33	8576132.091		
Total	1431590541	36			

المصدر: بالاعتماد على التحليل الاحصائي وباستخدام البرنامج الاحصائي SPSS وملحق (5-22).

\*\* معنوية بمستوى 0.01 ودرجة الحرية 33

ومن جدول تحليل التباين (5-23) يتضح ان قيمة  $f$  المحسوبة والبالغة (44.642) هي اكبر بكثير من القيمة المجدولة والبالغة (4.444) بمستوى معنوية 0.01 ودرجة حرية (3.33) وبذلك فأن النموذج يؤكد على اهمية وواقعية متغيراته الاحصائية من جهة وامكانية الاعتماد عليه في التقدير والتنبؤ المستقبلي لمقدار التعرية الريحية لمنطقة الدراسة. واخيراً للتأكد من قوة العلاقة بين المتغيرات المستقلة ( $X_i$ ) والمتغير المعتمد اعتمد الباحث على قيمة معامل التحديد المتعدد R-square للنموذج السابع والتي يوضحها جدول (5-24).

جدول (5-24) قيم معامل التحديد المتعدد بين التعرية الريحية والمتغيرات المستقلة لمحطة النجف للمدة (1980-2016)

Model	R	R-square	Adjusted R-square	Std. Error of the Estimate	Change statistics		
					R-square change	F change	df1
7	0.896	0.802	0.784	2928.50339	-0.014	2.485	1
Model	Change statistics			Durbin-Watson			
	df2	Sig. F change					
7	32	0.125		1.835			

المصدر: بالاعتماد على التحليل الاحصائي وباستخدام البرنامج الاحصائي SPSS وملحق (5-22).



يتضح من الجدول (5-24) ان قيمة معامل التحديد المتعدد R-square بلغت (0.80) وبذلك يمكن القول ان 80% من التغيرات التي قد تحدث في مقدار التعرية الريحية تعزى الى المتغيرات التي تتضمنها النموذج والتي اثبت معنويتها الاحصائية ( $X_1$  السطوع الفعلي،  $X_3$  سرعة الرياح،  $X_{10}$  الامطار الفعالة) وان 20% تعزى الى المتغيرات الاخرى التي لم يتضمنها النموذج او الى المتغيرات الاخرى لم يتمكن النموذج من حصرها. كما يتضح من قيمة اختبار **Durbin-Watson** والبالغة (1.835) عدم وجود مشكلة الارتباط الذاتي **Auto correlation** بين متغيرات النموذج وذلك لان قيمة **D.W** المحسوبة قريبة من القيمة 2 والتي تؤكد على عدم وجود تلك الظاهرة<sup>(1)</sup>.

**5-5-11 نتائج التحليل الوصفي بالاعتماد على معامل ارتباط (Pearson) بين المتغير المعتمد ( $y_2$ ) التعرية المطرية والمتغيرات المستقلة لمحطة النجف كما هي موضحة في جدول (5-25).**  
**جدول (5-25) قيم معامل الارتباط البسيط (Pearson) بين ( $y_2$ ) التعرية المطرية والمتغيرات المستقلة (المفسرة) والمؤثرة لمحطة النجف للمدة (1980-2016)**

المتغير المعتمد	المتغيرات المستقلة المفسرة $x_i$	الرمز	الارتباط البسيط	المستوى المعنوي sig
التعرية المطرية $y_1$	السطوع الفعلي ساعة/ يوم	$X_1$	0.110	غير معنوية
	المدى الحراري (م)	$X_2$	-0.277	غير معنوية
	سرعة الرياح م/ ثا	$X_3$	0.283	غير معنوية
	الرطوبة النسبية (%)	$X_4$	0.116	غير معنوية
	الامطار (مم)	$X_5$	0.980	0.01
	التبخر - نتج (مم)	$X_6$	0.202	غير معنوية
	الجفاف	$X_7$	0.962	0.01
	التبخر (مم)	$X_8$	0.185	غير معنوية
	العجز المائي (مم)	$X_9$	0.017	غير معنوية
	الامطار الفعالة (مم)	$X_{10}$	0.979	0.01

المصدر: بالاعتماد على التحليل الاحصائي وباستخدام البرنامج الاحصائي SPSS وجدول (5-21) وملحق (3-21).

يتضح من الجدول (5-25) ان هناك علاقة قوية وموجبة بمستوى معنوية (0.01) بين التعرية المطرية ( $y_2$ ) والمتغيرات المستقلة ( $X_5$  الامطار،  $X_7$  الجفاف،  $X_{10}$  الامطار الفعالة) وهناك غير معنوية بين التعرية المطرية والمتغير ( $X_2$  المدى الحراري).

(1) دومينيك سالفاتور، الاحصاء والاقتصاد القياسي، مصدر سابق، ص220.

## 5-5-12 نتائج التحليل الكمي للتعرية المطرية لمحطة النجف وبالاكتفاء على تحليل الانحدار الخطي المتعدد

اتضح لنا من التحليل الوصفي لجدول (5-25) وجود علاقة احصائية بدرجة معنوية عالية بين التعرية المطرية وبعض المتغيرات المستقلة لذلك فأن الامر يتطلب تحديد ومعرفة العلاقة الكمية بين التعرية المطرية والمتغيرات المستقلة المؤثرة فعلاً على التعرية المطرية بصورة متجمعة لذلك تم الاعتماد على أسلوب تحليل الانحدار المتعدد الخطي وغير الخطي تم اختيار النموذج الذي يتصف بأعلى معنوية لاختباري (t-teas) (f-teas) وبأعلى قيمة لمعامل التحديد المتعدد (R-square) كما موضح في النموذج الاتي:

جدول (5-26) نموذج الانحدار الخطي المتعدد بين المتغير المعتمد ( $y_2$ ) التعرية المطرية والمتغيرات المستقلة ( $X_i$ ) لمحطة النجف للمدة (1980-2016)

Model 7	Unstandardized Coefficients		Unstandardized Coefficients	t المحسوبة	Sig	t المجدولة
	B	Std. Error	Beta			
Constant	-3.422	1.151		-2.973	0.005	
X2 المدى الحراري	0.117	0.067	0.091	1.746	0.082	1.69*
X5 الامطار	0.065	0.002	1.006	27.742	0.000	2.447**
X8 التبخر	0.001	0.000	0.088	1.706	0.077	1.69*

المصدر: بالاعتماد على التحليل الاحصائي وباستخدام البرنامج الاحصائي SPSS وملحق (22-6).

\*\* معنوية بمستوى 0.01 ودرجة الحرية 32

\* معنوية بمستوى 0.05 ودرجة الحرية 32

تشير معلمات النموذج اعلاه الى ان هناك علاقة موجبة وقوية جداً بين مقدار التعرية المطرية ( $y_2$ ) والمتغيرات المستقلة ( $X_2$  المدى الحراري ،  $X_5$  الامطار ،  $X_8$  التبخر) اي أنه كلما ارتفعت قيمة تلك المتغيرات بوحدة واحدة فأنها سيؤدي الى زيادة مقدار التعرية المطرية بـ (0.001 ، 0.065 ، 0.117) على التوالي وهذا يتفق مع المنطق الجغرافي.

ومن خلال ملاحظة قيمة معامل الانحدار القياس (Beta) Unstandardized Coefficients

وقيمة اختبار t-teas المحسوبة نجد ان المتغيرات المستقلة ذات التأثير الاكبر على التعرية المطرية هي ( $X_5$  الامطار) فقد احتل المرتبة الاولى في التأثير على التعرية المطرية حيث بلغت قيمة Beta في النموذج (1.006) وقيمة t المحسوبة لها (27.742) وهي اكبر من قيمة t المجدولة والبالغة (2.447) بمستوى معنوية (0.01) ودرجة حرية (33) وبذلك يمكن القول إن للأمطار تأثيراً واضحاً وفعالاً في زيادة التعرية المطرية وهذا فعلاً يتفق مع المنطق الجغرافي، والمتغير الاخر الذي احتل المرتبة

الثانية هو متغير ( $X_2$  المدى الحراري) وله تأثير على التعرية المطرية حيث بلغت قيمة Beta له (0.091) وثبتت معنويتها الاحصائية باختبار t حيث بلغت قيمة t المحسوبة والبالغة (1.747) وهي اكبر من القيمة المجدولة والبالغة (1.69) بمستوى معنوية (0.05) ودرجة حرية (33)، أما المتغير ( $X_8$  التبخر) فقد احتل المرتبة الاخيرة في التأثير حيث بلغت قيمة Beta في النموذج (0.088) وثبتت معنويتها الاحصائية باختبار t حيث بلغت قيمة t المحسوبة والبالغة (1.706) وهي اكبر من القيمة المجدولة والبالغة (1.69) بمستوى معنوية (0.05) ودرجة حرية (33). وللتأكد من اهمية وواقعية المتغيرات المستقلة التي تضمنها النموذج ويعزز الثقة فيه اعتمد الباحث على اختبار f-test وكما هو مبين في الجدول (5-27).

جدول (5-27) تحليل التباين (ANOVA) بين التعرية المطرية والمتغيرات المستقلة لمحطة النجف للمدة (1980-2016)

Model 7	Sum of Square	df	Mean Square	f	Sig
7 Regression	267.497	3	89.166	298.106	0.000**
Residual	9.871	33	0.299		
Total	277.367	36			

المصدر: بالاعتماد على التحليل الاحصائي وباستخدام البرنامج الاحصائي SPSS وملحق (22-6).

\*\* معنوية بمستوى 0.01 ودرجة حرية 33.

ومن جدول تحليل التباين (5-27) يتضح ان قيمة f المحسوبة والبالغة (298.106) هي اكبر بكثير من القيمة المجدولة والبالغة (4.444) بمستوى معنوية (0.01) ودرجة حرية (3.33) وبذلك فإن النموذج يؤكد على اهمية وواقعية متغيراته الاحصائية من جهة وامكانية الاعتماد عليه في التقدير والتنبؤ المستقبلي لمقدار التعرية المطرية لمنطقة الدراسة، واخيراً للتأكد من قوة العلاقة بين المتغيرات المستقلة ( $X_i$ ) والمتغير المعتمد اعتمد الباحث على قيمة معامل التحديد المتعدد R-square للنموذج السابع والتي يوضحها جدول (5-28)

جدول (5-28) قيم معامل التحديد المتعدد بين التعرية المطرية والمتغيرات المستقلة لمحطة النجف للمدة (1980-2016)

Model	R	R-square	Adjusted R-square	Std. Error of the Estimate	Change statistics		
					R-square change	F change	df1
7	0.982	0.964	0.961	0.54691	-0.001	1.044	1
Model	Change statistics		Durbin-Watson				
	df2	Sig. F change					
7	32	0.315	2.070				

المصدر: بالاعتماد على التحليل الاحصائي وباستخدام البرنامج الاحصائي SPSS وملحق (22-6).

يتضح من الجدول (5-28) ان قيمة معامل التحديد المتعدد (R-square) بلغت (0.96) وبذلك يمكن القول ان (96%) من التغيرات التي قد تحدث في مقدار التعرية المطرية تعزى الى المتغيرات التي تضمنها النموذج والتي اثبت معنويتها الاحصائية ( $X_2$  المدى الحراري ،  $X_5$  الامطار ،  $X_8$  التبخر) وان (4%) تعزى الى المتغيرات الاخرى التي لم يتضمنها النموذج او الى المتغيرات الاخرى لم يتمكن النموذج من حصرها. كما يتضح من قيمة اختبار **Durbin-Watson** والبالغة (2.070) عدم وجود مشكلة الارتباط الذاتي **Auto correlation** بين متغيرات النموذج وذلك لان قيمة **D.W** المحسوبة قريبة من القيمة (2) والتي تؤكد على عدم وجود تلك الظاهرة<sup>(1)</sup>.

**5-5-13 نتائج التحليل الوصفي بالاعتماد على معامل ارتباط (Pearson) بين المتغير المعتمد ( $y_1$ ) التعرية الريحية والمتغيرات المستقلة لمحطة الديوانية كما هي موضحة في جدول (5-29).**  
**جدول (5-29) قيم معامل الارتباط البسيط (Pearson) بين ( $y_1$ ) التعرية الريحية والمتغيرات المستقلة (المفسرة) والمؤثرة في محطة الديوانية للمدة (1980-2016)**

المتغير المعتمد	المتغيرات المستقلة المفسرة $x_i$	الرمز	الارتباط البسيط	المستوى المعنوي sig
التعرية الريحية $y_1$	السطوع الفعلي ساعة/ يوم	$X_1$	0.304	غير معنوية
	المدى الحراري (م)	$X_2$	-0.309	غير معنوية
	سرعة الرياح م/ ثا	$X_3$	0.438	0.01
	الرطوبة النسبية (%)	$X_4$	-0.064	غير معنوية
	الامطار (مم)	$X_5$	-0.420	0.01
	التبخر - نتح (مم)	$X_6$	0.373	غير معنوية
	الجفاف	$X_7$	-0.494	0.01
	التبخر (مم)	$X_8$	0.269	غير معنوية
	العجز المائي (مم)	$X_9$	0.015	غير معنوية
	الامطار الفعالة (مم)	$X_{10}$	-0.418	0.01

المصدر: بالاعتماد على التحليل الاحصائي وباستخدام البرنامج الاحصائي SPSS و جدول (5-30) وملحق (21-4).

يتضح من الجدول (5-29) ان هناك علاقة موجبة قوية وبمستوى معنوية 0.01 بين التعرية الريحية ( $y_1$ ) والمتغيرات المستقلة ( $X_1$  السطوع الفعلي ،  $X_3$  سرعة الرياح ،  $X_6$  التبخر - نتح ،  $X_8$  التبخر ،  $X_9$  العجز المائي) وفي حين هناك علاقة غير معنوية بين التعرية الريحية والمتغير ( $X_2$  ،  $X_4$  ،  $X_5$  ،  $X_7$  ،  $X_{10}$ ).

(1) دومينيك سالفاتور، الاحصاء والاقتصاد القياسي ، مصدر سابق، ص220.

جدول (5-30) المتغير المعتمد  $(Y_1)$  التعرية الريحية و  $(Y_2)$  التعرية المطرية والمتغيرات المستقلة  $(X_1)$  وفقاً لدراسة العلاقة في محطة الديوانية

السنوات	التعرية الريحية $Y_1$	التعرية المطرية $Y_2$	السطوع الشمسي الفعلي $x_1$	المدى الحراري $x_2$	سرعة الرياح $x_3$	الرطوبة النسبية $x_4$	الامطار $x_5$	التبخر - نقي $x_6$	الجفاف D $x_7$	التبخر $x_8$	العجز المائي $x_9$	الامطار الفعالة $x_{10}$
1980	12015.6	2.15	8.1	14.6	4.3	0.44	89.7	2475	0.04	4622	-2408	67.2
1981	16739.7	1.17	8.2	15.3	3.9	0.41	66.1	2343	0.03	4620	-2394	49.6
1982	5923.5	3.77	7.7	13.6	4.2	0.48	118.8	2322	0.05	4109	-2230	92.6
1983	46191.7	0.91	8.0	14.6	5.2	0.46	58.5	2527	0.02	4427	-2482	45.3
1984	19827.8	2.29	7.9	14.5	5.2	0.40	92.6	2750	0.03	4464	-2683	69.6
1985	21880.9	1.89	8.6	14.6	5.0	0.42	84.1	2716	0.03	4456	-2653	63.0
1986	6692.3	4.69	8.9	14.4	4.6	0.42	132.5	2602	0.05	3541	-2503	99.1
1987	12965.3	4.20	8.5	14.5	5.5	0.47	125.5	2714	0.05	3661	-2621	93.5
1988	8606.8	4.05	8.8	14.0	4.8	0.46	123.2	2511	0.05	3367	-2417	93.8
1989	14412.7	3.67	8.7	14.1	5.6	0.43	117.3	2867	0.04	3933	-2775	91.2
1990	144527.5	0.38	9.1	12.8	5.6	0.41	37.8	2697	0.01	4261	-2669	28.4
1991	20324.2	4.17	8.1	14.5	5.6	0.45	125	2769	0.05	3561	-2692	77.2
1992	14424.9	3.33	8.0	13.9	5.2	0.44	111.7	2578	0.04	3343	-2497	81.1
1993	2998.4	9.86	8.2	13.8	4.6	0.48	192.2	2453	0.08	3273	-2304	148.8
1994	4640	5.81	7.9	14.4	4.2	0.46	147.5	2391	0.06	3397	-2259	104.7
1995	7376.6	2.85	8.7	14.2	4.2	0.46	103.3	2487	0.04	3357	-2404	82.8
1996	6881.1	3.67	8.9	13.9	4.3	0.47	117.2	2505	0.05	3347	-2417	88.8
1997	4773.1	3.38	8.1	14.3	3.6	0.50	112.6	2207	0.05	3271	-2225	82.1
1998	4773.1	3.14	9.1	14.5	3.6	0.50	108.4	2299	0.05	3298	-2218	81.3
1999	6654.7	2.60	8.5	14.9	3.7	0.49	98.7	2424	0.04	3512	-2452	71.7
2000	1354.3	3.32	7.7	14.9	3.7	0.48	223.4	2296	0.10	3697	-2137	159.6

المصدر : بالاعتماد على 1- على بيانات وزارة الفل والمواصلات. الهيئة العامة للأشياء الحوية ، قسم المناخ (بيانات غير منشورة) 2016.

2- معادلة يمان مونث لمنظمة الاغذية والزراعة باستخدام برنامج CROPWAT 8.0 3- معادلة (فورنية- ارنولدس F-A-I) للتعرية المطرية

4- معادلة (chepil) للتعرية الريحية في منطقة الدراسة



جدول (5-30) المتغير المعتمد (1) التعرية الريحية و (2) التعرية المطرية) والمتغيرات المستقلة (Xi) وفقاً للدراسة العلاقة في محطة الديوانية

السنوات	التعرية الريحية Y1	التعرية المطرية Y2	السطوح الشمسي الفعلي x1	المدى الحراري x2	سرعة الرياح x3	الرطوبة النسبية x4	الامطار x5	التبخر - نتج x6	الجفاف D x7	التبخر x8	العجز المائي x9	الامطار الفعالة x10
2001	5827.7	2.33	8.7	15.6	3.5	0.49	93.4	2324	0.04	4311	-2217	70.9
2002	1412.5	9.25	8.0	15.2	3.6	0.47	186.1	2295	0.08	3667	-2145	150.4
2003	4752.4	3.89	8.2	15.4	3.7	0.43	120.7	2388	0.05	4088	-2303	85.3
2004	10441.5	0.86	8.0	15.7	3.0	0.43	56.6	2099	0.03	4013	-2047	42.2
2005	3791.7	2.70	8.0	14.8	3.1	0.41	100.6	2227	0.05	4129	-2154	73.2
2006	3905.3	3.05	7.9	14.1	3.3	0.43	106.9	2285	0.05	4143	-2233	79.3
2007	19354	0.51	7.9	14.5	3.1	0.40	43.6	2223	0.02	4186	-2191	32.0
2008	17996.6	0.54	8.1	14.4	3.1	0.38	45.1	2272	0.02	4205	-2239	33.0
2009	18448.1	0.57	7.9	14.1	3.2	0.40	46.2	2247	0.02	4249	-2214	35.3
2010	14246.9	0.64	7.9	15.5	3.2	0.34	49.1	2379	0.02	4323	-2334	39.1
2011	5217.9	1.77	7.6	16.1	3.1	0.34	81.4	2300	0.04	4138	-2238	62.1
2012	4612	2.61	8.3	11.8	3.2	0.34	98.8	2328	0.04	4109	-2258	70.0
2013	7023.5	1.55	8.4	13.9	3.2	0.34	76.2	2305	0.03	4123	-2248	56.9
2014	5022.8	1.95	8.1	14.5	3.1	0.34	85.5	2311	0.04	4123	-4559	63.0
2015	5523.3	2.01	8.3	14.1	3.2	0.34	86.8	2315	0.04	4118	-5336	63.3
2016	5965	1.83	8.2	14.1	3.2	0.34	82.8	2310	0.04	4121	-6358	61.1

المصدر : بالاعتماد على 1- على بيانات وزارة النقل والمواصلات. الهيئة العامة للأشياء الجوية ، قسم المناخ (بيانات غير منشور) 2016.

2- معادلة بنمان مونتث لمنظمة الاغذية والزراعة باستخدام برنامج CROPWAT 8.0 3- معادلة (فورنية- ارنولس F-A-I) للتعرية المطرية

4- معادلة (chepil) للتعرية الريحية في منطقة الدراسة.

## 5-5-14 نتائج التحليل الكمي للتعرية الريحية لمحطة الديوانية وباعتماد على تحليل الانحدار

### الخطي المتعدد

اتضح لنا من التحليل الوصفي جدول (5-29) وجود علاقة احصائية بدرجة معنوية عالية بين التعرية الريحية وبعض المتغيرات المستقلة لذلك فأن الامر يتطلب تحديد ومعرفة العلاقة الكمية بين التعرية الريحية والمتغيرات المستقلة المؤثرة فعلاً على التعرية الريحية بصورة متجمعة لذلك تم الاعتماد على أسلوب تحليل الانحدار المتعدد الخطي وغير الخطي تم اختيار النموذج الذي يتصف بأعلى معنوية لاختباري (t-teas) (f - teas) وبأعلى قيمة لمعامل التحديد المتعدد (R-square) كما موضح في النموذج الاتي:

جدول (5-31) نموذج الانحدار الخطي المتعدد بين المتغير المعتمد (y<sub>1</sub>) التعرية الريحية والمتغيرات المستقلة لمحطة الديوانية للمدة (1980-2016)

Model 7	Unstandardized Coefficients		Unstandardized Coefficients	t المحسوبة	Sig	t الجدولة
	B	Std. Error	Beta			
Constant	-38408.064	14745.467		-2.605	0.014	
سرعة الرياح X3	12862.593	1167.644	0.474	11.016	0.000	2.447**
الامطار X5	-722.005	40.471	-1.252	-17.840	0.000	2.447**
الجفاف X7	1315909.092	79566.350	1.039	16.539	0.000	2.447**
التبخر X8	3.869	2.206	0.069	1.753	0.082	1.69*

المصدر: بالاعتماد على التحليل الاحصائي وباستخدام البرنامج الاحصائي SPSS وملحق (7-22).

\*\* معنوية بمستوى 0.01 ودرجة الحرية 33 \* معنوية بمستوى 0.05 ودرجة الحرية 33

تشير معلمات النموذج اعلاه الى ان هناك علاقة موجبة وقوية جداً بين مقدار التعرية الريحية (y<sub>1</sub>) والمتغيرات المستقلة (X<sub>3</sub> سرعة الرياح ، X<sub>7</sub> الجفاف ، X<sub>8</sub> التبخر) اي أنه كلما ارتفعت قيم تلك المتغيرات بوحدة واحدة فأنها ستؤدي الى زيادة مقدار التعرية الريحية بـ (12862.593 ، 1315909.092 ، 3.869) على التوالي وهذا يتفق مع المنطق الجغرافي ، كما نلاحظ من النموذج ان تأثير المتغير (X<sub>5</sub> الامطار) على مقدار التعرية الريحية هي علاقة عكسية سالبة وقوية جداً اي أنه كلما انخفضت الامطار (1 ملم) فأنها ستؤدي الى زيادة مقدار التعرية الريحية بـ (-722.005) وهذا يتفق مع المنطق الجغرافي.

### ومن خلال ملاحظة قيمة معامل الانحدار القياس (Beta) Unstandardized Coefficients

وقيمة اختبار t-teas المحسوبة نجد ان المتغيرات المستقلة ذات التأثير الاكبر على التعرية الريحية لمحطة الديوانية هي (X<sub>7</sub> الجفاف) والتي بلغت قيمة Beta في النموذج (1.039) وقيمة t المحسوبة لها (16.539) وهي اكبر بكثير من قيمة الجدولة والبالغة (2.447) بمستوى معنوية (0.01) ودرجة حرية 32 وبذلك كلما ان الجفاف لها تأثير كبير على زيادة التعرية الريحية وهذا فعلاً يتفق مع المنطق الجغرافي . ويلي هذا المتغير متغير (X<sub>5</sub> الامطار) الذي احتل المرتبة الثانية في التأثير على التعرية

الريحية حيث بلغت قيمة Beta له (-1.252) وثبتت معنوية هذا المتغير باختبار t والبالغة (-17.840) وهي اعلى من القيمة المجدولة والبالغة (2.447) بمستوى معنوية (0.01) ودرجة حرية (23) ، حيث يتضح أنه كلما قلت كمية الامطار زاد الجفاف ثم يؤدي الى زيادة التعرية الريحية وبالعكس. أما المتغير ( $X_3$  سرعة الرياح) فقد احتلت المرتبة الثالثة في التأثير حيث بلغت قيمة Beta (0.474) وثبتت معنويتها الاحصائية باختبار t حيث بلغت قيمة t المحسوبة (11.016) وهي اكبر من القيمة المجدولة والبالغة (2.447) بمستوى معنوية (0.01) ودرجة حرية (32) ، اي كلما ارتفعت سرعة الرياح فأنها ستؤدي الى زيادة التعرية الريحية وبالعكس. بينما احتل المرتبة الاخيرة في التأثير هو متغير ( $X_8$  التبخر) على التعرية الريحية حيث بلغت قيمة Beta (0.069) وبلغت قيمة t المحسوبة (1.753) وهي اكبر من القيمة المجدولة والبالغة (1.69) بمستوى معنوية (0.05) ودرجة حرية (32) ، وللتأكد من اهمية وواقعية المتغيرات المستقلة التي تضمنها النموذج ويعزز الثقة فيه اعتمد الباحث على اختبار f-test وكما هو مبين في الجدول (5-32).

جدول (5-32) تحليل التباين (ANOVA) بين التعرية الريحية والمتغيرات المستقلة لمحطة الديوانية للمدة (1980-2016)

Model 7	Sum of Square	df	Mean Square	f	Sig
7 Regression	1.897	4	4742048342	136.160	0.000**
Residual	1114464265	32	34827008.29		
Total	2.008	36			

المصدر: بالاعتماد على التحليل الاحصائي وباستخدام البرنامج الاحصائي SPSS وملحق (7-22).

\*\* معنوية بمستوى 0.01 ودرجة الحرية 33

ومن جدول تحليل التباين (5-32) يتضح ان قيمة f المحسوبة والبالغة (136.160) هي اكبر بكثير من القيمة المجدولة والبالغة (4.444) بمستوى معنوية 0.01 ودرجة حرية (4,32) وبذلك فأن النموذج يؤكد على اهمية وواقعية متغيراته الاحصائية من جهة وامكانية الاعتماد عليه في التقدير والتنبؤ المستقبلي لمقدار التعرية الريحية لمنطقة الدراسة. واخيراً للتأكد من قوة العلاقة بين المتغيرات المستقلة ( $X_i$ ) والمتغير المعتمد اعتمد الباحث على قيمة معامل التحديد المتعدد R-square للنموذج السابع والتي يوضحها جدول (5-33).

جدول (5-33) قيم معامل التحديد المتعدد بين التعرية الريحية والمتغيرات المستقلة لمحطة الديوانية للمدة (1980-2016)

Model	R	R-square	Adjusted R-square	Std. Error of the Estimate	Change statistics		
					R- square change	F change	df1
7	0.972	0.945	0.938	5901.44120	-0.003	1.907	1
Model	Change statistics		Durbin-Watson				
	df2	Sig. F change					
7	31	0.177	1.913				

المصدر: بالاعتماد على التحليل الاحصائي وباستخدام البرنامج الاحصائي SPSS وملحق (7-22).

يتضح من الجدول (5-33) ان قيمة معامل التحديد المتعدد R-square بلغت (0.94) وبذلك يمكن القول ان (94%) من التغيرات التي قد تحدث في مقدار التعرية الريحية تعزى الى المتغيرات التي تضمنها النموذج والتي اثبت معنوياتها الاحصائية ( $X_3$  سرعة الرياح ،  $X_5$  الامطار ،  $X_7$  الجفاف ،  $X_8$  التبخر) وان (6%) تعزى الى المتغيرات الاخرى التي لم يتضمنها النموذج او الى المتغيرات الاخرى لم يتمكن النموذج من حصرها. كما يتضح من قيمة اختبار **Durbin-Watson** والبالغة (1.913) عدم وجود مشكلة الارتباط الذاتي **Auto correlation** بين متغيرات النموذج وذلك لان قيمة **D.W** المحسوبة قريبة من القيمة (2) والتي تؤكد على عدم وجود تلك الظاهرة<sup>(1)</sup>

#### 5-5-15 نتائج التحليل الوصفي بالاعتماد على معامل ارتباط (Pearson) بين المتغير المعتمد

( $y_2$ ) التعرية المطرية والمتغيرات المستقلة لمحطة الديوانية كما هي موضحة في جدول (5-34).  
جدول (5-34) قيم معامل الارتباط البسيط (Pearson) بين ( $y_2$ ) التعرية المطرية والمتغيرات المستقلة (المفسرة) والمؤثرة في محطة الديوانية للمدة (1980-2016)

المتغير المعتمد	المتغيرات المستقلة المفسرة $x_i$	الرمز	الارتباط البسيط	المستوى المعنوي sig
التعرية المطرية $y_1$	السطوع الفعلي ساعة/ يوم	$X_1$	0.038	غير معنوية
	المدى الحراري (م)	$X_2$	-0.061	غير معنوية
	سرعة الرياح م/ ثا	$X_3$	0.254	غير معنوية
	الرطوبة النسبية (%)	$X_4$	0.491	0.01
	الامطار (مم)	$X_5$	0.855	0.01
	التبخر - نتج (مم)	$X_6$	0.155	غير معنوية
	الجفاف	$X_7$	0.801	0.01
	التبخر (مم)	$X_8$	-0.621	0.01
	العجز المائي (مم)	$X_9$	0.141	غير معنوية
	الامطار الفعالة (مم)	$X_{10}$	0.879	0.01

المصدر: بالاعتماد على التحليل الاحصائي وباستخدام البرنامج الاحصائي SPSS و جدول (5-30) وملحق (21-4) .  
يتضح من الجدول (5-34) ان هناك علاقة قوية وموجبة بمستوى معنوية (0.01) بين التعرية المطرية ( $y_2$ ) والمتغيرات المستقلة ( $X_4$  الرطوبة النسبية ،  $X_5$  الامطار ،  $X_7$  الجفاف ،  $X_8$  التبخر ،  $X_{10}$  الامطار الفعالة) وهناك علاقة عكسية بين التعرية المطرية والمتغيرات ( $X_2$  ،  $X_8$ ).  
5-5-16 نتائج التحليل الكمي للتعرية المطرية لمحطة الديوانية وبالاعتماد على تحليل الانحدار الخطي المتعدد

اتضح لنا من التحليل الوصفي لجدول (5-34) وجود علاقة احصائية بدرجة معنوية عالية بين التعرية المطرية وبعض المتغيرات المستقلة لذلك فأن الامر يتطلب تحديد ومعرفة العلاقة الكمية بين التعرية المطرية والمتغيرات المستقلة المؤثرة فعلاً على التعرية المطرية بصورة متجمعة لذلك تم الاعتماد على

(1) دومينيك سالفاتور، الاحصاء والاقتصاد القياسي ، مصدر سابق ، ص220.

اسلوب تحليل الانحدار المتعدد الخطي وغير الخطي تم اختيار النموذج الذي يتصف بأعلى معنوية لاختباري (t-teas) (f-teas) وبأعلى قيمة لمعامل التحديد المتعدد (R-square) كما موضح في النموذج الاتي:

جدول (5-35) نموذج الانحدار الخطي المتعدد بين المتغير المعتمد ( $y_2$ ) التعرية المطرية والمتغيرات المستقلة ( $X_i$ ) لمحطة الديوانية للمدة (1980-2016)

Model 7	Unstandardized Coefficients		Unstandardized Coefficients	t المحسوبة	Sig	t المجدولة
	B	Std. Error	Beta			
Constant	1.819	1.787		1.018	0.316	
X7 الجفاف	-64.120	30.884	-0.549	-2.076	0.046	1.309*
X8 التبخر	-0.001	0.000	-0.176	-1.943	0.061	1.309*
X10 الامطار الفعالة	0.089	0.018	1.307	4.900	0.000	2.447**

المصدر: بالاعتماد على التحليل الاحصائي وباستخدام البرنامج الاحصائي SPSS وملحق (22-8).

\*\* معنوية بمستوى 0.01 ودرجة الحرية 32 \* معنوية بمستوى 0.05 ودرجة الحرية 32

تشير معلمات النموذج اعلاه الى ان هناك علاقة موجبة وقوية جداً بين مقدار التعرية المطرية ( $y_2$ ) والمتغير المستقل ( $X_{10}$  الامطار الفعالة) اي أنه كلما ارتفعت قيمة تلك المتغير (1 ملم) فأنها سيؤدي الى زيادة مقدار التعرية المطرية بـ (0.089) على التوالي وهذا يتفق مع المنطق الجغرافي. كما نلاحظ من النموذج ان تأثير المتغيرين ( $X_7$  الجفاف ،  $X_8$  التبخر) على مقدار التعرية المطرية هي علاقة عكسية سالبة اي كلما انخفض الجفاف بوحدة واحدة سيؤدي الى زيادة مقدار التعرية المطرية بـ (-64.120) . وكلما انخفض التبخر بوحدة واحدة سيؤدي الى زيادة مقدار التعرية المطرية بـ (-0.001).

ومن خلال ملاحظة قيمة معامل الانحدار القياس (Unstandardized Coefficients (Beta)

وقيمة اختيار t-teas المحسوبة نجد ان المتغيرات المستقلة ذات التأثير الاكبر على التعرية المطرية هي ( $X_{10}$  الامطار الفعالة) فقد احتل المرتبة الاولى في التأثير على التعرية المطرية حيث بلغت قيمة Beta في النموذج (1.307) وقيمة t المحسوبة لها (4.900) وهي اكبر من قيمة t المجدولة والبالغة (2.447) بمستوى معنوية (0.01) ودرجة حرية (33) وبذلك يمكن القول ان الامطار الفعالة لها تأثير واضح وفعال في زيادة التعرية المطرية وهذا فعلاً يتفق مع المنطق الجغرافي ، والمتغير الاخر الذي احتل المرتبة الثانية هو متغير ( $X_7$  الجفاف) وله تأثير على التعرية المطرية حيث بلغت قيمة Beta له (-0.549) وثبتت معنويتها الاحصائية باختيار t حيث بلغت قيمة t المحسوبة والبالغة (-2.076) وهي اكبر من القيمة المجدولة والبالغة (1.309) بمستوى معنوية (0.05) ودرجة حرية (33). أما المتغير ( $X_8$  التبخر) فقد احتل المرتبة الاخيرة في التأثير حيث بلغت قيمة Beta في النموذج (-0.176) وبلغت قيمة t المحسوبة والبالغة (-1.943) وهي اكبر من القيمة المجدولة والبالغة (1.309) بمستوى



معنوية (0.05) ودرجة حرية (33) ، وللتأكد من اهمية وواقعية المتغيرات المستقلة التي تضمنها النموذج ويعزز الثقة فيه اعتمد الباحث على اختبار f-test وكما هو مبين في الجدول (5-36).

جدول (5-36) تحليل التباين (ANOVA) بين التعرية المطرية والمتغيرات المستقلة لمحطة الديوانية للمدة (1980-2016)

Model 7	Sum of Square	df	Mean Square	f	Sig
7 Regression	127.488	3	42.496	48.547	0.000**
Residual	28.886	33	0.875		
Total	156.375	36			

المصدر: بالاعتماد على التحليل الاحصائي وباستخدام البرنامج الاحصائي SPSS وملحق (22-8).

\*\* معنوية بمستوى 0.01 ودرجة الحرية 33.

ومن جدول تحليل التباين (5-36) يتضح ان قيمة f المحسوبة والبالغة (48.547) هي اكبر بكثير من القيمة المجدولة والبالغة (4.444) بمستوى معنوية (0.01) ودرجة حرية (3,33) وبذلك أن النموذج يؤكد على اهمية وواقعية متغيراته الاحصائية من جهة وامكانية الاعتماد عليه في التقدير والتنبؤ المستقبلي لمقدار التعرية المطرية لمنطقة الدراسة. واخيراً للتأكد من قوة العلاقة بين المتغيرات المستقلة (Xi) والمتغير المعتمد اعتمد الباحث على قيمة معامل التحديد المتعدد R-square للنموذج السابع والموضحة في جدول (5-37).

جدول (5-37) قيم معامل التحديد المتعدد بين التعرية المطرية والمتغيرات المستقلة لمحطة الديوانية

للمدة (1980-2016)

Model	R	R-square	Adjusted R-square	Std. Error of the Estimate	Change statistics		
					R-square change	F change	df1
7	0.903	0.815	0.798	0.93560	-0.002	0.338	1
Model	Change statistics			Durbin-Watson			
	df2	Sig. F change					
7	32	0.565		1.916			

المصدر: بالاعتماد على التحليل الاحصائي وباستخدام البرنامج الاحصائي SPSS وملحق (22-8).

يتضح من الجدول (5-37) ان قيمة معامل التحديد المتعدد R-square بلغت (0.81) وبذلك يمكن القول ان (81%) من التغيرات التي قد تحدث في مقدار التعرية المطرية تعزى الى المتغيرات التي تضمنها النموذج والتي اثبت معنوياتها الاحصائية (X<sub>7</sub> الجفاف ، X<sub>8</sub> التبخر ، X<sub>10</sub> الامطار الفعالة) وان (19%) تعزى الى المتغيرات الاخرى التي لم يتضمنها النموذج او الى المتغيرات الاخرى لم يتمكن النموذج من حصرها. كما يتضح من قيمة اختبار Durbin-Watson والبالغة (1.916) عدم وجود مشكلة الارتباط الذاتي Auta correlation بين متغيرات النموذج وذلك لان قيمة D.W المحسوبة قريبة من القيمة (2) والتي تؤكد على عدم وجود تلك الظاهرة<sup>(1)</sup>.

(1) دومينيك سالفاتور، الاحصاء والاقتصاد القياسي ، مصدر سابق، ص220.

## الاستنتاجات والمقترحات

تتفق هذا الدراسة مع الحقائق التي وضعها وليم موريس ديفز أن للمناخ أثراً واضحاً في تباين المظاهر الأرضية من خلال ما أسماه بالدورة الجيومورفية (الجغرافية) والتي ميز من خلالها بين الدورات الرطبة والجافة والتي أطلق عليها بالتغيرات المناخية .

#### ❖ توصلت هذه الدراسة إلى مجموعة من الاستنتاجات وهي كالآتي:-

1- تغطي منطقة الدراسة بشكل كامل بالتكوينات والترسبات والتي تعود الى حقبة الحياة الحديثة للزمنين الثلاثي والرباعي. وترجع التكوينات الجيولوجية لاسيما التكوين الفرات والزهرة الى الزمن الثلاثي وتحتل الجزء الجنوبي الغربي من منطقة الدراسة، وتتركز الترسبات العصر الرباعي (البلايستوسين) في الاقسام الشمالية والوسطى والمتمثلة بالارسابات الريحية والمائية في المنطقة.

2- تقع المنطقة على مستوى الانطقة التكتونية ضمن الرصيف العربي النوبي اما على مستوى التقسيمات المحلية فأنها تقع ضمن حزام تكريت ، عمارة وحزام النصف ، ابو جبر ، الحضر وحزام السماوة ، الناصرية وحزام السلطان. ويقع ايضاً جزء من منطقة الدراسة ضمن الرصيف المستقر والجزء الاخر ضمن الرصيف غير المستقر.

3- تبين ان منطقة الدراسة تقع بين خط الارتفاع (20 م) فوق مستوى سطح البحر في الجزء الشمالي وخط الارتفاع (54 م) فوق مستوى سطح البحر في الجزء الغربي تسير خطوط الارتفاعات بأشكال مختلفة في المنطقة وتكون متقاربة في الاقسام الشمالية الغربية والوسطى في المنطقة. كما يتدرج سطحها المنطقة نحو الجنوب الذي يشغل مساحة (4122.7 كم<sup>2</sup>) وباتجاه الجنوب الشرقي الذي يشغل (4077.6 كم<sup>2</sup>) من مساحة المنطقة ، اغلب انحدارات الاراضي تواجه التساقط المطري الموسمي والذي يؤثر على العمليات المورفومناخية.

4- اعتمدت منطقة الدراسة في كل مواردها المائية على المياه السطحية والتي يوفرها نهر الفرات وتفرعاته في المنطقة والمتمثلة بنهر الغراف ، شط الديوانية ، شط الدغارة ، شط الشامية ، الرميثة وتتأثر مناسيب تلك الانهار بالتغيرات المناخية الحالية لاسيما ارتفاع درجات الحرارة وقيم التبخر وقلة الامطار في المنطقة ، وذلك ادى الى تقليص وتراجع الإنتاج الزراعي في المنطقة والمعتمدة على الموارد المائية وبعدها يؤدي الى جفافها وتصحرها وبالتالي ادى لنشاط العمليات الجيومورفية وانعكاسها على تكوين المظاهر الارضية في المنطقة.

5- اتضح ان منطقة الدراسة غنية بالمياه الجوفية وقربها من السطح وتزداد تدريجياً في العمق كلما تقدمنا إلى الجنوب الغربي وبعضها صالح للاستعمال الزراعي وبسبب قلة مناسيب المياه في الانهار المنطقة مما ادى الى زيادة عدد حفر الابار وتصل الـ (25 بئراً) مختلفة الاعماق اذ يتراوح عمق الابار (6 م الى اكثر من 22 م) وحسب طبوغرافية المنطقة.

6- تصنف التربة في المنطقة الى اربعة اصناف حسب تصنيف بيورنك وتحتل المرتبة الاولى تربة السهل الرسوبي والتي تشغل مساحة (11874.7) وامتازت تلك تربة بقلّة تماسكها وتفككها بسبب قلة الامطار وارتفاع معدلات التبخر وقلّة النبات الطبيعي والتي لها دور مهم في تفتيت التربة ونشاط عمليات الحث والترسيب اثناء سقوط الامطار وهبوب الرياح المفاجئة مما يؤدي الى تكوين المظاهر الارضية .

7- تبين ان المنطقة فقيرة نسبياً في النباتات الطبيعية والمتمثلة (ضفاف الانهار ، نباتات الاهوار والمستنقعات ، النباتات الصحراوية و بسبب تباين الخصائص المناخية لاسيما ارتفاع معدلات الحرارة وقلّة الامطار وزيادة ظاهر الجفاف السائدة في المنطقة وقلّة مناسيب مياه الانهار التي تمر بالمنطقة.

8- توصلت الدراسة إلى ان المناخ القديم له دور فعال في رسم صورة المظهر الارضي في المنطقة وعبر العصور الجيولوجية المختلفة التي مرت بها المنطقة وتكونت فترات ولاسيما (الرطبة والجافة) وامتداد الفترة الرطبة من عصر المايوسين والاليغوسين، وعصر البلايوسين (نهاية الزمن الثلاثي) إلى عصر البلايستوسين بداية الزمن الرباعي والتي ادت الى نشاط العمليات الجيومورفية ولاسيما التجوية الكيميائية والتعرية المائية ، اما الفترة الجافة في الزمن الثلاثي وامتدادها في الزمن الرباعي ولاسيما عصر الهولوسين فقد أدت الى تنشيط عمل التجوية الفيزيائية (الميكانيكية) والتعرية الريحية التي كونت المظاهر الارضية التعرية لاسيما الكثبان الرملية وانواعها.

❖ تبين من دراسة نتيجة تحليل العلاقة بين الخصائص المناخية الحالية والعمليات الجيومورفية التي ساهمت في تغيير وتطور المظاهر الارضية السائدة في المنطقة ما يأتي.

ان تباين المديات الحرارية الشهرية لدرجات الحرارة (العظمى - الصغرى) فتكون اعلى ما يمكن في شهري (اب ، ايلول) اذ بلغ (17.3 ، 17.72 م) في محطة السماوة ، اما محطة الناصرية فبلغ (17.37 ، 17.61 م) وفي محطة النجف حيث سجل نحو (15.66 ، 15.75 م) ، بينما في محطة الديوانية فبلغ نحو (17.4 ، 17.68 م) لكل منهما على التوالي . وتكون ادنى في شهري ( كانون الاول ، كانون الثاني) حيث بلغت (11.47 ، 11.13 م) في محطة السماوة ، اما محطة الناصرية فسجل نحو (11.27 ، 11.33 م) ، بينما محطة النجف بلغ (10.95 ، 10.95 م) ، وفي محطة الديوانية يصل نحو (11.53 ، 11.48 م) لكل منهما على التوالي . وادى هذا التباين الكبير في المديات الحرارية الى نشاط عملية التجوية الميكانيكية وبدورة يؤدي الى تمدد وتقلص والى تفكك الصخور وتحطيمها، ونشوء ظاهرة التقشير. واثّر ذلك الارتفاع في معدلات درجة الحرارة الى نشاط و زيادة التعرية الريحية نتيجة لشدة التبخر والعجز المائي في منطقة الدراسة .

توصلت الدراسة ان سرعة الرياح بلغت (3.3 ، 4.1 ، 1.9 ، 4.0 م/ثا) واتجاه الرياح الشمالي الغربي السائدة في المنطقة ، أدت تلك المعدلات ونوع المناخ الجاف وشبه الجاف إلى زيادة الحث الريحي وتشكيل وتحرك الكثبان الرملية، فقد بلغت القابلية المناخية للتعرية الريحية حيث سجلت اعلى قيمة في محطة الديوانية والناصرية اذ بلغت نحو (7697.77 ، 5357.98) على التوالي وسجلت اقل

قيمة في محطة السماوة والنجف نحو (4089.28 ، 1016.03). وهي تعرية عالية جداً ولها تأثير واضح في رسم المظهر الارضي لاسيما الكتبان الرملية بأنواعها .

تبين من التحليل المورفومتري لأبعاد الكتبان الرملية وجود علاقة خطية موجبة بين المتغيرات المختلفة ، فقد ظهر أقوى ارتباط للكتبان الهلالية بين الطول والارتفاع والذي بلغ (0.98) ، أما بالنسبة للكتبان الطولية فقد سجل أقوى معامل ارتباط بين الطول والارتفاع والذي بلغ (0.90) ، اما الارتباط الأقوى بالنسبة النباك بين الطول والارتفاع اذ بلغ (0.85) . اما التحليل الإحصائية لأبعاد الكتبان الرملية تباين في قيمها ولاسيما انحراف المعياري للكتبان الرملية ، إذ بلغ أعلى قيمة للانحراف المعياري في المتغير الأول (الطول) ولكافة أنواع الكتبان المدروسة فيما بلغ أقل قيمة للانحراف المعياري في الارتفاع. تبين من الدراسة ان تذبذب كميات الامطار وتباينها المكاني اذ بلغت (109.4 ، 131.9 ، 89.8 ، 101.2 ملم) والامطار الفعالة التي بلغت (77.34 ، 93.74 ، 67.75 ، 75.36 ملم) ولها اثر واضح في ضعف الحث المطري اذ سجلت (15.9 ، 19.0 ، 12.8 ، 15.2) في المنطقة .

توصلت الدراسة في تطبيق المعادلة الخاصة في انموذج جافريلوفيك (W) ان التعرية المائية متوسطة في منطقة الدراسة وحسب الانموذج اذ بلغت (646.43 م<sup>3</sup>/كم<sup>2</sup>/سنة) وكانت نسبة انحدارها نحو (0.6%).

إن العجز في الموازنة المائية المناخية نحو الانخفاض التام اذ بلغ (-2346، -2579، -1793-2608، ) وهذا ادى الى جفاف دائم وفي جميع أشهر السنة وتعرض التربة فيها الى بيئة مناسبة لنشاط العمليات الجيومورفية والمتمثلة بالتجوية الفيزيائية والكيميائية والتعرية الريحية على نطاق واسع ولاسيما في فصل الصيف بسبب زيادة العجز المائي بشكل كبير وسبب انعدام تساقط الأمطار مقارنة بارتفاع معدلات التبخر ارتفاعاً ملحوظاً. وايضاً له اثر واضح في تنشيط عمليات الإرساب وتشكيل المظاهر الأرضية كالجزر النهرية التي زادت أعدادها في السنوات الأخيرة.

كما بينت الدراسة بتحديد نوع المناخ السائد في المنطقة وهو المناخ الجاف الذي يشغل مساحة (10599 كم<sup>2</sup>) ونسبة (69.54%) وشبه الجاف يشغل مساحة (4642 كم<sup>2</sup>) ونسبة (30.46%) من مساحة المنطقة وفق معامل الجفاف (D) التي تم تطبيقها على مستوى سنوات الدراسة والمعتمد من قبل منظمة الفاو واليونسكو والارصاد الجوية على الامطار والتبخر نتح واستخراج التبخر نتح وفق البرنامج (Cropwat) التابع لمنظمة الفاو لاستخراج التبخر نتح المعتمد على خمسة عناصر مناخية والمتمثلة (السطوع الشمسي، درجة الحرارة العظمى والصغرى، سرعة الرياح، الرطوبة النسبية )، وتم تطبيق معادلة ديمارتون على مستوى الاشهر المطيرة وغير المطيرة اذ سجل معظم اشهر السنة جافة ونسبة متفرقة . ما عدا الشهر التي كانت رطبة والمتمثلة بـ (تشرين الثاني وكانون الثاني) في محطة الناصرية والسماوة والديوانية.

9- حددت الدراسة المظاهر الأرضية الموجودة في المنطقة وتحديد مواقعها على الخريطة الجيومورفية وتحليل وتفسير هذه المظاهر وفق العمليات والعوامل التي قامت بتكوينها.

❖ توصلت الدراسة من خلال استخدام الأساليب الإحصائية التي أعطت نتائج دقيقة للعلاقة بين الخصائص المناخية والعمليات الجيومورفية وبالتالي انعكاسها على المظاهر الأرضية ما يأتي:

✚ وجود علاقة ارتباط طردية قوية بين الخصائص المناخية والاكثر تأثيراً في التعرية الريحية من خلال الارتباط البسيط لمحطة السماوة (سرعة الرياح ، التبخر - نتح) وبلغ مقدار الارتباط (0.54 ، 0.45)، اما محطة الناصرية والعوامل المؤثرة في التعرية الريحية (سرعة الرياح ، التبخر - نتح) وبلغ مقدار الارتباط (0.62 ، 0.62 ، 0.44) على التوالي، بينما محطة النجف كانت العوامل الاكثر تأثيراً في التعرية الريحية (سرعة الرياح ، التبخر - نتح) وبلغ مقدار الارتباط (0.46 ، 0.60) ونجد ان العوامل الاكثر تأثيراً في محطة الديوانية (سرعة الرياح ، التبخر - نتح) وبلغ مقدار الارتباط (0.43 ، 0.37) وبقيمة (T-test) المحسوبة اكبر من الجدولة وبمستوى معنوي sig (0.01) وبدرجة حرية تتراوح بين (30، 33) لكل العناصر .

✚ وجود علاقة ارتباط عكسية ضعيفة بين الخصائص المناخية المؤثرة في التعرية الريحية من خلال الارتباط البسيط لمحطة السماوة (العجز المائي) وبلغ مقدار الارتباط (-0.40) بينما محطة الناصرية كانت العلاقة عكسية بين العجز المائي و التعرية الريحية وبلغ مقدار الارتباط (-0.33) اما محطة النجف فبلغ مقدار الارتباط بين العناصر (الامطار ، الجفاف ، الامطار الفعالة) والتعرية الريحية نحو (-0.34 ، -0.40 ، -0.34) وفي محطة الديوانية بلغ مقدار الارتباط بين العناصر (المدى الحراري ، الرطوبة النسبية) والتعرية الريحية نحو (-0.30 ، -0.06) وبقيمة (T-test) المحسوبة اكبر من الجدولة وبمستوى معنوي sig (0.05) وبدرجة حرية تتراوح بين (30، 33) لكل العناصر .

✚ تبين وجود علاقة ارتباط قوية (طردية) بين الخصائص المناخية (الامطار ، الجفاف ، الامطار الفعالة) المؤثرة والمفسرة في التعرية المطرية من خلال استخدام الارتباط البسيط لمحطة السماوة وبلغ مقدار الارتباط (0.97 ، 0.89 ، 0.94) اما محطة الناصرية فبلغ مقدار الارتباط (0.98 ، 0.92 ، 0.94) ، بينما في محطة النجف بلغت علاقة الارتباط (0.98 ، 0.96 ، 0.97) اما محطة الديوانية فبلغ مقدار الارتباط (0.85 ، 0.80 ، 0.87) وبقيمة معنوية الكلية (T-test) المحسوبة اكبر من الجدولة وبمستوى معنوي sig (0.01) وبدرجة حرية تتراوح بين (30، 33) لكل العناصر .

✚ وجود علاقة ارتباط عكسية ضعيفة بين الخصائص المناخية المؤثرة في التعرية المطرية من خلال استخدام الارتباط البسيط في محطة السماوة للعناصر المناخية ( السطوع الشمسي ، المدى الحراري ، سرعة الرياح ، التبخر - النتح ، التبخر) وبلغ مقدار الارتباط نحو (-0.16 ، -0.12 ، -0.21 ، -0.23 ، -0.006) اما محطة الناصرية فبلغ مقدار الارتباط بين العناصر (المدى الحراري ، سرعة الرياح ، التبخر) والتعرية المطرية نحو (-0.17 ، -0.02 ، -0.32) بينما في محطة النجف كانت



علاقة الارتباط بين المدى الحراري والتعرية المطرية بمقدار الارتباط ( $-0.27$ ) وفي محطة الديوانية للعناصر (سرعة الرياح ، التبخر) وبلغ مقدار الارتباط نحو ( $-0.06$  ،  $-0.62$ ) وبقيمة معنوية الكلية (T-test) المحسوبة اكبر من الجدولة وبمستوى معنوي sig ( $0.05$ ) وبدرجة حرية تتراوح بين ( $30$ )، (33) لكل العناصر.

📌 اتضح من خلال معامل التحديد المتعدد ( $R^2$ ) الذي يفسر درجة تأثير المتغيرات المستقلة على العمليات الجيومورفية بدرجة تأثير واحد اي 100% لكل المحطات بمعناه (الخصائص المناخية لها دور واضح في تأثير وتغيير وتطوير العمليات الجيومورفية وبقيمة معنوية الكلية (f-test) المحسوبة اكبر من الجدولة وبمستوى معنوي sig ( $0.000$ ) لكل المحطات .

📌 تبين ان قيمة اختبار Durbin-Watson قريبة من قيمة (2) لكل النماذج المستخدمة في الدراسة وهذا يدل على عدم وجود مشكلة في الارتباط الذاتي بين متغيرات النماذج والظاهرة المدروسة .

### المقترحات

- 1- المحافظة على النبات الطبيعي من الرعي الجائر ولاسيما النباتات الصحراوية التي تساعد على تماسك التربة من العمليات الجيومورفية ولاسيما التعرية الريحية والمائية .
- 2- إنشاء محطات مناخية في المنطقة وتزويدها بأحدث الاجهزة لرصد عناصر والظواهر المناخية المختلفة لأن أغلب البيانات لمحطات الرصد في منطقة الدراسة ذات رصدات غير دقيقة ومقطعة ومن ثم لها أهمية في مراقبة سنوات الجفاف والتنبؤ المستقبلي .
- 3- التركيز على الدراسات الخاصة بالجيومورفولوجيا المناخية للكشف عن المظاهر الارضي والمرتبطة بالخصائص المناخية القديمة والحالية.
- 4- التوسع في حفر الآبار واستثمار المياه الجوفية في المنطقة واستعمالها من اجل استقرار السكان الريفي ولتحقيق التنمية في المنطقة الصحراوية.
- 5- وجود مساحات واسعة متأثرة في الكثبان الرملية في منطقة الدراسة نتيجة ارتفاع معدلات التعرية الريحية ولغرض وضع حد لتلك المشكلة يجب صيانة التربة باتباع الاساليب العلمية الحديثة ومعالجة زحف الكثبان الرملية بالطرق تقام تلك المظهر كتشجيع الفلاحين على استثمارها وتوفير لهم مبالغ مالية كافية .
- 6- نوصي من خلال النتائج التي توصلت اليها الدراسة بإمكانية استخدام الاساليب الاحصائية ولاسيما الانحدار الخطي للتنبؤ بالعمليات الجيومورفية وتأثيرها على الاشكال الارضية واعتماد الارتباط المتعدد في الدراسات اللاحقة لأهميته في إثبات الحقائق العلمية للدراسة.

## مراجع ومصادر الدراسة

- 1- ابو العينين ، حسن السيد احمد ، اصول الجيومورفولوجيا ،الدار الجامعية للطباعة والنشر ، جامعة الاسكندرية- بيروت ، ط6 ، 1981.
- 2- الخشاب، وفيق حسين ، وآخرون، الموارد المائية في العراق، جامعة بغداد ، 1983.
- 3- الخشاب، وفيق وآخرون، علم الجيولوجيا، تعريفه، تطوره، مجالات تطبيقه، جامعة بغداد، بغداد، 1978.
- 4- الخطيب ، محمد محي الدين ، المراعي الصحراوية في العراق، مطبعة سرمد ، بغداد ، ط 1، 1978.
- 5- الخفاجي ، سرحان نعيم، دراسات في الجيومورفولوجيا ، ط1، دار الكتب والوثائق ، بغداد، 2017.
- 6- الخلف ، جاسم محمد ، جغرافية الطبيعية والبشرية والاقتصادية، مطبعة دار المعرفة، القاهرة، 1995.
- 7- الدراجي ، سعد عجيل مبارك ، اساسيات علم اشكال سطح الارض ، دار الكتب والوثائق ببغداد، ط2، 2014.
- 8- الدليمي ، خلف حسين علي ، التضاريس الارضية ، عمان - الاردن ، دار صفاء للطباعة والنشر ، 2005.
- 9- السامرائي ، عادل سعيد الراوي ، قصي عبد المجيد ، المناخ التطبيقي ، دار الحكمة للطباعة والنشر ، بغداد ، 1990.
- 10- السعدي ، عباس فاضل، جغرافية العراق، وزارة التعليم العالي والبحث العلمي ، جامعة بغداد ،دار الجامعة للطباعة والنشر والترجمة ، ط1، 2008.
- 11- السنوي ، سهل، وآخرون ،الجيولوجيا العامة ، وزارة التعليم العالي والبحث العلمي ،جامعة بغداد ، ط1، 1979.
- 12- السياب ،عبد الله ، وآخرون، جيولوجيا العراق، مطبعة دار الكتب ، جامعة الموصل، 1985.
- 13- الشلش ، ابراهيم شرف ، علي حسين ، جغرافية التربة ، مطبعة جامعة بغداد ، 1985.
- 14- الشلش، علي حسين ، جغرافية التربة ، مطبعة جامعة البصرة، ط1 ، 1981.
- 15- الصحاف، عدنان باقر النقاش، مهدي ، الجيومورفولوجي، وزارة التعليم العالي ،جامعة بغداد، 1989.
- 16- الصحاف، مهدي ، الموارد المائية في العراق وحمايتها من التلوث ، دار الحرية للطباعة بغداد ، 1976.
- 17- الصحاف، وفيق حسين الخشاب ، واحمد سعيد ومهدي ، علم الجيومورفولوجيا، ج 1 ، دار النشر جامعة بغداد ، 1977.
- 18- العاني ، احمد سعيد حديد، فاضل باقر الحسني، حازم توفيق، المناخ المحلي، جامعة بغداد، 1982.

- 19- العتبي ، سامي عزيز عباس، اياد عاشور الطائي، الاحصاء والنمذجة في الجغرافية، مطبعة اكرم للطباعة، جامعة بغداد، 2012.
- 20- العمري ، فاروق صنع الله، عبد الهادي يحيى صائغ، الجيولوجيا العامة، مطبعة جامعة الموصل، ط1، 1977.
- 21- المظفر، صفاء مجيد، جغرافية التربة ، وزارة التعليم العالي والبحث العلمي ، جامعة الكوفة، كلية الاداب، قسم الجغرافية.
- 22- المعموري ، بدر جدوع ، مشكلات مناخية معاصرة، دار الفراهيدي للنشر والتوزيع بغداد، 2014.
- 23- الموسوي ، علي صاحب طالب، عبد الحسين مدفون ابو رحيل ، مناخ العراق ، ط1 ، مطبعة الميزان ، النجف الاشرف ، 2013.
- 24- الملا ، سحر طارق ، أثر العوامل الطبيعية في تكوين نمط وجيومورفولوجية الخيران في خور الزبير، رسالة ماجستير (غير منشورة) ، قسم الجغرافية، كلية الاداب، جامعة البصرة، 1999.
- 25- الهذال ، يوسف محمد علي حاتم ، سلام هاتف احمد الجبوري، التغير المناخي بين الماضي والحاضر والمستقبل ، دار احمد الدباغ للطباعة والنشر ، بغداد، ط1، 2014.
- 26- الوائلي ، علي عبد الزهرة ، علم الهيدرولوجي والمورفومتري، ط1، مطبعة احمد الدباغ، بغداد، 2012.
- 27- بابكر ، أحمد عبد الله أحمد، أسس الجغرافيا المناخية، الشركة الحديثة للطباعة، الدوحة، قطر، 1997.
- 28- جبور، الياس، الكوارث المناخية في الجمهورية العربية السورية، الجفاف، ط1، دار الرضا للنشر، دمشق، 2003.
- 29- جودة ، جودة حسنين ، معالم سطح الارض ، ط 2 ، الهيئة المصرية للتأليف والنشر ، الاسكندرية ، 1971.
- 30- جودة ، جودة حسنين، الجغرافية الطبيعية للزمن الرابع والعصر المطير في الصحاري الاسلامية ، دار المعرفة الجامعية ، الاسكندرية، 1989.
- 31- جودة ، جودة حسنين، معالم سطح الارض، دار المعرفة الجامعية، الاسكندرية، 1985.
- 32- حسن ، محمد ابراهيم ، مقومات التصحر واشكال الكثبان الرملية، المكتبة المصرية، الاسكندرية، 2014.
- 33- حسن ، محمد يوسف وآخرون ، أساسيات علم الجيولوجيا ، مركز المكتب الأردني ، عمان ، 1990.
- 34- حموده ، لوتنجر، تاريوك، ترجمة عمر سلمان وآخرون ، الارض (مقدمة للجيولوجيا الطبيعية)، بدون تاريخ.
- 35- خورشيد ، رايت ترجمة فواد حمة ، اثار العصر الجليدي البلاستوسيني في كردستان ، الجاحظ للطباعة والنشر ، بغداد ، 1986.

- 36- داود ، تغلب جرجيس ، علم إشكال سطح الأرض ، الجيومورفولوجيا التطبيقية ، كلية التربية، الجامعة المستنصرية، الدار الجامعية للطباعة ، البصرة ، 2000.
- 37- دومينيك سالفاتور ، الاحصاء والاقتصاد القياسي ، ترجمة د. سعدية حافظ ، الدار الدولية للنشر والتوزيع ، القاهرة ، 1997.
- 38- سامي عزيز عباس العتيبي، إياد عاشور الطائي ، الإحصاء والنمذجة في الجغرافية، مطبعة الإمارة ، 2013.
- 39- ستريلر ، آرثر آن ،الجغرافية الطبيعية ،الجزء الثالث، ترجمة محمد سيد غلاب ،دار الاشعاع الفنية ، مصر، 1998.
- 40- ستريلر، آرثر آن، أشكال سطح الأرض ، دراسة جيومورفولوجية" تعريب وفيق حسين الخشاب ، 1964
- 41- سلامة ، حسن رمضان، اصول الجيومورفولوجيا ،دار الميسرة للنشر والتوزيع : عمان ، 2010.
- 42- سوسة ، أحمد ، تاريخ حضارة وادي الرافدين في ضوء مشاريع الري الزراعية والمكتشفات الأثرية والمصادر التاريخية، الجزء الأول، بغداد، 1983.
- 43- شرف ، عبد العزيز طريح ، الجغرافية الطبيعية (اشكال سطح الارض ) ، ط2 ، مؤسسة الثقافة الجامعية ، الكويت ، 1977.
- 44- شرف ، عبد العزيز طريح، الجغرافية المناخية والنباتية، الجزء الاول، الطبعة الاولى، القاهرة، 1986.
- 45- عامر ، عبد المنعم محمد ، حركة الماء في الاراضي ومقننات الري، ط1، دار العربية للنشر والتوزيع ، القاهرة ، 2001.
- 46- فاروق صنع الله العمري ،مبادئ علم الجيولوجيا، دار اريا للطباعة والنشر ،بيروت، ط1، 2001.
- 47- فايدة ، يوسف عبد الحميد ، جغرافية السطح ، دار النهضة العربية ، بيروت، 1972.
- 48- كربل ، عبد الآلة رزوقي ،علم الإشكال الأرضية الجيومورفولوجيا ،جامعة البصرة ، كلية الآداب ، 1986،
- 49- كربل ، علي حسين شلش، ترجمة ماجد السيد ولي وعبدالله، مناخ العراق، جامعة البصرة، 1988.
- 50- محسوب ، محمد صبري ، الظاهرات الجيومورفولوجية (دراسة تحليلية)، القاهرة ، مطبعة الاسكندرية، 1980.
- 51- محسوب ، محمد صبري، جيومورفولوجية الاشكال الارضية ، دار الفكر العربي ، 2003.
- 52- محمد ، محمد عبد الله ، جغرافية التربة ، مكتبة المجمع العربي للنشر والتوزيع ، 2010.
- 53- محمد ، مصطفى عز ، انواع التعرية المائية وكيفية حدوثها ، جامعة دمشق ، دمشق ، 2001.
- 54- مصطفى ،احمد، سطح الارض (دراسة في جغرافية التضاريس)، دار المعرفة الجامعية، الاسكندرية ، 2003.
- 55- موسى ، علي حسن ، أساسيات علم المناخ ، الطبعة الأولى ، دار الفكر ، سوريا ، دمشق ، 1994.
- 56- موسى ، علي حسن ، التغيرات المناخية، دار الفكر بدمشق، سوريا ، 1986.

- 57- موسى ، علي حسن ، الوجيز في المناخ التطبيقي ، دار الفكر ، سوريا ، دمشق ، 1982.
- 58- هيرمان فيرستابن، روي فان زويدام، نظام المسح الجيومورفولوجي لمسوحات الفضاء وعلوم الاراضي، ترجمة: يحيى عيسى فرحان، دار مجدي لاوي للنشر والتوزيع، عمان- الاردن، 1988.
- 59- يونس ، عطا الله احمد ، التصحر وتثبيت الكثبان الرملية، كلية الارصاد والبنية الزراعية لمناطق الجافة ، جامعة الملك عبد العزيز ، 2006.

### ثالثاً: الرسائل و الاطاريح:

- 1- الاسدي ، ولاء كامل صبري ، الكثبان الرملية في محافظة المثنى دراسة جيومورفولوجية تطبيقية ، رسالة ماجستير غير منشورة ، جامعة بغداد ، كلية الآداب ، 2011.
- 2- الاسدي ، كامل حمزة فليفل، تباين الخصائص المورفومترية لوديان الهضبة الغربية في محافظة النجف وعلاقتها بالنشاط البشري ، اطروحة دكتوراه ، غير منشورة ، كلية الاداب ، جامعة الكوفة، 2012.
- 3- الجبار ، حارث عبد ، منخفض الكعرة ( دراسة في اشكال سطح الارض ) اطروحة دكتوراه (غير منشورة) قسم الجغرافية ، كلية الآداب ، جامعة بغداد ، 1996.
- 4- الجبوري ، سلام هاتف احمد ،الموازنة المائية المناخية لمحطات الموصل بغداد والبصرة ،اطروحة دكتوراه في الجغرافية (غير منشورة) جامعة بغداد كلية التربية ابن رشد، 2005.
- 5- الجميلي ، رياض كاظم سلمان ، كفاءة التوزيع المكاني للخدمات المجتمعية (التعليمية والصحية والترفيهية) في مدينة كربلاء ، رسالة ماجستير (غير منشورة) جامعة بغداد ، كلية التربية ، 2007.
- 6- الجميلي ، قيس سامي عبد الكريم ، جيومورفولوجية حوض وادي الاخضر في الهضبة الغربية العراقية وامكانية استثمارها في حصاد المياه ، رسالة ماجستير غير منشورة، قسم الجغرافية ، كلية الاداب، جامعة الانبار ، 2010.
- 7- الجياشي ، جاسم وحواح شاتي، التحليل المكاني للموارد المائية والرسوبيات في بادية محافظة المثنى واستثمارها، رسالة ماجستير(غير منشورة) كلية التربية ، جامعة المثنى، 2017.
- 8- الحسيني ، وسن محمد علي كاظم ، الخصائص الجيومورفولوجية لنهر الفرات وفرعيه الرئيسين الكوفة والعباسية بين الكفل وابو صخير - الشامية ، رسالة ماجستير ، غير منشورة ، كلية التربية للبنات ، جامعة بغداد ، 2002.
- 9- الحميداوي ، ابتسام عدنان رحمن ، الخصائص الطبيعية في محافظة القادسية وعلاقتها المكانية في استغلال الموارد المائية المتاحة ، رسالة ماجستير غير منشورة ، كلية التربية للبنات ، جامعة الكوفة ، 2009.
- 10- الخزعلي، صباح عبود عاتي ، اثر العوامل الطبيعية في تكوين الاشكال الارضية في الهضبة الصحراوية الغربية غرب الفرات في العراق ، اطروحة دكتوراه ، قسم الجغرافية ، كلية التربية ، الجامعة المستنصرية ، 2004.



- 11- الخفاجي ، سرحان نعيم ، هيدروجيومورفولوجية نهر الفرات بين قضاءي الخضر والقرنة، أطروحة دكتوراه (غير منشورة)، قسم الجغرافية، كلية الآداب، جامعة بغداد، 2008.
- 12- الريحاني ، عبد مخور نجم ، ظاهرة التصحر في العراق وآثارها في استثمار الموارد الطبيعية ، أطروحة دكتوراه (غير منشورة) ، كلية الآداب ، جامعة بغداد ، 1986.
- 13- الزامل ، عايد جاسم حسين ، تحليل الجغرافي لتباين سطح الارض في محافظة النجف ، رسالة الماجستير (غير منشورة ) كلية الآداب ، جامعة الكوفة ، 2001.
- 14- الزامل ، عايد جاسم حسين ، الاشكال الارضية في الحافات المتقطعة للهضبة الغربية بين بحيرتي الرزازة وساو واثارها على النشاط البشري ، اطروحة دكتوراه غير منشورة ، كلية الاداب ، جامعة بغداد ، 2007.
- 15- الشماع ، أيسر محمد ، دراسة هيدرولوجية وتكتونية للجزء الجنوبي من الصحراء الغربية (المنطقة الواقعة بين الكسرة والشبحة)، اطروحة دكتوراه (غير منشورة ) ، كلية العلوم، جامعة بغداد ، 1993.
- 16- الشمري ، حمادي عباس حمادي، دراسة التغيرات السكانية في محافظة القادسية، دراسة في جغرافية السكان، اطروحة دكتوراه غير منشورة، كلية التربية ابن رشد، جامعة بغداد ، 2005.
- 17- الضاحي ، حارث عبد الجبار ، الامطار في العراق، رسالة ماجستير غير منشورة كلية الآداب . جامعة الاسكندرية ، 1989.
- 18- العاني ، رقية محمد احمد، جيومورفولوجية سهل السندي، اطروحة دكتوراه، غير منشورة ، كلية الاداب، جامعة بغداد، 2010.
- 19- العبيدي ، هدى حيدر حسين ، امكانية حصاد المياه في محافظة واسط ، رسالة ماجستير غير منشورة ، قسم الجغرافية ، كلية التربية ، جامعة بغداد ، 2014.
- 20- العجيلي ، عبد الله صبار عبود ، دراسة جيومورفولوجية لتغيرات مجرى نهر دجلة بين المدائن والصويرة ، رسالة ماجستير (غير منشورة )، كلية الآداب ، جامعة بغداد ، 2000.
- 21- العجيلي ، عبدالله صبار، وديان غرب بحيرة الرزازة الثانوية والاشكال المتعلقة بها دراسة في الجغرافية الطبيعية ، اطروحة دكتوراه، غير منشورة ، كلية الاداب ، جامعة بغداد ، 2005.
- 22- العزاوي ، ثائر مظهر فهمي، تكتونية غرب الفرات من خلال تفسير الصور الفضائية والمعلومات الجيولوجية، رسالة ماجستير (غير منشورة)، جامعة بغداد، كلية العلوم، 1988.
- 23- العزي ، أحمد محمد صالح، التقييم الجيومورفولوجي وآلية التغيرات الهندسية لشكل حوضي طوز جاي ووداي شيخ محسن/ نهر العظيم ،أطروحة دكتوراه، كلية التربية ابن رشد، جامعة بغداد، 2005.
- 24- العكام ، إسحاق صالح مهدي ، جيومورفولوجية السهول المروحية بين مندلي وبدرة ، رسالة ماجستير (غير منشورة) ، كلية الاداب ،جامعة بغداد ، 2000.
- 25- العكيلي ، علي عبد الحسين بلاسم، الأسلوب الامثل قيم التبخر نتح في مناخ العراق ، رسالة ماجستير في الجغرافية (غير منشورة) كلية التربية ابن رشد، جامعة بغداد، 2013.

- 26- الفتلاوي، فاضل عبد العباس ، تحليل جغرافي لخصائص المناخ وعلاقتها بالانتاج الزراعي في محافظة بابل، رسالة ماجستير في الجغرافية (غير منشورة) كلية الاداب جامعة الكوفة ، 2010.
- 27- القيسي ، علي مصطفى حسين، هور الحمار دراسة في الجغرافية الطبيعية، اطروحة دكتوراه، قسم الجغرافية، كلية الآداب ، جامعة بغداد ، 1994.
- 28- المسعودي ، رياض محمد علي عودة ، الموارد المائية ودورها في الانتاج الزراعي في محافظة كربلاء، اطروحة دكتوراه غير منشورة ، كلية التربية ابن رشد ، جامعة بغداد ، 2000.
- 29- المعارضي ، حسين جوبان ، دراسة جيومورفولوجية للجزء الجنوبي للسهل الرسوبي العراقي، رسالة ماجستير (غير منشورة)، قسم الجغرافية، كلية التربية، جامعة بغداد، 1996.
- 30- الهذال ، يوسف محمد علي حاتم ، تكرار المنظومات الضغطية المختلفة وأثرها في تباين قيمة الإشعاع الشمسي الكلي وشفافية الهواء في العراق خلال السنوات 1980-1989، رسالة ماجستير، قسم الجغرافية، كلية التربية، جامعة بغداد، 1994.
- 31- الهريود ، حسين عذاب خليف، دراسة اشكال سطح الارض في منطقة السلمان جنوب - غرب العراق، اطروحة دكتوراه ( غير منشورة) قسم الجغرافية ، كلية التربية ، جامعة المستنصرية ، 2006.
- 32- حاتم ، اشواق عبد الكريم، الخصائص الجيومورفولوجية لمجرى نهري الكحلاء والمشرح وأثرها على النشاطات البشرية، اطروحة دكتوراه ، غير منشورة ، قسم الجغرافية، كلية التربية ابن رشد ، جامعة بغداد، 2016.
- 33- حسون ، ايمان شهاب، هايدروجيومورفولوجيا حوض وادي أبو مريس في محافظة المثنى وأثره في التنمية الاقتصادية، اطروحة دكتوراه غير منشورة ، كلية الاداب ، جامعة بغداد، 2016.
- 34- حسين ، سفير جاسم ، جيومورفولوجية مجرى نهر الغراف، أطروحة دكتوراه (غير منشورة)، قسم الجغرافية ، كلية الآداب ، جامعة بغداد ، 2007.
- 35- سويدان ، همسة جمال، التتابع المناخي وأثره في تشكيل مظاهر سطح الأرض في السهل الفيضي العراقي، اطروحة دكتوراه(غير منشورة) جامعة بغداد ، كلية التربية ابن رشد، 2017.
- 36- شاكر ، سحر نافع ، جيومورفولوجية الكثبان الرملية للمنطقة المحصورة بين الكوت - الديوانية - الناصرية ، رسالة ماجستير (غير منشورة) ، كلية العلوم ، جامعة بغداد ، 1985.
- 37- غفار ، صباح محمود ،التباين المكاني للرواسب الحصوية في مجرى نهر دجلة بين بيجي وبلد واستثماراتها ، رسالة ماجستير ، كلية التربية ابن رشد، غير منشورة ، 2005.
- 38- كريم ، شذى، جيومورفولوجية شط الحلة، رسالة ماجستير(غير منشورة)، كلية الاداب، جامعة الكوفة ، 2013.
- 39- كورنيل ، جنان منصور، دراسة التراكيب الخطية لسهل الحماد غرب العراق واهميتها التكتونية ، رسالة ماجستير، غير منشورة، كلية العلوم، جامعة بغداد، 2000.

- 40- هنون ، جليل جاسم محمد ، هيدروجيومورفولوجية منطقة كربلاء ، اطروحة دكتوراه (غير منشورة)، قسم الجغرافية ، كلية التربية الجامعة المستنصرية ، 2011.
  - 41- مناف محمد زرزور السوداني ، الاتجاهات المكانية لاحتمالية الانتاج الزراعي والتنبؤ به علاقتها المكانية بنية سكان الريف في محافظة ذي قار للمدة 2002 – 2012 ، اطروحة دكتوراه (غير منشورة)، قسم الجغرافية، كلية التربية ابن رشد ، جامعة بغداد ، 2014
- رابعاً: بحوث المجالات العلمية:
- 1- الباتي ،عدنان هزاع ، كاظم موسى ، المناخ والقدرات الحتية للرياح في العراق ، مجلة الجمعية الجغرافية العراقية ، عدد 23، 1989.
  - 2- البرازي، نوري خليل ،التربة واثرها في التطور الزراعي في السهل الرسوبي ، مجلة الجمعية الجغرافية العراقية ، المجلد 1، 1962.
  - 3- البياتي ، عدنان هزاع ، كاظم موسى ، المناخ والقدرات الحتية للرياح في العراق ، مجلة الجمعية الجغرافية العراقية ، العدد 32 ، 1989.
  - 4- الجبوري ، سلام هاتف احمد ، دور المناخ في تباين قيم التبخر / نتح المحتمل في المنطقة الجنوبية من العراق باستخدام برنامج (CROPWOT8.0)، مجلة الاستاذ، العدد208 ، بغداد، 2014.
  - 5- الحسني ، فاضل باقر ، تطور مناخ العراق عبر الأزمنة الجيولوجية والعصور التاريخية ، المجلد العاشر، 1976 .
  - 6- الخزعلي، صباح عبود عاتي، سحر إبراهيم المحارب، خصائص التربة وأثرها في تباين النظم الأرضية في محافظة ذي قار، مجلة الأستاذ، العدد 64، 2007.
  - 7- الخفاجي ، جمعة عليوي ، مشروع الغراف (1925-1939) دراسة تاريخية ، مجلة الاستاذ ، العدد 170، 2011 .
  - 8- الخفاجي ، سرحان نعيم ، التطور الجيومورفولوجي للسهل الرسوبي في العراق ، مجلة الأستاذ ، العدد 62، كلية التربية (ابن رشد) ، 2008
  - 9- السامرائي ، قصي عبد المجيد ، مناخ العراق الماضي والحاضر ، مجلة كلية الآداب ، جامعة بغداد ، العدد 50 ، 2000.
  - 10- الشمري ، رضا عبد الجبار سلمان ، البنية الطبيعية والجغرافية لمحافظة القادسية ، مجلة القادسية ، العدد (1) ، 1997.
  - 11- الطائي ، كاظم موسى، موازنة حوض نهر دياالى المائية المناخية في العراق، مجلة الجمعية الجغرافية العراقية، العدد 45، بغداد، 2000.

- 12- الغامدي ، سعد ابو راس ، قسم الجغرافية ، جامعة ام القرى ، تطبيق نموذج جافريلوفيك لتقدير التعرية المائية في حوض وادي نعمان بوسائل الاستشعار عن بعد ونظم المعلومات الجغرافية ، المجلة المصرية للتغير البيئي ، العدد الاول ، 2009.
- 13- الغنيم ، عبد الله يوسف ، أشكال سطح الأرض المتأثرة بالرياح في شبه الجزيرة العربية، الجمعية الجغرافية الكويتية، 1981.
- 14- الفيل ، محمد رشيد ، تطور مناخ العراق منذ بداية البلايوسين حتى الوقت الحاضر ، مجلة كلية الاداب ، جامعة بغداد ، العدد 11، 1968.
- 15- المعموري ، بدر جدوع احمد، العواصف الترابية في وسط العراق وجنوبه وطرق معالجتها، مجلة الاستاذ، العدد 8، جامعة بغداد، 1996.
- 16- النقاش ، عدنان ، وآخرون ، اثر الظواهر الخطية في التكتونية الصحراء الغربية العراقية ، المجلة الجيولوجية العراقية، المجلد 25، العدد (1)، 1992.
- 17- حسن ، ذنون عبد الرحمن ، محمد قاسم ، الواقع الحالي للمقالع وسبل تطويرها ، المجلة العراقية لعلوم الأرض ، العدد الثاني ، 2002 .
- 18- شاكر ، سحر نافع ، جيومورفولوجية العراق في العصر الرباعي ، مجلة الجمعية الجغرافية العراقية ، العدد الثالث والعشرون ، تموز ، 1989.
- 19- عبد الحسين ، حسين علي ، اثر اتساع المدى الحراري في تشكيل بعض المظاهر الجيومورفولوجية في الهضبة الغربية العراقية (دراسة في علم الجيومورفولوجيا المناخية ) ، مجلة كلية الاداب ، جامعة الكوفة ، العدد 13 ، 2012.
- 20- محمد ، كريم دراغ ، خصائص مناخ محافظة النجف ،مجلة الجمعية الجغرافية العراقية، عدد 47، 2001.
- 21- ولي ، ماجد السيد ، احوار العراق عبر التاريخ ، مجلة الجمعية الجغرافية العراقية ، العدد 39 ، 1999.
- 22- ولي ، ماجد السيد ، العوامل الجغرافية وأثرها في انتشار الأملاح بترب السهل ما بين النهرين ، مجلة الجمعية الجغرافية العراقية، العدد 17، 1986.

خامساً: التقارير والنشرات الحكومية:

- 1- الجبوري ، حاتم خضير صالح ، دراسة هيدروجيولوجية وهيدركيميائية لمنطقة سوق الشيوخ ، الشركة العامة للمسح الجيولوجي والتعدين ، 2002.
- 2- الخلف ، جاسم محمد ، محاضرات في جغرافية العراق الطبيعية والاقتصادية، القاهرة، معهد الدراسات العربية العالية، 1959.

## قائمة المصادر والمراجع

- 3- بروراري ، أنور مصطفى، صباح يوسف يعقوب ، فائزة توفيق أحمد، الهيئة العامة للمسح الجيولوجي والتعدين، تقرير عن جيولوجية لوحة الكوت(أن أي 38\_15)، (جي أم 27\_27) رقم التقرير 2256، 1992.
- 4- خروجي ، حسني ، الآثار المحتملة لتغير المناخ على الموارد المائية : دواعي القلق في المنطقة العربية، برنامج الأمم المتحدة الإنمائي لجامعة الدول العربية ، 2009.
- 5- ديكران ، دريد بهجت وآخرون ، التقرير الجيولوجي لوحة الناصرية ان انج (38 -3) جي ام 1993، ورقعه سوق الشيوخ ان انج 38 - 10 (جي ام 37) 1995.
- 6- ديكران ، دريد بهجت، عبد الحق ابراهيم مهدي، لوحة الناصرية، الشركة العامة للمسح الجيولوجي والتعدين، 1993.
- 7- محمد ، حسن كريم ، وآخرون، التقرير الجيولوجي لرقعة السلطان، الشركة العامة للمسح الجيولوجي والتعدين ، بغداد ، 1995.
- 8- منظمة الاغذية الزراعية الدولية (F.A.O) (التبخر/النتح) لمحصول ، ادلة ارشادية لحساب المتطلبات المائية للمحصول، ورقة الري والصرف، رقم(56)،ترجمة ياسر كمال نزل، جامعة ولاية يوتا، 2007.
- 9- وزارة الزراعة ، مديرية الزراعة ذي قار ، بيانات غير منشورة ، 2016.
- 10- وزارة الموارد المائية ، المديرية العامة لتشغيل وصيانة مشاريع الري والبزل ، مديرية الموارد المائية في الديوانية ، بيانات غير منشورة ، 2016.
- 11- وزارة الموارد المائية ،الهيئة العامة للمياه الجوفية ، بيانات غير منشورة ، 2016.
- 12- وزارة الموارد المائية ، مديرية الموارد المائية في الديوانية ، بيانات غير منشورة، 2016.
- 13- وزارة الموارد المائية، مديرية الموارد المائية المثني، قسم التخطيط والمتابعة ، بيانات غير منشورة، 2016
- 14- يوسف ، محمد وآخرون ، تأثير الظروف الطبيعية والمناخية على انجراف التربة ، وزارة البيئة ، دائرة التخطيط والمتابعة ، قسم الصحاري والاراضي الزراعية ، 2006.

### سادساً: الدراسة الميدانية والمقابلات

- 1- الدراسة الميدانية لمنطقة الدراسة بتاريخ (2017/6/10) و(21 - 22 /2/ 2018)
- 2- المقابلات الشخصية مع سكنة المنطقة .

- 1- Alvaro comez cutierrsz , susanable and franice lavado contour, processes, faetors and conseqnences of gully erosion investigat in the Iberian pensinsuld Bulletined, la Association. Gegrafas Es paholes. N55.
- 2- Arthur .N. Strahler ,physical Geography, Second Edition Bowdon , 1960.
- 3- Bipalk.Jana Impact of climate changon Natural Resource,management,springer Dordrecht Heidel London New York , 2010.
- 4- Budy and Jasim .The regional geology of Iraq .
- 5- Edward Derby Shire, Geomorphology And Climate, John Wily and Sons , London,1976
- 6- John Bridge and Robert Demicco,Earth Surface Processes Land Sediment Deposits, Cambridge University Press, 2008.
- 7- Louis C. Peltier , The Geographic Cycle in Periglacial Regions as it related to climatic Gemorphology tour , Geo , Soc. Am. Vol. 16 , 1950 .
- 8- Parsons , R. Z. , Mineralogy , Geochemistry and Origin of Shari – Saitern Deposit , NE Samarra , Iraq Ph. D. thesis (unpublished) , Collage of Science , University of Baghdad , 1997.
- 9- Roberts S.Anderson , Douglas..Burbank, Tectonic Geomorphology , Blackwell Pub,2001
- 10-Saad Z.jassim, jerenyc. off . Geology of Iraq , 2006.
- 11-Tibor Buday & Saad Z. Jassim , The Regional Geology of Iraq Tectonism magmatism and metamorphism , Vo.2 , Baghdad , 1987 .
- 12-Tim Davie- John Gerrard, Fundamentals Of Hydrology, Routledge Fundamentals of Physical Geography, Second edition, London and New York, 2008,
- 13-Ussr Selkhozprom export , General Scheme of Water Resources and Land Development in Iraq , Ministry of Irrigation , volume III , Book 1,Moscow,Baghdad , 1982.
- 14-W.S, Chepil and F.H Siddoway, Climate Factor For Estimating wind Erodibility of Farm Field, j, Soil and water conser vation, Iowa, 1962

- 1- شبكة المعلومات العالمية ، [www.smsec.com/ar](http://www.smsec.com/ar)
- 2- [https: // www.google.iq](https://www.google.iq)



## ملاحق الدراسة

ملحق (1) العناصر المؤثرة على الجفاف في محطة السماوة للمدة (1980 – 2016)

السنوات	السطوع الشمسي	درجة الحرارة العظمى	درجة الحرارة الصغرى	سرعة الرياح	الرطوبة النسبية	الامطار	التبخر - نتح	الجفاف D
1980	9.0	31.9	16.8	3.2	40.1	98.2	2205.9	0.04
1981	9.1	32.5	17.2	3.1	38.4	73.1	2137.5	0.03
1982	8.4	30.6	16.8	2.5	42.9	75.3	1915.7	0.04
1983	9.2	31.8	16.6	2.5	40.3	48.9	1964.1	0.03
1984	9.1	31.2	17.4	3.6	45.1	74.5	2256.6	0.03
1985	9.5	32.0	17.5	3.4	40.0	44.4	2230.9	0.02
1986	9.3	31.8	17.7	3.5	44.9	136.0	2077.6	0.07
1987	9.3	32.6	18.6	3.2	39.6	87.4	2175.7	0.04
1988	9.5	31.7	17.9	3.4	42.3	96.9	2286.8	0.04
1989	9.4	32.1	17.6	3.0	39.3	60.5	2190.8	0.03
1990	9.3	32.5	17.1	2.7	37.8	38.9	2069.8	0.02
1991	9.4	31.7	17.7	2.8	39.9	113.3	1884.3	0.06
1992	8.9	30.1	16.5	3.1	44.7	134.2	2034.9	0.07
1993	9.2	31.6	17.7	2.1	46.8	142.9	1777.9	0.08
1994	9.0	31.9	17.0	2.2	44.4	127.4	1875.4	0.07
1995	9.8	31.7	16.8	2.8	43.0	137.4	2165.2	0.06
1996	9.5	32.7	17.6	2.9	43.1	116.5	2128.6	0.05
1997	9.4	31.5	16.4	2.7	44.0	185.4	2153.2	0.09
1998	9.4	33.1	17.2	2.2	42.5	165.6	1940.2	0.09
1999	9.2	33.2	17.2	2.6	40.4	228.3	2105.3	0.11
2000	8.2	32.2	16.8	4.2	39.3	115.0	2575.1	0.05
2001	9.3	33.0	16.6	4.7	39.3	76.2	2786.6	0.03
2002	8.8	33.5	17.5	4.0	37.9	85.1	2539.0	0.03
2003	8.7	32.9	17.0	4.3	38.6	92.1	2349.1	0.04
2004	8.9	33.1	17.0	4.3	38.6	84.5	2259.0	0.04
2005	8.8	32.4	16.9	4.2	37.8	78.4	2255.7	0.03
2006	8.8	32.3	18.3	3.8	41.5	165.9	2364.7	0.07
2007	8.8	32.1	17.8	4.3	38.0	62.3	2572.5	0.02
2008	8.8	32.8	18.0	3.1	35.8	57.0	2397.6	0.03
2009	8.8	32.7	18.6	3.1	37.8	70.7	2281.9	0.03
2010	8.3	33.4	19.1	3.2	37.7	57.9	2169.0	0.03
2011	9.2	32.1	18.2	3.3	37.5	68.2	2331.7	0.03
2012	7.9	32.9	18.9	3.7	36.6	119.9	2381.5	0.05
2013	8.3	32.0	18.7	3.3	37.8	265.8	2223.9	0.12
2014	8.5	32.2	18.8	3.3	38.9	110.0	2044.4	0.05
2015	8.2	32.3	17.5	3.4	37.7	165.2	1989.1	0.08
2016	8.3	32.2	18.3	3.3	38.1	180.3	1882.4	0.10
المعدل	9.0	32.2	18.2	3.3	40.2	109.2	2188.6	0.05

المصدر: بالاعتماد 1- على بيانات وزارة النقل والمواصلات. الهيئة العامة للأمناء الجوية . قسم المناخ (بيانات غير منشورة). 2016.

2- معادلة بنمان مونتث لمنظمة الاغذية والزراعة 3- معامل الجفاف D

ملحق (2) العناصر المؤثرة على الجفاف في محطة الناصرية للمدة (1980 – 2016)

السنوات	السطوع الشمسي	درجة الحرارة العظمى	درجة الحرارة الصغرى	سرعة الرياح	الرطوبة النسبية	الامطار	التبخّر - نتج	الجفاف D
1980	8.3	32.0	17.4	5.1	39	105.4	2551	0.04
1981	8.2	32.0	17.5	5.1	39	122.2	2325	0.05
1982	8.2	31.7	17.2	5.1	40	122.1	2284	0.05
1983	8.0	30.9	16.3	5.2	41	82.7	2640	0.03
1984	7.9	32.1	17.6	5.2	39	162.7	2783	0.06
1985	8.6	32.2	17.6	5.0	38	83.1	2803	0.03
1986	8.9	32.5	18.1	4.6	41	242.2	2641	0.09
1987	8.5	32.7	18.2	5.5	38	81.4	2912	0.03
1988	8.8	31.8	17.8	4.8	45	109.9	2523	0.04
1989	8.7	31.6	17.5	5.6	43	121.9	2852	0.04
1990	9.1	31.5	18.7	5.6	38	73.2	3064	0.02
1991	8.1	32.2	17.7	5.6	42	235.7	2856	0.08
1992	8.0	30.6	16.7	5.2	46	116.3	2565	0.05
1993	8.2	31.6	17.8	4.6	46	117.6	2527	0.05
1994	7.9	33.2	18.8	4.2	43	143.2	2459	0.06
1995	8.7	32.2	18.0	4.2	42	137.2	2580	0.05
1996	8.9	32.8	18.9	4.3	44	180.8	2566	0.07
1997	8.0	32.4	18.1	3.6	46	186.1	2279	0.08
1998	9.1	33.3	18.8	3.6	45	181.4	2370	0.08
1999	8.5	34.2	19.3	3.7	44	169.9	2533	0.07
2000	7.7	33.5	18.6	3.7	43	108.0	2386	0.05
2001	8.7	34.3	18.7	4.3	43	74.7	2326	0.03
2002	8.0	33.6	18.4	3.6	41	151.0	2362	0.06
2003	8.1	33.8	18.5	3.4	42	111.2	2185	0.05
2004	8.3	35.0	17.8	3.0	42	98.6	2101	0.05
2005	8.1	33.3	18.5	3.1	41	106.3	2226	0.05
2006	8.2	33.2	19.1	3.3	42	245.8	2302	0.11
2007	8.2	33.4	18.9	3.1	39	128.1	2229	0.06
2008	8.2	33.6	19.2	3.1	38	65.5	2271	0.03
2009	8.2	33.3	19.2	3.2	36	56.9	2296	0.02
2010	8.0	35.9	20.3	3.2	34	57.6	2381	0.02
2011	7.6	34.8	18.7	3.1	34	95.9	2308	0.04
2012	7.3	31.1	19	3.2	34	124.9	2338	0.05
2013	7.8	32.8	19	3.3	36	194.2	2305	0.08
2014	7.5	33.7	19	3.2	35	138.3	2317	0.06
2015	7.5	33.3	19	3.2	35	152.5	2320	0.07
2016	7.6	33.3	19	3.2	35	161.7	2314	0.07
المعدل	8.2	32.8	18.3	4.1	40.2	131.0	2461.6	0.05

المصدر: بالاعتماد 1- على بيانات وزارة النقل والمواصلات. الهيئة العامة للأتواء الجوية . قسم المناخ (بيانات غير منشورة).2016.

2- معادلة بنمان مونتث لمنظمة الاغذية والزراعة 3- معامل الجفافD

ملحق (3) العناصر المؤثرة على الجفاف في محطة النجف للمدة (1980 - 2016)

السنوات	السطوع الشمسي	درجة الحرارة العظمى	درجة الحرارة الصغرى	سرعة الرياح	الرطوبة النسبية	الامطار	التبخير - نتج	الجفاف D
1980	8.9	31.4	17.1	2.3	44	116.4	2105	0.06
1981	8.6	31.0	16.4	2.3	48	56.0	1896	0.03
1982	8.3	29.1	16.5	2.7	42	169.7	1989	0.09
1983	8.8	30.0	17.0	2.4	44	119.9	2002	0.06
1984	8.9	30.2	17.0	2.2	43	109.5	1896	0.06
1985	9.3	30.8	17.7	1.8	45	58.8	1788	0.03
1986	9.1	31.0	17.8	2.1	44	117.7	1887	0.06
1987	8.8	31.2	17.5	2.3	45	159.3	1949	0.08
1988	9.0	30.1	17.6	2.1	42	153.0	1865	0.08
1989	9.2	31.0	17.5	2.6	38	112.3	2132	0.05
1990	9.3	31.2	17.6	3.1	44	30.3	2362	0.01
1991	8.5	30.7	16.0	2.6	47	65.1	2039	0.03
1992	8.1	29.3	17.5	2.6	45	111.9	1905	0.06
1993	8.6	30.4	18.3	2.2	42	170.0	1895	0.09
1994	8.4	31.2	17.7	2.1	44	147.6	1920	0.08
1995	9.0	31.1	18.4	1.6	42	64.1	1780	0.04
1996	8.1	31.9	17.0	1.4	42	91.3	1671	0.05
1997	8.5	30.6	18.6	1.4	43	142.9	1677	0.09
1998	9.2	32.3	18.4	1.3	42	83.8	1738	0.05
1999	9.3	32.3	17.8	1.2	43	48.8	1695	0.03
2000	8.7	31.6	18.4	1.1	39	54.6	1575	0.03
2001	9.1	32.2	18.1	1.3	42	75.0	1677	0.04
2002	8.8	31.7	18.1	1.6	42	64.2	1777	0.04
2003	8.5	31.6	19.2	1.6	38	118.8	1788	0.07
2004	8.9	32.7	17.7	1.8	39	51.4	1924	0.03
2005	9.0	32.7	18.2	1.4	45	71.4	1735	0.04
2006	8.8	32.7	18.4	1.8	43	190.7	1931	0.10
2007	8.8	33.1	18.1	1.8	43	35.9	1895	0.02
2008	8.0	32.9	18.5	1.9	45	72.4	1850	0.04
2009	7.7	32.7	19.8	1.7	38	64.301	1731	0.04
2010	8.0	34.3	16.8	1.7	41	50.3	1867	0.03
2011	8.0	28.7	19.0	1.8	39	71.3	1816	0.04
2012	7.9	32.5	19.1	1.8	41	48.8	1805	0.03
2013	7.9	32.2	18.7	1.9	40	56.2	1829	0.03
2014	7.9	31.6	18.9	1.8	40	58.4	1816	0.03
2015	7.9	32.1	18.9	1.8	40	54.1	1817	0.03
2016	7.9	32.0	17.9	1.9	42	56.1	1821	0.03
المعدل	8.6	31.5	17.9	1.9	42.3	89.8	1860	0.05

المصدر: بالاعتماد 1- على بيانات وزارة النقل والمواصلات. الهيئة العامة للأتواء الجوية . قسم المناخ (بيانات غير منشورة). 2016.

2- معادلة بنمان مونتث لمنظمة الاغذية والزراعة 3- معامل الجفاف D

ملحق (4) العنصر المؤثرة على الجفاف في محطة الديوانية للمدة (1980 – 2016)

السنوات	السطوع الشمسي	درجة الحرارة العظمى	درجة الحرارة الصغرى	سرعة الرياح	الرطوبة النسبية	الامطار	التبخّر -	الجفاف D
1980	8.1	31.82	17.23	4.3	44	89.7	2475	0.04
1981	8.2	32.32	17.03	3.9	41	66.1	2343	0.03
1982	7.7	30.85	17.32	4.2	48	118.8	2322	0.05
1983	8.0	30.94	16.34	5.2	46	58.5	2527	0.02
1984	7.9	32.11	17.60	5.2	40	92.6	2750	0.03
1985	8.6	32.18	17.58	5.0	42	84.1	2716	0.03
1986	8.9	32.47	18.07	4.6	42	132.5	2602	0.05
1987	8.5	32.74	18.15	5.5	47	125.5	2714	0.05
1988	8.8	31.78	17.79	4.8	46	123.2	2511	0.05
1989	8.7	31.64	17.51	5.6	43	117.3	2867	0.04
1990	9.1	31.48	18.68	5.6	41	37.8	2697	0.01
1991	8.1	32.18	17.72	5.6	45	125.0	2769	0.05
1992	8.0	30.62	16.65	5.2	44	111.7	2578	0.04
1993	8.2	31.61	17.80	4.6	48	192.2	2453	0.08
1994	7.9	33.23	18.83	4.2	46	147.5	2391	0.06
1995	8.7	32.19	17.96	4.2	46	103.3	2487	0.04
1996	8.9	32.81	18.90	4.3	47	117.2	2505	0.05
1997	8.1	32.38	18.06	3.6	50	112.6	2207	0.05
1998	9.1	33.31	18.81	3.6	50	108.4	2299	0.05
1999	8.5	34.18	19.28	3.7	49	98.7	2424	0.04
2000	7.7	33.51	18.56	3.7	48	223.4	2296	0.10
2001	8.7	34.25	18.68	3.5	49	93.4	2324	0.04
2002	8.0	33.60	18.36	3.6	47	186.1	2295	0.08
2003	8.2	33.53	18.08	3.7	43	120.7	2388	0.05
2004	8.0	33.50	17.82	3.0	43	56.6	2099	0.03
2005	8.0	33.33	18.46	3.1	41	100.6	2227	0.05
2006	7.9	33.18	19.12	3.3	43	106.9	2285	0.05
2007	7.9	33.40	18.93	3.1	40	43.6	2223	0.02
2008	8.1	33.58	19.23	3.1	38	45.1	2272	0.02
2009	7.9	33.29	19.23	3.2	40	46.2	2247	0.02
2010	7.9	35.85	20.35	3.2	34	49.1	2379	0.02
2011	7.6	34.80	18.71	3.1	34	81.4	2300	0.04
2012	8.3	31.07	19.33	3.2	34	98.8	2328	0.04
2013	8.4	33.25	19.41	3.2	34	76.2	2305	0.03
2014	8.1	33.84	19.34		34	85.5	2311	0.04
2015	8.3	33.5	19.4	3.2	34	86.8	2315	0.04
2016	8.2	33.5	19.4	3.2	34	82.8	2310	0.04
المعدل	8.2	33.6	18.37	4.0	43	101.2	2420	0.04

المصدر: بالاعتماد 1- على بيانات وزارة النقل والمواصلات. الهيئة العامة للأشياء الجوية . قسم المناخ (بيانات غير منشورة). 2016.

2- معادلة بنمان مونتث لمنظمة الاغذية والزراعة 3- معامل الجفاف D

## الملاحق

ملحق (5) المعدلات الشهرية والمجموع السنوي للأمطار الفعالة (ملم) وفق طريقة سلخوزبروم لمحطة السماوة

السنوات	ك2	شباط	أذار	نيسان	أيار	حزيران	تموز	أب	أيلول	ت1	ت2	ك2	المجموع السنوي
1980	1.3	54.6	1.9	2.4	1.6	0.0	0.0	0.0	0.0	0.400	7.9	3.3	73.4
1981	12.7	3.8	34.9	1.0	9.15	0.0	0.0	0.0	0.0	1.1	0.6	2.1	56.1
1982	21.2	4.5	2.8	6.5	13.4	0.0	0.0	0.0	0.0	0.2	5.7	2.5	56.9
1983	3.4	1.5	2.0	2.0	23.7	0.0	0.0	0.0	0.0	0.0	1.3	5.3	39.1
1984	8.5	0.3	9.4	3.5	3.4	0.0	0.0	0.0	0.0	0.3	25.3	3.9	54.6
1985	15.8	0.3	0.7	0.9	11.5	0.0	0.0	0.0	0.0	0.0	0.8	1.7	31.7
1986	9.4	22.6	16.8	3.0	10.9	0.0	0.0	0.0	0.0	0.0	36.1	0.4	99.1
1987	0.0	3.3	19.5	0.3	5.1	0.0	0.0	0.0	0.0	11.9	11.7	14.4	66.3
1988	9.7	4.7	9.3	17.9	0.2	0.0	0.0	0.0	0.0	3.2	11.3	11.1	67.3
1989	0.49	14.175	20.48	1.19	1.615	0.0	0.0	0.0	0.0	4.0	2.59	1.2	45.8
1990	8.75	8.925	0.72	0.085	0.34	0.0	0.0	0.0	0.0	0.0	0.3	6.2	25.3
1991	30.73	7.0	8.1	5.4	0.6	0.0	0.0	0.0	0.0	4.6	7.3	10.7	74.5
1992	7.28	5.325	27.52	4.165	0.6	0.0	0	0	0.0	2.3	34.3	15.5	97.0
1993	31.71	14.175	3.52	32.98	10.1	0.0	0	0	0.0	4.9	10.9	1.4	109.6
1994	28.14	0.2	5.04	1.53	3.2	0.0	0	0	0.0	7.9	22.0	21.7	89.7
1995	31.4	15.5	1.8	35.9	3.0	0.0	0	0	0.0	0.0	0.0	16.2	103.9
1996	19.3	28.4	30.2	4.0	0.0	0.0	0	0	0.0	0.0	2.6	3.5	87.9
1997	15.5	11.0	16.3	3.8	1.8	0.0	0	0	0.0	31.8	36.5	16.9	133.6
1998	23.8	4.7	89.0	8.2	3.8	0.0	0	0	0.0	0.0	0.0	0.0	129.5
1999	65.4	76.1	1.3	1.5	0.0	0.0	0	0	0.0	0.0	12.6	8.4	165.3
2000	27.7	8.4	0.6	0.7	0.7	0.0	0	0	0.0	11.7	17.9	15.1	82.8
2001	6.3	5.1	16.3	7.7	5.6	0.0	0	0	0.0	0.0	2.2	14.9	58.1
2002	16.1	1.4	15.0	23.1	1.8	0.0	0	0	0.0	0.5	1.6	6.2	65.7
2003	11.7	3.7	8.5	8.9	2.3	0.0	0.0	0.0	0.0	3.2	5.1	8.5	51.9
2004	8.0	2.5	10.6	11.2	2.7	0.0	0.0	0.0	0.0	1.0	2.1	6.9	45.1
2005	8.3	1.9	9.1	12.3	1.9	0.0	0.0	0.0	0.0	1.257	7.6	0.3	42.7
2006	12.5	20.2	8.3	0.5	1.7	0.0	0.0	0.0	0.0	2.5	13.7	59.8	119.2
2007	5.5	0.8	15.6	13.6	0.3	0.0	0.0	0.0	0.0	0.0	0.0	12.3	48.1
2008	16.9	1.8	0.4	0.2	2.0	0.0	0.0	0.0	0.0	19.3	1.6	0.0	42.2
2009	8.2	4.875	6.96	4.3	5.1	0.0	0.0	0.0	0.0	6.8	1.19	12.39	49.7
2010	0.42	4.65	2.72	15.7	9.01	0.0	0.0	0.0	0.0	7.0	0.42	4.97	44.9
2011	6.02	17.775	3.84	17.4	0.34	0.0	0.0	0.0	0.0	0.32	0.8	4.1	50.5
2012	5.3	4.0	2.5	10.6	0.595	0.0	0.0	0.0	0.0	11.04	28.7	23.59	86.3
2013	15.1	0.5	1.0	12.4	49.72	0.0	0.0	0.0	0.0	0.16	115.4	0.77	194.9
2014	28	2.4	14.16	22.015	0	0	0	0	0	4.56	10.08	2.17	83.4
2015	11.3	1.7	4.7	12.8	14.3	0.0	0.0	0.0	0.0	4.2	36.0	6.2	91.1
2016	12.7	1.1	5.3	13.4	18.1	0.0	0.0	0.0	0.0	2.4	37.7	2.1	92.8
المجموع	544.5	363.9	426.9	323.1	211.0	0.0	0.0	0.0	0.0	148.5	511.9	326.7	2856.0

المصدر: بالاعتماد 1- على بيانات وزارة النقل والمواصلات. الهيئة العامة للأتواء الجوية. قسم المناخ (بيانات غير منشورة). 2016.

2-Ussr Selkhozprom export . General Scheme of Water Resources and Land Development in Iraq .

Ministry of Irrigation . volume III . Book 1.Moscow.Baghdad . 1982 . p.33-44



## الملاحق

ملحق (6) المعدلات الشهرية والمجموع السنوي للامطار الفعالة (ملم) وفق طريقة سلخوزبروم لمحطة الناصرية

المجموع السنوي	ك2	ت2	ت1	أيلول	أب	تموز	حزيران	أيار	نيسان	أذار	شباط	ك2	السنوات
80.9	8.0	13.9	0.0	0.0	0.0	0.0	0.0	19.8	7.8	16.2	2.9	12.3	1980
91.6	12.0	27.4	0.0	0.0	0.0	0.0	0.0	16.6	7.1	13.9	2.2	12.4	1981
91.9	10.6	20.9	0.0	0.0	0.0	0.0	0.0	15.6	7.6	16.6	4.1	16.6	1982
66.7	1.5	0.2	0.0	0.0	0.0	0.0	0.0	27.3	8.9	18.2	2.5	8.1	1983
116.9	24.1	61.3	0.2	0.0	0.0	0.0	0.0	6.9	4.8	7.0	0.2	12.5	1984
62.5	6.3	1.4	0.0	0.0	0.0	0.0	0.0	12.8	9.1	3.5	8.12	29.3	1985
176.3	25.5	65.1	0.0	0.0	0.0	0.0	0.0	4.8	3.4	33.3	16.9	27.4	1986
62.7	11.1	2.0	14.2	0.0	0.0	0.0	0.0	3.1	4.9	24.0	3.3	0.0	1987
85.2	13.7	0.1	4.1	0.0	0.0	0.0	0.0	0.0	37.5	8.4	8.6	16.8	1988
90.7	12.2	12.9	6.2	0.0	0.0	0.0	0.0	1.8	13.0	26.0	24.5	0.4	1989
53.4	0.9	3.5	0.4	0.0	0.0	0.0	0.0	1.4	3.8	12.7	20.3	10.4	1990
158.2	15.5	2.1	40.1	0.0	0.0	0.0	0.0	0.0	23.1	2.9	27.8	46.8	1991
84.9	22.0	21.7	0.0	0.0	0.0	0.0	0.0	0.9	0.3	23.0	8.9	8.1	1992
90.4	3.6	4.6	7.7	0.0	0.0	0.0	0.0	4.8	27.3	1.3	19.9	21.3	1993
93.2	18.7	26.7	3.3	0.0	0.0	0.0	0.0	0.5	9.4	2.0	14.1	18.4	1994
96.8	14.9	12.4	0.0	0.0	0.0	0.0	0.0	7.3	14.7	9.3	17.1	21.1	1995
134.5	4.3	8.1	0.0	0.0	0.0	0.0	0.0	1.0	5.4	41.8	23.1	50.8	1996
130.7	26.0	33.8	11.4	0.0	0.0	0.0	0.0	0.0	9.0	17.6	13.6	19.3	1997
132.5	0.1	12.7	0.0	0.0	0.0	0.0	0.0	0.5	18.4	72.2	4.3	24.4	1998
125.1	19.3	10.4	0.0	0.0	0.0	0.0	0.0	0.0	9.3	19.0	52.4	14.8	1999
76.7	46.9	5.3	3.2	0.0	0.0	0.0	0.0	1.1	0.9	1.2	3.1	15.1	2000
53.2	29.7	2.1	0.1	0.0	0.0	0.0	0.0	0.2	8.1	7.3	2.3	3.5	2001
123.3	3.8	6.1	0.8	0.0	0.0	0.0	0.0	0.9	89.8	9.1	5.6	7.3	2002
65.0	18.8	3.2	1.1	0.0	0.0	0.0	0.0	0.6	28.0	4.7	2.7	6.0	2003
73.0	11.6	18.6	0.0	0.0	0.0	0.0	0.0	0.0	22.0	0.6	0.2	20.0	2004
78.4	15.3	0.1	0.0	0.0	0.0	0.0	0.0	0.4	3.3	27.0	0.7	31.6	2005
182.4	56.7	12.4	21.5	0.0	0.0	0.0	0.0	1.6	21.4	4.9	44.6	19.3	2006
95.0	15.3	7.3	0.0	0.0	0.0	0.0	0.0	0.6	4.7	60.6	0.1	6.4	2007
49.6	0.0	0.5	25.8	0.0	0.0	0.0	0.0	0.2	1.2	0.3	8.1	13.6	2008
42.6	15.6	1.2	0.2	0.0	0.0	0.0	0.0	1.3	3.9	14.9	5.3	0.2	2009
47.1	5.1	0.3	0.1	0.0	0.0	0.0	0.0	12.6	24.8	0.4	2.0	1.8	2010
73.5	0.0	9.1	6.9	0.0	0.0	0.0	0.0	8.2	18.0	11.0	14.9	5.3	2011
90.1	13.5	41.0	2.1	0.0	0.0	0.0	0.0	6.3	5.7	1.0	16.2	4.3	2012
142.0	1.2	88.5	1.4	0.0	0.0	0.0	0.0	30.6	13.8	0.2	0.2	6.2	2013
76.7	3.4	32.3	2.8	0.0	0.0	0.0	0.0	12.8	10.6	3.3	7.8	3.7	2014
76.8	4.2	37.7	1.7	0.0	0.0	0.0	0.0	14.1	8.5	1.2	6.0	3.3	2015
74.1	2.1	37.0	1.6	0.0	0.0	0.0	0.0	16.3	9.3	1.3	3.5	3.1	2016
3444.6	493.5	643.9	156.9	0	0	0	0	232.9	498.8	517.9	390	521.9	المجموع

المصدر: بالاعتماد 1- على بيانات وزارة النقل والمواصلات. الهيئة العامة للأنواء الجوية . قسم المناخ (بيانات غير منشورة). 2016.

2-Ussr Selkhozprom export . General Scheme of Water Resources and Land Development in Iraq .

Ministry of Irrigation . volume III . Book 1.Moscow.Baghdad . 1982 . p.33-44

## الملاحق

ملحق (7) المعدلات الشهرية والمجموع السنوي للامطار الفعالة (مم) وفق طريقة سلخوزبروم لمحطة النجف

السنوات	ك2	شباط	أذار	نيسان	أيار	حزيران	تموز	أب	أيلول	ت1	ت2	ك2	المجموع السنوي
1980	2.9	55.8	3.0	2.0	0.9	0.0	0.0	0.0	0.0	0.3	15.0	6.3	86.1
1981	10.2	5.6	18.3	0.0	0.0	0.0	0.0	0.0	0.0	0.0	1.8	6.0	41.9
1982	34.1	10.8	7.6	29.8	18.8	0.0	0.0	0.0	0.0	19.0	5.8	5.5	131.4
1983	0.7	1.6	3.4	26.4	26.4	0.0	0.0	0.0	0.0	0.0	3.6	31.8	93.8
1984	6.5	0.5	10.1	0.4	13.2	0.0	0.0	0.0	0.0	1.4	38.8	9.6	80.5
1985	13.7	1.3	10.6	0.3	2.0	0.0	0.0	0.0	0.0	0.0	1.3	13.9	43.0
1986	4.2	34.1	12.3	7.8	6.4	0.0	0.0	0.0	0.0	0.0	23.8	0.1	88.7
1987	0.0	5.9	37.3	0.0	0.0	0.0	0.0	0.0	0.0	9.0	11.6	54.0	117.7
1988	24.2	10.1	24.6	38.0	0.0	0.0	0.0	0.0	0.0	0.0	0.0	20.7	117.6
1989	2.2	48.4	25.3	0.0	3.2	0.0	0.0	0.0	0.0	0.0	6.0	0.4	85.6
1990	6.2	13.6	2.5	0.0	0.0	0.0	0.0	0.0	0.0	0.0	0.1	0.0	22.4
1991	3.6	9.0	8.1	10.3	2.6	0.0	0.0	0.0	0.0	5.3	2.8	8.5	50.1
1992	2.5	4.7	15.6	11.6	1.0	0.0	0.0	0.0	0.0	0.0	29.3	18.1	82.8
1993	24.3	17.6	0.4	76.3	6.0	0.0	0.0	0.0	0.0	1.4	7.4	1.5	134.9
1994	18.9	2.6	6.5	3.6	0.5	0.0	0.0	0.0	0.0	15.1	43.5	16.2	106.9
1995	1.8	12.8	7.0	20.2	0.3	0.0	0.0	0.0	0.0	0.0	4.3	3.9	50.2
1996	28.0	10.7	20.1	4.0	2.7	0.0	0.0	0.0	0.0	0.0	0.6	2.2	68.3
1997	9.0	0.5	8.7	3.5	0.5	0.0	0.0	0.0	0.0	26.4	37.7	18.8	105.2
1998	22.8	13.8	26.3	0.0	0.0	0.0	0.0	0.0	0.0	0.0	0.0	0.0	62.9
1999	13.4	5.9	3.0	0.0	0.0	0.0	0.0	0.0	0.0	0.0	4.2	8.5	34.9
2000	7.0	1.2	0.2	1.3	0.0	0.0	0.0	0.0	0.0	4.3	18.1	7.0	39.1
2001	8.5	7.4	3.2	21.8	1.2	0.0	0.0	0.0	0.0	0.3	1.5	13.5	57.5
2002	3.5	3.4	7.4	19.8	3.4	0.0	0.0	0.0	0.0	0.3	3.7	8.7	50.2
2003	19.3	0.0	0.3	21.3	17.1	0.0	0.0	0.0	0.0	0.0	17.7	14.3	90.0
2004	17.4	0.9	0.8	3.7	6.1	0.0	0.0	0.0	0.0	0.0	7.8	1.2	37.9
2005	19.4	7.3	10.2	10.5	0.2	0.0	0.0	0.0	0.0	0.0	4.6	1.4	53.6
2006	17.9	32.5	0.0	31.1	9.6	0.0	0.0	0.0	0.0	2.2	19.0	30.9	143.1
2007	8.7	1.8	0.0	7.1	0.0	0.0	0.0	0.0	0.0	0.0	0.0	9.0	26.5
2008	13.7	0.8	0.4	0.2	1.7	0.0	0.0	0.0	0.0	23.0	0.4	13.9	54.0
2009	0.0	4.4	15.6	14.3	0.2	0.0	0.0	0.0	0.0	5.9	3.6	6.7	50.5
2010	1.9	11.1	4.7	11.4	7.3	0.0	0.0	0.0	0.0	0.0	0.0	3.4	39.8
2011	15.3	14.9	3.8	18.6	1.4	0.0	0.0	0.0	0.0	0.2	0.0	0.8	54.9
2012	0.1	2.9	2.2	0.2	1.4	0.0	0.0	0.0	0.0	1.9	11.0	15.3	35.2
2013	5.7	9.6	3.6	9.8	3.3	0.0	0.0	0.0	0.0	0.6	3.6	6.5	42.8
2014	7.0	9.1	3.2	9.5	2.0	0.0	0.0	0.0	0.0	0.9	4.8	7.5	44.0
2015	4.3	7.2	3.0	6.5	2.2	0.0	0.0	0.0	0.0	1.1	6.4	9.7	40.4
2016	5.7	8.6	3.2	8.6	2.5	0.0	0.0	0.0	0.0	0.9	5.0	7.9	42.3
المجموع	384.6	388.4	312.5	429.9	144.1	0	0	0	0	119.5	344.8	383.7	2506.7

المصدر: بالاعتماد 1- على بيانات وزارة النقل والمواصلات. الهيئة العامة للأمناء الجوية . قسم المناخ (بيانات غير منشورة). 2016.

2-Ussr Selkhozprom export . General Scheme of Water Resources and Land Development in Iraq

Ministry of Irrigation . volume III . Book 1.Moscow.Baghdad . 1982 . p.33-44

## الملاحق

ملحق (8) المعدلات الشهرية والمجموع السنوي للامطار الفعالة (ملم) وفق طريقة سلخوزبروم لمحطة الديوانية

السنوات	ك2	شباط	أذار	نيسان	أيار	حزيران	تموز	أب	أيلول	ت1	ت2	ك2	المجموع السنوي
1980	1.9	43.7	5.2	4.1	0.5	0.0	0.0	0.0	0.0	0.0	9.5	2.3	67.2
1981	10.7	13.8	17.6	0.0	1.4	0.0	0.0	0.0	0.0	0.0	3.9	2.2	49.6
1982	27.2	9.8	8.6	17.4	26.1	0.0	0.0	0.0	0.0	0.0	1.3	2.2	92.6
1983	5.0	1.4	1.4	5.5	17.7	0.0	0.0	0.0	0.0	0.0	1.5	12.9	45.3
1984	3.3	1.4	10.9	9.8	9.3	0.0	0.0	0.0	0.0	0.0	27.0	8.1	69.6
1985	13.2	6.8	4.8	15.3	1.9	0.0	0.0	0.0	0.0	0.0	6.4	14.6	63.0
1986	8.2	31.3	8.7	6.6	2.5	0.0	0.0	0.0	0.0	12.4	13.5	15.9	99.1
1987	13.2	21.7	2.0	2.1	2.7	0.0	0.0	0.0	0.0	24.8	9.8	17.2	93.5
1988	18.1	12.1	22.6	22.0	0.0	0.0	0.0	0.0	0.0	0.0	0.8	18.1	93.8
1989	3.2	27.6	36.4	0.6	14.9	0.0	0.0	0.0	0.0	0.0	7.2	1.3	91.2
1990	10.0	11.6	0.2	6.6	0.0	0.0	0.0	0.0	0.0	0.0	0.0	0.0	28.4
1991	28.5	13.1	13.8	1.5	0.0	0.0	0.0	0.0	0.0	6.3	0.0	14.0	77.2
1992	1.1	6.0	13.3	4.3	0.3	0.0	0.0	0.0	0.0	0.0	45.7	10.3	81.1
1993	37.9	10.4	1.5	67.6	6.4	0.0	0.0	0.0	0.0	2.2	17.9	4.8	148.8
1994	18.3	1.4	3.5	3.2	0.0	0.0	0.0	0.0	0.0	3.1	55.3	20.0	104.7
1995	3.1	13.1	17.6	41.1	0.0	0.0	0.0	0.0	0.0	1.3	0.0	6.7	82.8
1996	22.5	21.1	28.9	8.9	0.8	0.0	0.0	0.0	0.0	0.0	4.3	2.3	88.8
1997	16.5	0.0	12.1	1.6	0.0	0.0	0.0	0.0	0.0	11.8	22.1	18.0	82.1
1998	28.9	14.0	35.6	0.0	0.0	0.0	0.0	0.0	0.0	0.0	2.8	0.0	81.3
1999	20.9	10.5	10.7	0.0	0.0	0.0	0.0	0.0	0.0	4.2	4.6	20.9	71.7
2000	55.5	13.7	0.0	2.7	0.0	0.0	0.0	0.0	0.0	14.6	23.5	49.5	159.6
2001	19.3	12.0	7.1	21.7	0.0	0.0	0.0	0.0	0.0	0.0	0.0	10.8	70.9
2002	10.1	15.4	6.2	92.9	0.2	0.0	0.0	0.0	0.0	15.2	2.8	7.7	150.4
2003	6.0	8.3	1.1	0.7	0.0	0.0	0.0	0.0	0.0	0.0	39.8	29.5	85.3
2004	20.4	1.2	0.0	12.7	0.0	0.0	0.0	0.0	0.0	2.3	2.2	3.4	42.2
2005	26.5	8.4	9.7	5.6	0.0	0.0	0.0	0.0	0.0	0.0	23.0	0.0	73.2
2006	20.9	20.6	6.5	7.6	4.2	0.0	0.0	0.0	0.0	1.8	11.9	5.9	79.3
2007	8.7	6.9	0.5	3.8	1.6	0.0	0.0	0.0	0.0	0.0	0.0	10.5	32.0
2008	16.0	0.7	0.2	2.6	0.8	0.0	0.0	0.0	0.0	6.2	6.0	0.5	33.0
2009	0.0	2.0	6.2	8.4	0.0	0.0	0.0	0.0	0.0	4.4	2.0	12.3	35.3
2010	2.3	3.6	4.1	15.6	7.0	0.0	0.0	0.0	0.0	0.0	0.0	6.5	39.1
2011	19.0	13.2	1.4	22.1	1.7	0.0	0.0	0.0	0.0	1.1	0.0	3.6	62.1
2012	3.4	4.2	0.5	0.0	0.7	0.0	0.0	0.0	0.0	3.2	39.9	18.2	70.0
2013	8.2	7.0	2.0	12.6	3.1	0.0	0.0	0.0	0.0	1.4	13.3	9.4	56.9
2014	10.2	8.1	1.3	11.6	1.8	0.0	0.0	0.0	0.0	1.9	17.7	10.4	63.0
2015	7.2	6.4	1.3	8.0	1.9	0.0	0.0	0.0	0.0	2.2	23.6	12.7	63.3
2016	8.5	7.2	1.5	10.7	2.2	0.0	0.0	0.0	0.0	1.8	18.2	10.8	61.1
المجموع	533.9	409.7	305	457.5	109.7	0	0	0	0	122.2	457.5	393.5	2788.5

المصدر: بالاعتماد 1- على بيانات وزارة النقل والمواصلات. الهيئة العامة للأتواء الجوية. قسم المناخ (بيانات غير منشورة). 2016.

2-Ussr Selkhozprom export . General Scheme of Water Resources and Land Development in

IraqMinistry of Irrigation . volume III . Book 1.Moscow.Baghdad . 1982 . p.33-44

ملحق (9) المعدلات الشهرية والمجموع السنوي للتبخر - نتج الكامن (ملم) وفق طريقة بنمان مونتث لمحطة السماوة

السنوات	ك2	شباط	أذار	نيسان	أيار	حزيران	تموز	أب	أيلول	ت1	ت2	ك2	المجموع السنوي
1980	65	74	142	199	257	309	311	287	215	170	95	71	2206
1981	61	74	115	199	256	270	327	288	233	152	104	57	2137
1982	52	70	125	152	199	266	270	281	209	140	88	65	1916
1983	51	91	129	18	233	261	281	269	176	153	94	55	1964
1984	69	90	137	204	262	330	321	305	216	170	88	64	2257
1985	69	102	143	219	253	298	330	252	231	183	92	59	2231
1986	70	82	133	190	283	145	327	303	204	179	88	73	2078
1987	66	87	130	192	237	283	274	286	250	178	108	85	2176
1988	55	77	142	187	252	288	331	289	262	213	125	67	2287
1989	67	78	142	185	251	292	319	276	234	182	94	71	2191
1990	57	72	127	187	241	269	302	275	226	149	97	68	2070
1991	52	67	111	160	215	253	270	248	219	129	89	71	1884
1992	56	73	139	163	240	243	311	288	199	149	105	69	2035
1993	54	90	117	162	208	236	279	195	217	111	70	41	1778
1994	50	64	112	155	204	254	300	307	139	149	88	53	1875
1995	55	71	123	186	274	294	351	288	195	171	99	56	2165
1996	59	65	115	193	268	315	297	284	211	178	82	61	2129
1997	60	84	141	171	230	266	339	341	260	139	84	57	2153
1998	58	79	113	168	228	283	276	249	206	148	75	57	1940
1999	47	58	103	195	221	242	381	331	222	146	95	64	2105
2000	69	92	178	220	282	373	338	278	305	193	81	66	2575
2001	54	97	161	220	354	419	400	348	286	213	161	72	2787
2002	66	100	167	204	303	364	354	389	257	165	109	62	2539
2003	57	87	152	193	279	344	322	328	253	171	102	61	2349
2004	55	85	144	188	282	335	313	312	233	164	87	61	2259
2005	55	81	143	180	265	324	294	305	252	194	103	59	2256
2006	53	79	145	195	293	331	330	280	233	226	131	68	2365
2007	67	91	174	244	318	369	350	330	243	170	116	91	2573
2008	74	112	152	195	251	354	322	261	204	164	80	84	2398
2009	81	96	160	192	262	309	343	279	224	185	86	65	2282
2010	73	88	144	184	251	283	312	257	215	170	102	92	2169
2011	75	82	144	214	282	313	338	268	250	195	95	77	2332
2012	72	109	179	202	280	318	334	321	249	167	89	62	2381
2013	66	97	151	191	240	321	318	276	232	173	87	72	2224
2014	51	84	141	179	243	276	291	253	217	155	87	67	2044
2015	58	88	141	170	224	272	281	256	208	150	82	61	1989
2016	54	82	131	163	212	257	265	238	198	143	78	61	1882
المجموع	2253	3098	5146	6819	9433	10959	11702	10621	8383	6187	3536	2445	80981

المصدر: بالاعتماد

- 1- على بيانات وزارة النقل والمواصلات. الهيئة العامة للأنواء الجوية . قسم المناخ (بيانات غير منشورة). 2016.
- 2- معادلة بنمان مونتث لمنظمة الاغذية والزراعة

ملحق (10) المعدلات الشهرية والمجموع السنوي للتبخر -نتح الكامن (ملم) وفق طريقة بنمان مونتث لمحطة الناصرية

السنوات	ك2	شباط	أذار	نيسان	أيار	حزيران	تموز	أب	أيلول	ت1	ت2	ك2	المجموع السنوي
1980	66	67	144	228	299	388	367	351	259	208	103	71	2551
1981	71	99	144	198	277	321	326	326	228	162	114	58	2325
1982	50	63	108	172	235	326	373	377	236	172	95	76	2284
1983	66	97	133	185	270	372	417	381	288	217	139	75	2640
1984	78	114	155	225	287	428	407	403	309	218	85	75	2783
1985	70	105	148	232	296	446	482	318	300	235	108	63	2803
1986	74	84	165	188	304	398	430	392	207	232	99	68	2641
1987	83	120	153	244	339	417	420	386	324	205	142	79	2912
1988	66	89	158	195	311	333	382	323	270	195	126	75	2523
1989	74	76	136	199	314	400	471	432	305	253	120	72	2852
1990	60	83	177	233	342	435	468	454	371	215	133	93	3064
1991	54	84	155	287	360	367	452	380	336	158	137	86	2856
1992	67	83	115	210	269	359	466	364	264	201	101	66	2565
1993	53	80	148	164	266	378	452	339	300	168	114	65	2527
1994	72	103	169	226	320	384	347	319	184	164	105	67	2459
1995	55	78	144	205	292	363	455	401	231	174	130	52	2580
1996	57	76	126	206	283	370	384	360	325	202	100	77	2566
1997	72	86	120	174	238	279	420	370	217	163	80	60	2279
1998	53	74	120	192	261	337	347	331	296	174	107	77	2370
1999	66	68	125	201	300	366	406	387	286	177	95	56	2533
2000	61	87	165	198	298	371	347	315	252	170	72	52	2386
2001	62	88	159	203	277	342	330	288	242	187	93	55	2326
2002	63	92	161	170	253	314	328	361	281	175	112	52	2362
2003	64	85	124	174	259	301	291	321	238	163	106	59	2185
2004	57	75	142	201	226	290	300	304	195	145	108	58	2101
2005	64	72	131	186	225	368	330	292	250	157	86	65	2226
2006	56	71	150	178	253	334	370	321	243	183	96	47	2302
2007	54	81	133	173	238	316	306	299	272	170	111	74	2229
2008	50	95	138	207	249	341	317	297	233	174	93	77	2271
2009	68	93	149	179	245	307	338	316	239	197	94	70	2296
2010	87	100	173	191	256	327	330	288	237	199	106	87	2381
2011	86	85	155	180	257	306	331	293	230	204	103	78	2308
2012	72	89	143	203	262	322	347	321	248	164	92	75	2338
2013	71	99	173	194	236	298	337	318	238	178	92	71	2305
2014	76	91	157	192	252	309	338	311	239	182	96	75	2317
2015	73	93	158	196	250	310	341	317	242	175	93	74	2320
2016	73	94	163	194	246	305	339	315	239	178	94	73	2314
المجموع	2444	3219	5417	7383	10145	12928	13892	12671	9654	6894	3880	2553	91080

المصدر: بالاعتماد

- 1- على بيانات وزارة النقل والمواصلات. الهيئة العامة للأتواء الجوية . قسم المناخ (بيانات غير منشورة).2016.
- 2- معادلة بنمان مونتث لمنظمة الاغذية والزراعة

ملحق (11) المعدلات الشهرية والمجموع السنوي للتبخر - نتج الكامن (ملم) وفق طريقة بنمان مونتث لمحطة النجف

السنوات	ك2	شباط	أذار	نيسان	أيار	حزيران	تموز	أب	أيلول	ت1	ت2	ك2	المجموع السنوي
1980	55	65	128	189	247	335	314	287	201	149	81	57	2105
1981	57	76	119	168	208	255	317	252	188	125	80	51	1896
1982	42	55	109	145	216	310	314	338	201	140	71	46	1989
1983	49	68	104	150	210	277	322	309	215	161	89	48	2002
1984	51	79	117	176	217	302	279	256	176	130	65	47	1896
1985	50	73	103	172	205	269	278	233	172	120	71	41	1788
1986	49	68	109	146	218	255	276	252	232	151	77	54	1887
1987	52	92	111	185	229	281	285	262	193	127	76	55	1949
1988	43	67	113	137	232	237	313	240	194	151	86	51	1865
1989	51	62	117	174	236	328	360	288	205	162	90	59	2132
1990	55	73	152	185	275	347	366	325	255	159	103	66	2362
1991	50	72	123	170	244	313	323	261	209	120	96	58	2039
1992	49	69	95	161	213	261	335	266	189	148	74	46	1905
1993	47	63	121	136	197	279	322	262	197	140	83	48	1895
1994	43	75	121	180	226	298	307	268	174	123	66	36	1920
1995	38	60	111	161	220	257	291	253	173	119	64	31	1780
1996	41	52	96	140	189	232	276	216	196	129	58	45	1671
1997	46	60	100	136	191	223	294	262	159	110	60	37	1677
1998	39	56	89	159	213	261	268	229	185	125	60	55	1738
1999	41	56	118	156	196	218	267	246	167	119	69	42	1695
2000	40	56	102	154	184	248	229	206	166	99	51	38	1575
2001	36	56	102	140	211	271	242	205	168	130	73	42	1677
2002	41	67	124	147	203	264	233	259	200	129	74	37	1777
2003	40	59	117	147	200	247	298	264	189	124	68	35	1788
2004	39	61	148	179	226	302	289	235	198	120	77	49	1924
2005	51	62	110	115	216	267	293	244	132	129	64	52	1735
2006	44	64	125	153	213	308	319	264	195	141	75	31	1931
2007	42	67	117	150	217	275	278	254	227	139	77	51	1895
2008	42	69	129	172	205	295	270	225	177	131	71	63	1850
2009	53	71	122	142	188	228	270	219	190	131	67	50	1731
2010	66	81	126	140	204	249	289	229	212	137	82	52	1867
2011	54	74	126	151	199	257	276	224	193	133	73	55	1816
2012	58	75	125	144	197	245	278	224	198	134	74	52	1805
2013	59	77	125	145	200	250	281	226	201	135	76	53	1829
2014	57	75	125	147	199	251	279	225	197	134	75	53	1816
2015	58	76	125	146	199	249	279	225	199	134	75	53	1817
2016	58	76	125	146	199	250	280	225	199	134	75	53	1821
المجموع	1786	2507	4329	5744	7842	9994	10790	9258	7122	4922	2746	1792	68845

المصدر: بالاعتماد

1- على بيانات وزارة النقل والمواصلات. الهيئة العامة للأشياء الجوية . قسم المناخ (بيانات غير منشورة). 2016.

2- معادلة بنمان مونتث لمنظمة الاغذية والزراعة



ملحق (12) المعدلات الشهرية والمجموع السنوي للتبخر - نتج الكامن (ملم) وفق طريقة بنمان مونتث لمحطة الديوانية

السنوات	ك2	شباط	أذار	نيسان	أيار	حزيران	تموز	أب	أيلول	ت1	ت2	ك2	المجموع السنوي
1980	63	67	140	228	285	374	358	336	251	198	105	68	2475
1981	72	96	138	199	282	317	331	327	231	263	120	67	2343
1982	51	61	113	170	240	328	383	371	250	181	99	77	2322
1983	71	96	129	182	269	334	400	375	272	204	130	64	2527
1984	67	112	157	223	282	419	402	394	305	218	95	80	2750
1985	75	102	146	228	299	423	458	314	289	226	103	53	2716
1986	70	81	146	191	304	393	421	386	207	226	103	75	2602
1987	76	107	136	223	323	393	399	365	312	186	123	72	2714
1988	57	89	148	189	310	337	382	322	272	202	125	76	2511
1989	71	76	137	216	343	415	456	419	291	254	114	74	2867
1990	68	91	140	209	326	382	412	369	292	214	121	74	2697
1991	55	81	144	274	343	365	445	359	324	157	133	89	2769
1992	70	90	124	215	279	365	451	357	263	199	97	69	2578
1993	55	84	142	170	254	358	431	329	292	164	112	62	2453
1994	69	69	164	226	320	374	334	307	182	162	95	63	2391
1995	54	77	142	201	285	353	429	379	225	169	122	50	2487
1996	59	81	131	208	288	354	372	347	307	193	93	71	2505
1997	70	82	123	173	234	374	400	350	213	161	69	58	2207
1998	48	69	120	202	259	328	341	321	279	167	100	65	2299
1999	65	67	128	191	295	351	382	365	365	168	91	55	2424
2000	56	81	151	196	292	357	343	309	241	154	68	49	2296
2001	29	83	155	202	258	332	324	338	253	169	89	55	2324
2002	59	86	158	167	249	308	321	347	270	173	109	48	2295
2003	59	82	158	204	253	355	335	356	241	178	118	50	2388
2004	56	78	144	206	228	299	286	292	191	139	110	61	2099
2005	68	75	139	194	223	370	320	292	243	152	84	68	2227
2006	86	78	156	180	247	327	355	319	238	179	97	49	2285
2007	55	80	142	178	237	315	294	298	266	172	108	79	2223
2008	51	98	143	216	245	341	304	293	232	175	93	79	2272
2009	70	95	155	181	248	305	322	306	232	185	86	64	2247
2010	86	100	177	191	256	322	330	287	236	198	104	86	2379
2011	85	85	154	179	256	307	331	292	230	202	103	77	2300
2012	70	88	143	202	261	322	346	321	247	163	91	74	2328
2013	72	87	142	199	260	315	349	310	241	168	89	74	2305
2014	76	87	146	194	259	314	342	308	239	178	94	75	2311
2015	73	87	144	198	260	317	346	313	242	170	91	74	2315
2016	74	87	144	197	259	315	345	310	241	172	91	74	2310
المجموع	2411	3135	5299	7402	10111	12858	13580	12383	9505	6839	3775	2498	89542

المصدر: بالاعتماد

1- على بيانات وزارة النقل والمواصلات. الهيئة العامة للأنواء الجوية . قسم المناخ (بيانات غير منشورة). 2016.

2- معادلة بنمان مونتث لمنظمة الاغذية والزراعة

ملحق (13) الموازنة المائية المناخية (ملم) وفق معادلة بنمان مونتث لمنظمة الاغذية والزراعة لمحطة السماوة

السنوات	ك2	شباط	أذار	نيسان	أيار	حزيران	تموز	أب	أيلول	ت1	ت2	ك2	المجموع السنوي
1980	63-	19-	140-	197-	256-	309-	311-	287-	215-	170-	87-	68-	2122-
1981	49-	70-	80-	198-	9.15	270-	327-	288-	233-	151-	103-	55-	1825-
1982	30-	66-	122-	145-	186-	266-	270-	281-	209-	140-	82-	62-	1859-
1983	47-	90-	127-	16-	210-	261-	281-	269-	176-	153-	93-	50-	1772-
1984	60-	89-	128-	200-	259-	330-	321-	305-	216-	170-	62-	60-	2202-
1985	53-	102-	142-	218-	439-	298-	330-	252-	231-	183-	91-	57-	2396-
1986	61-	59-	116-	187-	540-	145-	327-	303-	204-	179-	52-	73-	2247-
1987	66-	83-	110-	192-	232-	283-	274-	286-	250-	166-	96-	70-	2109-
1988	45-	73-	133-	169-	252-	288-	331-	289-	262-	354-	180-	56-	2431-
1989	66-	63-	121-	184-	249-	292-	319-	276-	234-	369-	91-	70-	2336-
1990	48-	63-	126-	187-	240-	269-	302-	275-	226-	149-	97-	114-	2095-
1991	22-	116-	213-	313-	426-	253-	270-	248-	219-	125-	81-	60-	2345-
1992	49-	68-	111-	159-	239-	243-	311-	288-	199-	321-	71-	54-	2112-
1993	23-	75-	114-	129-	197-	236-	279-	195-	217-	106-	59-	39-	1669-
1994	22-	64-	107-	154-	448-	254-	300-	307-	139-	141-	66-	31-	2033-
1995	23-	56-	122-	151-	271-	294-	351-	288-	195-	171-	99-	40-	2061-
1996	39-	37-	85-	189-	268-	315-	297-	284-	211-	178-	80-	57-	2041-
1997	45-	123-	125-	167-	510-	266-	339-	341-	260-	107-	47-	40-	2371-
1998	34-	75-	24-	160-	224-	283-	276-	249-	206-	148-	75-	57-	1811-
1999	18	18	102-	194-	221-	242-	381-	331-	222-	146-	82-	56-	1940-
2000	41-	83-	177-	219-	281-	373-	338-	278-	305-	181-	63-	51-	2392-
2001	48-	92-	145-	212-	348-	419-	400-	348-	286-	213-	159-	57-	2729-
2002	50-	98-	152-	181-	543-	364-	354-	389-	257-	165-	107-	55-	2716-
2003	90-	155-	278-	367-	611-	344-	322-	328-	253-	320-	179-	99-	3346-
2004	99-	171-	297-	403-	707-	335-	313-	312-	233-	351-	191-	110-	3522-
2005	111-	187-	337-	449-	793-	324-	294-	305-	252-	416-	95-	59-	3623-
2006	41-	59-	137-	194-	292-	331-	330-	280-	233-	224-	118-	8-	2245-
2007	62-	90-	159-	230-	318-	369-	350-	330-	243-	170-	116-	78-	2514-
2008	57-	110-	152-	195-	249-	354-	322-	261-	204-	145-	79-	84-	2211-
2009	119-	91-	153-	188-	257-	309-	343-	279-	224-	178-	85-	52-	2278-
2010	72-	84-	141-	168-	242-	283-	312-	257-	215-	301-	101-	87-	2264-
2011	69-	64-	140-	196-	281-	313-	338-	268-	250-	194-	157-	129-	2400-
2012	67-	105-	176-	359-	279-	318-	334-	321-	249-	156-	60-	38-	2462-
2013	51-	96-	150-	395-	190-	321-	318-	276-	232-	173-	28	71-	2246-
2014	23-	82-	127-	157-	243-	276-	291-	253-	217-	150-	77-	65-	1961-
2015	91-	159-	262-	428-	426-	272-	281-	256-	208-	277-	107-	101-	2867-
2016	92-	166-	275-	440-	455-	257-	265-	238-	198-	303-	115-	117-	2922-
المجموع	2010-	3265-	5606-	8290-	12182-	10959-	11702-	10621-	8383-	7544-	3475-	2430-	86475-

المصدر: بالاعتماد

- 1- على بيانات وزارة النقل والمواصلات. الهيئة العامة للأنواء الجوية . قسم المناخ (بيانات غير منشورة).2016.
- 2- معادلة بنمان مونتث لمنظمة الاغذية والزراعة

ملحق (14) الموازنة المائية المناخية (ملم) وفق معادلة بنمان مونتث لمنظمة الاغذية والزراعة لمحطة الناصرية

السنوات	ك2	شباط	أذار	نيسان	أيار	حزيران	تموز	أب	أيلول	ت1	ت2	ك2	المجموع السنوي
1980	54-	64-	128-	220-	279-	388-	367-	351-	259-	208-	89-	63-	2470-
1981	59-	97-	130-	191-	260-	321-	326-	326-	228-	162-	87-	46-	2232-
1982	33-	59-	91-	164-	219-	326-	373-	377-	236-	172-	74-	65-	2191-
1983	58-	95-	115-	176-	243-	372-	417-	381-	288-	217-	139-	74-	2573-
1984	66-	114-	148-	220-	280-	428-	407-	403-	309-	218-	24-	51-	2667-
1985	41-	8. 12	144-	223-	283-	446-	482-	318-	300-	235-	107-	57-	2636-
1986	47-	67-	132-	185-	299-	398-	430-	392-	207-	232-	34-	43-	2465-
1987	83-	117-	129-	422-	336-	417-	420-	386-	324-	191-	140-	68-	3032-
1988	49-	80-	150-	158-	311-	333-	382-	323-	270-	TR.	126-	61-	2243-
1989	74-	52-	110-	415-	312-	400-	471-	432-	305-	TR.	107-	60-	2738-
1990	50-	63-	164-	229-	614-	435-	468-	454-	371-	215-	220-	92-	3374-
1991	7-	56-	152-	264-	360-	367-	452-	380-	336-	118-	135-	71-	2698-
1992	59-	74-	92-	210-	633-	359-	466-	364-	264-	201-	79-	44-	2845-
1993	32-	60-	147-	137-	261-	378-	452-	339-	300-	160-	109-	61-	2437-
1994	54-	151-	167-	217-	319-	384-	347-	319-	184-	161-	78-	48-	2429-
1995	34-	61-	135-	190-	285-	363-	455-	401-	231-	174-	192-	37-	2558-
1996	6-	53-	84-	201-	282-	370-	384-	360-	325-	202-	92-	73-	2432-
1997	53-	152-	102-	165-	238-	279-	420-	370-	217-	152-	46-	34-	2228-
1998	29-	70-	48-	174-	260-	337-	TR.	331-	296-	174-	184-	77-	1979-
1999	51-	16-	106-	354-	300-	366-	406-	387-	286-	TR.	85-	37-	2393-
2000	46-	84-	164-	197-	297-	371-	347-	315-	252-	167-	67-	5-	2311-
2001	59-	86-	152-	408-	277-	342-	330-	288-	242-	187-	91-	25-	2486-
2002	56-	86-	152-	80-	252-	314-	328-	361-	281-	174-	106-	48-	2239-
2003	101-	149-	249-	368-	493-	301-	291-	321-	238-	304-	167-	77-	3060-
2004	37-	75-	141-	179-	226-	290-	300-	304-	195-	145-	89-	46-	2028-
2005	32-	71-	104-	183-	500-	368-	330-	292-	250-	157-	86-	50-	2423-
2006	37-	26-	145-	157-	251-	334-	370-	321-	243-	161-	84-	10	2120-
2007	48-	81-	72-	168-	515-	316-	306-	299-	272-	170-	171-	59-	2477-
2008	36-	87-	138-	206-	249-	341-	317-	297-	233-	148-	93-	77-	2221-
2009	68-	88-	134-	175-	244-	307-	338-	316-	239-	197-	93-	54-	2252-
2010	85-	98-	173-	166-	243-	327-	330-	288-	237-	199-	106-	82-	2334-
2011	81-	70-	144-	162-	249-	306-	331-	293-	230-	349-	94-	78-	2386-
2012	68-	73-	142-	197-	471-	322-	347-	321-	248-	162-	51-	61-	2463-
2013	65-	99-	173-	343-	205-	298-	337-	318-	238-	177-	4-	70-	2326-
2014	126-	151-	279-	391-	514-	309-	338-	311-	239-	365-	130-	124-	3277-
2015	133-	174-	316-	460-	587-	310-	341-	317-	242-	362-	136-	133-	3511-
2016	149-	200-	367-	533-	616-	305-	339-	315-	239-	419-	157-	149-	3789-
المجموع	2166-	3199-	5519-	8888-	12563-	12928-	13545-	12671-	9654-	7035-	3872-	2290-	94323-

المصدر: بالاعتماد

- 1- على بيانات وزارة النقل والمواصلات. الهيئة العامة للأنواء الجوية . قسم المناخ (بيانات غير منشورة). 2016.
- 2- معادلة بنمان مونتث لمنظمة الاغذية والزراعة

ملحق (15) الموازنة المائية المناخية (ملم) وفق معادلة بنمان مونتث لمنظمة الاغذية والزراعة لمحطة النجف

المجموع السنوي	ك2	ت2	ت1	أيلول	أب	تموز	حزيران	أيار	نيسان	آذار	شباط	ك2	السنوات
2022-	51-	66-	149-	201-	287-	314-	335-	246-	187-	125-	9-	52-	1980
1854-	45-	78-	125-	188-	252-	317-	255-	208-	168-	101-	70-	47-	1981
1856-	41-	65-	121-	201-	338-	314-	310-	197-	115-	101-	44-	8-	1982
1908-	16-	85-	161-	215-	309-	322-	277-	184-	124-	101-	66-	48-	1983
1814-	37-	26-	129-	176-	256-	279-	302-	204-	176-	107-	78-	44-	1984
1744-	27-	70-	120-	172-	233-	278-	269-	203-	172-	92-	72-	36-	1985
1798-	54-	53-	151-	232-	252-	276-	255-	212-	138-	97-	34-	45-	1986
1830-	1-	64-	118-	193-	262-	285-	281-	229-	185-	74-	86-	52-	1987
1746-	30-	86-	151-	194-	240-	313-	237-	232-	99-	88-	57-	19-	1988
2046-	59-	84-	162-	205-	288-	360-	328-	233-	174-	92-	14-	49-	1989
2339-	66-	103-	159-	255-	325-	366-	347-	275-	185-	150-	59-	49-	1990
1989-	49-	93-	115-	209-	261-	323-	313-	241-	160-	115-	63-	46-	1991
1823-	28-	45-	148-	189-	266-	335-	261-	212-	149-	79-	64-	47-	1992
1760-	47-	76-	139-	197-	262-	322-	279-	191-	60-	121-	45-	23-	1993
1810-	20-	22-	108-	174-	268-	307-	298-	225-	176-	115-	72-	24-	1994
1728-	27-	60-	119-	173-	253-	291-	257-	220-	141-	104-	47-	36-	1995
1602-	43-	57-	129-	196-	216-	276-	232-	186-	136-	76-	41-	13-	1996
1573-	18-	22-	84-	159-	262-	294-	223-	190-	133-	91-	59-	37-	1997
1676-	55-	60-	125-	185-	229-	268-	261-	213-	159-	63-	42-	16-	1998
1660-	34-	65-	119-	167-	246-	267-	218-	196-	156-	115-	50-	28-	1999
1534-	31-	33-	95-	166-	206-	229-	248-	184-	153-	102-	55-	33-	2000
1619-	28-	71-	130-	168-	205-	242-	271-	210-	118-	99-	49-	28-	2001
1728-	28-	70-	129-	200-	259-	233-	264-	200-	127-	117-	64-	38-	2002
1698-	21-	50-	124-	189-	264-	298-	247-	183-	126-	117-	59-	21-	2003
1885-	48-	69-	120-	198-	235-	289-	302-	220-	175-	147-	60-	22-	2004
1681-	51-	59-	129-	132-	244-	293-	267-	216-	104-	100-	55-	32-	2005
1789-	0	56-	139-	195-	264-	319-	308-	203-	122-	125-	32-	26-	2006
1868-	42-	77-	139-	227-	254-	278-	275-	217-	143-	117-	65-	33-	2007
1795-	49-	71-	108-	177-	225-	270-	295-	203-	172-	129-	68-	28-	2008
1680-	43-	63-	125-	190-	219-	270-	228-	188-	128-	106-	67-	53-	2009
1827-	49-	82-	137-	212-	229-	289-	249-	197-	129-	121-	70-	64-	2010
1761-	54-	73-	133-	193-	224-	276-	257-	198-	133-	122-	59-	38-	2011
1769-	37-	63-	132-	198-	224-	278-	245-	196-	144-	122-	72-	57-	2012
1786-	47-	73-	134-	201-	226-	281-	250-	197-	135-	122-	67-	53-	2013
1772-	46-	70-	133-	197-	225-	279-	251-	197-	137-	122-	66-	50-	2014
1776-	43-	69-	133-	199-	225-	279-	249-	196-	139-	122-	68-	54-	2015
1778-	45-	70-	133-	199-	225-	280-	250-	197-	137-	122-	67-	52-	2016
66324-	1410-	2399-	4805-	7122-	9258-	10790-	9994-	7699-	5315-	4019-	2115-	1401-	المجموع

المصدر: بالاعتماد

- 1- على بيانات وزارة النقل والمواصلات. الهيئة العامة للأمناء الجوية . قسم المناخ (بيانات غير منشورة). 2016.
- 2- معادلة بنمان مونتث لمنظمة الاغذية والزراعة

ملحق (16) الموازنة المائية المناخية (ملم) وفق معادلة بنمان مونتث لمنظمة الاغذية والزراعة لمحطة الديوانية

السنوات	ك2	شباط	أذار	نيسان	أيار	حزيران	تموز	أب	أيلول	ت1	ت2	ك2	المجموع السنوي
1980	61-	23-	135-	224-	285-	374-	358-	336-	251-	198-	96-	66-	2408-
1981	61-	82-	121-	199-	281-	317-	331-	327-	231-	263-	116-	65-	2394-
1982	24-	51-	104-	153-	214-	328-	383-	371-	250-	181-	97-	74-	2230-
1983	66-	95-	127-	177-	252-	334-	400-	375-	272-	204-	129-	51-	2482-
1984	64-	110-	146-	213-	273-	419-	402-	394-	305-	218-	68-	72-	2683-
1985	62-	95-	141-	212-	297-	423-	458-	314-	289-	226-	96-	38-	2653-
1986	62-	50-	137-	185-	302-	393-	421-	386-	207-	214-	89-	59-	2503-
1987	63-	86-	134-	221-	321-	393-	399-	365-	312-	161-	113-	55-	2621-
1988	39-	77-	126-	167-	310-	337-	382-	322-	272-	202-	124-	58-	2417-
1989	68-	49-	100-	215-	328-	415-	456-	419-	291-	254-	107-	72-	2775-
1990	58-	79-	140-	203-	326-	382-	412-	369-	292-	214-	121-	74-	2669-
1991	26-	68-	130-	273-	343-	365-	445-	359-	324-	151-	133-	75-	2692-
1992	69-	84-	110-	211-	279-	365-	451-	357-	263-	199-	52-	58-	2497-
1993	17-	74-	140-	103-	248-	358-	431-	329-	292-	162-	94-	57-	2304-
1994	50-	68-	160-	223-	320-	374-	334-	307-	182-	159-	39-	43-	2259-
1995	51-	64-	124-	160-	285-	353-	429-	379-	225-	167-	122-	43-	2404-
1996	36-	60-	102-	200-	288-	354-	372-	347-	307-	193-	89-	69-	2417-
1997	53-	82-	111-	171-	234-	374-	400-	350-	213-	150-	47-	40-	2225-
1998	19-	55-	85-	202-	259-	328-	341-	321-	279-	167-	97-	65-	2218-
1999	44-	57-	118-	191-	295-	351-	382-	365-	365-	164-	86-	34-	2452-
2000	1-	67-	151-	193-	292-	357-	343-	309-	241-	140-	45-	0	2137-
2001	9-	71-	148-	180-	258-	332-	324-	338-	253-	169-	89-	45-	2217-
2002	49-	71-	151-	74-	248-	308-	321-	347-	270-	157-	106-	40-	2145-
2003	53-	73-	157-	203-	253-	355-	335-	356-	241-	178-	78-	20-	2303-
2004	35-	77-	144-	194-	228-	299-	286-	292-	191-	137-	108-	57-	2047-
2005	42-	66-	130-	188-	223-	370-	320-	292-	243-	152-	61-	68-	2154-
2006	65-	58-	150-	172-	243-	327-	355-	319-	238-	177-	85-	44-	2233-
2007	46-	73-	141-	174-	235-	315-	294-	298-	266-	172-	108-	68-	2191-
2008	35-	97-	142-	214-	245-	341-	304-	293-	232-	169-	87-	79-	2239-
2009	70-	93-	148-	173-	248-	305-	322-	306-	232-	181-	84-	52-	2214-
2010	84-	97-	173-	175-	249-	322-	330-	287-	236-	198-	104-	80-	2334-
2011	66-	72-	152-	157-	255-	307-	331-	292-	230-	201-	103-	73-	2238-
2012	67-	84-	143-	202-	260-	322-	346-	321-	247-	160-	51-	56-	2258-
2013	64-	80-	140-	186-	256-	315-	349-	310-	241-	167-	75-	65-	2248-
2014	142-	165-	291-	376-	516-	629-	684-	616-	479-	353-	170-	139-	4559-
2015	164-	197-	335-	453-	604-	738-	805-	729-	565-	396-	190-	161-	5336-
2016	197-	235-	399-	535-	718-	876-	958-	862-	669-	477-	237-	196-	6358-
المجموع	2182-	3085-	5586-	7752-	11071-	14155-	14994-	13659-	10496-	7431-	3696-	2411-	96514-

المصدر: بالاعتماد

- 1- على بيانات وزارة النقل والمواصلات. الهيئة العامة للأنواء الجوية . قسم المناخ (بيانات غير منشورة).2016.
- 2- معادلة بنمان مونتث لمنظمة الاغذية والزراعة

ملحق (17) قابلية المطر على التعرية حسب مؤشر فورنييه - ارنولدس لمجموع الامطار السنوية لمحطة السماوة

السنوات	مجموع الامطار ملم	تربيع الامطار ملم	مؤشر فورنييه	وصف
1980	98.2	9643.24	2.39	ضعيفة
1981	73.1	5343.61	1.32	ضعيفة
1982	75.3	5670.09	1.40	ضعيفة
1983	48.9	2391.21	0.59	ضعيفة
1984	74.5	5550.25	1.37	ضعيفة
1985	44.4	1971.36	0.49	ضعيفة
1986	136.0	18496	4.58	ضعيفة
1987	87.4	7638.76	1.89	ضعيفة
1988	96.9	9389.61	2.32	ضعيفة
1989	60.5	3660.25	0.91	ضعيفة
1990	38.9	1513.21	0.37	ضعيفة
1991	113.3	12836.89	3.18	ضعيفة
1992	134.2	18009.64	4.45	ضعيفة
1993	142.9	20420.41	5.05	ضعيفة
1994	127.4	16230.67	4.02	ضعيفة
1995	137.4	18878.76	4.67	ضعيفة
1996	116.5	13572.25	3.36	ضعيفة
1997	185.4	34373.16	8.50	ضعيفة
1998	165.6	27423.36	6.79	ضعيفة
1999	228.3	52120.89	12.90	ضعيفة
2000	115.0	13225	3.27	ضعيفة
2001	76.2	5806.44	1.44	ضعيفة
2002	85.1	7242.01	1.79	ضعيفة
2003	92.1	8482.41	2.10	ضعيفة
2004	84.5	7140.25	1.77	ضعيفة
2005	78.4	6146.56	1.52	ضعيفة
2006	165.9	27522.81	6.81	ضعيفة
2007	62.3	3881.29	0.96	ضعيفة
2008	57.0	3294	0.80	ضعيفة
2009	70.7	4998.49	1.24	ضعيفة
2010	57.9	3352.41	0.83	ضعيفة
2011	68.2	4651.24	1.15	ضعيفة
2012	119.9	14376.01	3.56	ضعيفة
2013	265.8	70649.64	17.49	ضعيفة
2014	110.0	12100	3.00	ضعيفة
2015	165.2	27291.04	6.76	ضعيفة
2016	180.3	32508.09	8.05	ضعيفة
المجموع	4040	537801	133	ضعيفة

المصدر: بالاعتماد

1- على بيانات وزارة النقل والمواصلات. الهيئة العامة للأنواء الجوية . قسم المناخ (بيانات غير منشورة).2016.

2- معادلة (فورنييه - ارنولدس F-A-I)



ملحق (18) قابلية المطر على التعرية حسب مؤشر فورنييه - ارنولدس لمجموع الامطار السنوية لمحطة الناصرية

السنوات	مجموع الامطار ملم	تربيع الامطار ملم	مؤشر فورنييه	وصف
1980	105.4	11109.16	2.29	ضعيفة
1981	122.2	14932.84	3.08	ضعيفة
1982	122.1	14908.41	3.08	ضعيفة
1983	82.7	6839.29	1.41	ضعيفة
1984	162.7	26471.29	5.46	ضعيفة
1985	83.1	6905.61	1.42	ضعيفة
1986	242.2	58660.84	12.10	ضعيفة
1987	81.4	6625.96	1.37	ضعيفة
1988	109.9	12078.01	2.49	ضعيفة
1989	121.9	14859.61	3.07	ضعيفة
1990	73.2	5358.24	1.10	ضعيفة
1991	235.7	55554.49	11.46	ضعيفة
1992	116.3	13525.69	2.79	ضعيفة
1993	117.6	13829.76	2.85	ضعيفة
1994	143.2	20506.24	4.23	ضعيفة
1995	137.2	18823.84	3.88	ضعيفة
1996	180.8	32688.64	6.74	ضعيفة
1997	186.1	34633.21	7.15	ضعيفة
1998	181.4	32905.96	6.79	ضعيفة
1999	169.9	28866.01	5.96	ضعيفة
2000	108.0	11664	2.41	ضعيفة
2001	74.7	5580.09	1.15	ضعيفة
2002	151.0	22801	4.70	ضعيفة
2003	111.2	12365.44	2.55	ضعيفة
2004	98.6	9721.96	2.01	ضعيفة
2005	106.3	11299.69	2.33	ضعيفة
2006	245.8	60417.64	12.46	ضعيفة
2007	128.1	16409.61	3.39	ضعيفة
2008	65.5	4290.25	0.89	ضعيفة
2009	56.9	3273.61	0.67	ضعيفة
2010	57.6	3317.76	0.68	ضعيفة
2011	95.9	9196.81	1.90	ضعيفة
2012	124.9	15600.01	3.22	ضعيفة
2013	194.2	37713.64	7.78	ضعيفة
2014	138.3	19126.89	3.95	ضعيفة
2015	152.5	23256.25	4.80	ضعيفة
2016	161.7	26146.89	5.39	ضعيفة
المجموع	4847	722265	149	ضعيفة

المصدر: بالاعتماد

1- على بيانات وزارة النقل والمواصلات. الهيئة العامة للأنواء الجوية . قسم المناخ (بيانات غير منشورة). 2016.

2- معادلة (فورنييه - ارنولدس F-A-I)

ملحق (19) قابلية المطر على التعرية حسب مؤشر فورنييه - ارنولدس لمجموع الامطار السنوية لمحطة النجف

السنوات	مجموع الامطار ملم	تربيع الامطار ملم	مؤشر فورنييه	وصف
1980	116.4	13548.96	4.08	ضعيفة
1981	56.0	3136	0.94	ضعيفة
1982	169.7	28798.09	8.67	ضعيفة
1983	119.9	14376.01	4.33	ضعيفة
1984	109.5	11990.25	3.61	ضعيفة
1985	58.8	3457.44	1.04	ضعيفة
1986	117.7	13853.29	4.17	ضعيفة
1987	159.3	25376.49	7.64	ضعيفة
1988	153.0	23409	7.05	ضعيفة
1989	112.3	12611.29	3.80	ضعيفة
1990	30.3	918.09	0.28	ضعيفة
1991	65.1	4238.01	1.28	ضعيفة
1992	111.9	12521.61	3.77	ضعيفة
1993	170.0	28900	8.70	ضعيفة
1994	147.6	21785.76	6.56	ضعيفة
1995	64.1	4108.81	1.24	ضعيفة
1996	91.3	8335.69	2.51	ضعيفة
1997	142.9	20420.41	6.15	ضعيفة
1998	83.8	7022.44	2.12	ضعيفة
1999	48.8	2381.44	0.72	ضعيفة
2000	54.6	2981.16	0.90	ضعيفة
2001	75.0	5625	1.69	ضعيفة
2002	64.2	4121.64	1.24	ضعيفة
2003	118.8	14113.44	4.25	ضعيفة
2004	51.4	2641.96	0.80	ضعيفة
2005	71.4	5097.96	1.53	ضعيفة
2006	190.7	36366.49	10.95	ضعيفة
2007	35.9	1288.81	0.39	ضعيفة
2008	72.4	5241.76	1.58	ضعيفة
2009	64.301	4134.49	1.24	ضعيفة
2010	50.3	2530.09	0.76	ضعيفة
2011	71.3	5083.69	1.53	ضعيفة
2012	48.8	2381.44	1.71	ضعيفة
2013	56.2	3158.44	0.95	ضعيفة
2014	58.4	3410.56	1.03	ضعيفة
2015	54.1	2926.81	0.88	ضعيفة
2016	56.1	3147.21	0.95	ضعيفة
المجموع	3322	365440	111	ضعيفة

المصدر: بالاعتماد

1- على بيانات وزارة النقل والمواصلات. الهيئة العامة للأتواء الجوية . قسم المناخ (بيانات غير منشورة).2016.

2- معادلة (فورنييه- ارنولدس (F-A-I)

ملحق (20) قابلية المطر على التعرية حسب مؤشر فورنييه - ارنولدس لمجموع الامطار السنوية لمحطة الديوانية

السنوات	مجموع الامطار ملم	تربيع الامطار ملم	مؤشر فورنييه	وصف
1980	89.7	8046.09	2.15	ضعيفة
1981	66.1	4369.21	1.17	ضعيفة
1982	118.8	14113.44	3.77	ضعيفة
1983	58.5	3422.25	0.91	ضعيفة
1984	92.6	8574.76	2.29	ضعيفة
1985	84.1	7072.81	1.89	ضعيفة
1986	132.5	17556.25	4.69	ضعيفة
1987	125.5	15750.25	4.20	ضعيفة
1988	123.2	15178.24	4.05	ضعيفة
1989	117.3	13759.29	3.67	ضعيفة
1990	37.8	1428.82	0.38	ضعيفة
1991	125.0	15625	4.17	ضعيفة
1992	111.7	12476.89	3.33	ضعيفة
1993	192.2	36940.84	9.86	ضعيفة
1994	147.5	21756.25	5.81	ضعيفة
1995	103.3	10670.89	2.85	ضعيفة
1996	117.2	13735.84	3.67	ضعيفة
1997	112.6	12678.76	3.38	ضعيفة
1998	108.4	11750.56	3.14	ضعيفة
1999	98.7	9741.69	2.60	ضعيفة
2000	223.4	49907.56	3.32	ضعيفة
2001	93.4	8723.56	2.33	ضعيفة
2002	186.1	34633.21	9.25	ضعيفة
2003	120.7	14568.49	3.89	ضعيفة
2004	56.6	3203.56	0.86	ضعيفة
2005	100.6	10120.36	2.70	ضعيفة
2006	106.9	11427.61	3.05	ضعيفة
2007	43.6	1900.96	0.51	ضعيفة
2008	45.1	2034.01	0.54	ضعيفة
2009	46.2	2134.44	0.57	ضعيفة
2010	49.1	2410.81	0.64	ضعيفة
2011	81.4	6625.96	1.77	ضعيفة
2012	98.8	9761.44	2.61	ضعيفة
2013	76.2	5806.44	1.55	ضعيفة
2014	85.5	7310.25	1.95	ضعيفة
2015	86.8	7534.24	2.01	ضعيفة
2016	82.8	6855.84	1.83	ضعيفة
المجموع	3746	439607	107	ضعيفة

المصدر: بالاعتماد

1- على بيانات وزارة النقل والمواصلات. الهيئة العامة للأتواء الجوية . قسم المناخ (بيانات غير منشورة). 2016.

2- معادلة (فورنييه- ارنولدس F-A-I).

ملحق (21) نتائج انموذج التحليل الاحصائي الوصفي للعلاقة بين التعرية الريحية ( $y_1$ ) والتعرية المطرية ( $y_2$ ) والمتغيرات (المفسرة) لمحطات منطقة الدراسة:

ملحق (1-21) محطة السماوة

Correlations

		التعرية الريحية $y_1$	التعرية المطرية $y_2$
التعرية الريحية $y_1$	Pearson Correlation	1	-.245
	Sig. (2-tailed)		.144
	N	37	37
التعرية المطرية $y_2$	Pearson Correlation	-.245	1
	Sig. (2-tailed)	.144	
	N	37	37
السطوع الشمسي الفعلي $x_1$	Pearson Correlation	-.025	-.169
	Sig. (2-tailed)	.881	.318
	N	37	37
المدى الحراري $x_2$	Pearson Correlation	.152	-.123
	Sig. (2-tailed)	.368	.470
	N	37	37
سرعة الرياح $x_3$	Pearson Correlation	.540**	-.216
	Sig. (2-tailed)	.001	.200
	N	37	37
الرطوبة النسبية $x_4$	Pearson Correlation	-.222	.146
	Sig. (2-tailed)	.186	.387
	N	37	37
الامطار $x_5$	Pearson Correlation	-.277	.970**
	Sig. (2-tailed)	.096	.000
	N	37	37
التبخر-نتح $x_6$	Pearson Correlation	.458**	-.237
	Sig. (2-tailed)	.004	.158
	N	37	37
الجفاف $x_7$	Pearson Correlation	-.076	.895**
	Sig. (2-tailed)	.653	.000
	N	37	37
التبخر $x_8$	Pearson Correlation	.207	-.006
	Sig. (2-tailed)	.219	.974
	N	37	37
العجز المائي $x_9$	Pearson Correlation	-.402*	.108
	Sig. (2-tailed)	.014	.526
	N	37	37
الامطار الفعالة $x_{10}$	Pearson Correlation	-.308	.948**
	Sig. (2-tailed)	.064	.000
	N	37	37

\*\* . Correlation is significant at the 0.01 level (2-tailed).

\* . Correlation is significant at the 0.05 level (2-tailed).



محطة الناصرية (2-21)

Correlations

		التعريية الريحية y1	التعريية المطرية y2
التعريية الريحية y1	Pearson Correlation	1	-.529**
	Sig. (2-tailed)		.001
	N	37	37
التعريية المطرية y2	Pearson Correlation	-.529**	1
	Sig. (2-tailed)	.001	
	N	37	37
السطوع الشمسي الفعلي x1	Pearson Correlation	.373*	.053
	Sig. (2-tailed)	.023	.758
	N	37	37
المدى الحراري x2	Pearson Correlation	-.188	-.170
	Sig. (2-tailed)	.265	.314
	N	37	37
سرعة الرياح x3	Pearson Correlation	.621**	-.021
	Sig. (2-tailed)	.000	.903
	N	37	37
الرطوبة النسبية x4	Pearson Correlation	-.096	.229
	Sig. (2-tailed)	.572	.173
	N	37	37
الامطار x5	Pearson Correlation	-.593**	.981**
	Sig. (2-tailed)	.000	.000
	N	37	37
التبخر-نتح x6	Pearson Correlation	.620**	.052
	Sig. (2-tailed)	.000	.758
	N	37	37
الجفاف x7	Pearson Correlation	-.691**	.925**
	Sig. (2-tailed)	.000	.000
	N	37	37
التبخر x8	Pearson Correlation	.443**	-.327*
	Sig. (2-tailed)	.006	.048
	N	37	37
العجز المائي x9	Pearson Correlation	-.332*	.083
	Sig. (2-tailed)	.044	.624
	N	37	37
الامطار الفعالة x10	Pearson Correlation	-.543**	.947**
	Sig. (2-tailed)	.001	.000
	N	37	37

\*\* . Correlation is significant at the 0.01 level (2-tailed).

\* . Correlation is significant at the 0.05 level (2-tailed).

(3-21) محطة النجف

Correlations

		التعرية الريحية y1	التعرية المطرية y2
التعرية الريحية y1	Pearson Correlation	1	-.270
	Sig. (2-tailed)		.106
	N	37	37
التعرية المطرية y2	Pearson Correlation	-.270	1
	Sig. (2-tailed)	.106	
	N	37	37
السطوع الشمسي الفعلي x1	Pearson Correlation	.195	.110
	Sig. (2-tailed)	.247	.519
	N	37	37
المدى الحراري x2	Pearson Correlation	.075	-.277
	Sig. (2-tailed)	.660	.097
	N	37	37
سرعة الرياح x3	Pearson Correlation	.469**	.283
	Sig. (2-tailed)	.003	.090
	N	37	37
الرطوبة النسبية x4	Pearson Correlation	.149	.116
	Sig. (2-tailed)	.378	.495
	N	37	37
الامطار x5	Pearson Correlation	-.348*	.980**
	Sig. (2-tailed)	.035	.000
	N	37	37
التبخر-نتح x6	Pearson Correlation	.606**	.202
	Sig. (2-tailed)	.000	.231
	N	37	37
الجفاف x7	Pearson Correlation	-.406*	.962**
	Sig. (2-tailed)	.013	.000
	N	37	37
التبخر x8	Pearson Correlation	.073	.185
	Sig. (2-tailed)	.669	.273
	N	37	37
العجز المائي x9	Pearson Correlation	-.693**	.017
	Sig. (2-tailed)	.000	.918
	N	37	37
الامطار الفعالة x10	Pearson Correlation	-.348*	.979**
	Sig. (2-tailed)	.035	.000
	N	37	37

\*\* . Correlation is significant at the 0.01 level (2-tailed).

\* . Correlation is significant at the 0.05 level (2-tailed).



محطة الديوانية (4-21)

Correlations

		التعرية الريحية y1	التعرية المطرية y2
التعرية الريحية y1	Pearson Correlation	1	-.343*
	Sig. (2-tailed)		.037
	N	37	37
التعرية المطرية y2	Pearson Correlation	-.343*	1
	Sig. (2-tailed)	.037	
	N	37	37
السطوع الشمسي الفعلي x1	Pearson Correlation	.304	.038
	Sig. (2-tailed)	.067	.825
	N	37	37
المدى الحراري x2	Pearson Correlation	-.309	-.061
	Sig. (2-tailed)	.063	.718
	N	37	37
سرعة الرياح x3	Pearson Correlation	.438**	.254
	Sig. (2-tailed)	.007	.129
	N	37	37
الرطوبة النسبية x4	Pearson Correlation	-.064	.491**
	Sig. (2-tailed)	.707	.002
	N	37	37
الامطار x5	Pearson Correlation	-.420**	.855**
	Sig. (2-tailed)	.010	.000
	N	37	37
التبخّر-نتح x6	Pearson Correlation	.373*	.155
	Sig. (2-tailed)	.023	.359
	N	37	37
الجفاف x7	Pearson Correlation	-.494**	.801**
	Sig. (2-tailed)	.002	.000
	N	37	37
التبخّر x8	Pearson Correlation	.269	-.621**
	Sig. (2-tailed)	.108	.000
	N	37	37
العجز المائي x9	Pearson Correlation	.015	.141
	Sig. (2-tailed)	.929	.405
	N	37	37
الامطار الفعالة x10	Pearson Correlation	-.418**	.879**
	Sig. (2-tailed)	.010	.000
	N	37	37

\*. Correlation is significant at the 0.05 level (2-tailed).

\*\*. Correlation is significant at the 0.01 level (2-tailed).

## الملاحق

ملحق (22) نتائج أنموذج التحليل الاحصائي الوصفي والكمي للعلاقة بين التعرية الريحية ( $y_1$ ) والتعرية المطرية ( $y_2$ ) والمتغيرات المستقلة المؤثرة به:

ملحق (22-1) أنموذج التحليل الاحصائي الوصفي والكمي للعلاقة بين التعرية الريحية ( $y_1$ ) والمتغيرات المستقلة لمحطة السماوة:

Coefficients <sup>a</sup>					
Model		Unstandardized Coefficients		Standardized Coefficients	Sig.
		B	Std. Error	Beta	
1	(Constant)	-81115.310	37300.624		.200
	السطوح الشمسي الفعلي x1	5378.550	3189.934	.200	.103
	المدى الحراري x2	-28.757	1439.381	-.002	.984
	سرعة الرياح x3	7584.783	4835.056	.400	.128
	الرطوبة النسبية x4	-44835.426	55168.281	-.105	.423
	الامطار x5	-485.549	58.901	-2.065	.000
	التبخير-نتج x6	13.192	10.790	.238	.232
	الجفاف x7	886827.912	107124.688	2.141	.000
	التبخير x8	1.460	4.042	.040	.721
	العجز المائي x9	-3.606	4.519	-.134	.432
2	(Constant)	-81202.004	36380.059		.200
	السطوح الشمسي الفعلي x1	5361.137	3013.284	.200	.086
	سرعة الرياح x3	7606.145	4630.419	.401	.112
	الرطوبة النسبية x4	-44855.169	54165.886	-.105	.415
	الامطار x5	-485.607	57.770	-2.065	.000
	التبخير-نتج x6	13.136	10.231	.237	.210
	الجفاف x7	886935.752	105061.511	2.141	.000
	التبخير x8	1.446	3.910	.040	.714
	العجز المائي x9	-3.576	4.184	-.133	.400
3	(Constant)	-72832.154	28057.191		.200
	السطوح الشمسي الفعلي x1	5164.707	2921.630	.193	.088
	سرعة الرياح x3	7334.040	4503.042	.387	.114
	الرطوبة النسبية x4	-52817.502	48958.285	-.124	.290
	الامطار x5	-486.548	56.848	-2.069	.000
	التبخير-نتج x6	13.916	9.862	.251	.169
	الجفاف x7	890533.703	103041.462	2.150	.000
	التبخير x8	-3.837	4.062	-.143	.353
4	(Constant)	-63495.147	26210.447		.200
	السطوح الشمسي الفعلي x1	5927.785	2802.631	.221	.043
	سرعة الرياح x3	10683.181	2770.325	.564	.001
	الرطوبة النسبية x4	-70037.130	45354.832	-.165	.133
	الامطار x5	-478.274	56.068	-2.034	.000
	التبخير-نتج x6	8.574	8.064	.155	.296
	الجفاف x7	880495.390	102307.154	2.126	.000
5	(Constant)	-55751.924	25231.317		.200
	السطوح الشمسي الفعلي x1	6747.140	2700.270	.251	.018
	سرعة الرياح x3	12964.538	1756.073	.684	.000

Coefficients <sup>a</sup>					
Model		Unstandardized Coefficients		Standardized Coefficients	Sig.
		B	Std. Error	Beta	
	الرطوبة النسبية x4	-79340.023	44596.450	-.186	.085
	الامطار x5	-470.940	55.759	-2.003	.000
	الجفاف x7	863818.596	101310.235	2.086	.000

a. Dependent Variable: y1 التعرية الريحية

Excluded Variables <sup>a</sup>					
Model		Beta In	t	Sig.	Partial Correlation
					Tolerance
2	x2 المدى الحراري	-.002 <sup>b</sup>	-.020	.984	-.004
					.676
3	x2 المدى الحراري	.004 <sup>c</sup>	.043	.966	.008
	x8 التبخر	.040 <sup>c</sup>	.370	.714	.070
4	x2 المدى الحراري	.034 <sup>d</sup>	.374	.711	.069
	x8 التبخر	.056 <sup>d</sup>	.524	.605	.097
	x9 العجز المائي	-.143 <sup>d</sup>	-.944	.353	-.173
5	x2 المدى الحراري	.043 <sup>e</sup>	.477	.637	.087
	x8 التبخر	.069 <sup>e</sup>	.660	.514	.120
	x9 العجز المائي	-.020 <sup>e</sup>	-.162	.872	-.030
	x6 التبخر-نتج	.155 <sup>e</sup>	1.063	.296	.191

a. Dependent Variable: y1 التعرية الريحية

b. Predictors in the Model: (Constant), x9 العجز المائي, x5 الامطار, x8 التبخر, x6 التبخر-نتج, x1 السطوح الشمسي الفعلي, x4 الرطوبة النسبية, x3 سرعة الرياح, x7 الجفاف

c. Predictors in the Model: (Constant), x9 العجز المائي, x5 الامطار, x6 التبخر-نتج, x1 السطوح الشمسي الفعلي, x4 الرطوبة النسبية, x3 سرعة الرياح, x7 الجفاف

d. Predictors in the Model: (Constant), x5 الامطار, x6 التبخر-نتج, x1 السطوح الشمسي الفعلي, x4 الرطوبة النسبية, x3 سرعة الرياح, x7 الجفاف

e. Predictors in the Model: (Constant), x5 الامطار, x1 السطوح الشمسي الفعلي, x4 الرطوبة النسبية, x3 سرعة الرياح, x7 الجفاف



ANOVA<sup>a</sup>

Model		Sum of Squares	df	Mean Square	F	Sig.
1	Regression	4356781818	9	484086868.6	13.190	.000 <sup>b</sup>
	Residual	990916530.9	27	36700612.26		
	Total	5347698349	36			
2	Regression	4356767168	8	544595896.1	15.388	.000 <sup>c</sup>
	Residual	990931180.3	28	35390399.30		
	Total	5347698349	36			
3	Regression	4351926314	7	621703759.1	18.106	.000 <sup>d</sup>
	Residual	995772034.8	29	34336966.72		
	Total	5347698349	36			
4	Regression	4321298056	6	720216342.7	21.051	.000 <sup>e</sup>
	Residual	1026400292	30	34213343.08		
	Total	5347698349	36			
5	Regression	4282620190	5	856524038.0	24.930	.000 <sup>f</sup>
	Residual	1065078159	31	34357359.96		
	Total	5347698349	36			

a. Dependent Variable: y1 التعرية الريحية

b. Predictors: (Constant), x9 العجز المائي, x5 الامطار, x2 المدى الحراري, x8 التبخر, x6 التبخر-نتج, x1 السطوع الشمسي الفعلي, x4 الرطوبة النسبية, x3 سرعة الرياح, x7 الجفاف

c. Predictors: (Constant), x9 العجز المائي, x5 الامطار, x8 التبخر, x6 التبخر-نتج, x1 السطوع الشمسي الفعلي, x4 الرطوبة النسبية, x3 سرعة الرياح, x7 الجفاف

d. Predictors: (Constant), x9 العجز المائي, x5 الامطار, x6 التبخر-نتج, x1 السطوع الشمسي الفعلي, x4 الرطوبة النسبية, x3 سرعة الرياح, x7 الجفاف

e. Predictors: (Constant), x5 الامطار, x6 التبخر-نتج, x1 السطوع الشمسي الفعلي, x4 الرطوبة النسبية, x3 سرعة الرياح, x7 الجفاف

f. Predictors: (Constant), x5 الامطار, x1 السطوع الشمسي الفعلي, x4 الرطوبة النسبية, x3 سرعة الرياح, x7 الجفاف

Model Summary<sup>f</sup>

Model	R	R Square	Adjusted R Square	Std. Error of the Estimate	Change Statistics		
					R Square Change	F Change	df1
1	.903 <sup>a</sup>	.815	.753	6058.10302	.815	13.190	9
2	.903 <sup>b</sup>	.815	.762	5948.98305	.000	.000	1
3	.902 <sup>c</sup>	.814	.769	5859.77531	-.001	.137	1
4	.899 <sup>d</sup>	.808	.770	5849.21730	-.006	.892	1
5	.895 <sup>e</sup>	.801	.769	5861.51516	-.007	1.130	1

Model Summary<sup>f</sup>

Model	Change Statistics		Durbin-Watson
	df2	Sig. F Change	
1	27	.000	
2	27	.984	
3	28	.714	
4	29	.353	
5	30	.296	1.913

a. Predictors: (Constant), x9 العجز المائي, x5 الامطار, x2 المدى الحراري, x8 التبخر, x6 التبخر-نتج, x1 السطوع الشمسي الفعلي, x4 الرطوبة النسبية, x3 سرعة الرياح, x7 الجفاف

b. Predictors: (Constant), x9 العجز المائي, x5 الامطار, x8 التبخر, x6 التبخر-نتج, x1 السطوع الشمسي الفعلي, x4 الرطوبة النسبية, x3 سرعة الرياح, x7 الجفاف

c. Predictors: (Constant), x9 العجز المائي, x5 الامطار, x6 التبخر-نتج, x1 السطوع الشمسي الفعلي, x4 الرطوبة النسبية, x3 سرعة الرياح, x7 الجفاف

d. Predictors: (Constant), x5 الامطار, x6 التبخر-نتج, x1 السطوع الشمسي الفعلي, x4 الرطوبة النسبية, x3 سرعة الرياح, x7 الجفاف

e. Predictors: (Constant), x5 الامطار, x1 السطوع الشمسي الفعلي, x4 الرطوبة النسبية, x3 سرعة الرياح, x7 الجفاف

ملحق (2-22) نموذج التحليل الاحصائي الوصفي والكمي للعلاقة بين التعرية المطرية ( $y_2$ ) والمتغيرات المستقلة لمحطة السماوة:

Coefficients <sup>a</sup>					
Model		Unstandardized Coefficients		Standardized Coefficients	Sig.
		B	Std. Error	Beta	
	سرعة الرياح x3	-.203	.243	-.036	.410
	الرطوبة النسبية x4	-23.934	6.954	-.190	.002
	الامطار x5	.058	.014	.839	.000
	الجفاف x7	-7.104	13.853	-.058	.612
	التبخر x8	-.001	.001	-.055	.251
	الامطار الفعالة x10	.023	.016	.237	.162
5	(Constant)	5.795	4.713	1.230	.228
	السطوع الشمسي الفعلي x1	.279	.363	.035	.449
	سرعة الرياح x3	-.177	.234	-.032	.456
	الرطوبة النسبية x4	-24.675	6.718	-.196	.001
	الامطار x5	.054	.011	.773	.000
	التبخر x8	-.001	.000	-.057	.234
	الامطار الفعالة x10	.025	.016	.252	.127
6	(Constant)	4.625	4.420	1.047	.303
	السطوع الشمسي الفعلي x1	.319	.356	.040	.377
	الرطوبة النسبية x4	-23.941	6.601	-.190	.001
	الامطار x5	.053	.011	.758	.000
	التبخر x8	-.001	.000	-.060	.204
	الامطار الفعالة x10	.027	.015	.274	.090
7	(Constant)	6.891	3.613	1.907	.066
	الرطوبة النسبية x4	-21.781	6.126	-.173	.001
	الامطار x5	.050	.010	.719	.000
	التبخر x8	-.001	.000	-.065	.165
	الامطار الفعالة x10	.029	.015	.302	.057
8	(Constant)	2.527	1.930	1.309	.199
	الرطوبة النسبية x4	-16.622	5.009	-.132	.002
	الامطار x5	.049	.011	.702	.000
	الامطار الفعالة x10	.030	.015	.311	.053

a. Dependent Variable: التعرية المطرية y2

Model Summary <sup>j</sup>							
Model	R	R Square	Adjusted R Square	Std. Error of the Estimate	Change Statistics		
					R Square Change	F Change	df1
1	.981 <sup>a</sup>	.962	.948	.82542	.962	66.218	10
2	.981 <sup>b</sup>	.962	.950	.81052	.000	.034	1
3	.981 <sup>c</sup>	.962	.951	.79909	.000	.216	1
4	.981 <sup>d</sup>	.962	.952	.78765	.000	.176	1
5	.980 <sup>e</sup>	.961	.954	.77792	.000	.263	1
6	.980 <sup>f</sup>	.961	.954	.77249	-.001	.569	1
7	.980 <sup>g</sup>	.960	.954	.77011	-.001	.803	1
8	.978 <sup>h</sup>	.957	.953	.78189	-.003	2.017	1

Model Summary <sup>a</sup>			
Model	Change Statistics		Durbin-Watson
	df2	Sig. F Change	
1	26	.000	
2	26	.856	
3	27	.646	
4	28	.678	
5	29	.612	
6	30	.456	
7	31	.377	
8	32	.165	2.012

a. Predictors: (Constant), x10 المعلة x1، السطوع الشمسي الفعلي x1، الامطار الفعالة x10، سرعة الرياح x3، الجفاف x7، الرطوبة النسبية x4

b. Predictors: (Constant), x10 المعلة x1، السطوع الشمسي الفعلي x2، الامطار الفعالة x10، سرعة الرياح x3، الجفاف x7، الرطوبة النسبية x4، التبخر x8

c. Predictors: (Constant), x10 المعلة x1، السطوع الشمسي الفعلي x2، الامطار الفعالة x10، سرعة الرياح x3، الجفاف x7، الرطوبة النسبية x4، التبخر x8، الامطار x5

d. Predictors: (Constant), x10 المعلة x1، السطوع الشمسي الفعلي x2، الامطار الفعالة x10، سرعة الرياح x3، الجفاف x7، الرطوبة النسبية x4، التبخر x8، الامطار x5

e. Predictors: (Constant), x10 المعلة x1، السطوع الشمسي الفعلي x2، الامطار الفعالة x10، سرعة الرياح x3، الجفاف x7، الرطوبة النسبية x4، التبخر x8، الامطار x5

f. Predictors: (Constant), x10 المعلة x1، السطوع الشمسي الفعلي x2، الامطار الفعالة x10، سرعة الرياح x3، الجفاف x7، الرطوبة النسبية x4، التبخر x8، الامطار x5

g. Predictors: (Constant), x10 المعلة x1، السطوع الشمسي الفعلي x2، الامطار الفعالة x10، سرعة الرياح x3، الجفاف x7، الرطوبة النسبية x4، التبخر x8، الامطار x5

h. Predictors: (Constant), x10 المعلة x1، السطوع الشمسي الفعلي x2، الامطار الفعالة x10، سرعة الرياح x3، الجفاف x7، الرطوبة النسبية x4، التبخر x8، الامطار x5

ANOVA <sup>a</sup>					
Model	Sum of Squares	df	Mean Square	F	Sig.
1 Regression	451.158	10	45.116	66.218	.000 <sup>b</sup>
Residual	17.714	26	.681		
Total	468.872	36			
2 Regression	451.134	9	50.126	76.302	.000 <sup>c</sup>
Residual	17.737	27	.657		
Total	468.872	36			
3 Regression	450.993	8	56.374	88.285	.000 <sup>d</sup>
Residual	17.879	28	.639		
Total	468.872	36			
4 Regression	450.881	7	64.412	103.824	.000 <sup>e</sup>
Residual	17.991	29	.620		
Total	468.872	36			
5 Regression	450.717	6	75.120	124.133	.000 <sup>f</sup>
Residual	18.155	30	.605		
Total	468.872	36			
6 Regression	450.373	5	90.075	150.944	.000 <sup>g</sup>
Residual	18.499	31	.597		
Total	468.872	36			
7 Regression	449.894	4	112.473	189.648	.000 <sup>h</sup>
Residual	18.978	32	.593		
Total	468.872	36			
8 Regression	448.698	3	149.566	244.650	.000 <sup>i</sup>
Residual	20.174	33	.611		
Total	468.872	36			

a. Dependent Variable: التعرية المطرية y2

b. Predictors: (Constant), x10 المعلة x1، السطوع الشمسي الفعلي x1، الامطار الفعالة x10، سرعة الرياح x3، الجفاف x7، الرطوبة النسبية x4

c. Predictors: (Constant), x10 المعلة x1، السطوع الشمسي الفعلي x2، الامطار الفعالة x10، سرعة الرياح x3، الجفاف x7، الرطوبة النسبية x4، التبخر x8

d. Predictors: (Constant), x10 المعلة x1، السطوع الشمسي الفعلي x2، الامطار الفعالة x10، سرعة الرياح x3، الجفاف x7، الرطوبة النسبية x4، التبخر x8، الامطار x5

e. Predictors: (Constant), x10 المعلة x1، السطوع الشمسي الفعلي x2، الامطار الفعالة x10، سرعة الرياح x3، الجفاف x7، الرطوبة النسبية x4، التبخر x8، الامطار x5

f. Predictors: (Constant), x10 المعلة x1، السطوع الشمسي الفعلي x2، الامطار الفعالة x10، سرعة الرياح x3، الجفاف x7، الرطوبة النسبية x4، التبخر x8، الامطار x5

g. Predictors: (Constant), x10 المعلة x1، السطوع الشمسي الفعلي x2، الامطار الفعالة x10، سرعة الرياح x3، الجفاف x7، الرطوبة النسبية x4، التبخر x8، الامطار x5

h. Predictors: (Constant), x10 المعلة x1، السطوع الشمسي الفعلي x2، الامطار الفعالة x10، سرعة الرياح x3، الجفاف x7، الرطوبة النسبية x4، التبخر x8، الامطار x5

i. Predictors: (Constant), x10 المعلة x1، السطوع الشمسي الفعلي x2، الامطار الفعالة x10، سرعة الرياح x3، الجفاف x7، الرطوبة النسبية x4، التبخر x8، الامطار x5



ملحق (3-22) نموذج التحليل الإحصائي الوصفي والكمي للعلاقة بين التعرية الريحية ( $y_1$ ) والمتغيرات المستقلة لمحطة الناصرية:

Coefficients <sup>a</sup>					
Model		Unstandardized Coefficients		Standardized Coefficients	Sig.
		B	Std. Error	Beta	
5	(Constant)	-46763.543	15655.739		.006
	المنطوق الشمسي الفعلي x1	4437.471	1862.527	.237	.024
	سرعة الرياح x3	4334.925	1416.198	.468	.005
	الرطوبة النسبية x4	-66717.576	24671.076	-.288	.011
	الامطار x5	-281.369	76.058	-1.637	.001
	التبخير-نتج x6	15.986	5.873	.431	.011
	الجفاف x7	477399.419	188870.913	1.173	.017

a. Dependent Variable: y1 التعرية الريحية

Excluded Variables <sup>a</sup>					
Model		Beta In	t	Sig.	Collinearity Statistics
					Tolerance
2	التبخير x8	.094 <sup>b</sup>	.802	.430	.393
3	التبخير x8	.088 <sup>c</sup>	.755	.457	.394
	المدى الحراري x2	-.067 <sup>c</sup>	-.812	.424	.790
4	التبخير x8	.088 <sup>d</sup>	.753	.458	.394
	المدى الحراري x2	-.076 <sup>d</sup>	-.930	.360	.800
	الامطار الفعالة x10	.594 <sup>d</sup>	1.096	.282	.018
5	التبخير x8	.066 <sup>e</sup>	.551	.586	.400
	المدى الحراري x2	-.083 <sup>e</sup>	-.996	.328	.803
	الامطار الفعالة x10	-.213 <sup>e</sup>	-.760	.454	.071
	الحجز المائي x9	-.143 <sup>e</sup>	-1.536	.135	.610

a. Dependent Variable: y1 التعرية الريحية

b. Predictors in the Model: (Constant), x10 الامطار الفعالة, x3 سرعة الرياح, x2 المدى الحراري, x9 الحجز المائي, x1 المنطوق الشمسي الفعلي, x4 الرطوبة النسبية, x6 التبخر-نتج, x7 الجفاف, x5 الامطار

c. Predictors in the Model: (Constant), x10 الامطار الفعالة, x3 سرعة الرياح, x9 الحجز المائي, x1 المنطوق الشمسي الفعلي, x4 الرطوبة النسبية, x6 التبخر-نتج, x7 الجفاف, x5 الامطار

d. Predictors in the Model: (Constant), x3 سرعة الرياح, x9 الحجز المائي, x1 المنطوق الشمسي الفعلي, x4 الرطوبة النسبية, x6 التبخر-نتج, x7 الجفاف, x5 الامطار

e. Predictors in the Model: (Constant), x3 سرعة الرياح, x1 المنطوق الشمسي الفعلي, x4 الرطوبة النسبية, x6 التبخر-نتج, x7 الجفاف, x5 الامطار

Model Summary <sup>f</sup>							
Model	R	R Square	Adjusted R Square	Std. Error of the Estimate	Change Statistics		
					R Square Change	F Change	df1
1	.927 <sup>a</sup>	.859	.805	3739.04444	.859	15.882	10
2	.925 <sup>b</sup>	.856	.808	3714.30655	-.003	.644	1
3	.923 <sup>c</sup>	.852	.810	3691.62651	-.004	.659	1
4	.920 <sup>d</sup>	.846	.809	3704.41158	-.006	1.201	1
5	.913 <sup>e</sup>	.833	.800	3787.43054	-.013	2.360	1

Model Summary <sup>f</sup>			
Model	Change Statistics		Durbin-Watson
	df2	Sig. F Change	
1	26	.000	
2	26	.430	
3	27	.424	
4	28	.282	
5	29	.135	1.978

a. Predictors: (Constant), x10 الامطار الفعالة, x3 سرعة الرياح, x2 المدى الحراري, x9 الحجز المائي, x1 المنطوق الشمسي الفعلي, x4 الرطوبة النسبية, x6 التبخر-نتج, x7 الجفاف, x5 الامطار

b. Predictors: (Constant), x10 الامطار الفعالة, x3 سرعة الرياح, x2 المدى الحراري, x9 الحجز المائي, x1 المنطوق الشمسي الفعلي, x4 الرطوبة النسبية, x6 التبخر-نتج, x7 الجفاف, x5 الامطار

c. Predictors: (Constant), x10 الامطار الفعالة, x3 سرعة الرياح, x9 الحجز المائي, x1 المنطوق الشمسي الفعلي, x4 الرطوبة النسبية, x6 التبخر-نتج, x7 الجفاف, x5 الامطار

d. Predictors: (Constant), x3 سرعة الرياح, x9 الحجز المائي, x1 المنطوق الشمسي الفعلي, x4 الرطوبة النسبية, x6 التبخر-نتج, x7 الجفاف, x5 الامطار

e. Predictors: (Constant), x3 سرعة الرياح, x1 المنطوق الشمسي الفعلي, x4 الرطوبة النسبية, x6 التبخر-نتج, x7 الجفاف, x5 الامطار

ANOVA <sup>g</sup>					
Model		Sum of Squares	df	Mean Square	Sig.
1	Regression	2220319986	10	222031998.6	.000 <sup>b</sup>
	Residual	363491787.1	26	13980453.35	
	Total	2583811773	36		
2	Regression	2211317798	9	245701977.6	.000 <sup>c</sup>
	Residual	372493975.0	27	13796073.15	
	Total	2583811773	36		
3	Regression	2202224798	8	275278099.8	.000 <sup>d</sup>
	Residual	381586975.2	28	13628106.26	
	Total	2583811773	36		
4	Regression	2185854485	7	312264926.4	.000 <sup>e</sup>
	Residual	397957288.7	29	13722665.13	
	Total	2583811773	36		
5	Regression	2153472871	6	358912145.2	.000 <sup>f</sup>
	Residual	430338902.0	30	14344630.07	
	Total	2583811773	36		

a. Dependent Variable: y1 التعرية الريحية

b. Predictors: (Constant), x10 الامطار الفعالة, x3 سرعة الرياح, x2 المدى الحراري, x9 الحجز المائي, x1 المنطوق الشمسي الفعلي, x4 الرطوبة النسبية, x6 التبخر-نتج, x7 الجفاف, x5 الامطار

c. Predictors: (Constant), x10 الامطار الفعالة, x3 سرعة الرياح, x2 المدى الحراري, x9 الحجز المائي, x1 المنطوق الشمسي الفعلي, x4 الرطوبة النسبية, x6 التبخر-نتج, x7 الجفاف, x5 الامطار

d. Predictors: (Constant), x10 الامطار الفعالة, x3 سرعة الرياح, x9 الحجز المائي, x1 المنطوق الشمسي الفعلي, x4 الرطوبة النسبية, x6 التبخر-نتج, x7 الجفاف, x5 الامطار

e. Predictors: (Constant), x3 سرعة الرياح, x9 الحجز المائي, x1 المنطوق الشمسي الفعلي, x4 الرطوبة النسبية, x6 التبخر-نتج, x7 الجفاف, x5 الامطار

f. Predictors: (Constant), x3 سرعة الرياح, x1 المنطوق الشمسي الفعلي, x4 الرطوبة النسبية, x6 التبخر-نتج, x7 الجفاف, x5 الامطار

ملحق (22-4) نموذج التحليل الإحصائي الوصفي والكمي للعلاقة بين التعرية المطرية ( $y_2$ ) والمتغيرات المستقلة لمحطة الناصرية:

Coefficients <sup>a</sup>						
Model		Unstandardized Coefficients		Standardized Coefficients	t	Sig.
		B	Std. Error	Beta		
	x2 المدى الحراري	.092	.127	.025	.721	.476
	x3 سرعة الرياح	-.136	.205	-.041	-.666	.511
	x4 الرطوبة النسبية	-7.297	3.557	-.087	-2.051	.049
	x5 الامطار	.062	.002	1.002	29.314	.000
	x6 التبخر-نتج	.001	.001	.080	1.206	.237
	x9 العجز المائي	.000	.000	.064	1.691	.102
5	(Constant)	-6.117	2.960		-2.067	.047
	x1 السطوح الشمسي الفعلي	.435	.282	.064	1.543	.133
	x2 المدى الحراري	.092	.126	.025	.735	.468
	x4 الرطوبة النسبية	-8.201	3.258	-.098	-2.518	.017
	x5 الامطار	.063	.002	1.007	30.432	.000
	x6 التبخر-نتج	.001	.001	.046	1.102	.279
6	x9 العجز المائي	.000	.000	.062	1.654	.108
	(Constant)	-4.553	2.040		-2.231	.033
	x1 السطوح الشمسي الفعلي	.450	.279	.067	1.611	.117
	x4 الرطوبة النسبية	-8.050	3.227	-.096	-2.495	.018
	x5 الامطار	.062	.002	1.002	31.189	.000
	x6 التبخر-نتج	.000	.001	.036	.919	.365
7	x9 العجز المائي	.000	.000	.064	1.717	.096
	(Constant)	-4.760	2.023		-2.353	.025
	x1 السطوح الشمسي الفعلي	.581	.239	.086	2.427	.021
	x4 الرطوبة النسبية	-8.047	3.219	-.096	-2.500	.018
	x5 الامطار	.062	.002	1.003	31.344	.000
	x9 العجز المائي	.000	.000	.048	1.461	.154
8	(Constant)	-6.325	1.745		-3.624	.001
	x1 السطوح الشمسي الفعلي	.595	.243	.088	2.444	.020
	x4 الرطوبة النسبية	-6.642	3.124	-.079	-2.126	.041
	x5 الامطار	.062	.002	1.001	30.786	.000

a. Dependent Variable: y2 التعرية المطرية

Model Summary <sup>1</sup>							
Model	R	R Square	Adjusted R Square	Std. Error of the Estimate	Change Statistics		
					R Square Change	F Change	df1
1	.986 <sup>a</sup>	.972	.962	.59764	.972	91.843	10
2	.986 <sup>b</sup>	.972	.963	.58667	.000	.018	1
3	.986 <sup>c</sup>	.972	.965	.57653	.000	.040	1
4	.986 <sup>d</sup>	.972	.965	.57078	.000	.424	1
5	.986 <sup>e</sup>	.972	.966	.56547	.000	.444	1
6	.985 <sup>f</sup>	.971	.966	.56125	-.001	.540	1
7	.985 <sup>g</sup>	.970	.967	.55988	-.001	.844	1
8	.984 <sup>h</sup>	.968	.965	.56942	-.002	2.134	1

Model Summary <sup>a</sup>			
Model	Change Statistics		Durbin-Watson
	df2	Sig. F Change	
1	26	.000	
2	26	.894	
3	27	.842	
4	28	.520	
5	29	.511	
6	30	.468	
7	31	.365	
8	32	.154	1.865

a. Predictors: (Constant), x10 الأمطار الفعالة x3، المدى الحراري x2، المدى الحراري x9، العجز المائي x8، التبخر x1، السطوح الشمسي الفعلي x1، التبخر x1، الأمطار x5، الجفاف x7، التبخر-نتج x6، الرطوبة النسبية x4

b. Predictors: (Constant), x3، المدى الحراري x2، المدى الحراري x9، العجز المائي x8، التبخر x1، السطوح الشمسي الفعلي x1، التبخر x1، الأمطار x5، الجفاف x7، التبخر-نتج x6، الرطوبة النسبية x4

c. Predictors: (Constant), x3، المدى الحراري x2، المدى الحراري x9، العجز المائي x8، التبخر x1، السطوح الشمسي الفعلي x1، التبخر x1، الأمطار x5، الجفاف x7، التبخر-نتج x6، الرطوبة النسبية x4

d. Predictors: (Constant), x3، المدى الحراري x2، المدى الحراري x9، العجز المائي x8، التبخر x1، السطوح الشمسي الفعلي x1، التبخر x1، الأمطار x5، الجفاف x7، التبخر-نتج x6، الرطوبة النسبية x4

e. Predictors: (Constant), x2، المدى الحراري x9، العجز المائي x8، التبخر x1، السطوح الشمسي الفعلي x1، التبخر x1، الأمطار x5، الجفاف x7، التبخر-نتج x6، الرطوبة النسبية x4

f. Predictors: (Constant), x2، المدى الحراري x9، العجز المائي x8، التبخر x1، السطوح الشمسي الفعلي x1، التبخر x1، الأمطار x5، الجفاف x7، التبخر-نتج x6، الرطوبة النسبية x4

g. Predictors: (Constant), x9، العجز المائي x8، التبخر x1، السطوح الشمسي الفعلي x1، التبخر x1، الأمطار x5، الجفاف x7، التبخر-نتج x6، الرطوبة النسبية x4

h. Predictors: (Constant), x1، السطوح الشمسي الفعلي x1، التبخر x1، الأمطار x5، الجفاف x7، التبخر-نتج x6، الرطوبة النسبية x4

ANOVA <sup>a</sup>						
Model		Sum of Squares	df	Mean Square	F	Sig.
1	Regression	328.043	10	32.804	91.843	.000 <sup>b</sup>
	Residual	9.287	26	.357		
	Total	337.330	36			
2	Regression	328.037	9	36.449	105.897	.000 <sup>c</sup>
	Residual	9.293	27	.344		
	Total	337.330	36			
3	Regression	328.023	8	41.003	123.358	.000 <sup>d</sup>
	Residual	9.307	28	.332		
	Total	337.330	36			
4	Regression	327.882	7	46.840	143.774	.000 <sup>e</sup>
	Residual	9.448	29	.326		
	Total	337.330	36			
5	Regression	327.737	6	54.623	170.828	.000 <sup>f</sup>
	Residual	9.593	30	.320		
	Total	337.330	36			
6	Regression	327.565	5	65.513	207.975	.000 <sup>g</sup>
	Residual	9.765	31	.315		
	Total	337.330	36			
7	Regression	327.299	4	81.825	261.028	.000 <sup>h</sup>
	Residual	10.031	32	.313		
	Total	337.330	36			
8	Regression	326.630	3	108.877	335.790	.000 <sup>i</sup>
	Residual	10.700	33	.324		
	Total	337.330	36			

a. Dependent Variable: y2 التعرية المطرية

b. Predictors: (Constant), x10 الأمطار الفعالة x3، المدى الحراري x2، المدى الحراري x9، العجز المائي x8، التبخر x1، السطوح الشمسي الفعلي x1، التبخر x1، الأمطار x5، الجفاف x7، التبخر-نتج x6، الرطوبة النسبية x4

c. Predictors: (Constant), x3، المدى الحراري x2، المدى الحراري x9، العجز المائي x8، التبخر x1، السطوح الشمسي الفعلي x1، التبخر x1، الأمطار x5، الجفاف x7، التبخر-نتج x6، الرطوبة النسبية x4

d. Predictors: (Constant), x3، المدى الحراري x2، المدى الحراري x9، العجز المائي x8، التبخر x1، السطوح الشمسي الفعلي x1، التبخر x1، الأمطار x5، الجفاف x7، التبخر-نتج x6، الرطوبة النسبية x4

e. Predictors: (Constant), x2، المدى الحراري x9، العجز المائي x8، التبخر x1، السطوح الشمسي الفعلي x1، التبخر x1، الأمطار x5، الجفاف x7، التبخر-نتج x6، الرطوبة النسبية x4

f. Predictors: (Constant), x2، المدى الحراري x9، العجز المائي x8، التبخر x1، السطوح الشمسي الفعلي x1، التبخر x1، الأمطار x5، الجفاف x7، التبخر-نتج x6، الرطوبة النسبية x4

g. Predictors: (Constant), x9، العجز المائي x8، التبخر x1، السطوح الشمسي الفعلي x1، التبخر x1، الأمطار x5، الجفاف x7، التبخر-نتج x6، الرطوبة النسبية x4

h. Predictors: (Constant), x1، السطوح الشمسي الفعلي x1، التبخر x1، الأمطار x5، الجفاف x7، التبخر-نتج x6، الرطوبة النسبية x4

i. Predictors: (Constant), x1، السطوح الشمسي الفعلي x1، التبخر x1، الأمطار x5، الجفاف x7، التبخر-نتج x6، الرطوبة النسبية x4



ملحق (22-5) نموذج التحليل الاحصائي الوصفي والكمي للعلاقة بين التعرية الريحية ( $y_1$ ) والمتغيرات المستقلة لمحطة النجف:

Coefficients <sup>a</sup>					
Model	Unstandardized Coefficients		Standardized Coefficients	t	Sig.
	B	Std. Error	Beta		
1					
	المدى الحراري x2	373.374	419.363	.075	.890
	سرعة الرياح x3	6665.385	683.806	.891	.000
	الجفاف x7	217733.119	127125.600	.790	.097
	الامطار الفعالة x10	-198.901	86.494	-1.038	.028
6					
	(Constant)	-21190.900	8631.738		-2.455
	السطوع الشمسي الفعلي x1	1754.232	1012.012	.128	1.734
	سرعة الرياح x3	6527.033	663.755	.873	9.834
	الجفاف x7	187754.210	108946.213	.785	1.724
	الامطار الفعالة x10	-189.257	85.535	-.987	-2.213
7					
	(Constant)	-17933.543	8567.226		-2.093
	السطوع الشمسي الفعلي x1	1456.136	1015.349	.113	1.434
	سرعة الرياح x3	6004.797	587.963	.803	10.213
	الامطار الفعالة x10	-56.427	15.014	-.294	-3.758
8					
	(Constant)	-5878.830	1681.685		-3.496
	سرعة الرياح x3	6136.320	589.722	.821	10.405
	الامطار الفعالة x10	-53.623	15.116	-.280	-3.547

a. Dependent Variable: y1 التعرية الريحية

Model Summary <sup>a</sup>							
Model	R	R Square	Adjusted R Square	Std. Error of the Estimate	Change Statistics		
					R Square Change	F Change	df1
1	.910 <sup>a</sup>	.829	.771	3014.47926	.829	14.505	9
2	.910 <sup>b</sup>	.829	.780	2980.80127	.000	.012	1
3	.910 <sup>c</sup>	.828	.787	2911.14940	.000	.036	1
4	.910 <sup>d</sup>	.828	.794	2864.54609	.000	.047	1
5	.906 <sup>e</sup>	.821	.792	2874.08492	-.007	1.207	1
6	.904 <sup>f</sup>	.817	.794	2864.76036	-.005	.793	1
7	.896 <sup>g</sup>	.802	.784	2928.50339	-.014	2.485	1
8	.889 <sup>h</sup>	.790	.778	2973.66381	-.012	2.057	1

Model Summary <sup>a</sup>			
Model	Change Statistics		Durbin-Watson
	df2	Sig. F Change	
1	27	.000	1.835
2	27	.915	
3	28	.852	
4	29	.830	
5	30	.281	
6	31	.380	
7	32	.125	
8	33	.161	

- a. Predictors: (Constant), x9 الامطار الفعالة x10, x8 المدى الحراري, x2 التبخر, x4 الرطوبة النسبية, x1 السطوع الشمسي
- b. Predictors: (Constant), x3 سرعة الرياح, x10 الامطار الفعالة, x8 المدى الحراري, x2 التبخر, x4 الرطوبة النسبية, x1 السطوع الشمسي
- c. Predictors: (Constant), x7 الجفاف, x3 سرعة الرياح, x10 الامطار الفعالة, x8 المدى الحراري, x2 التبخر, x4 الرطوبة النسبية, x1 السطوع الشمسي
- d. Predictors: (Constant), x5 الجفاف, x7 الجفاف, x3 سرعة الرياح, x10 الامطار الفعالة, x8 المدى الحراري, x2 التبخر, x4 الرطوبة النسبية, x1 السطوع الشمسي
- e. Predictors: (Constant), x5 الجفاف, x7 الجفاف, x3 سرعة الرياح, x10 الامطار الفعالة, x8 المدى الحراري, x2 التبخر, x4 الرطوبة النسبية, x1 السطوع الشمسي
- f. Predictors: (Constant), x5 الجفاف, x7 الجفاف, x3 سرعة الرياح, x10 الامطار الفعالة, x8 المدى الحراري, x2 التبخر, x4 الرطوبة النسبية, x1 السطوع الشمسي
- g. Predictors: (Constant), x5 الجفاف, x7 الجفاف, x3 سرعة الرياح, x10 الامطار الفعالة, x8 المدى الحراري, x2 التبخر, x4 الرطوبة النسبية, x1 السطوع الشمسي
- h. Predictors: (Constant), x5 الجفاف, x7 الجفاف, x3 سرعة الرياح, x10 الامطار الفعالة, x8 المدى الحراري, x2 التبخر, x4 الرطوبة النسبية, x1 السطوع الشمسي
- i. Dependent Variable: y1 التعرية الريحية

ANOVA <sup>a</sup>					
Model		Sum of Squares	df	Mean Square	F
1	Regression	1186239242	9	131804360.2	14.505
	Residual	245351299.9	27	9087085.181	
	Total	1431590541	36		
2	Regression	1186132905	8	148266613.1	16.913
	Residual	245457636.6	28	8766344.164	
	Total	1431590541	36		
3	Regression	1185821607	7	169403086.7	19.989
	Residual	245768934.3	29	8474790.839	
	Total	1431590541	36		
4	Regression	1185421813	6	197570302.2	24.077
	Residual	246168728.3	30	8205624.276	
	Total	1431590541	36		
5	Regression	1175519253	5	235103850.7	28.462
	Residual	256071288.1	31	8260364.132	
	Total	1431590541	36		
6	Regression	1168971279	4	292242819.8	35.610
	Residual	262619262.3	32	8206851.946	
	Total	1431590541	36		
7	Regression	1148578182	3	382859394.2	44.642
	Residual	283012359.0	33	8576132.091	
	Total	1431590541	36		
8	Regression	1130938542	2	565469771.2	63.948
	Residual	300650999.1	34	8842676.446	
	Total	1431590541	36		

- a. Dependent Variable: y1 التعرية الريحية
- b. Predictors: (Constant), x9 الامطار الفعالة x10, x8 المدى الحراري, x2 التبخر, x4 الرطوبة النسبية, x1 السطوع الشمسي
- c. Predictors: (Constant), x3 سرعة الرياح, x10 الامطار الفعالة, x8 المدى الحراري, x2 التبخر, x4 الرطوبة النسبية, x1 السطوع الشمسي
- d. Predictors: (Constant), x7 الجفاف, x3 سرعة الرياح, x10 الامطار الفعالة, x8 المدى الحراري, x2 التبخر, x4 الرطوبة النسبية, x1 السطوع الشمسي
- e. Predictors: (Constant), x5 الجفاف, x7 الجفاف, x3 سرعة الرياح, x10 الامطار الفعالة, x8 المدى الحراري, x2 التبخر, x4 الرطوبة النسبية, x1 السطوع الشمسي
- f. Predictors: (Constant), x5 الجفاف, x7 الجفاف, x3 سرعة الرياح, x10 الامطار الفعالة, x8 المدى الحراري, x2 التبخر, x4 الرطوبة النسبية, x1 السطوع الشمسي
- g. Predictors: (Constant), x5 الجفاف, x7 الجفاف, x3 سرعة الرياح, x10 الامطار الفعالة, x8 المدى الحراري, x2 التبخر, x4 الرطوبة النسبية, x1 السطوع الشمسي
- h. Predictors: (Constant), x5 الجفاف, x7 الجفاف, x3 سرعة الرياح, x10 الامطار الفعالة, x8 المدى الحراري, x2 التبخر, x4 الرطوبة النسبية, x1 السطوع الشمسي
- i. Predictors: (Constant), x5 الجفاف, x7 الجفاف, x3 سرعة الرياح, x10 الامطار الفعالة, x8 المدى الحراري, x2 التبخر, x4 الرطوبة النسبية, x1 السطوع الشمسي

ملحق (22-6) نموذج التحليل الإحصائي الوصفي والكمي للعلاقة بين التعرية المطرية ( $y_2$ ) والمتغيرات المستقلة لمحطة النجف:

Coefficients <sup>a</sup>					
Model		Unstandardized Coefficients		Standardized Coefficients	Sig.
		B	Std. Error	Beta	
5	(Constant)	-5.082	1.957		.014
	المدى الحراري x2	.101	.081	.046	.224
	الامطار x5	.056	.016	.867	.002
	التبخير-نتج x6	.001	.001	.050	.278
	التبخر x8	.000	.000	.045	.209
	الجفاف x7	15.962	30.277	.132	.602
6	(Constant)	-4.449	1.528		.006
	المدى الحراري x2	.097	.080	.044	.233
	الامطار x5	.064	.002	.999	.000
	التبخير-نتج x6	.001	.001	.034	.315
	التبخر x8	.000	.000	.046	.201
7	(Constant)	-3.422	1.151		.005
	المدى الحراري x2	.117	.067	.091	.082
	الامطار x5	.065	.002	1.006	.000
	التبخر x8	.001	.000	.088	.077
8	(Constant)	-3.797	1.128		.002
	المدى الحراري x2	.079	.077	.036	.311
	الامطار x5	.064	.002	.992	.000
9	(Constant)	-2.658	.212		.000
	الامطار x5	.063	.002	.980	.000

a. Dependent Variable: التعرية المطرية y2

Model Summary <sup>j</sup>							
Model	R	R Square	Adjusted R Square	Std. Error of the Estimate	Change Statistics		
					R Square Change	F Change	df1
1	.983 <sup>a</sup>	.966	.955	.59037	.966	85.423	9
2	.983 <sup>b</sup>	.966	.956	.57974	.000	.001	1
3	.983 <sup>c</sup>	.966	.958	.56987	.000	.021	1
4	.983 <sup>d</sup>	.966	.959	.56048	.000	.019	1
5	.983 <sup>e</sup>	.966	.960	.55282	.000	.158	1
6	.983 <sup>f</sup>	.966	.961	.54654	.000	.278	1
7	.982 <sup>g</sup>	.964	.961	.54691	-.001	1.044	1
8	.981 <sup>h</sup>	.963	.960	.55291	-.002	1.751	1
9	.980 <sup>i</sup>	.961	.960	.55336	-.001	1.057	1

Model Summary <sup>j</sup>			
Model	Change Statistics		Durbin-Watson
	df2	Sig. F Change	
1	27	.000	
2	27	.974	
3	28	.886	
4	29	.892	
5	30	.683	
6	31	.602	
7	32	.315	
8	33	.195	
9	34	.311	2.070

a. Predictors: (Constant), x7 الجفاف, x6 التبخر-نتج, x8 التبخر, x2 المدى الحراري, x4 الرطوبة النسبية, x1 السقوط الشمسي الفعلي, x3 سرعة الرياح, x5 الامطار, x10 الامطار الفعلية, x5 الامطار

b. Predictors: (Constant), x7 الجفاف, x6 التبخر-نتج, x8 التبخر, x2 المدى الحراري, x4 الرطوبة النسبية, x1 السقوط الشمسي الفعلي, x3 سرعة الرياح, x5 الامطار, x10 الامطار الفعلية, x5 الامطار

c. Predictors: (Constant), x7 الجفاف, x6 التبخر-نتج, x8 التبخر, x2 المدى الحراري, x4 الرطوبة النسبية, x1 السقوط الشمسي الفعلي, x3 سرعة الرياح, x5 الامطار, x10 الامطار الفعلية, x5 الامطار

d. Predictors: (Constant), x7 الجفاف, x6 التبخر-نتج, x8 التبخر, x2 المدى الحراري, x4 الرطوبة النسبية, x1 السقوط الشمسي الفعلي, x3 سرعة الرياح, x5 الامطار, x10 الامطار الفعلية, x5 الامطار

e. Predictors: (Constant), x7 الجفاف, x6 التبخر-نتج, x8 التبخر, x2 المدى الحراري, x4 الرطوبة النسبية, x1 السقوط الشمسي الفعلي, x3 سرعة الرياح, x5 الامطار, x10 الامطار الفعلية, x5 الامطار

f. Predictors: (Constant), x7 الجفاف, x6 التبخر-نتج, x8 التبخر, x2 المدى الحراري, x4 الرطوبة النسبية, x1 السقوط الشمسي الفعلي, x3 سرعة الرياح, x5 الامطار, x10 الامطار الفعلية, x5 الامطار

g. Predictors: (Constant), x7 الجفاف, x6 التبخر-نتج, x8 التبخر, x2 المدى الحراري, x4 الرطوبة النسبية, x1 السقوط الشمسي الفعلي, x3 سرعة الرياح, x5 الامطار, x10 الامطار الفعلية, x5 الامطار

h. Predictors: (Constant), x7 الجفاف, x6 التبخر-نتج, x8 التبخر, x2 المدى الحراري, x4 الرطوبة النسبية, x1 السقوط الشمسي الفعلي, x3 سرعة الرياح, x5 الامطار, x10 الامطار الفعلية, x5 الامطار

i. Predictors: (Constant), x7 الجفاف, x6 التبخر-نتج, x8 التبخر, x2 المدى الحراري, x4 الرطوبة النسبية, x1 السقوط الشمسي الفعلي, x3 سرعة الرياح, x5 الامطار, x10 الامطار الفعلية, x5 الامطار

j. Dependent Variable: التعرية المطرية y2

ANOVA <sup>a</sup>					
Model		Sum of Squares	df	Mean Square	F
1	Regression	267.957	9	29.773	85.423
	Residual	9.410	27	.349	
	Total	277.367	36		
2	Regression	267.957	8	33.495	99.656
	Residual	9.411	28	.336	
	Total	277.367	36		
3	Regression	267.949	7	38.278	117.869
	Residual	9.418	29	.325	
	Total	277.367	36		
4	Regression	267.943	6	44.657	142.160
	Residual	9.424	30	.314	
	Total	277.367	36		
5	Regression	267.894	5	53.579	175.319
	Residual	9.474	31	.306	
	Total	277.367	36		
6	Regression	267.809	4	66.952	224.137
	Residual	9.559	32	.299	
	Total	277.367	36		
7	Regression	267.497	3	89.166	298.106
	Residual	9.871	33	.299	
	Total	277.367	36		
8	Regression	266.973	2	133.487	436.642
	Residual	10.394	34	.306	
	Total	277.367	36		
9	Regression	266.650	1	266.650	870.812
	Residual	10.717	35	.306	
	Total	277.367	36		

a. Dependent Variable: التعرية المطرية y2

b. Predictors: (Constant), x7 الجفاف, x6 التبخر-نتج, x8 التبخر, x2 المدى الحراري, x4 الرطوبة النسبية, x1 السقوط الشمسي الفعلي, x3 سرعة الرياح, x5 الامطار, x10 الامطار الفعلية, x5 الامطار

c. Predictors: (Constant), x7 الجفاف, x6 التبخر-نتج, x8 التبخر, x2 المدى الحراري, x4 الرطوبة النسبية, x1 السقوط الشمسي الفعلي, x3 سرعة الرياح, x5 الامطار, x10 الامطار الفعلية, x5 الامطار

d. Predictors: (Constant), x7 الجفاف, x6 التبخر-نتج, x8 التبخر, x2 المدى الحراري, x4 الرطوبة النسبية, x1 السقوط الشمسي الفعلي, x3 سرعة الرياح, x5 الامطار, x10 الامطار الفعلية, x5 الامطار

e. Predictors: (Constant), x7 الجفاف, x6 التبخر-نتج, x8 التبخر, x2 المدى الحراري, x4 الرطوبة النسبية, x1 السقوط الشمسي الفعلي, x3 سرعة الرياح, x5 الامطار, x10 الامطار الفعلية, x5 الامطار

f. Predictors: (Constant), x7 الجفاف, x6 التبخر-نتج, x8 التبخر, x2 المدى الحراري, x4 الرطوبة النسبية, x1 السقوط الشمسي الفعلي, x3 سرعة الرياح, x5 الامطار, x10 الامطار الفعلية, x5 الامطار

g. Predictors: (Constant), x7 الجفاف, x6 التبخر-نتج, x8 التبخر, x2 المدى الحراري, x4 الرطوبة النسبية, x1 السقوط الشمسي الفعلي, x3 سرعة الرياح, x5 الامطار, x10 الامطار الفعلية, x5 الامطار

h. Predictors: (Constant), x7 الجفاف, x6 التبخر-نتج, x8 التبخر, x2 المدى الحراري, x4 الرطوبة النسبية, x1 السقوط الشمسي الفعلي, x3 سرعة الرياح, x5 الامطار, x10 الامطار الفعلية, x5 الامطار





ملحق (22-8) نموذج التحليل الاحصائي الوصفي والكمي للعلاقة بين التعرية المطرية ( $y_2$ ) والمتغيرات المستقلة لمحطة الديوانية:

Coefficients <sup>a</sup>					
Model	Unstandardized Coefficients		Standardized Coefficients	t	Sig.
	B	Std. Error	Beta		
1					
الجفاف x7	-81.332	42.177	-.697	-1.928	.063
التبخّر x8	-.001	.000	-.188	-1.931	.063
الامطار الفعالة x10	.100	.025	1.470	3.995	.000
6					
(Constant)	3.393	3.253		1.043	.305
التبخّر-نتج x6	-.001	.001	-.059	-.582	.565
الجفاف x7	-80.081	41.547	-.686	-1.927	.063
التبخّر x8	-.001	.000	-.175	-1.912	.065
الامطار الفعالة x10	.098	.024	1.445	4.026	.000
7					
(Constant)	1.819	1.787		1.018	.316
الجفاف x7	-64.120	30.884	-.549	-2.076	.046
التبخّر x8	-.001	.000	-.176	-1.943	.061
الامطار الفعالة x10	.089	.018	1.307	4.900	.000

a. Dependent Variable: y<sub>2</sub> التعرية المطرية

Model Summary <sup>h</sup>							
Model	R	R Square	Adjusted R Square	Std. Error of the Estimate	Change Statistics		
					R Square Change	F Change	df1
1	.906 <sup>a</sup>	.821	.761	1.01841	.821	13.753	9
2	.906 <sup>b</sup>	.821	.769	1.00075	.000	.038	1
3	.906 <sup>c</sup>	.820	.777	.98383	.000	.027	1
4	.905 <sup>d</sup>	.820	.784	.96890	-.001	.096	1
5	.905 <sup>e</sup>	.818	.789	.95727	-.002	.261	1
6	.904 <sup>f</sup>	.817	.794	.94512	-.001	.193	1
7	.903 <sup>g</sup>	.815	.798	.93560	-.002	.338	1

Model Summary <sup>h</sup>			
Model	Change Statistics		Durbin-Watson
	df2	Sig. F Change	
1	27	.000	
2	27	.848	
3	28	.870	
4	29	.758	
5	30	.613	
6	31	.663	
7	32	.565	1.916

- a. Predictors: (Constant), x10 الامطار الفعالة x2، المدى الحراري x9، العجز المائي x6، التبخر-نتج x1، السطوح التماسي القطبي x8، التبخر x8، الرطوبة النسبية x4، الجفاف x7، سرعة الرياح x3، الرطوبة النسبية x4
- b. Predictors: (Constant), x10 الامطار الفعالة x2، المدى الحراري x9، التبخر-نتج x6، السطوح التماسي القطبي x1، التبخر x8، الرطوبة النسبية x4، الجفاف x7، سرعة الرياح x3
- c. Predictors: (Constant), x10 الامطار الفعالة x2، المدى الحراري x9، التبخر-نتج x6، الرطوبة النسبية x4، التبخر x8، الجفاف x7، سرعة الرياح x3، الرطوبة النسبية x4
- d. Predictors: (Constant), x10 الامطار الفعالة x6، التبخر-نتج x8، التبخر x8، الجفاف x7، سرعة الرياح x3، الرطوبة النسبية x4، التبخر x8، الجفاف x7، سرعة الرياح x3
- e. Predictors: (Constant), x10 الامطار الفعالة x6، التبخر-نتج x8، التبخر x8، الجفاف x7، سرعة الرياح x3، الرطوبة النسبية x4، التبخر x8، الجفاف x7، سرعة الرياح x3
- f. Predictors: (Constant), x10 الامطار الفعالة x6، التبخر-نتج x8، التبخر x8، الجفاف x7، سرعة الرياح x3، الرطوبة النسبية x4، التبخر x8، الجفاف x7، سرعة الرياح x3
- g. Predictors: (Constant), x10 الامطار الفعالة x8، التبخر x7، الجفاف x7
- h. Dependent Variable: y<sub>2</sub> التعرية المطرية

ANOVA <sup>a</sup>						
Model		Sum of Squares	df	Mean Square	F	Sig.
1	Regression	128.371	9	14.263	13.753	.000 <sup>b</sup>
	Residual	28.003	27	1.037		
	Total	156.375	36			
2	Regression	128.332	8	16.042	16.017	.000 <sup>c</sup>
	Residual	28.042	28	1.002		
	Total	156.375	36			
3	Regression	128.305	7	18.329	18.937	.000 <sup>d</sup>
	Residual	28.070	29	.968		
	Total	156.375	36			
4	Regression	128.212	6	21.369	22.763	.000 <sup>e</sup>
	Residual	28.163	30	.939		
	Total	156.375	36			
5	Regression	127.967	5	25.593	27.929	.000 <sup>f</sup>
	Residual	28.407	31	.916		
	Total	156.375	36			
6	Regression	127.790	4	31.948	35.765	.000 <sup>g</sup>
	Residual	28.584	32	.893		
	Total	156.375	36			
7	Regression	127.488	3	42.496	48.547	.000 <sup>h</sup>
	Residual	28.887	33	.875		
	Total	156.375	36			

a. Dependent Variable: y<sub>2</sub> التعرية المطرية

- b. Predictors: (Constant), x10 الامطار الفعالة x2، المدى الحراري x9، العجز المائي x6، التبخر-نتج x1، السطوح التماسي القطبي x8، التبخر x8، الرطوبة النسبية x4، الجفاف x7، سرعة الرياح x3، الرطوبة النسبية x4
- c. Predictors: (Constant), x10 الامطار الفعالة x2، المدى الحراري x9، التبخر-نتج x6، السطوح التماسي القطبي x1، التبخر x8، الرطوبة النسبية x4، الجفاف x7، سرعة الرياح x3، الرطوبة النسبية x4
- d. Predictors: (Constant), x10 الامطار الفعالة x6، التبخر-نتج x8، التبخر x8، الجفاف x7، سرعة الرياح x3، الرطوبة النسبية x4، التبخر x8، الجفاف x7، سرعة الرياح x3
- e. Predictors: (Constant), x10 الامطار الفعالة x6، التبخر-نتج x8، التبخر x8، الجفاف x7، سرعة الرياح x3، الرطوبة النسبية x4، التبخر x8، الجفاف x7، سرعة الرياح x3
- f. Predictors: (Constant), x10 الامطار الفعالة x6، التبخر-نتج x8، التبخر x8، الجفاف x7، سرعة الرياح x3، الرطوبة النسبية x4، التبخر x8، الجفاف x7، سرعة الرياح x3
- g. Predictors: (Constant), x10 الامطار الفعالة x8، التبخر x7، الجفاف x7
- h. Predictors: (Constant), x10 الامطار الفعالة x8، التبخر x7، الجفاف x7

**Republic of Iraq  
Ministry of Higher Education &  
Scientific Research  
Baghdad University  
college of Education Ibn Rushd  
for Human Sciences .**



**The Effect Of Climatic Characteristics In The  
Formation Forms Of The Surface The Earth  
Between The The Governorates Of Qadisiyah  
And Dhi Qar**

**A dissertation**

**Submitted to the Council of College of Education Ibn  
Rushd for human sciences / Baghdad University and it is  
partial requirements of fulfillment of PH.D in Geography**

**By**

**Maher Hamood Kadhum Al-Jubori**

**Supervised by**

**Prof. Dr. Sabah Abboud Ati Al-Khaza'li**

**2019 AD**

**1440 AH**



## Abstract

This study is one of the most recent geomorphic studies within the philosophy of the German School (Climate geomorphology) , which dealt with (The effect of climate characteristics in the formation of the surface forms of the earth between the governorates of Qadisiyah and Dhi Qar). Which is located within the stable and unstable pavement and within the area of the flood plain and the Western plateau and an area of approximately (15241 km<sup>2</sup>) .This tectonic site of the region appeared in the formations dating back to the third time The formation of (Euphrates and Venus) This tectonic site of the region showed the formation of the Euphrates and Venus, and the sediments of the four-time period (clay sediments, flood plain, shallow depressions, sand dunes, sand dunes, marshes, human deposits) The study also dealt with the characteristics of the stratigraphy (elevations), which ranged between (8- 79m) and forms distributed and scattered within the region. The characteristics of the gradient range between (0- 30 and more) with varying rates and trends of the region. The study also showed that water resources are declining in the levels rivers of the region because of the impact of the current climatic characteristics, increasing drought and increasing the salinity of the dug wells within the region, whose salinity ranges between 37320 and 777 ppm, some suitable for different human activities, Activity Agricultural production declined in the region Because of the impact of the current climatic characteristics and increasing manifestations of drought and increased salinity of the wells drilled within the area, which range from the proportion of their salts between (37320-777) ppm and some are suitable for various human activities and the other is not suitable as a result of activity of agricultural production fell in the region, The study classified soils into several varieties and is the most flood plain soils in the region, There is a diversity in the natural vegetation (Plants of river banks, marshlands and marshes, desert plants) despite the lack of rain and increased drought. The study showed that the ancient climatic characteristics (paleostosis) had a clear role in drawing the natural landscape and influenced by the current climate characteristics and this is consistent with the facts Geomorphic, which confirmed most of the earth's manifestations dates back to the four-time (Palyostocene). Then an analytical and detailed study was conducted showing the spatial variation of the current climate elements (actual brightness, temperature, wind, relative humidity, rain, effective rain, evaporation, evaporation – transpiration, water deficit), And the climatic phenomena (dust storms, escalating, drought phenomenon) for all study stations.

It also showed that there was a fluctuation in the characteristics and climatic phenomena and their reflection on the dry and semi-dry climate prevailing in

the region according to the application of equations (drought coefficient D and Dimarton) and also reflected the geomorphic processes in the high and low values of wind and rain erosion. The study was characterized by a very strong correlation between the current climatic characteristics and geomorphic processes prevailing in the region, especially weathering and wind and rain erosion, using statistical methods that give more clear and explanatory in the formation of the Ground appearances which appeared in the geomorphic map of( hills, plateau, poor land ,barren lands, grooves, depressions filled , fillers, floodplains, shoulders of the rivers, Lake Sawa, marshes, swamps, , Sand dunes (crescent, longitudinal dunes and Allenbak and the signs of desert ripple), which were distributed in different regions. There is also a difference in the morphometric characteristics of the various sand dunes. Statistical models were applied for the purpose of knowing the factors that are explained and affecting the wind and rain erosion and the nature of the statistical relations between the statistical variables and using the methods (correlation analysis, multiple regression analysis, The application of statistical models for the purpose of knowledge and explanatory affecting wind erosion through statistical relations between statistical variables and using methods (correlation analysis, multiple regression analysis, multiple selection factor  $R^2$ ) , And the results of the quantitative analysis of the stations of the study has been found to have positive relations, and valuable of  $R^2$  (80, 83, 80, 94%) among the climatic characteristics mentioned (wind velocity, drought ,evaporation – transpiration, water deficit) are interrelated with each other and their effect on the geomorphic process, especially wind erosion. As there are weak inverse relationships between wind erosion and the variables mentioned (rain, effective rain, relative humidity). The second dependent variable is rain erosion, which is actually affected by the above mentioned climatic characteristics (actual brightness, evaporation, rain, effective rain, relative humidity) for the study stations and positive relationship with  $R^2$  (96, 97, 96, 81%). It is clear that there is a weak inverse relationship between rain erosion and the variables mentioned (evaporation, drought, relative humidity). There are variables of varying proportions due to other factors that can not be limited to the study models. All the statistical tests (t-test, f-test) calculated were greater than the planned value of sig (0.01) for all variables.